

ჯონი ბიჭიაშვილი, გენო ნიუარაძე,  
გიორგი სიჭინავა

მშენებლობის  
ორგანიზაცია,  
მექანიზაცია,  
აპტომატიზაცია,  
დაბეგმპა და  
მენეჯმენტი

### III რეანი

მშენებლობის ავტომატიზაცია

პროფესორ ჯონი ბიჭიაშვილის საერთო  
რედაქციით

## გამომცემლობა “ლეგა” თბილისი, 2008

წიგნში “მშენებლობის ორგანიზაცია, მექანიზაცია, ავტომატიზაცია, დაგეგმვა და მენეჯმენტი”, განხილულია სამშენებლო პროცესების ავტომატიზაციის ძირითადი პრინციპები, გამზომი და ავტომატური მოწყობილობების სისტემათა ძირითადი ელექტრონული კომუნიკაციების ავტომატიზაცია და ავტომატური რეგულირება; მართვის ტექნიკა, საინფორმაციო სისტემები და მართვის ავტომატიზებული სისტემები; წარმოების ცენტრალიზებული მართვა და დისპეტჩერიზაცია, კოშკების ამწევების, კაბელ-ამწევების, საპარტ-საბაზირო გზების ავტომატიზაცია და სხვ.

გათვალისწინებულია უმაღლესი სასწავლებლო ბის სამშენებლო სპეციალობის სტუდენტებისათვის. იგი გამოადგებათ ინჟინერ-პრაქტიკოსებსაც.

**რედაქტორი:** საქართველოს საინჟინრო ოკადემიის, საქართველოს ბიზნესის მეცნიერებათა აკადემიის, საქართველოს ეროვნული და სხვა აკადემიების ნამდვილი წევრი, ტექნიკის მეცნიერებათა დოქტორი, პროფესიონალი

**ქ. ბიჭიაშვილი**

**რეცენზები:** ტექნიკის მეცნიერებათა დოქტორი, პროფესიონალი  
**ა. გუგუშვილი**

© ჯონი ბიჭიაშვილი, გენო ნიქარაძე, გიორგი სიჭინავა.  
გამომცემლობა “ლეგა”, თბილისი, 2008

## ვ ი ნ ა ს ი ტ ჰ ვ ა რ ბ ა

წინამდებარე ნაშრომი წარმოადგენს გამომცემლობა  
“ლეგას” მიერ 2008 წელს გამოცემული სახელმძღვანელოს –  
“მშენებლობის ორგანიზაცია, მექანიზაცია, ავტომატიზაცია,  
დაგეგმვა და მენეჯმენტი” I წიგნი – შემადგენელ ნაწილს.  
ავტორთა თავდაპირველი ჩანაფიქრით აღნიშნულ ნაშრომს  
კომპლექსურად უნდა მოეცვა ერთი წიგნის მოცულობაში  
სამშენებლო წარმოების ორგანიზაციის საფუძვლები, სამშე-  
ნებლო წარმოების მატერიალურ-ტექნიკური უზრუნველყო-  
ფის ორგანიზაცია, სამშენებლო წარმოების ოპერატიული  
დაგეგმვა, მშენებლობის მექანიზაციისა და ავტომატიზაციის,  
სამეცნიერო მექანიზმის სრულყოფისა და მშენებლობის  
მართვის საკითხები და სხვ. მაგრამ, წიგნის მეტად დიდი  
მოცულობის გამო, ავტორებმა მიზანშეწონილად მივიჩნიეთ  
“მშენებლობის მექანიზაციის და ავტომატიზაციის” ცალკე  
წიგნებად გამოცემა, (მშენებლობის მექანიზაცია, წიგნი II და  
მშენებლობის ავტომატიზაცია, წიგნი III), მითუმეტეს, რომ  
მატერიალურ-ტექნიკური ბაზის შემდგომი განმტკიცებისა და  
განვითარების გადამწყვეტ პირობას წარმოადგენს კომ-  
პლექსური მექანიზაცია, ავტომატიზაცია და ახალი აგრეგა-  
ტული უნიფიცირებული სისტემებისა და გამომთვლელი მან-  
ქანების ფართოდ დანერგვა.

შევნიშნავთ, რომ ინჟინერ-მშენებლის, ტექნიკ-ტექნოლო-  
გისა და ტექნიკ-მექანიკოსის აღჭურვა სათანადო კომ-  
პლექსური თეორიული ცოდნით, ავტომატიზებული მოწყო-  
ბილობა-დანადგარების სწორი ექსპლოატაციის, საწარმოო

და ტექნოლოგიური პროცესების ტექნიკურად, გამართულად მართვის მიზნით, მნიშვნელოვნად განაპირობებს თანამედროვე ეტაპზე შრომის ნაყოფიერების ზრდის მიღწევას. ამ პრობლემის წარმატებით გადაწყვეტის მცდელობას გმხახურება, ერთი მხრივ, მშენებლობის ორგანიზაციისა და ტექნოლოგის და მეორე მხრივ, მშენებლობის მექანიზაციის და ავტომატიზაციის თეორიული საფუძვლების კომპლექსურად შესწავლას, რასაც მიზნად ისახავს წარმოდგენილი სახელმძღვანელო.

თუ გავითვალისწინებთ, რომ განხილულ საკითხებზე ქართულ ენაზე არ მოიპოვება ორიგინალური ნაშრომი და წინამდებარე სახელმძღვანელო ამ მხრივ პირველ ცდას წარმოადგენს, ალბათ, მას ექნება ნაკლოვანებები. ავტორები საქმიან შენიშვნებს კმაყოფილებით მიიღებენ შემდგომში გასათვალისწინებლად.

აღნიშნულის საფუძველზე “მშენებლობის მექანიზაცია და ავტომატიზაცია” (“მშენებლობის ორგანიზაციის, მექანიზაციის, ავტომატიზაციის, დაგეგმვისა და მენეჯმენტის”, მოცემულია ორი წიგნის სახით: II. მშენებლობის მექანიზაცია (ამწევ-სატრანსპორტო მანქანები), III. მშენებლობის ავტომატიზაცია.

ეს სახელმძღვანელო გათვალისწინებულია უმაღლესი სასწავლებლების სტუდენტებისათვის (გამოადგებათ ინჟინერ-პრაქტიკოსებსაც), რომლებიც შეისწავლიან “სამშენებლო მანქანებისა და სამშენებლო პროცესების ავტომატიზაციის” კურსს. მასალის დამუშავება და შესწავლა მიზანშეწონილია განხორციელდეს სახელმძღვანელოში მოცემული თანმიმდევრობით. სახელმძღვანელო შედგენილია მოქმედი პროგრამის შესაბამისად. განხილულია ავტომატიზაციის ძირითადი პრინციპები, გამზომი და ავტომატური მოწყობილობების ელემენტები, ელექტროძრავის ავტომატიზაცია და ავტომატური რეგულირება, მართვის ტექნიკა, საინფორმაციო და მართვის ავტომატიზებული სისტემები, კომპუტრი ამწების, კაბელ-ამწების, საპარტ-საბაგირო გზების ავტომატიზაცია და სხვ.

ავტორები მაღლიერების გრძნობით აღნიშნავენ მარიამ ბიჭიაშვილის ნაყოფიერ შრომას, წიგნის გრაფიკული ნაწი-

ლის შემოწმებისა და ტექსტის ყურადღებით კორექტირებაზე.

## სამშენებლო პროცესების დახასიათება და მათი აპტომატიზაციის პრინციპები

### §1. მშენებლობის აპტომატიზაცია და პერსამჩ- ტიული განვითარების ამოცანები

ტექნიკური პროგრესის, ორგანიზაციის სრულყოფა და სამუშაო პირობების გაუმჯობესება განაპირობებს მშენებლობის ინდუსტრიალიზაციის დონისა და უნიფიცირებული სამშენებლო კონსტრუქციების და დეტალების საქარხო წესით დამზადების ხარისხის ამაღლებას. სახლმშენებელი კონკეირი, მასში შემავალი მსხვილი კომბინატების მეშვეობით, სამშენებლო წარმოებას შენობების მონტაჟის კომპლექსურ-მექანიზებულ პროცესად გარდაქმნის. საზოგადოების წინაშე დასახული ამოცანების განხორციელება მოითხოვს ფართოდ დაინერგოს მნიშვნელოვანი ტექნოლოგიური პროცესების კონტროლის, მართვისა და რეგულირების ავტომატური მოწყობილობები; ქარხნებისა და სამშენებლო ობიექტების ავტომატური მართვის მანქანური სისტემები.

ბევრნის, რკინაბეტონისა და ასაწყობი რკინაბეტონის კონსტრუქციების დამამზადებელი თანამედროვე ქარხნების მექანიზაციის მაღალი დონე, საწარმოო ციკლის უწევებობა ქმნის ხელსაყრელ პირობებს ავტომატიზაციის ანუ მექანიზაციის უმაღლესი საფეხურის დანერგვისათვის.

თუ მივიღებთ მხედველობაში, რომ ამჟამად დასრულებულია მზა სართულების აწევის მეთოდით შენობების აგების ახალი ეკონომიკური ტექნოლოგია, მონტაჟის პროცესის ავტომატიზაცია მნიშვნელოვნად აამაღლებს შრომის ნაყოფიერებას მშენებლობაში და გააიაფებს მშენებლობას, მშენებლობის წარმოების ნებისმიერი სხვა წესის გამოყენებასთან შედარებით.

მექანიზაციის მჭიდრო კავშირზე ავტომატიზაციასთან მიუთითებდა ჯერ კიდევ კ. მარქსი “კაპიტალში”, რომელშიც მან შემდეგი განმარტება მისცა ავტომატურ მანქანას: “როდესაც სამუშაო მანქანა ადამიანის დაუხმარებლად ას-

რულებს ყველა იმ მოძრაობას, რაც აუცილებელია ნედლი მასალის დასამუშავებლად, და მხოლოდ ადამიანის მხრივ კონტროლს საჭიროებს, მაშინ ჩვენ საქმე გვაქვს მანქანების ავტომატურ სისტემასთან”, ე.ი. ტექნოლოგიური პროცესის მექანიზაცია წარმოადგენს ავტომატიზაციის შეუცვლელ და მნიშვნელოვან წანამდგარს. მაშასადამე, მექანიზაცია წარმოადგენს ადამიანის კუნთის ძალის მექანიზმებით შეცვლის პროცესს, ხოლო ავტომატიზაცია ადამიანის მიერ წარმოების სამართვად აუცილებელი შრომის შეცვლის პროცესს აპარატებისა და მანქანების მუშაობით. მეცნიერებისა და ტექნიკის იმ დარგს, რომელიც შეისწავლის ავტომატური სისტემებისა და მასთან დაკავშირებული ტექნიკური საშუალებების თეორიასა და მეთოდებს, ეწოდება ავტომატიკა (“ავტომატი” ბერძნული წარმოშობის სიტყვაა და ნიშნავს თვითმოძრავს).

ობიექტის ავტომატურ მართვას, თუ ეს ობიექტი მოთავსებულია მართვის ადგილიდან შორ მანძილზე, ეწოდება ტელემექანიკა (ტელემექანიკა წარმოდგება სიტყვიდან “ტელე”, რაც ნიშნავს მანძილზე მოქმედებას). პრინციპული განსხვავება ავტომატიკასა და ტელემექანიკას შორის არ არსებობს. ავტომატიკისა და ტელემექანიკის რთული სისტემები უმეტეს შემთხვევებში შედგება ერთი და იმავე ელემენტებისაგან.

უახლოეს წლებში საწარმოო პროცესის ნაწილობრივი ავტომატიზაციიდან განხორციელდება კომპლექსურ და მთლიან ავტომატიზაციაზე მასობრივად გადასვლა.

საწარმოო პროცესი ნაწილობრივადაა ავტომატიზებული, როდესაც ავტომატიზებულია მისი მხოლოდ ცალკეული ოპერაციები. მაგალითად, მიწის მოშანდაკების მუშაობის დროს ხდება ავტოგრეიდერის ფრთის განივი დახრის ავტომატური რეგულირება. საწარმოო პროცესის კომპლექსური ავტომატიზაცია ეწოდება საწარმოო პროცესის მართვას ადამიანის ჩაურევლად. ადამიანის როლი კომპლექსური ავტომატიზაციის პირობებში განისაზღვრება პროცესის მიმდინარეობისადმი თვალყურის დევნებით. კომპლექსური მეანქიზაცია და ავტომატიზაცია ერთმანეთთან მჭიდროდაა დაკავშირებული. ისინი ერთმანეთს განაპირობებს და ავსებს.

\* ქ. მარქსი, კაპიტალი, ტ. I, 1954, გვ. 483.

ცალკეული საწარმოო პროცესის კომპლექსური ავტომატიზაცია წარმოადგენს მთლიან ავტომატიზაციაზე გადასასვლელ საფეხურს. ამ დროს ავტომატური მანქანების სისტემა ადამიანის უშუალოდ ჩარევის გარეშე ასრულებს საწარმოო პროცესთა მთელ კომპლექსს, სამუშაოთა ისეთი რეჟიმების დადგენითა და არჩევით, რომელიც უზრუნველყოფს კონკრეტულ პირობებში საუკეთესო მაჩვენებლებს. მაგალითისათვის შეიძლება მოვიყვანოთ ტექნოლოგიური ხაზები, საამქროები და ბეტონის ქარხანა-ავტომატები, რომლებშიც წარმოების ყველა პროცესი ავტომატიზებულია და უზრუნველყოფს მაღალ ტექნიკურ-ეკონომიკურ ეფექტურობას. ასეთი ბეტონის ქარხანა-ავტომატების რიცხვს მიეკუთვნება 60 მ<sup>3</sup>/სთ მწარმოებლურობის ბეტონის ქარხანა-ავტომატი ქ. კალუში, მთავარმოსკოვმშენის სისტემაში მომუშავე დუღაბ-სარევი ავტომატიზებული კვანძები 18-20 მ<sup>3</sup>/სთ მწარმოებლურობით ექვსი სხვადასხვა მარკის სამშენებლო დუღაბის დასამზადებლად და სხვ. ავტომატიზაციის ეკონომიკური ეფექტიანობის დასახასიათებლად 1.1 ცხრილში მოცემულია ბეტონის ავტომატიზებული წარმოების ზოგიერთი მაჩვენებელი. მთლიანი ავტომატიზაციისათვის განკუთვნილი სელსაწყოების აგება წარმოებს აგრეგატული პრინციპით, რომლის დროსაც რეგულატორის მთავარი ელემენტების აწყობა ხდება ცალკეული ბლოკი-ხელსაწყოების სახით, რომელთა შემავალი და გამომავალი პარამეტრები ცვალებადობენ ერთ და იმავე საზღვრებში, რაც სამუშალებას იძლევა შედარებით მარტივად დაკომპლექტდეს ავტომატური რეგულირების საკმაოდ რთული სქემებიც.

ავტომატიზაცია წარმოადგენს ტექნიკურ, სოციალურ და პოლიტიკურ პრობლემას. იგი ემსახურება ფიზიკურ და გონიერივ შრომას შორის არსებითი განსხვავების ლიკვიდაციას; მუშათა კულტურულ-ტექნიკური დონის ამაღლებას. ავტომატიზაცია ორგანულად აკავშირებს მეცნიერებას პრაქტიკასთან. უკანასკნელ წლებში ავტომატური სელსაწყოები ფართოდ ინერგება ადამიანის გონებრივი მოდგაწერობის სფეროში, სამეცნიერო-კვლევითი მუშაობის, დაგეგმარებისა და დაპროექტების პროცესში. ავტომატიზაცია თანამედროვე პირობებში წარმოადგენს საზოგადოების განვითარების ტექნიკური პოლიტიკის საფუძველს.

## ცხრილი 1.1

### ეკონომიკური ეფექტურობის გაანგარიშება

№ რიცხვი	დასახელდება	ბეტვის ქან- თანი თოსი ბე- ტრინარეგიონ თითოეული 1200 და ტესადობით 4X1200ლ	ბეტვის უწყე- ბობების ქან- თანააპლიმა- ტი, მარტო- ბილურის ნივთის
1.	წლიური მწარმოებლურობა, მ <sup>3</sup>	110000	110000
2.	ტექნოლოგიური დანადგარის მასა, ტ	55	55
3.	ლითონის კონსტრუქციების დანადგარების მასა, ტ	103.8	21.9
4.	ელექტროძრავების სიმძლავრე, კვტ	127	82.4
5.	მომსახურე პერსონალის რაოდენობა ცელაში	11	2
6.	ცელის ხანგრძლივობა, სთ	7	7
7.	ცელათა რაოდენობა	2	2
8.	სამუშაო დღეთა რაოდენობა წელიწადში	307	307
9.	კაპიტალური დაბანდებანი (მშენებლობის დორეგულება, დანადგარებისა და სამონტაჟო სამუშაოების), ათას მან.	68.2	37.0
10.	დანადგარების გამოყენების კოეფიციენტი	0.44	0.44
11.	კუთრი კაპიტალური დაბანდებანი 1მ <sup>3</sup> ბეტონზე, მან.	0.62	0.336
12.	1მ <sup>3</sup> ბეტონის დამზადების თვითლირეგულება, მან.	0.5	0.24
13.	1მ <sup>3</sup> ბეტონის დამზადების შრომატევადობა, კაც-სთ/მ <sup>3</sup> .	0.417	0.0754
14.	წლიური ეკონომია შრომის ხარჯზე, ათას კაც-სთ/წლ.	-	37.62
15.	წლიური ეკონომიკური ეფექტი, ათას მან.	-	28.6

სამანქანო წარმოების განვითარების ისტორია სათავეს მანქანა-იარაღების შექმნიდან იდებს, რომელთა საშუალებითაც ადამიანმა შეიმსუბუქა შრომა და მნიშვნელოვნად გაზიარდა შრომის ნაყოფიერება. ცნობილია, რომ არასამრეწველობა დანიშნულების ავტომატებს იყენებდნენ ჯერ კიდევ პირველ საუკუნეში ჩვენს წელთაღრიცხვამდე.

პრაქტიკული დანიშნულების ავტომატების რიცხვს მიეკუთვნება ქანქარიანი საათი, რომელიც 1657 წელს შექმნა ჰოლანდიელმა ქ. ჰიუგენსმა. რუსმა გამომგონებელმა ი. პოლზუნოვმა 1766 წელს დააკონსტიუირა და დაამზადა ორთქლის ქვაბში წყლის დონის ავტომატური რეგულატორი. 1784 წელს ინგლისელმა მექანიკოსმა ჯ. უაიტმა დაამზადა ბრუნვის სიჩქარის ცენტრიდანული რეგულატორი ორთქლის ქვაბისათვის. 1877 წელს პეტერბურგის ტექნილოგიური ინსტიტუტის პროფესორმა ი. ვიშნევგრადსკიმ (1831-1895) ჩამოაყალიბა ორთქლის მანქანების რეგულირების თეორიის საფუძვლები. ვიშნევგრადსკის მნიშვნელოვანი დამსახურებაა ავტომატური რეგულირების სისტემების დამუშავების საკითხებისადმი სისტემური მიღვიმის დამკვიდრება, რაც მდგომარეობდა რეგულატორისა და რეგულირების ობიექტის, როგორც ერთიანი დინამიკური სისტემის განხილვაში. მდგრადობის თეორიის საფუძვლები დამუშავა აკადემიკოსმა ა. ლიაბუნოვმა (1892 წ.). სლოვაკმა პროფესორმა ა. სტოდოლამ (1859-1942) გამოიკვლია ორთქლისა და პიდრავლიკური ტურბინების რეგულირების მდგრადობა, ხოლო გერმანელმა მათემატიკოსმა ა. გურევიცმა ამოხსნა ავტომატური რეგულირების ხაზვანი სისტემების მდგრადობის კრიტერიუმის ზოგადი ამოცანა. ინგლისელმა მეცნიერმა ასტრონომმა ერიმ (1801-1892) გამოიკვლია მექანიზმი, რომელიც უზრუნველყოფდა ტელესკოპის თანაბარი სიჩქარით შებრუნებას ისე, რომ უწყვეტლივ ემზირათ თანაბრად მოძრავი ციური სხეულებისათვის. ასეთი სისტემა ტიპური ავტომატური რეგულირების სისტემაა. ინგლისელმა ფიზიკოსმა დ. მაქსველმა (1831-1879) მნიშვნელოვანი შრომა გასწია, ავტომატური რეგულირების სისტემის დარგში, პლანეტა სატურნის რგოლის წონასწორობის საკითხის შესწავლასთან დაკავშირებით. 1909 წელს პროფესორმა ნ. უკოვსკიმ გამოაქვეყნა კლასიკური შრომები მანქანების ავტომატური რეგულირების დარგში.

საბჭოთა მეცნიერებმა – ი. ვოზნესენსკიმ, აკად. ლ. მენდელშტამმა, აკად. ნ. პაპალევსკიმ, აკად. ა. ანდრნოვმა, ვ. ბულებაგინმა,, ვ. ლოსიევსკიმ, მ. აიზერმანმა და სხვებმა თავიანთ შრომებში მნიშვნელოვნად განავითარეს ავტომატური რეგულირებისა და მართვის საიკიონები. ავტო-

მატური რეგულირების თეორიაში მნიშვნელოვანი წვლილი შეიტანა მიხაილოვის ნაშრომმა “პარმონიული ანალიზის მეთოდი რეგულირების თეორიაში”, როთაც საფუძველი ჩაეყარა ეფექტური სიხშირული მეთოდის დანერგვას ავტომატური სისტემების გამოკვლევის პრაქტიკაში. მაგრამ, ავტომატიკა, როგორც მეცნიერებისა და ტექნიკის დამოუკიდებელი დარგი, სისტემატურ განვითარებას იწყებს მე-20 საუკუნის 30-იანი წლებიდან.

უკანასკნელი ათეული წლების განმავლობაში მეცნიერულ დისციპლინად ჩამოყალიბდა მართვის პროცესების მათემატიკური თეორია, რომელსაც კიბერნეტიკა ეწოდება (ბერძნული სიტყვიდან “კიბერნეტოს”, რაც მესაჭეს ნიშნავს). კიბერნეტიკის განვითარება დაიწყო ამერიკელი მეცნიერის ნ. ვინერის შრომის – “კიბერნეტიკა და საზოგადოება” გამოსვლის დროიდან.

თანამედროვე კიბერნეტიკა შედგება სამი ძირითადი განყოფილობებისაგან; ესენია: 1. ავტომატური მართვისა და რეგულირების თეორია, 2. ინფორმაციის თეორია და 3. მანქანების მიერ ლოგიკური ოპერაციების შესრულების თეორია.

კიბერნეტიკული სისტემები ამჟამად მართავენ ურთულესი ჩარჩებისა და მთელი საწარმოების მუშაობას, მიმართულებას აძლევენ საზღვაო ხომალდების, თვითმფრინავებისა და კოსმოსური ხომალდების მოძრაობას, ელექტროდად აწარმოებენ ურთულეს გაანგარიშებებს და ა.შ. აღსანიშნავია, რომ ტექნიკის კიბერნეტიზაცია უმნიშვნელო ენერგიით უზარმაზარი სიმძლავრეების მართვის საშუალებას იძლევა.

მეცნიერებას, რომელიც შეისწავლის ელექტრონული ხელსაწყოების მოქმედების პრინციპებს და მათი გამოყენების ტექნიკას, ეწოდება ელექტრონიკა. ელექტრონიკა წარმოადგენს თანამედროვე ავტომატიკის და ტელემეტრიკის საფუძველს ელექტრონული აპარატურის უპირატესობების გამო – ზემადალი მგრძნობიარობა, მცირე ინერციულობა, შესაძლებლობა გაიზომოს, როგორც ელექტრული (ძაბვა, დენის ძალა, სიხშირე და სხვ.), ასევე არაელექტრული სიდიდეები (გაბარიტები, წნევა, ტემპერატურა, დრო, სინათლის ძალა, ძაბვა და სხვ.). ელექტრონიკის დანერგვა ავტომატიკასა და ტელემეტრიკაში საშუალებას იძლევა

შეაიქმნას სწრაფმოქმედი, ზუსტი ავტომატური და ტელე-მექანიკური სისტემები.

მეცნიერების სრულიად ახალი დარგია ბიონიკა. იგი შეისწავლის ცოცხალ ორგანიზმებში მოქმედ მეტად ეკო-ნომიკურ ავტომატურ სისტემებს, ანალოგიური მინიატუ-რული ავტომატური სისტემების შექმნისა და ტექნიკაში დანერგვის საკითხებს.

ავტომატური მართვის თეორიასა და პრაქტიკაში სულ უფრო ფართოდ ინერგება ელექტრონულ-გამომთვლელი მან-ქანები, როგორც ციფრული, ისე ანალოგური, რამაც საწარ-მოო პროცესების ავტომატიზაციის დონე აწია ახალ, უფრო მაღალ საფეხურზე. მინი და მიკრო ეგზ-ის მიკრო-პროცესორული ტექნიკის, რობოტებისა და მანიპულიატორე-ბის გამოყენების ბაზაზე შესაძლებელი გახდა თვითმმწყობი და თვითმოსწავლე ავტომატური სისტემების დანერგვა, რაც რეალიზაციას უკეთებს მართვის რთულ კანონებს. ეს საშუ-ალებას იძლევა შეიქმნას ავტომატური მართვის სისტემები ძნელადსაწინასწარმეტყველო და ფორმალიზებულ აღწერას დაუქვემდებარებელი აგზნებების პირობებში სამუშაოდ.

ავტომატურ სისტემებთან ერთად სამშენებლო წარმოე-ბის მართვის სფეროში, მეოცე საუკუნის სამოციან წლებში, დანერგვა დაიწყო ორგანიზაციულ-ტექნიკურმა (“ადამიან-მანქანურმა”) სისტემებმა, რომლებიც უზრუნველყოფენ იმ ობიექტების ეფექტურ ფუნქციონირებას, რომლებშიც მართ-ვის ფუნქციის რეალიზაციისათვის აუცილებელი ინფორმა-ციის შეკრება და გადამუშავება ხორციელდება ავტომატი-ზაციისა და გამოთვლითი ტექნიკის საშუალების გამოყენე-ბით. მართვის ასეთი სისტემების ტექნიკურ საფუძველს შეადგენს ეგზ-ი, ხოლო თეორიულს – ეკონომიკურ-მათე-მატიკური მეთოდები, რომლებიც რთული ობიექტებისა და პროცესების მართვის ოპტიმალური პირობების განსაზღვრის საშუალებას იძლევიან.

ამჟამად ავტომატიზაციის უმაღლესი ფორმის რეალი-ზაცია ხდება მოქნილი საწარმოო სისტემების (ПІС) დახ-მარებით, რაც ქმნის რეალურ წანამდგრებს ადამიანის ჩაურეველ ტექნოლოგიებზე გადასასვლელად, თანამედროვე სამრეწველო წარმოების ეფექტურობის, არსებითად, ასამაღ-ლებლად. ПІС მოწოდებულია უზრუნველყოს მთელი საწარ-

მომ პროცესის კომპლექსური ავტომატიზაცია, მნიშვნელოვნად აამაღლოს შრომის ნაყოფიერება და წარმოებული პროდუქციის ხარისხი. სტრუქტურულად გრად წარმოადგენს სამდონიან იერარქიულ სისტემას. ქვედა დონეზე ხორციელდება უმარტივესი ტექნოლოგიური ოპერაციების ავტომატიზაცია რობოტებისა და მანიპულიატორების გამოყენებით, რომლებიც ასრულებენ შედუღებას, ჭრას, საჩარხო დამუშავებას და ა.შ. ავტომატიზაცია ამ დონეზე ეყრდნობა მიკროეგზ და მიკროპროცესორების დახმარებით რობოტიზებული კომპლექსების მართვას.

მეორე დონეზე ხორციელდება ნაკეთობების დამუშავების, ხარისხის კონტროლის, სატრანსპორტო-დასაგროვებელი სისტემების მოდულების მუშაობის კოორდინაცია. მეორე დონეზე მართვა სრულდება ავტომატიზებული დისპეტჩერის რეჟიმში ცენტრალური ეგმ-ის მიერ კოორდინებული ტექნიკურ-ეკონომიკური ინფორმაციის დამუშავების ტერმინალური სადგურების ბაზაზე.

მოქნილი საწარმოო სისტემების მესამე დონეზე ხორციელდება ოპერატიულ-საწარმოო მართვა, რომელიც რეალიზაციას უკეთებს საკირაო და ცვლური სადღეებამისო დაგეგმვის, აღრიცხვისა და კონტროლის ფუნქციებს. მართვის მესამე დონის საფუძველს შეადგენენ მინი-ეგმ-ის ბაზაზე წარმოების ტექნოლოგიური მომზადების ავტომატიზებული სისტემები, რომლებიც ქმნიან ცენტრალურ ეგმ-თან დაკავშირებულ ერთიან მართვით-გამომთვლელ კომპლექსს.

საწარმოო პროცესების ავტომატიკისა და ავტომატიზაციის სისტემები მოწოდებულია მომცველი გარემოს დაცვის საქმეში მნიშვნელოვანი როლის შესასრულებლად. ეკოლოგიის პრობლემების გადაწყვეტის მირითად მიმართულებას წარმოადგენს უნარების და მცირენარჩენიანი ტექნოლოგიების შექმნა და სამშენებლო წარმოებაში დანერგვა.

მშენებლობაში შეიძლება ავტომატიზებულ იქნეს შემდეგი სამშენებლო მანქანა-მექანიზმები და მშენებლობის ტექნოლოგიური პროცესები: 1) კოშკური და ხიდური ამწევები (ელექტროძრავების გაშვება, გაჩერება და რევერსირება; მექანიზმების სიჩქარის რეგულირება; მექანიზმების დაცვა ავარიებისა და გადატვირთვების შემთხვევებში; ტელეხედვის დანერგვა ამწევების მართვის საქმეში; ტვირთამწეობის შეზ-

ღუდვა, ძვრა საწინადო სატაცების ჩართვა; მექანიზმების პროგრამული მართვა; ამწევების დისტანციური მართვა; 2) უწყვეტი ტრანსპორტის მანქანები (ელექტროძრავების მართვა; ტვირთნაკადების მიმართულების ავტომატური შეცვლა; კონვეიერის ლენტის მდებარეობის და მთლიანობის კონტროლი; კონვეიერის ლენტზე მასალის არსებობის კონტროლი; მართვის ავტომატიზაცია); 3) ტელფერები, კაბელამწევები და საჰაერო-საბაგირო გზები, ლიფტები; 4) ერთხამჩიანი და ორტორული ექსკავატორები, სკრეპერები, ბულდოზერები, აგროგრეიდერები (გრუნტის დამუშავების სიღრმის ავტომატური კონტროლი; თხრილის გაჭრისას ქანობის ავტომატური რეგულირება; მწარმოებლურობისა და გზის პროფილის ავტომატური რეგულირება); 5) პნევმოტუბმბორები და საკომპრესორო დანადგარები; 6) ჰიდრომონიტორები, მიწასაწოვები და მიწასაწოვი დანადგარ-იარადები; 7) ქვა-სამსხვრევი მანქანები (მექანიზმებისა და კვანძების დაცვა გადატვირთვისა და გადამეტხურებისაგან; დაცვა ლითონის ჩანართების მოხვედრისაგან; შეზეთვის ავტომატიზაცია; მუშაობის მართვის ავტომატიზაცია; მწარმოებლურობის ავტომატური რეგულირება; ვიბროცხავების მუშაობის მართვის ავტომატიზაცია); 8) მშენებლობის დისკეტჩერული მართვა; 9) სხვადასხვა მექანიზმებისა და მანქანების მუშაობის ალოცხვა მწარმოებლურობის ავტომატური ალმრიცხველების საშუალებით; 10) სამონტაჟო სამუშაოები (საპროექტო მდგრადებაში დასამონტაჟებელი ელემენტების ავტომატურად დაყენება; ავტომატური ტვირთსაჭრების გამოყენება; ამწევავტომატის მართვა მსხვილპანელოვანი შენობის მონტაჟის დროს); 11) მოსაპირკეთებელი სამუშაოები; 12) აწონგისა და დოზირების პროცესები; 13) სითბური პროცესები (საშრობი დოლის სითბური რეჟიმის ავტომატური რეგულირება; თბოტენიანობითი დამუშავების პროცესის ავტომატიზაცია; ხვიმირებში, შტაბელებში და თბოტენიანობითი დამუშავების პროცესში ტემპერატურული რეჟიმის ავტომატური რეგულირება; არმატურის ელექტრო-თერმული დაჭიმვის პროცესის ავტომატური მართვა; ბეტონის ელექტროგასურების ავტომატიზაცია; ავტოკლავებში ტემპერატურის პროგრამული რეგულირება); 14) სასაწყობო ოპერაციები, ბეტონებისა და დუღაბების მომზადების პროცესები (არევის პროცესის ავ-

ტომატიზაცია; შესაღები შედგენილობების მომზადების ავტომატიზაცია; შემაგრებლებისა და ცემენტის საწყობების მუშაობის ავტომატიზაცია); 15) ლამის მოცულობითი მასის რეგულირება; 16) წისქვილების ჩატვირთვის პროცესები; 17) სიმინჯების ჩასობის პროცესები; 18) ასაწყობი რკინა-ბეტონის ნაკეთობათა წარმოების პროცესები (ნაკეთობათა ხაზოვანი ზომების ავტომატური კონტროლი; არმატურის წინასწარი დაძაბვის ავტომატიზაცია, არამრღვევი მეთო-დებით ბეტონისა და რკინაბეტონის ნაკეთობათა ხარისხის კონტროლის აგტომატიზაცია; ბეტონის ნარევის ვიბროშემ-კვრივების ავტომატიზაცია; რკინაბეტონის ნაკეთობაში არ-მატურის ადგილ-სამყოფელის განსაზღვრა); 19) მანქანებისა და აგრეგატების კომპლექსის, საამქროების, ტექნოლოგიური ხაზებისა და ქარხნების მართვა საანგარიშო-გამომთვლელი მოწყობილობების გამოყენებით; 20) მშენებლობაში საან-გარიშო სამუშაოების და ტექნოლოგიური პროცესების ავტომატიზაციის ეკონომიკური ეფექტურობა (თუ გავითვალისწინებთ, რომ ყოფილ საბჭოთა კავშირში მშენებლები შეადგენდნენ რამდენიმე მილიონ კაცს, ხოლო აქედან დაახლოებით 3 მილიონი ემსახურებოდა აღრიცხვისა და დოკუმენტების გაფორმებას, ცხადია, სხვადასხვა ავტომა-ტური გამოსათვლელი მანქანების დანერგვის შედეგად მიღებული ეკონომიკური ეფექტი შეადგენს მნიშვნელოვან სიღიდეს თვით ჩვენი ქვეყნისთვისაც კი).

მშენებლობის ავტომატიზაციის პერსპექტიული განვი-თარებისათვის აუცილებელია ფართოდ დაინერგოს მშენე-ბლობის პრაქტიკაში სამეცნიერო-კვლევით და სასწავლო ინსტიტუტებში, საპროექტო და საკონსტრუქტორო ორგანი-ზაციებში დამუშავებული ახალი ხელსაწყოები, მანქანები, ავტომატიზაციის საშუალებანი და ავტომატიზებული ქარხ-ნები; კერძოდ, განხორციელდეს: კოშკურა ამწევების დისტან-ციური მართვა ტელემექანიკისა და რადიოელექტრონიკის საშუალებათა გამოყენებით; სადისპეტჩერო პუნქტის ორ-მხრივი რადიოკავშირი სამშენებლო-სამონტაჟო მოედანზე მომუშავე ამწევებთან, ექსკავატორებთან, ბულდოზერებთან და სხვა სამშენებლო მანქანებთან; ერთჩამჩიანი ექსკავა-ტორის სამუშაო ციკლის ავტომატიზაცია; სახლმშენებელ კომპინატებთან ერთად აიგოს ბეტონის ქარხანა-ავტომატები

60გ<sup>3</sup>/სთ მწარმოებლურობით და დუდაბის დამამზადებელი ავტომატიზებული კვანძები 18-20 გ<sup>3</sup>/სთ მწარმოებლურობით, რომლებიც გამოირჩევა მაღალი ტექნიკურ-ეკონომიკური ეფექტურობით.

ამჟამად მუშავდება (დამუშავებულია) და უახლოეს პერიოდში სამშენებლო პრაქტიკაში დაინერგება (ინერგება):

1. როტორული ექსკავატორების, სკრეპერებისა და ბულდოზერების მოძრაობის სიჩქარის ავტომატური რეგულირება გრუნტის ჭრის წინადობის გათვალისწინებით, აგრეთვე, ამ მანქანების პროგრამული მართვა.

2. ხიმინჯის ჩასახობი მოწყობილობის მუშაობის რეჟიმის ავტომატური რეგულირების სისტემები.

3. ერთხამჩიანი ექსკავატორების ნაწილობრივი პროგრამული მართვა და ღილაკური მართვის სისტემები.

4. კოშკურა ამწების მიერ შესრულებულ სამუშაოთა და ტვირთის მასის, ექსკავატორების მიერ დამუშავებული გრუნტის რაოდენობის ავტომატური აღმრიცხველები, ციპლების რიცხვის, მუშაობის სუფთა დროის, ელექტროენერგიისა და საწვავის ხარჯის მრიცხველები.

5. მიწისქვეშა კაბელების, მილგაფვანილობისა და გაზგაფვანილობის ადგილ-სამყოფელის ავტომატურად განმსაზღვრელი მოწყობილობა, შესაბამისი სიგნალიზაციით.

6. სამშენებლო მანქანები ავტომატური კონტროლითა და მართვით – სამღებრო, შელესვისა და სხვა სამშენებლო პროცესების შესასრულებლად.

7. სამსხვრევ-დამსარისხებული წარმოება ავტომატიზებული ტექნოლოგიური პროცესით.

8. შემავსებლების და ცემენტის ავტომატიზებული საწყობები.

9. მთლიანად ავტომატიზებული ასფალტბეტონის ქარხები, პროგრამული რეგულირებით.

ჩამოთვლილი მანქანებისა და სამშენებლო პროცესების ავტომატიზაცია დაკავშირებულია დიდ ხარჯებთან, მაგრამ ავტომატიზაციის ეკონომიკური ეფექტურობის გამო, ამ ხარჯების ანაზღაურება განხორციელდება (ხორციელდება) მოკლე დროში.

12. ცხრილში მოცემულია პროცესების ავტომატიზაციის დონისძიებებზე კაპიტალდაბანდებათა გამოსყიდვის სავა-

რაუდო ვადები, ხოლო პირველი თავის მე-3 პარაგრაფში – წარმოების პროცესების ავტომატიზაციის ეკონომიკური ეფექტურობის განსაზღვრის მაგალითები.

### ცხრილი 1.2 პროცესთა ავტომატიზაციის ღონისძიებებზე კაპდაბანდებათა გამოს- ყიდვის გადები

Nº რიგზე	მოწყობილობის ავტომატიზაციის ხარისხი	გამოსყიდვის გაქსიველური ულებელი ვადა	გვექმნილი გაქსიველური პრეფერენცია
1.	წარმოების ნაწილობრივი ავტომატიზაცია მარტივი სახის მოწყობილობის დანერგვით, ხელსაწყოების დაყენებით მოქმედ აგრე- გატებზე	1–1.5	1.0–0.65
2.	ცალკეული ოპერაციისა და პროცესის ავ- ტომატიზაცია, მოწყობილობის ნაწილობ- რივი შეცვლა და მოდერნიზაცია	2–3	0.5–0.35
3.	კომპლექსურად მექანიზებული და ავტომა- ტიზებული პროცესები, ავტომატური ხაზე- ბისა და საამქროების შექმნა (ტექნოლო- გიური სქემის შეუცვლელად)	4–5	0.25–0.2
4.	საწარმოო პროცესების კომპლექსური მექანიზაცია და ავტომატიზაცია, უბის საამქროს და წარმოების ფარგლებში, ტექნოლოგიური სქემის შეცვლითა და ახა- ლი მოწყობილობა-დანადგარების გამო- ყენებით	6	0.16–0.17
<b>შენიშვნა:</b> ეფექტურობის კოეფიციენტი განისაზღვრება, როგორც თვით- დირებულებაზე ყოველწლიური ეკონომიკის შეფარდება დამატებით კაპდა- ბანდებებთან და წარმოადგენს გამოსყიდვის ვადის შებრუნებულ სიდიდეს.			

## §2. წარმოების პროცესების ავტომატიზაციის ტექნიკურ-ეკონომიკური უფეხურობა და მისი გაანგარიშების მეთოდი

წარმოების პროცესების ავტომატიზაცია განაპირობებს შრომის ნაყოფიერების მნიშვნელოვნად ამაღლებას, პროდუქციის გამოშვების ზრდას და მისი ხარისხის გაუმჯობესებას; უზრუნველყოფს მოწყობილობა-დანადგარების მუშაობის სამედოობას; შრომის პირობების გაუმჯობესებას და მუშების კულტურულ-ტექნიკური დონის ამაღლებას.

ავტომატიზაციის ტექნიკურ-ეკონომიკური ეფექტურობის დასადგენად შეიძლება გამოყენებულ იქნეს შემდეგი ძირითადი მაჩვენებლები:

1. ავტომატიზაციაზე დაბანდებული კაპიტალური დანახარჯების ანაზღაურების ვადა და მასთან დაკავშირებული ეფექტურობის კოეფიციენტი;

2. ავტომატიზაციისათვის საჭირო კაპიტალური დანახარჯები;

3. შრომის ნაყოფიერება (პროდუქციის გამომუშავება ერთ მომუშავეზე);

4. მომსახურე პერსონალის რაოდენობის შემცირება;

5. პროდუქციის ერთეულის თვითდირებულება;

6. ნედლეულისა და მასალების ხარჯი პროდუქციის ერთეულზე;

7. ელექტრო ენერგიის და სათბობის ხარჯი პროდუქციის ერთეულზე;

8. საწარმოო სათავსის  $1 \text{ მ}^2$  ფართობიდან მიღებული პროდუქციის რაოდენობა:

9. პროდუქციის გაუმჯობესების ხარისხი (სიმტკიცის, სანგამდლების ამაღლება და ა.შ.);

10. შრომის პირობების გაუმჯობესების ხარისხი;

11. ობიექტის მშენებლობის ხანგრძლივობა ან სამშენებლო-სამონტაჟო სამუშაოთა განსაზღვრული კომპლექსის შესრულების ხანგრძლივობა;

12. სამშენებლო-სამონტაჟო სამუშაოთა თვითდირებულება და საქსპლოატაციო დანახარჯები შენობებზე, ნაგებობებზე ან ცალკეულ კონსტრუქციულ ელემენტებზე და სხვ.

სამშენებლო-სამონტაჟო სამუშაოთა თვითდირებულება შედგება პირდაპირი და ზედნადები ხარჯებისაგან.

პირდაპირი ხარჯები მოიცავს: მუშების ძირითად ხელფასს; მასალებზე ხარჯებს და მანქანებისა და მექანიზმების ექსპლოატაციის ხარჯებს.

ზედნადებ ხარჯებს მიეკუთვნება: ადმინისტრაციულ-სამეურნეო ხარჯები, სამუშაოთა ორგანიზაციისა და წარმოების ხარჯები, მათ შორის მცირე ღირებულების და სწრაფცვეთად იარაღებზე, ხანძარსაწინააღმდეგო და საგუშავო დაცვაზე, საპროექტო ჯგუფების შენახვასა და ა.შ.; მუშების კულტურულ-სამეურნეო მომსახურების და შრომის დაცვის ხარჯები.

საექსპლოატაციო ხარჯები ითვალისწინებს საამორტიზაციო ანარიცხებს აღდგენასა და კაპიტალურ რემონტზე, მიმდინარე შეკეთების ხარჯებს, ხარჯებს გათბობაზე, ლიფტების ექსპლოატაციასა და სხვ.

სამშენებლო ორგანიზაციების ძირითადი საწარმოო ფონდები მოიცავს: სამშენებლო-სამონტაჟო სამუშაოთა შესრულებაში მონაწილე სამშენებლო მანქანებსა და მექანიზმებს, სატრანსპორტო საშუალებებს, საწარმოო შენობებსა და ნაგებობებს, დამხმარე საწარმოებში გამოყენებულ ძალოვან საწარმოო მოწყობილობებს, (მაგალითად, გადასაადგილებელ ელექტროსალგერებს, კომპრესორებს, დიზელებს, ორთქლის ქვაბებს და სხვ.).

საბრუნავი ფონდების შემადგენლობაში გაითვალისწინება ძირითადი მასალების, კონსტრუქციების, დეტალების მარაგი; დამხმარე მასალებისა და სათბობის მარაგი; დაუმთავრებელი წარმოება სამშენებლო-სამონტაჟო სამუშაოების მიხედვით და ა.შ.

შრომატევადობა სამშენებლო წარმოებაში, წარმოების მექანიზაციის და ავტომატიზაციის ეფექტურობის გაანგარიშებისას, განისაზღვრება შრომის დანახარჯებით ნატურალურ კაც-დღეებში მანქანებისა და მექანიზმების უშუალო მომსახურე მუშების, დამხმარე სამუშაოებზე, მიმდინარე რემონტზე დაკავებული მუშების ჩათვლით. შესაბამისი მონაცემები განისაზღვრება მანქანა-ცვლების საგეგმო კალკულაციებით გამომუშავების მოქმედი ერთიანი ნორმების საფუძველზე.

თვითდირებულებისა და კაპიტალური დანახარჯების მაჩვენებლებით განსხვავებული ახალი ტექნიკის ვარიანტე-

ბის შედარება წარმოებს ანაზღაურების ვადების გათვალისწინებით.

დამატებითი კაპიტალური დაბანდების ანაზღაურების ვადა განისაზღვრება ფორმულით

$$T = \frac{K_2 - K_1}{C_1 - C_2} \leq T_{\text{ნორმ}}, \quad (1.1)$$

სადაც

Т არის გამოსყიდვის ვადა, წლებში;

$K_1$  და  $K_2$  – კაპდაბანდებები ეტალონისა და ახალი ტექნიკის მიხედვით, ან კაპდაბანდებები შესადარებელი ვარიანტების მიხედვით, მან.;

$C_1$  და  $C_2$  – სამუშაოთა წლიური მოცულობის თვითდირებულება ეტალონისა და ახალი ტექნიკის მიხედვით ან თვითდირებულებები შესადარებელი ვარიანტების მიხედვით, მან./წელ.

ეფექტურობის კოეფიციენტი (გამოსყიდვის ვადის შებრუნებული სიდიდე) განისაზღვრება თვითდირებულებაზე ეკონომიის შეფარდებით დამატებით კაპიტალურ დაბანდებებთან.

$$E = \frac{1}{T} = \frac{C_1 - C_2}{K_2 - K_1} \geq E_{\text{ნორმ}}. \quad (1.2)$$

$T_{\text{ნორმ}}$  და  $E_{\text{ნორმ}}$  გამოსყიდვის ვადის და ეფექტურობის კოეფიციენტის ნორმატიული სიდიდეებია.

თუ გამოსყიდვის ვადა ნორმატიულზე ნაკლებია  $T < T_{\text{ნორმ}}$  (ეფექტურობის კოეფიციენტი ნორმატიულზე მეტია  $E > E_{\text{ნორმ}}$ ), ეკონომიკური თვალსაზრისით უფრო ეფექტურია შედარებით მცირე თვითდირებულების ვარიანტი. თუ  $T > T_{\text{ნორმ}}$  (ანუ  $E < E_{\text{ნორმ}}$ ), ეკონომიკურად ეფექტურია ვარიანტი, რომელიც ხასიათდება დაბალი კაპიტალური დაბანდებით.

დარგობრივი ინსტრუქციის თანახმად, მშენებლობაში ეფექტურობის ნორმატიული კოეფიციენტის მნიშვნელობა მი-იღება  $E_{\text{ნორმ}}=0,12$ ; შესაბამისად, გამოსყიდვის ვადა შეადგენს  $T_{\text{ნორმ}}=8,33$  წელს.

ეკონომიკური ეფექტურობის ანგარიშისათვის გამოიყენება დაყვანილი ხარჯების მაჩვენებელი, რომელიც განისაზღვრება ფორმულით

$$\Pi = C + E_{\text{ნორმ}} K, \quad (1.3)$$

### სადაც

П аრის დაყვანილი ხარჯები;

С – პროდუქციის ერთეულის თვითფირებულება;

К – ხვედრითი კაპიტალური დანახარჯები (ფონდევა-დობა), ე.ი. პროდუქციის წლიური გამოშვების ერთეულზე კაპიტალური დანახარჯის სიდიდე.

წლიური ეკონომიკური ეფექტი ე განისაზღვრება დასან-ერგავი ახალი ტექნიკისა და ეტალონის დაყვანილი ხარჯე-ბის სხვაობის ნამრავლით წარმოებული პროდუქციის (A) წლიურ მოცულობაზე ან სამუშაოზე ღონისძიების (ახალი ტექნიკის) დანერგვის შემდეგ, ნატურალურ ერთეულებში:

$$\Theta = A(\Pi_1 - \Pi_2) = A(C_1 + E_{\text{ნორმ}} K_1 - C_2 - E_{\text{ნორმ}} K_2), \quad (1.4)$$

$$\Theta = A[(C_1 - C_2) - E_{\text{ნორმ}}(K_2 - K_1)]. \quad (1.5)$$

აქ  $C_1$ ,  $C_2$  პროდუქციის ან სამუშაოს ერთეულის თვითფირებულებაა ღონისძიების დანერგვამდე და დან-ერგვის შემდეგ ანდა შესადარებელ ვარიანტებში, მან;

$K_1$ ,  $K_2$  – ხვედრითი კაპიტანოდებები პროდუქციის ან სამუშაოს ერთეულზე ღონისძიების დანერგვამდე და დანერ-გვის შემდეგ, შესადარებელ ვარიანტებში, მან.

მოქმედი მანქანის ავტომატიზაციის შემთხვევაში, როდე-საც ახალი კაპიტანოდება ემატება უკვე არსებულ ფონდებს, და როდესაც საჭირო არ არის მოქმედი მანქანის მაჩვენე-ბლების განსაზღვრა ახალი მოცულობების შესაბამისად, წლიური ეკონომიკური ეფექტისათვის გვექნება

$$\Theta = [(C_1 - C_2) - E_{\text{ნორმ}} \cdot K_{\text{დ.შ}}] \cdot A, \quad (1.6)$$

სადაც  $K_{\text{დ.შ}}$  არის კაპიტალური დანახარჯები ავტომატიზა-ციის საშუალებებზე დანერგვის შემდეგ სამუშაოთა ერთე-ულზე (ან პროდუქციის წლიური გამოშვების ერთეულზე).

შეიძლება ვისარგებლოთ, აგრეთვე, ფორმულით:

$$\Theta = (C_1 - C_2) - E_{\text{ნორმ}} \cdot K'_{\text{დ.შ}}, \quad (1.7)$$

აქ  $K'_{\text{დ.შ}}$  არის სრული კაპიტალური დანახარჯების სიდიდე ავტომატიზაციის საშუალებებზე.

იმ შემთხვევაში, როდესაც ავტომატიზაციის განხორ-ციებება ამცირებს მშენებლობის ხანგრძლივობას, დამატე-ბით გაითვალისწინება დროის ფაქტორის გავლენის შედე-გად მიღებული ეკონომიკური ეფექტი. მაგალითად, საწარ-

მომ ობიექტების ამოქმედების დაჩქარებით მიღწეული ეფექტი, რომელიც დაკავშირებულია დამატებითი პროდუქციის გამოშვებასთან აშენებულ ან რეკონსტრუირებულ საწარმოში, განისაზღვრება ფორმულით

$$\Theta = E_{\text{ნორმ.}} \phi(T - T_{\text{ფაქ}}), \quad (1.8)$$

სადაც

$E_{\text{ნორმ.}}$  არის ეფექტურობის ნორმატიული კოეფიციენტი დარგისათვის, რომელსაც მიეკუთვნება აშენებული საწარმო;

$\Phi$  – მოქმედებაში შეყვანილი ძირითადი ფონდების სახარჯთაღრიცხვო ღირებულება;

$T$  – მშენებლობის ნორმატიული ხანგრძლივობა ან ანალოგიური ობიექტების მშენებლობის ფაქტიური ხანგრძლივობა, თუ იგი ნორმატიულზე ნაკლებია, წლებში;

$T_{\text{ფაქ}}.$  – მშენებლობის ფაქტიური ხანგრძლივობა, წლებში.

ამავე ფორმულით შეიძლება ვისარგებლოთ მოწყობილობის, მანქანების, აგრეგატების და სხვათა კაპიტალური რემონტის ან მოდერნიზაციის ვადების შემცირების დროს, თუ ამის შედეგად ძირითადი ფონდების მუშაობის პერიოდი იზრდება ამოსავალ დონესთან შედარებით.

### §3. ფარმოების პროცესების ავტომატიზაციის ეკონომიკური ეფექტურობის ბანსაზღვრის მაგალითები

**მაგალითი.** მოდულირებული სინაოლის სხივის საშუალებით მიწისმთხოველი მანქანის სამუშაო ორგანოს დისტანციური მართვის ავტომატური მოწყობილობის დანერგვით მიღწეული ეკონომიკური ეფექტურობის განსაზღვრა შემდგენი მონაცემების მიხედვით: მანქანის მწარმოებლურობა ცვლაში  $350 \text{ მ}^3$ ; სამუშაო ცვლების რიცხვი წლის განმავლობაში  $480$ ; მიწისმთხოველი მანქანით (ავტომატური მოწყობილობის გარეშე)  $1 \text{ მ}^3$  გრუნტის დამუშავების ღირებულება –  $0,0796$  მან.; ავტომატური მოწყობილობიანი მანქანით დამუშავებისას –  $0,07207$  მან.; ერთი გრძივი მეტრის საკონტროლო ნიველირების ღირებულება –  $0,00753$  მან.; მანქანის ღირებულება ავტომატური მოწყობილობის გარეშე –  $5400$  მან.; ავტომატური მოწყობილობის მიწისმთხოველი მოწყობილობის მიწისმთხოველი –  $9560$  მან. (ავტომატური მოწყობილობის

საექსპლოატაციო ღირებულება შედგება პროჟექტორის, შტატივის, აკუმულატორის, მიმღები მოწყობილობის, გამაძლიერებლის და მათი მონტაჟის ღირებულებათა ჯამისაბან); მანქანის მწარმოებლურობა წლის განმავლობაში 185000 მ<sup>3</sup>; ეკონომიკური ეფექტურობის ნორმატიული დარგობრივი კოეფიციენტი ენორტ=0,12.

შევნიშნავთ, რომ მართვის ავტომატური მოწყობილობის დანერგვა მიწისმთხრელ მანქანაზე მნიშვნელოვნად ამაღლებს შესრულებულ სამუშაოთა ხარისხს, გამორიცხავს შემდგომი დამუშავების აუცილებლობას, ამცირებს სამუშაოების თვითდირებულებას. განხილული მაგალითის შემთხვევაში მართვის ავტომატური მოწყობილობის გამოყენების გამო ადარ არის საჭირო საკონტროლო ნიველირების შესრულება და სხვ.

ეკონომიკური ეფექტის სიდიდე

$$\Theta = A[(C_1 - C_2) - E_{\text{ნორტ}}(K_2 - K_1)],$$

სადაც

$A=350\cdot480=168000 \text{ მ}^2$  სამუშაოთა წლიური მოცულობაა ერთ მანქანაზე ავტომატური მოწყობილობით;

$C_1=0.0796$  მან/მ<sup>3</sup> და  $C_2=0.07207$  მან/მ<sup>3</sup> – სამუშაოს ერთეულის ღირებულებაა მანქანით, ავტომატური მოწყობილობის გარეშე და ავტომატური მოწყობილობით;

$$K_1 = \frac{5400}{185000} = 0.0291 \frac{\text{მან}}{\text{მ}^3} \quad \text{და} \quad K_2 = \frac{9560}{185000} = 0.0516 \frac{\text{მან}}{\text{მ}^3} -$$

ხვედრითი კაპდაბანდებებია პროდუქციის ერთეულზე მანქანის ავტომატური მოწყობილობით აღჭურვამდე და აღჭურვის შემდეგ.

ამრიგად, ეკონომიკური ეფექტის მნიშვნელობა იქნება

$$\Theta = A[(C_1 - C_2) - E_{\text{ნორტ}}(K_2 - K_1)] = 168000[(0.0796 -$$

$$- 0.07207) - 0.12(0.0516 - 0.0291)] = 811.44 \text{მან.}$$

**მაგალითი.** განისაზღვროს ეკონომიკური ეფექტის სიდიდე, მიღებული 250 000 კვტ სიმძლავრის ელექტროსადგურის მშენებლობის ხანგრძლივობის შემცირებით 3 წლიდან 2,6 წლამდე. ელექტროსადგურის სახარჯთაღრიცხვო ღირებულება შეადგენს 20 მილიონ მანეთს. მშენებლობის ხანგრძლივობის შემცირება მიღწეულია მშენებლობის ნა-

კადური მეთოდების დანერგვით. ეკონომიკური ეფექტურობის ნორმატიული დარგობრივი კოეფიციენტი  $E_{ნორმ}=0.1$ .

ეკონომიკური ეფექტის სიდიდე –

$$\Theta = E_{ნორმ} \cdot \phi(T - T_{ფაქტ}) = 0.1 \cdot 20000(3 - 2.6) = 800\text{ათას მან.}$$

#### §4. სამშენებლო პროცესების დახასიათება

სამშენებლო პროცესი წარმოადგენს საწარმოო პროცესის ერთ-ერთ სახეს. საწარმოო პროცესი ეწოდება შრომის პროცესს, რომელშიც ადამიანი შრომის იარაღებით ახდენს ზემოქმედებას შრომის საგანზე (ნედლეული, მასალა, ნახევარფაბრიკატი) და გადააქცევს მას მზა პროდუქტებიდ. თითოეული საწარმოო პროცესი შედგება საწარმოო ოპერაციებისაგან. საწარმოო ოპერაცია ეწოდება საწარმოო პროცესის ნაწილს, რომელიც ხასიათდება სამუშაოთა ტექნოლოგიური ერთგვაროვნებით და ორგანიზაციული განუყოფლობით, შემსრულებელთა მუდმივი შემადგენლობით, შრომის იარაღებისა და საგნების უცვლელობით. საწარმოო ოპერაციები შეიძლება მიმდინარეობდეს ერთდროულად, ე.ი. პარალელურად; ერთმანეთის მიყოლებით, ე.ი. თანმიმდევრულად და პარალელურ-თანმიმდევრულად.

მაგალითად, რკინაბეტონის ნაკეთობის დამზადებისას სრულდება შემდეგი ძირითადი საწარმოო ოპერაციები:

1. ბეტონის ნარევის დამზადება;
2. არმატურის წინასწარი დაძაბვა და შედუღება (კარგასი, ბადე და სხვ);
3. ბეტონის ნარევის ჩალაგება ყალიბებში და ვიბრირება;
4. ბეტონის გამკვრივების დაჩქარება;
5. განყალიბება და ნაკეთობის დაყვანა საპროექტო მდგომარეობამდე.

ჩამოთვლილ საწარმოო ოპერაციებში ერთდროულია ბეტონის ნარევისა და არმატურის დამზადება, ხოლო თანმიმდევრულია ნარევის ჩალაგება ყალიბებში და მისი გამკვრივების დაჩქარება. რკინაბეტონის ნაკეთობის წარმოების პროცესი მთლიანად განეკუთვნება პარალელურ, თანმიმდევრულ ოპერაციებს.

ნებისმიერი საწარმოო პროცესი შედგება სამი ნაწილისაგან: 1) მარტივი სამუშაო პროცესები; 2) მართვის ოპერაციები და 3) კონტროლის ოპერაციები.

მარტივი სამუშაო პროცესები, ჩვეულებრივ, შედგება:

- ა) საკუთრივ სამუშაო პროცესებისაგან;
- ბ) საყენებელი პროცესებისაგან;
- გ) სატრანსპორტო პროცესებისაგან;
- დ) მომსახურების ოპერაციებისაგან;

მართვის ოპერაცია იყოფა ორ ეტაპად:

- ა) პროცესის ნორმალური მართვა;
- ბ) გამმართველი მართვა.

კონტროლის ოპერაცია მოიცავს:

- ა) საკუთრივ კონტროლს;
- ბ) დაცვის ოპერაციას.

სწორი მართვის საფუძველს წარმოადგენს კონტროლი, ხოლო კონტროლის საფუძველს – ზუსტი ინფორმაციის მიღება. მაშასადამე, კონტროლი და მართვა ურთიერთდაკავშირებულია. პროცესის მართვა დამოკიდებულია მის კონტროლზე.

## §5. საწარმოო პროცესების აგზომაჟიზაციის მირითადი პრინციპები და შინაარსი

არჩევენ ავტომატიზაციის შემდეგ სახეებს:

1. ავტომატურ კონტროლს;
2. ელექტროამძრავების ავტომატურ მართვასა და მათ დაცვას;
3. ავტომატურ რეგულირებას;
4. სამშენებლო პროცესების ავტომატურ მართვას.

**ავტომატური კონტროლი.** მუშაობის პროცესში, მაგალითად, რკინაბეტონის კონსტრუქციების დამზადებისას ავტომატიზებულ ქარხანაში, საჭიროა სხვადასხვა სიდიდეების კონტროლი, რაც მჭიდროდ არის დაკავშირებული ამ სიდიდეების გაზომვასთან. კონტროლის ოპერაციისათვის გამოიყენება გასაზომი ან სპეციალური საკონტროლო ხელსაწყო, რომლის სიზუსტის ხარისხი შეირჩევა გაზომვის სიუსტის მიხედვით.

სიდიდის გაზომვა განსხვავდება სიდიდის კონტროლისაგან. გაზომვისას ჩვენ ვიძლევით პარამეტრის რაოდენობრივ შეფასებას, ხოლო კონტროლის საშუალებით შეიძლება განვსაზღვროთ, იმყოფება თუ არა გასაზომი სიდიდის მნიშვნელობა მოცემულ ფარგლებში.

ასე მაგალითად, ჰაერის წნევის საკონტროლოდ კომპრესორების რესივერებში იყენებენ მანომეტრებს. სამშენებლო ნაკეთობათა წარმოებაში ფართოდ იყენებენ სპეციალურ ხელსაწყოს ორთქლის წნევის რეგულირების, აგრეთვე, რკინიაბეტონისა და ბეტონის ნაკეთობის გაორთქლვის კონტროლისათვის.

ამრიგად, ავტომატიზაციის პროცესების კონტროლის დროს საჭიროა თვალყური ვადგვნოთ პროცესის მსვლელობას; თუ პროცესზე კონტროლი მიმდინარეობს ადამიანის გარეშე, ამ შემთხვევაში კონტროლი ავტომატურია.

ავტომატური კონტროლი შეიძლება განხორციელდეს ერთი ან რამდენიმე ხელსაწყოთი. ხელსაწყოთა ერთობლიობას, რომელთა საშუალებითაც წარმოებს ავტომატური კონტროლის რომელიმე კონკრეტული ამოცანის გადაწყვეტა, ეწოდება ავტომატური კონტროლის სისტემა.

ავტომატური კონტროლის სისტემას გააჩნია შემდეგი ძირითადი ელემენტები:

**1. გარდამსახი.** ამ ელემენტის საშუალებით ერთი სახის ენერგია გარდაიქმნება მეორედ, რომელიც მოსახერხებელია გასაძლიერებლად ან შემსრულებელი ელემენტისათვის გადასაცემად, მაგალითად, არაელექტრული სიდიდე შეიძლება გარდაიქმნას ელექტრულად, როგორც ეს ხდება, მაგალითად, კოშკურა ამწის მოძრაობის ავტომატური გაჩერებისათვის.

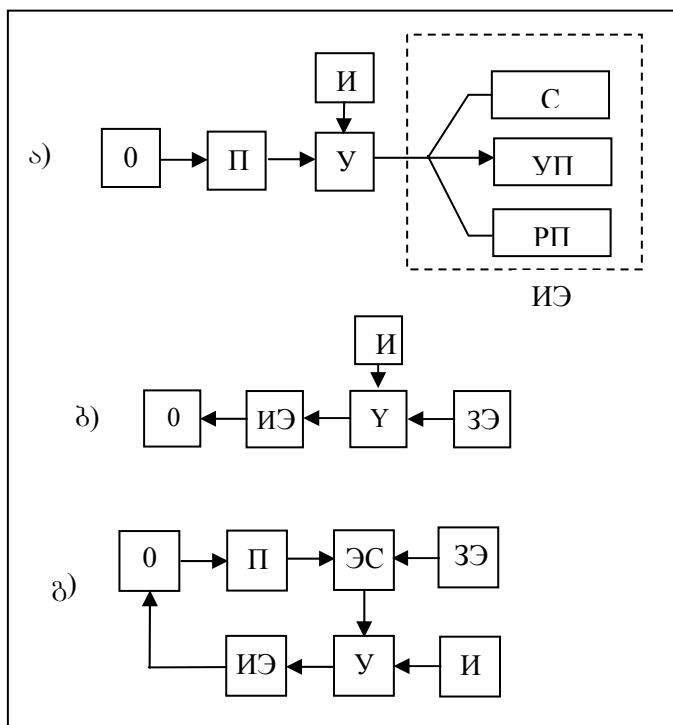
**2. მაძლიერებელი ელემენტი.** ამ მოწყობილობის დანიშნულებაა გააძლიეროს გარდამსახის სუსტი სიგნალი, რომ შესაძლებელი იყოს აამუშაოს შემსრულებელი მოწყობილობა;

**3. შემსრულებელი ელემენტი.** ამ ელემენტით წარმოებს შესაბამისი ოპერაციის შესრულება. ასე მაგალითად, ბეტონსარევის დახრისათვის დისტანციური მართვის დროს გამოიყენება პნევმატური ან ჰიდრავლიკური ცილინდრი; ბეტონის ქარხნებში დოზატორებისათვის გამოიყენება პნევმატური ცილინდრი ელექტროპნევმატური მართვით.

**4. კავშირისა და გადაცემის ელემენტები.** მათი საშუალებით წარმოებს სიგნალების გადაცემა პირველ სამ ელემენტს შორის.

გარდა ზემოაღნიშნულისა, ავტომატური კონტროლის სისტემაში შედის: ენერგიის წყარო, სტაბილიზატორი, კორექტორი, გადამრთველი, ფილტრი.

1.1.ა ნახაზზე მოცემულია ავტომატური კონტროლის ფუნქციური სქემა. სქემაზე პირობითი ნიშნებით აღნიშნულია: 0 – ობიექტი, Π – გარდამსახი, Y – მაძლიერებელი, И – ენერგიის წყარო, ИЭ – შემსრულებელი ელემენტი, С – სიგნალის მომცემი ხელსაწყო, (სიგნალი შეიძლება გამოისახოს სხვადასხვა ფერის ნათურებით, ბერით ან კომბინირებულად), УП – მაჩვენებელი ხელსაწყო (სკალით და ისრით), РП – მარეგისტრირებელი ხელსაწყო.



ნახ1.1. ფუნქციური სქემები: а) ავტომატური კონტროლის, ბ) საწარმოო მექანიზმების ელექტროამძრავების ავტომატური მართვის, გ) ავტომატური რეგულირების

**ელექტროამძრავების ავტომატური მართვა და მათი დაცვა.** ელექტროამძრავის მართვის ამოცანას წარმოადგენს გაშვების პროცესის, დამუხრუჭების, სიჩქარის რეგულირების, ამძრავის ელექტროამძრავების რეგულირების ავტომატიზაცია. ავტომატიზებულ ელექტროამძრავში ადამიანს მოეთხოვება მხოლოდ ჩართოს პირველი სიგნალი, დააჭიროს ხელი დილაკს. ელექტროამძრავის შემდგომი მუშაობა წარმოებს ავტომატურად, მხოლოდ ხელსაწყოების მონაწილეობით.

1.1.ბ ნახაზზე მოცემულია საწარმოო მექანიზმების ელექტროამძრავების ავტომატური მართვის ფუნქციური სქემა. პირობითი ნიშნები: Օ, უ, И, განმარტებულია ზევით. 3Э – მმართველი (დამკვირვებელი). ავტომატური დაცვა განკუთვნილია წარმოების საიმედო და უსაფრთხო მუშაობის უზრუნველსაყოფად. ელექტრული დამცველი ხელსაწყოები (როგორიცაა დამცველები, მაქსიმალური დენის რელე, თბური რელე, ძაბვის რელე) მაღალი დენისა და ძაბვისაგან იცავენ დანადგარებს.

ავტომატური დაცვა დაბალი ძაბვისაგან წარმოებს შემდეგი ხელსაწყოებით: ძაბვის რელეთი, კონტაქტორებითა და მაგნიტური გამშვებებით. განმეორებითი ჩართვისაგან დაცვა ხორციელდება კონტაქტორებითა და მაგნიტური გამშვებებით.

ავტომატურ მცველებს განეკუთვნება, აგრეთვე, დამცველი სარქველები, რომელთა საშუალებით ზედმეტი ჰაერი გადის ატმოსფეროში (როდესაც ქვაბული წევა გადამეტებულია), მაქსიმალური სიჩქარის რელე, - გამორთავს დანადგარს, თუ სიჩქარე გადააჭარბებს მაქსიმალურ მნიშვნელობას.

ავტომატურ დაცვას იყენებენ ისეთ დანადგარებშიც, რომლებშიც წარმოებს ტემპერატურის, მექანიკური დატვირთვისა და სხვა განუწყვეტელი კონტროლი. მაგალითად, თუ საკისრებული ტემპერატურა აღემატება დასაშვებს, მანქანა ავტომატურად გამოირთვება ან სიგნალის – ნათურის განათებით მემანქანე შეიტყობს მანქანის გამორთვის საჭიროებას.

**ავტომატური რეგულირება.** ავტომატური რეგულირება ეწოდება ნებისმიერი ფიზიკური სიდიდის გარკვეული მნიშვნელობების ავტომატურად შენარჩუნების პროცესს წინასწარ დადგენილ პირობებში. იგი შედგება ავტომატური კონტროლისა და ამძრავის ავტომატური მართვისაგან.

1.1.გ ნახაზზე წარმოდგენილია ავტომატური რეგულირების ფუნქციური სქემა. სარეგულირებელი ობიექტიდან (O) სიგნალი გადაეცემა გარდამსახს (P). აქედან კი შემადარებელ ელემენტზე მიდის სიგნალი მმართველიდან (Z). შემადარებელ ელემენტში პარამეტრის საჭირო მნიშვნელობა შეედარება მის ნამდვილ სიდიდეს. შედარების შედეგად შემდარებელ ელემენტში გამომუშავებული ზემოქმედება მაძლიერებელში (Y) გაძლიერდება და გადაეცემა შემსრულებელ ელემენტს (ИЭ), რომელიც ახდენს ზემოქმედებას პროცესის მარეგულირებელ ორგანოზე, ხოლო, ეს უკანასკნელი – სარეგულირებელ პარამეტრზე.

ავტომატური რეგულირების სისტემები ძირითადად წარმოადგენენ ავტომატური სტაბილიზაციის სისტემებს. ასეთ სისტემებში ფიზიკური სიდიდის მოცემული მნიშვნელობის მუდმივობა უზრუნველყოფილია ავტომატური მოწყობილობით.

არსებულ მანქანებში სტაბილიზებული სიდიდის მიღება წარმოადგენს რთულ ოპერაციას. საილუსტრაციოდ მოვიყვანოთ სიდიდის სტაბილიზაციის რამდენიმე მაგალითი. ვთქვათ, ორთქლის ქვაბში, კომპრესორის რესივერში გარკვეული წნევის ან რკინაბეტონისა და ბეტონის ნაკეთობათა გასაორთქლ კამერებში ტემპერატურის მნიშვნელობის ავტომატური შენარჩუნება.

ზოგიერთ შემთხვევაში საჭიროა სიდიდის რეგულირება დროის მიხედვით მინიმუმიდან მაქსიმუმამდე და პირიქით, მაგალითად, რკინაბეტონისა და ბეტონის კონსტრუქციების უწყვეტ გასაორთქლ კამერებში.

არჩევენ პროგრამული და ოპტიმალური რეგულირების სისტემებს, პროგრამული რეგულირება უზრუნველყოფს სარეგულირებელი სიდიდის ცვალებადობას დროში გარკვეული პროგრამის მიხედვით. ოპტიმალური რეგულირების დროს ავტომატური მოწყობილობა არა მარტო ინარჩუნებს სარეგულირებელი ფიზიკური სიდიდის გარკვეულ მნიშვნელობას, არამედ განსაზღვრავს მის ისეთ სიდიდეს, რომლის დროსაც სარეგულირებელი პროცესის მიმდინარეობა ოპტიმალური იქნება.

1.1ნახაზზე წარმოდგენილი ავტომატიკის სისტემები გულისხმობენ, რომ მანძილი კონტროლისა და რეგულირების ობიექტსა და მართვის პუნქტს შორის, სადაც დაყენებულია მმართ-

ველი (დამკვირვებელი) და ხდება საკონტროლებელი სიდიდის აღწარმოება, შედარებით დიდი არ არის.

თუ ეს მანძილი ხდება ისეთი დიდი, რომ აუცილებელია სპეციალური ტექნიკური საშუალებების გამოყენება მის დასაძლევად, მაშინ ათტომატიკის სისტემები გარდაიქმნება ტელემექანიკის სისტემებად. ტელემექანიკის სისტემები განსხვავდებიან ავტომატიკის სისტემებისაგან იმით, რომ მათში დამატებით ჩართულია კავშირგაბმულობის, მიმღები და გადამცემი არ ხები. გადამცემები მოცემულ სიდიდეს გარდაქმნიან სიდიდე, რომელიც მოსახერხებელია კავშირგაბმულობის არხით გადასაცემად. მიმღების დანიშნულებაა კავშირგაბმულობის არხიდან მიღებული სიდიდის გარდაქმნა სიდიდე, რომელიც მოსახერხებელია შემსრულებელ ან აღმწარმოებელ ორგანოზე ზემოქმედებისათვის. მიმღებებს და გადამცემებს შეუძლიათ ერთდროულად მმართველი ორგანოს ფუნქციის შესრულებაც.

ტელემექანიკის სისტემების გამოყენება, მართვის ერთი ცენტრალური პუნქტიდან მრავალი დაშორებული ობიექტის კონტროლისა და მართვის შესაძლებლობას ქმნის. ამასთან, ობიექტების დიდი რიცხვის მართვა და კონტროლი შესაძლებელია კავშირგაბმულობის ერთი არხის საშუალებით.

**სამშენებლო პროცესის ავტომატური მართვა.** ავტომატური მართვა ეწოდება მმართველი ელემენტის მიერ მიზანდასახული მოქმედებების ორგანიზაციას. მმართველ ელემენტს მიეცემა პროგრამა-მმართველი ზემოქმედება. მმართველი ელემენტიდან სიგნალი მიემართება მაძლიერებლისაკენ, შემდგა შემსრულებელი ელემენტისა და, ბოლოს, ობიექტისაკენ. ავტომატური მართვა შეიძლება იყოს უწყვეტი და დისკრეტული; სამართავი ობიექტების რიცხვის მიხედვით მხოლობითი და მრავლობითი, მართვის პულტის მიმართ სამართავი ობიექტის განლაგების მიხედვით არჩევნ ლოკალურ და დისტანციურ ავტომატურ მართვას. დისტანციური მრავლობითი ავტომატური მართვა ფართოდ გამოიყენება სამშენებლო ობიექტების, ასფალტებელობისა და ცემენტბეტონის ქარხების, ქვასამსხვრევი ბაზებისა და დანადგარების სამართავად.

ავტომატური მართვის მოწყობილობა გამორიცხავს ადამიანის მონაწილეობას ტექნოლოგიური (სამშენებლო) პრო-

ცესის მართვის ოპერაციებში. მისი როლი გამოიხატება საწყისი იმპულსის მოცემაში.

მართვის ელემენტები შედგება საკომანდო მოწყობილობებისა და ავტომატური რეგულირების სისტემებისაგან.

ავტომატური მართვის სრულყოფილ თანამედროვე მოწყობილობას წარმოადგენს გამომთვლელი მანქანა. იგი სხვადასხვა გარდამსახებიდან ღებულობს სამართავი პროცესის მსვლელობის ირგვლივ სათანადო ინფორმაციას. მანქანა დიდი სიჩქარით ახდენს აუცილებელ გამოთვლებს, რომელთა საფუძველზეც გამოიმუშავებს ბრძანებებს (კომანდებს) ტექნოლოგიური (სამშენებლო) პროცესის სამართავად.

## §6. პირობითი გრაფიკული აღნიშვნები ავტომატიკაში

ელექტრული სქემებისა და საწარმოო პროცესების ავტომატიზაციის სქემების გამოხაზვის დროს სარგებლობენ გოსტ-ით დადგენილი პირობითი გრაფიკული აღნიშვნებით.

ელექტრულ სქემებზე ელექტრული მანქანების, აპარატების, ხელსაწყოებისა და მათი შემადგენელი ნაწილების პირობითი გრაფიკული აღნიშვნები გოსტ-ის მიხედვით მოცემულია (ცხრილში 1.3).

ცხრილი 1.3

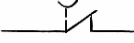
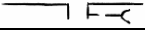
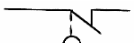
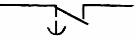
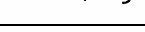
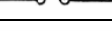
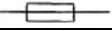
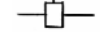
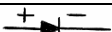
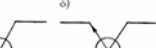
ელექტრულ სქემებში გამოყენებული ზოგიერთი ელექტრული მანქანის, აპარატის, ხელსაწყოსა და მისი შემადგენელი ნაწილების პირობითი გრაფიკული აღნიშვნები გოსტ-ის მიხედვით

დასახელება	პირობითი აღნიშვნა გოსტ მიხედვით
მუდმივი დენი (ძაბვა)	—
(ცვლადი დენი (ძაბვა)	~~
სამფაზიანი ცვლადი დენი 50 ჰ.ც.	3~50Hz
ხელულები:	
ა) სტატორის (ცვლადი დენის მანქანის თითოეული ფაზის)	ა)
ბ) მუდმივი დენის მანქანის პარალელური ამგზნები	ბ)
მუდმივი დენის მანქანის ამგზნები:	ა)
ა) თანმიმდევრობითი;	ბ)
ბ) დამატებითი პოლუსების.	

### ცხრილი 1.3, გაგრძელება

მოკლედ ჩართული როტორიანი სამფაზა ასინქრონული ელექტროძრავი	
მუდმივი დენის მანქანა (დუბა კოლექტორით და მუსით)	
ელექტრომანქანური მაძლიერებელი განივი ნაკადით და მართვის რამდენიმე ხევულით	
ერთფაზიანი ტრანსფორმატორი გულარით	
მაგნიტური მასასითებელი ორი მუშა და საერთო მმართველი ხევულით	
ერთფაზიანი ასინქრონული ძრავა	
არარეგულირებადი წინაღობა (საერთო აღნიშვნა)	
ინდუქციური წინაღობა	
დენის რელეს ხევულა	
ძაბვის რელეს ხევულა	
კონტაქტორის და მაგნიტური გამჭვების ხევულა	
მაქსიმალური დენის რელეს ხევულა	
მინიმალური ძაბვის რელეს ხევულა	
პოლარიზებული რელე	
რელეს დენის ხევულა	
რელეს ძაბვის ხევულა	
თბური რელეს კონტაქტი	
შემრთველი კონტაქტი: ა) რელეს, ბ) რელეს, კონტაქტორის, გამშვების, კონტროლიორის	
განმრთველი კონტაქტი: ა) რელეს, ბ) რელეს, კონტაქტორის, გამშვების, კონტროლიორის	
შემრთველი კონტაქტი ჩაქრობით	
განმრთველი კონტაქტი ჩაქრობით	
განმრთველ დარჩენილი კონტაქტი ხელით დაბრუნებით	
შემრთველი კონტაქტი დროის დაფონებით შერთვის დროს	

### ცხრილი 1.3, გაგრძელება

შემრთველი კონტაქტი დროის დაყოვნებით განრთვის დროს	 
განმრთველი კონტაქტი დროის დაყოვნებით განრთვის დროს	 
განმრთველი კონტაქტი დროის დაყოვნებით შერთვის დროს	 
დილაკი თვითდამბრუნებელი შემრთველი კონტაქტით	
დილაკი თვითდამბრუნებელი განმრთველი კონტაქტით	
საგზაო გამომრთველი ან ბოლო გამომრთველ-შემრთველი კონტაქტით	
საგზაო გამომრთველი ან ბოლო გამომრთველი განმრთველი კონტაქტით	
ელექტროზარი	
საყვირი	
სასიგნალო ნათურა	
დნობადი დამცველი	
ელექტრომაგნიტური ქურო	
ელექტრომაგნიტი: ა) საერთო აღნიშვნა; ბ) პარალელური ჩართვა	a)  b) 
გალვანური, ანდა აკუმულატორული ელექტრი	
ნახევრადგამტარიანი დიოდი	
ნახევრადგამტარიანი ტრიოდი, (ტრანზისტორი): ა) P-n-P ტიპის, ბ) n-P-n ტიპის.	a)  b) 
დიოდი პირდაპირი ვარგარით	
დიოდი არაპირდაპირი ვარგარით	
ტრიოდი	
ფოტოწინაღობა შინაგანი ფოტოფენები	
ვაკუუმის ფოტოელემენტი	

საწარმოო პროცესების ავტომატიზაციის სქემებზე ხელ-  
საწყოების პირობითი გამოსახვისა და ძირითადი სიდიდე-  
ების აღნიშვნისათვის სარგებლობები გირ-ებით. აღნიშვნე-  
ბის ნაწილი მოყვანილია ცხრილში 1.4.

#### ცხრილი 1.4

**საწარმოო პროცესების ავტომატიზაციის სქემებში ზოგიერთი  
ხელსაწყოს პირობითი გრაფიკული გამოსახვა და ძირითადი  
სიდიდეების ათნიშვნები გირ-ის მიხედვით**

დასახელება	პირობითი აღნიშვნა და გამოსახვა გირ-ების მიხედვით
გამზომი ხელსაწყო	
მარეგულირებელი ხელსაწყო (სიგ-ნალის მომცემი)	
გამზომი და მარეგულირებელი (სიგნალის მომცემი) ხელსაწყო ერთ კორპუსში	
ტელეფონი	
ჰლექტრული გადაცემა	
პნევმატიკური გადაცემა	
ჰიდრაულიკური გადაცემა	
მინის გაფართოების თერმომეტრი	
ჰლექტროკონტაქტური მინის გაფართოების თერმომეტრი	
წინადობის თერმომეტრი ცალმაგი	
ცალმაგი თერმოწყვილი	
მანომეტრული თერმომეტრის თერ- მობალონი	
დიდატომეტრული ან ბიმეტალური თერმომეტრი	
რადიაციული, ოპტიკური და ფოტო- ელექტრული პირომეტრის მიმღები მოწყობილობა	

#### ცხრილი 1.4, გაგრძელება

აირის, სითხის აღმრიცხველი	
მუდმივი გარდნილის ხარჯობილობი	
შემაგიწროებელი მოწყობილობა ხარჯის გასაზომად წნევის გარდნილით (გამოსახულების მახვილი მიმართულია ნაკადის საწინააღმდეგოდ)	
ტივტივიანი მიმღები მოწყობილობა (დონმზომის, სიმკვრივმზომის)	
რადიაქტიური მიმღები მოწყობილობა (ხარჯმზომი, დონმზომი)	
ტენმზომის მიმღები მოწყობილობა	
ფოტომეტრული მიმღები მოწყობილობა	
ტელეფონის აპარატის საერთო აღნიშვნა	
ჰემპრანული შემსრულებელი მექანიზმი	
დაუშიანი შემსრულებელი მექანიზმი	
ელექტრომაგნიტური შემსრულებელი მექანიზმი (სოლენიდური)	
შემსრულებელი მექანიზმი ელექტროძრავით: а) ცვლადი დენის, ბ) მუდმივი დენის	a)  b)
სელის მექანიკური ამძრავი	
გასავლის მარეგულირებელი სარქველი	
მარეგულირებელი ფარსაკები (შიბერი)	
მარეგულირებელი საფარი	
ბატარეა ელემენტებისაგან	
გამყოფი ან მათანაბრებელი ჭურჭელი	
სამსვლიანი მარეგულირებელი სარქველი	
საკონდენსაციო ჭურჭელი	

**ცხრილი 1.4, გაგრძელება**

გადამრთველი გაზომვის ელექტრული წრედებისათვის	
გადამრთველი აირების (საჰაერო) ხაზებისათვის	
დისტანციური მართვის პანელი, პნევმატიკური ან ჰიდრავლიკური რეგულირებისათვის	
გასაღები ან გამომრთველი მართვის ელექტრული წრედებისათვის	
გამშვები	
რეოსტატი	
კომანდოკონტროლიორი	
მართვის დილაქი (წერტილთა რაოდენობა უნდა ეთანადებოდეს დილაქთა რიცხვს)	
გზის გამომრთველი	
სელსინი	

## ბარდამსახები

### §1. ძირითადი ბანსაზღვრები და პლასიზიკაცია

გარდამსახი წარმოადგენს მგრძნობიარე ელემენტს, რომელიც განკუთვნილია საკონტროლო ან სარეგულირებელი ფიზიკური სიდიდის გარდასაქმნელად სხვა სახის სიდიდედ, რომელიც მეტადა მოსახერხებელი გასაძლიერებლად, შორ მანძილზე გადასაცემად და აღმასრულებელ მექანიზმზე ზემოქმედების მოსახდენად. გარდამსახის მაგალითს წარმოადგენს თერმოწყვილი. იგი განკუთვნილია ტემპერატურის გასაზომად. თერმოწყვილის სამუშაო ნარჩილი (ცხელი ნარჩილი) იმყოფება ტემპერატურის გასაზომ გარემოში. ტემპერატურის ცვალებადობა თერმორწყვილის მიერ განუწყვეტლივ გარდაიქმნება თერმოელექტრომამოძრავებელი ძალის ცვალებადობად; თერმოელექტრომამოძრავებელი ძალა მოსახერხებელია გასაძლიერებლად და მანძილზე გადასაცემად.

გარდამსახები, რომლებშიც არაელექტრული სიდიდეები გარდაიქმნება ელექტრულად, იყოფა ორ ჯგუფად: პარამეტრულ და გენერატორულ გარდამსახებად. პარამეტრული ეწოდება გარდამსახს, რომელიც საკონტროლო (გასაზომი) სიდიდის ცვალებადობას გარდაქმნის ელექტრული წრედის პარამეტრის – აქტიური, ინდუქციური ან ტევადური წინააღმდეგობის ცვალებადობად. გენერატორული ეწოდება გარდამსახს, რომელიც საკონტროლო სიდიდეს გარდაქმნის ელექტრომამოძრავებელ ძალად ან სიხშირედ. პარამეტრული გარდამსახები საჭიროებენ კავშირს, გენერატორული – მეტწილად თვითონ წარმოადგენენ დენის წყაროს.

სამშენებლო პროცესების ავტომატიზაციაში გარდამსახის დანიშნულებაა შეიგრძნოს და გარდაქმნას პარამეტრი ან მისი პროპორციული სიდიდე, რომელიც განსაზღვრავს ტექნოლოგიური პროცესის მსვლელობას.

სიდიდეს, რომელსაც შეიგრძნობს და აკონტროლებს გარდამსახი, ეწოდება შემავალი სიდიდე, ხოლო სიდიდეს,

რომელსაც გარდაქმნის და გამოიმუშავებს – გამომავალი სიდიდე.

გამომავალი სიდიდის ცვალებადობის დამოკიდებულებას შემავალი სიდიდის ცვალებადობისაგან ეწოდება გარდამსახის სტატიკური მახასიათებელი. თუ აღვნიშნავთ შემავალი სიდიდის მნიშვნელობებს  $x$ -ით, ხოლო გამომავალი სიდიდის მნიშვნელობებს  $y$ -ით, მაშინ გარდამსახის სტატიკური მახასიათებელი გამოიხატება ფორმულით:

$$y=f(x). \quad (2.1)$$

ჩვეულებრივ, სტატიკური მახასიათებელი გამოისახება გრაფიკულად.

ავტომატური მოწყობილობების ელემენტები მათი სტატიკური მახასიათებლების მიხედვით შეიძლება დაიყოს ორ ძირითად ჯგუფად; ესენია:

1) წრფივი, რომელთა სტატიკური მახასიათებელი გამოისახება წრფით (ნახ.2.1,ა), ხოლო გამომავალ და შემავალ სიდიდეებს შორის ფარდობა გამოიხატება წრფივი ფუნქციით.

$$y=a+Kx. \quad (2.2)$$

$K$  – გარდაქმნის სტატიკური კოეფიციენტი;

$a$  – მუდმივი სიდიდე, ნახ.2.1,ა მიხედვით  $a=0$

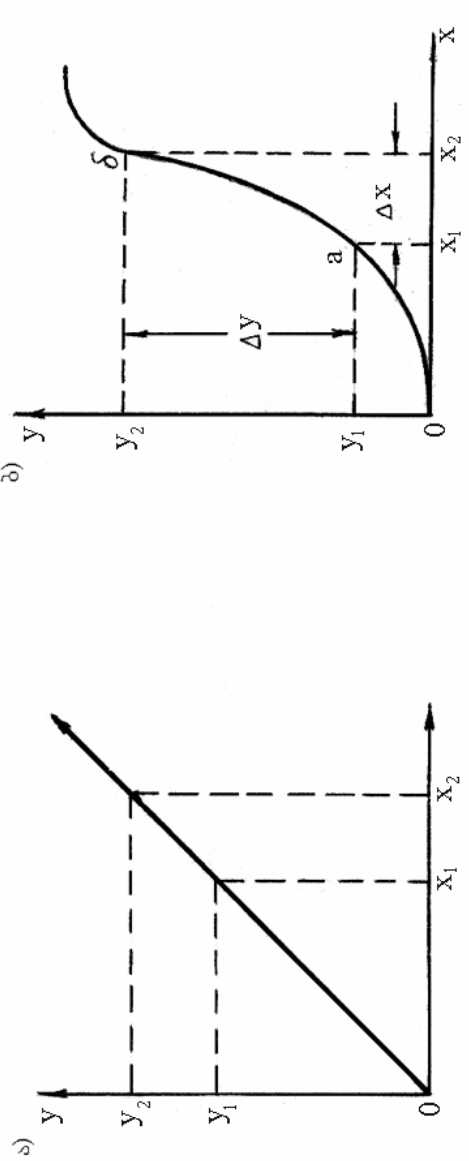
ხაზოვან ელემენტებს, რომელთა სტატიკური მახასიათებელი გამოისახება ხწორი ხაზით (ნახ.2.1,ა), ეწოდება სტატიკური ელემენტები.

2) არაწრფივი, რომელთა სტატიკური მახასიათებელი მრუდწირული ან ტებილხაზოვანია (ნახ.2.1,ბ).

$a$ -ნ – უბნისათვის, რომელზეც დაახლოებით წრფივი დამოკიდებულებაა

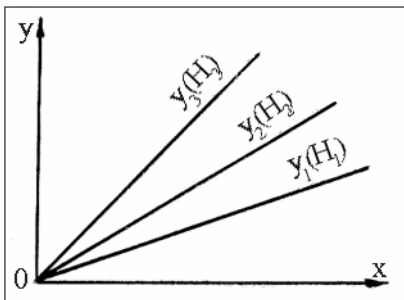
$$\frac{y_2 - y_1}{x_2 - x_1} = \frac{\Delta y}{\Delta x} \approx \frac{dy}{dx} = K'. \quad (2.3)$$

$K'$  – გარდაქმნის დინამიკური კოეფიციენტი.



ნახვა 2.1. სტატიკური მახასიათებლები: а) წრფივი კლებების; б) არაწრფივი კლებების

ნშირად ელემენტის გამომავალი სიდიდე, შემავალი სიდიდის გარდა, დამოკიდებულია დატვირთვებზე. ამ შემთხვევაში სტატიკური მახასიათებელი გამოისახება არა ერთი, არამედ, რამდენიმე სწორი ან მრუდწირული ხაზით (ნახ.2.2).



ნახ.2.2. ელემენტის სტატიკური მახასიათებელი გარე დატვირთვის ცვალებადობის დროს

თუ ელემენტის გამომავალი სიდიდე იცვლება შემავალი სიდიდის პროპორციულად, მაშინ გარდაქმნის  $K$  და  $K'$  კოეფიციენტები მუდმივი სიდიდეებია და ურთიერთობანატოლია  $x$ -ის კვადრატის დროს, ე.ი.

$$K = K' = \text{const.}$$

გარდაქმნის  $K$  და  $K'$  კოეფიციენტებს გააჩნია განზომილება, რომელიც დამოკიდებულია შემავალი და გამომავალი სიდიდეების განზომილებაზე.

გამომავალი სიდიდის ფარდობითი ნაზრდის შეფარდებას შემავალი სიდიდის ფარდობით ნაზრდობან ეწოდება გარდაქმნის ფარდობითი კოეფიციენტი, ე.ი.

$$\eta_{\Delta} = \frac{\frac{\Delta y}{y}}{\frac{\Delta x}{x}} = \frac{\frac{\Delta y}{y}}{\frac{\Delta x}{x}}. \quad (2.4)$$

თუ გადავალთ ზღვარზე, როდესაც  $\Delta x \rightarrow 0$ , მივიღებთ:

$$\eta = \frac{\frac{dy}{dx}}{\frac{x}{x}} = \frac{\frac{dy}{dx}}{\frac{y}{x}}. \quad (2.5)$$

გარდაქმნის კოეფიციენტები  $K, K', \eta_{\Delta}, \eta$  ზოგადია და გამოსადეგია ავტომატური მოწყობილობის ნებისმიერი ელემენტისათვის. მაგალითად, გარდამსახისათვის გარდაქმნის კოეფიციენტი იწოდება მგრძნობიარობად (სტატიკური, დონამიკური, ფარდობითი).

გარდამსახი ხასიათდება, აგრეთვე, მგრძნობიარობის ზღურბლით. მგრძნობიარობის ზღურბლი გულისხმობს გასაზომი სიდიდის მინიმალურ მნიშვნელობას (აბსოლუტური სიდიდით), რომელსაც შეუძლია გამოიწვიოს ხელსაწყოს ჩვენების შეცვლა ან, მაგალითად, რელეს ამოქმედება.

გარდამსახი ინერციული ელემენტია. გარდამსახის ინერციულობა ახასიათებს მისი დინამიკურობის თვისებას და გვიჩვენებს, თუ გამომავალი სიდიდე (y) რამდენად სწრაფად დებულობს შემავალი სიდიდის (x) შესაბამის მნიშვნელობას.

ავტომატიზაციის რთულ სქემებში გამოყენებულია დიფერენციული და კომპენსაციური გარდამსახები.

დიფერენციულ გარდამსახებში ორი ერთნაირი ტიპის გარდამსახი ჩართულია გამომავალი წრედებით იმგვარად, რომ სასარგებლო სიგნალები თანაბრდება.

კომპენსაციური გარდამსახი, დიფერენციულისაგან განსხვავებით, უზრუნველყოფს გასაზომი სიდიდის ეტალონურ სიდიდესთან ავტომატურად შედარებას.

ავტომატური მართვის სისტემებში გამოყენებული გარდამსახების კლასიფიკაცია შეიძლება შესრულდეს: დანიშნულების, გამომავალი სიგნალის და ინფორმაციის გადაცემის წესის მიხედვით.

დანიშნულების მიხედვით გარდამსახები რამდენიმე სახისაა:

1. გარდამსახები ამძრავი ძრავების პარამეტრების – სიმძლავრის, კუთხეური სიჩქარის, საწვავის ხარჯის, ელექტროენერგიის, გამაციებელი სითხეებისა და ზეთის ტემპერატურის გასაზომად.

2. გარდამსახები მანქანის სამუშაო ორგანოების პარამეტრების – ძალვების, მძრუნავი მომენტების, მდებარეობის, წირული და კუთხეური გადაადგილებების, წრიული და კუთხეური სიჩქარის, აჩქარების გასაზომად (მასალების, კონ-

სტრუქციების, ნაგებობების გამოცდის დროს, ამწე-  
სატრანსპორტო და სამშენებლო მანქანებში);

3. გარდამსახები ჰიდრავლიკური და პნევმატიკური  
სისტემების პარამეტრების – წნევის, ტემპერატურის, ხარჯის  
გასაზომად (ბუნკერებში, წყალსაცავებში, სილოსებში, ქვა-  
ბებში, გათბობის სისტემებში);

4. გარდამსახები გარემომცველი გარემოს პარამეტრების  
– ტემპერატურის, ქარის სიჩქარის, დახრის კუთხის გასაზო-  
მად (ბეტონის გასათბობ მოწყობილობებში, გასაორთქლ  
კამერებში, კოშკურა ამწეებში და სხვ.);

5. გარდამსახები დასამუშავებელი მასალების პარამე-  
ტრების გასაზომად (სიმკვრივის, ტენიანობის, ტემპერატურის  
და სხვ.).

გამომავალი სიგნალის მიხედვით გარდამსახები იყოფა:

1. გარდამსახებად ელექტრული გამომავალი სიგნალით;

2. გარდამსახებად ჰიდრავლიკური გამომავალი სიგ-  
ნალით;

3. გარდამსახებად პნევმატიკური გამომავალი სიგნალით;

4. გარდამსახებად მექანიკური გამომავალი სიგნალით.

ინფორმაციის გადაცემის წესის მიხედვით გარდამსახები  
კვლავ რამდენიმე სახისაა:

1. გარდამსახები უწყვეტი სიგნალებით, რომლებშიც გა-  
მომავალი სიგნალი (ელექტრული ძაბვა, დენის ძალა, სიხ-  
შირე და სხვ.) დაკავშირებულია გასაზომ სიდიდესთან უწყ-  
ვეტი ცუნქციონალური დამოკიდებულებით; ამასთან გასა-  
ზომი სიდიდის საზომს წარმოადგენს გამომავალი სიგ-  
ნალის სიდიდე.

2. გარდამსახები დისკრეტული სიგნალებით, რომლებ-  
შიც გასაზომი სიდიდის მდოვრედ ცვალებადობისას გამო-  
მავალი სიგნალი ცვალებადობას განიცდის ნახტომისებუ-  
რად. გასაზომი სიდიდის საზომს წარმოადგენს გარკვეული  
დროის მონაკვეთში დაგროვებული იმპულსების რიცხვი.

განვიხილოთ გარდამსახების ზოგიერთი ტიპი, რომლე-  
ბიც ფართოდაა გავრცელებული სამშენებლო წარმოების  
პროცესების ავტომატიზაციის პრაქტიკაში.

## §2. ომური გარდამსახები

ომურ გარდამსახეს მიეკუთვნება აქტიური წინადობის ანუ რეოსტატული გარდამსახი. გარდამსახის მოძრავი კონტაქტის გადაადგილება ცვლის წრედში შეუვანილი წინადობის სიდიდეს. ცოციას გადაადგილება წარმოადგენს შემავალ სიდიდეს, ხოლო წრედში შეუვანილი ომური წინადობის სიდიდე – გამომავალ სიდიდეს.

რეოსტატული გარდამსახის ძირითადი ელემენტებია:

1 – კარკასი; 2 – მასზე დატანილი წინადობა დახვეული მავთულის ან ნახევარგამტარის სახით; 3 – მოძრავი მუსი, რომელიც სრიალებს წინადობის ზედაპირზე ან მასთან შეერთებული კონტაქტების რიგზე.

2.3.ნახაზზე წარმოდგენილია ორი ტიპის ომური გარდამსახი: ა) უსაფეხურო, მრავალბრუნიანი დახვევით; ბ) დასექციებული დახვევით.

გარდამსახში უსაფეხურო, მრავალბრუნიანი დახვევით, წინააღმდეგობის ცვალებადობა მუსის გადაადგილებით, წარმოებს მდორედ, მაშინ, როდესაც გარდამსახში დასექციებული წინააღმდეგობით იგი ხორციელდება საფეხუროვანი სახით.

დასექციებულ წინადობიანი გარდამსახის უპირატესობა მდგომარეობს მნიშვნელოვანი სიდიდის დენების მართვის შესაძლებლობაში, რაც უზრუნველყოფილია აღნიშნული გარდამსახის კონტაქტების ხელსაყრელი რეჟიმის პირობებში მუშაობით. თუ რეოსტატს გააჩნია თანაბარი დახვევა, რომლის ერთეული სიგრძის წინადობაა  $\Omega$  ომი, მაშინ დამოკიდებულება მობრუნების კუთხესა და წინადობის ცვალებადობას შორის გამოისახება

$$R = r\alpha\Omega, \quad (2.6)$$

სადაც

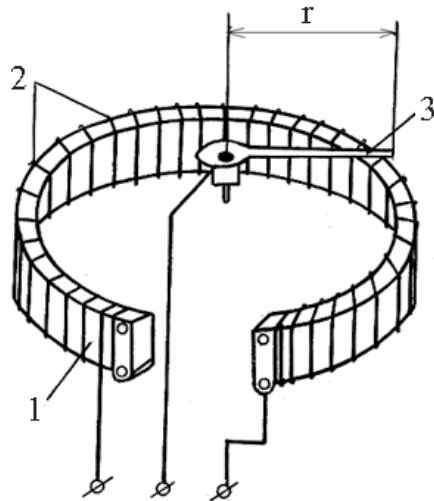
რ არის რეოსტატის სახელურის სიგრძე;

$\alpha$  – მობრუნების კუთხე.

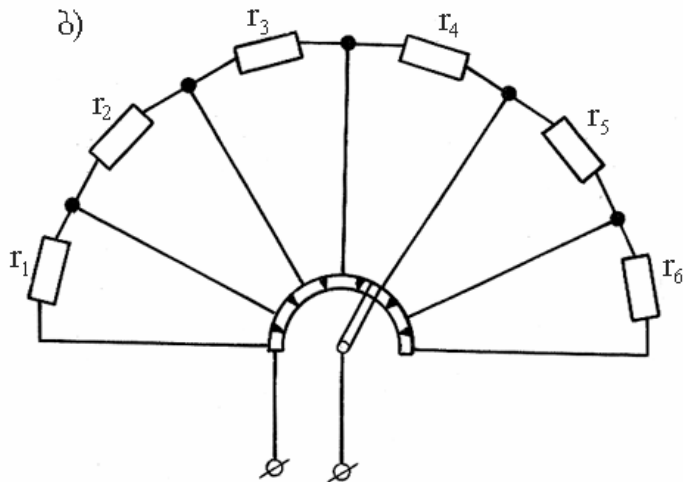
რეოსტატული გარდამსახის მგრძნობიარობა განისაზღვრება განტოლებით

$$\frac{dR}{d\alpha} = r\Omega \quad (\text{სმ. ომი}) \quad (2.7)$$

ა)



ბ)



ნახ.2.3. რეოსტატული გარდამსახების კონსტრუქციული სქემები: а) უსაფეხურო; ბ) დასექციებული დახვევით

წრიული რეოსტატული გარდამსახის მახასიათებელია

$$R_x = \frac{R}{L}x, \quad (2.8)$$

სადაც

$R_x$  – წრედში ჩართული წინაღობა, ომებში;

$L$  – დახვევის მთლიანი სიგრძე, სმ.;

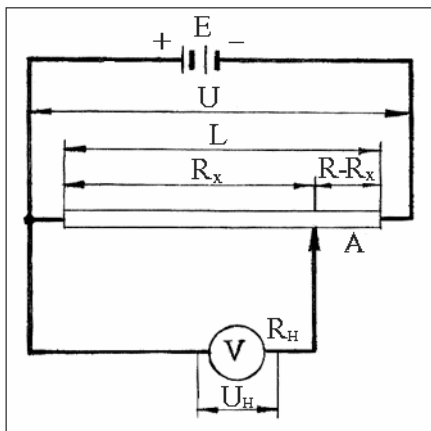
$R$  – დახვევის სრული წინაღობა, ომი;

$x$  – მუსის გადადგილება, სმ.

გარდამსახის მგრძნობიარობა იქნება

$$\frac{dR_x}{dx} = \frac{R}{L} \quad (\text{ომი/სმ}) \quad (2.9)$$

გასაზომ მოწყობილობებსა და ხელსაწყოებში რეოსტატული გარდამსახების ჩართვა ხდება პოტენციომეტრის სქემით; მაშინ მას პოტენციომეტრული გარდამსახი ეწოდება (ნახ.2.4).



ნახ.2.4. პოტენციომეტრული გარდამსახის სქემა

ძაბვა ვოლტმეტრზე ხაზოვან დამოკიდებულებაშია პოტენციომეტრის ცოციას მდებარეობასთან. გამომავალი სიდიდის (ძაბვის) ზუსტი მნიშვნელობისათვის გვაქვს დამოკიდებულება

$$U_x = U \cdot \frac{R_x}{R} \cdot \frac{1}{1 + \frac{R_x(R - R_x)}{R \cdot R_{\text{დამ}}}}. \quad (2.10)$$

პოტენციომეტრული გარდამსახების ანგარიშის დროს უშვებენ, რომ  $R_{\text{დატ.}} \approx \infty$ . ამ შემთხვევაში

$$U_x = U \cdot \frac{R_x}{R} = U \cdot \frac{x}{l}, \quad (2.11)$$

ან ზოგადი სახით

$$U_x = f(x). \quad (2.12)$$

პოტენციომეტრული გარდამსახის მგრძნობიარობა

$$\frac{dU_x}{dx} = \frac{U}{l} \quad \frac{\text{ვოლტი}}{\text{სმ}}. \quad (2.13)$$

კონსტრუქციულად რეოსტატული გარდამსახები სრულდება როგორც კუთხური და ხაზოვანი გადაადგილებების გარდამსახები. რეოსტატული გარდამსახები მზადდება კონსტანტანის ან პლატინა ირიდიის 0,03 მმ დიამეტრის მავრულისაგან.

რეოსტატული გარდამსახების ღირსებას წარმოადგენს ის გარემოება, რომ მათი ინერციულობა პრაქტიკულად ნულის ტოლია, გარდამსახი მარტივი აგებულებისაა და საიმედო; ფართოდ არის გავრცელებული ტექნიკაში (გამოყენება, როგორც მექანიკური გადაადგილების ელექტრული გარდამსახი, ღისტანციურ მოთვალობების ელექტრული გარდამსახი, ღისტანციურ მოთვალობების ელექტრული გარდამსახისა და საანგარიშო-გამომთვლელ ხელსაწყოებში).

ომური გარდამსახების ჯგუფს მიეკუთვნება ნახშირის გარდამსახიც.

ნახშირის გარდამსახი გამოიყენება ძალვების გასაზომად. იგი იძლევა საშუალებას მასზე მოქმედი დატვირთვა გარდაქმნას ელექტრულ წინაღობად.

გარდამსახი შედგება გრაფიტის 5-10 მმ დიამეტრის 10-15 ცალი ფირფიტისაგან, რომელთა სისქე 1-2 მმ-ია. ნახშირის სვეტის წინაღობა აღწევს რამდენიმე ათეულ ომს. მეტი სტაბილურობის მიზნით სვეტი წინასწარ შეკუმშულია 20 კგ/სმ<sup>2</sup> წნევის მოქმედებით. წნევის გაზრდისას მაქსიმალურ სამუშაო სიდიდემდე 50-60 კგ/სმ<sup>2</sup> სვეტის წინაღობა მცირდება 20-30%-ით. ამიტომ ამ გარდამსახებს გააჩნიათ 5% ცდომილება.

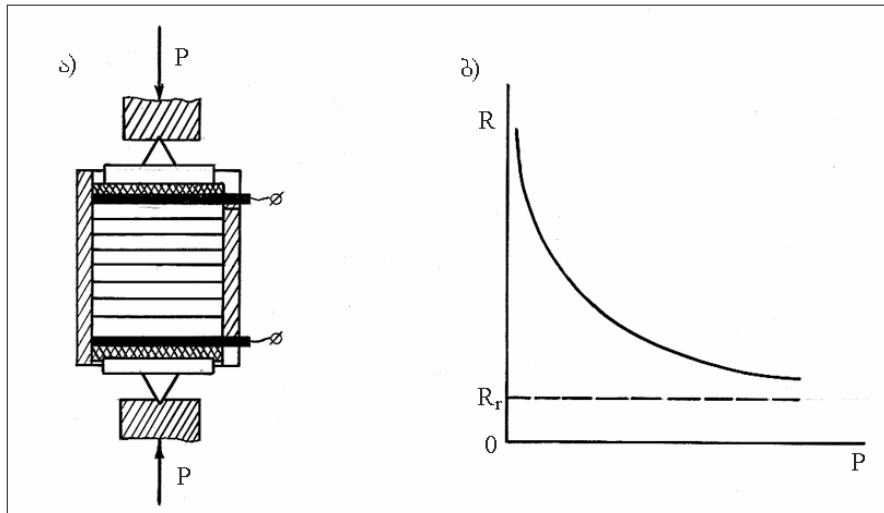
გასაზომი დატვირთვა სვეტზე მოქმედებს სპეციალური საბრჯენების საშუალებით. ძაბვა მოდებულია საკონტაქტო სპილენდის საყელურებზე, რომლებიც სვეტის ბოლოებზეა განლაგებული. თვით გრაფიტების წინაღმდეგობა  $R_{\text{გრ.}}$  არ

არის დამოკიდებული დატვირთვაზე. რაც შეეხება გარდამავალ წინაღობას  $R_{გარ}$  ფირფიტებს შორის, იგი დამოკიდებულია მეზობელი ფირფიტების ზედაპირების ურთიერთშეხების წერტილების რიცხვზე. ფირფიტების შეკუმშვის დროს მათი ურთიერთშეხების საერთო ფართი იზრდება და წინაღობა  $R_{გარ}$  მცირდება. ნახშირის გარდამსახის საერთო წინაღობა უდრის  $R=R_{გრ}+R_{გარ}$ . გარდამავალი წინაღობა უკუპროპორციულია გასაზომი  $P$  ძალისა, ამიტომ

$$R = \frac{K}{P} + R_{გრ},$$

სადაც  $K$  არის მუდმივი კოეფიციენტი, რომელიც დამოკიდებულია გარდამსახის კონსტრუქციასა და მასალაზე.

ნახშირის გარდამსახის საშუალებით შეიძლება მნიშვნელოვანი დატვირთვის გაზომვა 10-დან 1000 კგდ ანუ 98-დან 98000 ნ-მდე. ნახ.2.5 ნაჩვენებია ნახშირის გარდამსახის სქემატური გამოსახულება. მახასიათებლის გრაფიკიდან ჩანს, რომ ნახშირის ფირფიტების მკუმშავი ძალის ზრდასთან ერთად კონტაქტური წინაღობა მცირდება.



ნახ.2.5. ნახშირის გარდამსახი: а) გარდამსახის მოწყობილობის სქემა; ბ) გარდამსახის მახასიათებელი

### §3. ტენზოგარდამსახები

ტენზოგარდამსახები ეწოდება გარდამსახეს, რომელიც მყარი სხეულის გასაზომ დეფორმაციას – გაჭიმვას ან კუმშვას გარდაქმნის ელექტრულ სიგნალად. ტენზოგარდამსახის მუშაობა ემყარება გამტარის ან ნახევარგამტარის წინაღობის ცვლილებას მისი დეფორმაციის დროს. ტენზოგადამწოდის გამტარის წინაღობის ცვალებადობა დეფორმაციის გავლენით აიხსნება ორი მიზეზით: 1) გეომეტრიული ზომების (გამტარის დიამეტრის, სიგრძის) შეცვლით; 2) ტენზოგარდამსახის მასალის ხვედრითი წინაღობის შეცვლით.

ტენზოგარდამსახის ფარდობითი მგრძნობიარობა წარმოადგენს გარდამსახის წინაღობის ფარდობითი ცვლილების შეფარდებას მის ფარდობით დეფორმაციასთან

$$\eta = \frac{\Delta R / R}{\Delta L / L}, \quad (2.14)$$

სადაც

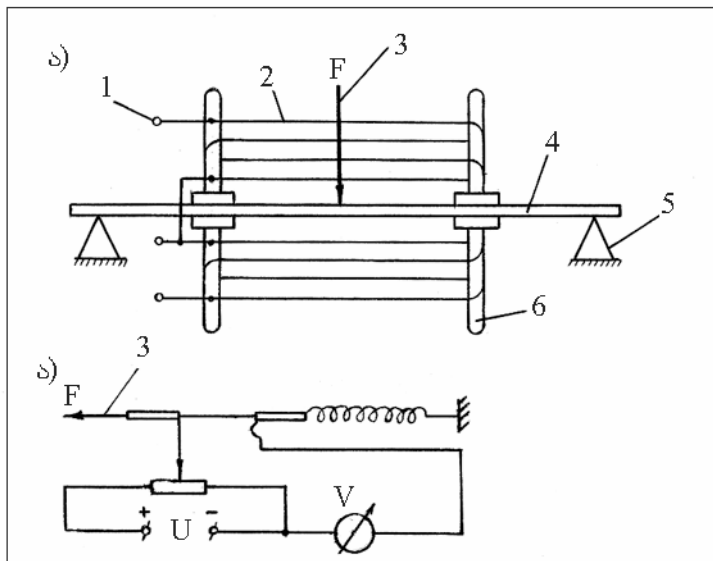
L და R არის გარდამსახის სიგრძე და წინაღობა დეფორმაციამდე;

$\Delta L$  და  $\Delta R$  შესაბამისად სიგრძისა და წინაღობის ცვალებადობა, გამოწვეული მადეფორმირებელი ძალვის მოქმედებით.

ტენზომგრძნობიარობის კოეფიციენტი წარმოადგენს განენებულ სიდიდეს და შეიძლება იყოს, როგორც დადგებითი, ასევე უარყოფითი. დადებითია მასალებისათვის, რომელთა წინაღობა გაჭიმვის დროს იზრდება, ხოლო უარყოფითი, რომელთა წინაღობა გაჭიმვის დროს მცირდება. სხვადასხვა ლითონისათვის  $\eta$  მნიშვნელობა ცვალებადობს -12,6-დან (ნიკელი), +6-მდე (პლატინა-ირიდია); კონსტანტანისათვის  $\eta = +2,1$ . ტენზოგარდამსახის ნომინალური წინაღობა იმყოფება 50-1000 ომის ფარგლებში.

გამტარიანი ტენზოგარდამსახი მზადდება ლითონის (ნიკელი, კოპელი, კონსტანტანი, პლატინა) მაგთულისაგან დიამეტრით  $0,015+0,05$  მმ. ორი სახის: დასაწებებელი და არადასაწებებელი. არადასაწებებელი ტენზოგარდამსახის მგრძნობიარე ელემენტს წარმოადგენს წრიული კვეთის მავთული. არადასაწებებელი ტენზოგარდამსახის მთავარი დირ-

სება მდგომარეობს ნულოვანი წერტილის მაღალ სტაბილურობაში. ნაკლად ჩაითვლება კონსტრუქციის სირთულე, დამზადების სიძნელე და სიძვირე. არადასაწებებელი ტენზორეზისტორის სქემა ნაჩვენებია 2.6 ნახაზზე.

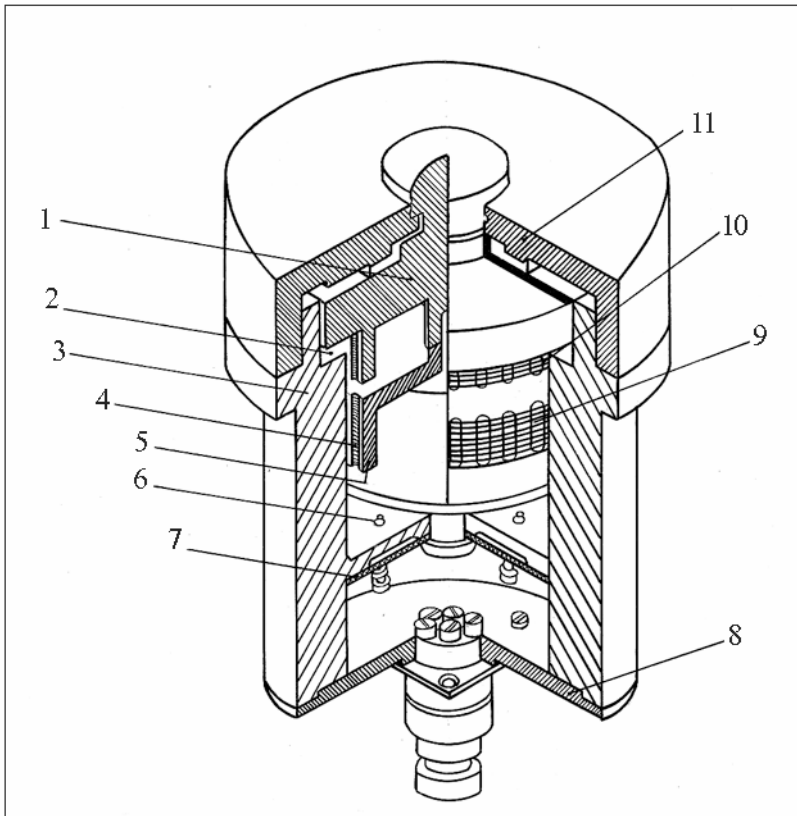


ნახ.2.6. არადასაწებებელი ტენზორეზისტორის სქემები: 1 – გამოყანები; 2 – მგრძნობიარე ელემენტი; 3 – მაღეფორმინებელი ძალა; 4 – ბრტყელი ზამბარა; 5 – საყრდენები; 6 – იზოლატორები

2.7 ნახაზზე წარმოდგენილია ПСТВ – 016 ტიპის გარდამსახი, რომელშიც გამოყენებულია არადასაწებებელი ტენზორეზისტორები. აღნიშნული ტიპის ტენზოგარდამსახი გამოიყენება მკუმშავი ძალვების გასაზომად ბუნკერებში შენახული მასალების ავტომატური აწონვის სისტემებში.

დასაწებებელი ტენზოგარდამსახი გვხვდება მავთულისა და კილიტას სახის. 25-40 მმ სიგრძის ქაღალდის ზოლზე ეწებება (წებო ნფ-2, ნფ-4, ბაკელიტის წებო და სხვ.) კონსტანტანის მავთული ზიგზაგურად. მავთულს უკეთდება რბილი სპილენძის გამოყვანები საზომ სქემასთან მისაერთებლად. ქაღალდის ზოლი მავთულთან ერთად ეწებება გამოსაცდელ დეტალს. დეტალის გაჭიმვის ან შეცუმვის შედეგად გარდამსახის წინაღობა შესაბამისად

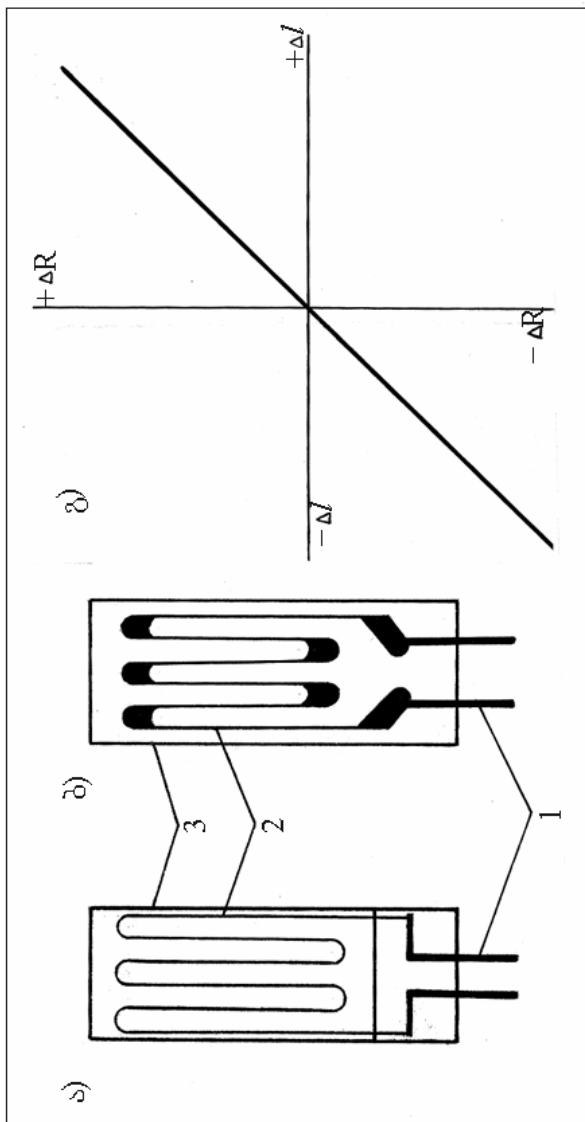
იზრდება ან მცირდება. წინადობის შეცვლის სიდიდე მერყეობს 0,5-1%-მდე. ამიტომ ტენზორეზისტორებით დეფორმაციის გაზომვისათვის საჭიროა გამოვიყენოთ დიდი მგრძნობიარობის ბოგიროვანი ან პოტენციომეტრული სქემები. რთული დეფორმაციების ოსცილოგრაფებზე რეგისტრაციის აუცილებლობისას საზომი ბოგირების კვება წარმორებს მაღალი სიხშირის ძაბვით.



**ნახ.2.7. ПСТБ-С-016 ტიპის გარდამსახის კონსტრუქცია:** 1 – დრეკადი ელემენტი; 2 – საყრდენი ბურთულასაკისარი; 3 – კორპუსი; 4 – ტენზორეზისტორების საყრდენი; 5 – საკომპენსაციო რეზისტორების კარჯასი; 6 – იზოლატორი; 7 – საკონტაქტო ელემენტი; 8 – ქვედა სახურავი; 9 – ტემპერატურული კომპენსაციის რეზისტორი; 10 – ტენზორეზისტორი; 11 – ზედა სახურავი

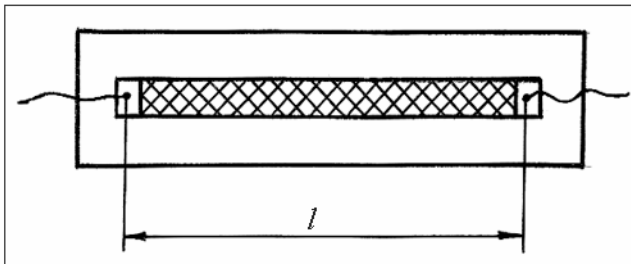
მავთულის ტენოგარდამსახის გარდა, ტენზომეტრები მზადდება, აგრეთვე, წერილი ლითონის კილიტაგან (სისქით 5-10 მიკრონი), რომელთაც მეტად მცირე ზომა აქვთ.

დასაწებებელი ტენზოგარდამსახები და მათი მახასიათებელი ნაჩვენებია 2.8 ნახაზზე.



ნახ.2.8. დასაწებელი ტენზოგარდამსახები: а) მავთულის; б) ტილიტას სახის; გ) ტენზოგარდამსახის გასასიათებელი: 1 – სპილენბის გამოყვანებით; 2 – მერმობიარული კონსტანტის გაფორმულისაგან (კილიტასაგან); 3 – კალიფრისაგან; 4 – მაღალმოლებულერი აფსიგ

უკანასკნელ წლებში ფართო გამოყენებას ჰქოვა ნახევარგამტარიანი ტენზოგარდამსახებია, რომელთაც გააჩნიათ გაცილებით მაღალი მგრძნობიარობა  $\eta = 100$ -დან  $\eta = +200$ -მდე. ტენზოგარდამსახის ზომებია: სიგრძე 5-15 მმ, კვეთი  $(0,2+0,7)X(0,04+0,2)$  მმ<sup>2</sup>. ტენზოგარდამსახის წინაღობა შეადგენს 50-დან 5000 ომამდე. ტემპერატურის შეცვლისას  $10^0$ -ით, ნახევარგამტარიანი ტენზოგარდამსახის ფარდობითი მგრძნობიარობა იცვლება 2-4%-ით. ნახევარგამტარიანი ტენზოგარდამსახი წარმოდგენილია 2.9 ნახაზზე.



#### ნახ.2.9. ნახევარგამტარიანი ტენზოგარდამსახი

ტენზოგარდამსახები მუშაობენ ტემპერატურულ რეჟიმებში -40-დან  $+70^0$ -მდე.

### §4. ინდუქციური გარდამსახები

ინდუქციური გარდამსახები მუშაობენ ფოლადის გულარიანი კოჭას მთლიანი წინაღობის ცვალებადობის პრინციპზე, რაც გამოწვეულია გარდამსახის მოძრავი ნაწილის – ფოლადის ღუზას გადაადგილებით.

მარტივი სახის ცალმაგი ინდუქციური გარდამსახი შედგება უძრავი (1) მაგნიტგამტარისაგან (L) კოჭათი, რომელიც იკვებება ცვლადი დენიოთ და მოძრავი ღუზისაგან (2) (ნახ.2.10,ა). გარეგანი (P) მექანიკური ძალის მოქმედებით ღუზა გადაადგილდება მაგნიტგამტარისაკენ და სათანადოდ შეიცვლება საპარო დრენოს სიგრძე ( $\delta$ ) რომელიც, თავის მხრივ, იწვევს კოჭას ინდუქციური წინაღობისა და, მაშასადამე, კოჭას (Z) მთლიანი წინაღობის შეცვლას. მთლიანი წინაღობის შეცვლა კი იწვევს კოჭას წრედში დენის ძალის

$$\text{ცვალებადობას, } \text{რადგან } I = \frac{U}{Z}, \quad \text{სადაც } Z = \sqrt{R^2 + (\omega L)^2}$$

არის გარდამსახის კოჭას მთლიანი წინადობის მოდული.

$\omega$  - დენის კუთხური სიხშირე;

R - კოჭას აქტიური წინადობა;

$$L = \frac{0.2\pi \cdot n^2 \cdot S}{\delta} \cdot 10^{-8} - \text{კოჭას ინდუქციურობა;}$$

n - ხვეულების რიცხვი;

S - მაგნიტურამტარის კვეთის ფართი;

$\delta$  - მანძილი კოჭასა და ლუზას შორის.

თუ  $R \ll \omega L$ , მაშინ

$$Z \approx \omega L \approx \frac{0.2\pi \cdot n^2 \cdot S \cdot \omega \cdot 10^{-8}}{\delta} \text{ ღა}$$

$$\text{დენის ძალა } I = \frac{U}{Z} = \frac{U \cdot \delta \cdot 10^8}{0.2\pi \cdot n^2 \cdot S \cdot \omega}. \quad (2.15)$$

გარდამსახის მგრძნობიარობა განისაზღვრება ფორმულით

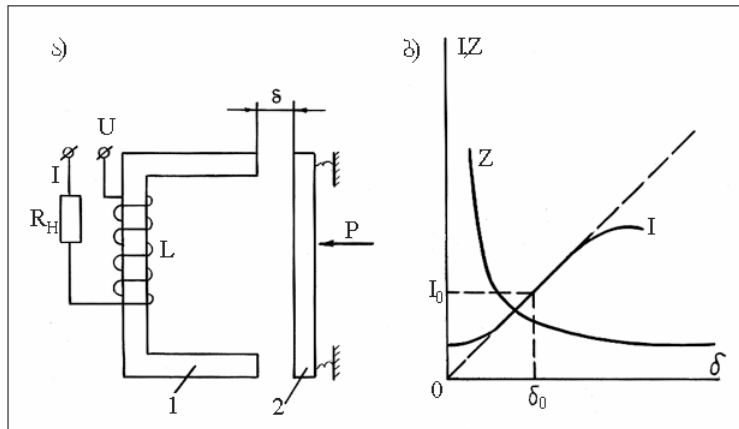
$$\frac{dI}{d\delta} = \frac{U \cdot 10^8}{0.2\pi \cdot n^2 \cdot S \cdot \omega}. \quad (2.16)$$

ამრიგად, ლუზას გადაადგილება იწვევს კოჭას წრედში დენის ძალის შეცვლას, ე.ი. დენის ძალის ცვალებადობით შეიძლება განვსაზღვროთ გადაადგილების სიდიდე.

ცალმაგი ინდუქციური გარდამსახის მუშაობა და-მოკიდებულია მკვებავი ძაბვის სიდიდესა და სიხშირეზე, აგრეთვე, ტემპერატურაზე. გარდამსახის ნაკლებ შეადგენს გაზომვის შედეგის დამოკიდებულება ლუზის მიზიდულობის ძალაზე, რომელიც იცვლება საპაერო ღრეულის სიდიდის ცვალებადობით. თუ საჭიროა ლუზის (2) გადაადგილების გაზომვა ორივე მიმართულებით, ე.ი. მარცხნივ და მარჯვნივ, აუცილებელია საწყისი საპაერო ღრეულის  $\delta_0$  და დატვირთვის დენის საწყისი სიდიდის  $R_{\text{დატ.}}$  დადგენა, რაც, რასაკ-გირველია, გამოიწვევს გარკვეულ ცდომილებებს. გარდამსახის მახსასიათებელი ნაჩვენებია 2.10, ნახაზზე.

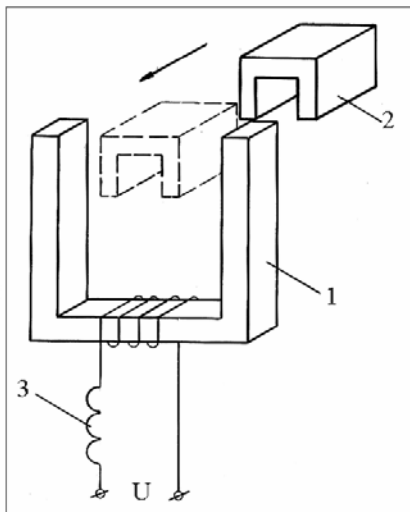
ცალმაგი ინდუქციური გარდამსახი შეიძლება გამოყენებულ იქნეს, როგორც უკონტაქტო საგზაო გამომრთველი

საბოგირო საზომ სქემებში. მისი საშუალებით შეიძლება გაიზომის გადაადგილება მიკრონის ნაწილიდან – 3-5 მმ-მდე.



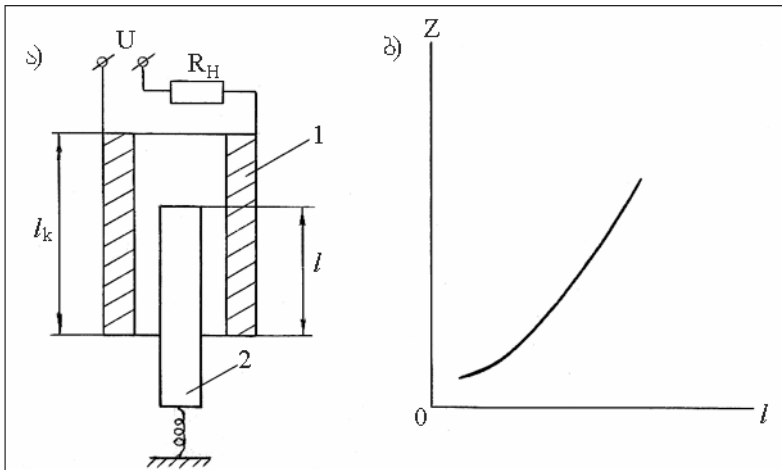
ნახ.2.10. ცალმაგი ინდუქციური გარდამსახი (ა) და მისი მახასიათებელი (ბ)

როგორც 2.11 ნახაზეა წარმოდგენილი, ფოლადის ღუზის (2) მაგნიტგამტართან (1) მიახლოებისას კოჭას წრედის წინაღობა იზრდება, დენის ძალა მცირდება და რელეს (3) ამოქმედების შედეგად კოჭას წრედი გაითიშება.



ნახ.2.11. ცალმაგი ინდუქციური გარდამსახის უკონტაქტო საგზაო გამომრთველად გამოყენების სქემა

რამდენიმე სმ-ის სიღიდის გადაადგილებების გასაზომად სარგებლობები სოლენოიდური სისტემებით (ნახ.2.12). სოლენოიდური სისტემის ცალმაგი გარდამსახი შედგება ლია სოლენოიდისაგან (1) და მოძრავი ღუზისაგან (2). კოჭას შიგნით ღუზას შესვლა იწვევს კოჭას ინდუქციურობის ცვლილებას, კოჭაში შესული ღუზის ნაწილის მასის პროპორციულად. (ნახ.2.12,ბ).



ნახ.2.12. სოლენოიდური სისტემის ცალმაგი გარდამსახი. ა) გარდამსახის სქემა; ბ) გარდამსახის მახასიათებელი

კოჭას ინდუქციურობა პენრებში

$$L = \frac{n^2}{l_3} \mu q l, \quad (2.17)$$

სადაც  $n$  – კოჭას ხვეულების რიცხვი;

$l_3$  – კოჭას სიგრძე;

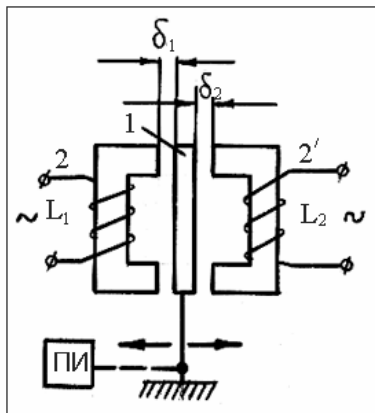
$q$  – კოჭას განივი კვეთი;

$l$  – ღუზის იმ ნაწილის სიგრძე, რომელიც კოჭაშია მოთავსებული;

$\mu$  – გულარის მასალის მაგნიტური შედწევადობა.

ფართოდ არის გავრცელებული პრაქტიკაში გარდამსახი, რომელიც შედგება ორი სიმეტრიულად განლაგებული ინდუქციური კოჭასაგან და პირველად გამზომთან (ПИ) დაკავშირებული ღუზისაგან. ღუზის გადახრა შეალენი მდგომარეობა.

მარჯობიდან იწვევს მარცხენა ან მარჯვენა კოჭას ინდუქციური წინაღობის ცვლილებას. ასეთი ტიპის ინდუქციური გარდამსახები გამოიყენება მიღიმეტრის მეათედი და მეასედი ნაწილის გასაზომად. გარდამსახის სქემა ნაჩვენებია 2.13 ნახაზზე. აქ  $L_1$  და  $L_2$  ჟესაბამისად მარცხენა და მარჯვენა კოჭას ინდუქციურობაა, ხოლო  $\delta_1$  და  $\delta_2$  დრეჩოს სიდიდე. ინდუქციური გარდამსახების ღირსებას წარმოადგენს მათი სიმარტივე, საიმედოობა, მოხახუნე კონტაქტების უქონლობა, დიდი სიმძლავრეები, ეფექტური გამომავალი სიგნალები, სამრეწველო სიხშირის ცვლად დენზე მუშაობის ჟესაძლებლობა.



ნახ.2.13. გარდამსახი  
მოძრავი ღუზით: ПИ –  
პირველადი გამზომი; 1 –  
მოძრავი ღუზა; 2, 2' –  
ინდუქციური კოჭა

ინდუქციური გარდამსახების ნაკლია გაზომვის შედეგების მნიშვნელოვნად დამოკიდებულება მკვებავი ქსელის დენის სიხშირეზე. გარდამსახები მუშაობენ 3000-5000 ჰერც სიხშირეზე. მეტი სიდიდის სიხშირების დროს მკვეთრად იზრდება დანაკარგები ფოლადში.

ინდუქციური გარდამსახები გამოიყენება ბეტონის ქარხების ავტომატურ დოზატორებში, ამწევების გადატვირთვის შემზღვეველებში, მუშაობისმზომებში, ელექტრულ მანომეტრებში, დინამომეტრებში, ტენზომეტრებში, ბოლო გამომრთველებში და გაზომვისა და ავტომატიკის სხვა მოწყობილობებში თუ სელსაწყოებში.

## §5. ტევადური გარდამსახები

ტევადური გარდამსახი წარმოადგენს წვეულებრივ ბრტყელ კონდენსატორს, რომელშიც გადაადგილების გარდაქმნა ტევადობის ცვალებადობად ხორციელდება ფინებს შორის მანძილის შეცვლით, ფინების ფართის ან დიელექტრიკის შეცვლით. ამასთან, კონდენსატორის ელექტროტევადობა ფინებს შორის მანძილის შეცვლის მიხედვით იცვლება პიპერბოლოიდურად, ხოლო  $\varepsilon$  და  $S$  ცვლილების მიხედვით – ხაზოვნად.

ბრტყელი პარალელური კონდენსატორის ელექტრული ტევადობა პიკოფარადებში იანგარიშება გამოსახულებით

$$C = 0.089 \cdot \frac{\varepsilon \cdot S}{\delta}, \quad (2.18)$$

სადაც

$S$  არის კონდენსატორის ფინების (სულ ორი ფინია) ურთიერთგადახურვის ფართი,  $\text{სმ}^2$ -ობით.

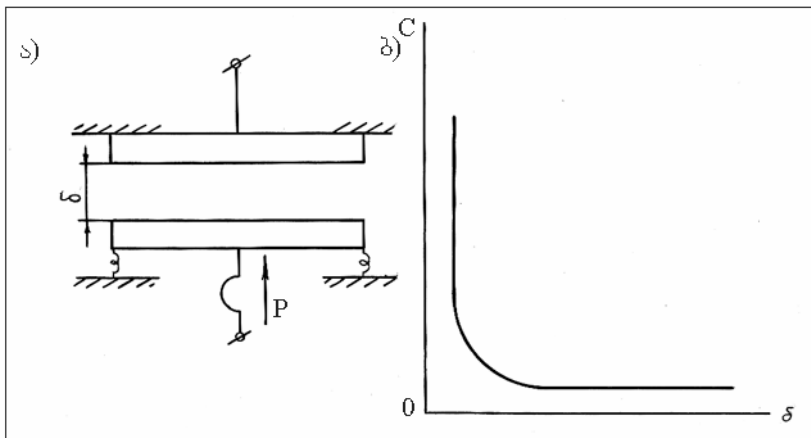
$\varepsilon$  – გარემოს ფარდობითი დიელექტრიკული შეღწევა-დობა;

$\delta$  – ფინებს შორის მანძილი,  $\text{სმ}$ -ობით.

მეტად გაგრცელებულ ტევადურ გარდამსახებში გამოყენებულია ელექტრული ტევადობის დამოკიდებულება ფინების ურთიერთდაშორებაზე (ნახ.2.14,ბ).

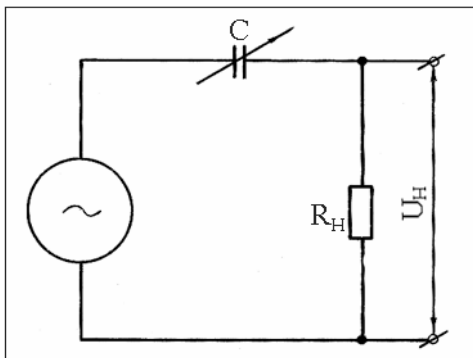
ტევადური გარდამსახები მუშაობენ ცვლად დენზე. ისინი ძალზე მგრძნობიარენი არიან. მათი საშუალებით შეიძლება მცირე სიდიდის გადაადგილების გაზომვა-ლაბორატორიულ პირობებში  $10^{-3}$  მიკრონამდე, ხოლო ტექნიკურ მოწყობილობებში – მიკრონის მეათედ ნაწილებამდე.

2.14 ნახაზზე მოყვანილია გადაადგილების ტევადური გარდამსახის სქემა და მისი მახასიათებელი. გარდამსახის მოძრავი ნაწილის გადაადგილება  $P$  ძალის მოქმედებით გარდაიქმნება ელექტრულ გამომავალ სიდიდედ (სიხშირე, დენის ძალა, ძაბვა), რომელიც დამოკიდებულია შემავალ სიდიდეზე.

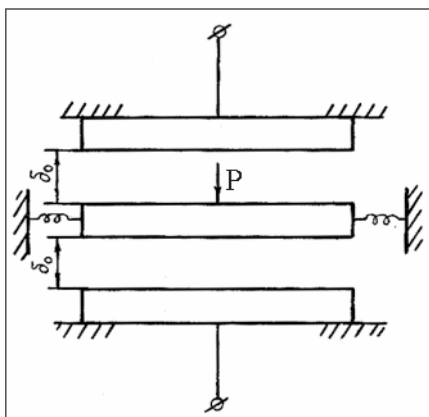


ნახ.2.14. გადაადგილების ტევადური გარდამსახი: а) სქემა; б) გარდამსახის მახასიათებელი

2.15 ნახაზზე წარმოდგენილია გადაადგილების ტევადური გარდამსახის ჩართვის ელექტრული სქემა. გარდამსახის ფინის გადაადგილება იწვევს მისი ტევადობის შეცვლას. იცვლება გამავალი დენის ძალა და  $R_{დატ}$ . დატვირთვის  $U_{დატ}$ -ძაბვა, რომელიც წარმოადგენს გამომავალ სიდიდეს. აღნიშნული სქემა დამოკიდებულია მკებავი დენის წყაროს ან მაძლიერებლის ძაბვასა და სიხშირეზე, რაც გაზომვების დროს გარკვეულ ცდომილებებთან არის დაკავშირებული. ეს ნაკლი გამოსწორებულია სქემაში (ნახ.2.16), სადაც გამოყენებულია ტევადური დიფერენციული გარდამსახები, რომელთაც ახასიათებთ მეტი მგრძნობიარობა. ამ შემთხვევაში შეუალები მოძრავი ფინის გადაადგილება  $P$  ძალის გავლენით იწვევს კონდენსატორის ერთი ნახევრის ტევადობის გაზრდას, ხოლო მეორე ნახევრის ტევადობის შემცირებას. ასეთი გარდამსახის მგრძნობიარობა ორჯერ იზრდება ნახ. 2.15 მოყვანილ გარდამსახთან შედარებით.



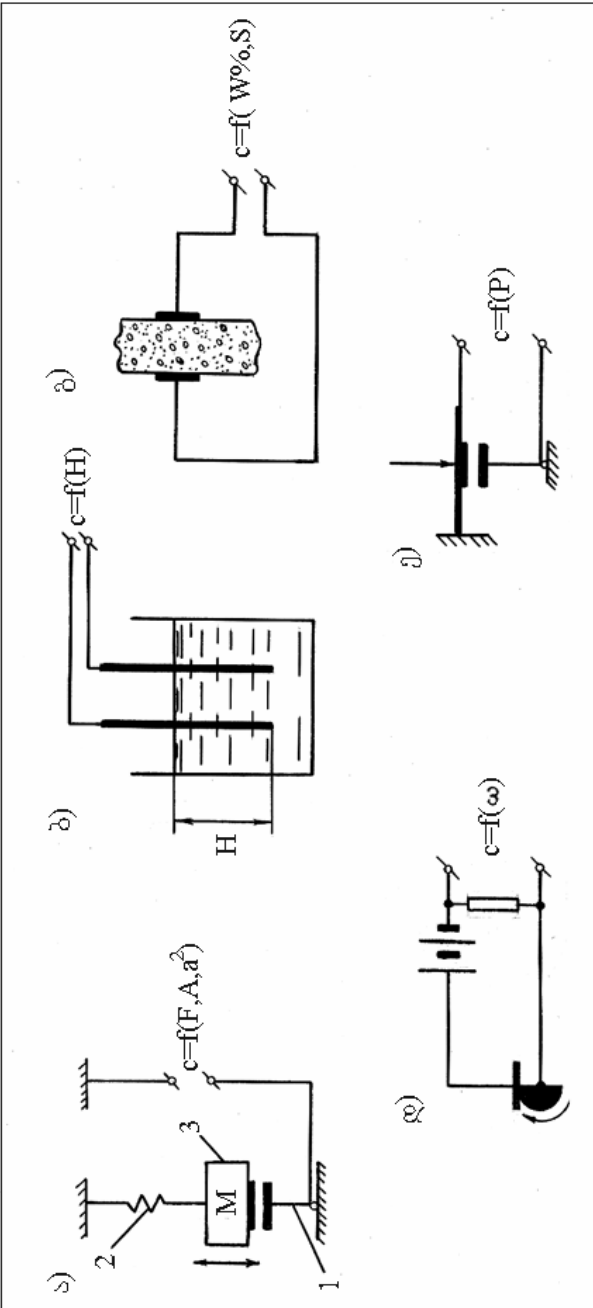
ნახ.2.15. გარდამსახის ჩართვის ელექტრული სქემა



ნახ.2.16. დიუკრუნციალური გარდამსახის სქემა ცვლადი ღრებოთი

ტევადური გარდამსახების ჩართვა, ჩვეულებრივ, ხდება ბოგიროვან სქემებში ან რეზონანსულ კონტურებში, მაძლიერებლებთან ერთად, რაც უზრუნველყოფს მაღალ მგრძნობიარობას გადაადგილებათა გაზომვის დროს.

2.17 ნახაზზე ნაჩვენებია ტევადური გარდამსახების გამოყენებით სხვადასხვა ტექნოლოგიური ინფორმაციის მიღების ზოგიერთი მაგალითი.



ნახ.2.17. ტექნოლოგიური ინფრამაციის ტექადური გარდამსახუბი: а) ვიბრაციის სიხშირისა და ამპლიტუდის გაზომვა: 1 – უძრავი ფინა; 2 – მოძრავი ფინა; 3 – გასა, რომელიც გადადგილდება ვიბრაციის გავლენით. ბ) სითხის დონის გაზომვა. გ) ტენიანობისა და სხვადასხვა სტრუქტურული მახასიათებლის გაზომვა. დ) ბრუნვის სიჩქარის გაზომვა. ე) წნევის გაზომვა

ტევადური გარდამსახები ეკონომიკური, მცირებაბარიტიანი და კონსტრუქციული მარტივია; ახასიათებთ მაღალი მგრძნობიარობა და ფინებს შორის მცირე მიზიდულობის ძალა; საჭიროებენ უმნიშვნელო ძალვებს გარდამსახის მოძრავი ნაწილის გადასაადგილებლად. არსებით ნაკლს წარმოადგენს დიდი რეაქტიული წინაღობა, რაც გამორიცხავს ტევადური გარდამსახების გამოყენებას სამრეწველო სიხშირის დროს. მართლაც, გარდამსახის ტევადობა საშუალოდ შეადგენს  $10\text{-}100$  პიკოფარადს ( $1 \text{ პიკოფარად} = 10^{-12} \text{ ფარად}$ ).  $C=100$  პფ დროს გარდამსახის რეაქტიული წინაღობა სამრეწველო სიხშირის  $f=50$  ჰერცი შემთხვევაში შეადგენს

$$x_c = \frac{1}{\omega \cdot C} = \frac{1}{2\pi \cdot f \cdot C} = \frac{1}{2 \cdot 3.14 \cdot 50 \cdot 100 \cdot 10^{-12}} = \frac{10^{12}}{3.14 \cdot 10^4} = 30 \cdot 10^6 \text{ მმ.}$$

აქედან გამომდინარე, ტევადური გარდამსახების გასაზომი სქემების კვება წარმოებს მაღალი სიხშირის ცვლადი დენიო (400 ჰერციდან რამდენიმე მეგაჰერცამდე).

## §6. თერმოელექტრული გარდამსახები

თერმოწყვილი წარმოადგენს გენერატორული ტიპის ტემპერატურულ გარდამსახს. მისი მოქმედების პრინციპი ემყარება ზეებეკის მიერ 1821 წელს აღმოჩენილ ეფექტის გამოყენებას, რაც მდგომარეობს შემდეგში: თუ სხვადასხვაგვარი ლითონისაგან დამზადებულ ორ ელექტროდს A და B დარჩენილავთ ან შევადუდებთ (ნახ.2.18) და დარჩილვის ადგილს გავახურებთ, მაშინ მიღებული თერმოელექტრული გარდამსახის თავისუფალ ბოლოებზე წარმოიშობა ელექტრომამოძრავებელი ძალა, რომლის სიდიდე პროპორციულია დარჩენილული და თავისუფალი ბოლოების ტემპერატურათ სხვაობისა. თუ გავითვალისწინებთ, რომ  $e_{BA}(t_2) = -e_{AB}(t_2)$ , მივიღებთ:

$$E_{AB} = (t_1, t_2) = e_{AB}(t_1) - e_{AB}(t_2) = f(t) = K(t_1 - t_2) = K\Delta t, \quad (2.19)$$

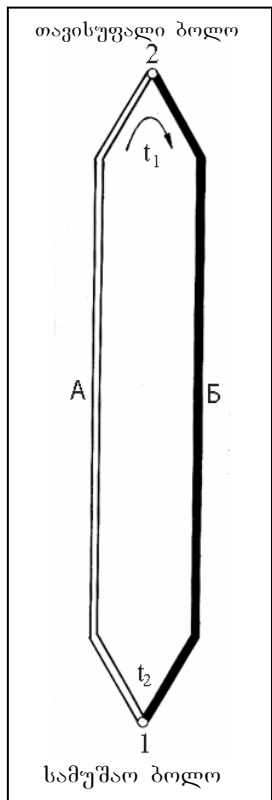
სადაც

$t_2$  არის თერმოწყვილის თავისუფალი ბოლოს ტემპერატურა;

$t_1$  – სამუშაო ბოლოს ტემპერატურა;

K - თერმოელექტრული კოეფიციენტი, რომელიც დამოკიდებულია თერმოწყვილის ელექტროდების მასალის თვისებებზე. რიცხობრივად იგი ტოლია თერმოწყვილის ემპსა, თერმოელექტროდების ტემპერატურათა სხვაობის დროს  $1^{\circ}\text{C}$ . K იმყოფება საზღვრებში  $1 \cdot 10^{-5}$ -დან  $5 \cdot 10^{-6}$  ვოლტი/გრად-დე.

E - თერმოელექტრომამოძრავებელი ძალა (თემდ), რომლის სიდიდე არ არის დამოკიდებული ელექტროდების ფორმასა და მათ გეომეტრიულ ზომებზე.



ნახ.2.18. თერმოელექტრული წრედი ორი გამტარისაგან – A, B : 1,2 – გამტარების ბოლოები

ორი თერმოწყვილის მიმდევრობით შეერთების შემთხვევაში საერთო თერმოელექტრომამოძრავებელი ძალა

$$E = E_1 + E_2. \quad (2.20)$$

წრედის თერმო ემპს., რომელიც შედგება  $n$  ერთნაირი თერმოწყვილისაგან,

$$E=nE_1(t_1t_0). \quad (2.21)$$

სადაც  $n$  არის მიმდევრობით შეერთებული თერმოწყვილების რიცხვი.

$E_1(t_1t_0)$  – ერთი თერმოწყვილის თერმო ე.მ.ძ., რომლის სამუშაო და თავისუფალ ბოლოებზე ტემპერატურა შესაბამისად უდრის  $t_1$  და  $t_0$ .

ერთნაირი თერმოწყვილების პარალელურად შეერთების შემთხვევაში

$$E=\frac{E_1+E_2+\dots+E_n}{n}. \quad (2.22)$$

თერმოწყვილის ბოლოებზე თერმო ე.მ.ძ. წარმოშობა აიხსნება შემდეგნაირად: ნებისმიერი გამტარის მოლეკულათა შორის სივრცე შეიცავს თავისუფალ ელექტრონებს, რომელთა ენერგია და ტემპერატურაზე დამოკიდებულება სხვადასხვა მასალის გამტარისათვის განსხვავებულია; მაგრამ ტემპერატურის ზრდასთან ერთად თავისუფალი ელექტრონების ენერგია მატულობს. ამიტომ თერმოწყვილის სამუშაო (ცხელ) ბოლოზე ელექტრონები მოძრაობენ მეტი სიჩქარით, ვიდრე თავისუფალ (ცივ) ბოლოზე, რის შედეგადაც წარმოიშობა ელექტრონების ნაკადი სამუშაო ბოლოდან თავისუფალი ბოლოს მიმართულებით. თერმოწყვილის თავისუფალ ბოლოზე ადგილი აქვს უარყოფითი მუხტის დაგროვებას. ეს პროცესი გრძელდება დამყარებული რეჟიმის დაღომამდე, რადგან სხვადასხვა მასალას გააჩნია თავისუფალი ელექტრონების არათანაბარი რაოდენობა, ამიტომ თერმოწყვილის თავისუფალ ბოლოებზე წარმოიშობა პოტენციალთა სხვაობა.

თუ თერმოწყვილის თავისუფალ ბოლოებს შევაერთებთ, როდესაც  $t_1 > t_2$ , წრედში გაივლის ელექტრული დენი, ხოლო, როდესაც  $t_1 = t_2$  დენის გავლას ადგილი არ ექნება.

თერმოწყვილის მგრძნობიარობა ხასიათდება თერმო ე.მ.ძ. სიდიდით, რომელიც შეესაბამება გარდამსახის კონტაქტის ტემპერატურის  $10^{\circ}\text{C}$  შეცვლას. მაშასადამე, თერმოწყვილის სამუშაო ბოლოს საშუალებით ტემპერატურის გაზომება შეიძლება დავიყვანოთ თერმო ე.მ.ძ. გაზომვამდე, რომელსაც განავთარებს თერმოწყვილი თავისუფალი ბოლოს მუდმივი ტემპერატურის შემთხვევაში.

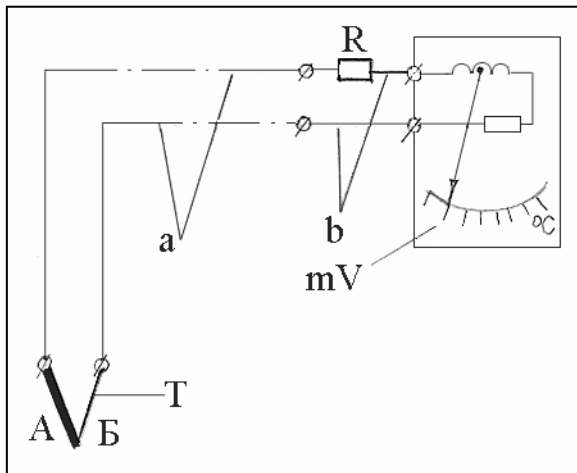
თერმოწყვილის სამუშაო ბოლოს ტემპერატურაზე თერმო ქ.მ.დ. დამოკიდებულების განსაზღვრას, თავისუფალ ბოლოზე ტემპერატურის მუდმივი მნიშვნელობის დროს თერმოწყვილის გრადუირება ეწოდება. თავისუფალი ბოლოს ტემპერატურა თერმოწყვილის გრადუირების დროს ჩვეულებრივად მიიღება  $t_0=0^{\circ}\text{C}$ . ამის მიღწევა შეიძლება თერმოწყვილის თავისუფალი ბოლოს მოთავსებით შედარებით მუდმივგემპერატურიან გარემოში. ტემპერატურის ზუსტი გაზომვის დროს თერმოწყვილის თავისუფალი ბოლო თავსდება თერმოსტატში ან დიუარის ჭურჭელში, რომელიც აგხებულია ყინულიანი წყლით.

თერმო ქ.მ.დ. და, მაშასადამე, ტემპერატურის გასაზომად თერმოწყვილის წრედში საჭიროა ელექტროგამზომი ხელსაწყოს ჩართვა. ასეთ ხელსაწყოებს მიეკუთვნება მილივოლტმეტრები და ელექტრონული ავტომატური პოტენციომეტრები (კომპუნისატორები).

მილივოლტმეტრი მიეკუთვნება მაგნიტოელექტრული სისტემის ხელსაწყოებს და გათვალისწინებულია ტემპერატურისა და სხვა არაელექტრული სიდიდეების ჩვენების, ჩაწერისა და რეგულირებისათვის, რომლებიც გარდამსახურდის დახმარებით გარდაიქმნება ელექტრულ ძაბვად.

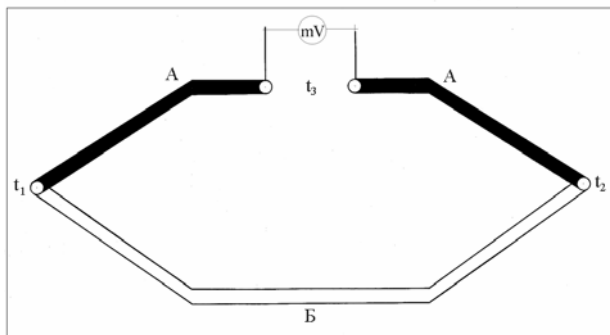
ელექტრონული პოტენციომეტრები წარმოადგენენ მაღალი სიზუსტის ხელსაწყოებს, წვეულებრივ 0,5 კლასისა. სხვა ელექტრონული ხელსაწყოების ანალოგიურად ელექტრონული პოტენციომეტრის ძირითადი კვანძი – გამაძლიერებელი დამზადებულია ელექტრონული ნათურების გამოყენებით. პოტენციომეტრები გამოდის ხელითა და ავტომატური მართვით, ავტომატური პოტენციომეტრები ფართოდ გამოიყენება ტემპერატურის გასაზომად, ჩაწერისა და რეგულირებისათვის სტანდარტული დაგრადუირების თერმოწყვილებთან კომპლექტში. გარდა ამისა, პოტენციომეტრები გამოიყენება, როგორც მეორადი ხელსაწყოები, რომლებიც მუშაობენ მუდმივი დენისა და ძაბვის სხვადასხვა გარდამსახებთან.

2.19 ნახაზზე მოყვანილია თერმოწყვილის წრედში გასაზომი ხელსაწყოების ჩართვის სქემა.



ნახ.2.19. თერმოწყვილისა და მიღივოლტმეტრის შეერთების პრინციპული სქემა: T – თერმოწყვილი; mV - მიღივოლტმეტრი; R - მომრგებელი კოჭა; a - საკომპენსაციო სადენი; b - სპილენბის სადენი

ავტომატიკაში თერმოელექტრული გარდამსახი ხშირად გამოიყენება ორ წერტილში ტემპერატურების ერთმანეთთან შესადარებლად. ასეთ გარდამსახს დიფერენციული თერმოწყვილი ეწოდება (ნახ.2.20). ასეთი თერმოწყვილის ორივე ბოლო სამუშაოა და თერმო კმძ. განსხვავდება ნულისაგან მაშინ, როდესაც თერმოწყვილის სამუშაო ბოლოების ტემპერატურა სხვადასხვაა, ამასთან პოლარულობა დამოკიდებულია იმაზე, რომელ ბოლოს აქვს უფრო მაღალი ტემპერატურა.



ნახ.2.20. დიფერენციალური თერმოწყვილი

## §7. წინააღმდეგობის ტემპერატურული გარდა- მსახები

წინააღმდეგობის ტემპერატურული გარდამსახების მო-  
ქმედება დამყარებულია გამტარებისა და ნახევარგამტარების  
წინადობის ცვალებაზე ტემპერატურის მიხედვით.

ტემპერატურული გარდამსახების სახით ფართო გამო-  
ყენებას პოულობენ წინააღმდეგობის ლითონის თერმომე-  
ტრები და ნახევარგამტარიანი თერმოწინადობები (თერმის-  
ტორები).

თერმოწინადობის მგრძნობიარობა (პროპორციულია  
სიდიდისა  $I\sqrt{R}$ , სადაც I არის დენის ძალა თერმომეტრის  
წრედში, R – თერმომეტრის წინადობა) ტემპერატურის  
ცვლილების მიხედვით ხასიათდება ელექტროწინადობის  
ტემპერატურული კოეფიციენტით  $\alpha$ , რომელიც წარმოადგენს  
წინადობის ფარდობითი ცვლილების  $\frac{\Delta R}{R}$  შეფარდებას, ტემ-  
პერატურის ნამატის ერთეულთან  $\Delta t$ , ე.ო.

$$\alpha = \frac{\frac{\Delta R}{R}}{\Delta t} = \frac{1}{R} \cdot \frac{\Delta R}{\Delta t} \approx \frac{1}{R} \cdot \frac{dR}{dt}. \quad (2.23)$$

ა) წინააღმდეგობის ლითონის თერმომეტრები. ტემ-  
პერატურის ზრდასთან ერთად უმეტესი ლითონის წინადობა  
მატულობს, მაგრამ ელექტროწინადობის ტემპერატურული  
კოეფიციენტი მუდმივია მსოლოდ აღებული მასალის ტემ-  
პერატურების გარკვეულ ზღვრამდე. სხვა ტემპერატურე-  
ბისათვის ელექტროწინადობის ტემპერატურული კოეფი-  
ციენტი თვითონ არის დამოკიდებული ტემპერატურაზე, ე.ო.  
ცვლადი სიდიდეა.

წინააღმდეგობის თერმომეტრის ელექტრული წინადობის  
ცვლილება ტემპერატურებისათვის –  $40^{\circ}\text{C}$ -დან  $+630^{\circ}\text{C}$ -მდე გა-  
მოიხატება ფორმულით [13].

$$R_t = R_0(1 + at + bt^2), \quad (2.24)$$

ხოლო ტემპერატურებისათვის მინუს  $190^{\circ}\text{C}$ -დან  $0^{\circ}\text{C}$ -მდე  
(პლატინა) ფორმულით [3]

$$R_t = R_0[1+ab+bt^2+C(t-100)t^3]. \quad (2.25)$$

სპილენძისათვის საზღვრებში  $t=-50^0\text{C}$ -დან  $t=+150^0\text{C}$ -მდე  
წინადობის დამოკიდებულება ტემპერატურაზე მიახლოებით  
გამოისახება ფორმულით

$$R_t = R_0(1+at). \quad (2.26)$$

მოყვანილ ფორმულებში

$R_0, R_t$  თერმომეტრის წინადობაა  $0^0\text{C}$  და  $t^0\text{C}$  დროს;

$a, b$  მუდმივი კოეფიციენტები, რომლებიც განისაზღვრება  
გრადუირების დროს წყლისა და გოგირდის დუღილის წერ-  
ტილების მიხედვით (სუფთა პლატინისათვის  $a=3,95 \cdot 10^{-3}$

$$\frac{1}{\text{გრად}}; \quad b=-5,85 \cdot 10^{-7} \frac{1}{\text{გრად}}; \quad \text{სუფთა სპილენძისათვის } a=4,25 \cdot 10^{-3}$$

$$\frac{1}{\text{გრად}});$$

$C$  – მუდმივი კოეფიციენტია, რომელიც განისაზღვრება  
თერმომეტრის გრადუირებისას ჟანგბადის დუღილის წერ-  
ტილის მიხედვით.

წინადობის თერმომეტრის წრედში დასაშვები დენის  
ძალა

$$I_{\text{დასაშ.}} = \sqrt{\frac{S \cdot q}{\gamma}}, \quad (2.27)$$

სადაც

$S$  არის თეომრმეტრის ზედაპირი;

$q$  - თერმომეტრის დახვევის მავთულის კვეთი;

$\gamma$  - მავთულის ხვედრითი წინადობა.

თერმომეტრის გადახურების მაჩვენებლის ლოგარითმი  
ხაზოვან დამოკიდებულებაშია თერმომეტრის წრედში დასა-  
შვები დენის ძალის სიდიდის ლოგარითმთან [3]

$$\lg \theta = \lg B + 2 \lg I_{\text{დასაშ.}}, \quad (2.28)$$

სადაც  $B$  არის პროპორციულობის კოეფიციენტი.

წინადობის თერმომეტრის საშუალებით გარემოს ტემ-  
პერატურის გასაზომად ვსაზღვრავთ გარემოს წინადობას.  
მაშასადამე, გარდამსახის გარდა, ტემპერატურის გასაზომად

საჭიროა ცვლადი წინადობის გასაზომი მოწყობილობა, ელექტრული კვების წყარო და შემართებელი სადენები.

გარდამსახის მასალა უნდა ხასიათდებოდეს წინადობის მაღალი ტემპერატურული კოეფიციენტით ( $\alpha$ ), დიდი ხვედრითი ელექტრული წინადობით ( $\gamma$ ), რათა მცირე გაბარიტების შემთხვევაში ელემენტს გააჩნდეს დიდი წინადობა გაზომვის დაწყებამდე.

ჩამოთვლილ მოთხოვნებს კარგად აქმაყოფილებს პლატინა და სპილენძი. ამიტომ წინადობის თერმომეტრების სერიულად დასამზადებლად ეს მასალები გამოიყენება. პლატინის წინადობის თერმომეტრები აღინიშნებიან TCPI, სპილენძისა - TCM.

წინადობის თერმომეტრებში გარდამსახის წინადობის სიდიდე დადგენილია ГОСТ-ით, რომლის მიხედვითაც პლატინის წინადობის თერმომეტრების გარდამსახის ნომინალური წინადობა შეადგენს 1, 5, 10, (46), 50, 100 და 500 ომს, ხოლო სპილენძის წინადობის თერმომეტრებისა - 10, 50, (53) და 100 ომს ( $0^{\circ}\text{C}$  ტემპერატურის დროს).

წინადობის ელექტრული თერმომეტრების დირსებას შეადგენს: კარგად აღსაქმელი სკალა მეორად ხელსაწყოებთან დასაშვები ტემპერატურის საზღვრებში, მეორადი ხელსაწყოს სკალის ნებისმიერი ტემპერატურული ინტერვალით გრადუირების შესაძლებლობა; სითბური რეჟიმის ავტომატური ჩაწერის შესაძლებლობა თვითჩამწერი მოწყობილობების საშუალებით; ტემპერატურის ავტომატური რეგულირების გამოყენება და სხვა.

**ბ)** ნახევარგამტარული თერმოწინადობები (თერმისტორები). თერმისტორი ეწოდება ნახევარგამტარიან თერმოწინადობას, რომლის ელექტრული წინადობა მკვეთრად მცირდება ტემპერატურის ზრდის დროს, ე.ი. თერმისტორს აქვს უარყოფითი ტემპერატურული კოეფიციენტი.

დამოკიდებულება წინადობასა და ტემპერატურას შორის გამოიხატება ექსპონენციალური კანონით.

$$R_T = A e^{\frac{B}{T}} = R_0 e^{\frac{B}{T}} \left( \frac{1}{T} - \frac{1}{T_0} \right), \quad (2.29)$$

სადაც

$R_T$  არის თერმისტორის წინადობა;

$R_1$  – თერმისტორის წინადობა  $T_1$  აბსოლუტური ტემპერატურის დროს;

$T$  – თერმისტორის აბსოლუტური ტემპერატურა – კელვინის გრადუსებში;

$e$  – ნატურალური ლოგარითმის ფუძე;

$A$  და  $B$  მუდმივი კოეფიციენტებია, რომლებიც დამოკიდებული არიან თერმისტორის მასალის ფიზიკურ თვისებებზე.

$$B = \frac{T_1 \cdot T_2}{0.43(T_2 - T_1)} \cdot \lg \frac{R_1}{R_2}, \quad [^{\circ}\text{K}] \quad (2.30)$$

სადაც  $R_1$  და  $R_2$  თერმისტორის წინადობებია (ომებში)

$T_1$  და  $T_2$  ტემპერატურების დროს.

თერმისტორის ტემპერატურული კოეფიციენტი

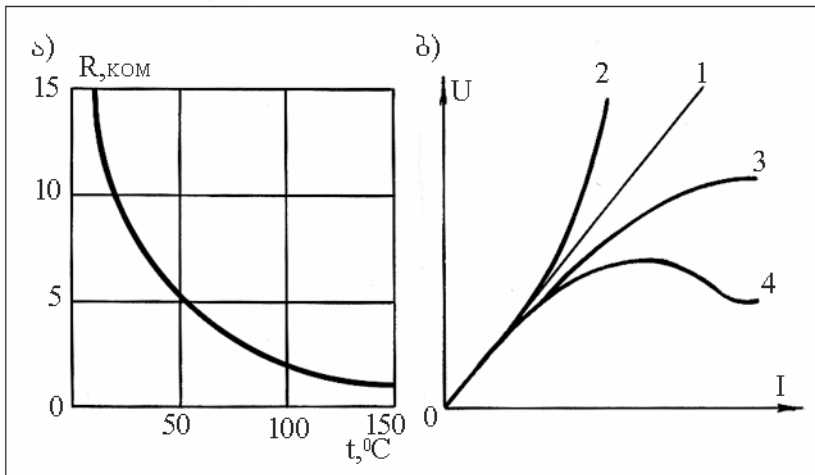
$$\alpha_t = \frac{1}{R_T} \cdot \frac{dR_T}{dT} = -\frac{B}{T^2} \cdot 100. \quad [\%/{^{\circ}\text{K}}] \quad (2.31)$$

2.21,ა ნახაზზე წარმოდგენილია MMT-1 ტიპის თერმისტორის ტემპერატურული მახასიათებელი. გრაფიკიდან ჩანს, რომ ტემპერატურის ზრდასთან ერთად TC წინადობა მკვეთრად ეცემა.

თერმისტორის თვისებები განისაზღვრება, აგრეთვე, კოლტ-ამპერული მახასიათებლით, რომელიც გამოსახავს თერმოწინადობაში გამავალი დენის ძალის დამოკიდებულებას ძაბვაზე, გარემომცველი გარემოს მუდმივი ტემპერატურის დროს.

2.21,ბ ნახაზზე მოყვანილია თერმოწინადობების კოლტ-ამპერული მახასიათებლები.

თერმისტორების უპირატესობას, წინააღმდეგობის თერმომეტრებთან შედარებით, წარმოადგენს მათი დიდი ელექტრული წინადობა, რაც განსაკუთრებით მნიშვნელოვანია თერმისტორების გამოყენებისას ელექტრონულ მაძლიერებლებთან ერთად და ტემპერატურების დისტანციური გაზომვის დროს.



ნახ.2.21. თერმოწინაღობების მახასიათებლები: а) ММТ-1 ტიპის თერმისტორის ტემპერატურული მახასიათებლები; ბ) ვოლტ-ამპერული მახასიათებლები: I – წინაღობის, რომელიც არ არის დამოკიდებული ტემპერატურაზე; 2 – ლითონის თერმოწინაღობის; 3, 4 – შესაბამისად ნაკლები და მეტი უარყოფითი ტემპერატურული კოეფიციენტის მქონე ნახევარგამტარული თერმოწინაღობების

თერმისტორების ნაკლია მახასიათებლების ნაკლები სტაბილურობა და ურთიერთშენაცვლებადობის სირთულე, რადგან წინაღობა და ტემპერატურული კოეფიციენტი ერთი და იმავე ტიპის თერმოწინაღობების ცალკეული ეგზემპლარებისაც კი სხვადასხვაა.

## §8. ფოტოელექტრული გარღამსახები

ფოტოელექტრული გარღამსახი რეაგირებას ახდენს განათებულობის ცვალებადობაზე. ზოგიერთი მყარი სხეულის ზედაპირის განათებისას სინათლის კვანტები, შეაღწევენ რანიგორების ზედაპირულ შრეებში, გადასცემენ ელექტრონებს ენერგიას, რის შედეგადაც ელექტრონები ტოვებენ თავიანთ ორბიტებს. ამ დროს შესაძლებელია სამი სახის ფოტოეფექტის მიღწევა. ფოტოეფექტი გულისხმობს ნივთიერების თვისებების შეცვლას ნივთიერების განათებულობის შეცვლისას. აღნიშნული ფოტოეფექტებია:

**1.** გარე ფოტოეფექტი, რომლის დროსაც სინათლის ენერგიის მოქმედებით ელექტრონული ნათურის კათოდიდან ელექტრონების ამოფრქვევას აქვს ადგილი. ემისიის (ელექტრონების ამოფრქვევა) დენის სიდიდე დამოკიდებულია კათოდის განათებულობაზე;

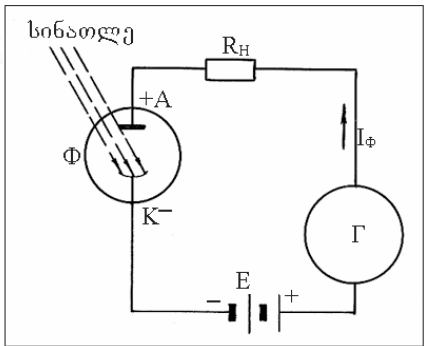
**2.** შინაგანი ფოტოეფექტი, რომელიც მდგომარეობს შემდეგში: სინათლის შთანთქმის შედეგად ნახევარგამტარში წარმოიშობა დამატებითი თავისუფალი ელექტრონები, რომლებიც ზრდის ნივთიერების გამტარობას და ამცირებს მის წინაღობას, ე.ო. ნახევარგამტარის ელექტროგამტარობა (აქტიური წინაღობა) დამოკიდებულია ნახევარგამტარის განათებულობაზე;

**3.** ვენტილური ფოტოეფექტი, რომლის დროსაც განათებული გამტარისა და გაუნათებელი ნახევარგამტარის შრეებს შორის, რომლებიც გაყოფილია თხელი საიზოლაციო შრით, ჩამკეტი ფენით, წარმოიშობა ე.მ.ძ., მისი სიდიდე დამოკიდებულია განათებულობაზე.

**ფოტოელემენტები გარე ფოტოეფექტით** წარმოადგენენ ვაკუუმის ან გაზი არგონით ავსებულ ნათურას ფოტომგრძნობიარე შრით დაფარული კათოდით.

2.22 ნახაზზე მოცემულია ფოტოელემენტის ანოდურ ბატარეასთან ჩართვის სქემა. მინის ბალონში, რომელშიც შექმნილია ვაკუუმი ან ჰაერის ამოტუმბვის შემდეგ ავსებულია გაიშვიათებული აირით – არგონით, მოთავსებულია ფოტოელემენტის Φ ანოდი და კათოდი. კათოდზე სინათლის ნაკადის მოქმედების შედეგად აღგილი აქვს ფოტოელექტრონული ემისიის მოვლენას. ემისიის გამოყენების მიზნით ანოდსა და ფოტოკათოდს შორის იქმნება ელექტრული ველი, რომელიც ემისიის შედეგად კათოდიდან ამოფრქვეულ ელექტრონებს მიმართავს დადებითად დამუხტული ანოდისაკენ, ე.ო. ადგილი აქვს წრედში დენის გავლას. როდესაც სინათლის ნაკადის მოქმედება კათოდზე წყდება, დენის გავლას წრედში ადგილი არა აქვს.

გარე ფოტოეფექტით ფოტოელემენტების ჯგუფის ტიპური წარმომადგენელია სტიბიუმ-ცეზიუმის ვაკუუმის ფოტოელემენტი (ტიპი СЦВ), ჟანგბად-ცეზიუმის ფოტოელემენტი (ტიპი ЦГ).



**ნახ.2.22.** ფოტოელემენტის ელექტრულ წრედში ჩართვის სქემა:  
 $R_H$  – დატვირთვის წინაღობა;  $\Gamma$  - გასაზომი ხელსაწყო;  $E$  - ე.მ.ძ. წყარო

ფოტოელემენტების მუშაობა განისაზღვრება ვოლტ-ამპერული, სინათლის და სპექტრული მახასიათებლებით.

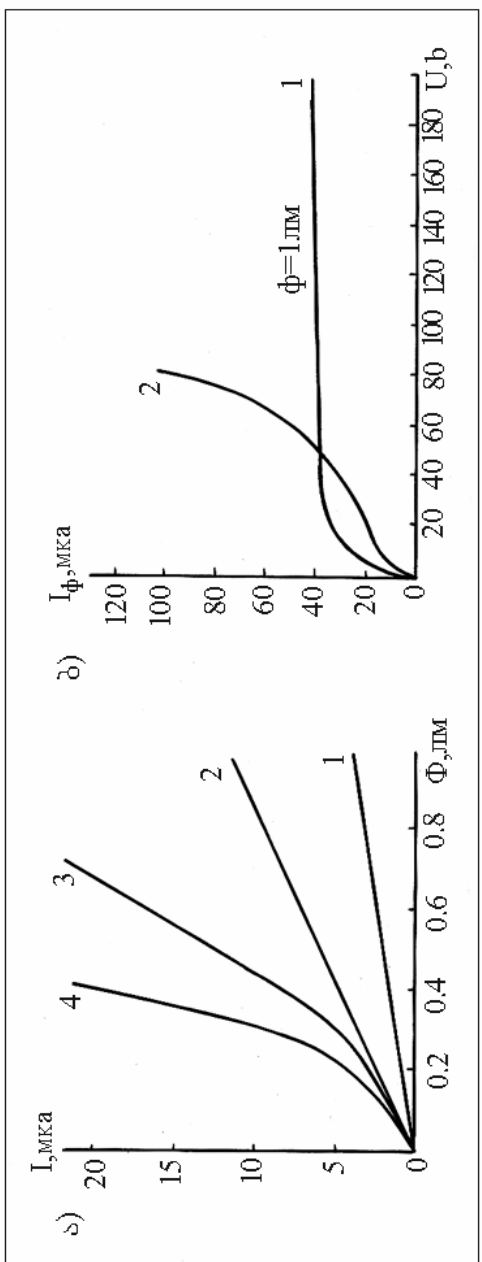
ვოლტ-ამპერული მახასიათებელი გამოსახავს ფოტოელემენტის ფოტოდენის დამოკიდებულებას ანოდის ძაბვაზე ( $I_\Phi = f(u)$  როდესაც  $\Phi = \text{const}$  ).

ფოტოელემენტის სინათლის მახასიათებელი ეწოდება ფოტოდენის  $I_\Phi$  დამოკიდებულებას ფოტოკათოდზე მოქმედი სინათლის ნაკადზე  $\Phi$ . ( $I_\Phi = f(\Phi)$  როდესაც  $U = \text{const}$  ).

სინათლის მახასიათებელი განსაზღვრავს ფოტოელემენტის მგრძნობიარობას. ფოტოელემენტის მგრძნობიარობა წარმოადგენს ფოტოდენის სიდიდის (მიკროამპერებში) შეფარდებას მის გამომწვევ სინათლის ნაკადის სიდიდესთან (ლიუმენებში).

სპექტრული მახასიათებელი გამოსახავს ფოტოდენის  $I_\Phi$  დამოკიდებულებას ტალღის სიგრძისაგან (ფერისაგან) –  $\lambda (I_\phi = f(\lambda))$ , სხვა თანაბარ პირობებში.

ვაკუუმის ფოტოელემენტში ანოდის დენი წარმოიშობა მხოლოდ ფოტოკათოდიდან ამოფორქეული ელექტრონების საშუალებით, რის გამოც მას გააჩნია ხაზოვანი სინათლის მახასიათებელი (ნახ.2.23). არგონის გაზიან ფოტოელემენტებში დენი წარმოიშობა, როგორც ემისიის შედეგად წარმოქმნილი ელექტრონებისაგან, ასევე აირის იონიზაციის შედეგად მიღებული ელექტრონებისა და იონებისაგან. ამიტომ მათი სინათლის მახასიათებელი არახაზოვანია (მრუდები 3 და 4 ნახ.2.23ა). ვაკუუმისა და აირის ფოტოელემენტების ვოლტ-ამპერული მახასიათებლები ნაჩვენებია ნახ.2.23ბ.



ნახ.2.223. ფოტოულგმენტის (გარე ფოტოულგმენტი) მანასიათებლები: а) ფოტოულგმენტის სინათლის მანასიათებლი: 1,2 – გაგუმის ფოტოულგმენტი, 3,4 – აირის ფოტოულგმენტი. б) გოლტ-ამპერის მანასიათებლები: 1 – ვაჟუმის; 2 – ვაჟუმის; 3 – ვაჟუმის; 4 – ვაჟუმის.  $\Phi$  – როამბერი.  $\Phi$  – სინათლის ნაკადი. JM – ლუმენი

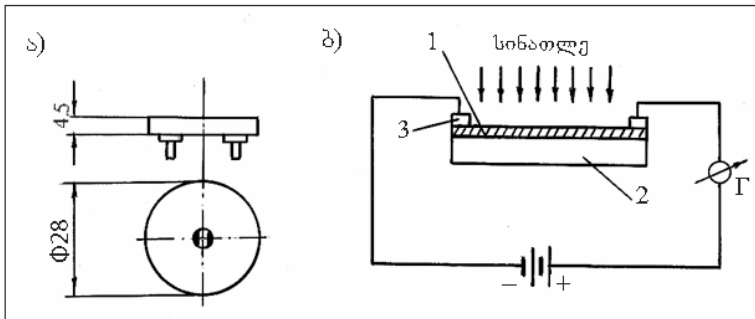
აირის ფოტოელემენტის მგრძნობიარობა აღემატება ვაკუუმის ფოტოელემენტისას. ასე მაგალითად, СЦВ ტიპის ფოტოელემენტის მგრძნობიარობა შეადგენს 120 მიკროამპერ/ლიუმენს, ხოლო აირის ფოტოელემენტისა – 200 მიკროამპერ/ლიუმენს.

ავტომატიკის სქემებში ფოტოელემენტების გამოყენება მოითხოვს გაძლიერების დიდი კოეფიციენტის მქონე მაძლიერებლებით სარგებლობას.

ვაკუუმის ფოტოელემენტები პრაქტიკულად უინერციონი არიან, ე.ი. დრო სინათლის ნაკადის კათოდზე დაცემიდან ფოტოდენის წარმოქმნამდე შეადგენს  $10^9$  სეკ. აირის ფოტოელემენტებს კი გარკვეული ინერციულობა გააჩნიათ, აირის იონიზაციაზე გარკვეული დროის ხარჯვის გამო.

**ფოტოელემენტები შინაგანი ფოტოვაკეტით** (ფოტოწინადობა). ფოტოწინადობა შედგება ნახევარგამტარის სინათლე-მგრძნობიარე ჰრისაგან (1), სისქით I მიკრონამდვე, რომელიც დატანილია მინის ან კვარცის ფირფიტზე (2). ნახევარგამტარის ზედაპირზე დამაგრებულია ოქროსაგან დამზადებული დენსართმევი ელექტროდები (3). სინათლისადმი მგრძნობიარე ელემენტი დენსართმევ ელექტროდებთან ერთად მონტაჟდება პლასტიმასის კორპუსში.

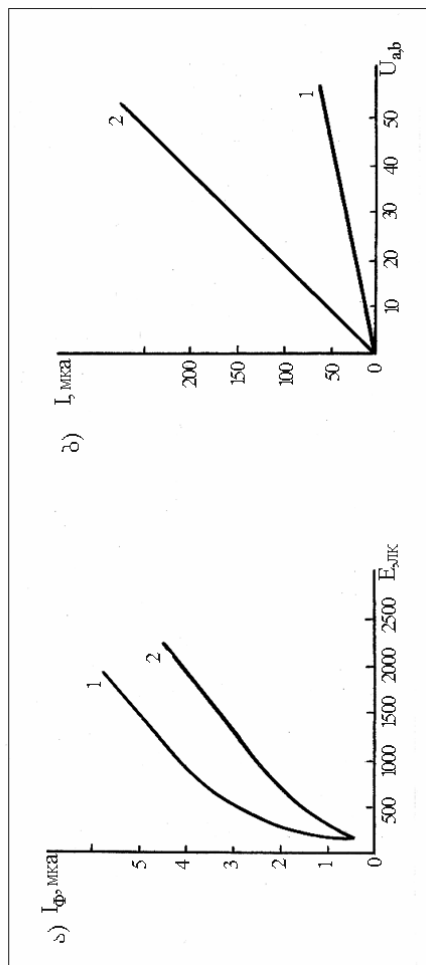
ფოტოწინადობის ჩართვა სქემაში ხორციელდება გამოშვერილი ელექტროდების საშუალებით. ნახ.2.24 მოყვანილია FC-K1 ტიპის ფოტოწინადობის მოწყობილობა და საერთო ხედი გაბარიტების აღნიშვნით.



ნახ.2.24. ფოტოწინადობა: а) საერთო ხედი; ბ) ჩართვის სქემა

ფოტოწინადობის მუშაობა მდგომარეობს შემდეგ ში: ნახევარგამტარზე სინათლის ნაკადის მოქმედება იწვევს ელექტრული წინადობის მკვეთრად დაცემას და ელექტრო-

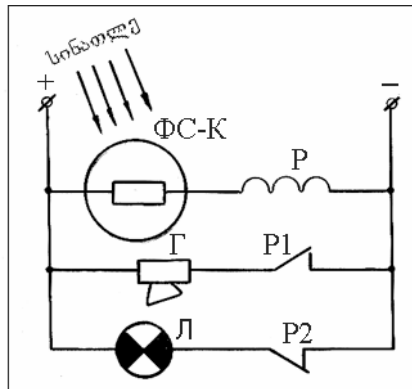
წრედში, რომელშიც ჩართულია ფოტოწინაღობა, დენის ძალის გაზრდას. ფოტოწინაღობის მგრძნობიარობა განისაზღვრება სიბეჭდესა და სინათლეში აღმრული დენის ძალების სხვაობის შეფარდებით სინათლის ნაკადის სიღიდესთან, რომელიც მოქმედებს ფოტოწინაღობაზე. ფოტოწინაღობის მგრძნობიარობა რამდენჯერმე აღემატება ფოტოელემენტის მგრძნობიარობას გარეგანი ფოტოელემენტით. ფოტოწინაღობის მგრძნობიარობა 5000-6000 მკა/ლიუმენის ფარგლებშია. 2.25 ნახაზზე ნაჩვენებია ფოტოწინაღობის მახასიათებლები.



ნახ.2.25. ფოტოწინაღობის მახასიათებლები: ა) ფოტოწინაღობების სინათლის მახასიათებლები: 1-ΦC-K1; 2-ΦC-K2. ბ) ფოტოწინაღობების ფოტომცველული მახასიათებლები: 1 – ნულოვანი ჟემთვაშვილის შემთხვევაში ( $E=0$ ); 2 – როდესაც განთვალისწინება  $E>0$ . ლკ ლუქსი. Е - განათლების სიმძლავა.

ფოტოწინადობები შეიძლება გამოყენებულ იქნეს გაზომვისა და ავტომატიკის სქემებში ელექტრონული მახლიერებლების გარეშე. ასეთი ტიპის ფოტორელე წარმოადგენს ელექტრულ წრედს, რომელიც შედგება ფოტოელემენტისაგან, რელესა და კვების წყაროსაგან (ნახ.2.26).

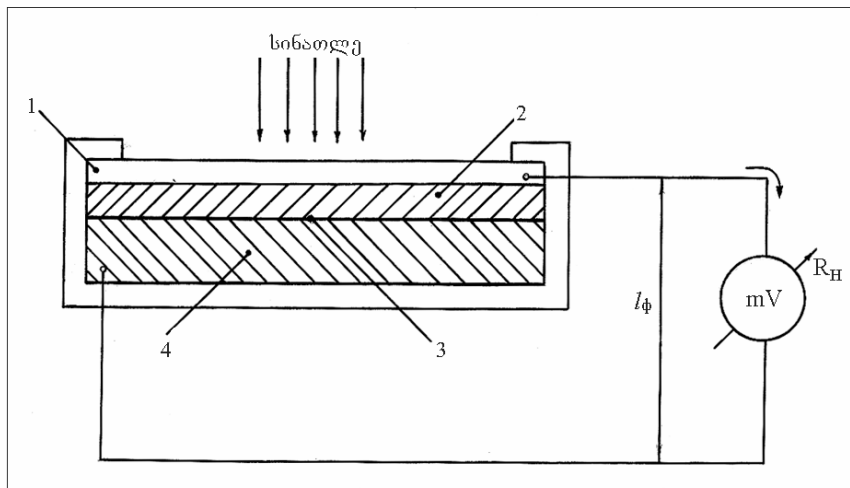
ფოტოწინადობას ახასიათებს ინერციულობა. წინაადმდებობის სიდიდე დამოკიდებულია გარემომცველი გარემოს ტემპერატურასა და ტენიანობის მნიშვნელოვან ცვალებადობაზე.



ნახ.2.26. მუდმივ დენზე მომუშავე ფოტორელეს ელექტრული სქემა:  $\Phi C\text{-}K$  – ფოტოწინადობა;  $R$  – პოლარიზაციული რელეს გრაგნილი;  $R_1, R_2$  – რელეს კონტაქტები;  $\Gamma$  – საყვირი;  $L$  – სასიგნალო ნათურა

ვენტილური ფოტოელემენტი. ვენტილური ფოტოეფექტის მოვლენა აღმოჩენილ იქნა ყაზანის უნივერსიტეტის პროფესორის ე.ი. ულიანინის მიერ 1888 წელს, სელენზე ჩატარებული ცდების შედეგად. ვენტილური ფოტოეფექტის მოვლენის ტექნიკური გამოყენება ფოტოელემენტებში დაიწყო მე-20 საუკუნის 30-იანი წლებიდან. განხილული ფოტოელემენტებისაგან განსხვავებით, ვენტილური ფოტოეფექტის პრინციპზე მომუშავე ფოტოელემენტები არ საჭიროებენ კვების წყაროს. ისინი სინათლის ნაკადის მოქმედებით ოვითონ გარდაიქმნებიან დენის წყაროდ. ვენტილური ფოტოელემენტის მოწყობილობა და ჩართვა ნაჩვენებია 2.27 ნახაზზე. იგი შედგება ოქროს ან ვერცხლის თხელი აფსკისაგან (1),

გადასასვლელი შრისაგან (2), სელენის შრისა (3) და ფოლადის ქვესადებისაგან (4).



ნახ.2.27. ვენტილური ფოტოელემენტის სქემატური მოწყობილობა

ფოტოელემენტისაკენ მიმართული სინათლის ნაკადი ოქროს აფსკის გავლით შთაინოქმება ნახევარგამტარში. სინათლის კვანტები ათავისუფლებენ სელენში ელექტრონებს, რომლებიც მუხტავენ ოქროს ელექტროდს უარყოფითად, ხოლო სელენს – დადგბითად. ფოტოელემენტის ელექტროდების შერთვისას გარე წინაღობაზე აღიძვრება ელექტროდენი, რომლის სიდიდე განათებულობის პროპორციულია.

სელენის ვენტილური ფოტოელემენტები მაღალმგრძნობიარე გარდამსახებია. მათი მგრძნობიარობა აღწევს 500 მიკროამპერ/ლუმენს. ერთი ფოტოელემენტის ე.მ.ძ. 1ვ არ აღემატება.

გარდამსახის ნაკლს წარმოადგენს ინერციულობა. გარდა ამისა, დატვირთვის გარე წინაღობის გაზრდა იწვევს მისი მგრძნობიარობის შემცირებას.

კაუბადის ფოტოელემენტისაგან შედგენილ ბატარეებს მეტად დიდი გამოყენება აქვთ დედამიწის სელოვნური თანამგზავრების რადიოპარატურაში.

## §9. წნევის, ხარჯისა და ღონის გარდამსახები

წნევის გარდამსახები. ზედაპირის ერთეულზე მართობულად მოქმედი ძალის (F) სიდიდეს ეწოდება წნევა; იგულისხმება, რომ ძალა განაწილებულია თანაბრად სხეულის ზედაპირის მთელ ფართობზე (S). წნევის სიდიდე განისაზღვრება ფორმულით

$$P = \frac{F}{S}. \quad (2.32)$$

წნევის გარდამსახები ძირითადად წნევას გარდაქმნიან მექანიკურ გადაადგილებად. მექანიკური სისტემების გარდა წნევის გასაზომად გამოიყენება, აგრეთვე, ელექტრული და თბური სისტემები.

მექანიკური ამთვისებელ ორგანოებიანი წნევის გარდამსახებს მიეკუთვნება: 1) სითხის წნევის გარადამსახები (U-ებრი სისტემის); 2) დგუშიანი სისტემები; 3) ზამბარიანი სისტემები: а) მემბრანიანი (ბრტყელი, დვარჭნილი, რბილი), ბ) სილიურნები, გ) მანომეტრული მილოვანი ზამბარები.

ტექნიკური განსაკუთრებით ფართოდ არის გამოყენებული წნევის ზამბარიანი გარდამსახები. გარდამსახის მგრძნობიარე ელემენტს წარმოადგენს ზამბარა. გარდამსახი მოქმედებს ზამბარის დრეკადი დეფორმაციის წარმოქმნის საფუძველზე, რომელსაც იწვევს წნევის ცვალებადობა ზამბარის შიგნით ან გარეთ. ელემენტის ფორმის შეცვლა გადაეცემა ხელსაწყოს მოძრავ ნაწილს, რომლის მაჩვენებელი ისარი გადაადგილდება სკალაზე. წნევის მოქმედების შეწყვეტის შემდეგ მგრძნობიარე ელემენტი დებულობს საწყის ფორმას.

ტექნიკურ მანომეტრებში და ვაკუუმეტრებში, წვეულებრივ, გამოყენებულია დრეკადი ზამბარები: ერთხვეულიანი, მრავალხვეულიანი, ბრტყელი მემბრანები და სილიურნები.

2.28 ნახაზზე წარმოდგენილია წნევის ზამბარიანი გარდამსახების სახეები.

ერთხვეულიანი მილოვანი ზამბარა (2) (ნახ.2.28ა) მოხრილია  $270^{\circ}$ -მდე. ზამბარა ჭრილ ში წარმოადგენს ელიფსს. ზამბარის თავისუფალი ბოლო დარჩილულია. მეორე ბოლო ზამბარისა (I) უძრავია. მას უერთდება გასაზომი წნევა (P).

წნევა იწვევს ზამბარის დეფორმაციას და მისი თავისუფალი ბოლოს გადაადგილებას, რომელთანაც დაკავშირებულია ისარი (3). გადაადგილების სიდიდე პროპორციულია ზამბარაში განვითარებული წნევისა. გადაადგილების სიდიდე, ჩვეულებრივ, აღწევს 5-7 მმ. ზამბარა მზადდება თითბრის ან ფოლადისაგან (დიდი წნევის გასაზომად).

გარდამსახები ერთხვეულიანი მილოვანი ზამბარის სახით გამოიყენება მაჩვენებელ ხელსაწყოებში.

მრავალხვეულიანმილოვანი ზამბარა (ნახ.2.28,ბ) შეიცავს 6-9 ხელს (2) დიამეტრით 30 მმ-მდე. ზამბარის თავისუფალ ბოლოს (3) გადაადგილება აღწევს 15 მმ-მდე. გარდამსახები მრავალხვეულიანი მილოვანი ზამბარის სახით გამოიყენება თვითხარწერ ხელსაწყოებში.

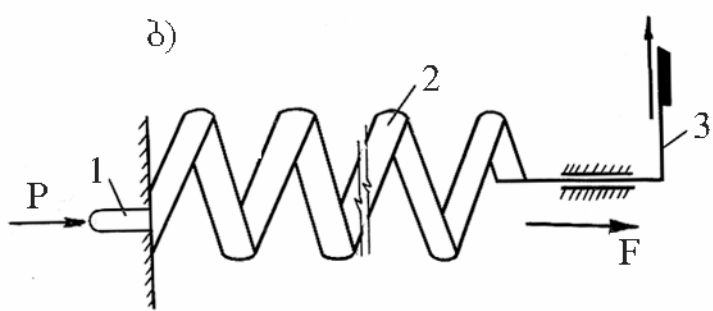
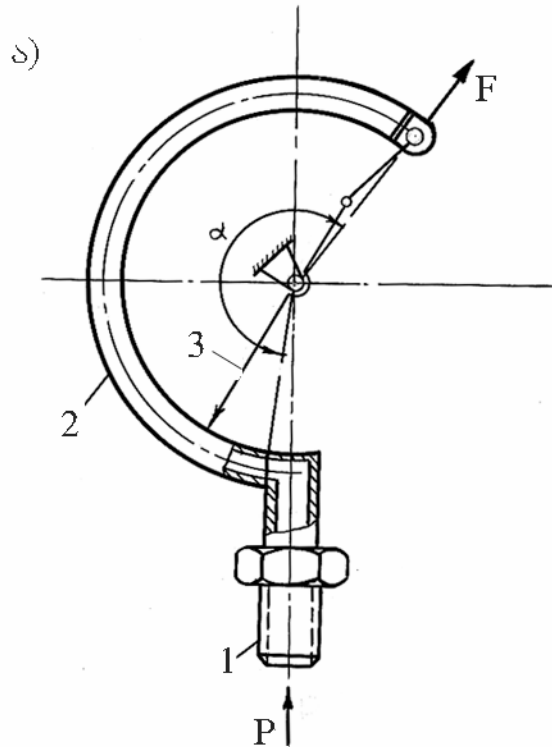
ბრტყელი დგარჭნილი მემბრანა (ნახ.2.28,გ) გამოიყენება დამოუკიდებლად ერთი ფირფიტას სახით (2) ან ორი დგარჭნილი მემბრანის სახით, რომლებიც მოთავსებული არიან ყუთში (1). მემბრანთან დაკავშირებულია ისარი (3).

ზემოაღნიშულში გამოიყენება, აგრეთვე, რბილი მემბრანა, რომელიც დამზადებულია რეზინულენთილი ქსოვილისაგან და მიერთებულია ბრტყელ დაკალიბრებულ ზამბარასთან.

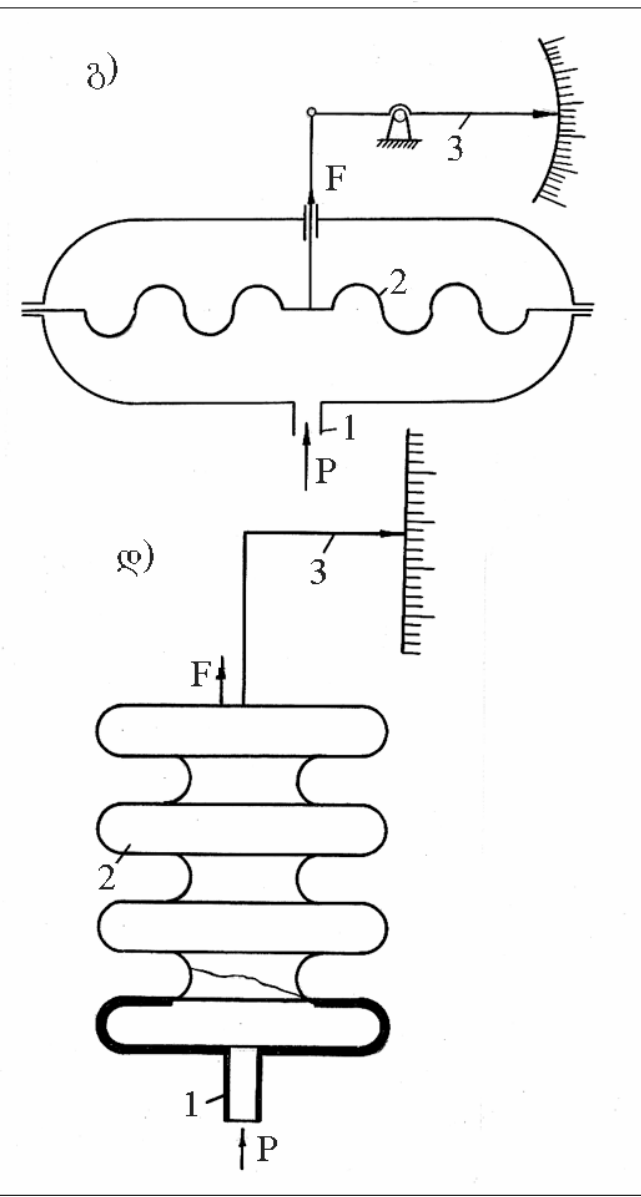
**სილფონი** (ნახ.2.28,დ) წარმოადგენს ცილინდრულ ყუთს, დგარჭნილი კედლებით, გასაზომი წნევა მიეწოდება სილფონის შიგნით ან გარედან.

სილფონიანი ხელსაწყოები უფრო მგრძნობიარეა, ვიდრე ბრტყელ დგარჭნილ მემბრანიანი. სილფონები გათვალისწინებულია ჭარბი წნევისა და გაიშვიათების გასაზომად და ჩასაწერად. გარდა ამისა, ისინი გამოიყენებიან, როგორც, მეორადი ხელსაწყოები.

წნევის ზამბარიანი გარდამსახები ავტომატიზაციის სქემებში მექანიკურ გადაადგილებას გარდაქმნიან ელექტრულ სიგნალად ინდუქციური, ომური ან კონტაქტური გარდამსახების დახმარებით.

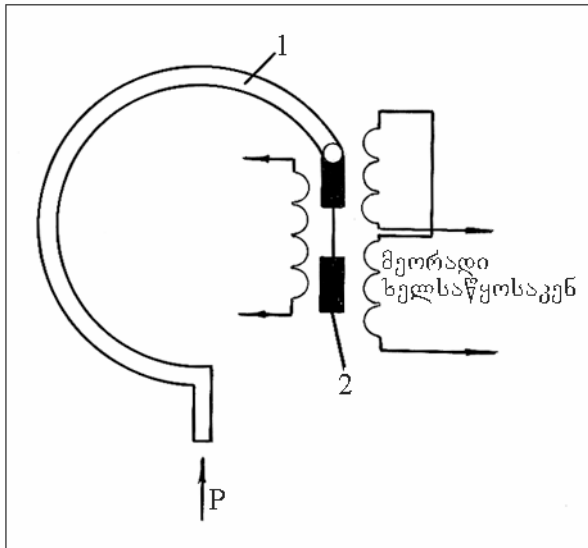


ნახ.2.28. წევის ზამბარიანი გარდამსახები: ა) ერთხვეულიანი მილოვანი ზამბარა; ბ) მრავალხვეულიან მილოვანი ზამბარა



ნახ.2.28. წნევის ზამბარიანი გარდამსახები: გ) ბრტყელი ღვარ-ჭნილი მემბრანა; დ) სილფონი

2.29 ნახაზზე ნაჩვენებია მედ ტიპის წნევის გარდამსახის სქემა. წნევა ზამბარის (I) მიერ გარდაიქმნება მანომეტრული მიღაკის ბოლოს გადაადგილებად, რომელიც გადაეცემა ტრანსფორმატორული გადამცემის ყვინთას (2).

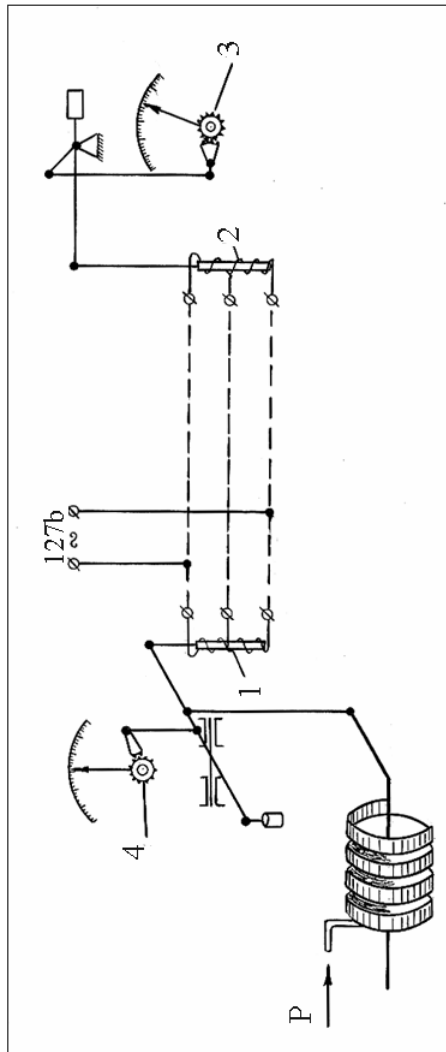


ნახ.2.29. წნევის გარდამსახის პრინციპული სქემა

2.30 ნახაზზე მოცემულია მანომეტრის ჩვენების შორმანილზე გადაცემის ელექტრული სქემა. სქემაზე I და 2-ით აღნიშნულია ინდუქციური კოჭები, წნევის შეცვლის შემთხვევაში მრავალხვეულიანი მიღოვანი ზამბარა გადაადგილებს სკალა 4-ის მაჩვენებელ ისარსა და (I) ინდუქციურ კოჭას გულარს. ეს უკანასკნელი გამოიწვევს მეორადი ხელსაწყოს ინდუქციურ კოჭას (2) გულარისა და წნევის მაჩვენებელი ისრის (3) შესაბამის გადაადგილებას.

**ხარჯის გარდამსახები** განკუთვნილია ნივთიერების ხარჯის გასაზომად. ნივთიერების ხარჯი ეწოდება დროის ერთეულში მიღსადენში გამავალი ნივთიერების რაოდენობას. ნივთიერების რაოდენობა წარმოადგენს ნივთიერების ჯამურ მოცულობას ან წონას, რომელიც გაედინება მიღსადენში დროის ნებისმიერ შუალედში. ნივთიერების რაოდენობისა და ხარჯის გაზომვა აუცილებელია ცალკეული ოპ-

ერაციების ტექნოლოგიური რეჟიმის დასაცავად, ხედლეულის, ნახევარფაბრიკატებისა და დამხმარე მასალების გარკვეული დოზირების საშუალებით. ასე მაგალითად, ბეტონის მოსამზადებლად საჭიროა გარკვეული რაოდენობის, ცემენტის, ბეტონის შემვსებებისა და წყლის ერთმანეთთან შერევა.



ნახ.2.30. წნევის გაზომვის ჰლუმტრული გაღაცემის სქემა

გაზის (აირის), ჰაერისა და წყლის გაზომვა წარმოებს მოცულობით ერთეულებში –  $\text{მ}^3/\text{საათ}$ ,  $\text{მ}^3/\text{წუთ}$ ,  $\text{ლ}/\text{წუთ}$ ,  $\text{ლ}/\text{წმ}$ , ორთქლის ხარჯი განისაზღვრება წონით ერთეულებში –  $\text{კგ}/\text{საათ}$ , ტქალა/საათ. არსებობს ხარჯის მექანიკური, თერმული, ინდუქციური, აკუსტიკური და იონიზაციური გარდამსახები.

ხარჯის მექანიკური გარდამსახები იყოფა ცვლადი და მუდმივი ვარდნის გარდამსახებად; აგრეთვე, გარდამსახად ჩამოსაშვები ნახვრეტით.

ცვლადი გარდნის გარდამსახი მოქმედებს მილსადენის კვეთის შემავიწროებელ მოწყობილობაში წნევის ვარდნის წარმოქმნის პრინციპზე. წნევის ვარდნა აქ წარმოადგენს ნივთიერების ხარჯის ფუნქციას, შემავიწროებელი მოწყობილობა კი – გარდამსახის ამთვისებელ ორგანოს.

ხარჯის გარდამსახებში მუდმივი ვარდნით, შემავიწროებელი ორგანოები გამოყენებულია კვეთის რეგულირებისათვის, წნევის მუდმივი ვარდნის სიდიდის შენარჩუნების მიზნით.

2.31 ნახაზზე ნახვენებია როგორმეტრის სქემა ინდუქციური გარდამსახით. როგორმეტრი (მუდმივი ვარდნის ხარჯის გარდამსახი) შედგება კონუსური მილაკისაგან (1) და ტივტივასაგან (2). მისი მიერთება ხდება მილსადენის ვერტიკალურ უბნებში. ტივტივას მდებარეობა კონუსურ მილაკში განსაზღვრავს ხარჯის სიდიდეს. ინდუქციური გარდამსახის გრაგნილი განლაგებულია მილაკზე ზევიდან. რკინის ტივტივა წარმოადგენს ინდუქციური გარდამსახის კოჭას (3) გულარს. ამრიგად, ხარჯი გარდაიქმნება ელექტრულ სიგნალად.

აკუსტიკური ანუ სიმიანი გარდამსახის მუშაობის პრინციპი ექვარება სიმის რხევის სიხშირის დამოკიდებულებას მისი დაჭიმულობის ძალაზე, კ.ო.

$$f = \frac{1}{2L} \sqrt{\frac{\delta}{\rho}}, \quad (2.33)$$

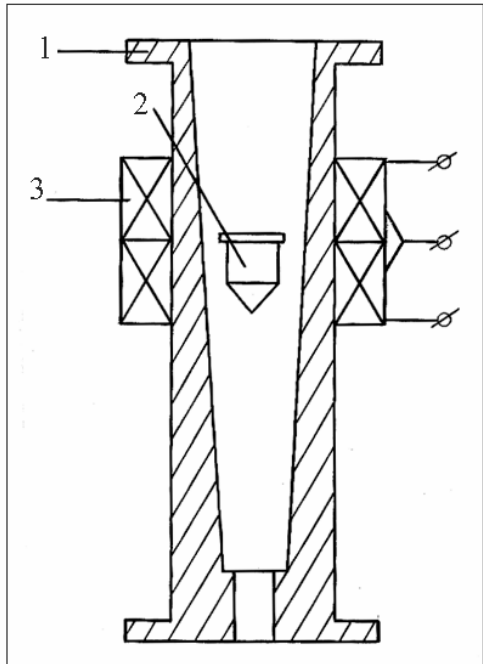
### სადაც

$f$  არის სიმის რხევის სიხშირე;

$L$  – სიმის სიგრძე;

$\delta$  – სიმის მასალის ძაბვა, გამოწვეული სიმის დაჭიმვისაგან;

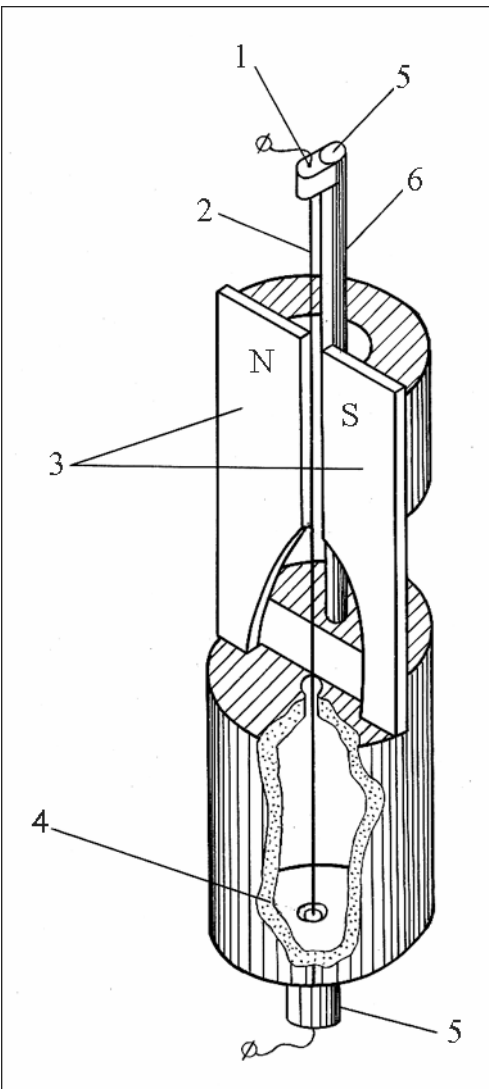
$\rho$  – სიმის მასალის სიმკვრივე.



ნახ.2.31. როტამეტრის სქემა

აკუსტიკურ გარდამსახური (ვიბროტრონი) გასაზომი დფ-ფორმაცია იწვევს სიმის დაჭიმულობის ცვლილებას, რაც იწვევს სიმის რხევის საკუთარი სიხშირის შეცვლას. ამრიგად, პირველადი გარდაქმნის დროს გასაზომი სიდიდე გარდაიქმნება სიმის საკუთარი სიხშირის ცვლილებად, ხოლო მეორადი გარდაქმნის დროს სიმის საკუთარი სიხშირის შეცვლა გარდაიქმნება ცვლადი სიხშირის ელექტრულ სიგნალად.

ვიბროტრონის გამარტივებული სქემა მოცემულია 2.32 ნახაზზე. ვიბროტრონი შედგება ფუძისაგან (4) და საყრდენისაგან (6), ზედაპირებით (5), რომლებიც განიცდის დატვირთვის მოქმედებას. საყრდენის ბოლოებს შორის დაჭიმულია წვრილი სიმი (2), ელექტრული გამომუვანებით (1). სიმი დაჭიმულია მუდმივი მაგნიტის (4) პოლუსებს შორის.



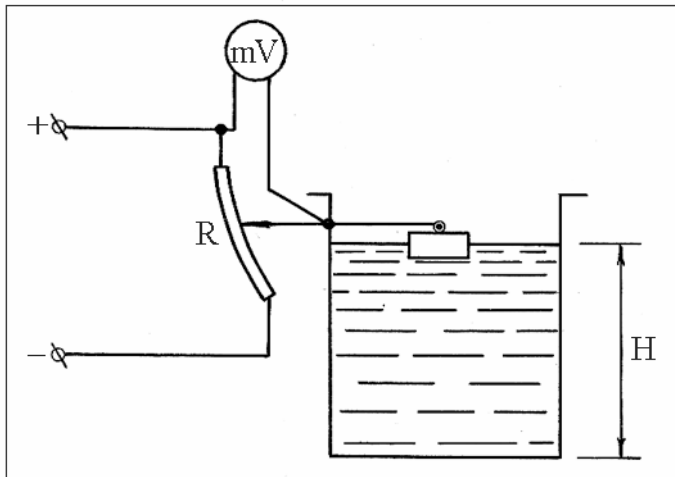
**ნახ.2.32. ვიბროტრონის სქემა**

სიმიანი გარდამსახები ძალზე მოსახერხებულია დისტანციური გადაცემების დროს, რადგან სიმიანი გარდამსახის გაზომვის სიზუსტე არ არის დამოკიდებული პვების წყაროს ძაბვისა და გამომავალი სიგნალის ამპლიტუდის ცვალებადობაზე.

**დონის გარდამსახები.** ძალზე გავრცელებულია ტივტივა დონის გარდამსახები. გარდამსახი შედგება ტივტივასაგან, მექანიკური კავშირისა და რეოსტატისაგან (R).

დონის გარდამსახები შეიძლება აიგოს სითხის პიდროსტატური წნევის, წონის, გაზომვის, აგრეთვე, სითხის ელექტრული თვისებების (წინაღობის, ტევადობის, ინდუქციურობის (ვალებადობის) გამოყენების საფუძველზე.

2.33 ნახაზზე ნაჩვენებია ტივტივა დონის გარდამსახის სქემა. მილივოლტმეტრის ჩვენებით განისაზღვრება სითხის დონე (H) ჭურჭელში.



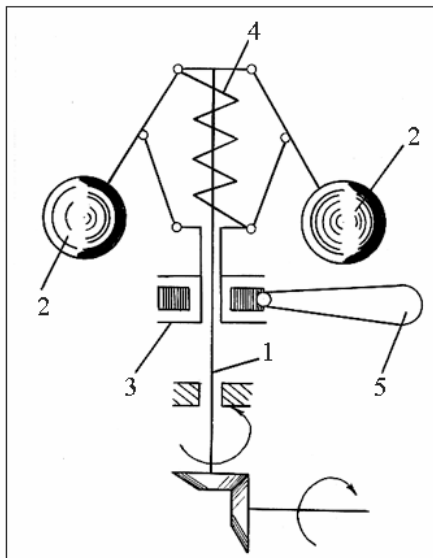
ნახ.2.33. ტივტივა დონის გარდამსახის სქემა

დონმზომების შესახებ დაწვრილებით იხილე მეთერომეტებები თავში.

## §10. სიჩქარის, აჩქარებისა და ვიბრაციის გარდამსახები

სიჩქარის გარდამსახს მიეკუთვნება სიჩქარის ცენტრიდანული გარდამსახი, რომელიც ლილვის ბრუნვის სიჩქარეს გარდაქმნის ქუროს მექანიკურ გადადგილებად. სიჩქარის ცენტრიდანული გარდამსახის მოწყობილობა ნაჩვენებია 2.34 ნახაზზე. გარდამსახის შემავალი ლილვაკი (1) მოდებაში

იმყოფება ძრავის როტორთან, რომლის ბრუნვის სიჩქარეც იზომება. ცენტრიდანული ძალის მოქმედებით ტგირთები (2) და მათთან ერთად ქუროც 3 გადაადგილდება ლილვაკის (1) გასწვრივ. ცენტრიდანული ძალის გაწონასწორება ხდება ზამბარით (4). ამიტომ ბრუნვის გარკვეულ სიჩქარეს შეესაბამება ქუროს გარკვეული მდებარეობა. ქურო შეიძლება გადაადგილდეს აგრეთვე მომართვის ორგანოს (5) საშუალებითაც, რომელიც ცვლის ზამბარის (4) დაჭიმულობას.



### ნახ.2.34. სიჩქარის ცენტრიდანული გარდამსახი

სიჩქარის ინდუქციურ გარდამსახებში გამოიყენება ელექტრომაგნიტური ინდუქციის მოვლენა. კონსტრუქციულად ისინი წარმოადგენენ მცირე ელექტრომაგნიტურ გენერატორებს, ამიტომ მათ უწოდებენ ჩვეულებრივ ტაქოგენერატორებს.

ტაქოგენერატორის დანიშნულებაა მექანიკური ბრუნვის გარდაქმნა ელექტრულ სიგნალად. ტაქოგენერატორში ბრუნვის სიჩქარე პროპორციულია მის გრაგნილში აღძრული ინდუქციური ე.მ.ძ.-ისა. მაშასადამე, ტაქოგენერატორი შეიძლება გამოიყენებულ იქნეს ბრუნვის სიჩქარის გასაზომად ან ავტომატური რეგულირებისათვის.

ცვლადი დენის უმარტივეს ტაქოგენერატორს წარმოადგენს სინქრონული ტაქოგენერატორი. სინქრონულ ტაქოგენერატორში ბრუნვის სიჩქარესა და ძაბვას შორის არახაზოვანი დამოკიდებულებაა, რის გამოც ავტომატურ სქემებში მისი გამოყენება არ ხდება. ავტომატიკის სქემებში გამოყენებას პოულობს ასინქრონული ტაქოგენერატორი ღრუ როტორით. ამ მანქანაში გამომავალი ძაბვის სიხშირე არ არის დამოკიდებული როტორის ბრუნვის სიჩქარეზე. ასინქრონული ტაქოგენერატორი წარმოადგენს უკოლექტორო ელექტრომანქანას, მოძრავი მუდმივი მაგნიტითა და უძრავი სტატორის გრაგნილით. სტატორის გრაგნილი თანაბრად არის განაწილებული სტატორის შიდა ზედაპირის კილოებში. ტაქოგენერატორები გვხვდება სტატორის ერთფაზა და სამფაზა გრაგნილებით.

**ე.მ.ძ.-ის** სიდიდე ერთფაზა ასინქრონული ტაქოგენერატორის მომჭერებზე პროპორციულია კუთხეური სიჩქარისა და ტოლია

$$E = K \cdot B \cdot \omega \cdot \sin \omega t. \quad (2.34)$$

სადაც

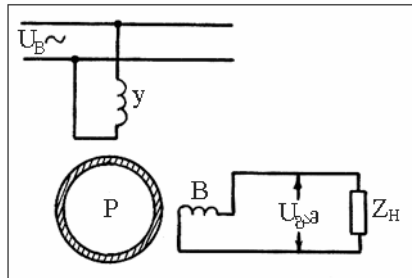
K არის მუდმივი კოეფიციენტი და დამოკიდებულია ტაქოგენერატორის კონსტრუქციასა და მის გრაგნილებზე;

B – მაგნიტური ინდუქცია ლრეზოში სტატორსა და ლუზას შორის;

$\omega$  – ღუზის ბრუნვის კუთხეური სიჩქარე;

t – დრო.

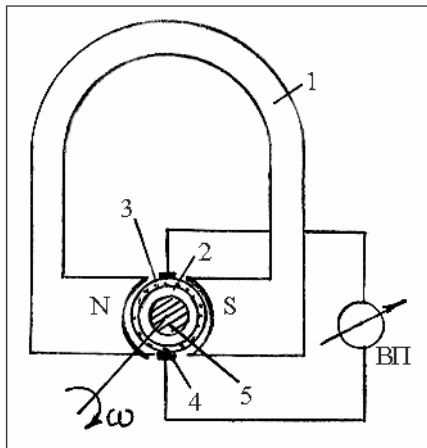
2.35 ნახაზზე ნაჩვენებია ასინქრონული ტიპის ტაქოგენერატორის სქემა. ტაქოგენერატორის აგზების გრაგნილი იკვებება ცვლადი დენის წრედიდან, ხოლო გამომავალ გრაგნილში წარმოქმნილი ცვლადი დენის ე.მ.ძ.-ის სიხშირე და ამპლიტუდა პროპორციულია სიჩქარის სიდიდისა. ბრუნვის მიმართვლების შეცვლის შემთხვევაში გამომავალი ძაბვის ფაზა იცვლება საპირისპიროდ.



ნახ.2.35. ასინქრონული ტაქოგენერატორის ჩართვის სქემა

ცვლადი დენის ტაქოგენერატორებთან ერთად გამოიყენება მუდმივი დენის ტაქოგენერატორებიც, რომლებიც წარმოადგენებ მუდმივი დენის მცირე გენერატორებს დამოუკიდებელი აგზებით ან აგზებით მუდმივი მაგნიტების საშუალებით. ნახ.2.36.

როტორი (დუზა) შესრულებულია თხელკედლიანი ჭიქის (2) სახით საიზოლაციო მასალისაგან, რომელზედაც განლაგებულია გრაგნილის (3) სექციები, რომლის დასაწყისი და ბოლოები გამოყვანილია კოლექტორზე მუსებით (4). მაგნიტური ველის გასაძლიერებლად როტორის შიგნით დაყენებულია უძრავი ფერომაგნიტური გულარი (5).



ნახ.2.36. სიჩქარის ინდუქციური გარდამსახი (ტაქოგენერატორი)

**ემ.დ.** მოხსნილი კოლექტორის მუსებიდან, პროპორ-  
ციულია როტორის ბრუნვის სიჩქარისა.

**ემ.დ.**, განვითარებული, ტაქოგენერატორის მომჰერებზე  
განისაზღვრება გამოსახულებით:

$$E = K \cdot B \cdot \omega. \quad (2.35)$$

წუთში ბრუნვათა რიცხვსა ( $n$ ) და კუთხურ სიჩქარეს  
შორის ( $\omega$ ) არსებობს დამოკიდებულება

$$\omega = \frac{2\pi \cdot n}{60} = \frac{\pi \cdot n}{30}. \quad (2.36)$$

კუთხური სიჩქარე წარმოადგენს კუთხური გადაადგი-  
ლების ( $\alpha$ ) პირველ წარმოებულს

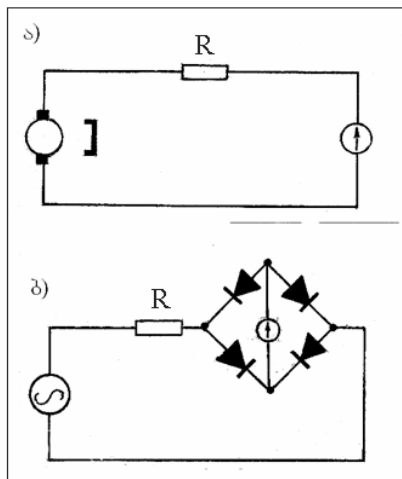
$$\omega = \frac{d\alpha}{dt}. \quad (2.37)$$

მაშასადამე,

$$E = K \cdot B = \frac{\pi \cdot n}{30} = K \cdot B \cdot \frac{d\alpha}{dt}. \quad (2.38)$$

უკანასკნელ წლებში შეიქმნა უკოლექტორო მუდმივი  
დენის ტაქოგენერატორები ნახევარგამტარიან ტრიოდებზე.

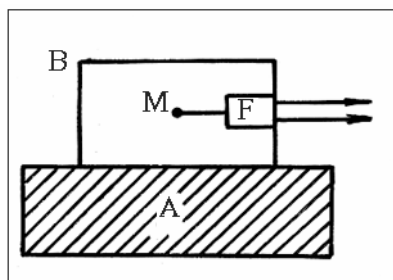
2.37 ნახაზზე ნაჩვენებია ტაქოგენერატორებთან მარე-  
გისტრიორებელი ხელსაწყოების ჩართვის სქემა.



ნახ.2.37. მუდმივი (ა) და ცვლადი (ბ) დენის ტაქოგენერა-  
ტორების ჩართვის სქემები

აჩქარების გარდამსახი (აქსელერომეტრი) წარმოადგენს უფას (B), რომელიც მტკიცებ არის შეერთებული მოძრავ დეტალთან (A). უფასი მოთავსებული სხეულის მასის (M) ინერციის ძალა მოქმედებს ძალის გარდამსახუება (F), როდენსაც მოძრავი დეტალი (A) განიცდის აჩქარებას, ე.ი.  $\frac{d^2x}{dt^2}$ .

(ნახ.2.38). ჩვეულებრივ, აჩქარების განსაზღვრის მიზნით ხდება სამი აქსელერომეტრის დაყენება. ორი საზღვრავს აჩქარებას პორიზონტალურ სიბრტყეში, ერთი – ვერტიკალურში. ანიმული სახის მოწყობილობები გამოყენებულია მართულ რაკეტებში, თვითმფრინავებში, აგრეთვე, მანქანის ნაწილების ვიბრაციული აჩქარების განსასაზღვრავად.

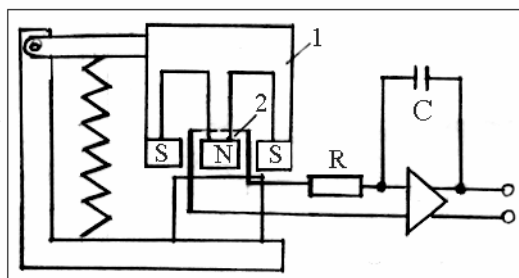


ნახ.2.38. აქსელერომეტრის გამარტივებული სქემა

აჩქარების გარდამსახს წარმოადგენს, აგრეთვე, მუდმივი დენის ტაქოგენერატორი, რომლის დუზის წრედში მიმდევრობით არის ჩართული ტრანსფორმატორის პირველადი ხვია ან კონდენსატორი. ტრანსფორმატორის ჩართვისას სიჩქარის ცვლილების დროს, პირველად ტრანსფორმატორის ხვიაში შეიცვლება დენის ძალა, რის შედეგადაც ტრანსფორმატორის პირველად ხვიაში შეიცვლება დენის ძალა, რის შედეგადაც ტრანსფორმატორის მეორად ხვიაში წარმოქმნება აჩქარების პროპორციული ძაბვა. კონდენსატორის ჩართვის შემთხვევაში დუზის წრედში დენი აღიძვრება მხოლოდ სიჩქარის ცვალებადობის დროს, რომლის სიდიდეც აჩქარების პროპორციული იქნება.

მანქანების მუშაობის არასტაციონარული პროცესების გამოკვლევების დროს გამოიყენება ვიბრაციის, სიჩქარისა და ამპლიტუდის გარდამსახები. გარდამსახის მოქმედება უფუძლია.

ნება კორპუსზე ზამპარებით ჩამოკიდებული ინერციული მასის თვისებას, დარჩეს უძრავი ვიბრაციების დროს სიხშირისას, რომელიც აღემატება მასის საკუთარი რხევის სიხშირეს. გარდამსახის კონსტრუქციული სქემა ნაჩვენებია ნახაზზე 2.39. აქ ინერციულ მასას წარმოადგენს მაგნიტური სისტემა (1). გამზომი გრაგნილი (2) ხისტად არის შეკრული გარდამსახის კორპუსთან. კორპუსის ვიბრაციის დროს გამზომ გრაგნილში აღიძვრება ე.მ.დ. რომელიც პროპორციულია მერხევი ობიექტის ვიბრაციის სიჩქარის სიდიდისა. გამოსასვლელი ძაბვის მისაღებად, რომელიც პროპორციულია გადაადგილებისა, გამზომ სქემაში გათვალისწინებულია მაინტენარირებელი რგოლი (ავტომატური რეგულირების სისტემის რგოლების შესახებ დაწვრილებით იხილე მე-9 თაგში). გარდამსახი შედგება ორი ერთი ტიპის ელემენტებისაგან, რომელიც აღიქვამს რხევებს ორ ურთიერთ პერპენდიკულარულ მიმართულებაში. ინერციული მასის საკუთარი რხევების დემფირები სრულდება საპაურო დემპვერით.



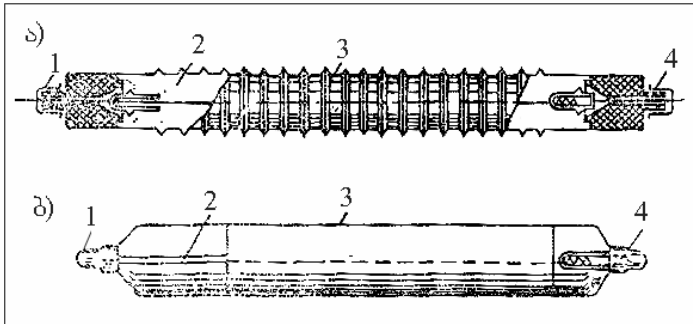
ნახ.2.39. ვიბრაციის სიჩქარისა და ამპლიტუდის გარდამსახი

## §11. რაღიაპტიური ბარდამსახები

ატომური ენერგიის მშვიდობიანი მიზნებისათვის გამუყენების სამუშაოებთან ერთად ავტომატურ მოწყობილობებში დაიწყო გამოყენება ნივთიერებისა, რომელთაც გააჩნიათ რადიაქტიური გამოსხივების თვისება. ასეთ ნივთიერებებს მიეკუთვნება მენდელევევის ცხრილის სხვადასხვა ელემენტების (მაგალითად, კობალტის, ცერიუმის და სხვ.) რადიაქტი-

ური იზოტოპები. რადიაქტიური იზოტოპი წარმოადგენს ნივთიერებას, რომელიც იქმნება ხელოვნურად, ნორმალური ატომების დაბომბვით ნეიტრონების კოლოსალური ნაკადით, რომლებიც მიიღებიან ბირთვულ რეაქტორებში. როგორც ცნობილია, რადიაქტიური იზოტოპების თავისებურებას წარმოადგენს მათი დაშლა, რომლის დროსაც ადგილი აქვს ალფა (ძალიან მძიმე დადებითად დამუხტული ნაწილაკები), ბეტა (ძალიან მსუბუქი უარყოფითად დამუხტული ნაწილაკები) და გამა სხივების გამოსხივებას. ალფა და ბეტა სხივები შთანთქმება მაგარი ნივთიერებების მიერ. ასე, მაგალითად, ალფა სხივები მაგარ ნივთიერებაში გაივლიან რამდენიმე ათეულ მიკრონს (ჰაერში რამდენიმე მილიმეტრს), ხოლო ბეტა სხივები – რამდენიმე მილიმეტრს. გამა სხივებს გააჩნიათ გაცილებით დიდი შეღწევადობა, რის გამოც ისინი მეტად გამოყენებიან რადიაქტიურ გარდამსახებში, ვიდრე ალფა და ბეტა სხივები. რადიაქტიური უკონტაქტო გარდამსახი შედგება რადიაქტიური გამოსხივების წყაროსა (რადიაქტიური იზოტოპი) და მიმღებისაგან (ინდიკატორი). ინდიკატორებად გამოყენებულია იონიზაციური კამერები და იონიზაციური მრიცხველები (გეიგერ-მიულერის მრიცხველები), რომლებშიც გამოყენებულია აირის იონიზაციის მოვლენა, ე.ი. ნეიტრალური მოლეკულების გახლეჩა ელექტრონად და დაღებით იონად.

გაიგერ-მიულერის მრიცხველი (ნახ.2.40) წარმოადგენს ლითონის ცილინდრს, რომელშიც მისგან იზოლირებულად დაჭიმულია გამტარი ძაფი. ცილინდრის კედელთან მიყვანილია უარყოფითი პოტენციალი, ხოლო ძაფთან – დაღებითი პოტენციალი ბატარეიიდან. მრიცხველი ავსებულია აირით, არგონით (Ar) ან ნეონით (Ne) დაბალი წნევის დროს. თუ შემავსებლად აღებულია პალოგენი (ქლორი, ბრომის ორთქლი), მაშინ ასეთ მრიცხველებს უწოდებენ ჰალოგენურს. მრიცხველებზე სპილენბის და ვოლფრამის კათოდებით მიეწოდება ძაბვა 500-1000ვ; ჰალოგენურზე – 300-400ვ. რადიაქტიური სხივების მოქმედების შედეგად მრიცხველში (კამერაში) ადგილი აქვს იონების შექმნას (აირის იონიზაცია) და დენის (ელექტრული დენის იმპულსის) წარმოშობას, რომელიც დამოკიდებულია მიმღებში შეღწევული გამოსხივების სიმძლავრეზე.



ნახ.2.40. აირგანმუმხტეტეელი მრიცხველი (გეოგერ-მიულერის მრიცხველი): а) ლითონის კათოდით(CTC-6); б) მინისა სპილენბის კათოდით (CMC-4); 1 – ანოდის ცოკოლი; 2 – კათოდის ძაფი; 3 – კათოდი; 4 – კათოდის ცოკოლი

გამა-გამოსხივება მისი ენერგიისაგან დამოკიდებულებით იყოფა სამ ჯგუფად: ხისტი – რომლის ენერგიაც აღმატება  $1\text{M}_\text{B}$  (მეგაელექტრონულტი – ენერგიის ერთეული, რომელსაც იქნება ელექტრონი ელექტრულ ველში პოტენციალთა სხვაობით 1 მილიონი ვოლტი გადაადგილების დროს; საშუალო – ენერგიით  $0,3\text{-}0,7\text{ M}_\text{B}$ ; რბილი – ენერგიით  $0,3\text{ M}_\text{B}$ -ზე ნაკლები).

ხისტი გამა-გამოსხივების წყაროდ გამოიყენება კობალტი –  $60$  ( $\text{Co}^{60}$ ), ენერგიით  $1,25\text{ M}_\text{B}$  ნახევარდაშლის დროით  $5,27$  წელი (ნახევარდაშლის დრო ეწოდება დროის შუალედს, რომლის განმავლობაშიც იშლება ატომების თავდაპირველად ქრონი რაოდენობის ნახევარი); საშუალო გამა-გამოსხივების წყაროს წარმოადგენს ცეზიუმი –  $137$  ( $\text{Cs}^{137}$ ) ენერგიით  $0,36\text{ M}_\text{B}$  და ნახევარდაშლის დროით  $30$  წელი; რბილი გამა-გამოსხივების წყაროს – ევროპიუმი –  $155$  ( $\text{Eu}^{155}$ ) ენერგიით  $0,087\text{ M}_\text{B}$  და ნახევარდაშლის დროით  $1,7$  წელი და თულიუმი –  $170$  ( $\text{Tm}^{170}$ ) ენერგიით  $0,084\text{ M}_\text{B}$  და ნახევარდაშლის დროით  $129$  დღე და სხვ.

რაც უფრო დიდია ნახევარდაშლის პერიოდი, მით უფრო მოსახერხებელია გამოსხივების წყარო ექსპლუატაციაში და მით უფრო ზუსტია გაზომვის შედეგები.

გამა-გამოსხივების წყაროები თავსდება ლითონის ამ-პულებში დიამეტრით  $4,5$ -დან  $26$  მმ-მდე და სიმაღლით  $5$ -დან  $27$  მმ-მდე ( $\text{Co}^{60}$ ) ან დიამეტრით  $7$ -დან  $40$  მმ-მდე და სიმაღლით  $14$ -დან  $55$  მმ-მდე ( $\text{Cs}^{137}$ ).

დროთა განმავლობაში გამოსხივების შემცირებასთან დაკავშირებით ატომების ნაწილის დაშლის გამო, აუცილებელია შესწორების შეტანა წყაროს აქტიურობის ცვლილებაზე დროის შუალედის შემდეგ, რომელიც ნახევარდაშლის პერიოდის 1/10-ის ტოლია. ასე, მაგალითად,  $Co^{60}$ -თვის ნახევარდაშლის პერიოდი 5,27 წელი, შესწორება უნდა იქნეს შეტანილი ყოველი 0,5 წლის შემდეგ.

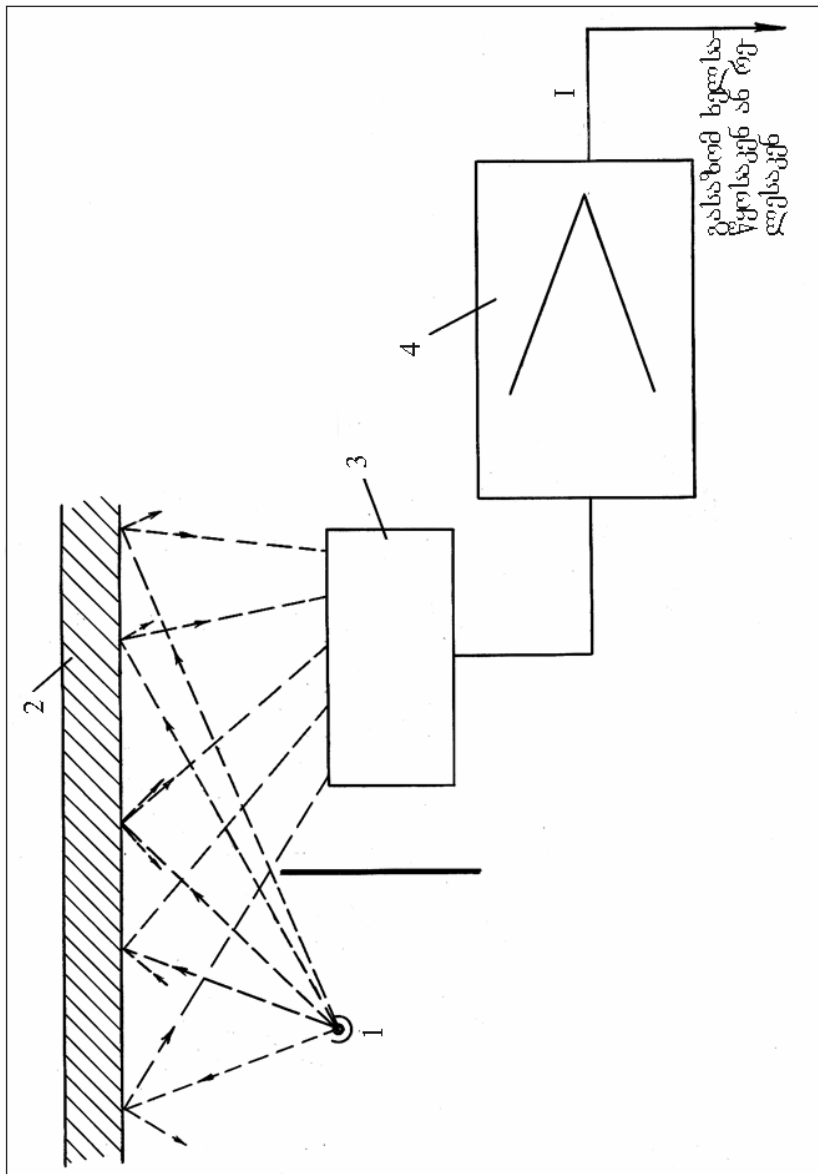
ამიტომ, რადიაქტიური იზოტოპების გამოყენების დროს რადიაქტიური გამოსხივების წყაროებად აუცილებელია ისეთების შერჩევა, რომელთა ნახევარდაშლის პერიოდი 1,5-2-ჯერ აღემატება ხელსაწყოს გამოყენების ვადას.

რადიაქტიური გარდამსახის ლირსებას შეადგენს: სიმარტივე, ავტომატიკის სისტემებში გამოყენების მოხერხებულობა, სიზუსტის მაღალი ხარისხი, საკონტროლო გარემოსთან არა უშუალო კონტაქტი, უწყვეტი კონტროლის განხორციელება საკონტროლო ნაკეთობის მთლიანობის დაურღვევლად და მცირე ინერციულობა.

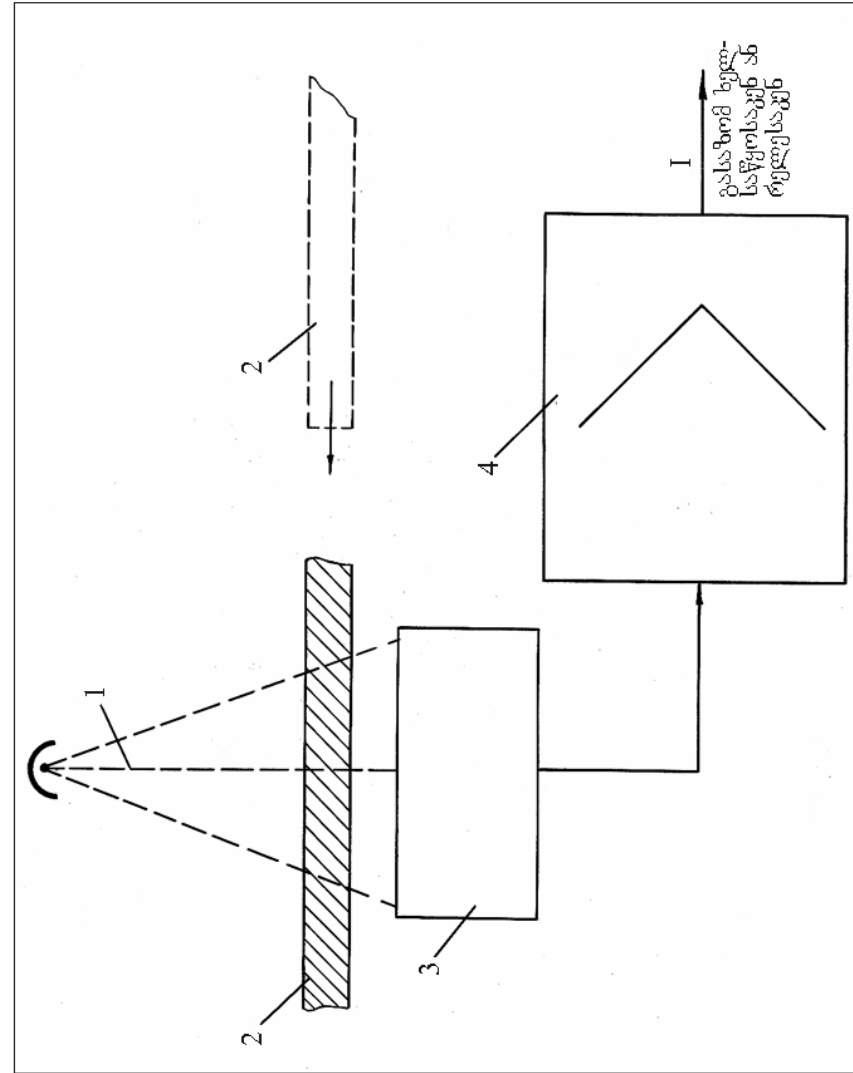
რადიაქტიურ გარდამსახებში, რადიაქტიური გამოსხივების გამოყენება წარმოებს სხვადასხვა პრინციპით. ავტომატურ მოწყობილობათა ერთ ჯგუფს საფუძვლად უდევს გაბნეული გამოსხივების მოვლენის გამოყენება (ნახ.2.4).

ამ შემთხვევაში რადიაქტიური გამოსხივების ნაკადი მიმართულია საკონტროლო ობიექტზე, ხოლო გამოსხივების ინდიკატორი იჭერს გამოსხივების გაბნეულ ნაკადს. გაბნეული გამოსხივების ინტენსივობა განსაზღვრავს ობიექტის თვისებებს. ამ პრინციპით ხორციელდება, მაგალითად, ფურცლოვანი ლითონის სისქის ცალმხრივი კონტროლი. ფურცლის სისქის ზრდა იწვევს გაბნეული გამოსხივების ინტენსივობის მატებას.

გარდამსახების მეორე ჯგუფი დამყარებულია რადიაქტიური გამოსხივების შეღწევადობაზე და ნივთიერების მიერ მისი შთანთქმის ხარისხზე. ასეთი მოწყობილობის სქემა ნაჩვენებია 2.42 ნახაზზე. აღნიშნული სქემით ხორციელდება ნაკეთობის სისქის კონტროლი. ნაკეთობის (2) სისქის მიხედვით იცვლება გამოსხივების ნაკადის (1) ინტენსივობა, რომელსაც იჭერს გამოსხივების ინდიკატორი (3). შესაბამისად იცვლება გამაძლიერებლიდან (4) გამომავალი დენის ძალა (I), მიმართული გასაზომი ხელსაწყოს ან რელესაკენ.



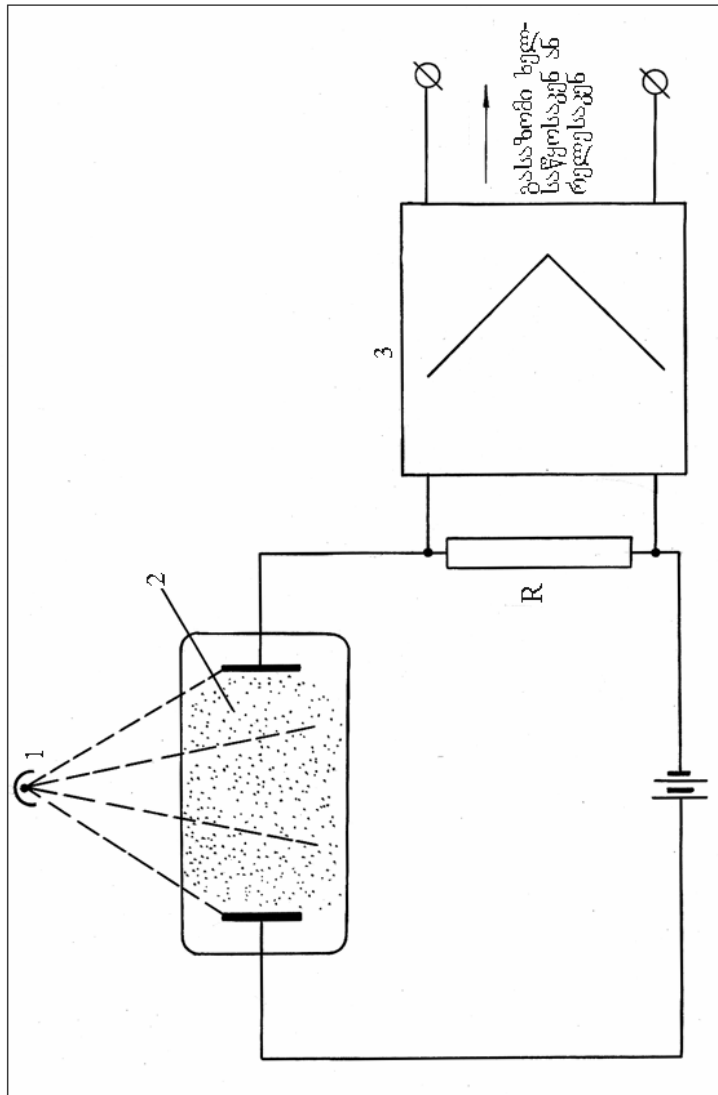
ნახ.241. აცომატური კონტროლის სქემა გაძნეული გამსხვივების მოვლენის გამოყენებით:  
 1 – რადიაქტიური გამსხვივების წყარო; 2 – საკონტროლო ობიექტი; 3 – რადიაქტიური გამსხვივების ინდუქციონი; 4 – გამაბლიურებული მოსიგნალი



ნახ.2.42. ავტომატური კონტროლის სქემა რაღაც გამოსხიული შელჩვალობის უნარის გამოყენების

გარდამსახების მესამე ჯგუფს საფუძვლად უდევს რადიაქტიური გამოსხივების იონიზაციის უნარის გამოყენება (ნახ.2.43). ჭურჭელი აირით (2) განიცდის გამოსხივების მოქმედებას (გამოსხივების წყარო (1)). იცვლება იონების რაოდენობა და წარმოიშობა დენი. დენის კონტროლი წარმოებს ხელსაწყოთი ან რელეთი, რომელიც ჩართულია

მაძლიერებლის (3) გავლით. ამ პრინციპზე მოქმედებენ აირის წნევის საზომი ხელსაწყოები. აირის წნევის მატებასთან ერთად იზრდება იონიზაციური დენი. ანალოგიურად მუშაობენ აირის შემაღენლობის ანალიზატორები.



ჩატვირტებული სქემა რადიაციური გამოსხივების თინა-ზაკის უნარის გამოყენებით

რადიაქტიური გარდამსახების მუშაობის პრინციპი ემყარება ნივთიერებასთან ურთიერთმოქმედების შედეგად რადიაქტიური გამოსხივების ნაკადის შემცირების გაზომვას. კავშირი გამოსხივების ინტენსივობებს შორის, საკონტროლო მასალაში გავლის წინ და გავლის შემდეგ, გამოიხატება ექსპონენციური კანონით.

$$I_x = I_0 \cdot e^{-\mu x} = I_0 \cdot e^{-\mu' \cdot \rho \cdot x}, \quad (2.39)$$

სადაც  $I_0$  და  $I_x$  გამოსხივების ინტენსივობებია, შესაბამისად მასალაში გავლამდე და გავლის შემდეგ;

$x$  – მასალის შრის სისქე;

$\mu'$  - გამა-გამოსხივების შესუსტების მასობრივი კოეფიციენტი;

$\mu$  – შესუსტების ხაზოვანი კოეფიციენტი;

$\rho$  – მასალის სიმკვრივე.

სამშენებლო მასალებისათვის გამა-გამოსხივების შესუსტების მასობრივი კოეფიციენტისათვის გვაქვს გამოსახულება:

$$\mu' = \frac{\delta N}{2} \approx const, \quad (2.40)$$

სადაც  $\delta$  არის კომპტონოვის განბნევის მთლიანი ეფექტური გვეთი ელექტრონზე, რომელიც გამოითვლება კლეინ-ნიშინ-ტამის ფორმულებით;

$N=6,028 \cdot 10^{23}$  – ავოგადროს რიცხვი.

თუ ვიცით  $I_x$  და  $I_0$ , შეგვიძლია განვსაზღვროთ მასალის სიმკვრივე.

$$\rho = \frac{\ln I_0 - \ln I_x}{\mu' \cdot x}. \quad (2.41)$$

იმ შემთხვევაში, როდესაც გამოსაკვლევი მასალა შედგება ორი ფაზისაგან (მყარი და წყალი), გამა-გამოსხივების ნაკადის შესუსტების ექსპონენციური კანონი დებულობს სახეს

$$I_x = I_0 e^{-(\mu_T \cdot \rho_T + \mu_B \cdot \rho_B) x}, \quad (2.42)$$

სადაც  $\rho_T$  და  $\rho_B$  – 1 სმ<sup>3</sup> ნარევში მყარი და თხევადი ფაზის წონაა, გამოსახული გრამებში;

$\mu_T$  და  $\mu_B$  შესუსტების მასობრივი კოეფიციენტებია შესაბამისად მყარი და თხევადი ფაზისათვის.

## §12. ულტრაბერითი გარდამსახების საშუალებით ხორციელდება გასაზომ გარემოში დრეკადი რხევების მიღევისან გავლის დროის განსაზღვრა. ისინი ფართოდ გამოიყენება სამშენებლო წარმოებაში სამშენებლო მასალებისა და კონსტრუქციების გამოსაცდელად არამრღვევი მეთოდებით. მასალებში დრეკადი რხევების გავრცელების კანონებით სარგებლობისათვის, მასალების დაურღვევლად მათი ფიზიკურ-მექანიკური თვისებების გამოსაკვლევად საჭიროა მაღალი სიხშირის ვიბრაციით სარგებლობა. ასეთ სიხშირეს წარმოადგენს ულტრაბეგერითი სიხშირე. სამშენებლო მასალებში ულტრაბეგერითი იმპულსის გავრცელების სიჩქარისა და რხევის მიღევის კოეფიციენტის გაზომვის საშუალებით, შეიძლება ინფორმაციის მიღება გამოსაკვლევი გარემოს პლასტიკურობის, დრეკადობის, დეფორმაციის შესახებ.

ვიბრაციული მეთოდები იძლევა საშუალებას, მასალის დაურღვევლად გამოვიყვალიოთ მისი თვისებების დროში ცვალებადობა, დავადგინოთ გარკვეული სიზუსტით მასალის სიმტკიცე.

სამშენებლო წარმოებაში ბეტონის ფიზიკურ-მექანიკური თვისებების განსასაზღვრავად სარგებლობენ შემდეგი მეთოდებით:

1. **რეზონანსული მეთოდი.** ამ მეთოდის გამოყენებისას ბეტონის თვისებების შეფასება წარმოებს რეზონანსის ზონაში ამპლიტუდის პიკის სიგანისა და საკუთარ რხევათარიცხვის მიხედვით;

2. **იმპულსური მეთოდი.** ეს მეთოდი ყველაზე მეტად არის გავრცელებული საგზაო-სამშენებლო მასალების სიმტკიცის კონტროლისა, აგრეთვე, ბეტონის ხარისხის კონტროლისათვის (სიმტკიცის, ერთგვაროვნების ხარისხის) რკინაბეტონის ნაკეთობებში, კონსტრუქციებსა და ნაგებობებში საქართველოში და საველე პირობებში პაერის ტემპერატურის დროს  $-5$ -დან  $+35^{\circ}\text{C}$ -მდე. ფიზიკურ-მექანიკური თვისებების განსაზღვრა წარმოებს გრძივი ტალღის გავრცელების სიჩქარისა და მისი მიღევის ინტენსივობის მიხედვით;

3. **დარტყმითი მეთოდი.** ამ მეთოდის გამოყენების შემთხვევაში ბეტონის თვისებები შეისწავლება დრეკადი ტალ-

დის გავრცელების სიჩქარის მიხედვით, რომელიც აღიძვრება გამოსაცდელ ნიმუშში, მექანიკური დარტყმის მომენტში. ულტრაბგერით იმპულსურ მეთოდთან შედარებით, რიგი უპირატესობების გამო, დარტყმითი მეთოდი საშუალებას იძლევა განსაზღვრული იქნეს საგზაო და აეროდრომების ასფალტბეტონის სიმკვრივის ზრდის კინეტიკა გზის საფარის დაგების პროცესში, შეფასდეს რიგი კლიმატური ფაქტორების ზემოქმედების კინეტიკა ასფალტ-ბეტონის საფარის დაგელების პროცესზე ექსპლოაციის დროს და სხვ.

**ულტრაბგერითი რხევები** და მათი ძირითადი ოვისებები. ბგერითი ტალღები წარმოადგენენ დრეკად ტალღებს, რომლებიც ვრცელდება სხვადასხვა მატერიალურ გარემოში. ბგერით ტალღას გააჩნია ენერგია.

ენერგიის რაოდენობას, რომელიც 1 წმ-ში გადის ბგერითი რხევების გავრცელების მიმართულების პერპენდიკულარულად მოთავსებულ 1 სმ<sup>2</sup> ფართობში, ბგერის ძალა ეწოდება. ბგერის ძალა დამოკიდებულია მბგერი სხეულის რხევის ამპლიტუდაზე. წონასწორობის მდებარეობიდან უდიდეს გადახრას ეწოდება რხევის ამპლიტუდა. რაც უფრო მეტია მბგერი სხეულის რხევის ამპლიტუდა, მით უფრო ძლიერია მისგან გამოცემული ბგერა. ბგერის ძალის ერთეულია ვატი/სმ<sup>2</sup>.

ბგერა ხასიათდება ერთი წამის განმავლობაში რხევების შესქელებათა და შეთხელებათა სიხშირით. შესქელების და შეთხელების ერთობლიობა ქმნის ერთ მთლიან რხევას. სიხშირის ერთეულად მიღებულია ერთი რხევა ერთ წამში. ამ ერთეულს ეწოდება ჰერცი. სიხშირეს  $10^3$  ჰც ეწოდება კილოჰერცი (ჰჰ),  $10^6$  ჰჰ-მეგაჰერცი (მჰ). რხევითი მოძრაობის გავრცელების პროცესს გარემოში ტალღა ეწოდება. მანძილს, რომელსაც ბგერითი ტალღა გაიღლის ერთი ჰერიოდის განმავლობაში, ტალღის სიგრძე ჰქვია.

სხვადასხვა სიხშირის რხევები ადამიანის ყურის მიერ შეიგრძნობა, როგორც სხვადასხვა სიმაღლის ბგერები. დაბალ ბგერებს შეესაბამება 100-300 ჰც სიხშირეები, მაღალ ბგერებს – 3000-6000 ჰც. 30 ჰჰ-ზე დაბადლ და 15000 ჰც მაღალ ბგერებს ადამიანის ყური საერთოდ ვერ შეიგრძნობს.

ბგერები, რომელთა სიხშირე აღემატება 15 ჰჰ (კილოჰერცი) და აღწევს რამდენიმე მეგაჰერცამდე, ეწოდებათ ულ-

ტრაბგერები. 17 პც ნაკლები სიხშირის ბგერებს – ინფრაბ-გერები. ულტრაბგერითი იმპულსური მეოთვით ბეტონის გა-მოკვლევა წარმოებს 50-200 კპც სიხშირეების დიაპაზონში.

ბგერითი ტალღების გავრცელების სიჩქარე დამოკიდე-ბულია გარემოს თვისებებზე. გარემოს სიმკვრივის ზრდას-თან ერთად ტალღების გავრცელების სიჩქარე კლებულობს.

ბგერითი ტალღების სიხშირე ( $\beta$ ), ტალღის სიგრძე ( $\lambda$ ) და ბგერის გავრცელების სიჩქარე დაკავშირებულია ერთ-მანეთოან

$$C = \lambda \cdot f. \quad (2.43)$$

ფორმულიდან ჩანს, რომ მოცემული სიჩქარის შემ-თხვევაში რხევის ზრდასთან ერთად ტალღის სიგრძე მცირ-დება. მაგალითად, 50 კპც სიხშირის დროს ულტრაბგერითი ტალღის სიგრძე ჰაერში,  $t=20^{\circ}\text{C}$  ტემპერატურის დროს, შეადგენს 6,9 მმ; ზღვის წყალში ( $t=17^{\circ}\text{C}$ ) – 3 სმ, ხოლო ბეტონში მისი სიმტკიცის მიხედვით 5-10 სმ. სიხ-შირის გაზრდისას  $f=100$  კპც-მდე ტალღის სიგრძე ბეტონში მცირდება და შეადგენს  $\lambda=2,5-5$  სმ.

ულტრაბგერითი ტალღები ვრცელდება ყველა დრეკად სხეულში – თხევადში, მყარსა და გაზისებრში, მაგრამ არ შეიძლება გავრცელდეს უპაერო სივრცეში.

ნაწილაკების რხევის მიმართულების, ტალღის გავრ-ცელების მიმართულებასთან დამოკიდებულების მიხედვით, არჩევენ გრძივ, განივ და ზედაპირულ ტალღებს.

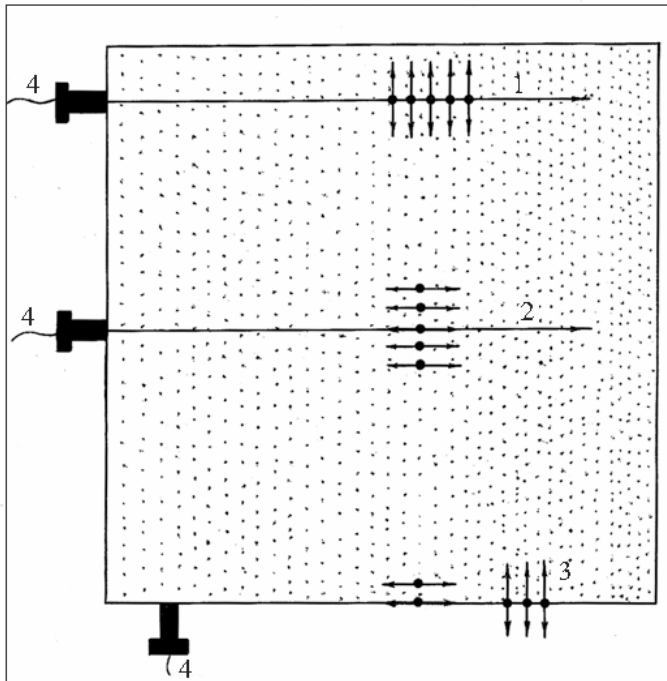
გრძივი ეწოდება ტალღას, რომლის გავრცელების მი-მართულება ემთხვევა ნაწილაკების რხევის მიმართულებას. გრძივი ტალღების გავრცელებისას გარემოში წარმოიშობა შესქელებისა და შეთხელების თანმიმდევრობითი არეები.

განივი ეწოდება ისეთ ტალღას, რომლის გავრცელების მიმართულება მართობულია ნაწილაკების რხევის მიმართულებისა.

ტალღებს, რომლებიც არსებობს მხოლოდ სხეულის ზედაპირზე და არ ვრცელდება მის შიგნით, ეწოდებათ ზედაპირული ტალღები.

მყარ სხეულებში შეიძლება გავრცელდეს, როგორც გრძივი, ასევე განივი ტალღები, თხევად და გაზისებრ გარე-მოში კი – მხოლოდ გრძივი ტალღები.

2.44 ნახაზზე ნაჩვენებია ტალღის სხვადასხვა სახის შემთხვევაში ნაწილაკების რხევის მიმართულება.



ნახ.2.44. სხვადასხვა სახის ტალღის შემთხვევაში გარემოს ნაწილაკების რხევის მიმართულება: 1 – განივი ტალღის შემთხვევაში; 2 – გრძივი ტალღის შემთხვევაში; 3 – ზედაპირული ტალღის შემთხვევაში; 4 – რხევის წყარო; 5 – დრეკალი გარემო

გარემოში გავრცელების მაქსიმალური სიჩქარე ახასიათებს გრძივ ტალღებს, მინიმალური – ზედაპირულ ტალღებს

$$C_{\text{გრძ}} > C_{\text{განივ}} > C_{\text{ზედაპ.}}$$

გრძივ, განივ და ზედაპირულ ტალღებს შორის არსებობს შემდეგი დამოკიდებულებანი:

$$\frac{C_{\text{განივ}}}{C_{\text{გრძ}}} \approx 0.63, \quad \frac{C_{\text{ზედაპ.}}}{C_{\text{გან}}} \approx 0.9.$$

ულტრაბეგრითი ტალღების გავრცელების გარემო ხასიათდება წინააღმდეგობით, რომელსაც აკუსტიკური წი-

ნააღმდეგობა ეწოდება. იგი დამოკიდებულია გარემოს თვისებებზე.

აკუსტიკური წინააღმდეგობა განისაზღვრება დამოკიდებულებით

$$R_{\text{ა}} = \rho \cdot C, \quad (2.44)$$

სადაც  $\rho$  არის გარემოს სიმკვრივე.

გრძივი ბგერითი ტალღის გავრცელების სიჩქარე ტოლია

$$C = \sqrt{\frac{E}{\rho}}, \quad (2.45).$$

სადაც  $E$  არის დრეკადობის მოდული (იუნგის მოდული).

(2.45) გამოსახულებიდან ჩანს, რომ რამდენადაც ხისტი და მსუბუქია მასალა, მით მეტია მასში ბგერის გავრცელების სიჩქარე. (2.45) ფორმულა სამართლიანია სხეულებისათვის, რომელთაც აქვთ ცილინდრული და პრიზმული დეროს ფორმა, რომლის (l) სიგრძესა და განივალების მაქსიმალურ ზომას (d) შორის არსებობს თანაფარდობა

$$\frac{l}{d} > 5 \text{ და } \lambda > 3d.$$

განივი ბგერითი ტალღის გავრცელების სიჩქარე

$$C = \sqrt{\frac{G}{\rho}}, \quad (2.46)$$

სადაც  $G$  არის ძვრის მოდული.

აკუსტიკური წინააღმდეგობის სიდიდე მყარი სხეულისათვის (2.45)-ის გათვალისწინებით

$$R_{\text{ა}} = \rho \cdot C = \rho \sqrt{\frac{E}{\rho}} = \sqrt{\rho E} = \frac{E}{C}. \quad (2.47)$$

ულტრაბგერითი გრძივი ტალღების გავრცელებისას ფილაში, როდესაც  $d < 2\lambda$ , ულტრაბგერის სიჩქარე

$$C = \sqrt{\frac{E}{\rho(1 - \mu^2)}}, \quad (2.48)$$

სადაც  $\mu$  არის პუსონის დინამიკური კოეფიციენტი.

ულტრაბგერითი ტალღების გავრცელებისას გარემოში, რომლისითვისაც  $d \gg \lambda$  ტალღის გავრცელების მიმარ-

თულების პერპენდიკულარულ სიბრტყეში, ულტრაბგერის სიჩქარე

$$C = \sqrt{\frac{E(1-\mu)}{\rho(1+\mu)(1-2\mu)}}. \quad (2.49)$$

დრეკადობის მოდული წარმოადგენს კოეფიციენტს, რომელიც ახასიათებს მასალის წინააღმდეგობას დრეკადი დეფორმაციისადმი მისი გაჭიმვის ან კუმშვის დროს. დრეკადობის მოდული შედის, როგორც კოეფიციენტი, ჰუკის ფორმულაში.

$$\Delta l = \frac{Pl}{EF}, \quad (2.50)$$

სადაც  $\Delta l$  არის დეროს სიგრძის ნაზრდი;

$l$  – დეროს სიგრძე;

$F$  – განივავეთის ფართობი;

$P$  – მოქმედი ძალა.

რაც მეტია დრეკადობის მოდული, სხვა თანასწორ პირობებში, მით უფრო ნაკლებად იკუმშება ან იჭიმება დერო ძალის მოქმედებით. ჰუსონის კოეფიციენტი (განივი დეფორმაციის კოეფიციენტი) წარმოადგენს ფარდობითი განივი დეფორმაციის შეფარდებას ფარდობით გრძივ დეფორმაციასთან:

$$\mu = \frac{\varepsilon_1}{\varepsilon}, \quad (2.51)$$

$$\text{სადაც } \varepsilon = \frac{\Delta l}{l} \text{ და } \varepsilon_1 = \frac{\Delta b}{b} \quad (2.52)$$

$\Delta b$  არის დეროს სიგანის ნაზრდი.

2.1 ცხრილში მოყვანილია ულტრაბგერის გავრცელების სიჩქარე სხვადასხვა გარემოში

## ულტრაბგერის გავრცელების სიჩქარე სხვადასხვა გარემოში

გარემო	C, მ/წმ
მტკნარი წყალი ( $t=17^{\circ}\text{C}$ ) . . . . .	1430
ზღვის წყალი ( $t=17^{\circ}\text{C}$ ) . . . . .	1510
ჰაერი ( $t=0^{\circ}\text{C}$ ) . . . . .	331
რკინა . . . . .	5170
ფოლადი . . . . .	5050
ბეტონი (სიმტკიცის მიხედვით) . . . . .	2000-4500

ულტრაბგერითი ტალღის სიგრძე მცირე სიდიდისაა. ტალღა ვრცელდება სწორხაზოვნად და არა აქვს უნარი წევულებრივი ზომების მქონე წინააღმდეგობათა შემოვლისა. გარემოში ასეთი წინააღმდეგობების აღმოჩენა ხდება აღნიშნული წინააღმდეგობების მიერ ულტრაბგერითი ტალღის არეკლვით ან ჩრდილის წარმოქმნით.

როგორც ბეტონითი ტალღები, ულტრაბგერითი ტალღებიც განიცდიან არეკლასაც და გარდატეხასაც. თუ ტალღა მოხვდა გარემოთა გამყოფ ზედაპირზე, მაშინ ენერგიის ნაწილი გადადის მეორე გარემოში და იქ გავრცელდება, ხოლო დანარჩენი უკანვე აირეკლება. ენერგიის განაწილება არეკლილ და გარდატეხილ ტალღებს შორის დამოკიდებულია გარემოთა აკუსტიკურ წინააღმდეგობებზე. რაც უფრო დიდია განსხვავება ორი გარემოს გარდატეხის მაჩვენებელთა შორის, მით მეტი ბეტონითი ტალღები აირეკლება. თუ ორივე გარემოს გარდატეხის მაჩვენებელი ერთნაირია, მაშინ ტალღა საერთოდ არ აირეკლება.

**ულტრაბგერითი გარდამსახები.** მოწყობილობას, რომლის საშუალებითაც ენერგიის რომელიმე სახე (წევულებრივ, ელექტრული ენერგია)\* გარდაიქმნება ულტრაბგერით ტალღებად, ეწოდება ულტრაბგერითი გარდამსახე. ულტრაბგერით გარდამსახებს მიეკუთვნება: პიეზოელექტრული, მაგნიტოსტრიქციული და ელექტრომაგნიტური გარდამსახები. ბეტონის სიმტკიცის ულტრაბგერითი კონტროლის მოწყო-

\* ულტრაბგერა შეიძლება მიღებული იქნეს მექანიკური ხელსაწყოებითაც. ულტრაბგერის მექანიკური მამსხვებელის უმარტივეს ტიპს მიეკუთვნება სასტენი და სირქნა.

ბილობებში, ჩვეულებრივ, გამოიყენება პიეზოელექტრული და მაგნიტოსტრიოქციული გარდამსახები.

პიეზოელექტრული გარდამსახი მზადდება კვარცისაგან, სეგნეტის მარილისაგან (ბუნებრივი მასალები), ბარიუმის ტიტანატისაგან, კალციუმის ტიტანატისაგან ან ტურმალინისაგან (ხელოვნური მასალები). პიეზოელექტრული გარდამსახის მოქმედების პრინციპი დამყარებულია პირდაპირ და უკუ პიეზოელექტრულ ეფექტზე. ცნობილია, რომ ზოგიერთი კრისტალი გაჭიმვის ან კუმშვის შემთხვევაში თავისივე ზედაპირზე წარმოქმნის მოდებული ძალვის პროპორციულ მუხტებს (პირდაპირი პიეზოეფექტი); კრისტალზე ძაბვის მოდების შემთხვევაში კრისტალში წარმოშვება ძაბვის პროპორციული დეფორმაცია (უპუაიეზოეფექტი).

პიეზოელექტრული ელემენტის დეფორმაციის სიდიდე

$$\Delta x = \alpha \cdot U, \quad (2.53)$$

სადაც  $\alpha$  არის პიეზოელექტრული მოდული;

$U$  – მოდებული ძაბვის სიდიდე.

იმ შემთხვევაში, როდესაც მასალაზე (პიეზოეფექტის თვისებით) მოქმედებს ცვლადი ელექტრული ველი, კრისტალში აღძრული დეფორმაციაც ცვლადი იქნება. ცვლადი დეფორმაცია წარმოშობს კრისტალის პერიოდულ რხევას. თუ ელექტრული ველის სიხშირე ულტრაბერითი ტალღების დიაპაზონშია, მაშინ კრისტალში აღძრული რხევებიც ულტრაბერითი სიხშირისა იქნება. პიეზოელექტრული ეფექტის სიდიდე და ხასიათი დამოკიდებულია მექანიკური დატვირთვის ან კრისტალზე ელექტრული ველის მოდების მიმართულებაზე\*. მაქსიმალურ ეფექტს ადგილი აქვს რეზონანსის მომენტში, ე.ო. როდესაც ელექტრული ველის ცვალებადობის სიხშირე ემთხვევა პიეზოელემენტის დრეკადი რხევების საკუთარ სიხშირეს. პიეზოელექტრული კრისტალების რხევის სიხშირემ შეიძლება მიაღწიოს  $-10^8$  ჰერძდე.

კრისტალის ფინის საკუთარ სიხშირეს, ფინის სისქესა და მასში ბერის გავრცელების სიჩქარეს შორის არსებობს შემდეგი დამოკიდებულება

\* კრისტალების პიეზოეფექტი დამოკიდებულია აგრეთვე ტემპერატურაზე. კვარცის კრისტალებისათვის პიეზოეფექტი ეცვმა ტემპერატურის აწევისას  $200^\circ\text{C}$ -ზე ზევით, ხოლო სეგნეტის მარილის კრისტალებისათვის  $-50^\circ\text{C}$ -ზე ზევით.

$$f_0 = \frac{C}{2\lambda}, \quad (\lambda = 2l), \quad (2.54)$$

სადაც  $f_0$  არის ფირფიტის რხევის საკუთარი სიხშირე, კმ.

პრაქტიკაში გავრცელებულია ნახევარტალდური მამსხივებელი, რომელიც წარმოადგენს ბარიუმის ტიტანატისაგან დამზადებულ ფირფიტის, ტალღის ნახევარი სიგრძის ტოლი სისქით. ფირფიტი ირხევა ძირითად სიხშირეზე.

ნახევარტალდური მამსხივებელის ზუსტი  
ანგარიშისათვის სარგებლობენ ფორმულით

$$f = \frac{K}{d}, \quad (2.55)$$

სადაც  $f$  არის ფირფიტის რხევის სიხშირე, კმ;

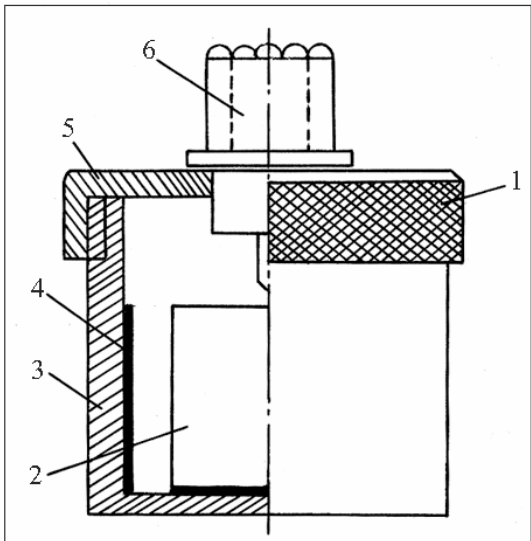
$d$  – ფირფიტის სისქე, მმ.

$K$  – მამსხივებელი მუდმივა, კმ მმ (კვარცისათვის  $K=2280$ ; სეგნეტის მარილისათვის  $K=1540$ ; ბარიუმის ტიტანატისათვის  $K=2200$ ).

2.45 ნახაზზე გამოსახულია პიეზოელექტრული გარდამსახის ჭრილი. გარდამსახის 40 მმ დიამეტრის ლითონის კორპუსი (1) წარმოადგენს ჭიქას (3) დასახრახნი სახურავით (5). სახურავზე ეპოქსიდური წებოთი დაწებებულია პაკეტი (2) სეგნეტის მარილის ან ბარიუმის ტიტანატისაგან დამზადებული ფინებით. ჭიქის შიდა კედელი იზოლირებულია სამხროებელი შუასადებით (4). კორპუსის დასახრახნი სახურავზე მაგრდება მადალი სიხშირის გასართი (6). ჭიქაში ისხმება სალაფის ზეთი.

მძლავრი ულტრაბაგერითი იმპულსების მისაღებად გამოიყენება მაგნიტოსტრიქციული გარდამსახები. გარდამსახის მუშაობას საფუძვლად უდევს მაგნიტოსტრიქციული ეფექტი, რომელიც მდგომარეობს შემდეგში: ოუ ფერომაგნიტური მასალისაგან დამზადებულ ფინის მოვათავსებთ მაგნიტურ ველში, მაგნიტური ველის გავლენით ფინის ზომები შეიცვლება. პირიქით, ფერომაგნიტური ფინის ზომების შეცვლა გარეგანი ძალების მოქმედებით იწვევს ფინის მაგნიტური თვისებების შეცვლას.

კარგად გამოხატული მაგნიტოსტრიქციული თვისებები გააჩნიათ სუფთა ნიკელს, რკინისა და კობალტის შენადნობს.



ნახ.245. ულტრაბეგერითი პიეზოელექტრული გარდამსახის კონსტრუქცია

მაგნიტოსტრიქციული გარდამსახები მუშაობენ მაღალი ტემპერატურების პირობებში (კიურის წერტილამდე), რის გამოც მათი გამოყენება ხელსაყრელია რკინიაბეგრონის ნაკეთობათა თბო-ტენიანობითი დამუშავების კონტროლისა და მართვის ავტომატურ მოწყობილობებში.

ცნობილია, რომ მაგნიტოსტრიქციული მასალების მაგნიტური თვისებები ტემპერატურის ზრდასთან ერთად სუსტდება. კიურის წერტილში მაგნიტური თვისებები საერთოდ ქრება (ნიკელისათვის, მაგალითად, კიურის წერტილის ტემპერატურა ტოლია  $360^{\circ}\text{C}$ -ისა).

თუ ცვლადი დენის მიერ შექმნილ მაგნიტურ კელში მოვათავსებთ ნიკელის დეროს, ცვლადი მაგნიტური კელის გავლენით ნიკელის დეროს სიგრძე პერიოდულად შეიცვლება, ე.ი. დერო დაიწყებს რხევას. მექანიკური დეფორმაციების გაზრდის მიზნით დამატებით შეყვავთ მუდმივი შემაგნიტება.

ამგზნები კელის სიხშირისა და დეროს დრეკადი რხევის საკუთარი სიხშირის თანმთხვევისას, ე.ი. რეზონანსის შემთხვევაში რხევის ამპლიტუდა იქნება მაქსიმალური და დეროს ბოლოები დაიწყებენ ბგერითი რხევების გამოსხივებას.

დეროს რხევის საკუთარი სიხშირე (ჰertz) გამოითვლება ფორმულით:

$$f_K = \frac{1}{2l} \sqrt{\frac{E}{\rho}}, \quad (2.56)$$

სადაც  $l$  არის ღეროს სიგრძე, სმ-ობით;

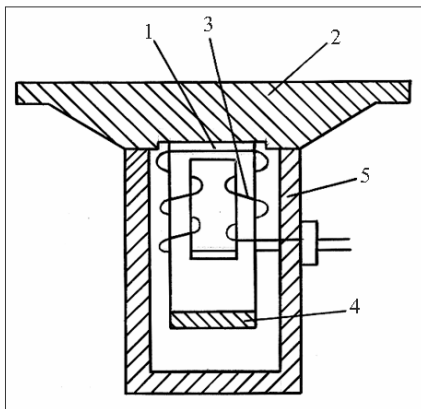
$E$  – დრეკადობის მოდული;

$\rho$  – ღეროს მასალის სიმკვრივე.

მოცემული მასალისათვის დამახასიათებელ მუდმივ სიდიდეს წარმოადგენს ნამრავლი  $f_K \cdot l$ . მაგალითად, თუ 10 სმ სიგრძის ნიკელის ღეროს შემთხვევაში  $f_K \cdot l = 252400$  პც სმ, მისი რხევის საკუთარი სიხშირე შეადგენს 25,24 პც (ნიკელისათვის  $\rho = 8.88 \text{ г/см}^3$ ,  $E = 22.63 \cdot 10^{11}$ ).

მაგნიტოსტრიქციული ვიბრატორების გულარები მზადება სხვადასხვა კონსტრუქციისა. გავრცელებულია ღეროს ან ჩაკეტილი ფორმის გულარი, რომელიც შედგება 0,1-0,3 მმ სისქის ცალკეული ფინებისაგან (გრიგალურ დენებზე დანაკარგების შემცირების მიზნით). გულარის ღეროებზე დახვეულია გრაგნილი, შესაბამისი სიხშირის ცვლადი დენისათვის.

2.46 ნახაზზე წარმოდგენილია მაგნიტოსტრიქციული გარდამსახის სქემატური გამოსახულება. აღნიშნული გარდამსახი გამოყენება ბეტონის სიმტკიცის გამოსაკვლევ მოწყობილობაში. იგი შედგება ორდეროვანი პაკეტისაგან (I), რომელიც წარმოადგენს მაგნიტოსტრიქციულ ელემენტს; დიაფრაგმისაგან (2), გრაგნილისაგან (3), რეზინის ეკრანისაგან (4) და ცილინდრის კორპუსისაგან (5).



ნახ.2.46. მაგნიტოსტრიქციული გარდამსახის კონსტრუქცია

გამსხივებლის ეფექტური გამოყენება ხორციელდება 70-80 პც სიხშირეების დროს.

## §13. ზემაღალი სიხშირის გარდამსახვები

ზემაღალი სიხშირის რადიოტალღები წარმოადგენენ ელექტრომაგნიტურ რხევებს ტალღის სიგრძით 30 სმ-დან 1 სმ-დე, სიხშირით  $10^9$  ჰც-დან  $3 \cdot 10^{10}$  ჰც-მდე. ზემაღალი სიხშირის გარდამსახვების მუშაობა დამყარებულია სანჩი-მეტრული დიაპაზონის რადიოტალღებისა და გასაზომი ობიექტის ურთიერთოქმედებაზე.

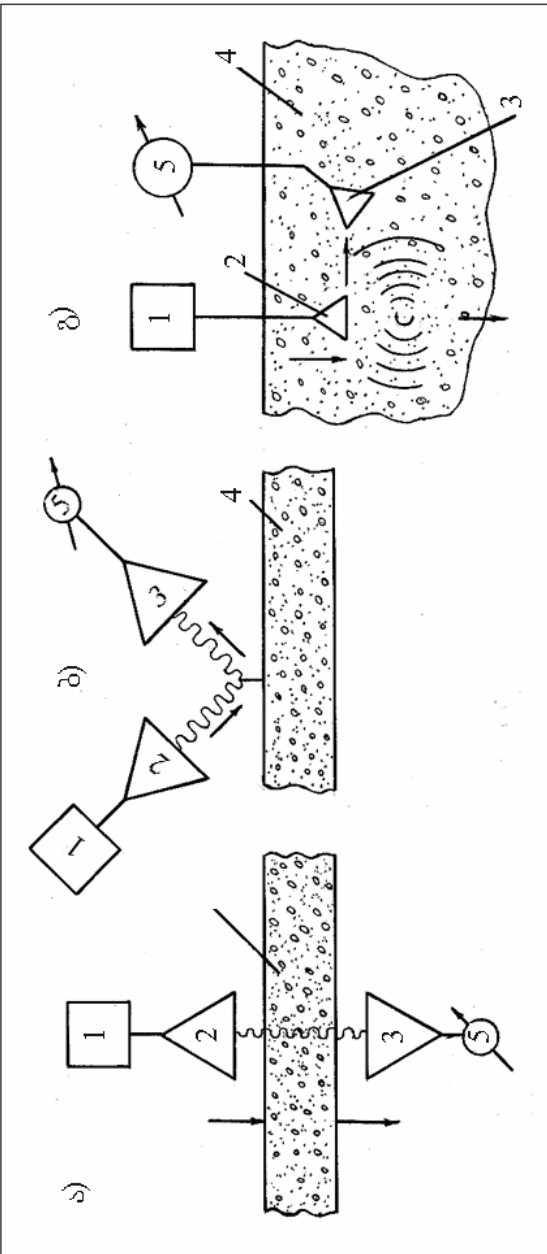
სპეციალური ანტენების საშუალებით რადიოტალღების დაფოკუსება წარმოებს ვიწრო კონტაქტს გენერაცია ხორციელდება რადიონათურებითა და სპეციალური ელექტრონული ხელსაწყოების საშუალებით. ზემაღალი სიხშირის ენერგიის გადაცემა ხორციელდება ტალღასაბარებით, რომლებიც წარმოადგენენ ტალღის სიგრძის შესაბამისი ზომების მქონე მრგვალი ან სწორგუთხა კვეთის ღრუ გამტარებს.

2.47 ნახაზზე ნაჩვენებია ზემაღალი სიხშირის გარდამსახის მუშაობის სქემები. გარდამსახი შედგება ზემაღალი სიხშირის გენერატორისაგან (1), გადამცემი (2) და მიმღები (3) ანტენებისაგან და მარგებისტრირებელი მოწყობილობისაგან (5). გადამცემ და მიმღებ ანტენებს შორის სივრცეში თავსდება გამოსაკვლევი ნაკეთობა (4).

ზემაღალი სიხშირის რადიოტალღების მიერ დისკრეტული მაკროსტრუქტურის მასალებში (სამშენებლო მასალებში) გავლის შედეგად, წარმოებს ზმს რადიოტალღების ენერგიის შთანთქმა, რომლის ნაწილიც იხარჯება მასალის გახურებაზე. მასალის არაერთგვაროვნება იწვევს რადიოტალღების განბნევას. ზმს რადიოტალღების არეალისას მასალის ზედაპირიდან არეალილი ტალღის ამპლიტუდა და მოკიდებულია გამოსაკვლევი ნაკეთობის (მასალის) სტრუქტურულ და გეომეტრიულ მასასიათებლებზე.

თუ გავზომავთ ნაკეთობაზე დაცემული, მასში გავლილი ან არეალილი რადიოტალღების ინტენსივობებს, შეიძლება განვალისაზღვროთ გასაზომი ობიექტის გეომეტრიული, ელექტროფიზიკური და სტრუქტურული თვისებები.

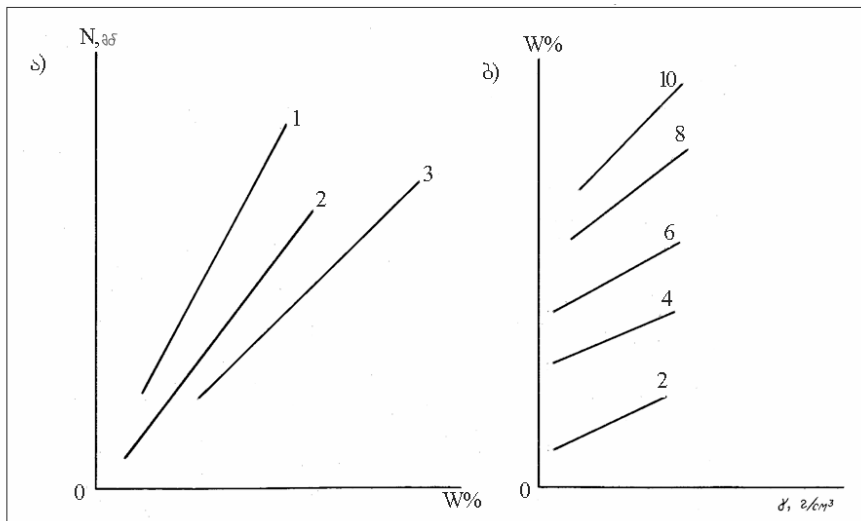
ზმს გარდამსახვების საშუალებით შეიძლება დავადგინოთ სამშენებლო მასალების ტენიანობა.



ნახ.247. ზემადალი სისტერის (ზმე) გარღამსახვის მუშაობის სქემები: а) მასალაში რადიოტალღების გავლის პრინციპის მიხედვით; б) სხვადასხვა გარემოს გამყოფი საზღვრიდან არეგვებლის პრინციპის მიხედვით; в) გაძნევის პრინციპის მიხედვით; г) გაძნევის პრინციპის მიხედვით.

ტენიანობის განსაზღვრისას არეკლილი ტალღის მეთოდით, დგება ტარირებული დამოკიდებულება არეკლილი ტალღის ამპლიტუდასა და მასალის ტენიანობას შორის, რომელიც ხასიათდება მდგრადი კორელაციური კავშირით.

2.48.ა ნახაზზე წარმოდგენილია ზმს ენერგიის შთანთქმის დამოკიდებულება სხვადასხვა საშენი მასალის ტენიანობაზე, ხოლო 2.48ბ ნახაზზე – ბეტონის ნარევის სიმკვრივის დამოკიდებულება სხვადასხვა სიდიდის ტენიანობაზე (ტალღის სიგრძე  $\lambda = 3\text{cm}$ ).



ნახ.2.48. ზმს რადიოტალღების შესუსტების სიდიდის დამოკიდებულება საშენი მასალის ტექნოლოგიური პარამეტრებისაგან: ა) ქვიშის ტენიანობისაგან – 1; ბეტონის ტენიანობისაგან – 2; მერქნის ტენიანობისაგან – 3. ბ) სხვადასხვა ტენიანობის მქონე ბეტონის ნარევის სიმკვრივისაგან [1]

ზმს გარდამსახების საშუალებით შეიძლება განხორციელდეს ბეტონის გამკვრივების პროცესის ავტომატური მართვა, ცემენტის პიდრაბაციის დროს ტენით შეკავშირების პროცესის კონტროლის საშუალებით.

## §14. მანძილის გარდამსახები (დისტანციური მართვის საშუალებანი)

### 1. ზოგადი ცნობები

მანძილის გარდამსახები შეიძლება იყოს წყვეტილი ან უწყვეტი მოქმედების, ახლო მანძილზე და შორ მანძილებზე მოქმედი. როდესაც საქმე გვაძვს ათვეულ და ასეულ კილომეტრზე სიგნალების გადაცემის აუცილებლობასთან, მაშინ მანძილის გარდამსახებად გამოიყენება რადარები.

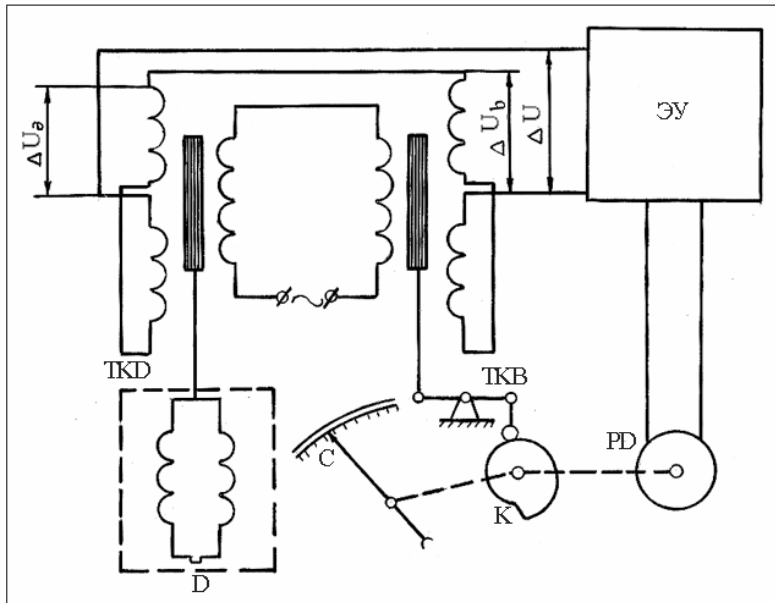
ავტომატიკის ელექტრომექანიკურ მოწყობილობებში ფართოდ გამოიყენება კუთხეური გადაადგილების დისტანციური გადაცემის სისტემები და მოთვალოვალე სისტემები.

დისტანციური გადაცემის სისტემის ძირითადი ელემენტებია: პირველადი ხელსაწყო (გარდამსახი) – გადასაცემი კუთხის ამთვისებელი კავშირგაბმულობის ხაზი და მეორეული ხელსაწყო (მიმღები) – გადასაცემი კუთხის აღმწარმოებელი. ოუ საჭიროა გადაცემის დიდი სიზუსტის უზრუნველყოფა ან დასაძლევი წინადობის მომენტის სიდიდე მიმღების ღერძზე მნიშვნელოვანია, გამოიყენება კუთხეური გადაადგილების დისტანციური გადაცემის სისტემა მაძლიერებელი ელემენტებით, ანუ ე.წ. მოთვალოვალე სისტემა. მაგალითად, ნებისმიერი სახის მანომეტრი წნევის გაზომვის ადგილიდან შეიძლება დაყენებულ იქნეს არაუმეტეს 50 მ მანძილზე. დისტანციის შემდგომი გაზრდა მაძლიერებელი ელემენტების გამოუყენებლად იწვევს გაზომვის სიზუსტის დაქვეითებას ხელსაწყოს ჩვენების დაგვიანების გამო, რაც დაუშვებელია სწრაფად მიმდინარე პროცესების კონტროლის დროს. ამიტომ, მანომეტრის ჩვენების გადასაცემად 50 მ-ზე მეტ მანძილზე გამოიყენება მანომეტრები პირველადი ხელსაწყოდან მეორეულ ხელსაწყოზე ჩვენებების გადამცემი ელექტრული ან პნევმატური სისტემებით. პირველად ხელსაწყოში (გარდამსახი) გასაზომი წნევა გარდაიქმნება წნევის პროპორციულ ელექტრულ ძაბვად, დენის ძალად ან კუმულაციის პარამეტრის წნევად, რომელიც იწვევს მეორეული ხელსაწყოს (მიმღები) ისრის გადაადგილებას. მეორეულ ხელსაწყოს გააჩნია გარდამსახის სკალის ანალოგიური სკალა.

დისტანციური მართვის აღნიშნული სისტემები გამოიყენება სამშენებლო მანქანებისა და სამშენებლო წარმოების პროცესების ავტომატიზაციისათვის.

## 2. დისტანციური გადაცემის დიფერენციალურ-ტრანსფორმატორული სისტემა

გადაცემის დიფერენციალურ-ტრანსფორმატორული სისტემა შედგება მიმდევრობით შეერთებული ორი ტრანსფორმატორული კოჭასაგან, რომელთაგან ერთი TKD მოთავსებულია პირველად ხელსაწყოში, მეორე კი TKB მეორეულში (ნახ.2.49).



ნახ.2.49. ჩვენებების გადაცემის დიფერენციალურ-ტრანსფორმატორული სისტემის სქემა

ორივე ტრანსფორმატორული კოჭა მომარაგებულია პირველადი და მეორეული გრაგნილებით. პირველადი გრაგნილი განლაგებულია კოჭას მთელ სიგრძეზე, მეორეული შედგება თანაბარი რაოდენობის ხვეულებიანი ორი ხექციისაგან, რომლებიც ჩართულია ურთიერთ შემსვედრად. პირველადი გრაგნილების კვება წარმოებს ცვლადი დენიო, ელექტრონული გამაძლიერებლის ბლოკში შემავალი ძალოვანი ტრანსფორმატორიდან. თითოეულ კოჭაში მოთავსებულია რბილი რკინის გულარი (პლუნჯერი), რომლის სიგრძე ნაკლებია კოჭის სიგრძეზე. სისტემაში შედის ელექტრო-

ნული მაძლიერებელი (ЭУ), ორფაზა ასინქრონული (რევერსიული) ელექტროძრავი (PD) მეორეული კოჭას გულარის გადასაადგილებლად (K) მუშავის საშუალებით და პირველადი ხელსაწყოს საზომი სისტემა (П). ელექტროძრავის გამოსავალი ლილვთან დაკავშირებულია მაჩვენებელი ისარი და ოვითხამწერი მოწყობილობა (C). როდესაც კოჭას გულარი იმყოფება ნეიტრალურ (შუალედ) მდგომარეობაში, მეორეული გრაგნილის თითოეულ სექციაში აღძრული ინდუქციური ემ ძალები  $e_1$  და  $e_2$  იქნება თანატოლი და ურთიერთსაწინააღმდეგოდ მიმართული. ამიტომ მეორეული გრაგნილების სექციების საწყისებს შორის ძაბვა იქნება ნულის ტოლი, კ.ი.

$$e_1 - e_2 = 0.$$

თუ პირველადი კოჭას გულარი გადაადგილდება ნეიტრალური მდებარეობიდან, მეორეული გრაგნილების სექციების გამტოლი მაგნიტური ნაკადი სხვადასხვა იქნება თითოეული სექციისათვის, რის გამოც სექციებში ინდუქციორებული ემდ იქნებიან განსხვავებული და სექციების საწყისებს შორის წარმოიშობა  $\Delta U_{\Pi}$  ძაბვა.

$$\Delta U_{\Pi} = e_1 - e_2.$$

ანალოგიურად, მეორეული კოჭას გულარის გადაადგილებისას ნეიტრალური მდებარეობიდან, სექციების საწყისებს შორის წარმოშობილი ძაბვის სიდიდე

$$\Delta U_B = e_3 - e_4,$$

სადაც  $e_3$  და  $e_4$  მეორეული კოჭას სექციებში აღძრული ემდ-ია. თუ ორივე კოჭას გულარები გადაადგილდება ნეიტრალური მდებარეობიდან თანაბარ მანძილებზე, მაშინ სისტემა მშვიდ მდგომარეობაში იქნება.

$$\Delta U_{\Pi} - \Delta U_B = \Delta U = 0.$$

ერთ-ერთი გულარის გადაადგილებისას ნეიტრალური მდგომარეობიდან მეორეული გრაგნილის თითოეულ სექციაში ინდუქციორებული ემ ძალები სიდიდით განსხვავებული იქნებიან, გამომუშავდება სიგნალი, რომელიც გაუტოლდება ძაბვის სხვაობას  $\Pi$  გარდამსახსა და მეორეულ ხელსაწყოს - TKB შორის.

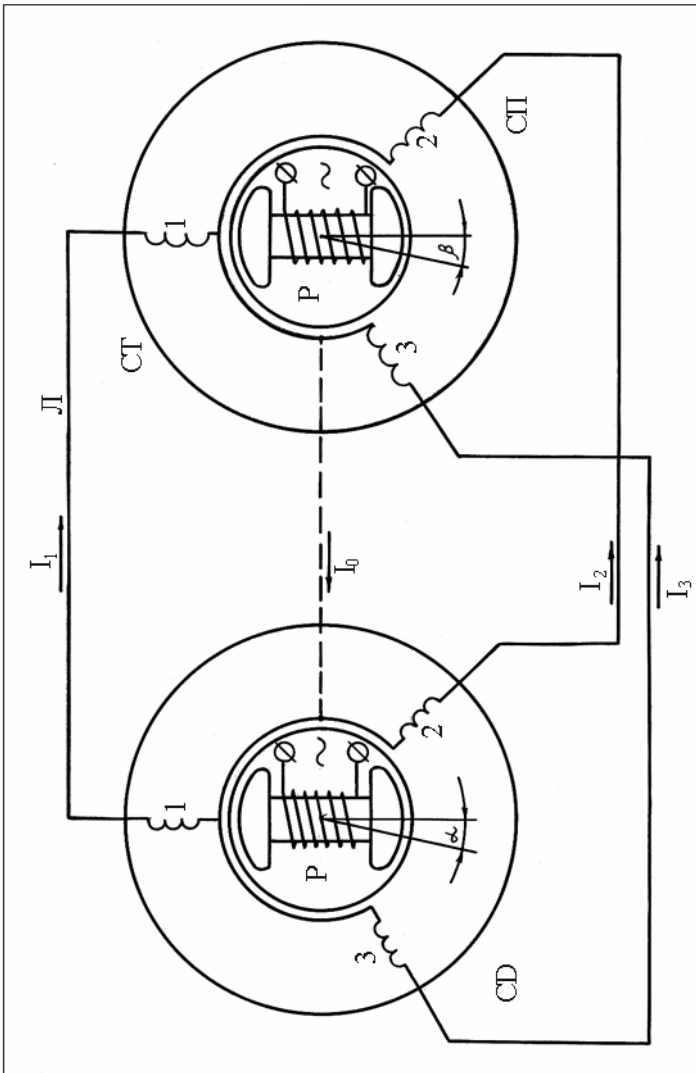
$$\Delta U = \Delta U_{\Pi} - \Delta U_B.$$

გამომუშავებულ სიგნალს, გაძლიერებულს ელექტრონული მაძლიერებლით (ЭУ), მოყავს მოქმედებაში რევერსმიული ძრავი (PD), რომელიც აბრუნებს პროფილიან მუშტას (K), გადაადგილებს მაჩვენებელ ისარს (C) და ფრთას (კალამს). პროფილიანი მუშტა ბერკეტის საშუალებით გადაადგილებს მუშტა ინდუქციურ კოჭას (მეორეული ხელსაწყოს) გულარს მანამ, ვიდრე ის არ დაიკავებს გარდამსახის გულარის ანალოგიურ მდებარეობას. ამრიგად, პირველადი ხელსაწყოს (გარდამსახის) გულარის ნებისმიერ მდებარეობას, რომელიც განისაზღვრება გასაზომი სიდიდის მნიშვნელობით, შეესაბამება მეორეული ხელსაწყოს გულარის გარკვეული მდებარეობა. გასაზომი სიდიდის ფიქსირება წარმოებს მაჩვენებელი ისრით, ხოლო მისი ჩაწერა – დისკოსმაგვარ დიაგრამაზე ფრთით. დიაგრამას აბრუნებს სინქრონული ძრავი.

### 3. დისტანციური გადაცემის სელსინური სისტემა

გუთხური გადაადგილების გადაცემის სელსინური სისტემის მოქმედების პრინციპი მდგომარეობს გარდამსახის სამგრავნილში ინდუქცირებული ცვლადი ემდ გადანაწილებაში.

სელსინი წარმოადგენს მცირე ზომის ელექტრულ მანქანას, რომელიც შედგება უძრავი (სტატორი (CT) და მოძრავი (როტორი (P) ნაწილებისაგან. სტატორში გვაქვს სამი გრაგნილი, რომელთა ფაზებიც ერთმანეთთან ადგენენ  $120^0$  კუთხებს. გრაგნილების შეერთება შეიძლება შესრულდეს ვარსკვლავის ან სამკუთხედის სქემით (2.50 ნახაზზე ნაჩვენებია ფაზების შეერთება ვარსკვლავის სქემით). როტორს გააჩნია მხოლოდ ერთი გრაგნილი, რომელიც ქმნის როტორის დერძის პერპენდიკულარულ მაგნიტურ ველს. ცვლადი დენის მკვებავი ძაბვა ამ გრაგნილის გამომყვანებთან მიერთებულია ორი რგოლით, რომლებთანაც მჭიდროდ არის მიჭერილი ორი მუხი. შესაძლებელია სელსინური წყვილის მუშაობა ინდიკატორულ და ტრანსფორმატორულ რეჟიმებზე. ინდიკატორული სელსინური გადაცემის სქემა ნაჩვენებია 2.50 ნახაზზე.



ნახ.2.50. კუთხური გადაღებილების დისტანციური გადაცემის  
სელსინური სისტემის სქემა

სელსინი მუშაობს შემდეგნაირად: როტორის წრედში ჩართული ცალფაზა ცვლადი დენი წარმოქმნის მასში ცვლად მაგნიტურ ნაკადს, რომელიც სტატორის გრაგნილების ფაზების გადაკვეთისას აღძრავს მათში ცვლადი დენის ემ ძალებს, რომელთა სიხშირეც ტოლია მკვებავი ძაბვის სიხშირისა. სტატორის ფაზაში ინდუქცირებული ემბ

სიდიდე დამოკიდებულია როტორის მდებარეობაზე და მის მაგნიტურ ნაკადზე. ასე მაგალითად, თუ როტორის დერძი ემთხვევა სტატორის ერთ-ერთი ფაზური გრაგნილის დერძს, მასში აღძრული ემდ მაქსიმალური იქნება. თუ როტორს შემოვაპრუნებთ  $90^0$ -ით, ფაზურ გრაგნილში ემდ არ აღიძვრება. ხოლო თუ როტორს შემოვაპრუნებთ იმავე მიართულებით კიდევ  $90^0$ -ით, ემდ კვლავ მაქსიმალური გახდება, მხოლოდ შეიცვლის ნიშანს. შეიძლება დავუშვათ, რომ გარდამსახის სტატორის ფაზურ გრაგნილებში აღძრული ემდ პროპორციულია გრაგნილებისა და როტორის დერძებს შორის შექმნილი კუთხების კოსინუსებისა, ე.ი.

$$\left. \begin{array}{l} E_{1\pi}' = E_{\max} \cdot \cos \alpha; \\ E_{2\pi}' = E_{\max} \cdot \cos(\alpha + 120^0); \\ E_{3\pi}' = E_{\max} \cdot \cos(\alpha + 240^0). \end{array} \right\} \quad (2.57)$$

ემდ განტოლებათა სისტემა სელსინ მიმღებისათვის:

$$\left. \begin{array}{l} E_{1\pi} = E_{\max} \cdot \cos \beta; \\ E_{2\pi} = E_{\max} \cdot \cos(\beta + 120^0); \\ E_{3\pi} = E_{\max} \cdot \cos(\beta + 240^0). \end{array} \right\} \quad (2.58)$$

სადაც  $E_{1\pi}', E_{2\pi}', E_{3\pi}', E_{1\pi}, E_{2\pi}, E_{3\pi}$ , არის ემდ სელსინ გარდამსახისა და სელსინ მიმღების სტატორების ფაზურ გრაგნილებში;

$E_{\max}$  – ემდ მაქსიმალური მნიშვნელობა ფაზურ გრაგნილში;

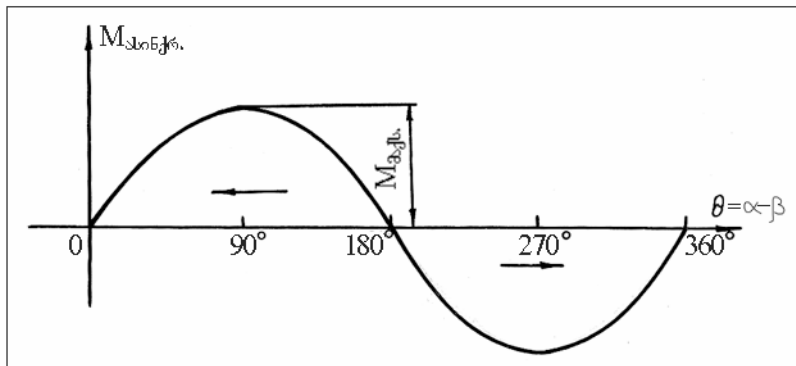
$\alpha$  – სელსინ გარდამსახის დერძის მობრუნების კუთხე;  $\beta$  – სელსინ მიმღების დერძის მობრუნების კუთხე.

ინდიკატორულ რეჟიმში სელსინ გარდამსახისა და სელსინ მიმღებისათვის ყოველთვის  $E_{\pi}' = E_{\pi}$ , ამიტომ, თუ  $\alpha = \beta$  (2.57) და (2.58) განტოლებათა სისტემის მიხედვით  $\Delta E = E_{1\pi}' - E_{1\pi} = 0; E_{2\pi}' - E_{2\pi} = 0; E_{3\pi}' - E_{3\pi} = 0$ . ამრიგად, როდესაც  $\alpha = \beta$  მასინჯრონებელი მომენტები არ არსებობს. თუ გარდამსახის როტორს გადავიყვანთ სხვა მდგომარეობაში (შევცვლით  $\alpha$ ) და მას ასე დავამაგრებთ (დავამუხრუჭებთ),

მაშინ  $\theta = \alpha - \beta \neq 0$  და სამფაზა გრაფიკილების ხაზოვან  
სადენებში გაივლის მათანაბრებელი დენები, რადგან  
 $\Delta E \neq E'_P \neq E_P$ . მათანაბრებელი დენებით გამოწვეული ნა-  
კადებისა და როტორის მაგნიტური ნაკადის ურთიერთქმედე-  
ბის შედეგად გარდამსახისა და მიმღების ლილვებზე წარ-  
მოიქმნება მასინქრონებელი მომენტები. მასინქრონებელი მო-  
მენტის სიდიდე გამოითვლება ფორმულით

$$M_{\text{ხინჯ}} = M_{\max} \cdot \sin \theta. \quad (2.59)$$

მასინქრონებელი მომენტის დამოკიდებულება  $\theta$   
კუთხესთან წარმოდგენილია 2.51 ნახაზზე. გრაფიკის ანალ-  
იზი გვიჩვენებს, რომ როდესაც  $\theta$  იცვლება  $0^\circ$ -დან  $260^\circ$ -მდე,  
სისტემას გააჩნია წონასწორობის ( $M_{\text{ხინჯ}} = 0$ ) ორი მდგო-  
მარეობა: როცა  $\theta = 0$  და  $\theta = 180^\circ$ . წონასწორობის მდგო-  
მარეობა, როდესაც  $\theta = 360^\circ$ , შეესაბამება  $\theta = 0^\circ$ , ვინაიდან  
ერთი სრული ბრუნვის შემდეგ როტორი უბრუნდება საწყის  
მდგომარეობას.  $\theta = 180^\circ$  შეესაბამება სისტემის არამდგრად  
მდგომარეობას, რომელშიც სელისინის როტორს შექრება  
არ შეუძლია. როგორც კი კუთხე  $\theta$  გახდება  $180^\circ$ -ზე ოდნავ  
მეტი ან ნაკლები, წარმოიქმნება მასინქრონებელი მომენტი,  
რომელიც აიძულებს სელისინის როტორს დაბრუნდეს საწყის  
მდგომარეობაში. ვინაიდან სელისინ მიმღების როტორი და-  
მუხრუჭებული არ არის, იგი შემობრუნდება და მიიღებს სელისინ  
გარდამსახის როტორის მდებარეობას, რომლის  
დროსაც  $\theta = \alpha - \beta = 0$ .



ნახ.2.51. მასინქრონებელი მომენტის სტატიკური მახასიათებელი

(2.57) და (2.58) განტოლებათა სისტემიდან გამომდინარეობს, აგრეთვე, რომ გარდამსახის როტორის ერთი შემობრუნების ფარგლებში  $\alpha$  კუთხის ნებისმიერ მნიშვნელობას შეესაბამება სელსინ მიმღების როტორის ერთი გარკვეული მდებარეობა, რომლის დროსაც ადგილი არ ექნება მათანაბრებელი დენებისა და, მაშასადამე, მასინქრონებელი მომენტების წარმოქმნას. ამ მოვლენას თვითსინქრონზაცია ეწოდება. თვითსინქრონიზაციის მოვლენის გარდა, სელსინებისათვის ინდიკატორული სისტემის გამოყენებას ის დადებითი თვისება გააჩნია, რომ მასინქრონებელი მომენტის სიდიდე დამოკიდებულია მხოლოდ  $\theta$  კუთხეზე და არ არის დამოკიდებული სელსინ გარდამსახისა და სელსინ მიმღების როტორების მდებარეობაზე საწყისი მდგომარეობის მიმართ.

სელსინ გარდამსახისა და სელსინ მიმღების გარდა, დისტანციურ გადამცემებში გამოიყენება სელსინ დიფერენციალები. სელსინ დიფერენციალი წარმოადგენს მანქანას სამფაზა სტატორითა და სამფაზა როტორით. მისი ჩართვა ხდება სელსინ გარდამსახისა და სელსინ მიმღებს შორის. დიფერენციალური სელსინ მიმღების საშუალებით შეიძლება გაიზომოს ორი სელსინ გარდამსახის მობრუნების ალგებრული ჯამი.

სამამულო მრეწველობა უშვებს სელსინებს სხვადასხვა სისშირის მკვებავ ძაბვაზე – 50-დან 500 ჰერცამდე.

განხილული სახის სელსინებს გარდა, ხშირად გამოიყენება უკონტაქტო სელსინებიც, რომელთა კონსტრუქციებიც დამუშავებულია ცნობილი მეცნიერების – ა.გ. იოსიფიანოვისა და დ.ვ. სვერჩარნიკის მიერ. უკონტაქტო სელსინის როტორს არ გააჩნია გრაგნილი და, მაშასადამე, დენმიმყვანი რგოლებიც, რაც ზრდის მათი მუშაობის საიმედოობას. უკონტაქტო სელსინები შექმნილია სპეციალური კონსტრუქციის როტორისა და სტატორის საფუძველზე.

მასინქრონებელი მომენტისა და სიმძლავრის თანაბარი მნიშვნელობების დროს უკონტაქტო სელსინის ზომები და წონა მეტი გამოდის კონტაქტებიან სელსინთან შედარებით. უკონტაქტო სელსინები გამოიყენება მირითადად დიდი სიზუსტის გამზომ გადაცემებში.

დისტანციური გადაცემის სელსინური სისტემების გამოყენების შემთხვევაში შეიძლება შესრულდეს შემდეგი ოპერა-

ციები: გადაეცეს ბრუნვის სიიჩქარე (განხორციელდეს სინქრონულობა), მობრუნების კუთხე (განხორციელდეს სინფაზურობა), ბრუნვის სიჩქარე და მობრუნების კუთხე ერთდროულად.

#### 4. სასიგნალო მოწყობილობანი

სამშენებლო პროცესების ავტომატიზაცია გამორიცხავს ოპერატორის მუდმივ მეთვალყურეობას საკონტროლო-საზომი ხელსაწყოების ჩვენებაზე, რომლებიც კოორდინაციას უწევენ ცალკეული მანქანებისა და ტექნოლოგიური საამქროების მუშაობას. ძირითადი გასაზომი პარამეტრების რეგულირება და მართვა სრულდება ავტომატურად. ტექნოლოგიური პროცესის ან სამშენებლო მანქანის ავტომატური რეგულირებისა და მართვის პროცესში ზოგიერთი დანადგარის ან მოწყობილობის მუშაობის რეჟიმის დამასასიათებელმა სიდიდემ შეიძლება მიაღწიოს ავარიულ მნიშვნელობას, რომელიც მოითხოვს ოპერატორის დაუყოვნებლივ რეაგირებას. ამ მიზნით ოპერატორის ყურადღების მისაქცევად გამოიყენება სხვადასხვა სასიგნალო მოწყობილობა. სასიგნალო მოწყობილობანი შეიძლება იყოს: ბეგრითი, შუქის, ელექტრომაგნიტური და კომბინირებული. ბეგრითი სიგნალისათვის შეიძლება გამოყენებულ იქნეს ელექტრული სირენები და ჩვეულებრივი ზარები, შუქის სიგნალებისათვის – ელექტრული ნათურები, რომლებიც მოთავსებულია ფერადი მინის ვაზნებში. სტაბილური წვევანებრივი მიუთითებს აგრეგატის ნორმალურ მუშაობაზე, სტაბილური წითელი ფერი – შესაბამისი აგრეგატის გაჩერებაზე. აგრეგატის მდგომარეობის შეცვლის შემთხვევაში ნათურა იწყებს ციმციმს, მაგრამ სხივის ფერი არ იცვლება. ამ დროს ირთვება ბეგრითი სიგნალიც და ა.შ. ელექტრომაგნიტური სიგნალებისათვის გამოიყენება ბლინკერები. ბლინკერი წარმოადგენს დისკოს, რომელსაც შეუძლია შემობრუნება ელექტრომაგნიტის საშუალებით. ჩვეულებრივ, ბლინკერები იღებება სხვადასხვაფრად.

## **გარდამსახებიდან მიღებული ინფორმაცია შესაბამისად**

უნდა იქნას გადამუშავებული. ასეთი გადამუშავების ერთ-ერთ ამოცანას წარმოადგენს მიღებული სიგნალის სიდიდის განსაზღვრა – მისი გაზომვა, ე.ი. შედარება ეტალონთან. ასეთი ელემენტების როლს ასრულებენ გამზომი სქემები.

ავტომატურ სისტემებში ყველაზე ფართოდ გამოიყენება მოწყობილობები გამზომი სქემების სამი სახიდან ერთერთით: კომპიუტერული, ხიდური, დიფერენციალური. სქემის კონკრეტული სახე განისაზღვრება გამოყენებული გარდამსახით (პირველადი გარდამქმნელით).

სქემების სამივე სახე აგებულია შედარების მეთოდით, რომელიც ხასიათდება თანმიმდევრობითი გარდაქმნების ორი ჯაჭვით, რომელთაგან ერთერთში ჩართულია მუშა გარდამქმნელი, ხოლო მეორეში – სანიმუშო. შედარების რგოლი (საერთო ორივე გარდამქმნელისათვის) გამოიმუშავებს სიგნალს, რომელიც შეესაბამება ეტალონისა და ფაქტიური მნიშვნელობების სხვაობას.

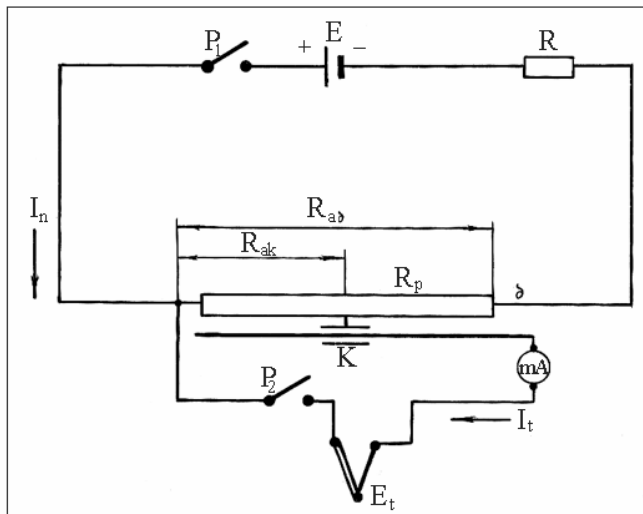
## **§1. გაზომვის პრაცესაციური სშმა**

კომპიუტერულ სქემები გამოიყენება გარდამსახებიდან მაბევის შეცვლის სახით მიღებული სიგნალების გასაზომად. კომპიუტერულ სქემებს საფუძვლად უდევთ შედარების მეთოდი. ამ სქემების დამახასიათებელი ნიშანია გაზომვის მაღალი სიზუსტე.

ავტომატურ სისტემებში გამოყენებული საკომპიუტერო მოწყობილობები სრულდება ავტომატური გაწონასწორებით. ამ მოწყობილობებს ეწოდება მუდმივი ან ცვლადი დენის ავტომატური პოტენციომეტრები (კომპიუტერული). ამრიგად, გაზომვის კომპიუტერული ანუ პოტენციომეტრული მეთოდის პრინციპი მდგომარეობს განსასაზღვრავი ემზადება გაწონასწორების მიზნების სასახლეში.

\* მესამე თავი დაწერილია რადიოინჟინერ ილია ბიჭიაშვილთან ერთად.

ბაში წინასწარ ცნობილ პოტენციალთა სხვაობით, რომელიც წარმოიქმნება დამხმარე დენის წყაროთი. 3.1 ნახაზზე წარმოდგენილია აღნიშნული მეთოდის გამარტივებული პრინციპული სქემა. სქემაზე აღნიშნულია:  $E$  – ემპ წყარო;  $R$  – მუდმივი წინადობა;  $R_p = R_{ab}$  – რეოქორდის საერთო წინადობა;  $R_{ak}$  – რეოქორდის წინადობა  $ak$  უბანზე;  $k$  – ძვრია;  $I_n$  – მკვებავი დენის ძალა; mA მილიამპერმეტრი;  $E_t$  – გარდამსახის ემპ;  $I_t$  – დენის ძალა გარდამსახიდან;  $P_1, P_2$  – ამომრთველები.



### ნახ.3.1. ემპ გაზომვის კომპენსაციური მეთოდის პრინციპული სქემა

რექორდას გააჩნია წინადობის ხაზოვანი განაწილება. სიტყვა “რეოქორდა” ნიშნავს ხაზოვან წინადობას. იგი მზადდება ერთნაირი განივავთისა და ხვედრითი წინადობის მქონე ერთგაროვანი გამტარისაგან. ამიტომ, რექორდას წინადობა პროპორციულია მისი გამტარის სიგრძისა. თუ მოსრიალე კონტაქტს დაფუკავშირებთ ისარს, შეიძლება გამოვითვალოთ რეოქორდის ერთეულ სიგრძეზე ძაბვის გარდნის სიდიდე მილივოლტებში, დავიტანოთ სკალაზე ნიშნები მილივოლტებში ან ცელსიუსის გრადუსებში ( $^{\circ}\text{C}$ ) და რეოქორდის ძვრიას მდებარეობის მიხედვით განვსაზღვროთ გარდამსახის ემპ. აღნიშნული მოსაზრება უდევს საფუძვლად გაზომვის კომპენსაციურ სქემას.

დავუშვათ წრედში ჩართული გარდამსახი წარმოადგენს თერმოწყვილს, რომლის ემდ უნდა განვსაზღვროთ. თუ დენის ძალა (E) ემდ წყაროდან არის ( $I_n$ ), თერმოწყვილიდან ( $I_t$ ), მაშინ წინადობის (ak) უბანზე დენის ძალისათვის ( $I_{ak}$ ) კირხოფის პირველი კანონის თანახმად, გვექნება

$$I_{ak} = I_n + I_t. \quad (3.1)$$

თუ გამოვიყენებთ  $E_t - k \cdot a \cdot P_2$  კონტურისათვის კირხოფის მეორე კანონს, მივიღებთ

$$E_t = I_t R_t + I_{ak} R_{ak}, \quad (3.2)$$

სადაც  $R_t$  არის თერმოწყვილის წინადობა;

$R_{ak}$  – რეოქორდის წინადობის ჩართული უნის წინადობა (მილიამპერმეტრისა და მიმყვანი სადენების წინადობას უგულვებელყოფთ, რადგან გაზომვის აღნიშნული სქემის შემთხვევაში ანათვალის აღება ხდება სრული კომპენსაციის დროს, როდესაც გასაზომ წრედში დენის ძალა ნულის ტოლია).

თუ გავითვალისწინებთ (3.2) გამოსახულებაში  $I_{ak}$  მნიშვნელობას (3.1) ტოლობიდან და განვსაზღვრავთ  $I_t$ -ს, გვექნება:

$$\begin{aligned} E_t &= I_t R_t + I_n R_{ak} + I_t R_{ak} = I_t (R_t + R_{ak}) + I_n R_{ak}; \\ I_t (R_t + R_{ak}) &= E_t - I_n R_{ak}. \\ I_t &= \frac{E_t - I_n \cdot R_{ak}}{R_t + R_{ak}}. \end{aligned} \quad (3.3)$$

მოსრიალე K კონტაქტის გადაადგილებით შეიძლება მივაღწიოთ მის ისეთ მდებარეობას რეოქორდაზე, რომ თერმოწყვილის წრედში გამავალი დენის ძალა იყოს ნულის ტოლი ( $I_t = 0$ ).

(3.3) გამოსახულების თანახმად ეს შესაძლებელია, როდესაც

$$E_t - I_n R_{ak} = 0,$$

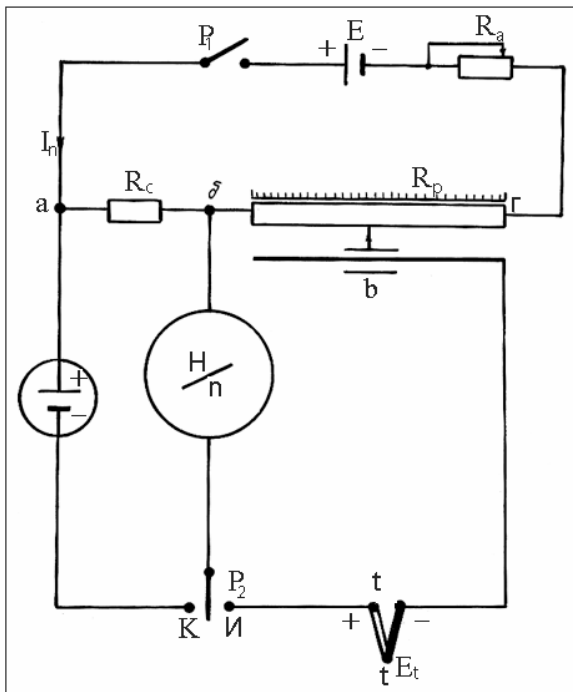
საიდანაც

$$E_t = I_n R_{ak} = U_{ak}. \quad (3.4)$$

მაშასადამე, თერმოწყვილის გასაზომი ემდ ტოლია a(k) რეოქორდის უბანზე ძაბვის ვარდნისა. თუ მკვებავი დენის ძალის სიდიდეს მუდმივად შევინარჩუნებთ, ე.ი.  $I_n = \text{const.}$ , მაშინ რეოქორდიდან მოხსნილი ძაბვის სიდიდე ( $U_{ak}$ ) დამოკიდებული იქნება მხოლოდ რეოქორდის (ak) უნის წინადობაზე ( $R_{ak}$ ).

ემდ გაზომვის მოყვანილი კომპენსაციური სქემა ვერ უზუნველყოფს ემდ გაზომვის მაღალ სიზუსტეს, ვინაიდან მკვებავი დენის ძალის სიდიდეზე გავლენას ახდენს დენის წყაროს ემდ ცვალებადობა, რაც გამოწვეულია ელემენტის ძაბვის თანდათანობითი შემცირებით. თუ მკვებავი დენის ძალა ( $I_n$ ) რეოქტოდის ძვრიას ფიქსირებული მდებარეობის დროს არ იქნება მუდმივი, ცხადია, რეოქტორდიდან მოსხილი ძაბვის სიდიდე იქნება ცვალებადი, ხოლო გაზომილი ემდ – არაზუსტი.

გასაზომ ტექნიკაში და ავტომატურ მოწყობილობებში ფართოდ არის გამოყენებული გაზომვის კომპენსაციური სქემა საკონტროლო წრედით (ნახ.3.2). საკონტროლო წრედის საშუალებით პერიოდულად ვაჭარმოებთ მშრალი ელემენტის ძაბვის შედარებას ნორმალური ელემენტის (H<sub>E</sub>) ძაბვასთან იმ მიზნით, რომ მაკომპენსირებელ რეოქტორდაზე უზრუნველყოთ მკვებავი დენის მუდმივობა.



ნახ.3.2. კომპენსაციური სქემა საკონტროლო წრედით

ნორმალური ელექტრონი წარმოადგენს დენის ქიმიურ წყაროს, მისი ემპ 20°C ტემპერატურის დროს შეადგენს 1.01863 და ნორმალური ექსპლოატაციის პირობებში დიდი ხნის განმავლობაში არ განიცდის ცვალებადობას. ნორმალური ელექტრონის დატვირთვა არ შეიძლება 10 მკა-ზე მეტი სიდიდის დენის ძალით დაზიანებისაგან დაცვის მიზნით.

კომპენსაციურ სქემაში საკონტროლო წრედით გათვალისწინებულია ნულოვანი ხელსაწყო (გალვანომეტრი) H/P, რომელიც იძლევა დენის მხოლოდ წარმოშობისა და მისი გაქრობის ოგისტრირების საშუალებას (საკომპენსაციო სქემებში იგი დენის გასაზომად არ გამოიყენება. ნულოვანი ხელსაწყოს მგრძნობიარობა განსაზღვრავს გაზომვის სიზუსტეს).

სქემაზე გადასართო ჩამრაზის ( $P_2$ ) დანიშნულებაა ნულოვანი ხელსაწყოს ჩართვა ნორმალური ელექტრონის წრედში ან თერმოწყვილის წრედში. И მდგომარეობა შეეფარდება გაზომვას, ხოლო  $k$  მდგომარეობა – კონტროლს.

სქემაში ჩართულია სამი წინადობა:  $R_a$  – ცვლადი, რომლითაც წარმოებს მკვებავი დენის ძალის  $I_n$  მუდმივობის რეგულირება;  $R_c$  – დიდი სიდიდის შესადარებელი მუდმივი წინადობა, რომელიც გათვალისწინებულია მკვებავი დენის ძალის მოსამართვად (ასაწყობად) ნორმალური ელექტრონის მიხედვით;  $R_p = R_{\phi}$  – რეოქორდის წინადობა სკალის მილ-გოლტებში.

აღვნიშნოთ:  $R_{H/P}$  – ნულოვანი ხელსაწყოს წინადობა;  $R_t$  – გარდამსახის (თერმოწყვილის) წინადობა;  $I_{H/P}$  დენის ძალა ნულოვანი ხელსაწყოს წრედში;  $R_{\phi}$  – რეოქორდის წინადობა  $\phi$  უბანზე.

დენის ძალის მნიშვნელობა ნულოვან ხელსაწყოში გამოისახება ელტექნიკის კურსის ცნობილი გამოსახულებით:

$$I_{H/P} = \frac{E_t - U_{\phi}}{\frac{R_{\phi}(R_p - R_{\phi} + R_a)}{R_p + R_a} + R_{H/P} + R_t}, \quad (3.5)$$

სადაც  $\frac{R_{\text{შ}}(R_p - R_{\text{შ}} + R_a)}{R_p + R_a}$  წარმოადგენს ორი პარალელურად

ჩართული შტოების  $R_{\text{შ}}$  და  $R_p - R_{\text{შ}} + R_a$  წინადობათა ჯამს.

როდესაც  $U_t = U_{\text{შ}}$ , დენის ძალა ნულოვან ხელსაწყოში იქნება ნულის ტოლი. დავუშვათ,  $U_t = U_{\text{შ}} = \Delta U_t$ , რომ, მაშინ

$$I_{H/\Pi} = \Delta I_{H/\Pi} = \frac{\Delta U_t}{\frac{R_{\text{შ}}(R_p - R_{\text{შ}} + R_a)}{R_p + R_a} + R_{H/\Pi} + R_t}. \quad (3.6)$$

კომპენსაციური სქემის მგრძნობიარობა გამოისახება განტოლებით

$$S = \frac{\Delta I_{H/\Pi}}{\Delta U_t} = \frac{1}{\frac{R_{\text{შ}}(R_p - R_{\text{შ}} + R_a)}{R_p + R_a} + R_{H/\Pi} + R_t} \stackrel{\circ}{=} \frac{1}{3}. \quad (3.7)$$

(3.7) გამოსახულებიდან ჩანს, რომ კომპენსაციური სქემის მგრძნობიარობა დამოკიდებულია ძვრიას მდებარეობაზე, ანუ  $R_{\text{შ}}$  წინადობაზე. უდიდესი მგრძნობიარობა გვექნება სკალის დასაწყისში ( $R_{\text{შ}}=0$ ) და ბოლოში ( $R_{\text{შ}}=R_p + R_a$ ).

$$S_{\text{ულ}} = \frac{1}{R_{H/\Pi} + R_t}. \quad (3.8)$$

უმცირესი მგრძნობიარობა კომპენსაციურ სქემას გააჩნია იმ შემთხვევაში, როდესაც

$$R_{\text{შ}} = \frac{1}{2}(R_p + R_a). \quad (3.9)$$

კომპენსაციური სქემა საკონტროლო წრედით ხასიათ-დება გაზომვის დიდი სიზუსტით სხვა სქემებთან შედარებით, ვინაიდან გაზომვის მომენტში დენი გასაზომ ხელსაწყოში არ გადის, მაშასადამე, ცდომილებასსაც არა აქვს ადგილი.

კომპენსაციური სქემის მიხედვით გაზომვას ვაწარმოებთ შემდეგნაირად: ვრთავთ  $P_1$  ჩამრაზს და  $R_a$  რეოსტატის ძვრიას გადაადგილებით ვპოულობთ მის ისეთ მდებარეობას, რომლის დროსაც წრედში  $H\text{-}R_c\text{-}H/\Pi$  დენი არ გადის და ნულოვანი ხელსაწყოს (გალვანომეტრი) ისარი ნულზე გაჩერ-

დება. ამას ვამოწმებთ  $P_2$  ჩამრაზის დაყენებით კ მდგომარეობაში. როდესაც დავრწმუნდებით, რომ  $E_{H2} = R_c I_n$ , ანუ მკვებავი დენის ძალა შერჩეულია სწორად, ვიწყებთ თერმოწყვილის ემბ გაზომვას.  $P_2$  ჩამრაზი გადაგვყავს И მდგომარეობაში და რეოქორდის ძვრიას გადაადგილებით ვაყენებთ ნულოვანი ხელსაწყოს ისარს ნულოვან მდგომარეობაში. რეოქორდიდან მოხსნილი ძაბვის სიდიდე -  $U_A$  შეესაბამება ოერმოწყვილის გასაზომ ემბ, რომლის მნიშვნელობასაც ვღებულობთ სკალაზე, მილივოლტობით, ან უმუალოდ  $^{\circ}\text{C}$ .

## §2. ელექტრული ბაზომი ხიდები (პოპირები)

ხიდურმა სქემებმა მაღალი მგრძნობიარობის გამო დიდი გავრცელება პოვეს გამზომ ხელსაწყოებში. ტექნოლოგიური ინფორმაციის ელექტრული გარდამსახების უმრავლესობა (წინააღმდეგობის, თერმოელექტრული, ტენზო, ტევადური, ინდუქციური და სხვ.) ფართოდ გამოიყენება ხიდურ სქემებში წინააღმდეგობის, ტემპერატურის, დეფორმაციის და სხვა სიდიდეთა გასაზომად, აგრეთვე, როგორც შესაღარებელი ელემენტი, სხვადასხვა პარამეტრის ავტომატური რეგულირების დროს.

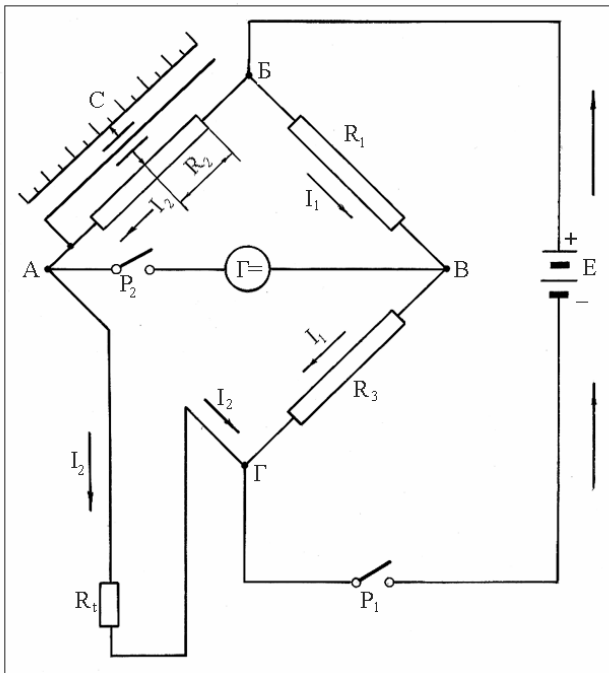
არჩევენ გაწონასწორებულ და გაუწონასწორებულ ელექტრულ გამზომ ხიდებს. ჩვეულებრივ, ხიდური სქემა შედგება ოთხი წინააღმდებისაგან, რომელთაც “ხიდის მხრები” ეწოდებათ. ხიდის კვება შეიძლება განხორციელდეს, როგორც ცვლადი, ასევე მუდმივი დენით. მუდმივი დენის ხიდებში ხიდის მხრები წარმოადგენენ ომურ წინააღმდებს –  $R_1, R_2, R_3, R_4$ , ცვლადი დენის ხიდებში კი აქტიურ, ინდუქციურ და ტევადურ წინააღმდებს –  $z_1, z_2, z_3, z_4$ .

ხიდურ სქემებში გასაზომი სიდიდე გარდამსახის დახმარებით გარდაიქმნება აქტიური ან რეაქტიული წინააღმდების ცვლილებაში. ხიდური სქემების საფუძველში დევს უიტსონის ხიდის სქემა (ნახ.3.3) – წინააღმდების შეერთების წესი. ხიდის მოქმედების პრინციპი ემყარება იმას, რომ ხიდის მხრებში წინააღმდებათა შეფარდების მუდმივობის დროს  $\frac{R_1}{R_3} = \frac{R_2}{R_4}$  ხიდის

დიაგონალში დენი არ არის. ამ პრინციპზეა დამყარებული 130

ხიდური გაზომვები. ამასთან, ხიდის გაწონასწორება არ არის დამოკიდებული კვების წყაროს ძაბვის რყევებზე.

3.3 ნახაზზე წარმოდგენილია გამტარის წინადობის გაზომვის პრინციპული სქემა, ელექტრული გამზომი ხიდის საშუალებით. ხიდის გამზომ AB დიაგონალში ჩართულია ნულო-



ნახ.3.3. წინადობის გაზომვის სქემა მუდმივ დენზე მომუშავე გამზომი ხიდით

ვანი ხელსაწყო (გალვანომეტრი), ხოლო მკვებავ ნულოვანალში – ემ ძალის წყარო  $E$ . სქემაში  $R_1$ ,  $R_3$  და  $R_L$ ,  $R_2$  წინადობები ჩართულია ორი პარალელური შტოს სახით, რომელთა შორის წონასწორობის მაჩვენებელი ნულოვაპნი ხელსაწყო  $\Gamma$  ქმნის „ხიდს“.  $R_1$ ,  $R_2$ ,  $R_3$  წინადობები შეიძლება შევარჩიოთ იმგვარად, რომ შეკრული  $P_1$  და  $P_2$  ჩამრაზების შემთხვევაში ხიდი აღმოჩნდეს გაწონასწორებული, ე.ი. ნულოვან ხელსაწყოში დენის გავლას არ პქონდეს აღგილი. ამ შემთხვევაში  $A$  და  $B$  წერტილების პოტენციალები იქნება ერთნაირი, ხოლო ძაბვა  $U_{AB} = U_{AB}$  და  $U_{TD} = U_{AG}$ . მაგრამ, ომის კანონის თანახმად,

$$U_{BB} = I_1 R_1;$$

$$U_{AB} = I_2 R_2;$$

$$U_{TB} = I_1 R_3;$$

$$U_{AF} = I_2 R_t$$

ანუ  $I_1 R_1 = I_2 R_2, I_1 R_3 = I_2 R_t.$

$$\frac{I_1 R_1}{I_1 R_3} = \frac{I_2 R_2}{I_2 R_t},$$

$$\frac{R_1}{R_3} = \frac{R_2}{R_t},$$

საიდანაც  $R_t = R_2 \frac{R_3}{R_1}.$

ამავე შედეგს მივიღებთ, თუ დავუშვებოთ, რომ გამზომი დიაგონალის A და B წერტილებს შორის პოტენციალთა სხვაობა  $\Delta U \neq 0$ , ხოლო გამზომი ხელსაწყოს წინაღობა უსასრულოდ დიდია. მართლაც, ომის კანონის თანახმად,

$$U = I_1 (R_1 + R_3);$$

$$U = I_2 (R_2 + R_t).$$

აქედან

$$I_1 = \frac{U}{R_1 + R_3}; \quad I_2 = \frac{U}{R_2 + R_t}.$$

პოტენციალთა სხვაობა

$$\Delta U = I_2 R_2 - I_1 R_1 = U \left( \frac{R_2}{R_2 + R_t} - \frac{R_1}{R_1 + R_3} \right) =$$

$$= U \frac{R_1 R_2 + R_2 R_3 - R_1 R_2 - R_1 R_t}{(R_2 + R_t)(R_1 + R_3)} = U \frac{R_2 R_3 - R_1 R_t}{(R_2 + R_t)(R_1 + R_3)}.$$

პოტენციალთა სხვაობა იქნება ნულის გოლი, თუ  $R_2 R_3 - R_1 R_t = 0$ , ანუ  $R_2 R_3 = R_1 R_t$ .

აქედან  $R_t = R_2 \cdot \frac{R_3}{R_1}$ . (3.10)

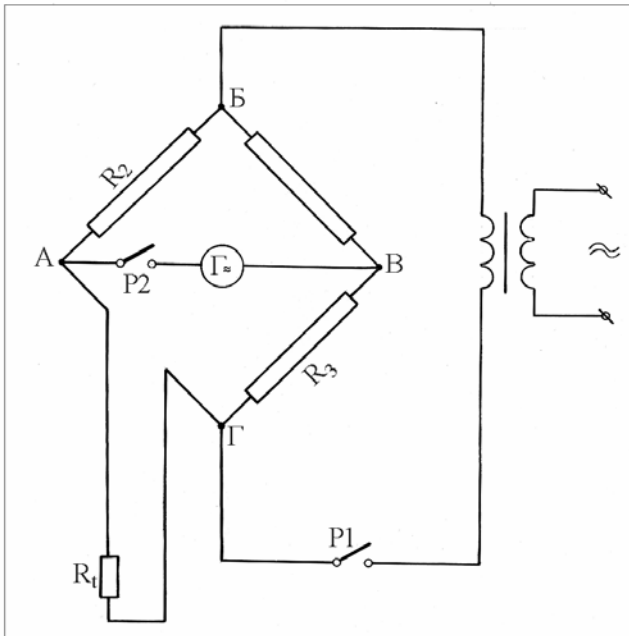
(3.10) გამოსახულებიდან ჩანს, რომ  $R_1$  და  $R_3$  წინაღობების მუდმივი მნიშვნელობების დროს საძიებელი  $R_t$  წინაღობა და-

მოკიდებულია  $R_2$  წინაღობის სიდიდეზე.  $R_t$  ნებისმიერი მნიშვნელობისათვის შეიძლება შევარჩიოთ  $R_2$  წინაღობის ისეთი მნიშვნელობა, რომლის დროსაც ხიდური სქემის წონასწორობა არ დაირღვევა, ე.ი. დენის ძალა AB დიაგონალში იქნება ნულის ტოლი.  $R_2$  წინაღობა შეიძლება განვსაზღვროთ უძრავი სკალის მიხედვით. ვიცით რა  $R_t$  და მისი დამოკიდებულება ტემპერატურაზე, შესაძლებელია სკალის გრადუირება შევასრულოთ უშუალოდ  $^{\circ}\text{C}$ -ში.

სპეციროა აღვნიშნოთ, რომ გაწონასწორებული გამზომი ხიდი წარმოადგენს მეტად ზუსტ ხელსაწყოს. დენის წყაროს ძაბვა არ ახდენს გავლენას გაზომვის სიზუსტეზე. (3.10) გამოსახულებაში არ შედის არც ძაბვა და არც დენის ძალა. გაწონასწორებულ მდგრმარეობაში, სულ ერთია, რომელი დიაგონალი იქნება გამზომი და რომელი – მკვებავი. გამზომი ხიდის მგრძნობიარობა ძაბვის მიხედვით დამოკიდებულია ხიდის მხრების წინაღობებისა და მკვებავი ძაბვის შეფარდების მნიშვნელობაზე და ცვალებადობს დიდ საზღვრებში.

თუ ემდ E და წინაღობები  $R_1$ ,  $R_2$ ,  $R_3$  მუდმივი და წინასწარ ცნობილი სიდიდეებია, მაშინ AB დიაგონალში გამავალი დენის ძალის მიხედვით შეიძლება განისაზღვროს  $R_t$  წინაღობა. ამ შემთხვევაში წინაღობების მნიშვნელობები დაიტანება ნულოვანი ხელსაწყოს სკალაზე. ასეთი გამზომი ხიდი წარმოადგენს გაუწონასწორებელ ხიდს. გაუწონასწორებელი ხიდის გამოყენებისას სპეციროა პერიოდულად შემოწმდეს დენის წყაროს ძაბვა. გაუწონასწორებელი ელექტრული გამზომი ხიდი შედარებით ნაკლები სიზუსტის მოწყობილობაა. მიუხედავად ამისა ის ფართოდ გამოიყენება სწრაფად ცვლადი პროცესების გასაზომად.

თუ ხიდური სქემა იკვებება ცვლადი დენით და ხიდის მხრები შედგება კომპლექსური წინაღობებისაგან  $z_1$ ,  $z_2$ ,  $z_3$ ,  $z_4$ , მაშინ გაწონასწორება ხიდისა უნდა მოხდეს ძაბვის, როგორც მოდულის, ასევე ფაზის მიხედვით. ეს გამოწვეულია იმით, რომ ხიდის მხარის წინაღობა წარმოადგენს აქტიური, ტევადური და ინდუქციური წინაღობების გეომეტრიულ ჯამს. ცვლად დენზე მომუშავე ხიდური სქემა ნაჩვენებია 3.4 ნახაზზე.



ნახ.3.4. ცვლად დენზე მომუშავე ელექტრული გამზომი ხიდის სქემა

### §3. დიფერენციალური გამზომი სქემა

დიფერენციალური სქემა წარმოადგენს ცვლად დენზე მომუშავე ელექტრულ წრედს, რომელიც შედგება ორი მოსაზღვრე კონტურისაგან ერთი საერთო, დიფერენციალური შტოთი. დიფერენციალურ შტოში ჩართულია გასაზომი სელსაწყო; თითოეულ კონტურში მოქმედებს დამოუკიდებელი ემდ - E, მკვებავი ტრანსფორმატორის მეორადი გრაგნილდან.

კონტურში აღძრული დენის ძალის ხიდიდე (I) განისაზღვრება ემდ (E) და წინაღობის (z) მნიშვნელობებით. საერთო შტოში დენის ძალა ტოლია კონტურების დენების სხვაობისა, ე.ი.  $I_0 = I_1 - I_2$ .

როდესაც დიფერენციალური სქემა გარეშე ზემოქმედებას არ განიცდის, კონტურების ემ ძალები და წინაღობები თანა-

ტოლია, ტოლია, აგრეთვე, მათში აღძრული დენის ძალები ( $I_1=I_2$ ) და დიფერენციალურ შტოში დენი არ გადის ( $I_0=0$ ).

სქემაზე გარეშე ზემოქმედების შემთხვევაში შეიძლება შეიცვალოს კონტურის ემდ  $E$ ,  $\Delta E$  სიდიდით (ნახ.3.5ა), ან კონტურის წინაღობა -  $z$ ,  $\Delta z$  მნიშვნელობით (ნახ.3.5ბ). ორივე შემთხვევაში დიფერენციალურ შტოში გაივლის დენი ( $I_0$ ). გამზომი ხელსაწყოს ( $z_0$ ) ისრის გადახრა იქნება გასაზომი გარეშე ზემოქმედების პროპორციული.

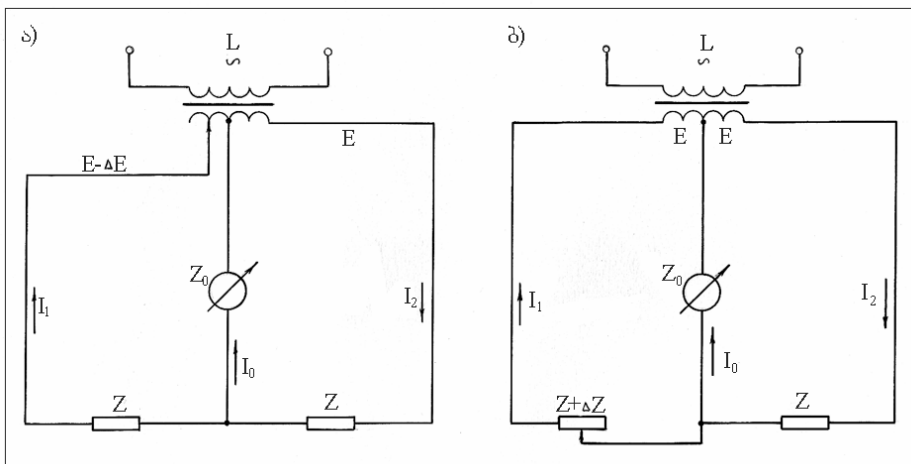
სიდურ სქემასთან შედარებით დიფერენციალური სქემა მარტივია და გააჩნია მეტი მგრძნობიარობა დენის ძალის მიხედვით. თანასწორ პირობებში ორივე სქემის მგრძნობიარობა ძაბვის მიხედვით თანაბარია.

მგრძნობიარობის სიდიდე დენის ძალის მიხედვით განისაზღვრება ფორმულით

$$S_I = \frac{E}{z + 2z_0} \cdot \frac{\omega \delta z}{\omega \theta}, \quad (3.11)$$

ხოლო ძაბვის მიხედვით

$$S_U = \frac{E}{4z} \cdot \frac{\delta z}{\omega \theta}. \quad (3.12)$$

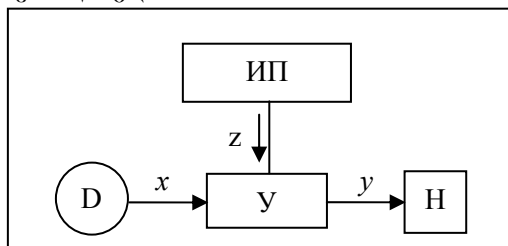


ნახ.3.5. დიფერენციალური გამზომი სქემა: а) გარეშე ზემოქმედებით იცვლება ე.მ.დ. ბ) წინაღობა

## გამაძლიერებლები

### §1. ძირითადი განსაზღვრებანი და მახასიათებლები

გამაძლიერებელი ეწოდება მოწყობილობას, რომელშიც წარმოებს გადამწოდის მიერ გამომუშავებული იმპულსის სიმძლავრის გაზრდა. უმეტეს შემთხვევაში, გადამწოდიდან მიღებული სიგნალის სიმძლავრე არ არის საკმარისი მარეგულირებელი ორგანოს უშუალო გადაადგილებისათვის. გამომავალი სიდიდის ენერგიის გაზრდა შემავალი სიდიდის ენერგიასთან შედარებით ხორციელდება დამატებითი წყაროს ენერგიის ხარჯზე. გამაძლიერებლის პრინციპული სახე მოცემულია 4.1 ნახაზზე, სადაც  $x$  და  $y$ -ით აღნიშნულია შემავალი და გამომავალი სიგნალები,  $z$  - გამაძლიერებელში შემავალი დამატებითი ენერგია,  $D$  - გადამწოდი, ხოლო  $H$  - დატვირთვის წრედი.



**ნახ.4.1.** გადამწოდთან, დატვირთვასთან და კვების წყაროსთან გამაძლიერებლის კავშირის სქემა

ავტომატიზაციის სქემებში გამაძლიერებლებს შუალედი მდებარეობა უჭირავს გადამწოდებსა და შემსრულებელ ელემენტებს შორის. ავტომატიკის სისტემებში გამოიყენება მუდმივი და ცვლადი დენის ყველა სახის გამაძლიერებლები.

გამოყენებული დამატებითი ენერგიის სახის მიხედვით ანსხვავებენ: ჰიდრავლიკურ, პნევმატიკურ, ელექტრულ და კომბინირებულ გამაძლიერებლებს (მაგალითად ჰიდროპნევმატიკურს, ტრანზისტორულ-მაგნიტურ-ელექტრომანქანურს, ფერიტო-ტრანზისტორულს და სხვა).

დენის ხასიათის მიხედვით არჩევენ: ცვლადი დენისა და მუდმივი დენის გამაძლიერებლებს.

ელექტრული მოქმედების გამაძლიერებლები იყოფიან: ელექტრონულ, მაგნიტურ და ელექტრომაგნიტურ გამაძლიერებლებად. ელექტრული მოქმედების გამაძლიერებლებს, ხშირად პროპორციულად გამაძლიერებლებსაც უწოდებენ.

ავტომატიკის თანამედროვე სისტემებში გამოყენებულია, აგრეთვე, ნახევრადგამტარიანი, ელექტრომანქანური და მექანიკური გამაძლიერებლები. ელექტრომანქანური გამაძლიერებლი, ჩვეულებრივად, გათვალისწინებულია დიდი სიმძლავრეების სამართავად.

გამაძლიერებლის ძირითად პარამეტრს წარმოადგენს გაძლიერების კოეფიციენტი. იგი ტოლია გამომავალი (y) და შემავალი (x) სიგნალების სიდიდეების ფარდობისა

$$K = \frac{U_{\text{გამ}}}{U_{\text{შემ}}} = \frac{y}{x}; \quad (4.1)$$

გამაძლიერებლის დანიშნულებისა და მოქმედების პრინციპის მიხედვით ანსხვავებენ გაძლიერების შემდეგ კოეფიციენტებს: ძაბვის მიხედვით

$$K = \frac{U_{\text{გამ}}}{U_{\text{შემ}}}, \quad (4.2)$$

დენის ძალის მიხედვით

$$K_i = \frac{I_{\text{გამ}}}{I_{\text{შემ}}}, \quad (4.3)$$

სიმძლავრის მიხედვით

$$K_p = \frac{P_{\text{გამ}}}{P_{\text{შემ}}}. \quad (4.4)$$

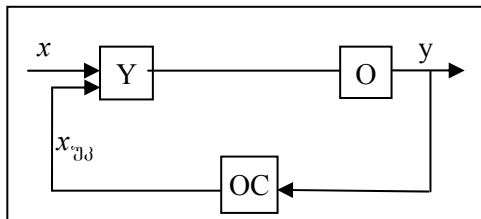
გამაძლიერებლის ძირითადი მახასიათებლებია სტატიკური და დინამიკური მახასიათებლები. სტატიკური მახასიათებელი  $U_{\text{გამ}} = f(U_{\text{შემ}})$  ეწოდება გამომავალი სიგნალის სიდიდის დამოკიდებულებას შემავალი სიგნალის სიდიდესთან დამყარებული რეჟიმის დროს. დინამიკური მახასიათებელი ეწოდება გამომავალი სიგნალის სიდიდის

დამოკიდებულებას შემავალი სიგნალის სიდიდესთან, გარდამავალი რეჟიმის დროს.

გაძლიერების კოეფიციენტის სტაბილიზაციის ან მისი გაზრდის მიზნით, გამაძლიერებელ მოწყობილობებში გამოყენებულია უკუკავშირი. გამაძლიერებლის სტრუქტურა უკუკავშირით ნაჩვენებია 4.2 ნახაზზე. უკუკავშირი ეწოდება გამაძლიერებლის შემავალ და გამომავალ სიგნალებს შორის უშუალო, პროპორციულ, ურთიერთდამოკიდებულებას. უკუკავშირი ხორციელდება უკუკავშირის (OC) დამატებითი ელემენტის საშუალებით, რომლიდანაც გამომავალი სიგნალის სიდიდეა

$$x_{\text{შ}} = \beta y, \quad (4.5)$$

სადაც  $\beta$  უკუკავშირის კოეფიციენტია.



ნახ.4.2. ავტომატური მართვის სისტემა უკუკავშირით: O-სა-მართავი ობიექტი; y-მართვის მოწყობილობა; OC - უკუკავშირის მოწყობილობა

უკუკავშირის კოეფიციენტის ნიშნის მიხედვით, უკუკავშირი შეიძლება იყოს დადებითი ან უარყოფითი. დადებითი უკუკავშირის შემთხვევაში გამაძლიერებელში შემავალი სიგნალის სიდიდე იქნება

$$x + x_{\text{შ}} = x + \beta y. \quad (4.6)$$

გაძლიერების კოეფიციენტისათვის გვექნება

$$y = k(x + \beta y). \quad (4.7)$$

$$\text{აქედან } y = kx + k\beta y; \quad y(1 - k\beta) = kx;$$

$$y = x \frac{k}{1 - k\beta}. \quad (4.8)$$

თუ აღნიშნავთ გაძლიერების კოეფიციენტს, უკუკავშირის შემთხვევაში  $K_{\text{შ}}$ , მივიღებთ

$$K_{\beta} = \frac{y}{x} = \frac{k}{1-k\beta}. \quad (4.9)$$

უკანასკნელი გამოსახულებიდან გამომდინარეობს, რომ დადებითი უკუკავშირის გამოყენება ზრდის გაძლიერების კოეფიციენტს.

უარყოფითი უკუკავშირის შემთხვევაში გამაძლიერებლში შემავალის სიგნალის სიდიდე იქნება

$$x - x_{\beta} = x - \beta y; \quad (4.10)$$

$$y = k(x - \beta y); \quad (4.11)$$

$$y = x \frac{k}{1+k\beta}; \quad (4.12)$$

$$K_{\beta} = \frac{k}{1+k\beta}. \quad (4.13)$$

უარყოფითი უკუკავშირის გამოყენება ამცირებს გაძლიერების კოეფიციენტს.

გამაძლიერებლის მახასიათებლების მიხედვით გაძლიერება შეიძლება იყოს ორი ძირითადი ტიპის: ნარნარი და რელეური მოქმედების. ნარნარი მოქმედების გამაძლიერებლებში გაძლიერების კოეფიციენტი იცვლება უმნიშვნელოდ; რელეური მოქმედების გამაძლიერებლებში ნარნარი მოქმედების გამაძლიერებლებთან შედარებით, შემავალი და გამომავალი სიგნალების სიდიდეებს შორის გარკვეული ფუნქციონალური დამოკიდებულება არ არსებობს. გამომავალი სიგნალი წარმოიქმნება შემავალი სიგნალის სიდიდის გარკვეულ მნიშვნელობამდე მიღწევის შემდეგ; ამიტომ, როდესაც არ არსებობს გამომავალი სიგნალი, გაძლიერების კოეფიციენტი ნულის ტოლია, ხოლო მისი წარმოქმნის შემდეგ, გაძლიერების კოეფიციენტი ინარჩუნებს მუდმივ მნიშვნელობას.

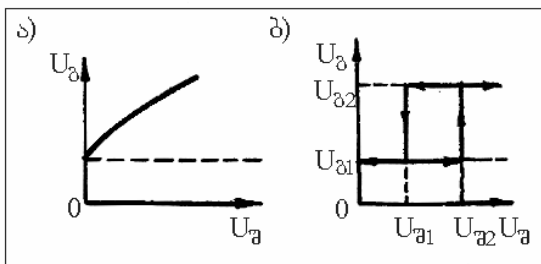
ნარნარი მოქმედების გამაძლიერებლებიდან მეტად გაკრცელებულია ელექტრონული, მაგნიტური, ელექტრომანქანური, ჰიდრავლიკური და პნევმატიკური გამაძლიერებები. რელეური მოქმედების გამაძლიერებლებს მიეკუთვნება რელე. ნარნარი და

რელეური

მოქმედების

გამაძლიერებლების

მახასიათებლები ნაჩვენებია 4.3 ნახაზზე.

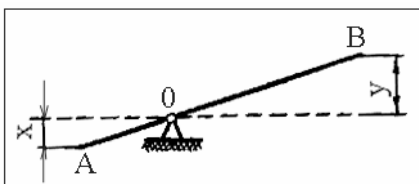


ნახ.4.3. გამაძლიერებლების მახასიათებლები: а) ნარნარი მოქმედების; б) რელეური მოქმედების

## §2. მეშანიკური გამაძლიერებლები

მექანიკური გამაძლიერებლის უმარტივეს სახეს წარმოადგენს ბერკეტი. ბერკეტის მოკლე და გრძელი ბოლოების ვერტიკალური გადაადგილებები შეესაბამება მექანიკური გამაძლიერებლის შემავალ (x) და გამომავალ (y) სიფიდეებს. გაძლიერების კოეფიციენტი შეიძლება იყოს ერთზე მეტი ან ნაკლები ბერკეტის მხრების სიგრძეების ფარდობისაგან დამოკიდებულებით. 4.4 ნახაზზე წარმოდგენილია ბერკეტი, როგორც გამაძლიერებელი. ნახაზიდან ჩანს, რომ

$$K = \frac{y}{x}; \quad (4.14)$$

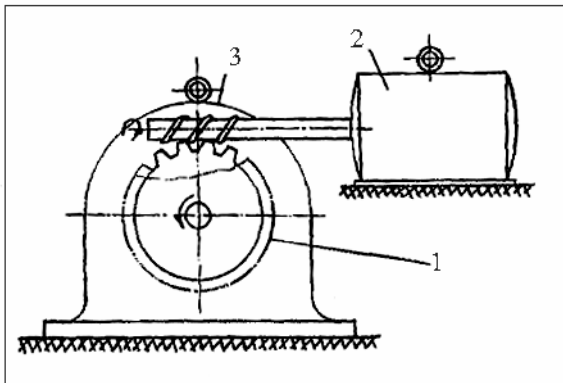


ნახ.4.4. ბერკეტული გამაძლიერებელი

მექანიკურ გამაძლიერებლებს მიეკუთვნებიან, აგრეთვე, მექანიკური რელექტორები და სიმძლავრის მექანიკური გამაძლიერებლები.

სიმძლავრის მექანიკური გამაძლიერებლის მუშაობის სქემა ნაჩვენებია 4.5 ნახაზზე. გამაძლიერებელი შედგება: ოვითმუხრუჭებადი ჭიაგადაცემისაგან – 1, სერვო (დამხმარე)

ძრავასაგან – 2, ენერგიის წყაროსაგან – 3. სერვოძრავას ლილვის უძრავ მდგომარეობაში ყოფნის დროს ჭიათვალის ლილვი, რომელიც გადასცემს სიგნალს სისტემის გამოსავალზე, თვითმუხრაჟებადობის გამო, რჩება უძრავი მბრუნავი მომენტის სიდიდისაგან დამოუკიდებლად. თუ სერვოძრავას როტორი ბრუნავს, მაშინ ჭიახრახნი ათავისუფლებს ჭიათვალს, რომელიც გადასცემს მოძრაობას ენერგიის წყაროდან გამაძლიერებლის გამოსავალზე.



ნახ.4.5. სიმძლავრის მექანიკური გამაძლიერებლის სქემა

სიმძლავრის მექანიკური გამაძლიერებლის სქემიდან ჩანს, რომ გამაძლიერებლის შემავალ და გამომავალ რგოლებს შორის არსებობს მუდმივი კინემატიკური კავშირი, რომელიც უზრუნველყოფს კუთხური გადაადგილებების სინქრონიზაციას, სერვოძრავას როტორის ბრუნვისაგან დამოკიდებულებით. ეს გარემოება საშუალებას იძლევა თავიდან ავიცილოთ შეცდომები რეგულირების დროს. ცხადია, რომ სერვოძრავის როტორის (ჭიახრახნის) ბრუნვით მოძრაობაში მოსაყვანად საჭიროა უმნიშვნელო სიმძლავრე, ხოლო ენერგიის წყაროდან გამოთავისუფლებული ენერგიის ნაკადი შეიძლება მნიშვნელოვანი იყოს. ეს პრინციპი საფუძვლად უდევს სიმძლავრის მექანიკური გამაძლიერებლის მუშაობას.

ელექტრონულ, ელექტრულ, ჰიდრავლიკურ და სხვა გამაძლიერებლებისაგან განსხვავებით, სიმძლავრის მექანიკური გამაძლიერებელი არ საჭიროებს ენერგიის ორჯერად გარდაქმნას სისტემის შესავალ და გამოსავალ რგოლებში, რაც მექანიკური გამაძლიერებლის დადებით მხარეს მიეკუთვნება.

## §3. ელექტრონული გამაძლიერებლები

### 1. ელექტრონული ნათურა და მისი მახასიათებლები

ელექტრონული სელსაწყოები ეწოდებათ ვაკუუმში, გაიშვიათებულ გაზებში ან ელექტრონულ ნახევრადგამტარებში ელექტრული დენის გავლის მოვლენაზე დამყარებულ სელსაწყოებს.

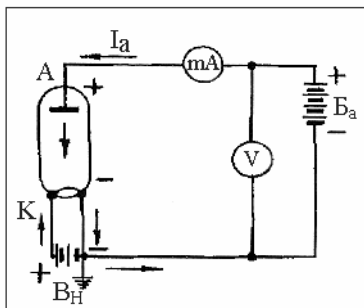
ელექტრონული სელსაწყის ერთ-ერთი ძირითადი ელემენტია ელექტრონული ნათურა. იგი წარმოადგენს მინის, კერამიკის ან ლითონის ბალონს, რომლის შიგნით განლაგებულია ლითონის ელექტროდები. ბალონში შექმნილია ვაკუუმი  $133,322 \text{ (} 10^{-7} \text{--} 10^{-8} \text{)} \text{ N/m}^2$  ანუ  $(10^{-7} \text{--} 10^{-8})$  მმ ვერცხ. წყ. სვეტისა.

ელექტრონული ნათურის უმარტივეს კონსტრუქციას წარმოადგენს ორელექტროდიანი ნათურა-დიოდი. დიოდში ანოდს A წარმოადგენს ლითონის ცილინდრი, რომლის დერძის მიმართულებით თავსდება ვარგარების ძაფი - კათოდი K. კათოდი ელექტრონულ ნათურაში ქმნის თერმოელექტრონულ ემისიას, რომელიც წარმოადგენს სითბოს მოქმედებით ნივთიერების ზედაპირიდან თავისუფალი ელექტრონების ამოფრქვევის მოვლენას. ელექტრონული ნათურას მუშაობა დამყარებულია ნათურის ბალონის ვაკუუმში თერმოელექტრონული ემისიის გამოყენებაზე. ვაკუუმში ელექტრონები მოძრაობენ უფრო თავისუფლად, ხოლო გავარვარებული კათოდი არ იწვის. კათოდის გავარვარება წარმოებს მუდმივი დენით, რომელიც მიიღება ვარგარის ბატარეიდან ნH, ან ცვლადი დენით ჩვეულებრივ დაქვეითებული ძაბვის ტრანსფორმატორიდან.

ნათურის ანოდი განკუთვნილია კათოდიდან ამოფრქვეული ელექტრონების მისაზიდად. თუ ძაბვა ანოდსა და კათოდს შორის ნულის ტოლია, მაშინ კათოდიდან ამოფრქვეული ელექტრონები არ მიემართებიან ანოდისაკენ და კათოდის გარშემო ქმნიან ელექტრონულ დრუბელს. კათოდი ელექტრონების დაკარგვის გამო იმუხტება დადებითად და არა მხოლოდ აჩერებს მისგან ამოფრქვეულ ელექტრონებს, არამედ კიდევაც მიიზიდავს მათ უკანვე.

თუ ანოდის წრედში ჩავრთავთ ანოდის ბატარეას  $B_a$ , მაშინ ნათურაში შევქმნით ელექტრულ ველს, რომლის გავლენითაც ალექტრონული ღრუბლიდან ელექტრონები გაემართებიან ანოდისაკენ და ნათურის ანოდურ წრედში გაივლის დენი.

4.6 ნახაზზე ნაჩვენებია ორელექტროდიანი ნათურის ჩართვის სქემა. სქემაზე კათოდის ერთი ბოლო მიერთებულია ანოდური ბატარეას –  $B_a$  და ვარვარის ბატარეას  $B_H$  უარყოფით კონტაქტებთან. ამ წერტილს საერთო მინუსი ეწოდება. იგი ჩვეულებრივად შეერთებულია ხელსაწყოს ლითონის კორპუსთან და მიწასთან. მას უწოდებენ, აგრეთვე, ნულოვანი პოტენციალის წერტილს.



ნახ.4.6. ორელექტროდიანი ნათურა (დიოდი)

დიოდის მნიშვნელოვან თვისებას წარმოადგენს მისი ცალმხრივი გამტარობა. მასში ელექტრონები მოძრაობენ კათოდიდან ანოდისაკენ, რაც შეესაბამება დენის მიმართულებას ანოდიდან კათოდისაკენ. დიოდები გამოიყენება ცვლადი დენის გამართვისათვის, ე.ი. ცვლადი დენის მუდმივ დენად გარდაქმნისათვის.

ანოდური დენი ცვალებადობს რამდენიმე მილიამპერიდან რამდენიმე ათეულ მილიამპერამდე. ვარვარის დენი შეადგენს რამდენიმე ათეულ ან ასეულ მილიამპერს. ვარვარის ძაბვა შეადგენს რამდენიმე ვოლტს, ანოდური ძაბვა – რამდენიმე ასეულ ვოლტს.

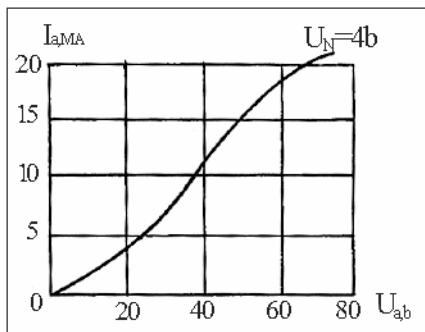
ელექტრონული ნათურების შერჩევისას დიდი მნიშვნელობა აქვს ანოდურ დენსა  $I_a$  და ანოდურ ძაბვას  $U_a$  შორის დამოკიდებულების ცოდნას. ეს დამოკიდებულება გამოისახება სამი მეორედის ხარისხის კანონით:

$$I_a = CU_a^{3/2}, \quad (4.15)$$

სადაც C კოეფიციენტის მნიშვნელობა დამოკიდებულია ნათურის ელექტროდების ზომებზე და ფორმაზე.

მრუდს, რომელიც გამოხატავს ნათურის ანოდური დენის ძალის დამოკიდებულებას ანოდური ძაბვისაგან, ეწოდება ნათურის ვოლტამპერული მახასიათებელი.

დიოდის ვოლტამპერული მახასიათებელი, როდესაც ვარგარის ძაბვა  $U_H=43$  ნაჩვენებია 4.7 ნახაზზე.



ნახ.4.7. დიოდის  
ვოლტამპერული  
მახასიათებელი

თუ კათოდის მოცემული ვარგარების დროს ძაფსა და ანოდს შორის ძაბვის გავადიდებთ, მაშინ უფრო მეტი რაოდენობის ელექტრონები იმოძრავებენ ანოდისაკენ, ე.ი. დენი ანოდურ წრედში მოიმატებს. კათოდსა და ანოდს შორის ძაბვის ცვალებადობის მიზნით მათ შორის ათავსებენ მესამე ელექტროდს, რომელსაც ბადე C ეწოდება. ასეთ ელექტრონულ ნათურას სამელექტროდიან ნათურას ანუ ტრიოდს უწოდებენ. ტრიოდში ბადე ასრულდებს ანოდური დენის მართვის გრძნობიერი ორგანოს როლს. ბადეები სრულდება სპირალის სახით ლითონის ტრავერსთან მიღუდებული ხელულებით.

ბადის მმართველი მოქმედება მდგრმარეობს, ბადეზე მოდებული ძაბვის ცვალებადობით ანოდური დენის რეგულირებაში. კერძოდ, უარყოფითი ძაბვა ბადეზე ამცირებს ანოდურ დენს, ხოლო დადებითი ძაბვა კი ზრდის. ბადეზე უარყოფითი ძაბვის გაზრდით შეიძლება მივაღწიოთ ელექტრონების მოძრაობის სრულ შეწყვეტას. ბადურ ძაბვას, რომლის შემთხვევაშიაც ნათურაში ანოდური დენი მცირდება ნულამდე, უწოდებენ ჩაკეტვის (წაკვეთის) ძაბვას. ჩაკეტვის ძაბვა მით უფრო მეტია, რაც მეტია  $U_a$ .

რაოდენობითი კავშირი  $U_a$  ანოდურ და  $U_c$  ბადურ ძაბ-  
ვებსა და ანოდურ  $I_a$  დენს შორის ანალიზურად გამოისახება  
განტოლებით:

$$I_a = C(U_c + DU_a)^{3/2}, \quad (4.16)$$

სადაც  $I_a$  არის ანოდური დენსი;

$U_c$  – ძაბვა ბადებსა და კათოდს შორის;

$U_a$  – ძაბვა ანოდსა და კათოდს შორის;

$D$  – ბადის შეღწევადობის განმსაზღვრელი რიცხვითი  
კოეფიციენტი;

$C$  – კოეფიციენტის მნიშვნელობა განმარტებულია ზევით.

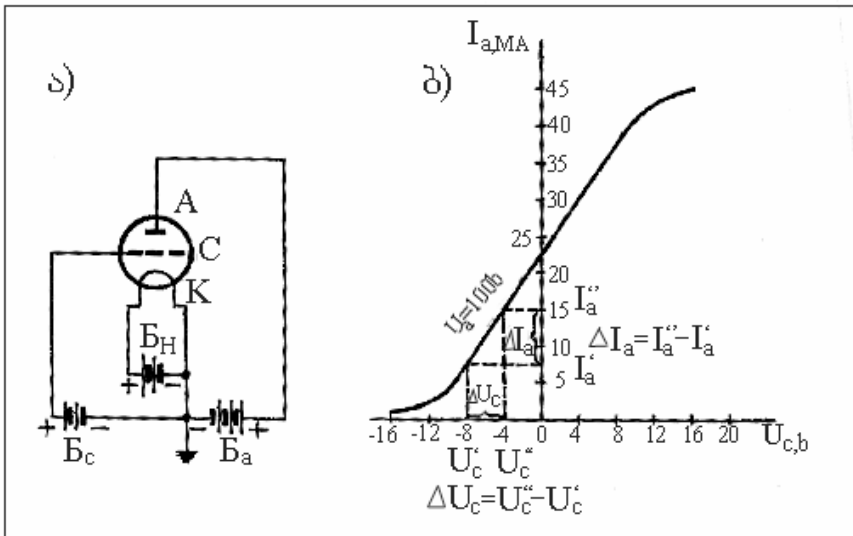
ტრიოდი ხასიათდება ორი ძირითადი სტატიკური  
მახასიათებლით: 1) ანოდური, 2) ანოდურ-ბადური  
მახასიათებელი.

ანოდური მახასიათებელი გამოსახავს ტრიოდის  
ანოდური დენის დამოკიდებულებას ანოდური ძაბვისაგან,  
მუდმივი ბადური ძაბვის დროს.

ანოდურ-ბადური მახასიათებელი წარმოადგენს ანოდური  
დენის დამოკიდებულებას ბადეზე ძაბვისაგან, მუდმივი  
ანოდური ძაბვის დროს.

იგულისხმება, რომ ორივე სტატიკური მახასიათებლის  
გადაღებისას კათოდის ვარვარის ძაბვა მუდმივია.

ნახ. 4.8, а – ნაჩვენებია ტრიოდის წრედების სქემა, ხოლო  
ნახ. 4.8, б – ტრიოდის ანოდურ-ბადური მახასიათებელი.



ნახ.4.8. სამელექტროდიანი ნათურა (ტრიოდი): ა) ტრიოდის წრედების სქემა. A - ანოდი; C - ბაზე; K - კაორდი;  $B_H$  - ვარგარას ბატარეა;  $B_a$  - ანოდის ბატარეა. ბ) ტრიოდის ანოდურ-ბაზური მახასიათებელი

ტრიოდის, როგორც გამაძლიერებლის თვისებები ხასიათდება შემდეგი პარამეტრებით: მახასიათებლის დახრილობა, ნათურის შიგა წინაღობა და გაძლიერების კოეფიციენტი. (მუდმივ სიდიდეებს, რომლებიც განსაზღვრავენ ელექტრონული ნათურის თვისებებს, ეწოდებათ ნათურის პარამეტრები).

მახასიათებლის დახრილობა წარმოადგენს ანოდური დენის ნაზრდის შეფარდებას ბაზური ძაბვის შესაბამის ნაზრდთან, ანოდური ძაბვის მუდმივი მნიშვნელობის დროს. დიფერენციალურ ფორმაში

$$S = \left( \frac{\partial I_a}{\partial U_c} \right)_{U_a} = \text{const}. \quad (4.17)$$

ამრიგად, მახასიათებლის დახრილობა განსაზღვრავს ბაზური ძაბვის გავლენას ანოდურ დენზე.

დახრილობის ერთეულია ერთი მილიამპერი გაყოფილი ერთ ვოლტზე (მა/ვ). რაც მეტია მახასიათებლის დახრილობა, მით უკეთესად იმუშავებს ნათურა, როგორც გამაძლიერებელი.

ცვლადი დენისადმი ნათურის შინაგანი წინააღმდეგობა განისაზღვრება ანოდური ძაბვის ნაზრდის შეფარდებით შესაბამისი ანოდური დენის ნაზრდთან, მუდმივი ბადური ძაბვის დროს. დიფერენციალურ ფორმაში გამოიხატება წარმოებულით:

$$R_i = \left( \frac{\partial U_a}{\partial I_a} \right)_{U_c} = \text{const.} \quad (4.18)$$

შიგა წინააღმდება ახასიათებს ანოდური ძაბვის გავლენას ანოდურ დენზე, ბადური ძაბვის მუდმივი მნიშვნელობის დროს.

ცნობილია, რომ ანოდურ დენზე დიდ გავლენას ახდენს ბადური ძაბვის ცვალებადობა, რადგან ბადე კათოდთან უფრო ახლოს არის განლაგებული, ვიდრე ანოდთან.

თუ გავზრდით ბადურ ძაბვას  $\Delta U_c$  სიდიდით, შესაბამისად გაიზრდება, აგრეთვე, ანოდური დენიც  $\Delta I_a$  მნიშვნელობით; იმისათვის, რომ ანოდური დენი გაიზარდოს იმავე  $\Delta I_a$  სიდიდით, მხოლოდ ანოდური ძაბვის  $\Delta U_a$  გაზრდის სარჯზე,  $\Delta U_a$  მნიშვნელობა უნდა იყოს გაცილებით მეტი, ვიდრე  $\Delta U_c$ .

ნათურის გაძლიერების სტატიკური კოეფიციენტი  $\mu$  განისაზღვრება ანოდური და ბადური ძაბვის ცვლილებათა ფარდობით, რომელთა შემთხვევაში მიიღწევა ანოდური დენის ერთი და იგივე ცვლილება. დიფერენციალურ ფორმაში იგი უდრის:

$$\mu = - \left( \frac{\partial U_a}{\partial U_c} \right)_{I_a} = \text{const.} \quad (4.19)$$

ამრიგად, ნათურის გაძლიერების კოეფიციენტი გვიჩვენებს, თუ რამდენჯერ იზრდება ცვლადი ძაბვა, ელექტრონული ნათურის მოქმედების შედეგად. წარმოებულის წინ ნიშანი მინუსი გაპირობებულია იმით, რომ ბადური და ანოდური ძაბვების ნაზრდები, ანოდური დენის მუდმივი მნიშვნელობის დროს, ურთიერთსაწინააღმდეგო ნიშნების უნდა იყოს.

გაძლიერების სტატიკურ კოეფიციენტს  $\mu$ , მახასიათებლის დახრილობასა  $S$  და ნათურის შიგა წინააღმდეგობას  $R_i$  შო-

რის არსებობს დამოკიდებულება, რომელსაც ნათურის შიგა  
განტოლებას უწოდებენ.

$$\mu = R_i S . \quad (4.20)$$

(4.20) გამოსახულება გამომდინარეობს (4.19)-დან, თუ  
წილადის მრიცხველსა და მნიშვნელს გავამრავლებთ  $\partial I_a$ ,  
ქ.ი.

$$\mu = \frac{\partial U_a \partial I_a}{\partial U_c \partial I_a} = \frac{\partial U_a \partial I_a}{\partial I_a \partial U_c} = R_i S ,$$

$$\text{სადაც } R_i = \frac{\partial U_a}{\partial I_a}, \text{ ხოლო } S = \frac{\partial I_a}{\partial U_c} \text{ შესაბამისად (4.18) და}$$

(4.17) გამოსახულებების მიხედვით.

მე-4.1 ცხრილში მოყვანილია ავტომატიკის გავრცელე-  
ბულ სქემებში გამოყენებული ზოგიერთი ტრიოდის ძირითადი  
ნომინალური პარამეტრები.

ცხრილი 4.1  
ზოგიერთი ტრიოდის ძირითადი ნომინალური პარამეტრები

ნაიურის აღნიშვნა	გარეარების დანართი	ანოდის ძაბვა, ვ	გადასაღილებების ძაბვა ბალტ. ვ	ანოდური დანართი	ბალტ. გასასიათებ- ლის დანორილობა, მა/ვ	გაძლიერების პო- ფიციური	უნაგანი წინაღმდე- ბობა, კმ	ანოდის მიერ ზღვრული დასაშვები განპირენის სიმძლავრე, ვტ
6C5C	0.3	250	-8	8	2.2	20	9	2.75 ტრიოდი
6H7C	0.81	300	-6	7	3.2	35	11.3	6.0 ორმაგი ტრიოდი
6H9C	0.3	250	-2	2.3	1.6	70	44	1.1 ორმაგი ტრიოდი
6H2П	0.345	250	-1.5	2.3	2	97.5	49	1 ორმაგი ტრიოდი

თანამედროვე მიმღები – გამაძლიერებელი ნათურა პი-რობითად აღინიშნება ოთხი ელემენტით:

პირველი ელემენტი არის რიცხვი (დამრგვალებული), რომელიც გამოსახავს ვარგარის ძაბგას ვოლტებში;

მეორე ელემენტი – ასო გვიჩვენებს ნათურის ელექტროდების სისტემას. ცალმაგ ტრიოდებს აქვს ასო C, ხოლო ორმაგებს – ასო H;

მესამე ელემენტი – ციფრი, რომელიც აღნიშნავს ნათურის შესრულების საწარმო (რიგით) ნომერს;

მეოთხე ელემენტი – ასო უზვენებს კონსტრუქციულ შესრულებას და მის მიკუთვნებას განსაზღვრული სერიისადმი. მაგალითად, მინის გარსიანი ნათურა - C, მცირეგაბარიტიანი თითისებრი ნათურა - II, ზემინიატურული ნათურა დიამეტრით 10 მმ - B; ლითონის გარსიანი ნათურების შესრულებისას ბოლო ასო არ იწერება.

წარმოება უშვებს, აგრეთვე, კომბინირებულ ნათურებს. კომბინირებული ნათურის შემთხვევაში ერთ ბალონში მოთავსებულია ელექტროდების ორი სისტემა. ასეთ ნათურებს მიეკუთვნება: ორმაგი ტრიოდები, დიოდ-ტრიოდები, დიოდ-ჰენტროდები და ტრიოდ-ჰენტროდები (ჰენტროდი ეწოდება ნათურას, რომელშიც მოთავსებულია სამი ბადე – მმართველი, მაეკრანებელი და დინამიკურისაწინადო. მაეკრანებელი ბადე მოთავსებულია ანოდთან მმართველ ბადეზე ახლოს. მასზე მიეწოდება დადებითი ძაბვა, რომელიც სიდიდით ანოდურ ძაბვაზე ნაკლებია. ამ შემთხვევაში ანოდური ძაბვის ცვალებადობა ნაკლებ გავლენას მოახდენს ანოდურ დენზე, რადგან კათოდსა და ანოდს შორის მოთავსებულია დამატებითი დადებითად დამუხტული ელექტროდი, ანოდის მაეკრანებელი კათოდისაგან. მაეკრანებელ ბადესა და ანოდს შორის დინატრონული ეფექტისაგან – კათოდიდან ამოფრქვეული ელექტრონების მიერ ანოდიდან და მაეკრანებელი ბადიდან ამოტყორცნილი მეორადი ელექტრონების ამოგდება-დაცვის მიზნით, ათავსებენ მესამე დამცველ ანუ დინატრონისაწინადო ბადეს და უერთებენ კათოდს. ამ შემთხვევაში ანოდიდან ამოფრქვეული ელექტრონები უბრუნდებიან უკანვე ანოდს. ჰენტროდებში გაძლიერების კოეფიციენტი აღწევს 1500-მდე).

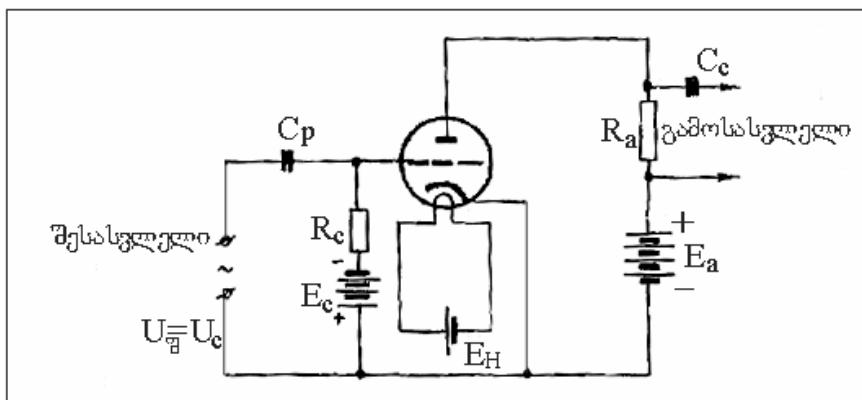
## 2. ელექტრონული გამაძლიერებლები

ელექტრონული გამაძლიერებლები ფართოდაა გამოყენებული ავტომატიკის სქემებში. ელექტრონული გამაძლიერებელი არის აპარატი, რომელიც გაძლიერებას აწარმოებს ელექტრონული ნათურის მეშვეობით. გაძლიერებისათვის გამოყენებულია ანოდური წრედის მკვებავი ენერგიის წყარო.

სამელექტროდიანი ნათურის ძირითადი დანიშნულებაა ცვლადი ძაბვის გაძლიერება. გასაძლიერებელი ცვლადი ძაბვა მიეწოდება ბადეზე და ნათურის კათოდზე, ხოლო გაძლიერებული ძაბვა მოიხსება ანოდურ წრედში.

4.9 ნახაზზე მოცემულია გაძლიერების საფეხურის ანუ კასკადის სქემა. იგი შედგება ნათურის, კვების წყაროებისა და ანოდის წრედში ჩართული დამტვირთავი წინადობისაგან  $R_a$ . ცვლადი ძაბვა  $U_c$  მცირე აქტიური წინააღმდეგობის ტრანსფორმატორის გრაგნილიდან ნათურის ბადეზე მიიყვანება გამყოფი კონდენსატორი  $C_p$ . გამყოფი კონდენსატორი  $C_p$  იცავს  $E_c$  წყაროს ტრანსფორმატორის გრაგნილთან მოკლე ჩართვისაგან. ერთდროულად ბადეზე მიიყვანება მუდმივი ძაბვა (გადაადგილების ძაბვა)  $E_c$  წყაროდან.

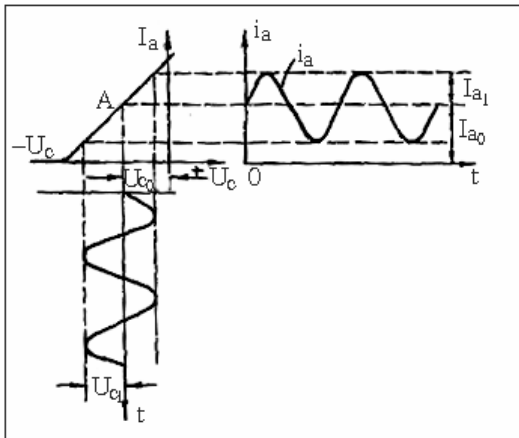
მცირე სიმძლავრის ელექტრული სიგნალი მიწოდებული ნათურის ბადეზე იწვევს ანალოგიურ, მაგრამ გაცილებით მძლავრ სიგნალს  $R_a$  წინადობაზე.



ნახ.4.9. გაძლიერების სქემა სამელექტროდიანი ნათურის გამუნებით

გამაძლიერებელი კასკადის მუშაობის თვალსაჩინოების მიზნით განვიხილოთ სამელექტროდიანი ნათურის ანოდურ-

ბადური მახასიათებელი დენისა და ძაბვის მრუდების სახით (ნახ.4.10)



ნახ.4.10. ნათურულ-ტრიოდიანი გამაძლიერებლის ანოდურ-ბადური დიაგრამა

როდესაც ბადეზე არ არის ცვლადი ძაბვა, ანოდური დენი იწოდება სიმშვიდის დენად  $I_{a0}$ , ხოლო მისი შესაბამისი ა წერტილი მახასიათებელზე (ნახ.4.10) – მუშა წერტილად.

ბადური დენით შექმნილი გაძლიერების მისაღებად, დამახინჯებების გარეშე, აუცილებელია, რომ მახასიათებლის მუშა წერტილი იმყოფებოდეს ბადეზე უარყოფითი ძაბვების სწორხაზოვანი უბნის არეში. ამისათვის გამაძლიერებლებში ბადეზე მიეწოდება მუდმივი უარყოფითი ძაბვა, რომელიც გადაადგილებს მუშა წერტილს მარცხნივ. ამ ძაბვას ეწოდება გადაადგილების ძაბვა. მახასიათებლის უბანს, რომლის ფარგლებშიც იცვლებიან ბადური ძაბვა და ანოდური დენი, ეწოდება მუშა უბანი.

მუშა წერტილის მდებარეობა განისაზღვრება გადაადგილების ძაბვით, ხოლო ნათურის ანოდური დენი გადაადგილების ძაბვის და ცვლადი ძაბვის  $U_c$  მყისი მნიშვნელობის ჯამით.

თუ ბადურ წრედში არ არსებობს გასაძლიერებელი ძაბვა  $U_{c0}$ , ნათურის ანოდურ წრედში გადის მუდმივი  $I_{a0}$  დენი, რომლის სიდიდეც განისაზღვრება ანოდური ძაბვითა და მუდმივი ბადური გადაადგილების ძაბვით  $U_{c0}$ .

ბადურ წრედში გასაძლიერებელი ძაბვის  $U_{c0} = U_{ci}$  წარმოქმნა იწვევს ანოდური დენის შეცვლას, რომელშიც ჩნდება

ცვლადი მდგენელი  $I_{a1}$  ამპლიტუდით. მაშასადამე, ანოდურ წრედში გაივლის დენი, რომელიც შეიცავს მუდმივ მდგენელს  $I_{a0}$  და ცვლად მდგენელს  $I_{a1}$ . ამის გამო  $R_a$  წინაღობის მოძრევებზე იქმნება ძაბვა, რომელიც შეიცავს მუდმივ მდგენელს  $I_{a0}R_a$  და ცვლად მდგენელს  $I_{a1}R_a$ .

კონდენსატორის ჩართვით, რომელიც ატარებს ცვლად დენს, მაგრამ არ ატარებს მუდმივ დენს, შეიძლება გამოვყოფ ცვლადი ძაბვა ამპლიტუდით  $U_{\text{გამ}} = I_{a1}R_a$ , რომელიც წარმოადგენს გაძლიერებულ ძაბვას გამაძლიერებლის გამოსახვლებზე.

გაძლიერებული ცვლადი ძაბვის ამპლიტუდა აღემატება ბადეზე მიწოდებულ ცვლად ძაბვას, დამტვირთავი ანოდური წინაღობის  $R_a$  საჭაოდ დიდი მნიშვნელობის შემთხვევაში.

განხილული სახის გამაძლიერებელს ხშირად უწოდებენ გამაძლიერებელს წინაღობებზე ან რეოსტატულ გამაძლიერებელს.

ნათურული გამაძლიერებლის ანოდური წრედი შედგება თანმიმდევრულად შეერთებული ტრიოდის შიგა წინაღობისა  $R_i$  და ანოდური დატვირთვისაგან  $R_a$  ამიტომ ანოდური დენის შეცვლა

$$\Delta I_a = \frac{\Delta U_a}{R_i + R_a}. \quad (4.21)$$

$$(4.19) \text{ ფორმულის თანახმად } \Delta U_a = \mu \Delta U_c.$$

$$\text{თუ ჩავსვამო } \Delta U_a - \text{ს მნიშვნელობას (4.21) მივიღებთ}$$

$$\Delta I_a = \frac{\mu \Delta U_c}{R_i + R_a}; \quad (4.22)$$

$$\text{გამომაგალი ძაბვის შეცვლა}$$

$$\Delta U_{\text{გამ}} = \Delta I_a R_a; \quad (4.23)$$

$$\text{გავითვალისწინოთ} \quad (4.22) \quad \Delta I_a - \text{ს მნიშვნელობა} \quad (4.23),$$

მივიღებთ

$$\Delta U_{\text{გამ}} = \mu \Delta U_c \frac{R_a}{R_i + R_a}; \quad (4.24)$$

გამაძლიერებლის გაძლიერების კოეფიციენტი ნაკლებია ნათურის გაძლიერების კოეფიციენტზე.

გამაძლიერებლის გაძლიერების კოეფიციენტი

$$K = \frac{\Delta U_{\text{вх}}}{\Delta U_{\text{вж}}} ; \quad (4.25)$$

თუ ჩავსვამთ (4.25)  $\Delta U_{\text{вж}}$ -ის ნაცვლად მის ტოლ მნიშვნელობას  $\Delta U_c$ , ხოლო  $\Delta U_{\text{вх}}$  ნაცვლად მის მნიშვნელობას (4.24), მივიღებთ:

$$K = \frac{\mu \Delta U_c \frac{R_a}{R_i + R_a}}{\Delta U_c} = \mu \frac{R_a}{R_i + R_a} ;$$

ას

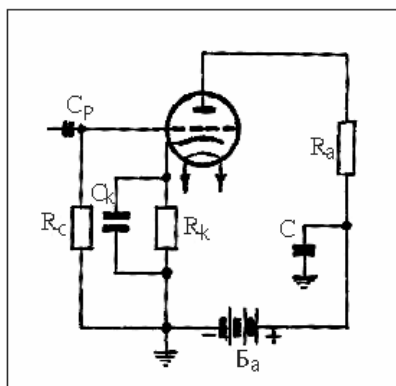
$$K = \mu \frac{1}{\frac{R_i}{R_a} + 1} . \quad (4.26)$$

(4.26) ფორმულიდან ჩანს, რომ

$$K < \mu .$$

თანამედროვე გამაძლიერებლებში გადაადგილების ძაბ-ვის შესაქმნელად დამოუკიდებელი დენის წყაროს ნაცვლად გამოიყენება ანოდური წყაროს ძაბვის ნაწილი (გადაადგილების ავტომატური ძაბვა).

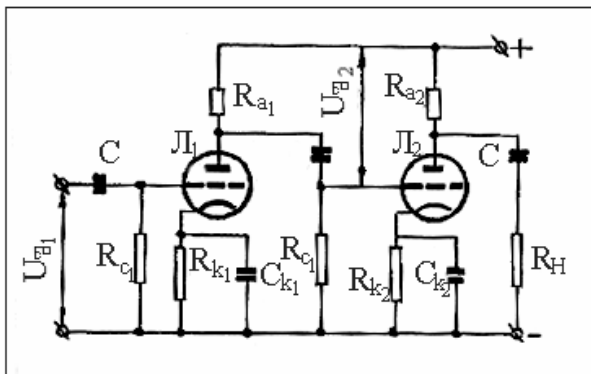
გადაადგილების ავტომატური ძაბვის მისაღები სქემა შესაბობი კათოდიანი ნათურისათვის წარმოდგენილია 4.11 ნახაზზე.



ნახ.4.11. გადაადგილების ავტომატური ძაბვის მისაღები სქემა

ანოდურ წრედში მიმდევრობით კათოდსა და ანოდური წყაროს უარყოფით პოლუსს შორის ჩართულია  $R_k$  წინაღობა, რომელსაც გადაადგილების წინაღობა ან კათოდური წინაღობა ეწოდება. ანოდური დენის მუდმივი მდგრენელი  $R_k$  წინაღობაში გავლისას ქმნის მასზე ძაბვის ვარდნას. ასეთივე სიდიდის ძაბვის ვარდნას აქვს ადგილი, აგრეთვე, ბადეზე. ანოდურ წრედში ჩართულია, აგრეთვე, დიდი ტევადობის კოდენსატორი  $C_k$ , რომლის წინაღობა რამდენჯერმე ნაკლებია კათოდურ  $R_k$  წინაღობაზე.

ორკასკადიანი გამაძლიერებლის სქემა მოცემულია 4.12 ნახაზზე. ცვლადი ძაბვა  $U_{\text{აშ}}^1$  გასაძლიერებლად მიეწოდება პირველი კასკადის ბადეზე. ამის გამო ანოდური დენი ხდება მჰულსავი. ანოდური დენის ცვლადი მდგრენელი  $I_{al}$  დამტკირთავ წინაღობაზე  $R_{al}$  ქმნის გაძლიერებულ ცვლად ძაბვას  $U_{\text{აშ}} = I_{\text{აშ}} \cdot R_{al}$ , რომელიც გადის  $C_c$  კონდენსატორის გავლით; ეს ძაბვა წარმოადგენს შემავალ სიგნალს მეორე  $L_2$  ნათურისათვის, ე.ი.  $U_{\text{აშ}} = U_{\text{აშ}2}$ .



ნახ.4.12. ორკასკადიანი გამაძლიერებლის სქემა

ცვლადი ძაბვა  $U_{\text{აშ}2}$  მიეწოდება შემდეგ საფეხურს ბადური  $C_c$  კონდენსატორის გავლით; ბადური კონდენსატორი  $L_2$  ნათურის ბადეს ამხოლებს ანოდური კვების მაღალი მუდმივი ძაბვისაგან, მაგრამ თავისუფლად ატარებს ცვლად ძაბვას.

ბადური წინაღობა  $R_{c2}$  ხელს უწყობს ბადიდან ელექტრონების გადინებას, რის გამოც მეორე ნათურის  $L_2$

ბადეზე არ წარმოიქმნება ნათურის მუშაობაში ხელის შემ-შლელი უარყოფითი პოტენციალი. გამაძლიერებლის გამო-სასვლელს შეადგენს მეორე კასკადის  $R_H$  წინაღობიდან მოხსნილი ძაბვა.

მრავალსაფეხურიან გამაძლიერებელში საწყისი საფეხურები, დაწყებული შესასვლელიდან, შეადგენენ ძაბვის გა-მაძლიერებელს ან წინასწარ გამაძლიერებელს, ხოლო გა-მაძლიერებლის უკანასკნელი საფეხური კი წარმოადგენს სიმძლავრის გამაძლიერებელს.

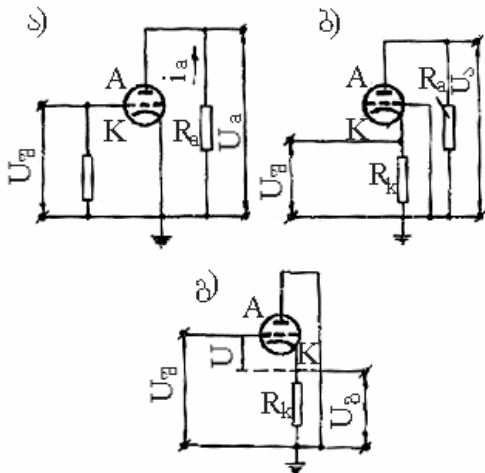
ნათურულ გამაძლიერებლებში გამოიყენება ელექტრო-ნული ნათურის ჩართვის სამი ძირითადი სქემა (ნახ.4.13):  
**1)** დამიწებული კათოდით; **2)** დამიწებული ბადითა და **3)** დამიწებული ანოდით.

ნათურის ჩართვის სქემამ, დამიწებული კათოდით, დიდი გავრცელება პპოვა ძაბვისა და სიმძლავრის გამაძლიე-რებლებში. კასკადის გაძლიერების კოეფიციენტი აღნიშნული სქემისათვის გამოისახება ფორმულით (4.26).

სქემა დამიწებული ბადით გამოიყენება ზემადალი სიხ-შირის სიგნალებისა და მუდმივი დენის გასაძლიერებლად. ასეთი კასკადის გაძლიერების კოეფიციენტი საშუალო სიხ-შირებზე ტოლია

$$K = \frac{(\mu+1)R_a}{R_i + R_a}. \quad (4.27)$$





სქემა დამიწებული ანოდით ფართოდ გამოიყენება თანამედროვე გამაძლიერებლებში.

ასეთი კასკადის გაძლიერების კოეფიციენტი ყოველთვის ერთზე ნაკლებია, რადგან

$$U_{\text{ამ}} = U_{ck} + U_{\text{გამ}}$$

და

$$K = \frac{U_{\text{გამ}}}{U_{\text{ამ}}} < 1. \quad (4.28)$$

ავტომატიკაში გამოყენებული ელექტრონული გამაძლიერებლები წარმოადგენენ უნიფიცირებულ აკანქებს, რომლებსაც ქარხნები უშვებენ აწყობილი სახით. განსაკუთრებით გავრცელებულია YЭ და YЭM ტიპის გამაძლიერებლები.

## §4. ნახევარბამტარული გამაძლიერებლები

### 1. ნახევარგამტარები და მათი თვისებები

ნახევარგამტარები ეწოდებათ ნივთიერებებს, რომლებიც ჩვეულებრივი ტემპერატურის პირობებში შეიცავენ თავისუფალი ელექტრონების ძალიან მცირე რაოდენობას, რაც განაპირობებს ნახევარგამტარების მეტად დიდ კუთრ წინაღობას.

ნახ.4.13. ნათურის ჩართვის სქემა:

- ა) დამიწებული კათოდით;
- ბ) დამიწებული ბადით;
- გ) დამიწებული ანოდით.

ელექტრული წინაღობის თვალსაზრისით ნახევარგამტარებებს უჭირავთ შუალედი მდგომარეობა გამტარებებსა და იზოლატორებს შორის. მართლაც, გამტარების კუთრი წინაღობა შეადგენს  $1,6 \cdot 10^{-2} \div 1$  ომი·მმ<sup>2</sup>/მ, იზოლატორების კუთრი წინაღობა  $10^{15} \div 10^{23}$  ომი·მმ<sup>2</sup>/მ, ხოლო ნახევარგამტარების კი  $10 \div 10^{14}$  ომი·მმ<sup>2</sup>/მ.

ლითონებისაგან განსხვავებით ნახევარგამტარებს წინაღობის უარყოფითი ტემპერატურული კოეფიციენტი აქვთ. ეს ნიშნავს, რომ თუ ნახევარგამტარს, რომელშიც დენი გადის, გაგათბობთ, მასში დენი მნიშვნელოვნად გაიზრდება, ხოლო თუ გავათბობთ გამტარს, რომელშიც დენი გადის, მასში დენი შემცირდება. მაშასადამე, ნახევარგამტარის გათბობისას თავისუფალი ელექტრონების რიცხვი მკვეთრად იზრდება.

ცნობილია ნახევარგამტარული გამტარობის ორი სახე: ელექტრონული გამტარობა და ხვრელური გამტარობა.

ნახევარგამტარებს ელექტრონული გამტარობით გააჩნიათ ე.წ. თავისუფალი ელექტრონები, რომლებიც სუსტად არიან დაკავშირებული ატომების ბირთვებთან. თუ ასეთ ნახევარგამტარს მოვდებთ პოტენციალთა სხვაობას, თავისუფალი ელექტრონები დაიწყებენ გადატანით მოძრაობას გარკვეული მიმართულებით, ე.ი. ნახევარგამტარში გაივლის ელექტრული დენი. ვინაიდან აღნიშნული ტიპის ნახევარგამტარებში ელექტრული დენი წარმოადგენს უარყოფითად დამუხტული ნაწილაკების გადაადგილებას, ამიტომ მათ უწოდებენ ე.ტიპის ნახევარგამტარებს (სიტყვისაგან negative – უარყოფითი).

ნახევარგამტარებს ხვრელური გამტარობით არ გააჩნიათ თავისუფალი ელექტრონები. მათში ელექტრული დენის გავლა განიხილება, როგორც დადებითი მუხტების გადაადგილება. ნახევარგამტარებს ხვრელური გამტარობით ეწოდებათ ე.ტიპის ნახევარგამტარები (სიტყვისაგან positive – დადებითი).

ნახევარგამტარში სრული დენი წარმოადგენს ელექტრონული გამტარობით ( $I_s$ ) და ხვრელური გამტარობით ( $I_D$ ) გამოწვეული დენის ჯამს

$$I = I_s + I_D.$$

ხვრელური გამტარობა მდგომარეობს შემდეგში: თუ ნახევარგამტარს მოვდებთ ძაბვას, მასში პოტენციალთა

სხვაობის გავლენით დაიწყებენ გადაადგილებას ხვრელები, რაც ტოლფასია დადებითი მუხტების გადაადგილებისა. ხვრელების გადაადგილების მიმართულება ელექტრონების მოძრაობის საწინააღმდეგოა. თეორია და ცდა გვიჩვენებს, რომ ხვრელები იქცევიან ისე, როგორც ელემენტარული დადებითი მუხტები.

თუ ატომს გარე ორბიტაზე აკლია ერთი ელექტრონი, მას გააჩნია ერთი ხვრელი. პოტენციალთა სხვაობის გავლენით, მეზობელი ნეიტრალური ატომიდან, რომლის ყველა ელექტრონი თავის ადგილზე, ერთი ელექტრონი გადაადგილდება ხვრელიანი ატომისაკენ, რის შედეგადაც ხვრელიანი ატომი გადაიქცევა ნეიტრალურ ატომად, ხოლო ხვრელი გაჩნდება ატომში, რომელმაც ერთი ელექტრონი დაკარგა. ასეთ პროცესს ელექტრონებისა და ხვრელების რეკომბინაცია ეწოდება.

აბსოლუტურად სუფთა ნახევარგამტარების გამტარობას, რომლებიც მინარევებს არ შეიცავენ, საკუთარი გამტარობა ეწოდება. აბსოლუტურად სუფთა ნახევარგამტარებში სინათლის ან სითბოს მოქმედებით, ელექტრონები და ხვრელები წარმოიშობიან წყვილწყვილად. ამიტომ საკუთარ ნახევარგამტარებში ელექტრონებისა და ხვრელების რიცხვი თანაბარია.

დიდი გამტარობა ახასიათებთ მინარევიან ნახევარგამტარებს. მინარევის სახეობის მიხედვით მათში ჭარბობს ელექტრონული ან ხვრელური გამტარობა. მინარევები შეიძლება იყოს დონორული, რომლებიც ზრდიან თავისუფალი ელექტრონების მარაგს და აქცეპტორული, რომლებიც ზრდიან ხვრელების რიცხვს. მაშასადამე, დონორული მინარევიანი ნახევარგამტარის გამტარობა ძირითადად ელექტრონულია ანუ ხასიათდება p-გამტარობით. ამ ნახევარგამტარებში მუხტების ძირითად მატარებლებს წარმოადგენენ ელექტრონები, ხოლო არა ძირითად მატარებლებს – ხვრელები. აქცეპტორული მინარევიანი ნახევარგამტარის გამტარობა კი პირიქით ხვრელურია, ანუ ხასიათდება p-გამტარობით. აქ მუხტების ძირითად მატარებლებს წარმოადგენენ ხვრელები, არა ძირითად მატარებლებს – ელექტრონები. აღსანიშნავია, რომ ძირითადი და არა ძირითადი მატარებლების კონ-

ცენტრაციათა ნამრავლი უცვლელი სიდიდეა, ნებისმიერი ტიპის ნახევარგამტარისათვის, ე.ო.

$$pn=p_i n_i. \quad (4.29)$$

სადაც  $p$  და  $p_i$  არის ხერელების კონცენტრაციები შესაბამისად მინარევიან და არამინარევიან ნახევარგამტარებში.

$n$  და  $n_i$  ელექტრონების კონცენტრაცია მინარევიან და არამინარევიან ნახევარგამტარებში.

ნახევარგამტარიანი დიოდებისა და ტრიოდების დასამზადებლად ძირითადად გამოიყენება გერმანიუმი და კაჟბადი. მათთან შეფარდებით დონორებს წარმოადგენენ სტიბიუმი, ფოსფორი, დარიშხანი; აქცეპტორებს – ინდიუმი, გალიუმი, ალუმინი, ბორი.

$n$  გამტარობის მინარევიან ნახევარგამტარში გვაქვს შემდეგი სახის ელექტრული მუხტები:

1) მოძრავი უარყოფითი მუხტები (ელექტრონები), რომლებიც წარმოადგენენ ძირითად მატარებლებს;

2) მოძრავი დადებითი მუხტები (ხერელები) – წარმოადგენენ არა ძირითად მატარებლებს;

3) უძრავი დადებითი მუხტები – დონორული მინარევის იონები.

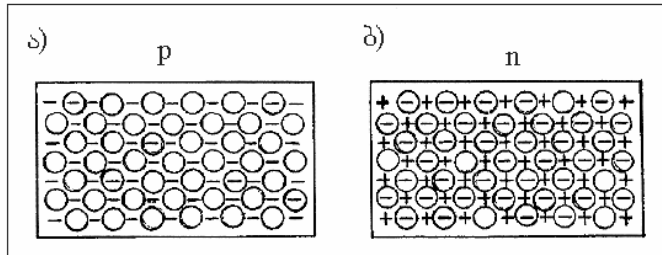
$p$ -გამტარობის მინარევიან ნახევარგამტარში გვაქვს შემდეგი სახის ელექტრული მუხტები:

1) მოძრავი დადებითი მუხტები (ხერელები) – ძირითადი მატარებლები;

2) მოძრავი უარყოფითი მუხტები (ელექტრონები) – არაძირითადი მატარებლები;

3) უძრავი უარყოფითი მუხტები – აქცეპტორული მინარევის იონები.

4.14 ნახაზზე ნაჩვენებია  $p$ -გერმანიუმის (ა) და  $n$ -გერმანიუმის (ბ) ფირფიტები ელექტრული მუხტების განლაგებით.



**ნახ.4.14.** ნახევარგამტარში ელექტრული მუხტების განლაგება:  
ა) p-გერმანიუმის ფირფიტა; ბ) n-გერმანიუმის ფირფიტა;  $\ominus$  - ელექტრონები;  $\bigcirc$  - ხვრელები; “-” - უძრავი უარყოფითი მუხტები;  
“+” - უძრავი დადებითი მუხტები

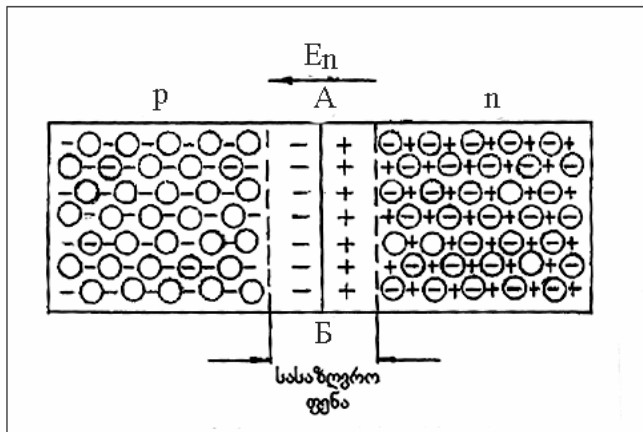
## 2. ნახევარგამტარული დიოდები

განვიხილოთ სხვადასხვა ტიპის გამტარობის ორი ნახევარგამტარის კონტაქტი. ნახევარგამტარების სასაზღვრო არეს ამ შემთხვევაში ეწოდება p-n გადასვლა.

კონტაქტი ორ ფირფიტას შორის p-n გადასვლით მიიღება არა მექანიკური გზით, არამედ გამოსავალ ფირფიტაში საჭირო მინარევის შედნობით და დიფუზიით. გადასვლას, რომელიც მიიღება შენარევის შედნობით, ეწოდება შენადნობი, ხოლო დიფუზიით მიღებულს კი დიფუზიური გადასვლა. დამზადების ტექნოლოგიისაგან დამოკიდებულებით დიოდებსა და ტრიოდებს (ტრანზისტორებს) შესაბამისად ეწოდებათ შენადნობი ან დიფუზიური.

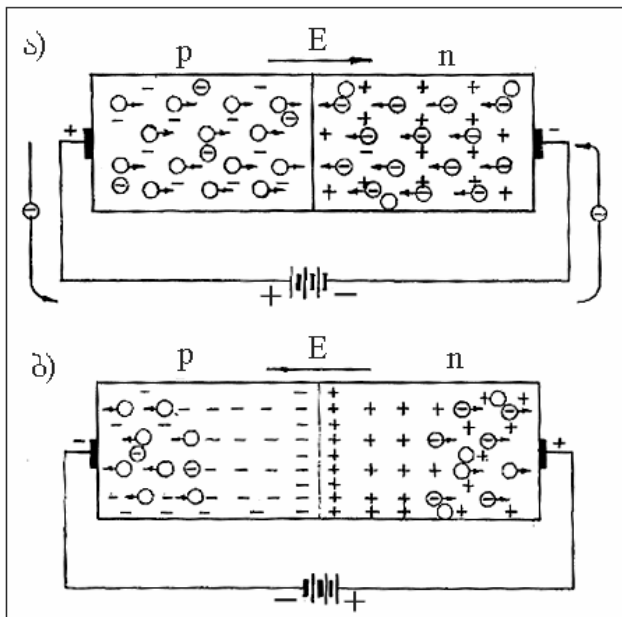
ორი ნახევარგამტარის კონტაქტის წინადობა დამოკიდებულია დენის მიმართულებაზე, ე.ი. პრაქტიკულად კონტაქტი ხასიათდება ცალმხრივი გამტარობით. განვიხილოთ ნახევარგამტარიანი დიოდის ცალმხრივი გამტარობის ფიზიკური პროცესი. ავიდოთ დიოდი წარმოქმნილი n და p გამტარობის ორი ნახევარგამტარიდან, რომელთა შორის კონტაქტი ხორციელდება A-B ხაზით (ნახ.4.15). ელექტრონები (n-გამტარობის ნახევარგამტარიდან) და ხვრელები (p-გამტარობის ნახევარგამტარიდან) ერთი ნახევარგამტარიდან მეორეში p-n გადასვლის გავლით დიფუნდირებას დაიწყებენ. კერძოდ n ნახევარგამტარიდან p ნახევარგამტარში შეაღწევენ ელექტრონები, ხოლო p ნახევარგამტარიდან n ნახევარგამტარში – ხვრელები. სასაზღვრო ფენაში მოხდება ელექტრონების ხვრელებთან რეკომბინაცია, რის შედეგადაც p-n გადასვლის ზონაში დარჩებიან მხოლოდ უძრავი მუხტები: დადებითი n – არის საზღვარზე და უარყოფითი p – არის საზღვარზე. აღნიშნული მუხტების გავლენით ნახევარგამტარებს შორის აღიძვრება კონტაქტური პოტენციალთა სხვაობა, რაც შეაფერხებს ელექტრონებისა და ხვრელების შემდგომ დიფუზიას. ამის შედეგად ნახევარგამტარის სასაზღვრო არეები მუხტების ძირითადი მატარებლებით გადარიბ-

დება, რის გამოც p-n გადასვლის ელექტრული წინაღობა ძალიან გაიზრდება. p-n გადასვლას ამასთან დაკავშირებით ეწოდება ჩამკეტი ფენა ან პოტენციალური ბარიერი. ჩამკეტი ფენის E<sub>0</sub> ელექტრულ გელს – კონტაქტური გელი. კონტაქტური გელი ხელს უწყობს ორივე ნახევარგამტარში მცირე რაოდენობით არსებული მუხტის არაძირითადი მატარებლების მოძრაობას და აფერხებს ძირითადი მატარებლების მოძრაობას.



**ნახ.4.15. ელექტრული მუხტების განაწილება p და n გამტარობის ორი ნახევარგამტარის კონტაქტის დროს**

მოვდოთ დიოდზე ძაბვა (ნახ.4.16,ა). p – არე შევუერთოთ ბატარეის დადებით პოლუსს, ხოლო n – არე – უარყოფით პოლუსს. მოდებული პოტენციალთა სხვაობის გავლენით მუხტების ძირითადი მატარებლები დაიწყებენ მოძრაობას p-n გადასვლისაკენ: ხვრელები p-არეში, ხოლო ელექტრონები n-არეში. p-n გადასვლაში ელექტრონები და ხვრელები ერთმანეთს ეჯახებიან და ხდება მათი რეკომბინაცია. ამის გამო ჩამკეტი ფენა მუხტის ძირითადი მატარებლებით გამდიდრდება, ხოლო p-n გადასვლის წინაღობა ძალიან შემცირდება. n ნახევარგამტარში ელექტრონების შემცირების კომპენსაცია გმ&gt;. წყაროს უარყოფით პოლუსთან შემაერთვბელი გამტარიდან გადმოსული ელექტრონებით ხდება, ხვრელების ნაკლებობის კომპენსაცია კი p ნახევარგამტარიდან ბატარეის დადებით პოლუსზე გადასული ელექტრონებით.



ნახ.4.16. დიოდის ჩართვა ელექტრულ წრედში მუდმივი ძაბვის წყაროსთან: а) დენის წყაროს გამტარი მიმართულებით; б) დენის წყაროს “ჩამკეტი” მიმართულებით

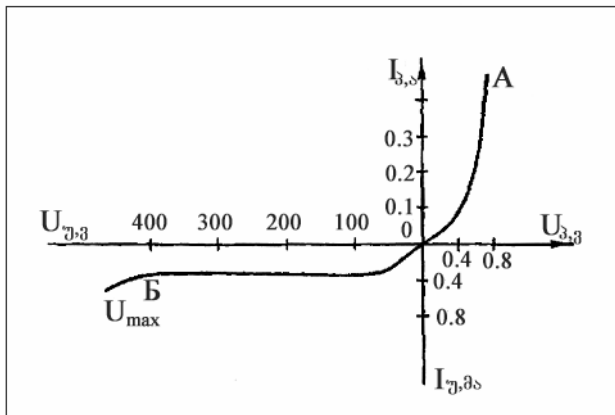
ჩაკეტილი წრედის შემთხვევაში აღწერილი პროცესი განუწყვეტლივ მიმდინარეობს და ამიტომ წრედში დენიც განუწყვეტლივ არსებობს, ამასთან დენის სიდიდე მნიშვნელოვანია. ამ დენს პირდაპირი დენი ეწოდება, ხოლო ძაბვას, რომლის დროსაც იგი აღიძრება – პირდაპირი ძაბვა.

ამრიგად, ორი ნახევარგამტარის ერთობლიობა p-n გადასვლით ატარებს დენს მხოლოდ ერთი მიმართულებით და ამიტომ შეიძლება გამოვიყენოთ ცვლადი დენის გასამართვად.

თუ შევცვლით ნახევარგამტარებზე მოდებული ძაბვის პოლარობას, სასაზღვრო ფენაში გამავალი დენის სიდიდე მკვეთრად შეიცვლება (ნახ.4.16,б), რადგან ხვრელები p-არეში გადაადგილდებიან უარყოფითი ელექტროდისაკენ, ხოლო ელექტრონები n-არეში დადებითი ელექტროდისაკენ, ე.ი. მუხტის ძირითადი მატარებლები მოცილდებიან p-n გადასვლას. ამის გამო სასაზღვრო ფენის წინაღობა ძალიან გაიზრდება. ნახევარგამტარებზი სითბური პროცესების გავლენით წარ-

მოიშობა უმნიშვნელო რიცხვით თავისუფალი ელექტრონებისა და ხვრელებისა, რომლებიც მათში მუხტის ძირითად მატარებლებს არ წარმოადგენებ; ეს ელექტრონები და ხვრელები ქმნიან სუსტ არაპირდაპირ დენს, რომელსაც დიოდის უკუდენი ეწოდება. ძაბვას, რომლის დროსაც აღიძვრება უკუდენი უკუძაბვა ეწოდება.

ნახ.4.17 წარმოდგენილია გერმანიუმის დიოდის ვოლტამპერული მახასიათებელი. კოორდინატთა სისტემის პირველ კვადრანგზი მოთავსებულია დიოდში პირდაპირი მიმართულების შესაბამისი შტო ( $OA$  უბანი), ხოლო მესამე კვადრანგზი – დიოდში უკუმიმართულების შესაბამისი შტო ( $OB$  უბანი).

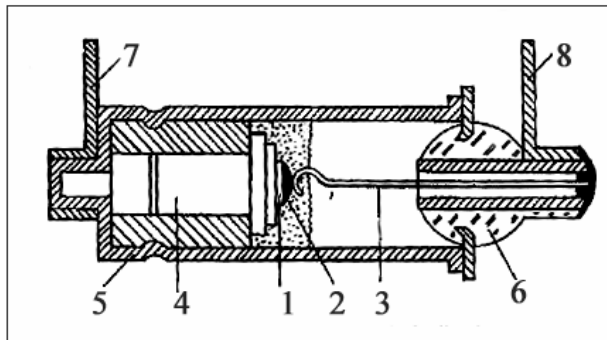


ნახ.4.17. გერმანიუმის დიოდის ვოლტამპერული მახასიათებელი

პირდაპირი და უკუდენისათვის, აგრეთვე, ძაბვისათვის ვოლტამპერულ მახასიათებელზე აღებულია სხვადასხვა მასშტაბი, რადგან პირდაპირი და უკუდენების მნიშვნელობები ერთმანეთისაგან განსხვავდება ასჯერ და მეტჯერ. როგორც ვოლტამპერული მახასიათებლიდან ჩანს, 0,6 ვ ძაბვა ქმნის 0,1 ამპ. სიდიდის პირდაპირ დენს, მაშინ, როდესაც 0,0001 ამპ (0,1 მეგა ამპ.) უკუდენის შესაქმნელად საჭიროა 400ვ მეტი ძაბვა.

წარმოება უშვებს გერმანიუმის, კაჟბადის, სელენის და სპილენდექვეჟანგური ტიპის ნახევარგამტარულ დიოდებს. დატვირთვის ყველაზე დიდი უნარიანობა ახასიათებს გერმანიუმისა და კაჟბადის დიოდებს, მაგრამ მათი დირექტულებაც მეტია.

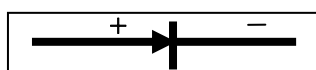
ნახ.4.18 ნაჩვენებია დგ-ც ტიპის გერმანულის ფირფი-  
ტოვანი დიოდის მოწყობილობა. აღნიშვნის პირველი ასო  
შეესაბამება დიოდს - დ; მეორე ასო გ - გერმანულს, მესამე  
ც - გამმართველს.



ნახ.4.18. გერმანულის დიოდის მოწყობილობა (ელექტროდი  
შეერთებული ინდიუმის კრისტალთან წარმოადგენს ანოდს, ხოლო  
ელექტროდი შეერთებული გერმანულმან - კათოდს)

დიოდი შედგება ერთმანეთთან მიდნობილი გერმანულისა  
(1) და ინდიუმის (2) კრისტალისაგან, რომლებიც შეერთებუ-  
ლია (3) და (4) დენსართმევთან. დენსართმევი (4) ლითონის  
კორპუსით (5) უერთდება კონტაქტურ გამომყვანს (7). დენ-  
სართმევი 3 მინის იზოლატორით (6) იზოლირებულია კორ-  
პუსისაგან და შეერთებულია კონტაქტურ გამომყვანთან (8).  
ჰერმეტული კორპუსი ნახევარგამტარს სინესტისაგან იცავს.

ნახევარგამტარული დიოდის გამოსახვა სქემაზე ნაჩვენე-  
ბია 4.19 ნახაზზე.



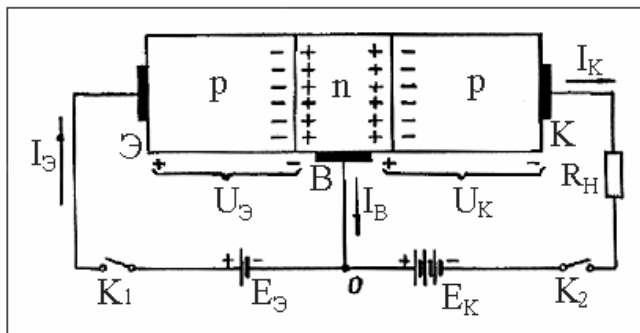
ნახ.4.19. ნახევარგამტარული დიოდის გამოსახვა სქემაზე  
3. ნახევარგამტარული ტრიოდები

ნახევარგამტარული ტრიოდი (ტრანზისტორი) წარმო-  
ადგენს გერმანულისა და კაუბადისაგან შესრულებულ მონო-  
კრისტალს, რომელიც შეიცავს შენაცვლებადი p და n გამ-  
ტარობის სამ ფენას. განაპირა ფენებს გააჩნიათ ერთგვარი  
გამტარობა, ხოლო შუალედ ფენას მათგან განსხვავებული  
(სხვაგვარი გამტარობა).

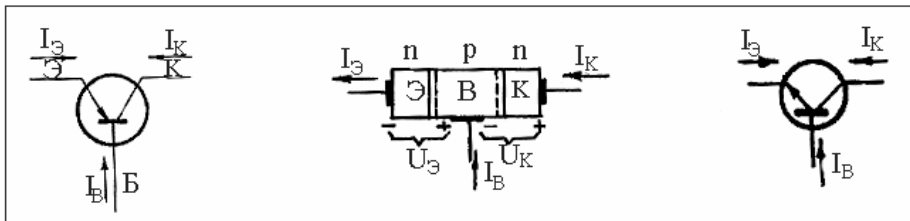
არჩევენ p-n-p ტიპისა (პირდაპირი გამტარობის) და n-p-n ტიპის (უკუგამტარობის) ტრიოდებს. p-n-p ტიპის ტრიოდებში გარე ფენებს აქვს p გამტარობა, ხოლო შიგას – n-გამტარობა (ნახ.4.20). ასეთი ტრიოდის პირობითი აღნიშვნა სქემებში ნაჩვენებია ნახ.4.21. n-p-n ტიპის ტრიოდების გარე ფენებს აქვს n-გამტარობა, ხოლო შიგას - p გამტარობა (ნახ.4.22). მათი პირობითი აღნიშვნა სქემებში ნაჩვენებია ნახ.4.23.

ემიტერი ე და კოლექტორი K წარმოადგენენ ტრანზისტორის ელექტროდებს. შეალებ ფენას, რომელიც ატარებს მუხტებს ემიტერიდან კოლექტორისაკენ, ეწოდება ბაზა – B.

ნახ.4.20 ნაჩვენებია ტრიოდის ჩართვა წრედში ელექტრული სიგნალის გასაძლიერებლად. სქემაზე წარმოდგენილია ორი წრედი – შემავალი ანუ მართვის წრედი და გამომავალი ანუ სამართვი წრედი. მკვებავი ძაბვების პოლარობა შერჩეულია ისეთნაირად, რომ ემიტერული გადასვლა (p-n გადასვლა) მუშაობს პირდაპირი მიმართულებით, ხოლო კოლექტორული გადასვლა (n-p გადასვლა) უკუმიმართულებით.



ნახ.4.20. p-n-p ტიპის ტრიოდის ჩართვა წრედში ელექტრული სიგნალის გასაძლიერებლად



**ნახ.4.21. p-n-p ტრანზისტორის პირობითი აღნიშვნა სქემებში**

ემიტერული გადასვლის წინაღობა მცირება. ამიტომ ემიტერის წრედში ნორმრალური დენის მისაღებად საკმარისია ემიტერის **ე.მ.ძ.** წყაროს ძაბვა იყოს ვოლტის მეტავედი ნაწილი. რაც შეეხება კოლექტორულ გადასვლას, მისი წინაღობა მეტად მნიშვნელოვანია, ამიტომ კოლექტორის **ე.მ.ძ.** წყაროს ძაბვა  $E_k$  ადგმატება ემიტერის **ე.მ.ძ.** წყაროს ძაბვას  $E$ , და შეადგენს რამდენიმე ერთულ ან ათეულ ვოლტს.

ელექტრული სიგნალების გაძლიერება ნახევარგამტარი-ანი ტრიოდის საშუალებით უმყარება კოლექტორის დენის მართვას, ემიტერის დენის დახმარებით.

თუ  $K_1$  და  $K_2$  ჩამრაზები გათოშულია ელექტრონებისა და ხერელების დიფუზიის გამო, p-n და n-p გადასვლებზე წარმოიქმნება უძრავი მუხტები, რომელთა პოლარობა ნაჩვენებია 4.20 ნახაზზე.

თუ  $K_1$  ჩამრაზს შევკრავთ, მაშინ ტრიოდის  $E$ - $K_1$ - $\Theta$ - $B$ - $O$ - $E$  შემავალ წრედში ემიტერის ბატარეის p-n გადასვლაზე, პირდაპირი მიმართულებით ჩართვის გამო, წრედში გაივლის დიდი სიდიდის ემიტერის დენი  $I_b$ .

თუ  $K_1$  ჩამრაზს გავთოშავთ, ხოლო  $K_2$  შევკრავთ, მაშინ წარმოიქმნება ტრანზისტორის გამომავალი წრედი, რომელშიც პრაქტიკულად დენი არ გაივლის, რადგან კოლექტორის ბატარეა კოლექტორის n-p გადასვლასთან ჩართულია უკუმიმართულებით.

$K_1$  და  $K_2$  ჩამრაზების ერთდროულად შეკვრის შემთხვევაში p-n გადასვლაზე ემიტერი – ბაზა გაივლის  $E$ , ძაბვის პროპორციული ხვრელური დენი. დენის ხვრელების ძირითადი ნაკადი კოლექტორის ბატარეის  $E_k$  ძაბვის მო-

**ნახ.4.22. n-p-n ტრიოდის ტრიოდის სტრუქტურული სქემა**

**ნახ.4.23. n-p-n ტრიოდის პირობითი აღნიშვნა სქემებში**

ემიტერული გადასვლის წინაღობა მცირება. ამიტომ ემიტერის წრედში ნორმრალური დენის მისაღებად საკმარისია ემიტერის **ე.მ.ძ.** წყაროს ძაბვა იყოს ვოლტის მეტავედი ნაწილი. რაც შეეხება კოლექტორულ გადასვლას, მისი წინაღობა მეტად მნიშვნელოვანია, ამიტომ კოლექტორის **ე.მ.ძ.** წყაროს ძაბვა  $E_k$  ადგმატება ემიტერის **ე.მ.ძ.** წყაროს ძაბვას  $E$ , და შეადგენს რამდენიმე ერთულ ან ათეულ ვოლტს.

ელექტრული სიგნალების გაძლიერება ნახევარგამტარი-ანი ტრიოდის საშუალებით უმყარება კოლექტორის დენის მართვას, ემიტერის დენის დახმარებით.

თუ  $K_1$  და  $K_2$  ჩამრაზები გათოშულია ელექტრონებისა და ხერელების დიფუზიის გამო, p-n და n-p გადასვლებზე წარმოიქმნება უძრავი მუხტები, რომელთა პოლარობა ნაჩვენებია 4.20 ნახაზზე.

თუ  $K_1$  ჩამრაზს შევკრავთ, მაშინ ტრიოდის  $E$ - $K_1$ - $\Theta$ - $B$ - $O$ - $E$  შემავალ წრედში ემიტერის ბატარეის p-n გადასვლაზე, პირდაპირი მიმართულებით ჩართვის გამო, წრედში გაივლის დიდი სიდიდის ემიტერის დენი  $I_b$ .

თუ  $K_1$  ჩამრაზს გავთოშავთ, ხოლო  $K_2$  შევკრავთ, მაშინ წარმოიქმნება ტრანზისტორის გამომავალი წრედი, რომელშიც პრაქტიკულად დენი არ გაივლის, რადგან კოლექტორის ბატარეა კოლექტორის n-p გადასვლასთან ჩართულია უკუმიმართულებით.

$K_1$  და  $K_2$  ჩამრაზების ერთდროულად შეკვრის შემთხვევაში p-n გადასვლაზე ემიტერი – ბაზა გაივლის  $E$ , ძაბვის პროპორციული ხვრელური დენი. დენის ხვრელების ძირითადი ნაკადი კოლექტორის ბატარეის  $E_k$  ძაბვის მო-

ქმედებით გაემართება ემიტერი—ბაზა გადასვლისაკენ და ხვრელები გადავლენ K კოლექტორში, საიდანაც R<sub>H</sub> და მტვირთავი წინაღობის გავლით გაედინებიან E<sub>k</sub> ბატარეის უაყოფითი პოლუსისაკენ. რაც უფრო მცირება ბაზის სისქე (შეადგენს 15-50 მიკრონს), მით მეტი რაოდენობა მიაღწევს ემიტერიდან გადმოსული ხვრელებისა კოლექტორს. ჩვეულებრივად 92-99% ხვრელებისა ხვდება კოლექტორში და წარმოქმნის კოლექტორის დენს I<sub>k</sub>. ხვრელების ნაწილი, რომლებიც ვერ მიაღწევენ ბაზა-კოლექტორის გადასვლას, შეივსება ემიტერის ბატარეიდან - E<sub>a</sub> ნ-ო სადენით მოსული ელექტრონებით. ხვრელების მცირე ნაწილი მოხვდება რა n-გამტარობის არეში (p გამტარობის არედან გადმოსვლის შემდეგ) რეკომბინირებს თავისუფალ ელექტრონებთან და ნეიტრალდებიან.

ამრიგად, ბაზის დენის ძალა I<sub>d</sub> ძალიან მცირე სიდიდეა, უახლოვდება ნულს, მაშინ, როდესაც კოლექტორის დენის ძალა უტოლდება ემიტერის დენის ძალას

$$I_k = \alpha I_d, \quad (4.30)$$

სადაც  $\alpha$  არის ტრიოდის გამლიერების კოეფიციენტი დენის ძალის მიხედვით

$$\alpha = \left( \frac{\partial I}{\partial I_d} \right)_{U_K=const} = 0.92 - 0.99. \quad (4.31)$$

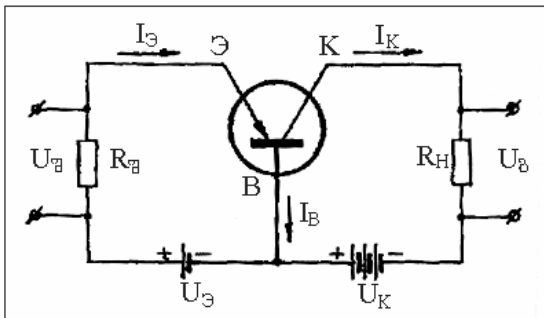
ბაზური დენი, რომელიც წარმოადგენს კოლექტორული და ემიტერული დენის სხვაობას, უდრის

$$I_d = (1 - \alpha) I_s. \quad (4.32)$$

კოლექტორის დენის ძალა არ არის დამოკიდებული კოლექტორის ბატარეის E<sub>k</sub> ბაბვაზე და R<sub>H</sub> დამტვირთავ წინაღობაზე. იგი დამოკიდებულია მხოლოდ ემიტერის დენის ძალაზე I<sub>s</sub>, რომელიც თავის მხრივ განისაზღვრება ემიტერის ბატარეის E<sub>a</sub> ბაბვის სიდიდით. მაშასადამე, ემიტერსა და ბაზას შორის ბაბვის U<sub>a,b</sub> ცვალებადობით შეიძლება განვახორციელოთ კოლექტორული დენის ძალის რეგულირება.

ნახ.4.24 ნაჩვენებია გამაძლიერებელ კასკადში ტრიოდის ჩართვის სქემა. როგორც სქემიდან ჩანს, ემიტერი—ბაზის წრედში შესასვლელ წინაღობაზე R<sub>a</sub> მიეწოდება შესასვლელი სიგნალის ბაბვა U<sub>a</sub>, ხოლო დამტვირთავ წინაღობაზე

მივიღებთ შესასვლელ ძაბვაზე გაცილებით დიდ გამოსასვლელ ძაბვას  $U_\beta$ , რომელიც წარმოადგენს სიგნალის გაძლიერებულ ძაბვას. სქემაზე საერთო ძაზითა და საერთო ემიტერით გაძლიერების კოეფიციენტმა ძაბვის მიხედვით შეიძლება მიაღწიოს მნიშვნელობებს  $1000 \div 5000$ . ეს აისხება იმ გარემოებით, რომ ძაზა-კოლექტორის წინადობა ათასჯერ მეტია, ემიტერი-ძაზის წინადობაზე, მაშინ როდესაც ემიტერის დენის ძალა უმნიშვნელოდ აღემატება კოლექტორისას.



ნახ.4.24. გამაძლიერებელ კასკადში ტრიოდის ჩართვის სქემა

თუ შევადარებთ ნახევარგამტარულ ტრიოდის მუშაობას სამელექტროდიან ვაკუუმის ნათურის მუშაობას, შეიძლება შევამჩნიოთ შემდეგი გარეგანი მსგავსება (ფიზიკური არსი სხვადასხვაა): ემიტერი ასრულებს ელექტრონული ნათურის კათოდის ფუნქციებს, კოლექტორი – ანოდის ფუნქციებს, ხოლო ძაზა – ძადის როლს. მაშასადამე, შესასვლელი წრედი მსგავსია ძადური წრედისა, გამოსასვლელი წრედი კი ელექტრონული ნათურის ანოდური წრედისა.

ნახევარგამტარული ტრიოდებიანი სქემის პარამეტრების განსასაზღვრავად სარგებლობები ემიტერული და კოლექტორული კოლგამპერული მახასიათებლით.

ემიტერული მახასიათებელი წარმოადგენს ემიტერის დენის  $I_\alpha$  დამოკიდებულებას ძაზასა და ემიტერის შორის ძაბვაზე  $U_\alpha$ , ძაზასა და კოლექტორის შორის ძაბვის  $U_{K\alpha}$  მუდმივი მნიშვნელობის დროს, კ.ი.

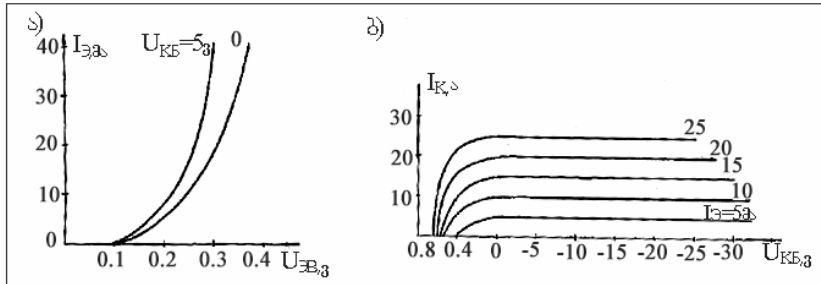
$$I_\alpha = f(U_{\alpha\delta})_{U_{K\alpha}=\text{const}}.$$

კოლექტორული მახასიათებელი წარმოადგენს კოლექტორის დენის  $I_k$  დამოკიდებულებას კოლექტორის ძაბვისა-

გან  $U_{K6}$ , ემიტერის დენის  $I_3$ , რაიმე მუდმივი მნიშვნელობის დროს, ე.ო.

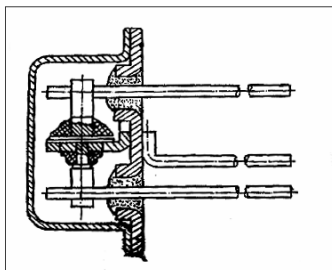
$$I_K = f(U_{K6})_{I_3=const}.$$

ემიტერულ მახასიათებლებს სქემაში საერთო ბაზით, ეწოდებათ შესასვლელი, ხოლო კოლექტორულ მახასიათებლებს – გამოსასვლელი (ნახ.4.25 ა,ბ)



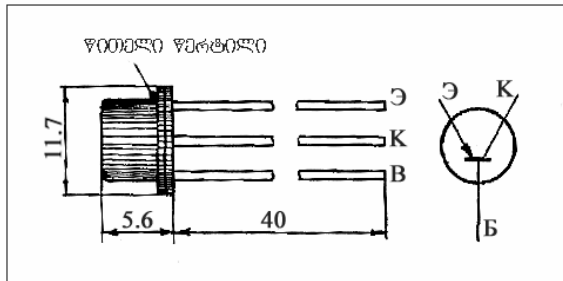
ნახ.4.25. П13-П15А ტიპის ტრანზისტორის ტიპური მახასიათებლები სქემაში საერთო ბაზით: ა) შესასვლელი; ბ) გამოსასვლელი

(ნახ.4.26) ნაჩვენებია ბრტყელი, შენადნობი გერმანიუმის ტრიოდის კონსტრუქციული სქემა. ტრიოდის გერმანიუმის საწყის მონოკრისტალს აქვს n-გამტარობა, ხოლო გარე ფენებში p-გამტარობა მის კრისტალურ გისოსში სამვალენტიანი ინდიუმის პატარა ნაჭრების შედნობით, რომლის ნარჩენი მოცულობები ასრულებენ p-ფენებთან ორგანულად დაკავშირებული ლითონური ელექტროდების როლს, რომელთა გამომყვანები მზადდება ნიკელის ან მონიკელებული სპილენბისაგან და ინდიუმს მიერჩიდება კალით. П-14 ტიპის დაბალსიხშირული ტრიოდი გამოიყენება დენის წინასწარი გაძლიერების კასკადებში, ხოლო П-207 ტიპის ტრიოდი – სიმძლავრის გაძლიერების კასკადებში.



ნახ.4.26 ბრტყელი  
შენადნობი  
გერმანიუმის  
ტრიოდის

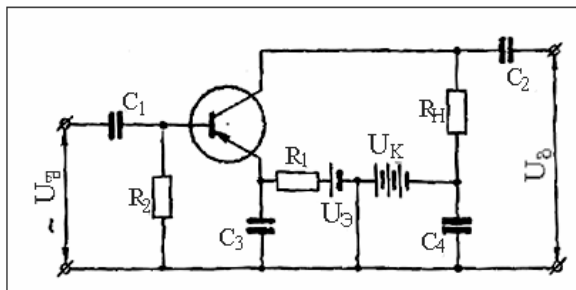
ნახ.4.27 წარმოდგენილია П401– П403А ტიპის გერმანიუმის ტრიოდის ზომები და ელექტროდების განლაგება. ასო II ტრიოდის აღნიშვნაში მიღებულია ბრტყელი ტრიოდებისათვის.



ნახ.4.27. П401- П403А ტიპის გერმანიუმის ტრიოდის საერთო ხედი ზომებითა და ელექტროდების განლაგებით

#### 4. ნახევარგამტარული გამაძლიერებლები

სამრეწველო ხელსაწყოების გამაძლიერებლებში დიდი პრაქტიკული გავრცელება ჰქოვა საერთო ემიტერით ჩართვის სქემაში (ნახ.4.28). ნათურულ ტექნიკაში ანალოგს წარმოადგენს სქემა საერთო კათოდით.



ნახ.4.28. ელექტრული სიგნალების გაძლიერება საერთო ემიტერით ტრიოდის ჩართვის დროს

სქემა საერთო ემიტერით იძლევა, როგორც ძაბვის, ისე დენისა და სიმძლავრის მნიშვნელოვნად გაძლიერების შესაძლებლობას (საერთო ბაზის სქემის დროს დენის გაძლიერება შეუძლებელია, რის გამოც სიმძლავრის გაძლიერების კოეფიციენტი მცირეა, ნათურულ ტექნიკაში საერთო ბაზით გამაძლიერებლის ანალოგს წარმოადგენს სქემა დამიწებული ბაზით).

ცნობილია აგრეთვე სქემა საერთო კოლექტორით. ამ შემთხვევაში ძაბვის გაძლიერების კოეფიციენტი ყოველთვის

ერთზე ნაკლებია. ნათურულ ტექნიკაში ანალოგს წარმოადგენს სქემა დამიწებული ანოდით.

ნახევარგამტარული გამაძლიერებლის სქემაზე, საერთო ემიტერით ტრანზისტორის ჩართვის დროს, ნაჩვენებია:  $U_3$  – ცვლადი ძაბვა გამაძლიერებლის შესასვლელზე;  $C_1$  – კონდენსატორი, რომელიც არ ატარებს, ტრიოდზე  $U_3$  ძაბვის მუდმივ მდგრენელს;  $C_2$  – კონდენსატორი, რომელიც არ ატარებს გამაძლიერებლის გამოსასვლელზე ძაბვის მუდმივ მდგრენელს  $R_H$  გამოსასვლელი წინაღობიდან;  $C_1$  და  $C_2$  კონდენსატორებს ეწოდებათ გამყოფი.  $C_3$  და  $C_4$  – კონდენსატორებს, რომლებიც მუხტავენ მუდმივი ძაბვის წყაროებს  $U_3$  და  $U_k$ , ეწოდებათ მაბლოკირებელი.

ძაბვა ემიტერსა და ბაზას შორის განისაზღვრება  $U_3$ , წყაროს მუდმივი ძაბვისა და შესასვლელი დენის  $R_2$  წინაღობაზე ძაბვის ცვლადი ვარდნის ალგებრული ჯამით.

აღნიშნული ნახევარგამტარული გამაძლიერებელი კასკადის სქემის შემთხვევაში დენის ძალის გაძლიერების კოეფიციენტი აღწევს სიდიდეებს – (10-100), როცა  $\alpha$  იცვლება 0,91-დან 0,99-მდე. მართლაც, გაძლიერების კოეფიციენტი

$$\beta = \left( \frac{\partial I_k}{\partial I_\delta} \right)_{U_k=const} = \frac{I_k}{I_\delta}; \quad (4.33)$$

(4.32)-ის თანახმად  $I_\delta = (1 - \alpha)I_3$  (ბაზური დენი წარმოადგენს კოლექტორული და ემიტერული დენების სხვაობას).

თუ გავითვალისწინებთ  $I_\delta$ -ის მნიშვნელობას (4.33), მივიღებთ

$$\beta = \frac{I_k}{(1 - \alpha)I_3}. \quad (4.34)$$

მაგრამ (4.30)-ის თანახმად  $\frac{I_k}{I_3} = \alpha$  წარმოადგენს დენის გაძლიერების კოეფიციენტს, ვინაიდან  $I_K = I_3$  და  $I_K = I_\delta$ .

$$\text{მაშასადამე, } \beta = \frac{\alpha}{(1 - \alpha)}. \quad (4.35)$$

თუ მაგალითად,  $\alpha = 0,98$ , მაშინ

$$\beta = \frac{0,98}{1 - 0,98} = \frac{0,98}{0,02} = 49.$$

ძაბვის გაძლიერების კოეფიციენტი საერთო ემიტერით ს.ე. სქემის შემთხვევაში აღწევს რამდენიმე ათასს, ხოლო სიმძლავრის გაძლიერების კოეფიციენტი ათი ათასს.

ნახევარგამტარული გამაძლიერებლები გამოიყენება რო-გორც გამმართველები, გენერატორები და სხვ. მათ გააჩნიათ დიდი მექანიკური გამძლეობა, მცირე ზომები და წონა, ვიდრე ელექტროვაკუუმურ და ელექტროიონურ სელსაწყოებს, რაც მეტ უპირატესობაზე მეტყველებს.

## §5. მაგნიტური ბამაძლიერებლები

### 1. ფერომაგნიტური მასალების თვისებები

მაგნიტური გამაძლიერებლების მოქმედება დამყარებულია ფერომაგნიტური მასალების თვისებების გამოყენებაზე. კერძოდ, ფერომაგნიტური მასალების მაგნიტური შედწევა-დობა, მათი მუდმივი მაგნიტით შემაგნიტების დროს მკვეთ-რად იცვლება.

მაგნიტური ინდუქცია, როგორც ცნობილია, გამოისახება არახაზოვანი დამკიდებულებით

$$B = \mu H,$$

სადაც  $B$  არის მაგნიტური ინდუქცია, ტლ ( $1 \text{ ტესლა} = 1 \frac{\text{ბ}}{\text{მ}^2} = 10^4$  გაუსი);

$H$  – მაგნიტური გელის დაძაბულობა,  $\frac{\text{ამპერი}}{\text{მ}} (1\text{ა/მ} = 4\pi \cdot 10^3 \text{ ერსტედი});$

$$\mu \text{ მაგნიტური } \text{შედწევა-დობა}, \frac{\text{ჰენრი}}{\text{მ}} \left( \frac{\text{ჰ}}{\text{მ}} \right).$$

გულარის მაგნიტურ ინდუქციასა -  $B$ , გულარის განივი კერძოს ფართსა ( $S$ ) და მაგნიტურ ნაკადს -  $\Phi$  შორის და-მოკიდებულება გამოისახება ცნობილი ფორმულით

$$\phi = B \cdot S.$$

მაგნიტური გელის დაძაბულობა თავის მხრივ განისაზ-დვრება დენის ძალით –  $I$ , მაგნიტური გამტარის სიგრძით –

$\ell$  (გ) და გრაგნილის ხევულების რიცხვით -  $\omega$  შემდეგი გამოსახულებით

$$H = \frac{I\omega}{\ell} (\sin\theta/\theta).$$

როგორც ცნობილია, დენის ძალის ცვალებადობა გრაგნილში იწვევს მასში თვითინდუქციის ე.მ.ძ. - ე აღძრას, რომელიც დამოკიდებულია გრაგნილის ხევულების რიცხვზე -  $\omega$  და მაგნიტური ნაკადის ცვლილების სიჩქარეზე

$$e = -\omega \frac{d\phi}{dt};$$

აქ ე აღებულია ვოლტებში;

$\Phi$  ვებერებში ( $1 \text{ ვებერი} = 10^8 \text{ მაქსველს}$ ).

ამრიგად, მაგნიტური ინდუქციისათვის გვაქვს შემდეგი დამოკიდებულება

$$B = \mu \frac{I\omega}{\ell} \cdot \vec{\delta}\varphi \quad (4.36)$$

რადგან (4.36) გამოსახულება არასაზოვანია, ამიტომ  $\mu$ - კოეფიციენტი ცვალებადია.  $\mu$  - განისაზღვრება ორი თანამრავლის ნამრავლით

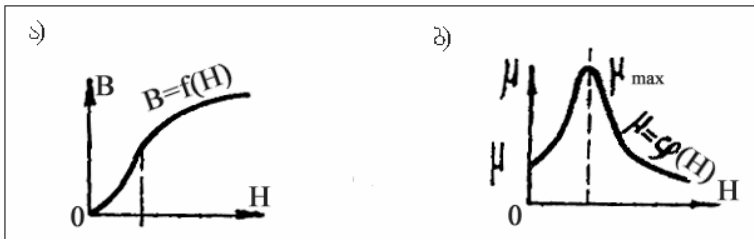
$$\mu = \mu_r \mu_0. \quad (4.37)$$

სადაც  $\mu_0$  არის ვაკუუმის მაგნიტური შეღწევადობა და მას მაგნიტური მუდმივა ეწოდება.

$\mu_r$  - ფარდობითი მაგნიტური შეღწევადობა (განყენებული რიცხვი).

მაგნიტური ველის დაძაბულობის გაზრდა გარკვეული მნიშვნელობის შემდეგ იწვევს მაგნიტური შეღწევადობის მკვეთრად შემცირებას. მაშასადამე,  $\mu = \varphi(H)$  ფუნქციას გააჩნია მაქსიმუმი, ე.ი. იგი საწყისი  $\mu_{\max}$  მნიშვნელობიდან იზრდება მაქსიმუმად და კვლავ მცირდება.  $\mu = \varphi(H)$  ფუნქციის გრაფიკული გამოსახულება ნახვენებია ნახ. 4.29, ბ.

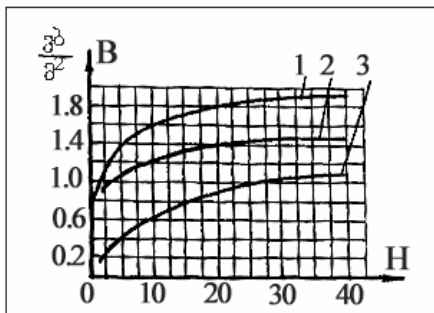
მაგნიტური გამაძლიერებლის მუშაობის დროს გამოიყენება  $\mu = \varphi(H)$  დამოკიდებულების მარჯვენა ნაწილი, რომელიც შეესაბამება მაგნიტური ველის დაძაბულობის გაზრდისას, მაგნიტური შეღწევადობის შემცირებას.



ნახ.4.29. ფერომაგნიტური მასალების თვისებები: а)  $B=f(H)$  ფუნქციის გრაფიკი; б)  $\mu=\phi(H)$  ფუნქციის გრაფიკი

ფერომაგნიტური მასალის მოქმედი მაგნიტური შეღწევა-დობის სიდიდე ცვლადი დენის შემთხვევაში შეიძლება განისაზღვროს ნახ.4.29,ა აგებული მრუდის საშუალებით, რომელიც გამოსახავს  $B=f(H)$  დამოკიდებულებას. გრაფიკიდან ჩანს, რომ  $B=f(H)$  მრუდი მაგნიტური ველის დაბაბულობის საშუალო მნიშვნელობების დროს იზრდება სწრაფად, ვიდრე მცირე და დიდი მნიშვნელობის შემთხვევაში. სწორედ ამ შუალედში აღწევს რკინის მაგნიტური შეღწევადობა თავის მაქსიმალურ სიდიდეს, რომელიც ტოლია ჰაერის მაგნიტური შეღწევადობისა. გრაფიკულ დამოკიდებულებას მაგნიტური ინდუქციისას მაგნიტური ველის დაბაბულობისაგან ეწოდება დამაგნიტების მრუდი. აღნიშნული მრუდის არახაზოვანი ხასიათი ფერომაგნიტური მასალებისათვის აღმოაჩინა პროფ. ა.გ. სტოლეტოვმა. ფერომაგნიტური მასალის თვისებების გამოკვლევაში დიდი წვლილი შეიტანეს, აგრეთვე, მეცნიერებმა – გ.კ. არკადიევმა, ნ.ს. აგულოვმა, ი.ტ. დორფმანმა, ს.ვ. კონსორციუმ და სხვებმა.

ნახ.4.30 მოცემულია სხვადასხვა ფერომაგნიტური ნივთიერების დამაგნიტების მრუდები



ნახ.4.30. სხვადა-სხვა ფერომაგნი-ტური ნივთიერების დამაგნიტების მრუდები

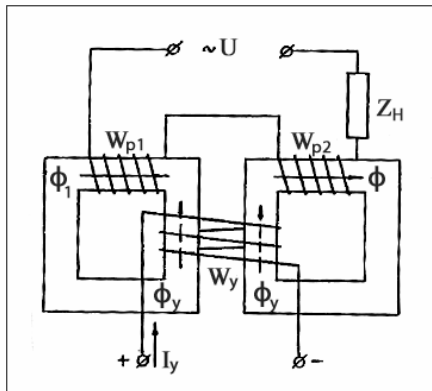
## 2. მაგნიტური გამაძლიერებლები

მაგნიტური გამაძლიერებელი MY წარმოადგენს ცვლადი დენის ფერომაგნიტურ მოწყობილობას, რომლის ინდუქციურობა იცვლება ფართო საზღვრებში დროს სელის მუდმივი დენით შემაგნიტების დროს. ამრიგად, შესასვლელი არის მუდმივი დენის ძაბვა, გამოსასვლელი – ცვლადი დენის ძაბვა, თუ გამოსასვლელზე გათვალისწინებული არ არის გამმართველები. მაგნიტური გამაძლიერებლები გამოირჩევიან მოწყობილობის სიმარტივით, გაძლიერების მნიშვნელოვანი კოეფიციენტით (ერთ კასკადში სიმძლავრის გაძლიერება აღწევს 1000-10000 და მეტს), მოძრავი ნაწილების უქონლობით, არამგრძნობიარობით დიდი გადატვირთვებისადმი, დარტყმებისადმი, რყევისადმი და მაღალი საექსპლოაციო საიმედობით. ელექტრონული გამაძლიერებლებისაგან განსხვავებით, მაგნიტური გამაძლიერებლები არ საჭიროებენ წინასწარ გახურებას და მზად არიან სამოქმედოდ, კვების წყაროს ჩართვისთანავე. მათ გააჩნიათ სტაბილური მახასიათებლები. მაგნიტური გამაძლიერებელი ერთნაირ რეაგირებას ახდენს შემაგნიტების დენის მიმართულებისაგან დამოუკიდებლად.

ჩართვლილი უპირატესობების გამო მაგნიტური გამაძლიერებლები ფართოდ გამოიყენება ავტომატური რეგულირების, მართვისა და კონტროლის მოწყობილობებში.

მაგნიტური გამაძლიერებლების არსებით ნაკლს წარმოადგენს დიდი ინერციულობა, განპირობებული მართვის გრაგნილების ინდუქციურობით.

უმარტივესი მაგნიტური გამაძლიერებელი შედგება ორი ფერომაგნიტური გულარისაგან, რომელზეც დახვეულია მუდმივი დენის მართვის გრაგნილი Wy. ორი მუშა, ცვლადი დენის გრაგნილი Wp დახვეულია თითოეული თავის გულარზე და შეერთებულია ერთმანეთთან თანმიმდევრობით ისე, რომ მათ მიერ შექმნილი  $\Phi_1$  და  $\Phi_2$  ნაკადიდან ერთ-ერთი ემთხვევა მართვის გრაგნილის ნაკადს  $\Phi_y$ , ხოლო მეორე მის საწინააღმდეგოდ არის მიმართული. ცვლადი დენის გრაგნილს ეწოდება მართვადი გრაგნილი. მართვის გრაგნილზე ორი ცვლადი მაგნიტური კელის მოქმედება ერთმანეთს აკომპენსირებს. არარევერსიული მაგნიტური გამაძლიერებლის სქემა ნაჩვენებია 4.31 ნახაზზე.



ნახ.4.31. უმარტივესი  
მაგნიტური გამაძლიუ-  
რებლის სქემა

მაგნიტური გამაძლიურებლის მოქმედების პრინციპი მდგომარეობს შემდეგში: როდესაც მართვის გრაგნილში მუდმივი დენი არ არსებობს, ე.ი.  $I_x=0$ , ნულის ტოლი იქნება, აგრეთვე, მუდმივი მაგნიტური ველის დაძაბულობაც  $H_x=0$ . მაშასადამე, გულარის შემაგნიტებას ადგილი არა აქვს. როდესაც  $H_x \neq 0$  მცირდება მაგნიტური შეღწევადობა -  $\mu_{\sim}$ , ეს კი იწვევს ინდუქციურობისა  $L$  და ინდუქციური წინაღობის  $X_L$  შემცირებას, რაც გამომდინარეობს დამოკიდებულებიდან

$$L = \frac{0.4\pi\omega^2 S \cdot 10^{-8}}{\ell} \mu_{\sim} = C_L \mu_{\sim}, \quad (4.38)$$

სადაც

$\omega$  არის მუშა გრაგნილის ხვეულების რიცხვი;

$S$  – გულარის განიგვევთის ფართი, სმ<sup>2</sup>;

$\ell$  – მაგნიტური სადენის საშუალო სიგრძე, სმ;

$L$  – ღროსელის ინდუქციურობა ( $W_p$  გრაგნილის);

$C_L = \frac{0.4\pi\omega^2 S \cdot 10^{-8}}{\ell} = \text{const}$  (მოცემული ღროსელისათვის).

ინდუქციურობის შემცირება იწვევს ცვლადი დედნის გაზრდას, რაც გამომდინარეობს შემდეგი გამოსახულებიდან

$$I_{\sim} = \frac{U_{\sim}}{Z_H} = \frac{U_{\sim}}{\sqrt{R_0^2 + (\omega_f L + r)^2}}, \quad (4.39)$$

სადაც  $U_{\sim}$  არის ძაბვა წრედში;

$R_0 - W_p$  გრაგნილისა და  $Z_H$  დატვირთვის აქტიური წინაღობა;

r- Z<sub>H</sub> დატგირთვის რეაქტიული წინაღობა;

$\omega_f = 2\pi f$  – წრედის წრიული სიხშირა;  $f$ -ტექნიკური სიხშირე.

ამრიგად, შემაგნიტების დენის შეცვლა  $L=I_y$  იწვევს  $\mu$  შეცვლას.  $\mu$  შეცვლას, როგორც ეს გამომდინარეობს (4.38) და (4.39) ფორმულებიდან მივყავართ დატგირთვის წრედის დენის  $I$  შეცვლამდე. მაგნიტური შეღწევადობა  $\mu$  იცვლება მნიშვნელოვნად შემაგნიტების დენის უმნიშვნელოდ ცვლილებისას. ამიტომ დენის მიხედვით შეგვიძლია მცირე შესასვლელი სიგნალებით ვრმართოთ მნიშვნელოვანი სიმძლავრეები დატგირთვის წრედში. მაშასადამე, აღნიშნული მოწყობილობა წარმოადგენს გამაძლიერებულს, რომელიც ხასიათდება გაძლიერების ორი კოეფიციენტით – სიმძლავრის მიხედვით  $K_p$  და ძაბვის მიხედვით  $K_u$ :

$$K_p = \frac{P_H - P_0}{P_y}; \quad (4.40)$$

$$K_u = \frac{U_H - U_0}{U_y}, \quad (4.41)$$

სადაც

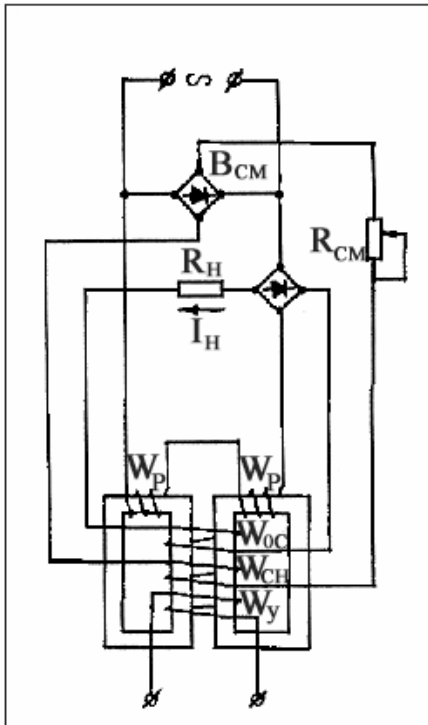
$P_y$  და  $U_y$  არის შესაბამისად სიმძლავრე და ძაბვა შესასვლელი სიგნალისა;

$P_H$  და  $U_H$  – სიმძლავრე და ძაბვა დატგირთვაზე;

$P_0$  და  $U_0$  – სიმძლავრე და ძაბვა, როდესაც ადგილი არა აქვს შემაგნიტებას  $I_y=0$ .

გაძლიერების კოეფიციენტის გაზრდის მიზნით გამოიყენება სპეციალური მაგნიტური შენადნობები (პერმალო რკინა-ნიკელის შენადნობი), მაღალი სიხშირის (400-2000 ჰც) ცვლადი დენი და უკუკავშირი. პერმალოისაგან დამზადებულ გულარს გააჩნია გაცილებით დიდი მაგნიტური შეღწევადობა, ვიდრე სატრანსფორმატორო ფოლადს. კვების მაღალი სიხშირეები იწვევენ გაძლიერების კოეფიციენტის პროპორციულ ზრდას და ინერციულობის შემცირებას. მაგნიტური გამაძლიერებლების სქემებში განსაკუთრებული მნიშვნელობა აქვს უკუკავშირს. ცვლადი დენის მნიშვნელობის ზრდა იწვევს უკუკავშირს გრაგნილის მიერ

შექმნილი დამამაგნიტურებელი ძალის გაზრდას. მაშასადამე, მცირდება დამაგნიტურების ძალა (ამპერ-ხვეულები) და მუდმივი დენის მართვის გრაგნილების ზომები. ნახ.4.32 წარმოდგენილია მაგნიტური გამაძლიერებლის სქემა დადებითი უკუკავშირით, რომლის განხორციელებაც ადგილია, თუ დატვირთვის დენი  $I_H$  მივაწოდებთ უკუკავშირის დადებით გრაგნილში  $W_{oc}$ , რომელიც ისევეა შეერთებული, როგორც მართვის გრაგნილი  $W_y$ .

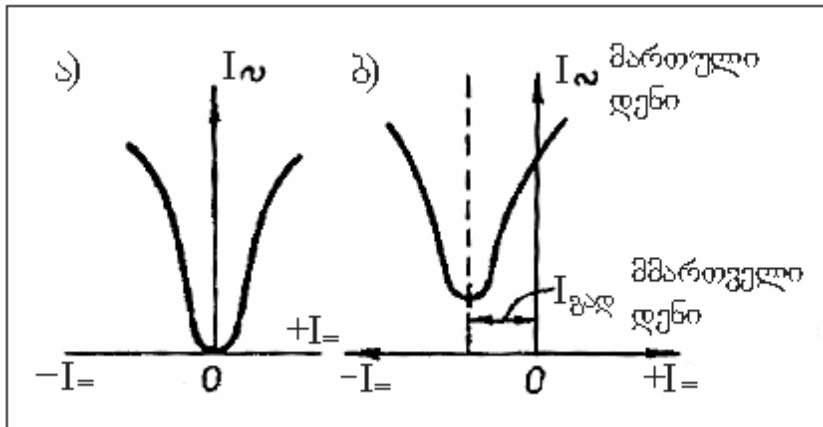


ნახ.4.32. მაგნიტური გამაძლიერებლის სქემა, უკუკავშირის და მუშა წერტილის გადასაადგილებელი გრაგნილებით

საწყისი შემაგნიტების ან გადაადგილებისათვის, რომელიც საშუალებას იძლევა გამაძლიერებლის მახასიათებელზე გადავაადგილოთ მუშა წერტილი, როდესაც  $I_y=0$ , სქემაში გათვალისწინებულია მყარი გამმართველი  $B_{CM}$  (კუპროჭების ან სელექტრონის), რომლისგანაც ცვლადი რეზისტორის  $R_{CM}$  გავლით იკვებება გადაადგილების გრაგნილი  $W_{CM}$ , რომელიც ხშირად გამოიყენება საწყისი მუშა წერტილის გადასაადგილებლად ხაზოვანი უბნის შუაში.

მაგნიტური გამაძლიერებლის ძირითადი მახასიათებელია მართვად გრაგნილში დენის  $I_{\perp}$  დამოკიდებულება დენისაგან  $I_{\parallel}$  მართვის გრაგნილში.

ნახ.4.33 ნაჩვენებია მაგნიტური გამაძლიერებლის მახასიათებელი.



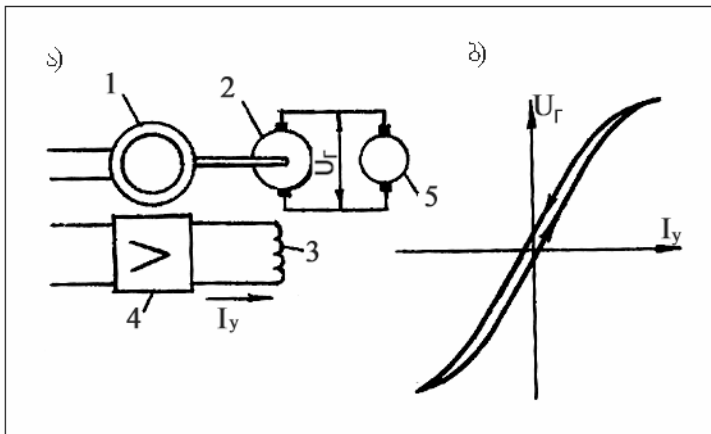
ნახ.4.33. მაგნიტური გამაძლიერებლის მახასიათებელი: а) გადადგილების დენის გარეშე; б) გადაადგილების დენის შემთხვევაში

## §6. ელექტრომანქანური ბამაძლიერებლები

ელექტრონული და მაგნიტური გამაძლიერებლებისაგან განსხვავებით ელექტრომანქანურ გამაძლიერებლებს ემუ გააჩნიათ მბრუნავი ან მოძრავი ნაწილები. ელექტრომანქანური გამაძლიერებელი უმარტივესი სახით წარმოადგენს მუდმივი დენის გენერატორს, რომელიც ბრუნავს მუდმივი სიჩქარით დამხმარე ძრავას საშუალებით (ამ მიზნით წვეულებრივად გამოიყენება ასინქრონული მოკლედ ჩართული ძრავა). ნახაზე 4.34,ა წარმოდგენილია უმარტივესი ელექტრომანქანური გამაძლიერებლის სქემა, ხოლო 4.34,ბ-ზე გამოსავლელი ძაბვის დამოკიდებულება მართვის დენისაგან. სქემაზე 1 – არის მექანიკური ენერგიის დამხმარე წყარო; 2 – გენერატორის ღუზა; 3 – გენერატორის მართვის გრაგნილს; 4 – გამაძლიერებელი, რომელიც კვებავს მართვის გრაგნილს;

5 – ელექტრომანქანური გამაძლიერებლის დატვირთვა დამოუკიდებელი აგზნებით (შემსრულებელი ძრავას ღუზა).

რადგანაც გენერატორის გამოსასვლელი ძაბვა პროპორციულია აგზნების ნაკადისა, ამიტომ აგზნების გრაფიკილში (მართვის გრაფიკილში – 3) დენის სიდიდისა და მიმართულების ცვლილებით შესაძლებელია გენერატორის გამოსასვლელი ძაბვის მართვა. გაძლიერების კოეფიციენტი სიმძლავრის მიხედვით შეადგენს 10-100.

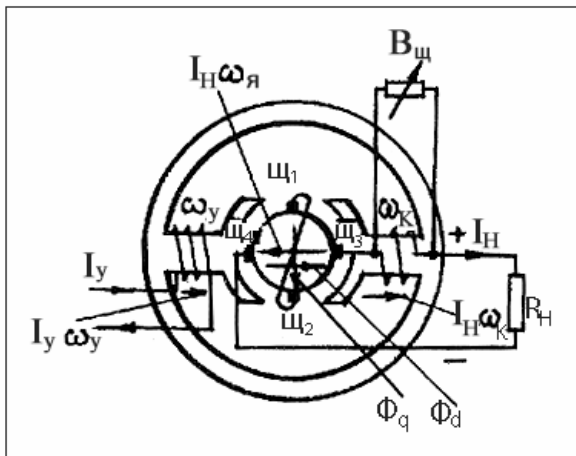


ნახ.4.34. უმარტივესი ელექტრომანქანური გამაძლიერებელი:  
ა) სქემა; ბ) მახასიათებელი

აღწერილი უმარტივესი ელექტრომანქანური გამაძლიერებლის გარდა, თანამედროვე ტექნიკაში გამოიყენება უფრო სრულყოფილი აგრეგატები, რომლებიც აგზნების სისტემის მიხედვით იყოფიან გრძივი და განივი ველის ელექტრომანქანურ გამაძლიერებლებად (ЭМУ). გრძივი ველის ЭМУ, აგზნების ძირითადი მუშა ნაკადი მოქმედებს მანქანის გრძივი ღერძის მიმართულებით პოლუსების გასწვრივ, ხოლო განივი ველის ЭМУ – განივი ღერძის მიმართულებით. პრაქტიკაში ფართო გამოყენება პოვა ელექტრომანქანიტურმა გამაძლიერებლებმა განივი ველით, რომელთაც ამპილდინი ეწოდებათ. ამპილდინის აგზნების წრედის მიერ გამოყენებული სიმძლავრე შეადგენს მცირე სიდიდეს, გენერატორის გამოსასვლელზე განვითარებულ სიმძლავრესთან შედარებით. მაგალითად, ელექტრომანქანურ გამაძლიერებელს ЭМУ-25, რომელსაც უშევებს წარმოება, გააჩნია გამოსასვლელი სიმ-

ძლავრე 2,5კვტ., ხოლო შესასვლელი სიმძლავრე ორი გრაგნილის შემთხვევაში 0,5კვტ.; ტმუ-110 მართვის ორი გრაგნილის შემთხვევაში ავითარებს 11კვტ გამოსასვლელ სიმძლავრეს, 0,5კვტ შესასვლელი სიმძლავრის დროს. გაძლიერების კოეფიციენტის სიდიდე ცვალებადობს 1000-100000-ის საზღვრებში.

4.35 ნახაზზე ნაჩვენებია განივველიანი ელექტრომანქანური გამაძლიერებლის სრული სქემა. ნახაზზე  $\omega_y$  – წარმოადგენს მართვის გრაგნილს;  $\omega_k$  – საკომპენსაციო გრაგნილს;  $R_{\text{ш}}$  – რეგულირებად წინადობას, ჩართულს საკომპენსაციო გრაგნილის პარალელურად, კომპენსაციის ხარისხის შესარჩევად;  $\text{ш}_1$  და  $\text{ш}_2$  – განივ მუსების;  $\text{ш}_3$  და  $\text{ш}_4$  – გრძივ მუსების;  $I_y$  – მართვის დენტი;  $E_q$  – განივი წრედის ე.მ.დ.;  $E_d$  – გრძივი წრედის ე.მ.დ.

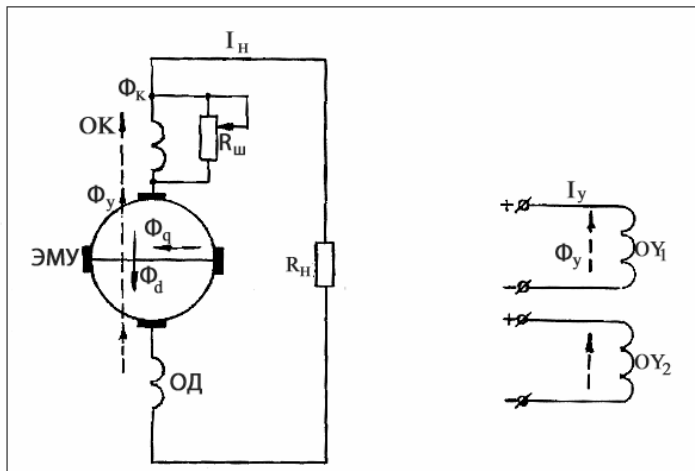


ნახ.4.35. ელექტრომანქანური გამაძლიერებელი განივი კელით (ამძილდინი)

$I_y \omega_y$  მაგნიტური მამოძრავებელი ძალის მოქმედების შედეგად მანქანის გრძივი დერძის მიმართულებით წარმოიქმნება ნაკადი. დუზის განივ წრედში ამ ნაკადის მოქმედებით წარმოიშობა განივი წრედის ე.მ.დ.  $E_q$ . მუსების განივი წყვილი  $\text{ш}_1$  და  $\text{ш}_2$  შეკრულია მოკლედ, რის გამოც  $E_q$ -ის გავლენით მანქანის განივ წრედში წარმოიქმნება დიდი დენტი  $I_q$ , რომელიც დუზის სადენებში გადინებისას აღძრავს განივ მაგნიტურ ნაკადს  $\Phi_q$ . დუზის გრძივ წრედში აღიძვრება გრძივი

წრედის ქ.მ.ძ.  $E_d$ , რომელიც მოიხსნება გრძივი წრედის მუსებიდან შვ და შკ დატვირთვაზე. გაძლიერების ეფექტი მდგომარეობს მასში, რომ განივი ნაკადი  $\Phi_q$  გაცილებით დიდია, ვიდრე მისი გამომწვევი საწყისი გრძივი ნაკადი  $\Phi_d$ . სქემიდან ჩანს, რომ დუზის მაგნიტური მამოძრავებელი ძალა გრძივ წრედში, რომელიც იქმნება დატვირთვის დენით, მოქმედებს მართვის მაგნიტური მ.ძ.  $I_y \omega_y$  საწინააღმდეგოდ და იწვევს მანქანის განმაგნიტებას. ამიტომ განიველიან ელექტრომანქანურ გამაძლიერებლებში, ძირითად პოლუსებზე, მართვის გრაგნილების გარდა, გათვალისწინებულია საკომპენსაციო გრაგნილი მსხვილი მავთულისაგან, რომელიც ჩართულია დატვირთვის წრედში მიმდევრობით, ისეთნაირად, რომ კომპენსაცია გაუწიოს დატვირთვის დენის განმაგნიტებელ მოქმედებას.

ნახ.4.36 წარმოდგენილია ამპილდინის პრინციპული სქემა. სქემაზე  $OY_1$ ,  $OY_2$ ,  $OK$ ,  $OD$  აღნიშნულია შესაბამისად მართვის, საკომპენსაციო და დამატებითი პოლუსების გრაგნილები. დამატებითი პოლუსები განლაგებულია გრძივ დერძზე და განკუთვნილია გრძივი მუსების (რომელთა გაფლითაც მიედინება დატვირთვის დენი) კომუტაციის პირობების გასაუმჯობესებლად. დამატებითი პოლუსების გრაგნილი ჩართულია საკომპენსაციო გრაგნილთან მიმდევრობით.



ნახ.4.36. ამპილდინის პრინციპული სქემა

ამპილდინი წარმოადგენს ორსაფეხურიან გამაძლიერებელს. გაძლიერების პირველი საფეხური არის მართვის წრედი – ღუზის მოკლედ ჩართული წრედი. გაძლიერების მეორე საფეხური – ღუზის მოკლედ ჩართული წრედი – დატვირთვის წრედი.

დენის გაძლიერების პირველი საფეხურის კოეფიციენტი

$$K_1 = \frac{I_q}{I_y} = 20 \div 50; \quad (4.42)$$

გაძლიერების მეორე საფეხურის კოეფიციენტი

$$K_2 = \frac{I_d}{I_q} = 20 \div 50; \quad (4.43)$$

დენის მიხედვით გაძლიერების საერთო კოეფიციენტი

$$K = K_1 \cdot K_2 = \frac{I_q}{I_y} \cdot \frac{I_d}{I_q} = \frac{I_d}{I_y} = 400 \div 2500. \quad (4.44)$$

გაძლიერების კოეფიციენტი იზრდება აგზნების დენის  $I_y$  სიდიდის შემცირებით, ღუზის  $I_d$  დენთან შედარებით.

სიმძლავრის გაძლიერების საერთო კოეფიციენტი

$$K_p = K_{p1} \cdot K_{p2} = \frac{P_q}{P_y} \cdot \frac{P_d}{P_q} = \frac{P_d}{P_y}, \quad (4.45)$$

სადაც  $P_y = I_y \cdot U$  არის სიმძლავრე მართვის წრედში;

$$P_q = I_q \cdot E_q - \text{სიმძლავრე განივი მუსების წრედში};$$

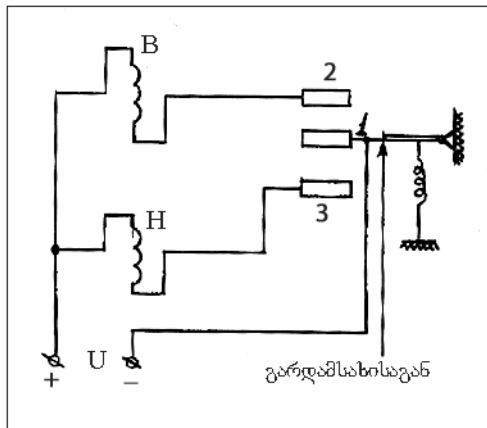
$$P_d = I_d \cdot E_d - \text{სიმძლავრე გრძივი მუსების წრედში}.$$

საჭიროა აღინიშნოს, რომ მაგნიტური და ნახევარგამტარული გამაძლიერებლები, დიდი საიმედობის გამო, ბოლო დროს, ზღუდავენ ელექტრომანქანური გამაძლიერებლების გამოყენებას ავტომატიზებული ელექტროამძრავების სისტემებში. მაგრამ, ავტომატიზებული ელექტროამძრავის მძლავრ სისტემებში და იქ, სადაც საჭიროა რევერსირება და გადატვირთვის დიდი უნარიანობა, ელექტრომანქანური გამაძლიერებლების უპირატესობა უდავოა.

წარმოება უშვებს ელექტრომანქანურ გამაძლიერებლებს 100 კვტ-მდე სიმძლავრით.

## §7. ელექტრული კონტაქტები და რელე, როგორც ბამაპლიერებელი

ელექტრული კონტაქტები შეიძლება განვიხილოთ, როგორც გამაძლიერებელი (ნახ.4.37). მოძრავი კონტაქტის გადასაადგილებლად საჭიროა მცირე ძალვა. კონტაქტები ჩართავენ ელექტროძრავს, რომელსაც შეუძლია განავითაროს მნიშვნელოვანი ძალვა.



ნახ.4.37. ელექტრული კონტაქტები, როგორც ბამაპლიერებელი

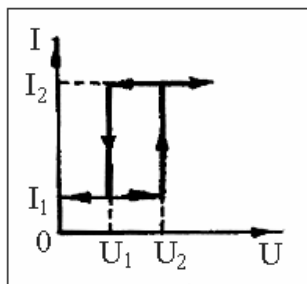
როდესაც მოძრავი კონტაქტი იმყოფება ნეიტრალურ მდგომარეობაში, B და H კონტაქტორების კოჭები გაუდენურებულია და ძრავა გამორთულია. თუ მოძრავი კონტაქტი - 1, გადამწოდისაგან მიღებული იმპულსის მოქმედებით შეკერთდება კონტაქტს - 2, კოჭა B (წინ) მიიღებს კვებას და თავისი კონტაქტებით ჩართავს ელექტროძრავს, რომელიც გადაადგილებს მარეგულირებელ ორგანოს. 1-3 კონტაქტების შეკვერცვის შემთხვევაში ჩაირთვება H (უკან) კონტაქტორის კოჭას წრედი; ელექტროძრავა ჩაირთვება უკუსვლაზე და მარეგულირებელი ორგანო გადაადგილდება საწინააღმდეგო მიმართულებით.

ელექტრომაგნიტური რელე წარმოადგენს უმარტივეს გამაძლიერებელს. რელეს ამოქმედებისათვის საჭიროა მცირე სიდიდის დენი (ან ძაბვა), ხოლო რელეს კონტაქტები ჩართავენ გაცილებით დიდი სიდიდის დენს. მაგალითად, რელე MKY-48 კოჭათი 220 ვ ცვლად დენზე საჭიროებს ამოქმედებისათვის მუშა დენს სიდიდით 0,012 ამპ. იმავე ძაბვაზე კონ-

ტაქტების მიერ შეკრული დენის სიდიდე აღწევს 5 ამპ. მაშა-  
სადამე, გაძლიერების კოეფიციენტი

$$K = \frac{5}{0.012} \approx 416.$$

ნახაზზე 4.38 ნაჩვენებია ელექტრომაგნიტური რელეს  
მახასიათებელი. რელეს განმასხვავებელ თავისებურებას  
წარმოადგენს მისი მახასიათებლის წყვეტადობა. მართლაც,  
თუ ძაბვა რელეს კოჭაზე იზრდება ნულიდან გარკვეულ  
სიდიდემდე წრედში, რომელშიც რელეს კონტაქტებია ჩარ-  
თული, დენის სიდიდე არ შეიცვლება. როდესაც ძაბვა  
კოჭაზე მიაღწევს რელეს ამოქმედებისათვის საჭირო  
სიდიდეს, რელეს გულარი შეიზრდება და შეკრავს კონ-  
ტაქტებს. ამ დროს კონტაქტების წრედში დენი მკვეთრად  
გაიზრდება. მაშასადამე, როდესაც  $U=U_2$  შესრულდება ნახ-  
ტომი და გამოსასვლელი სიდიდე შეიცვლება  $I_1$ -დან  $I_2$ -მდე.  
შესასვლელი  $U$  სიდიდის შემდგომი ზრდა, გამოსასვლელი  $I$   
სიდიდის ცვლილებას არ გამოიწვევს. შესასვლელი ზემო-  
ქმედების შემცირებისას  $U_1$  მნიშვნელობამდე, გამოსასვლელი  
სიდიდე რჩება შეუცვლელი. როდესაც  $U$  გაუზოლდება  $U_1$ ,  
კვლავ სრულდება ნახტომი – გამოსასვლელი სიდიდე კვლავ  
ეცემა  $I_1$ -მდე და შემდეგში  $U$ -ს შემცირების მიუხედავად არ  
შეიცვლება.



ნახ.4.38. რელეს, როგორც გამაძლიერებლის მახასიათებელი

## **§8. არაელექტრული მოქმედების გამაძლიერებლები**

ავტომატური რეგულირების არაელექტრულ სისტემებში გამოყენებულია მექანიკური, ჰიდროვლიკური და პნევმატური გამაძლიერებლები. სამშენებლო წარმოებაში კი ძირითადად პნევმატური და ჰიდროვლიკური გამაძლიერებლები გამოიყენება, შესაბამისად პნევმო და ჰიდროამძრავებთან.

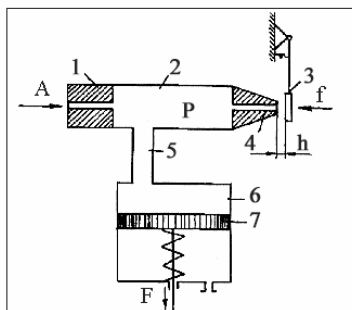
### **1. პნევმატური გამაძლიერებლები**

პნევმატური გამაძლიერებელი წარმოადგენს მექანიზმს, რომელშიაც ენერგიის საკმაოდ მძლავრი ნაკადის (გათვალისწინებული მარეგულირებელი ორგანოს მოქმედებაში მოსაყვანად) მართვა წარმოებს მართვის ელემენტში მიწოდებული ენერგიის მცირე ნაკადით.

ენერგიის წყაროდ, რეგულატორების მოქმედებაში მოსაყვანად გამოიყენება კუმშული ჰაერი, წნევით  $0,2\text{-}1 \text{ კგ/სმ}^2$  ( $1,96\cdot 10^4 \text{ - } 9,8\cdot 10^4 \text{ ნ/მ}^2$ ).

პნევმატური გამაძლიერებლების ძირითად ელემენტს წარმოადგენს “საქმენ-საფარი” მოწყობილობა, რომლის მუშაობის სქემა ნაჩვენებია 4.39 ნახაზზე. სქემაზე 1 – არის მუდმივი კვეთის დროსელი (დროსელი ანუ ჰიდროვლიკური წინააღმდეგობა ეწოდება მოწყობილობას, რომელიც მიღსაღენის სისტემაში ჩართვის შემთხვევაში ცვლის მიღსაღენის ჰაერის გამტარ კვეთს და შესაბამისად, – ხარჯსა და წნევას. ჩვეულებრივად დროსელი წარმოადგენს მცირე სიგრძის მილაკს მცირე დიამეტრით – 0,2 მმ-დან); 2 – კამერა, რომელ-შიც მიეწოდება კუმშული ჰაერი  $P_1$  წნევით. კუმშული ჰაერის წნევა კამერაში  $P$  არის საკომანდო; 5 – მილაკის საშუალებით საკომანდო წნევა მიეწოდება შემსრულებელი მექანიზმის კამერაში – 6. კამერას – 2 აქვს კიდევ ერთი ხვრეტი – საქმენი 4, საიდანაც შეკუმშული ჰაერი გაედინება ატმოსფეროში; 3 – არის საფარი (სწორკუთხა ფორმის ფოლადის ფირფიტა), რომელსაც შეუძლია მიუახლოვდეს ან დაშორდეს საქმენს – 4. საქმენის გამტარი კვეთი რამდენიმეჯერ აღმატება დროსელის კვეთს. მაგალითად, თუ დროსელის დიამეტრი ტოლია 0,2 მმ-ის, მაშინ საქმენის დიამეტრი მიიღება 0,5 მმ. ცხადით, რომ საქმენი – 4 მუდმივი კვეთის შემთხვევაში ჰაერის ხარჯის სიდიდე დამოკიდებულია საფარი –

3 მდებარეობაზე. რაც უფრო ახლოსაა განლაგებული საფარი საქმენთან, მით უფრო ნაკლები იქნება ჰაერის ხარჯი “საქმენ-საფარის” გავლით. ამრიგად, საქმენისა და საფარის ერთობლიობა შეიძლება განვიხილოთ, როგორც ცვლადი კვეთის დროსელი. მაშასადამე, ცვლადი დროსელის საშუალებით შეიძლება ვარეგულიროთ წნევის სიდიდე 2 – კამერაში. თუ საფარი მთლიანად დაფარავს საქმენს, მაშინ საკომანდო წნევა P გაუტოლდება მკვებავი წნევის  $P_1$  სიდიდეს. რაც მეტად მოცილდება საფარი საქმენს, მით უფრო ნაკლები იქნება საკომანდო წნევა P და ბოლოს, შესაძლებელია იგი ატმოსფერულ წნევას გაუტოლდეს.



ნახ.4.39. დროსელის  
გარდამქმნელი

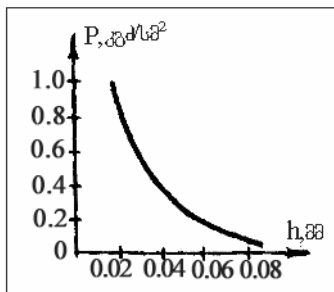
რადგან საფარის გადასაადგილებლად საჭირო ძალვის სიდიდე  $f$ , მნიშვნელოვნად ნაკლებია დგუშის ჭოკზე (7) განვითარებულ  $F$  ძალვის სიდიდეზე, განხილული მოწყობილობა წარმოადგენს გამაძლიერებელს.

ნახაზზე 4.40 წარმოდგენილია გრაფიკული დამოკიდებულება საკომანდო P წნევასა და საფარის h მდებარეობას შორის. როგორც გრაფიკიდან ჩანს, საფარის გადაადგილება 0,05 მმ იწვევს საკომანდო წნევის შეცვლას 80%-ით. მაშასადამე, პარამეტრის უმნიშვნელო ცვლილება იწვევს საფარის ისეთ გადაადგილებებს, რომელთა დროსაც საქმენი ან დახურულია, ან ღიაა, ე.ი. ჰაერის წნევა შემსრულებელ მექანიზმზე უტოლდება მკვებავ  $P_1$  წნევას, ან ეცემა ატმოსფერულ წნევამდე. შეალები მნიშვნელობების მიუღებლად, ცხადია, რომ ასეთი რეგულატორი თვისი მოქმედებით წარმოადგენს ორპოზიციურს.

“საქმენ-საფარი” გარდამქმნელის მახასიათებლის გასაუმჯობესებლად გამოიყენება გარდამქმნელი ძალოვანი უპუ-

კავშირით, რომლის მოქმედება აგებულია გაზომვის კომპენსაციურ პრინციპზე.

საფარის კონსტრუქციად გამოიყენება, აგრეთვე, მაღროსელირებელი ბურთული, ნემსი ან მკეთარა.



ნახ.4.40. გრაფიკული დამოკიდებულება საკომანდო წნევასა და საფარის მდებარეობას შორის

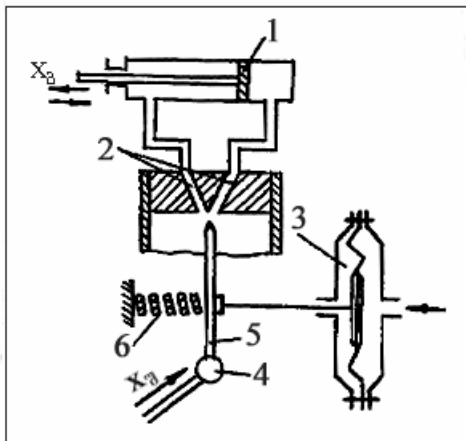
## 2. ჰიდრავლიკური გამაძლიერებლები

ჰიდრავლიკური გამაძლიერებლები წარმოადგენს მოწყობილობას, მართვის ჰიდრავლიკურ წრედში სიმძლავრის გასაძლიერებლად, მუშა სითხის დახმარებით, რომელიც მიეწოდება გარეშე წყაროდან, წნევის ქვეშ. მუშა სითხის (ტრანსფორმატორული ზეთი) წნევა  $P_0 = 6 \div 8 \text{გგ/სმ}^2 (5.9 \div 7.8 \text{ბარი})$ .

ჰიდრავლიკური გამაძლიერებლები იყოფიან ჭავლურ, მკეთარა და დროსელურად.

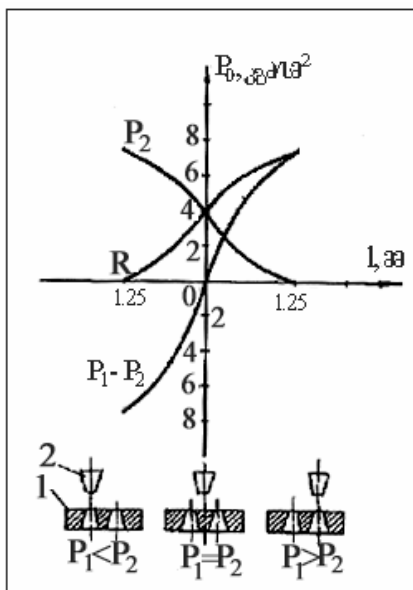
ჭავლური გამაძლიერებლის მოქმედების პრინციპი მდგომარეობს შემდეგში (ნახ.4.41): ჭავლური მილაკის (5) სატუჩედან (სატუჩეს დიამეტრი უდრის  $1.8 \div 2 \text{მმ-ს}$ ) გამოდენილი სითხის ჭავლის სიჩქარითი დაწნევა ჭავლის საშუალო მდგომარეობიდან გადახრის შედეგად იწვევს წნევის ცვალებადობას გამაძლიერებლის საქმენებში (2), რის შედეგადაც ძალოვან ცილინდრში იქმნება წნევათა სხვაობა  $P_1-P_2$  და დგუში იწყებს გადაგილებას. როდესაც ჭავლური მილაკი განლაგებულია საშუალო მდგომარეობაში, მიმდები საქმენების დერძებიდან თანაბარ მანძილზე ( $1.25 \text{ მმ-ზე}$ ), მაშინ ცილინდრში დგუშის ორივე შეარეს სითხის წნევა თანაბარია,  $P_1=P_2$ . ამ შემთხვევაში  $P_1-P_2=0$  და დგუში (1) იქნება გაჩერებული. დგუშის გადაგილების მიმართულება დამოკიდებულია ჭავლური მილაკის საქმენის გადახრის მიმართულებაზე. ამასთან, სითხე მეორე საქმენიდან ბრუნდება უკანვე გამაძლიერებლის კორპუსში. ამრიგად, ჭავლური გამაძლიე-

რებლის მუშაობა ემყარება სითხის ჭავლის კინეტიკური ენერგიის წნევის პოტენციალურ ენერგიად გარდაქმნას.



ნახ.4.41. ჭავლური პილრავ-ლიკური გამაძლიერებლის მოქმედების სქემა. 1 – აღმას-რულებელი მექანიზმის დგუში; 2 – მიმღები საქშე-ნები; 3 – მგრძნობიარე ელე-მენტი, რომელიც გადასცემს ძალვას ჭავლურ მილაკს; 4 – პოჭოჭიერი; 5 – ჭავლური მი-ლაკი; 6 – ზამბარა, რომელიც აგრეთვე გადასცემს ძალვას ჭავლურ მილაკს

ნახ.4.42 ნაჩვენებია თითოეულ საქშეში  $P_1$  და  $P_2$  წნევების სიდიდეების ცვალებადობის გრაფიკი, ჭავლური მილაკის გადაადგილებისას ერთი განაპირო მდებარეობიდან მეორეში; გარდა ამისა, წნევათა სხვაობის  $P_1-P_2$  დამოკიდებულება ჭავ-ლური მილაკის მდებარეობაზე.

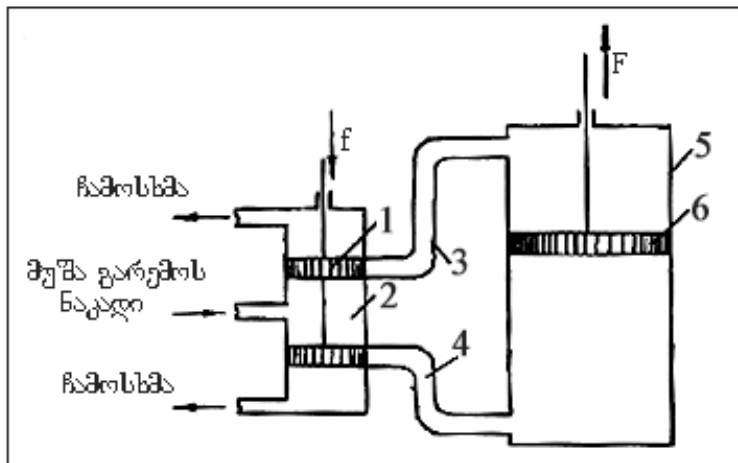


ნახ.4.42. წნევის ცვალებადობის გრაფიკი ჭავლური მილაკის გადაადგი-ლებისას

ჭავლური გამაძლიერებლის გაძლიერების კოეფიციენტი აღწევს რამდენიმე ათეულ ათასს. ეს აიხსნება იმ გარემოებით, რომ ჭავლური მილაკის საქშენის გადაადგილებას, ერთი განაპირობებიდან მეორეში სჭირდება ძალვათა სხვაობა – რამდენიმე ათეული გრამი; აღმასრულებელი მექანიზმის დგუშზე განვითარებული ძალვა კი იცვლება ასეული კილოგრამებით.

წარმოება სერიულად უშებს ერთკასკადიან და ორკასკადიან ჭავლურ გამაძლიერებლებს.

მკვეთარიანი გამაძლიერებელში (ნახ.4.43) ამთვისებელი ელემენტის სუსტი იმპულსები გადაადგილებენ დგუშს (1) და დიდი წნევის ქვეშ ( $2 \div 6$  კგ/სმ $^2$ ) (3 და 4) მილსადენებით მიმართავენ მინერალურ ზეთს აღმასრულებელი ძრავას ცილინდრში (5), რომლის დგუშიც (6) შესაბამისად გადაადგილდება. ვინაიდან აღმასრულებელი ძრავას დგუშის ჭოკზე განვითარებული F ძალვა მნიშვნელოვნად აღმატება მკვეთარას გადაადგილებისათვის აუცილებელ f ძალვას, განხილული მოწყობილობა წარმოადგენს გამაძლიერებელს.



ნახ.4.43. მკვეთარიანი ჰიდრაულიკური გამაძლიერებლის მოქმედების სქემა

დროსელური ჰიდრაულიკური გამაძლიერებლის სქემა ანალოგიურია ზემოთ აღწერილი “საქშენი-საფარი” გარდამტნელისა.

## აღმასრულებელი მექანიზმები

### §1. აღმასრულებელი მექანიზმების პლასიფიკაცია და მოქმედების პრინციპი

მართვისა და რეგულირების აღმასრულებელი მექანიზმების დანიშნულებაა მოახდინონ ზემოქმედება მუშა მანქანებსა და ტექნოლოგიური პროცესის მსვლელობაზე. ისინი წარმოადგენენ მარეგულირებელი სისტემის ბოლო ელემენტებს, რომლებიც უშუალოდ ობიექტზე ახდენენ მარეგულირებელ ზემოქმედებას. აღმასრულებელი მექანიზმების მოქმედებაში მოსაყვანად გამოიყენება მექანიკური, ჰიდრავლიკური, პენევმატური ან ელექტრული ენერგიების გარეშე წყაროები. ამიტომ, აღმასრულებელი მექანიზმები პირობითად იყოფა სამჯგუფად – ელექტრულ, პენევმატურ და ჰიდრავლიკურად. ორი უკანასკნელი ტიპი ხშირად გამოიყენება მშენებლობაში. ისინი ხასიათდებიან კონსტრუქციის სიმარტივით, მნიშვნელოვანი გამოსასვლელი მომენტებით, საიმედობით და მარეგულირებელი ორგანოს გადაადგილების სიჩქარის ცვალებადობის შესაძლებლობით. ავტომატური რეგულირების სისტემებში გამოიყენებული აღმასრულებელი მექანიზმები ხშირად იწოდებიან სერვომექანიზმებად (ინგლისური სიტყვიდან serve – სამსახურის გაწევა, აღმასრულება).

აღმასრულებელ მექანიზმში, ისე, როგორც ავტომატიკის სხვა მექანიზმებში არჩევენ შესასვლელ და გამოსასვლელ სიდიდეებს. შესასვლელი, ე.ი. ავტომატური წრედის წინამდებარე ელემენტებიდან მიღებული ზემოქმედება, შეიძლება იყოს მექანიკური, პენევმატური, ჰიდრავლიკური ან ელექტრული.

აღმასრულებელი მექანიზმის გამოსასვლელი, ე.ი. ზემოქმედება, რომელსაც აღმასრულებელი მექანიზმი ახდენს სარეგულირებელ ობიექტზე ან წრედზე, აგრეთვე, შეიძლება იყოს მექანიკური, პენევმოჰიდრავლიკური ან ელექტრული.

მოძრაობის სიჩქარის მიხედვით აღმასრულებელი მექანიზმები იყოფიან: მოძრაობის მუდმივი სიჩქარითა და გადამწოდებან მიღებული სიგნალის სიდიდის პროპორციული

ცვლადი სიჩქარით. პირველ ჯგუფს მიეკუთვნებიან ელექტრული აღმასრულებელი მექანიზმები, ხოლო მეორე ჯგუფს – პიდრავლიკური და პნევმატური სერვოძრავები.

ელექტრული მოქმედების აღმასრულებელი მექანიზმები გვხვდება ორი ძირითადი ტიპის: ელექტრომაგნიტური სოლენიდური ამძრავით (სოლენიდური სერვოამძრავები) და ელექტროძრავიანი ამძრავით (ელექტრომანქანური სერვოძრავები). სერვოძრავები არიან ნარჩარი და რელეური მოქმედების. მართვის, რეგულირებისა და კონტროლის სქემებში ფართოდ გამოიყენება ელექტრული აღმასრულებელი მოწყობილობები ელექტროძრავიანი ამძრავით, რომლებიც თავის მხრივ იყოფიან აღმასრულებელ მოწყობილობებად, ელექტროძრავების კონტაქტური და უკონტაქტო მართვით.

ელექტრული კონტაქტური აღმასრულებელი მოწყობილობების ძრავების ჩართვა წარმოებს რელესა და კონტაქტორების კონტაქტების დახმარებით.

ელექტრული კონტაქტური აღმასრულებელი მოწყობილობები იყოფიან ერთბრუნიან, მრავალბრუნიან და მუდმივად მბრუნვად. ერთბრუნიან აღმასრულებელ მექანიზმებში გამოსასვლელი ლილვის მობრუნების მუშა კუთხე არ აღემატება  $360^{\circ}$ . ეს მექანიზმები გამოიყენება საფარის, ონკანისა და სხვა მარეგულირებელი ორგანოების მოძრაობაში მოსაფვანად. მრავალბრუნიან ელექტრულ აღმასრულებელ მექანიზმებში გამოსასვლელი ლილვის ბრუნვათა რიცხვი შეადგენს 10-160. ეს მოწყობილობები გამოიყენება ვენტილების, საკვალითების და სხვა ჩამკეტი მარეგულირებელი ორგანოების სამართავად. მუდმივად მბრუნავი ელექტრული კონტაქტური აღმასრულებელი მექანიზმები კი – იმ შემთხვევაში, როდესაც აღმასრულებელი ორგანოს მოძრაობა განუსაზღვრავის.

ელექტრული უკონტაქტო აღმასრულებელი მოწყობილობების მართვა წარმოებს ხელსაწყოებით ელექტრული კონტაქტების შერთვის გარეშე. აღმასრულებელი მექანიზმების ძირითადი კვანძები და ელექტროძრავები იგივეა, რაც კონტაქტურ აღმასრულებელ მოწყობილობებში.

აღმასრულებელი მოწყობილობების შერჩევა წარმოებს შედეგი გარემოებების გათვალისწინებით: გამოსაყენებელი დამხმარე ენერგიის სახე; საჭირო გამოსასვლელი სიგნალის სასიათი და სიდიდე; დასაშვები ინერციულობა; სასურველი

გაბარიტები და წონა; მუშა მახასიათებლების დამოკიდებულება გარეშე გავლენისაგან; სიმძლავრის გაძლიერების პოეფიციენტი; საიმედობა.

აღმასრულებელი მექანიზმის სიმძლავრე ცვალებადობს რამდენიმე ვატიდან ათეულ კილოვატამდე.

## §2. ელექტრული აღმასრულებელი მექანიზმები

### 1. ავტომატურ მოწყობილობათა ელექტრული ძრავები

ავტომატურ მოწყობილობათა ელექტრული ძრავები მზადდება 0,01-0,1 ვტ-დან 500-600 ვატამდე სიმძლავრით, ბრუნვის სიჩქარით წუთში, ბრუნვის ნაწილიდან 100000 ბრ/წთ-ში და სიხშირით 50-დან 2000 ჰერცამდე.

ავტომატიკის სისტემებში ელექტროძრავები მუშაობენ, როგორც აღმასრულებელ, ასევე დამხმარე ორგანოებად.

ავტომატურ მოწყობილობათა ელექტროძრავები მოქმედების პრინციპის მიხედვით იყოფიან სამ ჯგუფად: 1) ასინ-ქრონული, 2) სინქრონული და 3) კოლექტორული.

ასინქრონული და სინქრონული ძრავები წარმოადგენენ ცვლადი დენის ძრავებს; კოლექტორული ძრავები – მუდმივი დენის, ცვლადი დენის და უნივერსალურ ძრავებს (შეუძლიათ მუშაობა როგორც მუდმივ, ასევე ცვლად დენზე).

ასინქრონული ძრავები გამოიყენება ამძრავებში, სადაც საჭიროა სიჩქარის რეგულირება და, აგრეთვე, დასაშვებია სიჩქარის რხევაც.

სინქრონული ძრავები გამოიყენება იქ, სადაც აუცილებელია ბრუნვის სიჩქარის მუდმივად შენარჩუნება.

მუდმივი დენის კოლექტორული ძრავები შეიძლება გამოიყენოთ იმ შემთხვევებში, როდესაც საჭიროა სიჩქარის რეგულირება და, აგრეთვე, იმ დროსაც, როცა აუცილებელია სიჩქარის მუდმივობა. ცვლადი დენის კოლექტორული ძრავების გამოყენება კი შესაძლებელია, როდესაც ქსელის სიხშირე  $f=50$  ჰერცია და საჭიროა განვავითაროთ 3000 ბრ/წთ მეტი ბრუნვის სიჩქარე. როგორც ცნობილია, ცვლადი დენის ასინქრონული და სინქრონული ძრავები  $f=50$  სიხშირის დროს 3000 ბრ/წთ მეტ ბრუნვის სიჩქარეს ვერ ავითარებენ.

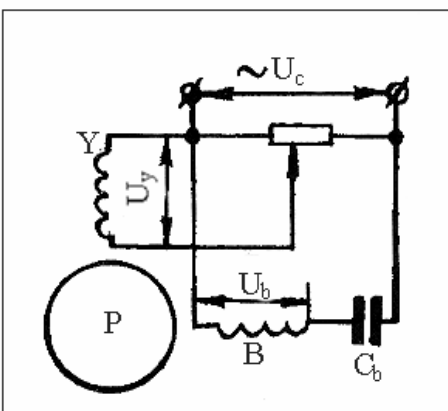
ავტომატურ მოწყობილობათა ასინქრონული ძრავები. ასინქრონული ძრავები მოკლედ ჩართული როტორით, გამოყენებული როგორც აღმასრულებელი მექანიზმები, გვხვდება ოთხი სახის:

- 1) ჩვეულებრივი მოკლედ ჩართული როტორით;
- 2) ღრუ არამაგნიტური როტორით;
- 3) ღრუ ფერომაგნიტური როტორით;
- 4) მასიური ფერომაგნიტური როტორით.

ასინქრონული აღმასრულებელი ძრავები ჩვეულებრივად ორფაზიანია და სტატორზე გააჩნიათ ორი გრაგნილი – აგზნებისა და მართვის, რომლებიც გადაადგილებული არიან ფაზის მიხედვით 90 ელექტრული გრადუსით. აგზნების გრაგნილი იკვებება ცვლადი დენის ქსელიდან, ხოლო მართვის გრაგნილი – ძაბვის გამაძლიერებლიდან.

აღმასრულებელი ძრავას მართვა შეიძლება განხორციელდეს სამი წესით: 1) ამპლიტუდური მართვით, როდესაც იცვლება მართვის ძაბვის სიდიდე; 2) ფაზური მართვით, როდესაც ძაბვის მუდმივი მნიშვნელობის დროს იცვლება მართვის ძაბვის ფაზა; 3) ამპლიტუდურ-ფაზური მართვით, როდესაც ერთდროულად იცვლება მართვის ძაბვის ფაზა და სიდიდე აგზნების ძაბვასთან შეფარდებით.

ნახაზზე 5.1 ნაჩვენებია ღრუ როტორიანი ორფაზა ასინქრონული ინდუქციური ძრავას წრედში ჩართვის სქემა.



ნახ.5.1. ღრუ როტორიანი ორფაზა ასინქრონული ძრავას წრედში ჩართვის სქემა.  $\sim U_c$  - ქსელის მუდმივ ამპლიტუდიანი ძაბვა;  $U_y$  - სამართი ძაბვა;  $U_b$  - აგზნების ძაბვა;  $P$  - როტორი;  $Y$  - სამართი გრაგნილი;  $B$  - აგზნების გრაგნილი;  $C_b$  - აგზნების გრაგნილთან მიმდევრობით ჩართული კონდენსატორი, რომელიც უზრუნველყოფს ფაზის 90 ელექტრული გრადუსით გადაადგილებას აგზნებისა და მართვის გრაგნილების ძაბვებს შორის.

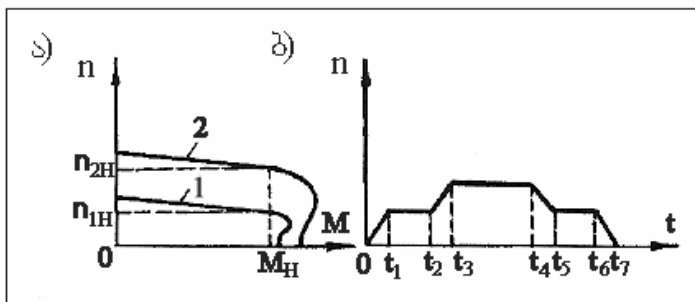
ასინქრონული ძრავას სინქრონული სიჩქარე ანუ ველის ბრუნვის სიჩქარე გამოითვლება ფორმულით:

$$n_1 = \frac{60f}{p} \delta_r / \gamma_t, \quad (5.1)$$

სადაც  $f$  არის მკვებავი დენის სიხშირე;

$p$  – გრაგნილის პოლუსების წყვილთა რიცხვი.

ნახ.5.2 მოცემულია ასინქრონული ძრავას მექანიკური მახასიათებელი და სიჩქარის ცვლილების დიაგრამა. მრუდი – 1 შეესაბამება მცირე სიჩქარეს, ხოლო მრუდი – 2 დიდ სიჩქარეს.



ნახ.5.2. ორსიჩქარიანი ასინქრონული ელექტროძრავის მუშაობის მახასიათებელი: а) მექანიკური; б) სიჩქარის ცვლილების დიაგრამა

დიაგრამაზე  $t_1-t_2$  და  $t_5-t_6$  უბრნებზე ძრავას ბრუნვათა რიცხვი მცირება, ხოლო  $t_3-t_4$  უბრნებზე – დიდი. აღნიშნული უბრნები შეესაბამება ძრავას დამყარებულ რეჟიმზე მუშაობას.  $0-t_1$ ;  $t_2-t_3$ ;  $t_4-t_5$  და  $t_6-t_7$  უბრნებზე სიჩქარე იცვლება და ეს ძრავას გარდამავალ რეჟიმებზე მუშაობაა.

ინდუქციური ძრავები გამოიყენებიან 50-დან 1000 ჰერცამდე (50, 330, 400, 500, 800, 1000ჰ) სიხშირის ცვლადი დენის სისტემებში. ამასთან დაკავშირებით აღნიშნული ძრავების ბრუნვის სინქრონული სიჩქარე ცვალებადობს 1500-დან 3000 ბრ/წთ.

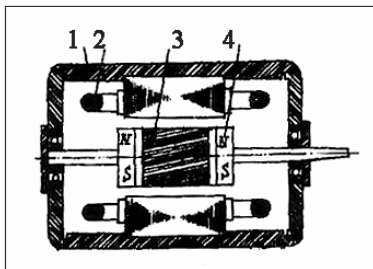
**ავტომატურ მოწყობილობათა სინქრონული ძრავები.** ნორმალური კონსტრუქციის სინქრონული ძრავა ჩვეულებრივ შედგება სტატორისაგან, რომელშიც მოთავსებულია სამფაზა ან ერთფაზა ცვლადი დენის გრაგნილი და როტორისაგან, მუდმივი დენით მკვებავი აგზების გრაგნილით.

სინქრონული ძრავას გასაშვებად აუცილებელია როტორისათვის სტატორის მაგნიტური ნაკადის სიჩქარის ტოლი ბრუნვის სიჩქარის მინიჭება. ამ მიზნით გამოიყენება ასინქრონული ძრავა, რომლის პოლუსების წევილის რიცხვი ერთით ნაკლებია, ვიდრე სინქრონული ძრავასი. სრული სიჩქარის მიღწევისას სინქრონული ძრავა აღიგზნება, სინქრონიზირდება და ჩაერთვება ქსელში, რის შემდეგაც დამხმარე ძრავა გამოირთვება.

სინქრონული ძრავას გაშვება შესაძლებელია, აგრეთვე, განხორციელდეს ასინქრონულად. სინქრონული ძრავას ძირითად თვისებას წარმოადგენს ბრუნვის სიჩქარის მუდმივი სიდიდე.

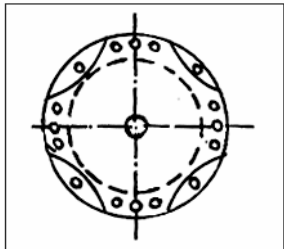
ავტომატიკის სისტემებში ფართოდაა გამოყენებული სინქრონული ძრავები მუდმივი მაგნიტებით, სინქრონული რეაქტიული ძრავები და სინქრონული ჰისტერეზისული ძრავები.

ნახაზზე 5.3 წარმოდგენილია სინქრონული ძრავა მუდმივი მაგნიტებით. სტატორი შედგება კორპუსისაგან – 1 და გრაგნილისაგან 2. როტორი – 3 აღჭურვილია მუდმივი მაგნიტებით – 4 და მოკლედ ჩართული გრაგნილით, რომლის დანიშნულებაა ძრავას გაშვება. როდესაც როტორის სიჩქარე მიაღწევს სინქრონულ სიჩქარეს, ძრავაში ასინქრონული მოქნების ნაცვლად მოქმედებს მასინქრონიზებელი მოქნები, ე.ი. წარმოიშობა ურთიერთქმედება მბრუნავ მაგნიტურ ველსა და როტორის მუდმივი მაგნიტების პოლუსებს შორის. სინქრონულ ძრავას მუდმივი მაგნიტებით არ გააჩნია მცოცავი კონტაქტები და მუშაობისათვის არ საჭიროებს კვების ორ წყაროს, მუდმივ და ცვლად დენს. აღნიშნული ძრავების გამოშვება ხდება როგორც სამფაზა, ასევე ერთფაზა ანუ კონდენსატორული შესრულებით.



ნახ.5.3. სინქრონული ძრავა მუდმივი მაგნიტებით (ჰირილი)

სინქრონული რეაქტიული ძრავას სტატორი ანალოგიურია ასინქრონული ძრავას სტატორისა, ხოლო როტორი მოკლედ ჩართული ასინქრონული ძრავას როტორისაგან განსხვავდება როტორის ცილინდრულ ზედაპირზე ამონაჭერების (ღრმულების) არსებობით, რომელთა დანიშნულებაა როტორში მქონეთრად გამოსახული პოლუსების წარმოქმნა (ნახ.5.4).



**ნახ.5.4. სინქრონული რეაქტიული ძრავის როტორის კონსტრუქციული სქემა**

სინქრონული რეაქტიული ძრავები მზადდება სამფაზა და კონდენსატორული შესრულებით.

ჰისტერეზისული ძრავები თავისი მოწყობილობით არ განსხვავდებიან მასიური როტორიანი ასინქრონული ძრავებისაგან. მხოლოდ როტორი ჰისტერეზისული ძრავისა მზადდება მასალისაგან, რომელიც ხასიათდება მნიშვნელოვანი ნარჩენი მაგნიტიზმით. მბრუნავი მომენტი აღნიშნულ ძრავებში იქმნება, როგორც მბრუნავი მაგნიტური გელის მოქმედებით როტორის გრიგალურ დენებთან, ასევე როტორის ფოლადის გადამაგნიტებით აღძრული მომენტით.

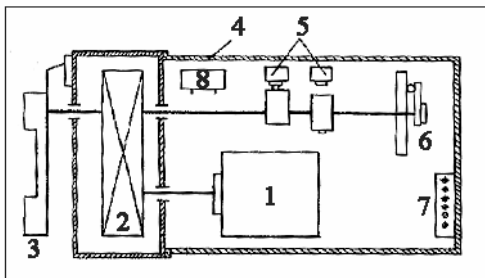
## 2. ელექტრომაგნიტური აღმასრულებელი მექანიზმები

ელექტრომაგნიტული აღმასრულებელი მექანიზმები გამოიყენება სხვადასხვა მარგებულირებელი ორგანოს – მკვეთარა, სარქველი, დროსელური საფარი, საკვალთი, ონკანი, რეოსტატი და სხვ. – გადასაადგილებლად. ისინი მუშაობენ კომპლექტში ელექტრულ და ელექტრონულ რეგულატორებთან.

განვიხილოთ ზოგიერთი მათგანი.

აღმასრულებელი მექანიზმი ИМ-2/120 გამოიყენება მარეგულირებელი ორგანოების გადასაადგილებლად ავტომატური რეგულირების სისტემებში და, აგრეთვე, ხელით დისტანციური მართვის სქემებში.

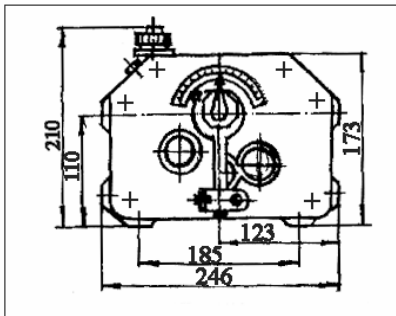
აღმასრულებელი მექანიზმი ИМ-2/120 (ნახ.5.5) შედგება შემდეგი ძირითადი ნაწილებისაგან: ორფაზიანი რევერსიული ელექტროძრავასაგან (1), რომელიც დაკავშირებულია მცირე და დიდ რეზისტორებთან (2), რომელთა გადაცემის ფარდობა შეადგენს 1:5429. გამოსასვლელ ლილვზე დამაგრებულია მრუდმხარა (3), აღმასრულებელ ორგანოსთან შესაერთებლად. კორპუსის (4) შიგნით განლაგებულია ბოლო გამომრთველები (5), უკუკავშირის რეოქორდი (6), საკლემები სუნდი (7) და კონდენსატორი (8). სხვადასხვა გრაგნილის წრედში კონდენსატორის გადართვით იცვლება ელექტროძრავას ბრუნვის მიმართულება. გამოსასვლელი ლილვის მობრუნების მუშა კუთხე შეიძლება დავაკენოთ ნებისმიერი  $120^{\circ}$ -ის ფარგლებში. ნომინალური მომენტი გამოსასვლელ ლილვზე შეადგენს 2 კგ.მ (19,6 ნ.მ.).  $120^{\circ}$ -ზე მრუდმხარას მოძრაობის დრო – 40 წამს; სიმძლავრე 26 ვატს, წონა 22 კგ-ს.



ნახ.5.5. ИМ-2/120  
ტიპის ერთბრუნიანი  
აღმასრულებელი  
მექანიზმის სქემა

ნახ.5.6 ნაჩვენებია აღნიშნული მექანიზმის საერთო ხედი.

წარმოება უშვებს, აგრეთვე, აღმასრულებელ მექანიზმებს ორფაზა რევერსიული ასინქრონული ძრავებით – ИМТ-6/120, 12/120 და 25/120. მექანიზმების აღნიშვნაში ИМ (მუხრუჭის გარეშე) და ИМТ (მუხრუჭით) პირველი ციფრი აღნიშნავს ლილვზე მგრეხი მომენტის სიდიდეს კგ.მ., მეორე – სვლის ხაზრძლივობას ერთი ზღვრული მდებარეობიდან მეორეში, წამებში.



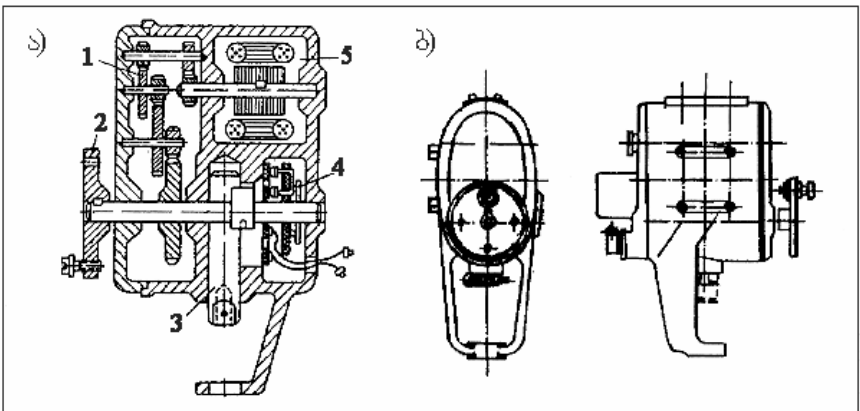
**ნახ.5.6. ИМ-2/120 ტიპის  
აღმასრულებელი მექანიზ-  
მის საერთო ხედი გაბა-  
რიტული ზომებით**

მექანიზმი ИМ-2/2,5 გათვალისწინებულია ორპოზიციანი რეგულირებისათვის ლილვის მობრუნებით  $180^{\circ}$ -ზე.

ავტომატიკის მოწყობილობებში ფართო გამოყენებას პოულობენ ДР და ПР ტიპის აღმასრულებელი მექანიზმები.

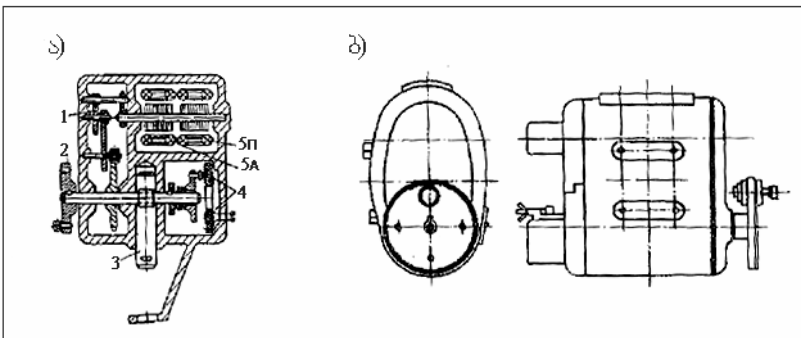
ელექტრული აღმასრულებელი მექანიზმები ДР-М და ДР-ІМ გათვალისწინებულია მარეგულირებელი ორგანოს გადასაადგილებლად ორპოზიციანი რეგულირების სისტემაში და, აგრეთვე, ხელით დისტანციური მართვისათვის.

ДР ტიპის აღმასრულებელი მექანიზმის კონსტრუქცია და საერთო ხედი ნაჩვენებია ნახაზზე 5.7.ა.ბ. მექანიზმი შედგება ერთფაზა ასინქრონული ელექტროძრავასაგან (5) და კბილანარედუქტორისაგან (1). რედუქტორის გამოსასვლელ ლილვს შეუძლია უზრუნველყოს მარეგულირებელი ორგანოს მობრუნება  $180^{\circ}$ -ით, ხოლო ჭოკის (3) საშუალებით ერთდროულად განახორციელოს მეორე მარეგულირებელი ორგანოს უკუმოქცევადაბარითი მოძრაობა. ამომრთველის (4) საშუალებით შეიძლება განხორციელდეს ორპოზიციანი რეგულირება. ძრავა ბრუნავს ყოველთვის ერთი მიმართვლებით, ხოლო მარეგულირებელი ორგანოს მდებარეობის ცვალებადობა ხორციელდება მისი ბერკეტების შეწევრებით აღმასრულებელი მექანიზმის დისკოსთან.



ნახ.5.7. ორგოზიციანი აღმასრულებელი მექანიზმი ДР: а) კონსტრუქცია ჭრილში; б) საერთო ხედი. 1-რედუქტორი; 2-გამოსასვლელი ლილვი საყელურით; 3-ჭოკი; 4-გამომრთველი; 5-ელექტროძრავა

აღმასრულებელი მექანიზმი ძრავით ПР (პროპორციული რეგულირება) კონსტრუქციულად უახლოვდება ДР ტიპის მექანიზმს (ნახ.5.8). პროპორციული რეგულირების მიზნება ხდება ერთ ლილვზე თრი ელექტროძრავას დაყენებით, რომელთაგან ერთი აბრუნებს ლილვს ერთი მიმართულებით, ხოლო მეორე საწინააღმდეგო მიმართულებით. ნახაზზე 4 არის რეოსტატი, რომელიც გამოყენებულია უპუპავშირისათვის; 5л – მარცხენა ძრავა; 5п – მარჯვენა ძრავა; 1 – რედუქტორი; 2 – საყელური, რომლის საშუალებითაც ხორციელდება რედუქტორის გამოსასვლელი ლილვით მარეგულირებელი ორგანოს მობრუნება; 3 – არის ჭოკი.

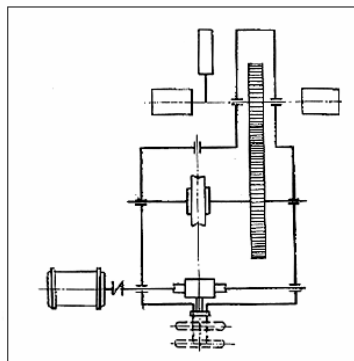


**ნახ.5.8. პროპორციული აღმასრულებელი მექანიზმი ПР: а) კონსტრუქცია ჭრილში; ბ) საერთო ხედი**

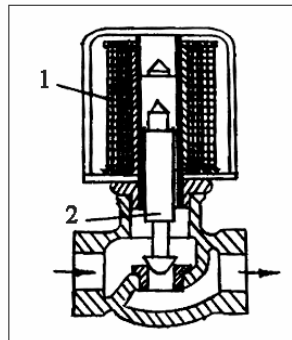
ელექტრული აღმასრულებელი მექანიზმი МЭК-25К, აგრეთვე, გათვალისწინებულია მარეგულირებელი ორგანოს გადასაადგილებლად. მექანიზმში გამოყენებულია ორფაზა ასინქრონული ელექტროძრავა დრუ როტორით. ელექტროძრავს აქვს ორი გრაგნილი: აგზნების და მართვის. ელექტროძრავადან ბრუნვა შემაერთებელი ქუროს საშუალებით გადაეცემა ხუთსაფეხურიან რედუქტორს.

რედუქტორის გამოსავლელ ლილვს შეუძლია შემობრუნდეს  $360^{\circ}$ -ით.

წარმოება უშევბს, აგრეთვე, ელექტრომექანიკურ სერვოძრავებს ავტომატური, დისტანციური და ხელით მართვისათვის. ისინი შედგებიან სამფაზა ასინქრონული ძრავასა და ერთი ან ორი რედუქტორისაგან. რედუქტორის ლილვი ბერკეტის საშუალებით შეერთებულია მარეგულირებელ ორგანოსთან. ადნიშნული სერვოძრავების სამართავად გამოიყენება დისტანციური მართვის სვეტები (КДУ), რომლებშიც დამონტაჟებულია საგზაო და ბოლო გამომრთველები და, აგრეთვე, რეოსტატული გადამწოდი, რომელიც აჩვენებს მარეგულირებელი ორგანოს გაღების ხარისხს. დისტანციური მართვის სვეტის კინემატიკური სქემა ნახაზე 5.9.



**ნახ.5.9. დისტანციური მართვის სვეტის (КДУ) კინემატიკური სქემა**

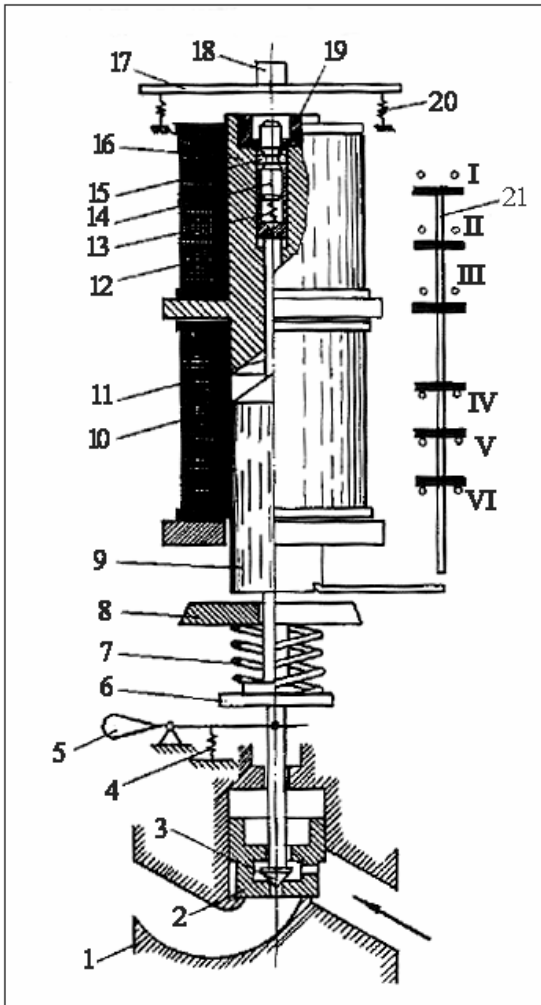


**ნახ.5.10. ელექტრომაგნიტური გენტილი**

არსებობს ელექტრომაგნიტური აღმასრულებელი მექანიზმების დიდი მრავალსახეობა. ნახაზზე 5.10 წარმოდგენილია უმარტივესი ელექტრომაგნიტური ვენტილი. კოჭას (1) აგზნების შემთხვევაში, დუზა (2) შეიზიდება კოჭაში და გაისხება სითხის ან აირის მისასვლელი. დენის გამორთვის შემთხვევაში ვენტილი იხურება. აღნიშნული ტიპის ვენტილის კოჭას მიერ მოხმარებული სიმძლავრე შეადგენს 15-25 ვატს.

წარმოება უშვებს უფრო რთული მოწყობილობის ელექტრომაგნიტურ ვენტილებს. სამშენებლო ინდუსტრიის საწარმოებში თბოტენიანობითი დამუშავების პროცესების ავტომატიზაციის სისტემებში ფართოდ არის გავრცელებული CBB და CBMP ტიპის ელექტრომაგნიტური ვენტილები. ვენტილები გათვალისწინებულია  $150^{\circ}$  ტემპერატურისა და  $16\text{kgf}/\text{cm}^2$  წნევის ორთქლპაერისა და წყლის გარემოს პირობებში სამუშაოდ.

CBB ტიპის ვენტილის სქემა ნაჩვენებია 5.11 ნახაზზე. ვენტილის ელექტრომაგნიტური ამძრავი მუშაობს მუდმივ დენზე ძაბვით 220 ვ. საწევი ელექტრომაგნიტის მიერ მოხმარებული სიმძლავრე შეადგენს დაახლოებით 600 ვატს, ხოლო სასხლების ელექტრომაგნიტისა – 300 ვატს. ცვლადი დენით კვების შემთხვევაში ვენტილი მუშაობს სელენურ გამართველთან ერთად. წევის კოჭას წინაღობა უდრის 94,4 მმს, ხოლო სასხლების კოჭასი – 189 მმს.



ნახ.5.11. CBB ტიპის ვენტილის კინემატიკური სქემა

ელექტრომაგნიტური ვენტილი შედგება ოვით ვენტილისა და ელექტრომაგნიტური ამძრავისაგან. ვენტილს ეკუთვნის შემდეგი ნაწილები: კორპუსი ბუდით – 1, ძირითადი მკვეთარა – 2, განმტკირთავი მკვეთარა – 3 ვენტილის ჭოკით, უკუმოქცევის ზამბარა – 4 ხელით მართვისათვის, სახელური – 5, ფუძე – 8, რომელზეც ემაგრება ელექტრომაგნიტი.

ელექტრომაგნიტური ამპრავი შედგება შემდეგი ძირითადი ნაწილებისაგან: თევზი – 6 უკუმოქცევის ზამბარის – 7 მისაბრჯენად, ღუზა – 9, წევის კოჭა – 10, ღუზაზე დამაგრებული ჭოკი – 11, სასხლეების ელექტრომაგნიტის გულარი – 16, ზამბარა – 13, თითი – 14, ბურთულები – 15, საყრდენი რგოლი – 19, ხელით დახურვის ლილაკი – 18, სასხლეების ელექტრომაგნიტის ღუზა – 17, სასხლეების უკუმოქცევის ზამბარები – 20, სასხლეების კოჭა – 12, ბლოკ-კონტაქტების სისტემა – 21, სვლის ბოლოს კოჭებში დენის გამოსართვად.

სარეგულირებელი გარემო, მაგალითად ორთქლი, ვენტილში მიემართება ისრით ნაჩვენები მიმართულებით. ვენტილის ძირითადი ნახვრები (მისი დახურულ მდგომარეობაში ყოფნის დროს) იხურება ძირითადი მკვეთარით (2). დახურულ მდგომარეობაში მკვეთარაში (2) არსებული პატარა ნახვრები იხურება განმტვირთავი მკვეთარით (3). განმტვირთავი მკვეთარა ხელს უწყობს ვენტილის გასაღებად საჭირო ძალვის შემცირებას და, მაშასადამე, იძლევა წევის ელექტრომაგნიტის სიმძლავრის შემცირების საშუალებას (ელექტრომაგნიტის საწყისი წევის ძალვაა 10 კბ, (ანუ 98 ნ). დახურულ მდგომარეობაში ვენტილზე მოქმედებს თვით სარეგულირებელი გარემოს წნევა და უკუმოქცევის ზამბარა (7).

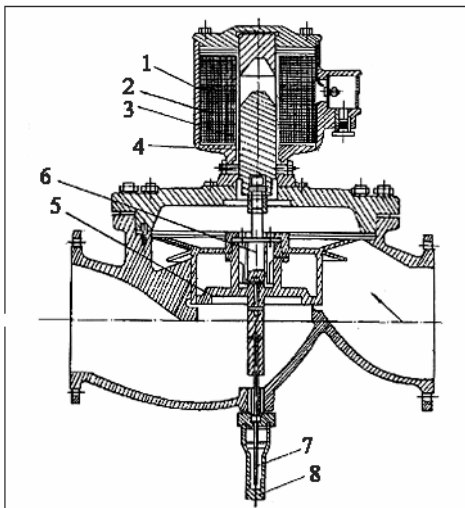
ვენტილი მუშაობს შემდეგნაირად. ვენტილის გასაღებად საჭიროა შეგროვებულ გამწევი ელექტრომაგნიტის (10) კოჭას წრედი. გამწევი კოჭას წრედის შერთვისას, ძირითადი ელექტრომაგნიტის ღუზა (9) იწყებს ზევით მოძრაობას. ერთდროულად ღუზასთან ზევით გადაადგილდებიან ჭოკი (11) და მასთან დაკავშირებული ზამბარა (13), თითი (14) და ბურთულები (15). ზამბარის (13) მოქმედებით თითი ცდილობს ბურთულების გვერდზე გამოგდებას. როდესაც ბურთულები მივლენ საყრდენი რგოლის (19) გაფართოებულ ნაწილად, ისინი ნახვრად გამოვლენ თავიანთი ბუდიდან და მექანიზმი დაიკავებს დია ვენტილის მდგომარეობას, ვინაიდან ღუზა, ჭოკი და მკვეთარა იმუოფებიან ზედა მდგომარეობაში, გვერდზე გამოგდებული ბურთულების საშუალებით. ამ დროს ამომრთველის IV, V და VI კონტაქტები განირთვებიან, ხოლო I, II და III კონტაქტები კი შეერთდებიან. კონტაქტის – IV განრთვის შემდეგ გამწევი ელექტრომაგნიტის კოჭას წრედი გაწყდება. ვენტილის გაღებისას, ღუზასთან ერთად

ზევით გადაადგილდება განმტვირთავი მკვეთარა (3), რის გამოც იღება ნახვრეტი ძირითად მკვეთარაში (2). განმტვირთავი მკვეთარას გადებისას ძირითადი მკვეთარას თავზე წარმოიქმნება გაიშვიათება, რის გამოც მცირდება სარეგულირებელი გარემოს (ორთქლის) წნევა ძირითად მკვეთარაზე. მაშასადამე, ვენტილის გადება წარმოებს მკვეთარას თავზე გაიშვიათებისა და გამწვი ელექტრომაგნიტის ერთდროული მოქმედებით.

ვენტილის დასახურავად საჭიროა შევრთოდ სასხლეტის კოჭას (12) წრედი. ამ დროს სასხლეტის ელექტრომაგნიტის ღუზა (17) მიიზიდება გულართან (16), დააწვება თითს (14) და დასწევს მას დაბლა. როდესაც თითის ყელი მიუახლოვდება ბურთულების განლაგების დონეს, ბურთულები სიმძიმის ძალის მოქმედებით შეგორდებიან თითის ყელში. ჭოკი (11), ღუზა და მკვეთარა დაეშვებიან დაბლა. ჭოკი განმტვირთავი მკვეთარას მოქმედებით აიძულებს ძირითად მკვეთარას დაეშვას დაბლა და დაიკავოს ქვედა ზღვრული მდგომარეობა, ითიშება გადამრთველის კონტაქტი, რომლის გავლითაც სასხლეტის ელექტრომაგნიტის კოჭას მიეწოდება მკვებავი დენი.

СВМП ტიპის (ნახ.5.12) უჩობალო ელექტრომაგნიტური ვენტილი შედგება შემდეგი ძირითადი ნაწილებისაგან: ძირითადი მკვეთარა (5), რომელიც ჩამოკიდებულია რეზინის მემბრანაზე; ელექტრომაგნიტი (1), რომლის მიერ მოხმარებული სიმძლავრე შეადგენს დაახლოებით 150 ვატს; განმტვირთავი მკვეთარა (6); კოჭა (2); ღუზა (4); თითბერის ვაზნა (3); საავარიო ხრახნი (7) და ხუფი (8).

გაუდენურებული ელექტრომაგნიტის (1) შემთხვევაში განმტვირთავი მკვეთარა (6) გადახურავს განმტვირთავი უნაგირას ნახვრეტს, ხოლო ძირითადი მკვეთარა ხურავს მთავარ გასასვლელს. მკვეთარებზე მოქმედი ჭარბი წნევა მათ მიაბრჯენს უნაგირებზე და უზრუნველყოფს საკეტის ჰერმეტულობას.



**ნახ.5.12. СВМП  
ტიპის ვენტილის  
კინემატიკური სქემა**

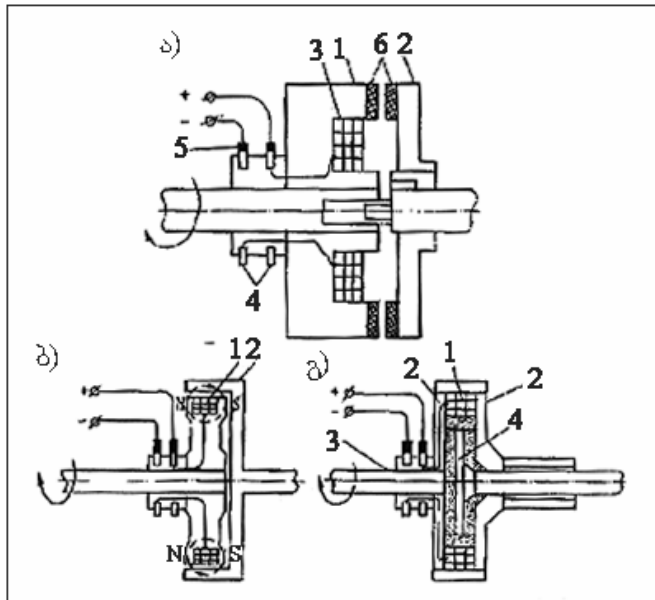
კოჭაზე (2) ძაბვის მიწოდების შემდეგ, ღუზა (4) შეიზიდება ელექტრომაგნიტის შიგნით და ზევით გადააადგილებს მასთან დაკავშირებულ განმტკირთავ მკვეთარას. განმტკირთავ უნავირში ნახვრეტი ისხნება და მკვეთარას ქვეშა ზონაში წნევა უტოლდება მკვეთარას ზედა ზონის წნევას. ელექტრომაგნიტის გამორთვის შემთხვევაში ორივე მკვეთარა დაეშვება დაბლა და გადახურავენ გასასვლელს. ელექტროენერგიის მიწოდების შეწყვეტის შემთხვევაში ვენტილის მართვა წარმოებს ხელით საავარიო ხრახნის (7) დახმარებით, რომელიც დაფარულია ხუფით (8).

### 3. ელექტრომაგნიტური ქუროები

ელექტრომაგნიტური ქუროები, როგორც აღმასრულებელი მექანიზმები, გათვალისწინებულია მგრეხი მომენტის ავტომატურად გადასაცემად ერთი ლილვიდან (წამყვანი, შესასვლელი) მეორე ლილვზე (ამყოლი, გამოსასვლელი). ისინი იყოფიან ფრიქიულ, სრიალის და ბლანტი შემავსებლიან (ფეროფენილიან) ქუროებად.

ფრიქიულ ქუროებში მგრეხი მომენტის გადაცემა წარმოებს ხახუნის ძალებით, სრიალის ქუროებში – მაგნიტური და ელექტრული ველების საშუალებით, ხოლო ფეროფენილიან ქუროებში – მექანიკური ხახუნითა და ნაწილობრივ მაგნიტური კავშირით.

ფრიქციული ელექტრომაგნიტური ქურო (ნახ.5.13,ა) შედგება წამყვანი (1) და ამყოლი (2) ნახევარქუროებისაგან. წამყვან ნახევარქუროზე განლაგებულია აგზების გრაგნილი (3), რომელთანაც მკევბავი ძაბვის მიწოდება წარმოებს კონტაქტური რგოლებისა (4) და მუსების (5) საშუალებით. აგზების გრაგნილი იკვებება მუდმივი დენით.



ნახ.5.13. ელექტრომაგნიტური ქუროების სქემები: а) ფრიქციული; б) რეიდიალის; в) ფეროფენილიანი

სიმძლავის გადაცემა წამყვანი ლილვიდან ამყოლ ლილვზე ხორციელდება ფრიქციული დისკოებით (6), რომლებიც მუშა მდგომარეობაში მჭიდროდ ებჯინებიან ერთმანეთს. ფრიქციული დისკოებისათვის გამოიყენება დიდი ხახუნის კოეფიციენტის მქონე ცვეთამედეგი მასალები: ფოლადი, თუკი და სპეციალური მასალები.

ფრიქციული ელექტრომაგნიტური ქურო მზადდება რეგერსიული და არარეგერსიული. რეგერსიული ქურო შეიცავს ორ ელექტრომაგნიტს საერთო ღუზით. ერთი ელექტრომაგნიტის ჩართვის შემთხვევაში ამყოლი ლილვი ბრუნავს ერთი

მიმართულებით, მეორე ელექტრომაგნიტის ჩართვისას – მეორე მიმართულებით.

აღნიშნული ქუროების ნაკლია მუსებისა და ფრიქციული დისკოების ცვეთა, დინამიური დატვირთვები ქუროების ამოქმედების დროს და, აგრეთვე, ამყოლი ლილვის ბრუნვის სიჩქარის რეგულირების სიძნელე წამყვანი ლილვის მუდმივი სიჩქარით ბრუნვისას.

ეს ნაკლოვანებები ნაწილობრივ გამოსწორებულია სრიალის ელექტრომაგნიტურ ქუროებში (ნახ.5.13ბ). ქურო შედგება წამყვან ლილვზე ხისტად დამაგრებული ნახევარ-ქუროსაგან აგზნების გრაგნილით (1). ამ ნახევარ ქუროს უწოდებენ ინდუქტორს. კვების მიწოდებისას აგზნების გრაგნილში (აგზნებისათვის გამოიყენება მუდმივი დენი), და წამყვანი ნახევარ-ქუროს (მას ხშირად დუზას უწოდებენ) ბრუნვის შემთხვევაში წარმოიქმნება მბრუნვავი მაგნიტური ველი, რომელიც აინდუქციებს ამყოლ ნახევარ-ქუროში (2) გრიგალურ დენებს. ეს დენები ურთიერთქმედებენ მბრუნვავ მაგნიტურ ველთან და წარმოშობენ ელექტრომაგნიტურ ძალას, რომელიც თავის მხრივ წარმოქმნის მბრუნვავ მომენტს და ამყოლი ნახევარ-ქურო (დუზა) ოწყებს ბრუნვას ასინქრონული სიჩქარით. ამყოლ ნახევარ-ქუროზე მოდებული მბრუნვავი მომენტისა და ნახევარ-ქუროს სიჩქარის მდოვრე რეგულირება შესაძლებელია აგზნების გრაგნილში დენის ძალისა და ქუროს დუზის წრედში ჩართული წინააღმდეგობის რეგულირების გზით (როგორც საკონტაქტო რგოლებიანი ასინქრონული ძრავას როტორის წრედისა). ვინაიდან ამყოლი ლილვი სრიალებს წამყვან ლილვთან შეფარდებით, ამიტომ ქუროს უწოდებენ სრიალის ელექტრომაგნიტურ ქუროს ან ასინქრონულ ქუროს.

ასინქრონულ ძრავაში მბრუნვავი მაგნიტური ველი წარმოიქმნება ქსელიდან მიწოდებული ცვლადი სამფაზა დენით; სრიალის ელექტრომაგნიტურ ქუროში, მაგნიტური ნაკადის აგზნება ხდება მუდმივი დენით, როგორც სინქრონულ ძრავაში. ამასთან ქუროს მბრუნვავი ელექტრომაგნიტური მომენტი დამოკიდებულია ქუროს წამყვანი და ამყოლი ნაწილების სიჩქარეთა სხვაობაზე, ე.ი. სრიალზე, როგორც ასინქრონულ ძრავაში.

ამრიგად, სრიალის ელექტრომაგნიტურ ქუროში, როგორც აღმასრულებელ ელექტრულ მანქანაში შესამებულია, როგორც ასინქრონული, ასევე სინქრონული ძრავების თვისებები.

სრიალის ელექტრომაგნიტურ ქუროს გააჩნია მთელი რიგი უპირატესობანი ხისტ (მაგალითად რედუქტორით) შეერთებასთან შედარებით. გრუნტის სიმაგრის მკვეთრად შეცვლის შემთხვევაში (ჩამჩიანი ექსკავატორით გრუნტის დამუშავების დროს) ადგილი აქვს რედუქტორის კბილანების ურთიერთდარტყმას, რაც იწვევს კბილანების დაზიანებას. ძრავასა და მექანიზმის სრიალის ელექტრომაგნიტური ქუროთი შეერთებისას კი ქუროს წამყვანი ლილვი ასრიალდება ამყოლ ლილვთან შედარებით ისე, რომ მექანიკურ დარტყმებს ადგილი არ ექნება.

ელექტრომაგნიტური ქურო ბლანტი შემავსებლით (ნახ.5.13გ) შედგება აგზების გრაგნილისა (1), მაგნიტგამტარის (2), წამყვანი ლილვისა (3) და ამყოლი ლილვისაგან დისკოთი (4).

ამყოლი ლილვის დისკოსა და წამყვანი ლილვის მაგნიტგამტარის კორპუსს შორის არსებობს მუდმივი ლრეჩო, რომელიც შევსებულია შშრალი ან ზეთში ან სხვა საიზოლაციო შესახეთ ნივთიერებაში შეტივტივებული ფერომაგნიტური ფხვნილით დაახლოებით 5:1 წონით თანაფარდობაში. ფერომაგნიტურ ფხვნილად გამოიყენება კარბოლინის ან ელექტროლიტური რკინა.

როდესაც აგზების გრაგნილში დენი არ გადის, წამყვანი ლილვიდან ამყოლ ლილვზე გადაცემული მომენტის სიდიდე უმნიშვნელოა, რადგან იგი განისაზღვრება მხოლოდ ფხვნილის ნაწილაკებს შორის არსებული მექანიკური სიბლანტით. ელექტრომაგნიტის აგზებისას რკინის ნაწილაკები დამაგნიტდებიან და წარმოიშვებიან ნაწილაკებსა და ელექტრომაგნიტის ზედაპირებს შორის ურთიერთშეჭიდულობის ძალები. დენის ზრდასთან ერთად ფერომაგნიტური მასა თანდათანობით მყარდება, იზრდება ხახუნის ძალა და ქუროს მიერ გადაცემული მომენტის სიდიდე.

ამრიგად, ფხვნილის ნაწილაკები მაგნიტურ ველში წარმოქნიან მოქნილ კავშირს წამყვან და ამყოლ ლილვებს შორის. აგზების გრაგნილში დენის სიდიდის რეგულირებით შესაძლებელია გადასაცემი სიმძლავრის რეგულირება.

### **§3. პნევმატური ამძრავი. პნევმატური აღმასრულებელი მექანიზმები**

პნევმატურ ამძრავებში ენერგიის წყაროს წარმოადგენს შეცუმშული ჰაერი, რომლის წნევა ჩვეულებრივად ტოლია 6-7 კგ/სმ<sup>2</sup> (5,9-6,85 ბარი).

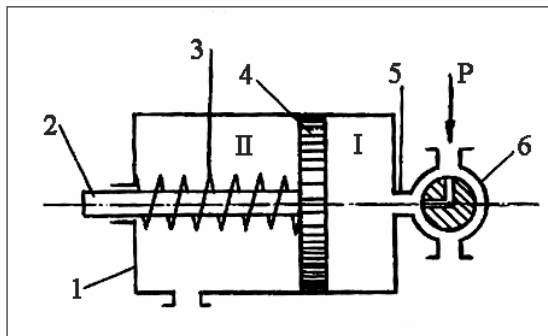
პნევმატური სქემები მნიშვნელოვნად მარტივია ელექტრულზე. ისინი გამოიყენება ფეთქებადსაფრთხო და ხანძარსაფრთხო სათავსოებში. პნევმოსქემები არ საჭიროებენ უკუ მილსადენებს, რაც წარმოადგენს მათ უპირატესობას ჰიდრავლიკურ სქემებთან შედარებით. პნევმოამძრავების საშუალებით კომანდების გადაცემა შეიძლება განხორციელდეს 500 მეტრამდე მანძილზე.

პნევმატური სქემების უარყოფით მხარეს წარმოადგენს მაღალი წნევის კუმშული ჰაერის გამოყენების შეუძლებლობა. ეს აისხება ორი გარემოებით: 1) დიდი წნევის დროს დიდად იზრდება ჰაერის გაპარვა და 2) ჰაერის მკვეთრი გაფართოების შედეგად მნიშვნელოვნად ცეცხა მისი ტემპერატურა, რაც იწვევს ჰაერში არსებული ტენის გადაქცევას ყინულად და მექანიზმის მუშაობის აშლილობას.

მოქმედების პრინციპის მიხედვით პნევმოამძრავები შეიძლება დაიყოს ორ ჯგუფად: დგუშიანი და მემბრანული (დიაფრაგმიანი).

დგუშიანი პნევმოამძრავები შეიძლება იყოს ერთმხრივი და ორმხრივი ქმედების. ერთმხრივი ქმედების ამძრავები გამოიყენება იმ შემთხვევებში, როდესაც დგუშის უკუმოძრაობა სრულდება დაუტვირთავად (უქმი სვლით). დგუშიანი პნევმოამძრავის კონსტრუქციაში შედის ცილინდრი, ჭოკი დგუშით და სამჭიდროებელი მოწყობილობების სისტემა. პნევმოამძრავს გააჩნია მართვის აპარატები: გამანაწილებელი და სარედუქციო სარქელები, ჰაერის ხარჯის რეგულარობები და სხვ.

ნახაზზე 5.14 წარმოდგენილია ერთმხრივი ქმედების პნევმატური დგუშიანი ამძრავის სქემა უკუმოქცევი ზამბარით. ამძრავი შედგება ცილინდრის (1), ჭოკის (2) დგუშით (4), უკუმოქცევი ზამბარის (3), სამჭიდროებელი მოწყობილობების, სახურავისა და მილეულისაგან (5). ჭოკის გარე ბოლო (2) უერთდება აღმასრულებელ რგოლს, რომელიც ნახაზზე ნაჩვენები არ არის.



ნახ.5.14. უძუმოქცევი ზამბარიანი ერთმხრივი ქმედების პნევმატური დგუშიანი ამძრავის სქემა

პნევმოამძრავი მუშაობს შემდეგნაირად: მიღებულის (5) ნახვრეტით შეკუმშული ჰაერი მიეწოდება ცილინდრის (I) სიღრუეში; ჰაერი აწვება დგუშს (4), რომელიც მარცხნივ გადაადგილების დროს ასრულებს საჭირო მუშაობას და ერთდროულად კუმშავს ზამბარას (3). ცილინდრის (II) სიღრუე უნდა იყოს თავისუფალი მიმოსვლით დაკავშირებული ატმოსფეროსთან; წინააღმდეგ შემთხვევაში დგუშის მარცხნივ მოძრაობის დროს აქ შეიძლება წარმოიშვას ჰაერის უპუნევა, ხოლო მარჯვნივ მოძრაობის დროს – ვაპუუმი. უპუმოძრაობის განსახორციელებლად საჭიროა გამანაწილებელი ონკანის (6) საშუალებით შეწყდეს შეკუმშული ჰაერის შეღწევა ცილინდრის (I) სიღრუეში და ეს სიღრუე დაუკავშირდეს ატმოსფეროს. საწყის მდგომარეობაში დგუში და მასთან დაკავშირებული აღმასრვლებელი მექანიზმის ელემენტები ბრუნდებიან შეკუმშული ზამბარის მოქმედებით.

როდესაც წნევა არ არსებობს, ჭოკზე მოქმედი ამძრავის ძალა გამოითვლება გამოსახულებით

$$F = (P_{\text{ა}} - P_{\text{ა}\delta})S - F_{\text{b}} - F_{\text{b}}, \quad (5.2)$$

სადაც

$P_{\text{ა}}$  – არის აბსოლუტური წნევა ცილინდრის (I) სიღრუეში;

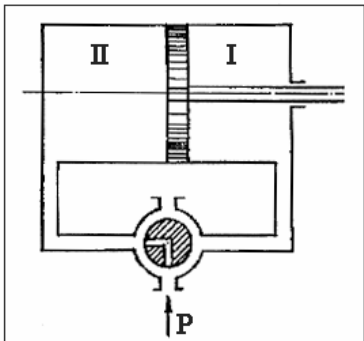
$P_{\text{ა}\delta}$  – ატმოსფერული წნევა;

$F_{\text{b}}$  – უძუმოქცევი ზამბარის ძალვა;

$F_{\text{b}}$  – ხახუნის ძალა სამჭიდროებელ მოწყობილობებში და წინააღმდეგობის სხვა სახეები;

$S$  – დგუშის ფართი.

ნახაზზე 5.15 მოყვანილია ორმხრივი ქმედების პნევმატური ამძრავის სქემა. პაერის მიწოდება შეიძლება ცილინდრის ორივე სიღრუეში.



ნახ.5.15. ორმხრივი ქმედების პნევმატური დგუშიანი ამძრავის სქემა

სქემა მუშაობს შემდეგნაირად. შეკუმშული პაერი გამანაწილებელი სარქეელის ნახაზზე ნაჩვენებ მდგომარეობაში ყოფნის შემთხვევაში მიეწოდება II სიღრუეში, რის შედეგადაც დგუში გადაადგილდება მარჯვნივ. პაერი I სიღრუედან გამანაწილებელი სარქეელის გავლით გაედინება ატმოსფეროში. ოუ გამანაწილებელ სარქეელს მოვაბრუნებთ  $90^{\circ}$ , მაშინ შეკუმშული პაერი მოხვდება ცილინდრის I სიღრუეში და დგუში შეასრულებს უკუმოქცევ მოძრაობას. პაერი II სიღრუედან სარქეელის გავლით გაედინება ატმოსფეროში.

ცილინდრის II სიღრუეს შეკუმშული პაერით ავსების შემთხვევაში ამძრავის ჭოკზე მოქმედი ძალა ჭოკის უძრავად ყოფნის დროს

$$F = (P_{\text{ა.II}} - P_{\text{ა.İ}})S + (P_{\text{ა.İ}} - P_{\text{ა.გ}})S_{\frac{1}{2}} - F_b, \quad (5.3)$$

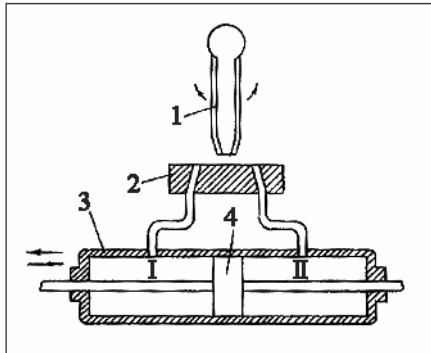
სადაც

$P_{\text{ა.İ}}$  და  $P_{\text{ა.II}}$  – აბსოლუტური წნევაა შესაბამისად I და II სიღრუებში;

$S_{\frac{1}{2}}$  – ჭოკის კვეთის ფართი.

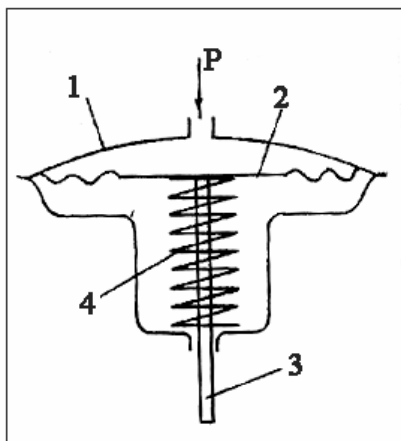
ნახ.5.16 წარმოდგენილია პნევმოამძრავის სქემა ჭავლური გამანაწილებელი მოწყობილობით, რომელიც შედგება ჭავლური მილაკისაგან (1), რომლიდანაც წნევის ქვეშ განუწყვეტლივ გამოედინება პაერი, მიმღები ბლოკისაგან (2) და მუშა ცილინდრისაგან (3) მოძრავი დგუშით (4). როდესაც ჭავლური მილაკი (1) განლაგებულია სიმეტრიულად მიმღები

ბლოკის არხების მიმართ, წნევა ცილინდრში დგუშის ორივე მხარეს თანაბარია და დგუში უძრავია. თუ ჭავლურ მილაკს ნულოვანი მდგომარეობიდან გადავხრით, წნევა ცილინდრის I და II სიღრუებში გახდება სხვადასხვა და დგუში გადაიხრება მცირე წნევის მხარეს. ასე მაგალითად, თუ გადავხრით მილაკს მარცხნივ, დგუში ცილინდრში გადაადგილდება მარჯვნივ და პირიქით.



ნახ.5.16. ჭავლური  
მილაკიანი  
პნევმოამძრავის სქემა

მცირე სვლით მოძრაობების გადასაცემად პნევმატურ სისტემებში იყენებენ მემბრანულ პნევმოამძრავებს (ნახ.5.17). ამ პნევმოამძრავების დიამეტრი შეადგენს 125-500 მმ-ს, ჭოკის სვლა 6-დან 100 მმ-მდე. როგორც დგუშიანი ასევე დიაფრაგმიანი (მემბრანული) ამძრავები იყოფიან ერთმხრივი ქმედებისა და ორმხრივი ქმედების პნევმოამძრავებად.



ნახ.5.17. ერთმხრივი  
ქმედების მემბრანული  
პნევმოამძრავის სქემა

დგუშიანი პევმოამძრავებისაგან განსხვავებით დიაფრაგმიან ამძრავებში პაერის წნევის მოქმედებით წარმოებს მემბრანის დეფორმაცია. შეკუმშული პაერი მიეწოდება სიღრუეში კორპუსის სახურავსა (5) და მემბრანას (6) შორის, რომელზედაც მიმაგრებულია ჭოკი (7). მემბრანა გაიზნიქება წნევისაგან და ჭოკს გადააადგილებს წნევის პროპორციული სიდიდით. ჭოკი თავის მხრივ დაკავშირებულია სამართავი ობიექტის მარეგულირებელ ორგანოსთან. მემბრანის უკუმოქცევა საწყის მდგომარეობაში და უკუწევის შექმნა ხორციელდება ზამბარით (8).

მემბრანის მიერ ჭოკზე გადაცემული ძალვა განისაზღვრება  $P$  წნევით, რომელიც მოქმედებს მემბრანაზე და მისი აქტიური ფართით  $F_{\text{აქ}} \text{ (სმ}^2)$  ეს ძალვა ტოლი იქნება

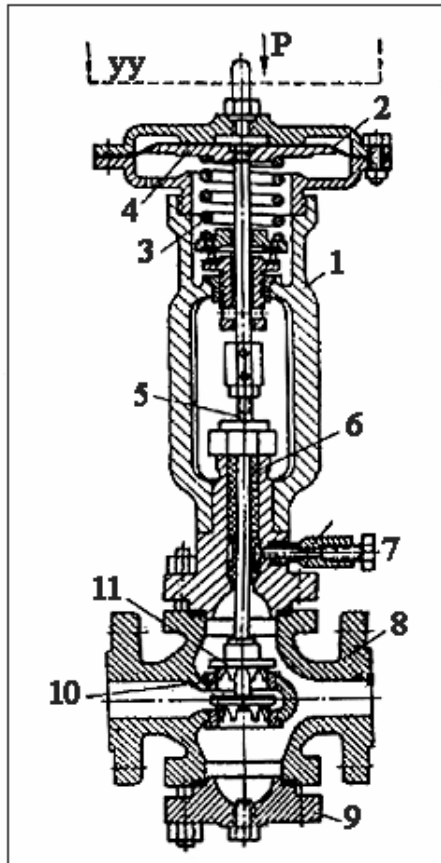
$$P = p \cdot F_{\text{აქ}} \text{ ძგძ.} \quad (5.4)$$

მემბრანული ამძრავის მაგალითს წარმოადგენს მემბრანული პევმოამძრავი  $\text{МПП-16}$ , რომლის ჭოკის სვლა შეადგენს  $30 \text{ მმ}$ , მემბრანის აქტიური ფართი  $F_{\text{აქ}} = 105 \text{ სმ}^2$ . მინიმალური წნევა, რომელზედაც მემბრანა არ რეაგირებს, წარმოადგენს  $0,05 \text{ გგ/სმ}^2$ . დიაფრაგმის მასალად, წევულებრივად, გამოყენებულია გარეზინული ქსოვილი. გამოიყენება, აგრეთვე, მაღალსარისხოვანი ზამბარული ფოლადი.

პევმატური მემბრანული აღმასრულებელი მექანიზმები მზადდება ორი სახის: პირდაპირსვლიანი და მერხევი. პირდაპირსვლიანებში გამოსასვლელი რგოლი (ჭოკი) ასრულებს უკუმოქცევგადატანით მოძრაობას, ხოლო მერხევ მექანიზმებში გამოსასვლელი რგოლი (ბერკეტი) კი რხევით მოძრაობას.

მემბრანული აღმასრულებელი მექანიზმი ჭოკის უკუმოქცევგადატანითი მოძრაობით გამოიყენება მარეგულირებელი დროსელური სარქველების მართვისათვის. კონსტრუქციულად მემბრანული აღმასრულებელი მოწყობილობა და სარქველი გაერთიანებულია და იწოდება “მარეგულირებელ სარქველად”. არსებობს სამი ძირითადი ტიპი: МИМ – ორპოზიციანი და პროპორციული რეგულირებისათვის; РКУТ – პროპორციული რეგულირებისათვის; ПРК – მცირე სარჯებისათვის.

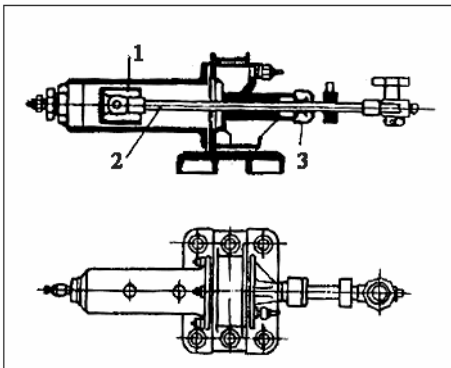
მაგალითის სახით ნახაზზე 5.18 მოყვანილია МИМ ტიპის აღმასრულებელი მექანიზმი.



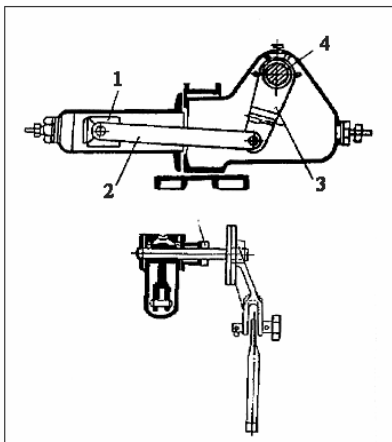
ნახ.5.18. МИМ ტიპის აღმასრულებელი მექანიზმის მარჯულირებელი სარქველის სქემა. 1 – ბუგელი; 2 – მემბრანა; 3 – ზამბარა; 4 – საყრდენი დისკო; 5 – ჭოკი; 6 – ჩობალი; 7 – საზეთი მოწყობილობა; 8 – კორკუსი; 9 – სახურავი; 10 – უნაგირი; 11 – მკეთარა; YY - სამართავი მოწყობილობა

მემბრანული მერხევი (ბერკეტული) აღმასრულებელი მექანიზმები გათვალისწინებულია ძირითადად საბრუნი საფარების რეგულირებისათვის.

დგუშიანი აღმასრულებელი მექანიზმები (ნახ.5.19, ნახ.5.20) გამოიყენება მარეგულირებელი დროსელური სარქველებისა და საფარების მართვისათვის.



ნახ.5.19. დგუშიანი აღმასრულებელი მექანიზმი. 1 – დგუში; 2 – ჭოკი; 3 – საჩობალო შემკვრივება



ნახ.5.20. დგუშიანი მრუდმხარა აღმასრულებელი მექანიზმი. 1 – დგუში; 2 – ჭოკი; 3 – მრუდმხარა მექანიზმი; 4 – ლილვი; 5 – საჩობალო შემკვრივება

## §4. პიდრავლიკური ამძრავი

### პიდრავლიკური აღმასრულებელი მექანიზმები

ავტომატურ სისტემებში პიდრავლიკური ამძრავის ფართო გამოყენება აისხნება მისი უპირატესობებით სხვა სახის ამძრავთან შედარებით. პიდრავლიკური ამძრავის უპირატესობებია:

- 1) მექანიზმების მცირე ზომების დროს დიდი ძალებისა და სიმძლავრეების განხორციელების სიადვილე;
- 2) მცირე ხვედრითი წონა განვითარებული სიმძლავრის ერთეულზე;
- 3) სიჩქარის უსაფეხურო რეგულირების მიღების სიადვილე;

**4) მდოვრე მოძრაობების მიღების შესაძლებლობა;**

**5) სწორხაზოგანი მოძრაობების განხორციელების სიადგილე;**

**6) ჰიდრავლიკური მექანიზმების მუშაობის ავტომატიზაციის სიმარტივე;**

**7) ჰიდრავლიკური მექანიზმების ავტომატური შეზეთვა მუშა სითხით;**

**8) სწრაფმოქმედება;**

**9) სითხის ნაკადის ენერგიის უკუმოქცევადატანითი და ბრუნვითი მოძრაობების მექანიკურ ენერგიად გარდაქმნის შესაძლებლობა შეალები, კინემატიკური კავშირის (რედუქტორის) გარეშე.**

**ჰიდრავლიკური ძრავების ნაკლოვანებებია:**

**1) სიჩქარის მომატებისას მილსადენებში მუშა სითხის ხახუნზე კარგვების გაზრდა; ეს განსაზღვრავს მილსადენებში ნაკადის დასაშვები სიჩქარეების მნიშვნელობებს 8-15 მ/წ-ში, ხოლო ტუმბოებისა და ჰიდრავლიკური ძრავების ბრუნვათა რიცხვს – 3500 ბრ/წ-ში;**

**2) ჰიდროსისტემის მუშაობის დამოკიდებულება მუშა სითხის ტემპერატურისა და სიბლანტის ცვალებადობაზე;**

**3) სითხის კუმულატობა, რაც შესამჩნევია ჰიდროსისტემი მუშა სითხის დიდი მოცულობების დროს;**

**4) მუშა სითხის შიგა და გარე გადინება (გაუზონვა);**

**5) ჰიდროსისტემებში გამოყენებული მინერალური ზეთების ცეცხლსაფრთხეება;**

**6) ჰიდროგადაცემის წრედების სირთულე და მილგაუგანილობის ნაკლები მოქნილობა.**

ჰიდროამძრავი შედგება შემდეგი ძირითადი ელემენტებისაგან: ტუმბოს, ჰიდროძრავას, გადაცემის სისტემის, მართვის მოწყობილობებისა და დამხმარე მოწყობილობებისაგან.

ჰიდროამძრავის ტუმბო მოქმედებაში მოდის წვეულებრივ ელექტროძრავისაგან. ტუმბო ელექტრულ ენერგიას გარდაქმნის მუშა სითხის პოტენციალურ და კინეტიკურ ენერგიებად.

ჰიდროამძრავებში მუშა გარემოს წარმოადგენენ სითხეები – მინერალური ზეთი, სპირტისა და გლიცერინის ნარევი, წყალი.

ჰიდრავლიკური ტუმბო მუშა სითხეს ჭირხნის ჰიდროძრავაში; იგი სითხის პოტენციალურ და კინეტიკურ

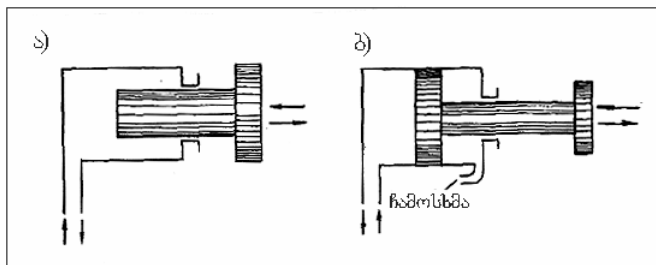
ენერგიას გარდაქმნის მექანიკურ ენერგიად, რომელსაც მოქმედებაში მოჰყავს მუშა მექანიზმები.

პიდროამძრავები იყოფიან კინეტიკურ ანუ ტურბინის და სტატიკურ ანუ მოცულობით ამძრავებად. უფრო მეტად გავრცელებულია სტატიკური პიდროამძრავები, რომლებშიც გამოყენებულია ტუმბოს მიერ დაჭირხნული სითხის წნევის ენერგია.

გადაცემის სისტემა წარმოადგენს მოწყობილობას (მილსადენების) მუშა სითხის ტრანსპორტირებისათვის და მოწყობილობას პიდროსისტემის მუშაობის მართვისათვის (სარქველები, მკვეთარები, ონგანები, აპუტულატორები, საფარები). ისინი გათვალისწინებულია ზეთის ნაკადის მისაწოდებლად პიდროსისტემის სხვადასხვა მექანიზმებში, მათი მოქმედების მიმდევრობის მართვისათვის და ზეთის სარინებად რეზერვუარში.

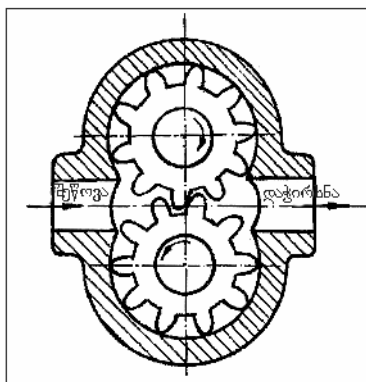
დამხმარე მოწყობილობა შედგება რეზერვუარისა და ფილტრებისაგან. რეზერვუარი განკუთვნილია პიდროსისტემის კვებისათვის მუშა სითხით.

სწორხაზოვანი გადატანითი მოძრაობების მისადებად ფართოდ გამოიყენება არაროტაციული დგუშები და ყვინთები. ყვინთას (ნახ.5.21,ა) სიგრძე აღემატება მისი სვლის სიდიდეს. დგუშს (ნახ.5.21,ბ) აქვს მცირე სიგრძე. იგი მოძრაობს ცილინდრში, რომლის მუშა ზედაპირი დამუშავებულია. დგუშები იყოფიან მარტივი ქმედებისა და ორმაგი ქმედების დგუშებად. თუ დგუში განიცდის სითხის წნევის მოქმედებას ერთი მხრიდან, იწოდება მარტივი ქმედების დგუშად, ხოლო თუ მუშა სითხის წნევის მოქმედებით დგუში გადაადგილდება შენაცვლებით ორივე მიმართულებით – ორმაგი ქმედების დგუშად. ყვინთა და მარტივი ქმედების დგუშები სითხის წნევის მოქმედებით მოძრაობენ ერთი მიმართულებით, ხოლო საწყის მდგომარეობაში ბრუნდებიან საკუთარი წონის, ზამბარის ან ელექტრომაგნიტის წევის ძალვის გავლენით.



ნახ.5.21. პიდრავლიკური ამძრავი: а) ყვინთა; б) დგუში

პიდრავლიკურ სისტემებში ფართოდ გამოყენებულ ტუმბოებს შეუძლიათ იმუშაონ, როგორც პიდროძრავებმა. კბილანური ტუმბოები და პიდროძრავები შედგებიან ორი კბილანისაგან, რომლებიც ერთმანეთთან იმყოფებიან გარე მოდებაში. კბილანები ბრუნავენ შემჭიდროებულ კორპუსში. ღრეჩოები კბილანების კბილებსა და კორპუსის კედლებს შორის ძალიან მცირება (ნახ.5.22). კბილანებიდან ერთ-ერთი, რომელიც დამაგრებულია ამძრავ ლილვზე, წარმოადგენს წამყვანს, ხოლო მეორე ამყოლს. კბილანების მოდებაში შესვლის ადგილთან მიერთებულია საჭირხი, ხოლო მოდებიდან გამოსვლის ადგილთან შემწოვი. კბილების შვერილები მოდებაში შესვლისას კბილების ღრმულებიდან გამოდევნიან ზეთს და ქმნიან დაჭირხების წნევას. კბილების მოდებიდან გამოსვლისას წარმოიქმნება გაიშვიათება და ადგილი აქვს სითხის შეწოვას.



ნახ.5.22. კბილანური ტუმბოს სქემა

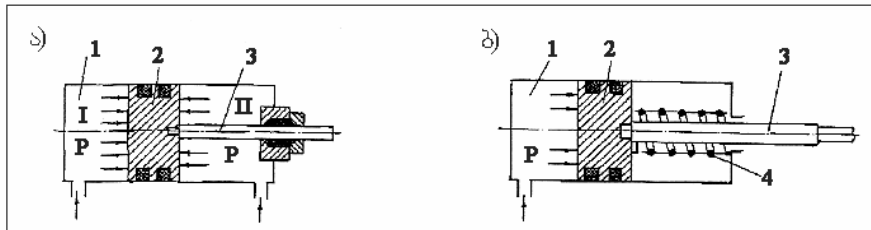
მარეგულირებელი მოწყობილობები ადგენენ საჭირო წევებს, ნაკადის სიჩქარეს, მექანიზმების გადაადგილების სიდიდეს, სიჩქარესა და აჩქარებას. პიდროამძრავის მექანიზმების მართვა შესაძლებელია უშუალოდ ან დამხმარე (სერვო) მოწყობილობების საშუალებით.

პიდრავლიკური სისტემა შედგება სამი ძირითადი წრედისაგან:

- 1) ძალური, რომელშიაც შედის ტუმბო;
- 2) გამანაწილებელი, რომელიც გათვალისწინებულია პიდრავლიკური მექანიზმის მოქმედების სიჩქარისა და მიმართულების განსასაზღვრად;
- 3) მუშა, გათვალისწინებული მუშა სითხის ენერგიის გარდასაქმნელად მოქმედი აგრეგატების მექანიკურ ენერგიად (ძალური ცილინდრები).

ძალურ ცილინდრებში პიდრავლიკური პოტენციალური ენერგია გარდაიქმნება დგუშის გადაადგილების მექანიკურ ენერგიად. მაშასადამე, ძალური ცილინდრი წარმოადგენს ძრავს სწორხაზოვანი ან კუთხური უკუმოქცევგადატანითი მოძრაობით.

ძალური ცილინდრები, დაუშების ანალოგიურად, იყოფიან, ერთმხრივი, ძალური მოქმედებისა და ორმხრივი ძალური მოქმედების ცილინდრებად (ნახ.5.23). დგუში (2) ჭოკით (3) ცილინდრში (1) მუშა სითხის წევის მოქმედებით, შენაცვლებით გადაადგილდება ორივე მიმართულებით. ცილინდრის I და II სიდრუეებში წევის ქვეშ სითხის მიწოდების რეგულირება წარმოებს მკვეთარა მოწყობილობით.



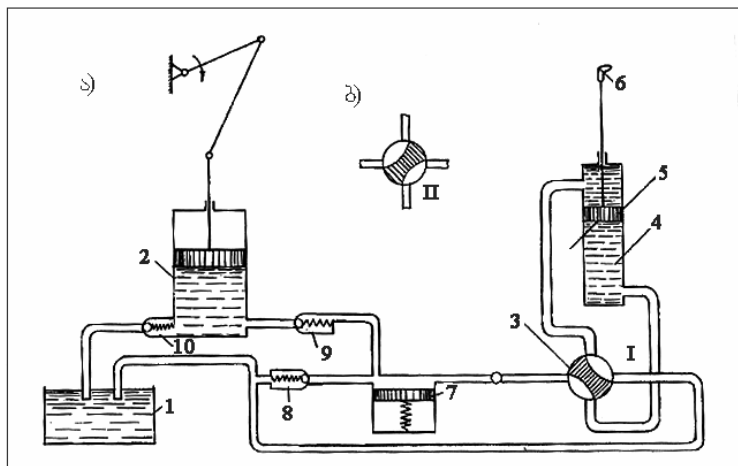
ნახ.5.23. პიდრავლიკური ცილინდრები: а) ორმხრივი ქმედების; ბ) ერთმხრივი ქმედების

ერთმხრივი ქმედების ძალურ ცილინდრებში დგუში (2) და ჭოკი (3) ცილინდრში (1) მუშა სითხის წევის მო-

ქმედებით გადაადგილდება ერთ მხარეს, ხოლო საწინააღმდეგო მხარეს – ზამბარის (4) ძალვით.

ნახაზზე 5.24 მოცემულია პიდროსისტემის სქემა უკუმოქცევადაბანითი მოძრაობისათვის. მუშა სითხე ავზიდან (1) ტუმბოთი (2) შემშვები სარქველით (10) რევერსული მკვეთარას (3) საშუალებით მიეწოდება ძალური ცილინდრის (4) ქვედა სიღრუეში ან ზედა სიღრუეში. ამ დროს დგუში (5) და მასთან დაკავშირებული ბერკეტი ასრულებს მოძრაობას. მკვეთარას (3) I მდგომარეობაში ყოფნის დროს სითხე წნევის ქვეშ მიეწოდება ცილინდრის ზედა სიღრუეში, ხოლო ქვედა სიღრუეიდან სითხე გამოიდევნება და მკვეთარას გავლით მიემართება ავზში (1). დგუშის გადასაადგილებლად საწინააღმდეგო მხარეს, საჭიროა მკვეთარა (3) გადაგიყვანოთ II მდგომარეობაში, ე.ი. მოვაპრუნოთ  $90^0$ -ით (ნახ.5.24ბ). მუშა სითხის ნაკადის მიმართულება შეიცვლება. იგი ამ შემთხვევაში მიეწოდება ქვედა სიღრუეში, ხოლო ზედა სიღრუედან სითხე გამანაწილებლის გავლით დაბრუნდება ავზში.

ნახაზზე სარქველი (8) წარმოადგენს დამცველს. ოუპიდროსისტემაში წნევა გადააჭარბებს დაღენილ მნიშვნელობას, სარქველი ისნება და სითხის ნაწილს გაატარებს ავზში დასაბრუნებლად. სარქველი (9) არის შექცეული. სისტემაში წნევის პულსაციის მოგლუვებისათვის გამოყენებულია აკუმულატორი (7).



**ნახ.5.24.** პიდროსისტემის სქემა უკუმოქცევაზადატანითი მოძრაობისათვის

როგორც ზევით იყო აღნიშნული, პიდროსისტემა საშუალებას იძლევა ვარეგულიროთ ძალური ცილინდრის დგუშის გადაადგილების სიჩქარე. დგუშის გადაადგილების სიჩქარის რეგულირება გამოისახება ფორმულით:

$$V = \frac{Q}{F} \text{ სმ/წთ,} \quad (5.5)$$

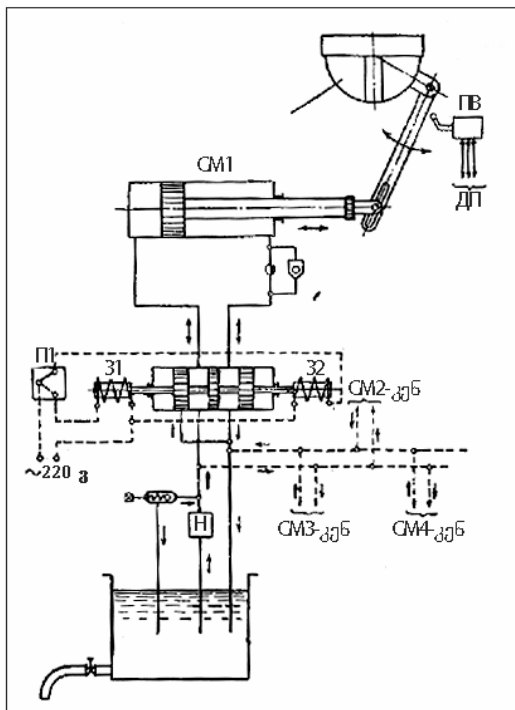
სადაც  $Q$  არის სითხის ხარჯი, სმ<sup>3</sup>/წთ;

$F$  – დგუშის ეფექტური ფართი, სმ<sup>2</sup>.

ვინაიდან დგუშის ეფექტური ფართი წარმოადგენს მუდმივ სიდიდეს, ამიტომ დგუშის მოძრაობის სიჩქარის რეგულირება ხორციელდება ხარჯის შეცვლით. აქედან გამომდინარეობს სიჩქარის რეგულირების ორი წესი – მოცულობითი და დროსელური.

პიდროამძრავში მოცულობითი რეგულირებით მარეგულირებელ მოწყობილობად გამოყენებულია ცვლადი მწარმოებლურობის მქონე ტუმბო. ამ შემთხვევაში შესასვლელ სიგნალს წარმოადგენს ტუმბოს მწარმოებლურობა. პიდროამძრავის მ.ქ.კ. ტოლია 0,5-0,7.

დროსელური რეგულირების დროს შესასვლელ სიგნალს წარმოადგენს დროსელის (პიდრავლიკური წინააღმდეგობა) გახსნის სიდიდე ან მკვეთარა წყვილის გადაადგილების სიდიდე (ნახ.5.25), ხოლო გამოსასვლელ სიგნალს დგუშის გადაადგილება პიდროცილინდრში. დროსელური რეგულირება გამოიყენება ტუმბოს მუდმივი მწარმოებლურობის დროს. პიდროამძრავების (დროსელური რეგულირებით) მ.ქ.კ. შეადგენს 0,25-0,30.



ნახ.5.25. პიდროამძრავი ორმხრივი ქმედების ძალური ცილინდრით. CM1, CM2, CM3, CM4 - სერვოძრავები; 31, 32 - ელექტრომაგნიტები მკვეთარას სამართავად; P1 - გადამრთველი ელექტრომაგნიტების დისტანციურად ჩასართავად; H - ტუმბო; PB - საგზაო ამომრთველი; P2 - საღისპეტრერო პუნქტი.

პიდრავლიკური აღმასრულებელი მექანიზმები მზადდება ორი ტიპის: МГК – პიდრავლიკური მრუდმხარა მექანიზმები (მოსაბრუნებელი ლილვით) და МГП – პიდრავლიკური პირდაპირსვლიანი მექანიზმები (ჭოკის გადატანითი მოძრაობით).

დგუშიანი აღმასრულებელი მექანიზმის მოქმედების პრინციპი (ნახ.5.19) ემყარება ჭოკის გადაადგილებას, რომელიც გამოწვეულია მუშა სითხის წევენით დგუშის გადაადგილებით.

ორმხრივი ძალური მოქმედების პიდრავლიკურ აღმასრულებელ მექანიზმებში დგუშის მოძრაობა იწყება მაშინ, როდესაც მუშა სითხის დაწნევის ძალა აღმასრულებელი მექანიზმის მუშა სიღრუეში აღემატება ჯამურ ძალას – ჭოკზე მოქმედი საანგარიშო ძალა, ხახუნის ძალა და უკუ-

წნევა სიღრუეში, საიდანაც მუშა სითხე გამოედინება ჩამოსასხმელად. ამ დროს

$$P \cdot S > R + F_b + P_g \cdot S', \quad (5.6)$$

სადაც  $P$  არის მუშა სითხის წნევა აღმასრულებელი მექანიზმის მუშა სიღრუეში;

$S$  და  $S'$  – დგუშის ტორსების ეფექტური ფართი;

$R$  – საანგარიშო ძალგა ჭოკზე;

$P_g$  – მუშა სითხის უკუწნევა ჩამოსხმის მხრიდან.

აღმასრულებელ მექანიზმებში, რომლებშიც ჭოკი დგუშის მხოლოდ ცალ მხარესაა  $S$  და  $S'$  ფართები განსხვავდებიან ჭოკის განივევეოთის ფართის სიდიდით.

პიდრავლიკურ მრუდმხარა აღმასრულებელ მექანიზმში დგუშის გადაადგილებით ბარბაცას და მრუდმხარას საშუალებით შემობრუნდება გამოსასვლელი ლილვი. მარეგულირებელი ორგანო ლილვთან შეიძლება შეერთებული იყოს უშუალოდ ან წამქანი ბერკეტის საშუალებით. მუშა სითხე წნევის ქვეშ მიუწოდება რეგულატორიდან მილყელებით (ნახ.5.20).

МГК ტიპის მექანიზმის გამოსასვლელი ლილვის მობრუნების კუთხე შეადგენს  $90^{\circ}$ ; МГП ტიპის მექანიზმის ჭოკის სრული მუშა სვლის სიდიდე  $L$  დამოკიდებულია დგუშის დიამეტრზე  $D$  და ტოლია:

$$D=60;80 \text{ და } 100 \text{ მმ} \quad D=100,160 \text{ და } 250 \text{ მმ};$$

$$D=120 \text{ და } 160 \text{ მმ} \quad D=400,630 \text{ და } 1000 \text{ მმ}.$$

პიდრავლიკური და პნევმატური წრედების გამანაწილებელი და მარეგულირებელი აპარატურის პირობითი გრაფიკული აღნიშვნები მოცემულია სათანადო სახელმწიფო სტანდარტში.

## ელექტროამძრავების აპტომატური მართვისა და დაცვის აკარატურა მშენებლობაში

### §1. ზოგადი ცხობები

ამწე-სატრანსპორტო და სხვა სამშენებლო მანქანების ელექტროამძრავებში ამჟამად ფართოდ გამოიყენება, როგორც მუდმივი, ასევე ცვლადი დენის ძრავები. განსაკუთრებით ფართოდ ინერგება ელექტროამძრავების სისტემები ცვლად დენზე, რომლებიც უზრუნველყოფენ დიდი ეკონომიკური ეფექტის მიღებას და მისაღებ გაშვებისა და სარეგულირებელ მახასიათებლებს.

სამშენებლო მანქანების აპარატურის დიდი დატვირთვების ქვეშ ხანგრძლივი დროით მუშაობა განაპირობებს გადასვლას მართვის კონტაქტორულ-რელეური აპარატურიდან უკონტაქტორ ლოგიკურ ელემენტებზე, როთაც იზრდება მართვის სქემების მუშაობის საიმედობა, თუმცა მთელ რიგ შემთხვევებში რთულდება სქემები.

ამჟამად ტარდება მნიშვნელოვანი კვლევითი სამუშაოები ამწე მექანიზმებისა და უწყვეტი ტრანსპორტის მექანიზმების ასინქრონული ძრავების სამართვად ტირისტორული გარდამქმნელების გამოყენებისათვის. ძრავას მართვა წარმოებს სტატორთან მიყვანილი ძაბვის ცვალებადობის შეხამებით როტორის წრედში დენის რეგულირების იმპულსურ წესთან. ძრავას სიჩქარის რეგულირება ხდება როტორის წრედში იმპულსების მოქმედების ხანგრძლივობის ცვალებადობით. ძრავას მუშაობის რეჟიმის შერჩევა ხორციელდება ძრავას სტატორისა და როტორის წრედებში ტირისტორების მართვის ლოგიკური სქემით.

სრულდება ცდები ელექტროამძრავების უნიფიცირებული სისტემების შესაქმნელად სტატიკური გარდამქმნელებით.

სულ უფრო ფართოდ გამოიყენება ავტომატიზებული ელექტროამძრავის თანამედროვე სისტემებში გამომთვლელი მოწყობილობები, რომლებიც იძლევიან რთული ტექნოლოგიური პროცესებისა და ცალკეული დანადგარების ავტომატიზაციის საშუალებას. ავტომატიზაციის განვითარება გა-

მომთვლელი ტექნიკის ბაზაზე იძლევა მართვის კიბერნეტიკული მეთოდების გამოყენების საშუალებას.

მნიშვნელოვანი გავრცელება პპოვეს პროგრამული მართვის კორდინაციულმა სისტემებისა, პერფორმუქების ან კომუტაციონურების გამოყენებით.

სწრაფი ტექნიკით ვითარდება ტელემექანიზაცია და რადიომართვა.

ამრიგად, თანამედროვე ავტომატიზებულ ამძრავს გააჩნია ავტომატური მართვა, რომელიც ხორციელდება: კონტაქტორულ-რელეური აპარატურის, ელექტრომანქანური ავტომატიკისა და მაგნიტური გამაძლიერებლების, იონურელექტრონული აპარატურის, ნახევარგამტარებისა და მაგნიტური გამაძლიერებლების საშუალებით განხორციელებული უკონტაქტო სქემების, ტირისტორული და სტატიკური გარდამქნელების, პროგრამული მართვის კორდინაციული სისტემების, ტელე და რადიო მართვის დახმარებით.

თანამედროვე ამწე-სატრანსპორტო და სამშენებლო მანქანებისათვის ფართოდ გამოიყენება რელეურკონტაქტორული მართვა.

## §2. ელექტროამძრავების აგტომატური მართვის აპარატების დანიშნულება და კლასიფიკაცია

მართვისა და დაცვის აპარატები ასრულებენ შემდეგ ფუნქციებს:

1) ელექტრული ენერგიის მომხმარებლების ელექტრომიმღებების და ელექტრული წრედების ჩართვა და გამორთვა;

2) ელექტრომიმღებების და ელექტრული წრედების ელექტრული დაცვა გადატვირთვისა და მოკლე შერთვისაგან; ელექტროძრავების დაცვა ძაბვის დაწევისა და თვითგაშვებისაგან;

3) ელექტროძრავების ბრუნვის სიჩქარის რეგულირება;

4) ელექტროძრავების ელექტრული დამუხრუჭება;

5) ელექტროძრავების რევერსირება.

მართვის აპარატი შეიძლება ახორციელებდეს ზემოთ აღნიშნული ფუნქციებიდან ერთს ან რამდენიმეს. ელექტროძრავების ანალოგიურად მართვის აპარატები მუშაობის რეჟიმის მიხედვით იყოფიან:

- 1) სანგრძლივი მუშაობის რეჟიმისათვის;
- 2) უწყვეტი მუშაობის რეჟიმისათვის;
- 3) სანმოკლე მუშაობის რეჟიმისათვის;
- 4) განმეორებითი-ხანმოკლე მუშაობის რეჟიმისათვის.

სანგრძლივი მუშაობის რეჟიმის დროს აპარატი იმყოფება დატვირთვის ქვეშ 8 საათზე ნაკლები დროის განმავლობაში. უწყვეტი მუშაობის რეჟიმის შემთხვევაში – 8 საათზე მეტი დროის განმავლობაში. ხანმოკლე მუშაობის რეჟიმის აპარატების ჩართვა წარმოებს ხანმოკლე პერიოდით, ხოლო გამორთვის დრო (პაუზა) საგმარისია აპარატის მთლიანად გაცივებისათვის. განმეორებითი – ხანმოკლე მუშაობის რეჟიმის დროს, აპარატების ჩართვის პერიოდების რეგულარულად მონაცევლება წარმოებს გამორთვის პერიოდებით.

კონსტრუქციული შესრულების მიხედვით მართვის აპარატები იყოფიან დია, დახურულ, დაცულ, მტკერშეუღწევ და სხვ.

ავტომატურ რელეურ კონტაქტორული მართვის სქემებში გამოყენებული აპარატები იყოფიან სამ ძირითად ჯიშფად:

- 1) კონტაქტორები; 2) რელეები; 3) კომანდოაპარატები.

კონტაქტორები განკუთვნილია ელექტრული მანქანების მთავარ ძალურ წრედებში ხშირი ჩართვებისა და გამორთვებისათვის. მათ შეუძლიათ მოქმედება ავტომატურად მართვადი წრედის ელექტრული სიდიდეების (მაგალითად, დენის ან ძაბვის) ცვალებადობისაგან ან სხვა აპარატების ზემოქმედებისაგან დამოკიდებულებით.

რელე არის მოწყობილობა, რომელიც ნახტომისებურად ცვლის გამოსასვლელ სიგნალს შესასვლელი სიგნალის მოქმედებით, ე.ი. ახორციელებს მართვის “კი-არა” ტიპის დისკრეტულ ფუნქციას. რელე თვითონ არ აწარმოებს ჩართვასა და გამორთვას. იგი მოქმედებს პირველი ჯგუფის აპარატების (კონტაქტორების) მართვის წრედზე.

კომანდოაპარატები საშუალებას იძლევიან ზემოქმედება მოვახდინოთ კონტაქტორებისა და რელეების მართვის წრედზე.

მართვის აპარატების აღმასრულებელ ორგანოებს წარმოადგენენ კონტაქტები. კონტაქტების მახასიათებლებს კი კონტაქტის გაშლა და კონტაქტის ჩაქცევა. კონტაქტის გაშლა ეწოდება კონტაქტების მოძრავ და უძრავ ზედაპირებს შორის

უმოკლეს მანძილს განრთულ მდგომარეობაში. კონტაქტის ჩაქცევა ეწოდება მანძილს, რომელზედაც გადააღგილდება უძრავი და მოძრავი კონტაქტების შეხების ადგილი საკონტაქტო ზამბარების შეკუმშვის დროს.

### §3. საკონტაქტო აპარატები. მართვის ლილაპები

საკონტაქტო აპარატები გამოიყენება 500 ვ-მდე ძაბვის მუდმივი და ცვლადი დენის წრედებში. საკონტაქტო აპარატებს მიეკუთვნებიან: მართვის ღილაკები, უნივერსალური გადამრთველები, კომანდოკონტროლერები (კომანდოაპარატები მოქმედებაში მოჰყავთ ხელის ან ფეხის ამძრავით) და საგზაო და ბოლო ამორტველები (საკონტაქტო აპარატის ასამოქმედებლად გამოყენებულია მუშა მანქანა). კომანდოკონტროლერი-სათვის გამოიყენება აგრეთვე ელექტროამძრავი.

კომანდოაპარატები პოულობენ ფართო გამოყენებას ელექტრული მანქანებისა და აპარატების ღისტანციური მართვი-სათვის და ელექტროამძრავის ავტომატიზაციის სქემებში.

ჩამრთველი და გადამრთველი კონტაქტების მოწყობილობისა და მოქმედებისაგან დამოკიდებულებით კომანდო აპარატები იყოფიან ორ ტიპად:

ა) კომანდოაპარატები კნოპური მართვით (გამოიყენება ხელითა და ღისტანციური მართვის დროს);

ბ) მბრუნავი კომანდოაპარატები (გამოიყენება ღისტანციური და ავტომატური მართვის დროს).

მართვის ღილაკები განკუთვნილია სხვადასხვა ელექტრომოწყობილობის (კონტაქტორების, მაგნიტური გამშვებების, რელესა და სხვ.) ღისტანციური ჩართვისათვის და გამორთვისათვის. ღილაკები გამოიყენება მუდმივი დენის წრედებში ძაბვით 440 ვ-მდე და ცვლადი დენის წრედებში – 660 ვ-მდე.

მართვის ღილაკები შედგებიან ერთი ან რამდენიმე კნოპური ელემენტისაგან. კნოპურ ელემენტში შედიან საკონტაქტო მოწყობილობა და შტიფტი (ღილაკი), რომელიც მექანიკურად არის დაკავშირებული საკონტაქტო მოწყობილობასთან.

ღილაკებს მოხერხებული სარგებლობის მიზნით უკეთდებათ სხვადასხვაფრად შეღებილი წარწერები “წინ”, “უკან”, “ამჟმავება”, “სდექ” და სხვა (ღილაკი “სდექ” ჩვეულებრივად იღებება წითლად, ხოლო “ამჟმავება” მწვანედ).

КУ ტიპის კონკური ელემენტი შედგება ერთი შემრთველი და ერთი განმრთველი კონტაქტისაგან, რომლებიც ერთ-მანეთთან ელექტრულად არ არიან დაკავშირებული.

შემრთველი ეწოდება ელექტრულ კონტაქტს, რომელიც სამართი კოჭას წრედში ძაბვის ან მექანიკური ზემოქმედების არარსებობისას რჩება გათიშული; განმრთველი ეწოდება ელექტრულ კონტაქტს, რომელიც სამართი კოჭას წრედში ძაბვის ან მექანიკური ზემოქმედების არარსებობის შემთხვევაში იმყოფება შეკრულ მდგომარეობაში.

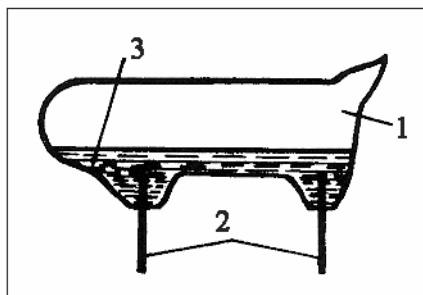
ღილაკზე “სდექ” თითის დაჭრისას ღილაკის მოძრაობა გადაეცემა დეროს, რომელიც მოძრავი კონტაქტის საშუალებით თიშავს წრედს. ღილაკის გათვისუფლებისას ზამბარა მას აბრუნებს საწყის მდგომარეობაში. ღილაკზე “ამჟმავება” დაჭრისას კი, მოძრავი კონტაქტი შერთავს ელექტრული წრედის კონტაქტებს.

მართვის ღილაკების შერჩევისათვის საჭიროა განისაზღვროს აუცილებელი შესრულება დაცვის წესის მიხედვით (ღია, დაცული, მტვერშეუღწევი, ფეთქებადუსაფრთხო) და შემდეგ შტიფტების რიცხვის მიხედვით (ერთ, ორ, სამ-შტიფტიანი); კონტაქტების შერჩევა საჭიროა განხორციელდეს დატვირთვის ხანგრძლივი დენის დასაშვები სიდიდის მიხედვით (რომელიც არ აღემატება 15 ამპ), დასაშვები დენის სიდიდის მიხედვით (რომელიც არ აღემატება 15 ამპ.), დასაშვები დენის სიდიდის მიხედვით, რომელიც წყდება ინდუქციურ წრედში (20 ამპ-მდე), დასაშვები ჩართვის დენის სიდიდის მიხედვით (არა უმეტესი 60 ამპ.).

#### §4. ვერცხლისწყლის პონტაპტები

ვერცხლისწყლის კონტაქტები წარმოადგენენ მინის მილაკს, რომელშიც ჩარჩილულია ორი, ან ოთხი ლითონის კონტაქტი და ჩასხმულია მცირე რაოდენობით ვერცხლისწყლი; მილაკი დარჩილულია ორივე მხრიდან (ნახ.6.1).

პორიზონტალურ მდგომარეობაში ვერცხლისწყალი (3) შერთავს ელექტრულ წრედს, რომელშიც ჩართული არიან ლი-ოთონის ელექტროდები – კონტაქტები (2). თუ მიღავს (1) დაგხრით, ვერცხლისწყალი გადაისხმება მიღავს ერთ მხარეს და მისი დონე ადარ შეეხება მეორე ელექტროდს. ამ შემთხვევაში ელექტროწრედი იქნება განრთული. ვერცხლისწყლის კონტაქტები მცირე სიმძლავრის კონტაქტებია. ისინი გამოიყენება მართვის, სიგნალიზაციის წრედებში და, აგრეთვე, აპარატურაში. ვერცხლისწყლის კონტაქტი მიემა-გრება ტექნოლოგიური მექანიზმის შესაბამის მუშა ორგანოს ისეთნაირად, რომ ნორმალურ მდგომარეობაში ვერცხლისწყალი ახდენდეს ელექტრული წრედის შერთვას (ან განრთვას). მუშაობის პროცესში მუშა ორგანოს გადახრა საწყისი მდგომარეობიდან იწვევს, აგრეთვე, ვერცხლისწყლიანი მიღავს გადახრას და ვერცხლისწყალი განრთავს მართვის ან სიგნალიზაციის წრედს.



ნახ.6.1. ვერცხლისწყლის კონტაქტი

ვერცხლისწყლის კონტაქტები დაყენებულია ავტომატურ სასწორზე, ავტომატურ დოზატორზე, დონის სიგნალიზატორებზე, ტიგტიგა რელეზე და სხვა მოწყობილობებზე.

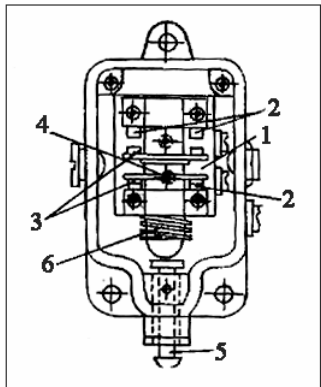
## §5. საბზაო (გოლო) ამომრთველები

საგზაო ამომრთველები განკუთვნილია მანქანებისა და მექანიზმების გამოსართავად. მათი ამოქმედება ხდება მანქანებისა და მექანიზმების მოძრავი ნაწილებით. ამომრთველები გამოყენებულია, როგორც კომანდოპარატური მოძ

რავი მექანიზმების ავტომატური მართვის დროს და, აგრეთვე, სხვადასხვა მანქანის სვლის აგარიული შეზღუდვის მიზნით.

ნახაზზე 6.2 წარმოდგენილია მყისი მოქმედების ბოლო ამომრთველი, რომლის დია კონტაქტის შერთვის დრო და დახურული კონტაქტის განრთვის დრო არ აღემატება 0,1 წამს.

ბოლო ამომრთველებს გააჩნიათ საკლემე ხუნდები (1), რომლებზედაც დამაგრებულია უძრავი კონტაქტები (2). მოძრავი კონტაქტები (3), განლაგებულია პლასტმასის სპეციალურ ლილვაკზე (4). ამომრთველის კონტაქტები გადაადგილდება მხიძავთან (5) დაკავშირებული ლილვაკის მდებარეობის შეცვლასთან ერთად. კონტაქტების უკან დაბრუნება საწყის მდგომარეობაში ხორციელდება ზამბარით (6).



ნახ.6.2. ბოლო  
ამომრთველი

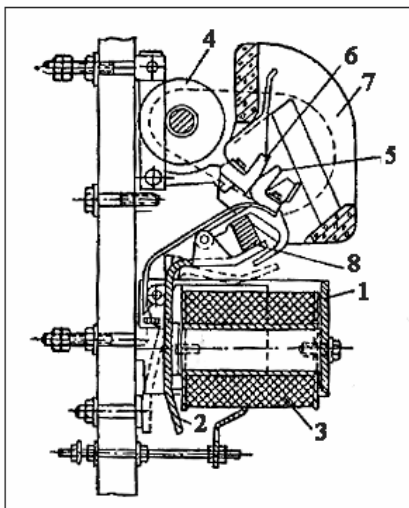
## §6. კონტაქტორები

კონტაქტორი ეწოდება დისტანციური მოქმედების ელექტრო-მაგნიტურ აპარატს, რომელიც განკუთვნილია ელექტრული ძალური წრედის ხშირი ჩართვისა და გამორთვისათვის, დატვირთვის ქვეშ (ძაბვით 1000 ვ-დე და დენის ძალით 600-ა-მდე). კონტაქტორი შეიძლება იყოს რევერსიული და არარევერსიული.

კონტაქტორები ფართოდ გამოიყენება მშენებლობაში სხვადასხვა მანქანისა და მექანიზმის: კონვეიერების, ბეტონ-შემრევი კვანძების, კოშკური ამწევების და სხვ. ამძრავების დისტანციური მართვისათვის, ელექტროძრავების ნულოვანი დაცვის მიზნით (მკვებავ ქსელში ძაბვის გაქრობის შემ

თხვევაში გამორთავს ძრავს, ხოლო განმეორებით ძაბვის მიწოდებისას თვითონ არ ჩაირთვება).

ნახ.6.3 გამოსახულია მუდმივი დენის კონტაქტორი შემრთველი კონტაქტებით. 1 – არის უძრავი კონტაქტი; 2 – მოძრავი კონტაქტი; 3 – კონტაქტის ზამბარა; 4 – მოძრავი კონტაქტის სუპორტი; 5 – უდელი; 6 – შემზიდი კოჭა; 7 – ღუზა; 8 – რკალჩამქრობი კამერა. კოჭაში დენის გავლის დროს უდელთან მიზიდება ღუზა. ღუზასთან დაკავშირებული მოძრავი კონტაქტი კი მიებჯინება უძრავ კონტაქტს. თუ კოჭაში დენი არ გადის, მაშინ კონტაქტები საკუთარი წონის გავლენით განირთვებიან. ზამბარა უზრუნველყოფს კონტაქტების ურთიერთდაწოლის საჭირო სიდიდეს.

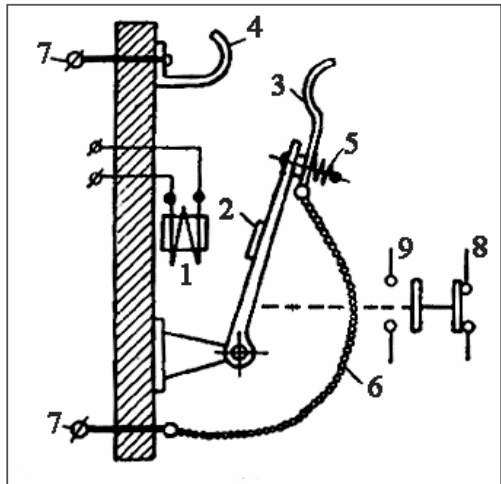


### ნახ.6.3. მუდმივი დენის კონტაქტორი

რკალჩამქრობი მოწყობილობის დანიშნულებაა მაგნიტური ველის შექმნა, რომლის გაგლებითაც კონტაქტების განრთვისას წარმოქმნილი რკალი გრძელდება, წყდება და სწრაფად ქრება.

ნახ. 6.4 წარმოდგენილია ცვლადი დენის სამპოლუსიანი კონტაქტორი. მართვის იმპულსის მოქმედებით დენი მიეწოდება ელექტრომაგნიტის კოჭაში (1), რომელიც მიიზიდავს ღუზას (2) და მასთან სახსრულად დაკავშირებულ მოძრავ მუშა კონტაქტს (3). ეს უკანასკნელი მიებჯინება უძრავ მუშა კონტაქტს (4) ძალით, რომლის სიდიდის რეგულირება ხორ-

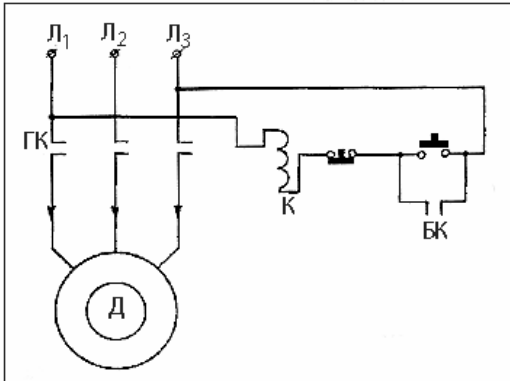
ციელდება ზამბარის (5) საშუალებით. მუშა კონტაქტები შეერთებული არიან მოქნილი სადენით (6) და გამომყვანი მოჭერებით (7) ელექტროამძრავის ძალურ წრედთან. ნახაზზე აღნიშნულია ნორმალურად დახურული (8) და ნორმალურად დია (9) დამხმარე კონტაქტები, რომელთა დანიშნულებაა სხვა წრედების (სიგნალიზაციის, ბლოკირების) ჩართვა ან გამორთვა.



ნახ.6.4. ცვლადი  
დენის  
კონტაქტორის  
სქემა

ნახაზზე 6.5 ნაჩვენებია კონტაქტორის ჩართვის ელექტრული სქემა. ნახაზზე მოძრავი და უძრავი კონტაქტები აღნიშნულია ΓΚ; ბლოკკონტაქტი - БК; შემზიდი კოჭა - К; ფაზები - Л<sub>1</sub>,Л<sub>2</sub>,Л<sub>3</sub> კონტაქტორის ჩართვის შემდეგ შეიძლება დილაკის “ამჟმავება”-მოშვება. წრედი არ გაწყდება, რადგან დენი გადის ჩაკეტილ წრედში: ფაზა ლ<sub>1</sub> – შემზიდი კოჭა К – დილაკი “სდექ” – ბლოკკონტაქტი БК (რომელიც ეხლა შერთულია) და ფაზა ლ<sub>3</sub>. ლილაკზე “სდექ” დაჭერის შემთხვევაში მართვის წრედი განირთვება და ლუზას ლილვი საკუთარი წონის გავლენით გაწყვეტს ძალურ წრედს. ძაბვის შემცირებისას გარკვეულ სიდიდეზე მეტად კონტაქტორი ავტომატურად გამოირთვება, რადგან კონტაქტორის მოძრავი ნაწილების წონა აღემატება შემცირებული ძაბვის დროს, მაგნიტური სისტემის მოძრავ და უძრავ ნაწილებს შორის ურთიერთქმედების ძალას. თუ ძაბვის არსებობის შემთხვევაში დილაკს “ამჟმავება” არ დავაჭერთ,

კონტაქტორი არ ამოქმედდება, ვინაიდან შემზიდი კოჭას წრედი განროტულია. ამით ხორციელდება ელექტროძრავას ნულოვანი დაცვის უზრუნველყოფა.



ნახ.6.5. კონტა-  
ქტორის ჩართვის  
ელექტრული  
სქემა

კონტაქტორები მზადდება მუდმივი დენის წრედებში (КП ტიპის) და ცვლადი დენის წრედებში (КТ ტიპის) სამუშაოდ.

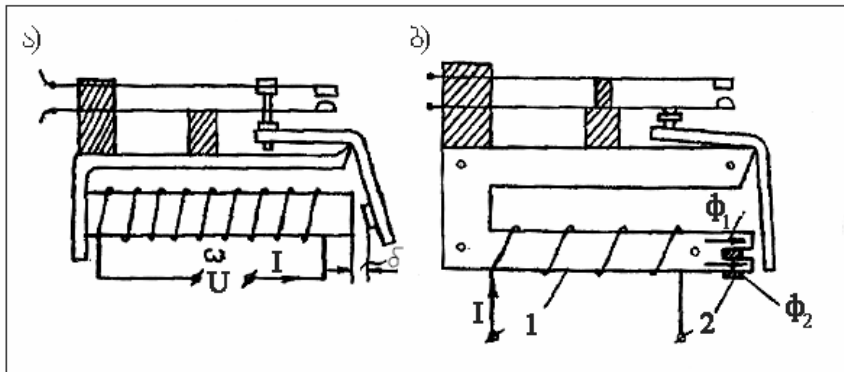
## §7. ელექტრომანიტური რელე

ელექტრომაგნიტური რელე წარმოადგენს ავტომატიკისა და ტელემეტრიკის ერთ-ერთ შემთხვევაზე მეტად გავრცელებულ ელემენტს. ავტომატური და ტელემეტრიკური მართვის დანადგარებში გამოიყენება ათეული და ასეული ელექტრომაგნიტური რელე.

ელექტრომაგნიტურ რელეში წევის ძალვა იქმნება მაგნიტური ველის ენერგიით, რომელიც წარმოიქმნება ელექტრული დენის გავლით კოჭაში. ცნობილია ელექტრომაგნიტური რელეს სამი სახესხვაობა: მუდმივი დენის ნეიტრალური, ცვლადი დენის ნეიტრალური და პოლარიზებული რელეები.

მუდმივი ან ცვლადი დენის ნეიტრალური რელე (ნახ.6.6) ეწოდება ისეთ რელეს, რომლის ღუზაზე კოჭას მაგნიტური ნაკადის მიერ განვითარებული წევის ძალვა არ არის დამოკიდებული კოჭაში გამავალი დენის მიმართულებაზე. ცვლადი დენის ნეიტრალურ რელეში მოქმედებს მფერქავი მაგნიტური ნაკადი, რომელიც იწვევს კარგვებს ჰისტერეზისზე და გრიგალურ დენებზე, რაც შესაბამისად ამცირებს ღუზის წევის ძალვას. გარდა ამისა, დენის ცვლილების

ერთი პერიოდის განმავლობაში წევის ძალა ორჯერ უტოლდება ნულს, რაც იწვევს ღუზის ვიბრაციას. ვიბრაცია იწვევს ხმაურს, აჩქარებს ცვეთას და ართულებს კონტაქტების მუშაობას. ვიბრაციის შემცირების მიზნით იყენებენ მოკლედშერთულ ხვეულიან რელეს (სპეციალური ტიპის რელე) ან რელეს წრედში რთავენ 6-8 მიკროფარადის ტეგადობის კონდენსატორს. ამ შემთხვევებში წევის ძალა არ მცირდება ნულამდე.



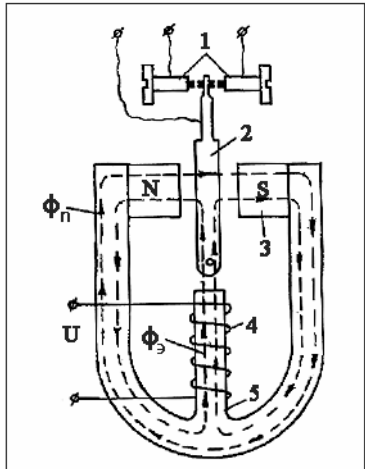
ნახ.6.6. ელექტრომაგნიტური რელე: ა) მუდმივი დენის ნეიტრალური; ბ) ცვლადი დენის ნეიტრალური

კარგვების შემცირების მიზნით ჰისტერეზისზე და გრიგალურ დენებზე რელეს გულარი მზადდება ფურცლოვანი ელექტროტექნიკური ფოლადისაგან სისქით 0,3-0,5 მმ.

ნეიტრალური ელექტრომაგნიტური რელესაგან განსხვავდით პოლარიზებულ რელეს გააჩნია მუდმივი მაგნიტი. პოლარიზებული რელე შედგება ფოლადის გულარისაგან (5) და მაგნიტურებელი კოჭათი (4), ფოლადის მოძრავი ღუზისაგან (2), რომელსაც გააჩნია კონტაქტები მარცხნივ და მარჯვნივ, ორი უძრავი კონტაქტისაგან (1) და მუდმივი მაგნიტისაგან (3) (ნახ.6.7). მუდმივი მაგნიტის მაგნიტური ნაკადი ნახაზზე აღნიშნულია  $\Phi_{\Pi}$ , ხოლო ელექტრომაგნიტური კოჭათი აღმოჩენილი მუშა ნაკადი  $\Phi_{\exists}$ . ეს უკანასკნელი ფოლადის მოძრავ ღუზაში

გავლის შემდეგ იყოფა ორ ნაკადად  $\frac{\Phi_{\exists}}{2}$ , რომელთაგან ერთი მიმართულებით ემთხვევა, ხოლო მეორე საპირისპიროა მუდმივი მაგნიტის მაგნიტური ნაკადისა.

როდესაც კოჭაში (4) ძაბვა არ არსებობს, ნეიტრალურ (ვერტიკალურ) მდგომარეობაში მყოფ ღუზაზე (2) მაცხნიდან და მარჯვნიდან მოქმედებს მუდმივი მაგნიტის ორი ერთნაირი მიზიდვის ძალა. ამ შემთხვევაში ცხადია, რომ  $\Phi_\Theta=0$



ნახ.6.7. პოლარიზებული რელეს კონსტრუქციის პრინციპული სქემა

თუ რელეს გრაგნილში ადგმრავთ ძაბვას, მაშინ ნახაზზე ნაჩვენებ შემთხვევაში მაგნიტის მარჯვენა ღეროში ნაკადები  $\frac{\phi_2}{2}$  და  $\Phi_\Pi$  დაჯამდებიან, რადგან ისინი მიმართულებით ერთ-მანეთს თანხვდებიან, ე.ი.  $\phi' = \frac{\phi_2}{2} + \phi_\Pi$ . მარცხენა ღეროში მაგ-ნიტური ნაკადები ურთიერთსაწინააღმდეგო მიმართულების არიან, ამიტომ  $\phi'' = \frac{\phi_2}{2} - \phi_\Pi$  საერთო ნაკადი მარჯვენა ღეროში აღემატება მაგნიტურ ნაკადს მარცხენა ღეროში ( $\Phi' > \Phi''$ ), რის გამოც რელეს ღუზა მიიზიდება მარჯვნივ და შეკრავს მარ-ჯვენა კონტაქტს. თუ შევცვლით მართვის სიგნალის პო-ლარობას, რელეს ღუზა გადააღგილდება მარცხნივ და შეკ-რავს მარცხენა კონტაქტს.

ნეიტრალურ რელესთან შედარებით პოლარიზებული რელე მეტად მგრძნობიარეა. მისი ამოქმედებისათვის საჭირო სიმძლავრე შეადგენს  $0,5 \times 10^{-3}$  ვატიდან 0,5 ვატამდე. ხასიათ-დება მეტი გადატვირთვის უნარით და ამოქმედების მცირე-

დროით –  $10^{-3}$  – წმ-დან  $1,5 \cdot 10^{-2}$  წმ-დან. ძირითად ნაკლს წარმოადგენს მართვადი (გამოსასვლელი) წრედების მცირე რიცხვი (არა უმეტეს ორისა).

ელექტრომაგნიტური რელეს ძირითადი პარამეტრებია:

**1)** ამოქმედების დენი  $I_a$  – მინიმალური დენი კოჭაში, რომლის დროსაც კონტაქტები საწყის მდგომარეობიდან გადადიან მუშა მდგომარეობაში; **2)** მუშა დენი  $I_a$  – დენი, რომელიც უზრუნველყოფს რელეს კონტაქტების საიმედო მუშაობას ( $I_a$  ყოველთვის აღემატება  $I_{a\theta}$ ); **3)** მოშვების დენი  $I_{a\theta}$  – დენი, რომლის დროსაც რელეს კონტაქტები მუშა მდგომარეობიდან გადადიან საწყის მდგომარეობაში; **4)** მარაგის კოეფიციენტები ამოქმედებისა  $K_{a\theta} = \frac{I_a}{I_{a\theta}}$  და მოშვების

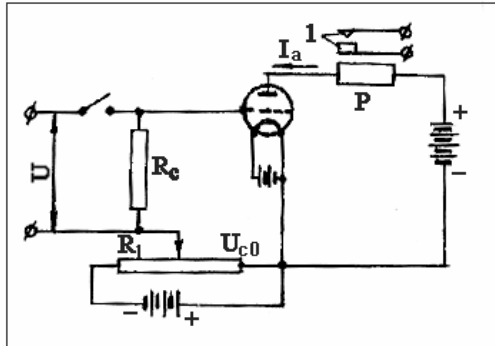
მიხედვით  $K_{a\theta} = \frac{I_a}{I_{a\theta}}$ ; **5)** გაძლიერების კოეფიციენტი

$K_a = \frac{P_{\text{კონტ}}}{P_a}$ , რომელიც გვიჩვენებს მართვადი სიმძლავრე (კონტაქტებზე)  $P_{\text{კონტ}}$  რამდენჯერ აღემატება კოჭას მმართველ სიმძლავრეს  $P_a$ ; **6)** ამოქმედების დრო  $t_a$  – დრო, რომელიც საჭიროა კონტაქტების შერთვისათვის კოჭაზე კვების მიწოდების შემდეგ; **7)** მოშვების დრო  $t_{a\theta}$  – დრო, რომელიც საჭიროა კონტაქტების სრული განრთვისათვის კოჭაზე კვების მიწოდების შეწყვეტის შემდეგ.

## §8. ელექტრონული რელე

ელექტრონულ-კონტაქტური რელე შედგება გამაძლიერებელი ელექტრონული ნათურისა და ელექტრომაგნიტური რელესაგან (ნახ.6.8). ელექტრომაგნიტური რელეს დამამაგნიტებელი გრაგნილი ჩართულია ნათურის ანოდურ წრედში. გაპარვის მუდმივი წინააღმდეგობის  $R_c$  გავლით ნათურის ბადეზე მიეწოდება საწყისი უარყოფითი ძაბვა - ბადური წანაცვლება  $U_{co}$  (წინააღმდეგობით  $R_1$ ).  $R_1$  წინააღმდეგობა საშუალებას იძლევა შეკირჩიოთ  $U_{co}$  ისეთი მნიშვნელობა, რომლის დროსაც გარეშე ზემოქმედების არარსებობის შემთხვევაში ( $U_{co\theta}=0$ ) რელეს გრაგნილში გამავალი ანოდური დენი

$I_a$  იყოს ნაკლები ელექტრომაგნიტური რელეს ამოქმედების დენზია  $I_{a\phi}$ . ამ დროს რელეს აღმასრულებელი წრედის კონტაქტები შეკრულია, როდესაც  $U_{\text{სიგ}}=U$  და ბადუზე მიეწოდება დადებითი პოტენციალი, ანოდური დენი გაიზრდება და აღმატება  $I_a > I_{a\phi}$  (წანაცვლების უარყოფითი ბადური ბაბვა აბსოლუტური სიდიდით მცირდება). ამ შემთხვევაში რელე ამოქმედდება, მისი კონტაქტები შეიკვრება. როდესაც სიგნალი შეწყდება,  $I_a$  გახდება ნაკლები  $I_{a\phi}$  და აღმასრულებელი წრედის კონტაქტები განირთვება. ელექტრონული რელე ძალზე მგრძნობიარეა (ამოქმედების სიმძლავრე შეადგენს  $10^{-12} \text{--} 10^{-8}$  ვატს), ხარჯაზე უმნიშვნელო ენერგიას და გააჩნია დიდი წინააღმდეგობა. მის ნაკლებ შეადგენს მგრძნობიარობა რყევისადმი, დარტყმებისადმი, ელექტრონული ნათურის სამსახურის შედარებით მცირე ვადა (რამდენიმე ათასი საათი). ელექტრონულ რელეს შეუძლია მუშაობა ცვლად დენზეც.



ნახ.6.8. ელექტრონული რელე: 1 – კონტაქტები; P - რელე;  $R_c$  - გაპარვის მუდმივი წინააღმდეგობა;  $U_{c0}$  - ბადური გადადგილება;  $R_l$  - ბადური გადადგილების წინააღმდეგობა

## §9. დროის რელე

ტექნოლოგიური პროცესების დროში ავტომატური რეგულირებისა და მექანიზმების ჩართვისათვის მოცემულ ინტერგალებში გამოიყენება დროის რელე.

დროის რელეში შეიძლება გამოიყოს სამი დამახასიათებელი ნაწილი: მიმღები – რომელიც უზრუნველყოფს რელეს

ამოქმედებას მმართველი სიგნალის მიღების შედეგად, შემნელებელი – რომელიც უზრუნველყოფს დროის მოცემულ დაყოვნებას, და აღმასრულებელი – უზრუნველყოფს ზემოქმედებას აღმასრულებელ მოწყობილობაზე. კონსტრუქციულად ეს ნაწილები ხშირად გაერთიანებულია.

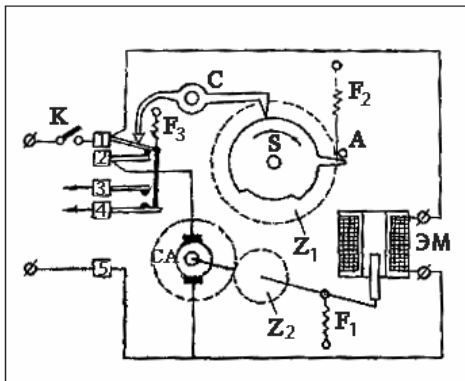
დაყოვნება დროის რელეში შეიძლება განხორციელდეს ელექტრული, მაგნიტური, მექანიკური, ელექტრომექანიკური, ჰიდრავლიკური და პნევმატიკური წესებით.

პრაქტიკაში ფართოდ არის გავრცელებული ელექტრომექანიკური (ძრავიანი), ჰიდრავლიკური, პნევმატიკური და ელექტრონული დროის რელეები.

ნახაზზე 6.9 ნაჩვენებია დროის ძრავიანი რელეს პრინციპიალური სქემა. K გასაღების შერთვისას სინქრონული ძრავა CD რელეებით იწყებს ბრუნვას. ერთდროულად აღიგზნება ელექტრომაგნიტი ტM და მოდებაში მოჰყავს კბილანა ოვლები Z<sub>1</sub> და Z<sub>2</sub>. ერთ დერბზე Z<sub>1</sub> კბილანათვალთან დამაგრებულია მუშტები (ერთ-ერთი მათგანი ნაჩვენებია ნახაზზე). ძრავა აბრუნებს მუშტებს ისრით ნაჩვენები მიმართულებით, ჭიმავს რა ერთდროულად F<sub>2</sub> ზამბარას. როდესაც S მუშტას ამონაჭერის საფეხური მიაღება C ბერკეტის საფეხურს, ბერკეტი F<sub>3</sub> ზამბარის მოქმედებით შემობრუნდება და CD ძრავას წრედში განრთავს 1-2 კონტაქტებს და შერთავს რელეს გამოსასვლელი წრედის 3-4 კონტაქტებს. Z<sub>1</sub> კბილანათვლის დერბზე დამაგრებული სხვა მუშტები უნდა იქნან რეგულირებული დროის დამოუკიდებელ დაყოვნებებზე და ისინი შესაბამისად შერთავენ ან განრთავენ გარე წრედების კონტაქტებს.

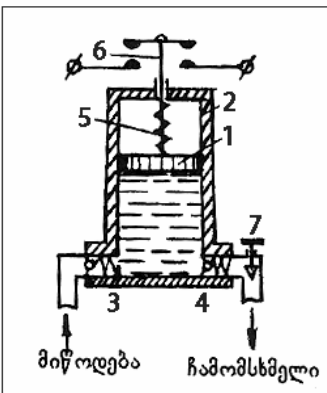
1-2 კონტაქტების განრთვისას CD ძრავა ჩერდება. K გასაღების განრთვის შემთხვევაში ტM ელექტრომაგნიტი ათავისუფლებს დუზას და F<sub>1</sub> ზამბარას ურთიერთმოდებიდან გამოჰყავს Z<sub>1</sub> და Z<sub>2</sub> კბილანა ოვლები. მუშტები F<sub>2</sub> ზამბარის მოქმედებით უკან შემობრუნდებიან A საბრჯენამდე და კონტაქტები უბრუნდებიან საწყის მდგომარეობას. დროის რელე მზად აღმოჩნდება ხელმეორედ ჩართვისათვის.

დროის ძრავიანი რელეები იძლევიან დროის დაყოვნების შესაძლებლობას 24 საათამდე.



ნახ.6.9. დროის ძრავი-ანი რელეს პრინციპული სქემა

ნახაზზე 6.10 წარმოდგენილია დროის პიდრავლიკური რელე. რელეს ძირითადი ნაწილებია: დგუში 1, ცილინდრი 2, შესასვლელი სარქველი 3, გამოსასვლელი სარქველი 4, ზამბარა 5, ჭოკი კონტაქტებით 6 და დროსელი 7. მუშა გარემოა სამანქანო ზეთი.



ნახ.6.10. დროის პიდრავლიკური რელე

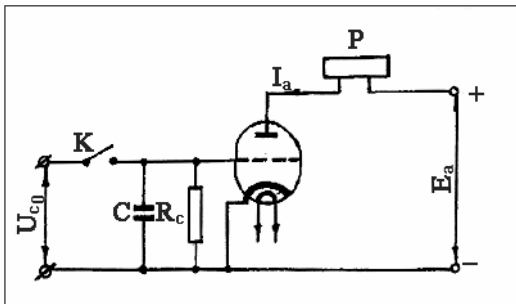
დროის დაყოვნების სიდიდე განისაზღვრება დგუშის მუშა სვლის ხანგრძლივობით.

ანალოგიურ პრინციპზე დამყარებული პნევმატიკური რელეს მუშაობა, რომლის მუშა გარემოს წარმოადგენს პაერი.

დროის ელექტრონული რელეს მოქმედების პრინციპი მდგომარეობს შემდეგში: ელექტრონული ნათურის ბადის წრედში ირთვება კონდენსატორი, რომლის ტევადობა  $C$  და  $R_c$  წინააღმდეგობის სიდიდე განსაზღვრავს კონდენსატორის დამუხტვისა და განმუხტვისათვის საჭირო დროის ხანგრძლივო-

ბას (ნახ.6.11). აღნიშნული რელე მუშაობს კონდენსატორის განმუხტვის ხარჯზე. როდესაც K გასაღები შეკრულია, ნათურის ბადეზე მიეწოდება წანაცვლების უარყოფითი ძაბვა  $U_{ce}$  და ნათურა ჩაკეტილია. С კონდენსატორი ამ დროს დამუხტულია. თუ K გასაღებს განვრთავთ, კონდენსატორი დაიწყებს განმუხტვას  $R_c$  წინააღმდეგობის გავლით. ნათურის ბადის უარყოფითი პოტენციალი შემცირდება, ხოლო ანოდური დენი  $I_a$  გაიზრდება, სანამ იგი არ მიაღწევს  $I_{sat}$  დენის სიდიდეს და რელე ამოქმედდება.

რელეს დაყოვნების დროის რეგულირება წარმოებს  $R_c$  წინააღმდეგობის ცვლილების გზით. ელექტრონული რელეს საშუალებით შეიძლება განვახორციელოთ დროის დაყოვნება მილისეკუნდიდან 180 სეკ-მდე.



ნახ.6.11. დროის ელექტრონული რელე

ელექტროამძრავის ავტომატიზაციის დროს ფართოდ გამოიყენება დროის ელექტრომაგნიტური რელე PЭ-500, დროის დაყოვნებით 5 სეკ-მდე. რელე შედგება კოჭასა, უძრავი მაგნიტგამტარისა, ღუზის, სარეგულირებელი ხრახნის, ბლოკ-კონტაქტებიანი ტრავერსისა და დამჭიმავი ზამბარისაგან.

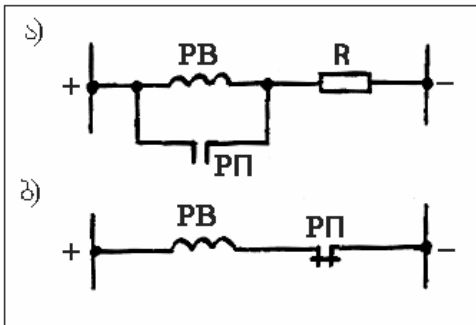
შევნიშნავთ, რომ PЭ-500 ტიპის რელე გათვალისწინებულია მუდმივი დენისათვის. ცვლადი დენის ძრავების მართვის წრედებში რელეს ჩართვა ხდება გამმართველებთან ერთად.

დროის დაყოვნება PЭ-511, PЭ-513 და PЭ-515 ტიპის დროის რელეებში შეიძლება განხორციელდეს ორი გზით: 1) კოჭას დამოკლებით; 2) რელეს კოჭას გამორთვით.

პირველ შემთხვევაში რელეს PB ჩართვისას დუზა მიიზიდება ძალიან სწრაფად. გამორთვის შემთხვევაში (რელე შეიძლება გამოირთოს კოჭას წრედის გაწყვეტით ან მისი და-

მოკლებით) იქმნება დროის დაყოვნება. დროის დაყოვნება კოჭას წრედის დამოკლებისას აისხება შემდეგნაირად: თუ მოვახდენთ რელეს კოჭას დაშუნტვას რომელიმე შუალედი რელეს RΠ კონტაქტების პარალელურად ჩართვით (ნახ.6.12,ა), რელეს კოჭათი და RΠ კონტაქტებით, წარმოქმნილ კონტურში თვითინდუქციის გავლენით წარმოებს დენის შეკავება გარკვეული დროით. დროის ამავე პერიოდში მაგნიტური ნაკადი და ღუზის გულართან მიზიდვის ძალა მიიღევა თანხდათანობით. კოჭას წრედში გათვალისწინებული R წინააღმდეგობის დანიშნულებაა მოკლე ჩართვისაგან დაცვა იმ შემთხვევაში, როდესაც წრედში სხვა მომხმარებელი არ არის ჩართული.

მეორე შემთხვევაში (ნახ.6.12,ბ) რელეს გულარზე ჩამოეცევა სპილენძის ან ალუმინის ვაზნა, რომელიც ქმნის მეორად კონტურს. რელეს ჩართვისა და გამორთვის დროს ვაზნაში წარმოიქმნება ე.მ.დ. და აღიძვრება დენი, რომელიც ლენცის წესის თანახმად იწვევს ისეთი მიმართულების მაგნიტურ ნაკადს, რომელიც რეზულტატური მაგნიტური ნაკადის ცვლილებას დააყოვნებს.



ნახ.6.12. დროის ელექტრომაგნიტურ რელეებში დროის დაყოვნების მიღების სქემები:  
ა) კოჭას დამოკლებით;  
ბ) რელეს კოჭას გამორთვით

## §10. ფოტოელექტრონული რელე

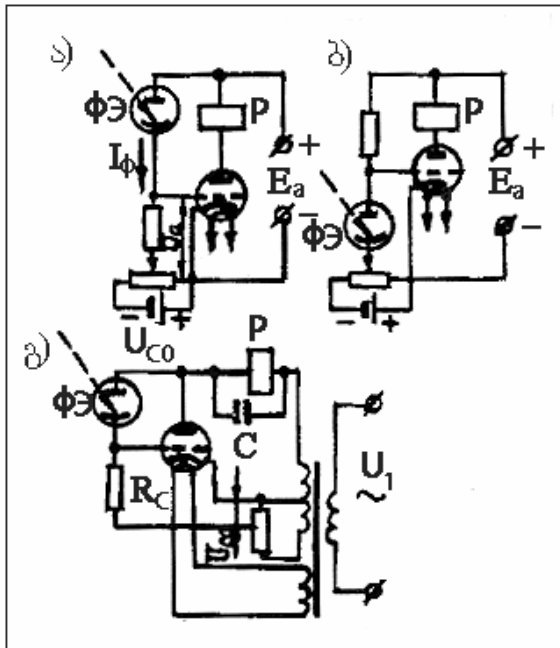
ფოტორელე განკუთვნილია ელექტრული წრედის ჩასართავად ან გამოსართავად სინათლის მოქმედებით.

ფოტორელე შედგება ელექტრონული ნათურის, მგრძნობიარე გადამწოდისა\* (ფოტოელემენტი, ფოტოწინაღობა, ფო-

\* გადამწოდებისა და გამზომი სქემების შესახებ იხილეთ მე-2 და მე-3 თავები.

გოდიოდი) და ელექტრომაგნიტური რელესაგან, რომელიც წარმოადგენს აღმასრულებელ ორგანოს\*.

ფოტორეალუ იყოფა პირდაპირი მოქმედებისა და უპარმოქმედების რელევბად. პირდაპირი მოქმედების ფოტორეალუში (ნახ.6.13,ა) განათებული ფოტოელემენტის შემთხვევაში, მისი წინააღმდეგობა მცირდება, ელექტრონული ნათურის ბადის პოტენციალი იზრდება, ანოდურ წრედში გადის დენი, რომელიც იწვევს რელეს ამოქმედებას, რის შედეგადაც მისი კონტაქტი შეიკრება. უკუმოქმედების ფოტორეალუში (ნახ.6.13,ბ), პირიქით, დაბნელებული ფოტოელემენტის შემთხვევაში, რელეს კონტაქტი შეკრულია, ხოლო ფოტოელემენტის განათებისას კი განროტულია.



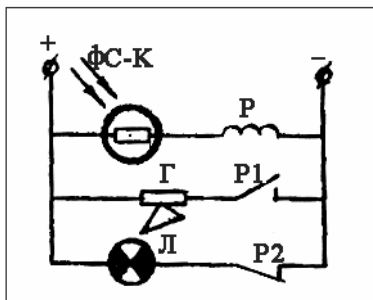
ნახ.6.13. ფოტოელექტრონული რელეები:  
ა) პირდაპირი მოქმედების ფოტორელე;  
ბ) უძუმოქმედების ფოტორელე; გ) ცვლადიდენის ფოტორელე

ფოტორეალუს მოყვანილი სქემები მოითხოვენ მუდმივი ძაბ-  
ვის წყაროებს. ცვლადი ძაბვის წყაროების შემთხვევაში გა-  
მოიყენება ცვლადი დენის გამმართველები.

\* ფოტოწინაღობის გამოყენების შემთხვევაში ფოტორელე ელექტრონულ ნათურას არ საჭიროება.

არსებობენ ფოტორელეები, რომლებიც მუშაობენ ცვლად დენზე. ცვლადი დენის ფოტორელეს სქემა ნაჩვენებია ნახაზზე 6.13.გ. ანოდი, ბადე, გამაძლიერებელი ნათურის ვარვარი და ფოტოელემენტი იკვებებიან ტრანსფორმატორის მეორადი გრაგნილებიდან. ნათურას შეუძლია დენის გატარება მხოლოდ იმ ნახევარპერიოდის განმავლობაში, როდესაც ძაბვა ნათურის ანოდზე დადებითია. ამ დროს საწყისი გადაადგილების ძაბვა უარყოფითია, ხოლო ძადის პოტენციალი დამოკიდებულია ფოტოელემენტის განათებულობაზე. მისი საკმარისად განათებულობის შემთხვევაში ელექტრომაგნიტური რელეს გრაგნილის გაცლით ანოდურ წრედში გაივლის გამართული დენი. რელე ამოქმედდება და შეკრავს კონტაქტებს. რელეს ვიბრაციის თავიდან აცილების მიზნით წარმოებს დენის ცვლადი შემადგენლის დაშუნტვა კონდენსატორთან. აღსანიშნავია, რომ ცვლადი დენის ფოტორელე თრჯერ და მეტჯერ ნაკლებად მგრძნობიარეა მუდმივი დენის ფოტორელესთან შედარებით. მიუხედავად ამისა, პრაქტიკაში ფართოდაა გამოყენებული ცვლადი დენის მოხერხებულობის გამო.

ნახაზზე 6.14 წარმოდგენილია მუდმივ დენზე მომუშავე ფოტორელეს ელექტრული სქემა. ფოტოწინაღობაზე  $\Phi C-K$  სინათლის ნაკადის მოქმედებით მისი წინააღმდეგობა მცირდება დაახლოებით 100-ჯერ. იზრდება დენის ძალა იმ სიდიდემდე, რომელიც საკმარისია რელეს ასამოქმედებლად. რელე ჩართავს თავისი კონტაქტებით ავტომატიკის მოწყობილობას. სქემაზე რელეს ამოქმედების შედეგად  $P_1$  კონტაქტით ჩაირთვება საყვირი - Г და ერთდროულად რელეს მეორე კონტაქტით -  $P_2$  გამოირთვება სასიგნალო ნათურა - Л.



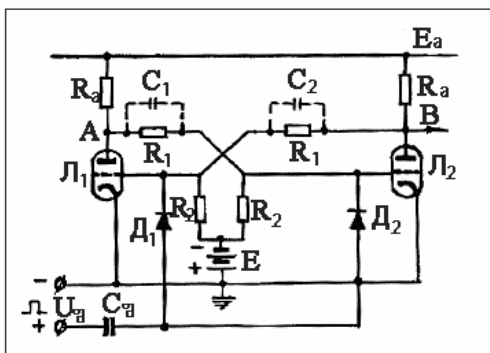
ნახ.6.14. მუდმივ დენზე მომუშავე ფოტორელეს ელექტრული სქემა

## §11. ტრიგერი, როგორც უპონტაქტო ელექტრონული რელე

ტრიგერი წარმოადგენს მუდმივი ძაბვის ორკასკადიან გამაძლიერებელს, რომლის გამოსასვლელი დამოკიდებულია შესასვლელზე, ე.ი. განხორციელებულია დადებითი უპ-კავშირი. ტრიგერის სქემები სრულდება როგორც ნათურებზე, ასევე ნახევარგამტარულ ტრიგერზე. ტრიგერი ფართოდაა გავრცელებული ავტომატურ და ელექტრონულ ციფრულ გამოთვლით მოწყობილობებში.

ტრიგერი ხასიათდება ორი მდგრადი მდგომარეობით. ერთი მდგომარეობიდან მეორეში გადასვლა სრულდება ნახტომით, გარედან გამშვები იმპულსის ზემოქმედებით. ტრიგერს უწოდებენ, აგრეთვე, სასხლეტ მოწყობილობასაც. ეს სახელ-წოდება მან მიიღო შესასვლელი იმპულსის მიმართ სწრაფი რეაქციის გამო.

ნახაზზე 6.15 მოცემულია ნათურული ტრიგერის სქემა. როგორც სქემიდან ჩანს, იგი ორი რეოსტატული ნათურული გამაძლიერებლისაგან შედგება, რომელიც ერთმანეთთან დაკავშირებულია დადგბითი უკუკავშირით. ამ კავშირის ძაბვა  $L_2$  ნათურის ანოდიდან გადაეცემა  $L_1$  ნათურის ბადეს  $R_1$  წინაღობის გავლით. ჩვეულებრივად  $L_1$  და  $L_2$  ნათურები ერთი ტიპისაა, ხოლო სქემა სიმეტრიული (სქემის ორივე ნახევარი შედგება ერთნაირი ელემენტებისაგან).



ნახ.6.15. ნათურული ტრიგერის სქემა

$R_1$  და  $R_2$  წინაღობები აქტიური წინაღობებია. ისინი ქმნიან ძაბვის გამყოფს.  $R_1$  წინაღობათა პარალელურად მიერთებული  $C_1$  და  $C_2$  კონდენსატორების დანიშნულებაა ტრიგერის ერთი

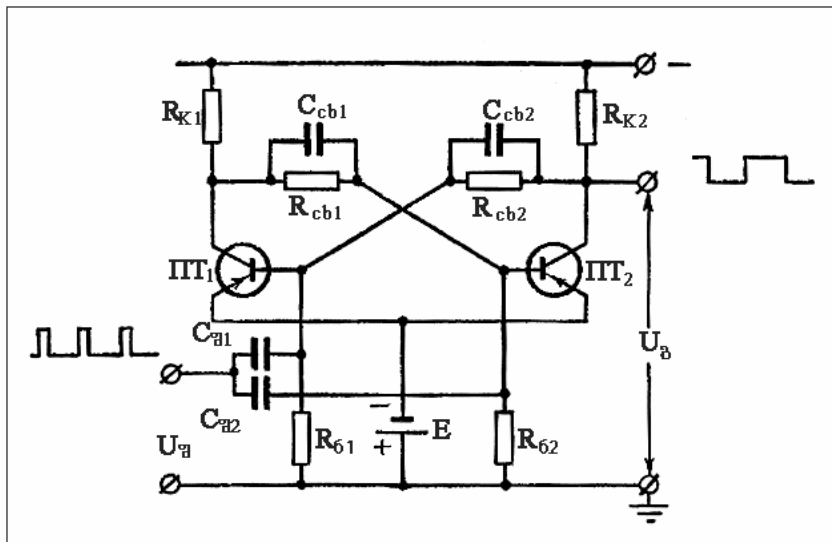
მდგრადი მდგომარეობიდან მეორეში გადართვის სისწრაფის გადიდება, აგრეთვე, გამოსასვლელი ვიწრო იმპულსების მიღება. D<sub>1</sub> და D<sub>2</sub> დიოდები ჩართული ბადური წრედების ერთ-მანეთთან მოკლედ შერთვისაგან დასაცავად. ე არის ძაბვის დამოუკიდებელი წყარო წანაცვლების ძაბვის მისაღებად. ეს უკანასკნელი აუცილებელია ტრიგერის მდგრადი მდგომარეობის შესანარჩუნებლად. უკუკავშირის წრედები უზრუნველყოფენ ტრიგერში დენის მორიგეობით გატარებას, ე.ი. დროის იმ ინტერვალში, როცა ერთი ნათურა ატარებს დენს (დია), მეორე ჩაკეტილია (დენს არ ატარებს). ამრიგად, სქემის მდგრადი მდგომარეობის დროს ერთ-ერთი ტრიოდი ატარებს დენს, ხოლო მეორე ჩაკეტილია. ორივე ტრიოდი რომ ერთდროულად ატარებდეს დენს, მაშინ რაიმე მიზეზით ერთ-ერთი ტრიოდის ანოდური დენის უმნიშვნელოდ გაზრდა გამოიწვევდა მეორე ტრიოდის ბადეზე პოტენციალის შემცირებას. ეს თავის მხრივ შეამცირებდა უკანასკნელის ანოდურ დენს, რაც გამოიწვევდა პოტენციალის გაზრდას პირველი ტრიოდის ბადეზე, და კიდევ უფრო გაზრდიდა ანოდურ დენს. ამრიგად, პირველი ტრიოდის ანოდური დენი გაიზრდებოდა, ხოლო მეორე ტრიოდის ანოდური დენი კი შემცირდებოდა. აღნიშნულის შედეგად პირველი ტრიოდი მთლიანად გაიხსნებოდა, ხოლო მეორე ჩაკეტილებოდა.

ასეთ მდგომარეობაში ტრიგერი რჩება მორიგი გამშვები იმპულსის მოსვლამდე, რომელიც ადებს ჩაკეტილ ნათურას და კეტავს დია ნათურას, რაც შეესაბამება ტრიგერის საწყისი მდგომარეობის ადდგენას. ამრიგად, ტრიგერის გადასაჭვანად ერთი მდგრადი მდგომარეობიდან მეორეში, საჭიროა ჩაკეტილი ტრიოდის ბადის წრედში შევიყვანოთ მცირე დადებითი ძაბვა. ამ დროს სქემა ნახტომისებურად გადადის ახალ მდგრად მდგომარეობაში. სქემის დასაბრუნებლად საწყის მდგომარეობაში კი დია ნათურის ბადის წრედში ხანმოკლედ უნდა მივაწოდოთ მცირე უარყოფითი ძაბვა.

ტრიგერის დანიშნულების მიხედვით შეიძლება გამოვყენოთ მისი მართვის სხვადასხვა სქემა. ასე, მაგალითად, ტრიგერის მმართველი იმპულსები შეიძლება შევიყვანოთ თითოეული ნათურის ცალკეულ შესასვლელ წრედებში ან

საერთო წრედში დიოდების მეშვეობით ცალკეულ წრედებად მათი შემდგომი გაყოფით. შესაძლებელია ტრიგერის მართვა განვახორციელოთ ერთ-ერთ ბადეზე სხვადასხვა პოლარობის მმართველი იმპულსების მიწოდებით. იმპულსების პოლარობის შეცვლა გამოიწვევს ტრიგერის მდგომარეობის ცვლილებას.

ნახაზზე 6.16 მოცემულია ორ მდგრად მდგომარეობიანი ნახევრადგამტარული ტრიგერის სქემის ვარიანტი დამოუკიდებელი წანაცვლებითა და მმართველი იმპულსებისათვის საერთო საანგარიშო შესასვლელით. მოქმედების პრინციპის მიხედვით ეს სქემა ზემოთ განხილული სქემის ანალოგიურია.



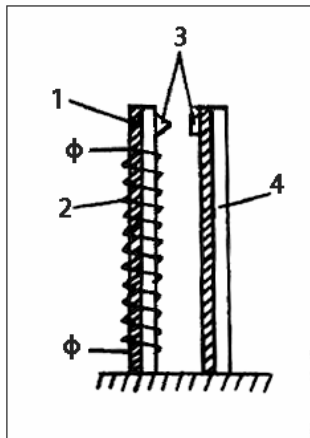
ნახ.6.16. ნახევრადგამტარული ტრიგერის სქემა

## §12. არაელექტრული რელეები

არაელექტრულ რელეებს მიეკუთვნება თბური, წნევის, დონის, სიჩქარის ცენტრიდანული რელე, დროის ქანქარა რელე, ბერიოთი დაწნევის აპუსტიკური რელე. აღნიშნული რელეების ზოგიერთი სქემა განხილულია სახელმძღვანელოს შესაბამის განყოფილებებში.

მეტად გავრცელებული რელე, რომელშიც გამოყენებულია სხეულის თბერი გაფართოება, იწოდება ბიმეტალურ რელედ.

ელექტროთერმული ბიმეტალური რელეს სქემა მოყვანილია ნახაზზე 6.17. ბიმეტალურ ფირფიტაზე (1) დახვეულია გრაგ-ნილი (2), რომელსაც გააჩნია მნიშვნელოვანი ომური წინააღმდეგობა. გრაგნილში დენის გატარების შედეგად ფირფიტა ხურდება, იღუნება და შერთავს მუშა კონტაქტებს (3).



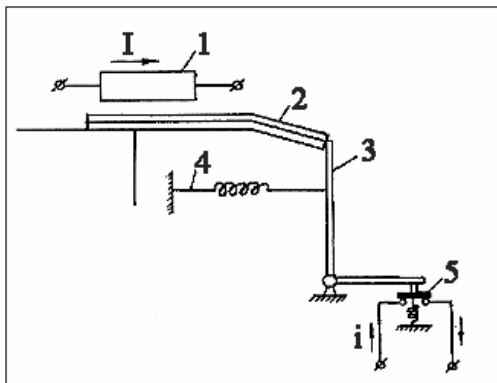
ნახ.6.17. ელექტროთერმული  
ბიმეტალური რელეს პრინ-  
ციპული სქემა

რელე მზადდება ორგვარად. სარეგულირებელი ხრახნით (გარემოს ტემპერატურისაგან დამოკიდებულებით კონტაქტებს შორის დრეჩოს შესაცვლელად) და ტემპერატურული კომპენსაციით. კომპენსაცია მიღწეულია მეორე ბიმეტალური ფირფიტის (4) გამოყენებით, რომელიც დაყენებულია ისეთნაირად, რომ იგი იღუნება იმავე მხარეს, საითაც იღუნება მუშა ფირფიტა (1). რელეს ამოქმედების დენის სიდიდის ცვალებადობა შესაძლებელია გრაგნილის ომური წინააღმდეგობის შეცვლით.

რელეს კონტაქტების მუშაობის პირობების შესამსუბუქებლად ხშირად გამოიყენება კონსტრუქცია, რომოელიც უზრუნველყოფს კონტაქტების ნახტომისებურად მუშაობას. აღნიშნული რელეს პრინციპული სქემა მოცემულია ნახაზზე 6.18.

რელე შედგება სახურებელი ელემენტისაგან (1), ბიმეტალური ფირფიტისაგან (2). სახურებელი ელემენტი ძრავას ძალურ წრედში ირთვება მიმდევრობით (სქემაზე დენი I). როდესაც დენის სიდიდე გადააჭარბებს ნომინალურ მნი-

შვნელობას, ბიმეტალური ფირფიტა ხურდება, იღუნება და ფირფიტის ჩაუმაგრებელი ბოლო ათავისუფლებს ბერკეტს (3), რომელიც ზამბარის (4) მოქმედებით შემობრუნდება საათის ისრის მოძრაობის საწინააღმდეგო მიმართულებით და განრთავს კონტაქტს (5). კონტაქტი (5) ჩართულია კონტაქტორის კოჭას წრედში მიმდევრობით (სქემაზე დენი i); კონტაქტის განრთვის შედეგად წარმოებს კონტაქტორის გამორთვა, რომელიც თავის მხრივ გამორთავს ძრავს წრედიდან. რელეს ამოქმედების შედეგ მისი დაბრუნება საწყის მდგომარეობაში ხორციელდება დაბრუნების დილაკის მეშვეობით.



ნახ.6.18. თბური  
რელეს ჩართვის  
პრინციპული სქემა

ბიმეტალური რელე ფართოდ გამოიყენება დაცვის შემთხვევებში, კერძოდ, როგორც ავტომატური დაცვის მოწყობილობა ელექტროძრავების მართვის სქემებში. რელე იცავს ძრავას არასიმეტრიული მუშაობისაგან, ერთ-ერთი სადენის გაწყვეტის შემთხვევაში (მკვებავი ხაზის ერთი ფაზის გაწყვეტისას. ამ შემთხვევაში დაუზიანებელ ორ სადენში დენის სიდიდე აღემატება ნომინალურ მნიშვნელობას) და, აგრეთვე, გადატვირთვისაგან (როდესაც დენის სიდიდე აღემატება ნომინალურს 20-30%-ით, რელეს კონტაქტები განირთვებიან და წყდება ელექტროძრავის მართვის წრედი).

## §13. მაგნიტური ბამშვები

მაგნიტური გამშვები ეწოდება ელექტრულ აპარატს, რომელიც განკუთვნილია ელექტროძრავების გაშვებისათვის დენის წრედში ამჟავების წინაღობის შეუყვანლად. ჩვეულებრივად მაგნიტური გამშვებები გამოიყენება მოკლედ ჩართული როტორიანი ელექტროძრავების სამართავად და ასამუშავებლად უშუალოდ ელექტროქსელიდან ძაბვით 500 ვოლტამდე. მათი გამოყენება შეიძლება, აგრეთვე, ფაზუროტორიანი ელექტროძრავების ჩასართავადაც.

მაგნიტური გამშვები ფართოდ არის გამოყენებული მშენებლობაში სხვადასხვა მანქანისა და მექანიზმის (კონვეიერები, ბეტონსარევი კვანძები, კოშკური ამწევები და სხვ.) ამძრავების (ჩვეულებრივად ძრავას სიმძლავრით 75 პეტ-მდე). მეტი სიმძლავრის ელექტროძრავების შემთხვევაში გამოიყენება კონტაქტორი რელესთან კომბინაციაში) დისტანციური მართვისათვის.

მაგნიტური გამშვები შედგება კონტაქტორისაგან, რომლის მართვაც ხდება დისტანციურად მართვის დილაკების საშუალებით.

მაგნიტური გამშვები ახორციელებს ელექტროძრავების მინიმალური დაცვის ფუნქციებს ძაბვის შემცირებისას ნომინალური ძაბვის 50-60%-მდე. ელექტროძრავების დაცვა გადატვირთვისაგან სრულდება მაგნიტური გამშვების სქემაში თბერი რელეს შეუვანით.

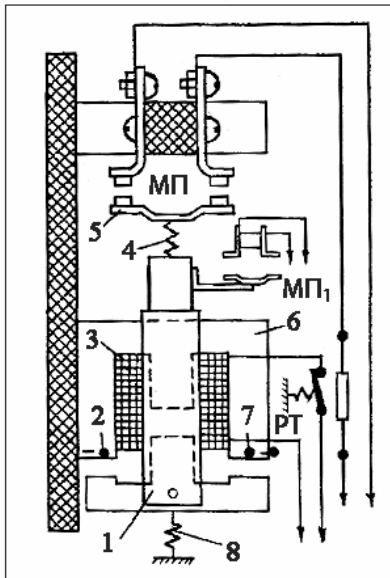
მაგნიტური გამშვებები მზადდება ორი სახის – რევერსიული და არარევერსიული. რევერსიული გამშვები შედგება ორი სამპოლუსიანი კონტაქტორისაგან დამოუკიდებელი ჩამრთველი კოჭებით. კონტაქტორები ერთმანეთში მექანიკურად ან ელექტრულად არიან ბლოკირებული, ორივე კონტაქტორის ერთდროულად ჩართვის თავიდან აცილების მიზნით.

მაგნიტური გამშვებები საიმედოდ მუშაობენ, როდესაც ქსელის ძაბვა შეადგენს ნომინალური მნიშვნელობის 85-105%-ს.

ცვლადი დენის მაგნიტური გამშვების კონსტრუქციული სქემა ნაჩვენებია ნახაზზე 6.19. გამშვების საფუძველს წარმოადგენს ელექტრომაგნიტი და სამი წყვილი მთავარი კონტაქტი (ნახაზზე ნაჩვენებია მთავარი კონტაქტების მხოლოდ

ერთი წყვილი). კონტაქტების მართვა ხორციელდება ელექტრომაგნიტით.

გრაგნილში (3) დენის გავლის შედეგად, ღუზა (1) შეიძება კოჭას შიგნით და მაგნიტური გამშვების მთავარი კონტაქტების წყვილები შეერთდებიან ლითონის სიდებით (5). ზამბარა (4) ახორციელებს საჭირო დაწოლას კონტაქტებს შორის. ღუზისა და კონტაქტების აგძაგის თავიდან აცილების მიზნით ელექტრომაგნიტის (6) გულარის პოლუსებზე ჩამოცმულია მოკლედ ჩართული ხვეულები 2 და 7. კოჭაში დენის მიწოდების შეწყვეტის შემთხვევაში ღუზა უბრუნდება საწყის მდგომარეობას ზამბარას (8) საშუალებით. მაგნიტური გამშვების კონტაქტები განირთვებიან.



ნახ.6.19. მაგნიტური  
გამშვების  
კონსტრუქციული სქემა

მაგნიტური გამშვები ადინიშნება ციფრებით. ასოები აღნიშნავენ სერიას, ხოლო სამი ციფრიდან პირველი გვიჩვენებს მაგნიტური გამშვების გაბარიტს; მეორე ციფრი – შესრულებას გარემოს ზემოქმედებისაგან დაცვის გათვალისწინებით (1 – დია; 2 – დაცული; 3 – მტკერწყალშეუღწევი); მესამე ციფრი – შესრულებას დანიშნულებისა და თბერი დაცვის გათვალისწინების მიხედვით (1 – არარევერსიული თბერი რელეს გარეშე; 2 –

არარევერსიული რელესთან ერთად; 3 – რევერსიული ურელეოდ; 4 – რევერსიული რელესთან ერთად). მაგალითად, აღნიშვნა ПА-324 ნიშნავს: ПА სერიის მე-3 სიდიდის მაგნიტური გამშვები (17 პვტ. 380 ვ. ძაბვის დროს), შესრულების სახე დაცული, რევერსიული თბური დაცვით.

## §14. აგტომატური დაცვის მოწყობილობა

ავტომატური დაცვის მოწყობილობის დანიშნულებაა ელექტროძრავებისა და მუშა მანქანების გამორთვა, როდესაც წარმოიშობა მათი დაზიანების საფრთხე.

ავარიულ რეჟიმებს მიეკუთვნება:

1. ფაზების მოკლე შერთვა;
2. ფაზის შერთვა კორპუსთან;
3. ტექნოლოგიური მოწყობილობის გადატვირთვით გამოწვეული დენის გაზრდა ქსელში;
4. ძაბვის მნიშვნელოვნად შემცირება.

ყველა ჩამოთვლილ შემთხვევაში დაცვის მოწყობილობამ უნდა უზრუნველყოს ძრავას გრაგნილების იზოლაციის და, აგრეთვე, ამძრავის ან მუშა მანქანის მექანიკური ნაწილის შესაძლო დაზიანებისაგან დაცვა. გარდა ამისა, ავტომატური დაცვის მოწყობილობა უნდა იყოს გაანგარიშებული დატვირთვის მაქსიმალური დენის ხანგრძლივ და პიკური დენის ხანმოკლე მოქმედებაზე, რომელიც წარმოიქმნება ქსელში ცალკეული მძლავრი ელექტროძრავების ჩართვის დროს.

არჩევენ მაქსიმალურ დაცვას, დაცვას გადატვირთვებისაგან და მინიმალური ძაბვის დაცვას (ანუ ნულოვან დაცვას).

მაქსიმალური დაცვა გულისხმობს ელექტრომძრავის დაცვას მოკლე შერთვის დენებისა და ხანმოკლე დიდი გადატვირთვებისაგან. ამ მიზნით გამოიყენება ავტომატური საპარავო ამომრთველების ელექტრომაგნიტური გადასახსნელები, დნობადი მცველები, ელექტრომაგნიტური რელე და სხვ.

ნომინალური დენის სიდიდეზე 30-60%-ით მეტი მნიშვნელობის ხანგრძლივი დენების გადატვირთვისაგან ელექტროდანადგარების დაცვა ხორციელდება თბური რელეს ან მაქსიმალური დენის რელეს საშუალებით.

მინიმალური ძაბვის დაცვის აპარატურა განკუთვნილია ელექტროძრავების გამოსართავად ქსელში ძაბვის შეწყვეტისა ან მნიშვნელოვნად შემცირებისას. ამ შემთხვევებში გამორიცხულია, აგრეთვე, ძრავას თვითგაშვება. აღნიშნულ აპარატებს მიეკუთვნება: ძაბვის ელექტრომაგნიტური რელე, მაგნიტური გამშვები და კონტაქტორი.

დაცვის მოწყობილობის სწორად შესარჩევად აუცილებელია მათი ნომინალური მონაცემებისა და დამცავი მახასიათებლების ცოდნა.

დამცავი აპარატებისა და მოწყობილობების ნომინალურ მონაცემებს მიეკუთვნება: დენის სისტემა (მუდმივი, ცვლადი); უდიდესი ძაბვა; ნორმალური ექსპლოატაციის პირობებში და მოკლე შერთვების დროს დასაშვები უდიდესი დენი; მუშაობის რეჟიმი.

დამცავი მახასიათებლები განისაზღვრება დროის ხანგრძლივობით, რომლის განმავლობაშიც მოწყობილობა გამორთავს სხვადასხვა სიდიდის გადატვირთვისა და მოკლე შერთვის დენებს. გრაფიკულად მახასიათებელი წარმოადგენს მრუდს, რომელიც მიიღება პორიზონტალურ დერძზე გადატვირთვის ან მოკლე შერთვის დენის დნობადი მცველის ნომინალურ დენთან შედარებით ჯერადობის სიდიდის, ხოლო ვერტიკალურ დერძზე – გამორთვის დროის მნიშვნელობის გადაზომვით.

## ელექტროამძრავების და აღმასრულებელი მოწყობილობების აპტომატური მართვა

### §1. ელექტროამძრავების აპტომატური მართვის სახეები

ელექტროამძრავი წარმოადგენს ელექტრომექანიკურ მოწყობილობას, რომელსაც მოძრაობაში მოჰყავს საწარმოო მექანიზმების მუშაორგანები. ელექტროამძრავი შედგება შემდეგი ნაწილებისაგან: ელექტრომძრავას, მართვის აპარატურის, დაცვის აპარატურისა და მექანიკური გადაცემისაგან.

ელექტრომძრავი არის მბრუნავი მანქანა, რომელიც ელექტრულ ენერგიას გარდაქმნის მექანიკურ ენერგიად.

მართვისა და დაცვის აპარატურა განკუთვნილია ელექტრომძრავასა და მასთან დაკავშირებული საწარმოო მექანიზმის მუშაობის რეჟიმების მართვისათვის და, აგრეთვე, მათი დაცვისათვის სხვადასხვა ავარიებიდან.

მექანიკური გადაცემის დანიშნულებაა მექანიკური ენერგიის გადაცემა ელექტრომძრავის ლილვიდან მექანიზმისათვის და, აგრეთვე, ერთდორულად ბრუნვის სიჩქარის შემცირება 750-3000 ბრ/წთ-დან (ელექტრომძრავას სიჩქარე) 15-200 ბრ/წთ-დან (საწარმოო მექანიზმის სიჩქარე).

ელექტროამძრავის მართვის ქვეშ იგულისხმება მისი გაშვების, დამუხრუჭების, რევერსიონების, სიჩქარის რეგულირებისა და ტექნოლოგიური პროცესისათვის აუცილებელი მუშაობის რეჟიმის დაცვის პროცესი.

ელექტროამძრავების მართვა შეიძლება განხორციელდეს ხელით და ავტომატურად.

მართვას ხელური ეწოდება, როდესაც ოპერატორი მანქანას მართავს ჩამრაზებით, კონტროლერებითა და რეოსტატებით, ე.ი. მართვის უმარტივესი აპარატებით.

მართვას ავტომატური ეწოდება, თუ იგი წარმოებს ადამიანის უშუალო ჩარევის გარეშე. ავტომატური მართვის დროს ოპერატორი თითს დააჭერს მხოლოდ ლილაკს, ე.ი. ახორციელებს საწყის იმპულსს, ხოლო შემდეგ კონტროლს

უწევს ამძრავის მუშაობის აუცილებელი რეჟიმის ავტომატურ შესრულებას.

თანამედროვე ავტომატიზებული ამძრავის ავტომატური მართვა შეიძლება განხორციელდეს შემდეგი აპარატურის საშუალებით:

1) რელუ-კონტაქტორული, რომლის დროსაც მართვა წარმოებს რელეთი და კონტაქტორით.

2) ელექტრომანქანური ავტომატიკით და მაგნიტური გამაძლიერებლებით. მართვის ეს სქემა საიმედოა მუშაობაში და ამსუბუქებს ელექტრომარტოვის ექსპლოატაციის პირობებს.

3) იონურ-ელექტრონული აპარატურით, რომლის დროსაც სქემებში იყენებენ იონურ და ელექტრონულ ხელსაწყოებს, მათ შორის გამაძლიერებლებისა და გამაძლიერებლებს.

4) ნახევარგამტარებზე და მაგნიტურ გამაძლიერებლებზე განხორციელებული უკონტაქტო სქემებით. აღნიშნულ სქემებში არ არის მოძრავი ნაწილები. მაშასადამე, გამორიცხულია ვიბრაცია და ხმაური.

უკანასკნელ ხანებში ავტომატურ მართვაში იყენებენ პროგრამულ მართვას, რომლის დროსაც ოპერატორის ჩარევა სამუშაო პროცესში სავსებით გამორიცხულია.

## §2. აპტომატური მართვის ელექტრული სემები

სამუშენებლო პროცესების ავტომატური მართვისათვის გამოიყენება მრავალი სახის მანქანა და მოწყობილობა: სამფაზა დენის ასინქრონული ძრავები, მუდმივი დენის ძრავები, კონტაქტორები, რელე, ჩართვისა და გადართვის აპარატები და სხვ. ცხადია, რომ ყველა მანქანა და მოწყობილობა შედგება ცალკეული ნაწილებისაგან, რომლებიც მონაწილეობენ სქემის მუშაობაში. მაგალითად, კონტაქტორში შედის მაგნიტური სისტემის კოჭა, მთავარი კონტაქტები, საბლოკირებელი კონტაქტები, რკალის ჩამქრობი სისტემა. ნაწილების უმრავლესობას აქვთ პირობითი აღნიშვნები (იხ. ცხრილები 1.3 და 1.4).

ავტომატური მართვის ელექტრომექანიკური სისტემა შედგება მანქანებისა და მოწყობილობებისაგან, რომელთა ნაწილებიც შეერთებულია ერთმანეთთან ელექტროსადენებით და

მექანიკური კავშირებით. მართვის ელექტრომექანიკურ სისტემას აქვთ თავისი ელექტრული სქემა, რომელშიც ნაჩვენებია მანქანების, აპარატების და მათი ნაწილების პირობითი გამოსახულებები და მათ შორის ელექტრული შეერთებანი, მექანიკური კავშირების გარეშე. ელექტრული სქემა იყოფა მთავარი დენისა (ძალური) და მართვის წრედებად.

მთავარი დენის წრედებს მიეკუთვნება ძრავების, გენერატორების, ელექტრომაგნიტებისა და დამატებითი წინაღობების წრედები, აგრეთვე, კონტაქტორების მთავარი კონტაქტები და ობური რელეს სახურებები ელემენტები.

მართვის წრედებს მიეკუთვნებიან დაცვისა და სიგნალიზაციის წრედები, კონტაქტორებისა და რელეს კოჭები, რელეს კონტაქტები, მართვის აპარატების კონტაქტები, კონტაქტორების ბლოკ-კონტაქტები და ა.შ.

ცნობილია ელექტრული სქემების შედგენის (დახაზვის) ორი წესი – სამონტაჟო და განფენილი (ელემენტური).

დახაზვის სამონტაჟო წესის მიხედვით ელექტრული მანქანები და აპარატები გამოისახება აწყობილ მდგომარეობაში, ე.ი. ყველა კონტაქტი წარმოდგენილია ერთ აღგილას, ისე როგორც ეს შეესაბამება მათ განლაგებას სინამდვილეში; სადენების შეერთებაც ნაჩვენებია ისე, როგორც უნდა შესრულდეს მონტაჟის დროს. სამონტაჟო სქემები გამოიყენება დანაღვარის მონტაჟის სამუშაოების შესრულების დროს.

დახაზვის ელემენტური წესის მიხედვით სქემის შედგენისას მართვის აპარატებისა და ელექტრული მანქანების ნაწილები გამოისახება ცალ-ცალკე, სხვადასხვა ადგილას. ამ სქემის მიხედვით, მაგალითად, კონტაქტორი შეიძლება გამოისახოს ასე: კონტაქტორის კოჭა განლაგდება მართვის წრედში, სახაზო კონტაქტები - ძალურ წრედში (სხვა ადგილას), ხოლო ბლოკ-კონტაქტები – სიგნალიზაციის წრედში (მესამე ადგილას). განფენილი სქემებით სარგებლობენ მართვის სქემების შედგენისას. ისინი აიოდებენ სქემის წაკითხვას და სამუშაოების თანმიმდევრობის წარმოდგენას.

განვიხილოთ სქემების შედგენის ძირითადი წესები.

განფენილი სქემების შესადგენად არსებობს გარკვეული წესები:

1. აპარატები აღინიშნება ერთი ან ორი ასოთი. პირველი ასო შეესაბამება აპარატის დასახელებას, მეორე კი დანი-

შნულებას. თუ აპარატი აღნიშნულია ერთი ასოთი, მაშინ ის მხოლოდ აპარატის დანიშნულებას აღნიშნავს. მაგალითად, КУ არის აჩქარების კონტაქტორი; В – კონტაქტორი “წინ”; Н – კონტაქტორი “უკან”; П – კვების კონტაქტორი; РВ – დროის რელე; РН – ნულოვანი რელე; 1РП, 2РП – პირველი და მეორე შუალედი რელე; РБ – საბლოკირებელი რელე; РТ – დენის რელე; ПМ – მაგნიტური გამშვები; КУ – მართვის ღილაკი (კნოპი); УП – უნივერსალური გადამრთველი; КК – კომანდოკონტროლერი; ПВ – საგზაო ამომრთველი; КВ – ბოლო ამომრთველი.

2. სქემის წაკითხვის მოხერხებულობის მიზნით, ერთი და იმავე აპარატის ელემენტები იხაზება სქემის სხვადასხვა უბანზე, მაგრამ ერთი აპარატის ყველა ელემენტი აღინიშნება ერთი ასოთი. მაგალითად, სახაზო კონტაქტორის კოჭა, მთავარი კონტაქტები და ბლოკ-კონტაქტები აღინიშნება ერთი ასოთი В “წინ”, Н “უკან” ან Л (სახაზო).

3. განვენილი სქემის ელემენტები შეძლებისდლაგვარად იხაზება აპარატების თანმიმდევრობითი მოქმედების შესაბამისად.

4. ყველა აპარატის კონტაქტები სქემაზე გამოისახება “ნორმალურ” მდგომარეობაში, ე.ი. როდესაც კოჭაზე არ არის მოდებული ძაბვა და მექანიკური სასხლეები თავისუფალია; ჩამრაზები და ამომრთველები აღინიშნება განრთული კონტაქტებით, რეოსტატები კი შეა მდგომარეობაში მოთავსებული ცოციათი.

5. გრანილები, კოჭები და კონტაქტები, განლაგებულნი მთავარ და აგზების წრედებში, უნდა გამოიხაზოს უფრო მსხვილი ხაზებით, ვიდრე მათი მართვის წრედებში მოთავსების შემთხვევაში.

6. სამონტაჟო სამუშაოების შესრულების დროს, ელექტრულ აპარატებთან სადენების სწორად მიერთების მიზნით, სახელმწიფო სტანდარტით დადგენილია ელექტრული წრედების ნიშანდების სისტემა. აღნიშნული სისტემა ვრცელდება მუდმივი და ცვლადი დენის ელექტრული დანადგარების მართვის, კონტროლისა და დაცვის წრედებზე. ელექტრული წრედების ნიშანდება გულისხმობს მათთვის რიცხვთა თანმიმდევრობითი რიგის მიუთვნებას. მაგალითად, მართვის წრედებისათვის რიცხვების 1-დან 50-მდე, სიგნალიზაციის

წრედებისათვის – 51-დან 80-მდე და ა.შ. ამასთან რიცხვები აღინიშნება არაბული ციფრებით, ხოლო ასოები რუსული ალფაბეტის დიდი ასოებით.

მუდმივი დენის წრედებში, წრედის დადებითი პოლარობის უბნების ნიშანდება სრულდება კენტი რიცხვებით, ხოლო უარყოფითი პოლარობის უბნები – ლუწი რიცხვებით.

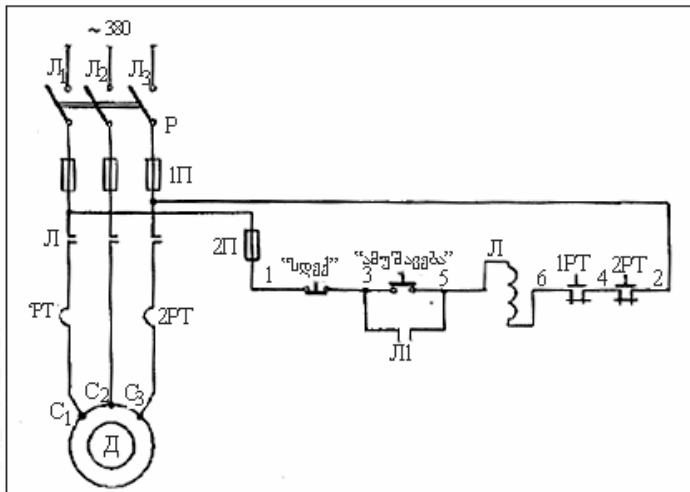
სამფაზა დენის წრედებში, წრედების უბნების ნიშანდება ხორციელდება მიმდევრობითი რიცხვებით.

ერთფაზიანი დენის წრედებში (ფაზა-ნული, ფაზა-ფაზა) უბნების ნიშანდება წარმოებს მუდმივი დენის წრედების ანალიგიურად. ამასთან კენტი (ან ლუწი) რიცხვები შეიძლება მიუკუთვნოს ნებისმიერი ფაზის წრედის უბანს ან ნულს.

### §3. ცვლადი დენის ელექტროძრავების მართვა

#### 1. მოკლედჩართული როტორიანი ასინქრონული სამფაზა ელექტროძრავას ავტომატური მართვა

განვიხილოთ ნახაზე 7.1 მოყვანილი მართვის სქემა. იგი შედგება ძალური (მთავარი) და მართვის წრედებისაგან. თავდაპირველად განვიხილოთ ძალური (მთავარი) წრედები, ხოლო შემდეგ მართვის წრედები.



ნახ.7.1. ასინქრონული მოკლედჩართული ძრავას მართვის სქემა არარევერსიული მაგნიტური გამშვების საშუალებით

**ძალური წრედები.** ელექტროძრავას (Д) სტატორთან სამფაზაზი დენი მიღის სამპოლუსა ჩამრაზის (Р) ჩართვით. ჩამრაზი საშუალებას იძლევა გამოირთოს ელექტროძრავა მაგნიტური გამშვების შეკეთების ან მწყობრიდან გამოსვლის შემთხვევაში. ძალურ წრედში დადგმულია, აგრეთვე, დონბადი მცველები 1П, რომლებიც წრედებს იცავენ მოკლე შერთვისაგან. ელექტროძრავას სტატორის გრაგნილის ჩართვა და გამორთვა წარმოებს სამპოლუსა სახაზო კონტაქტორის (Л) მთავარი კონტაქტებით. მოძრავი კონტაქტები განლაგებულია ძრავას მხრიდან, ხოლო უძრავი (ყოველთვის ძაბვის ქვეშ მყოფი) – ქსელის მხრიდან. თბური რელეები 1PT და 2PT ჩართულია ორ ფაზაში, ვინაიდან მნიშვნელოვანი სიდიდის დენი მოსალოდნელია ორ სადენში მაინც. მაშასადამე, თბური რელეები ძრავს იცავენ ხანგრძლივი გადატვირთვისაგან და ორ ფაზაზე მუშაობისაგან. სქემაში თბურ რელესთან ერთად დნობადი მცველების გამოყენება აისხება იმით, რომ მაგნიტური გამშვებების ძალური კონტაქტები არ არის განკუთვნილი მოკლედ ჩართული დენის გამოსათოშად. ძალურ წრედში ჩართულია რელეს სახურებელი ელემენტები.

**მართვის წრედები.** მართვის წრედის ქვება წარმოებს ჩამრაზისა და მთავარი წრედის მცველების საშუალებით. გარდა ამისა, მართვის წრედი დაცულია თავისი ერთი დნობადი მცველით 2П მოკლე შერთვებისაგან. მართვის წრედი იკვებება იმავე სიდიდის ძაბვით, როგორც ძალური წრედი. მართვის წრედშია დილაკები: “სდექ” და “ამუშავება”. სახაზო კონტაქტორის (Л) კოჭა ბლოკ-კონტაქტით (Л1) თავისი მთავარი კონტაქტების (Л) საშუალებით ძალურ წრედში ახორციელებს ელექტროძრავის (Д) ჩართვას და გამორთვას. მართვის წრედში ჩართულია თბური რელეების 1PT და 2PT განრთვის კონტაქტები, რომელთა სახურებელი ელემენტებიც ჩართულია მთავარ წრედში.

სქემა მუშაობს შემდეგნაირად: ძრავას ასამუშავებლად, ჩამრაზის (Р) ჩართვის შემდეგ საჭიროა დილაკის “ამუშავების” დაჭრით ჩაირთოს (Л) კონტაქტორის კოჭას წრედი. დენი მიედინება შემდეგი წრედით: ფაზა  $L_1$  – მცველი 2П – დილაკი “სდექ” – დილაკი “ამუშავება” – კონტაქტორის (Л) კოჭა – თბური რელეების 1PT და 2PT განრთვის კონტაქტები – ფაზა  $L_3$ . იმის გამო, რომ კონტაქტორის კოჭას გავლით მიედინება დენი, კოჭას გულარი დამაგნიტებულია, დუზა

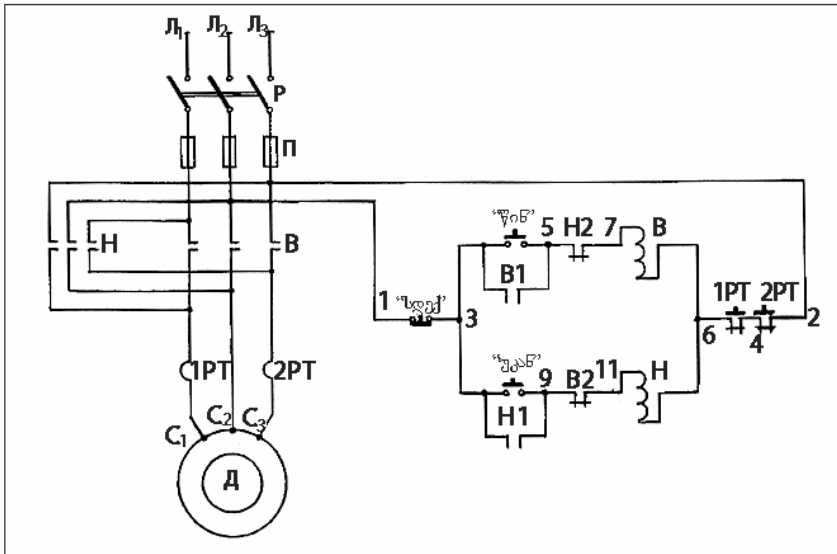
შეიზიდება და ჩაირთვება მთავარი კონტაქტები. სტატორის გრაგნილის გამომყვანები C<sub>1</sub>, C<sub>2</sub>, C<sub>3</sub> უერთდებიან მკვებავ ფაზებს L<sub>1</sub>, L<sub>2</sub>, L<sub>3</sub> და ამრიგად, ძრავა ჩაირთვება. ერთდროულად, მთავარ კონტაქტებთან ერთად ჩაირთვებიან ბლოკ-კონტაქტებიც L1. ახლა უკვე საჭირო აღარ არის ღილაკის “ამუშავება” გაჩერება დაჭერილ მდგომარეობაში. ზამბარის მოქმედების შედეგად ღილაკი ბრუნდება საწყის მდგომარეობაში. ელექტროძრავას გამოსართვად საჭიროა ღილაკის “სდექ” დაჭერა. ამ დროს კონტაქტორის (L) კოჭას კვება წყდება და მთავარი კონტაქტები საკუთარი წონის გავლენით ან ზამბარის მოქმედებით განირთვებიან და გამორთავენ სტატორის გრაგნილს ქსელიდან.

განხილული სქემა ახორციელებს ნულოვან დაცვასაც. როდესაც ქსელის ძაბვა დაცემა ნომინალური სიდიდის 35-40%-მდე, კონტაქტორი გამოირთვება და გამორთავს ელექტროძრავს ქსელიდან. ძაბვის აღდგენის შემდეგ ელექტროძრავას თვითგაშვება გამორიცხულია, რადგან ღილაკი “ამუშავება” აშვებულია, ხოლო ბლოკ-კონტაქტი L1 განრთულია. ჩვეულებრივად, მაგნიტური გამშვებები მზადდება 75-100 ბეტ. სიმძლავრის ელექტროძრავების ასამუშავებლად. ასინქრონული ძრავებისათვის ძაბვით 500 ვ-მდე, ჩვეულებრივად გამოიყენება KT სერიის ცვლადი დენის სამპოლუსიანი კონტაქტორები ცვლადი დენის კოჭათი.

ელექტროძრავას მუშაობისათვის ორი მიმართულებით – წინ და უკან გამოიყენება რევერსიული მაგნიტური გამშვები ან ორკონტაქტორიანი სქემა.

ნახ.7.2 წარმოდგენილია ასინქრონული მოკლედ ჩართული ძრავას მართვის სქემა რევერსიონების შესაძლებლობით.

აღნიშნული სქემა დისტანციური მართვის საშუალებას იძლევა, ვინაიდან მართვის ღილაკები “წინ”, “უკან” და “სდექ” შეიძლება მოთავსდეს გარკვეულ მანძილზე ძრავადან. ეს სქემა საშუალებას იძლევა ავამოძრაოთ ძრავა, შევცვალოთ ბრუნვის მიმართულება, გავაჩეროთ იგი. გარდა ამისა, სქემა იცავს დანადგარს მოკლედ ჩართვის, გადატვირთვის, ძაბვის ვარდნისა (ნულოვანი დაცვა) და თვითამუშავებისაგან. სქემაში გამოყენებულია ორი კონტაქტორი: კონტაქტორი “წინ” და კონტაქტორი “უკან”. კონტაქტორის კოჭა და მისი სამი მთავარი კონტაქტი აღნიშნულია შესაბამისად B და H ასოებით, ხოლო ბლოკ-კონტაქტები კი ასოებით B1, B2 და H1, H2.



ნახ.7.2. ასინქრონული მოქლევდ ჩართული ძრავას მართვის სქემა რევერსირების შესაძლებლობით

კონტაქტორების B და H მთავარი კონტაქტები ძალურ წრედში ჩართული არიან ისეთნაირად, რომ, როდესაც შეიკვრება B კონტაქტები (H კონტაქტები ამ დროს გამორთულია) სტატორის გრაგნილზე ხდება ქსელის სამი ფაზის მიწოდება გარკვეული რიგით, ხოლო, როდესაც H კონტაქტები შეიკვრება, სამი ფაზიდან ორი იცვლის ადგილს, რის გამოც, ძრავას სტატორის მაგნიტური ველი იწყებს ბრუნვას საწინააღმდეგო მიმართულებით და ძრავაც რევერსიულად მუშაობს.

მართლაც, B კონტაქტების ჩართვის დროს ქსელის  $L_1$  ფაზა უერთდება სტატორის გრაგნილს  $C_1$ , ფაზა  $L_2-C_2$ , ფაზა  $L_3-C_3$ . თუ შეიკვრება H კონტაქტები, მაშინ ფაზა  $L_1$  შეუერთდება  $C_3$  გრაგნილს, ფაზა  $L_2-C_2$  (არ იცვლება), ფაზა  $L_3-C_1$ . მაშასადამე, ფაზები  $L_1$  და  $L_3$  იცვლიან ადგილებს.

ნახ.7.2. მოცემულ სქემაში გამოყენებულია ორი სახის ბლოკირება – მექანიკური და ელექტრული. მაქანიკური ბლოკირება მდგომარეობს შემდეგში. ღილაკზე “წინ” დაჭერის შემთხვევაში ერთდროულად განირთვება კონტაქტი H კოჭას წრედში და, პირიქით, თუ დავაჭერო ღილაკს “უკან”,

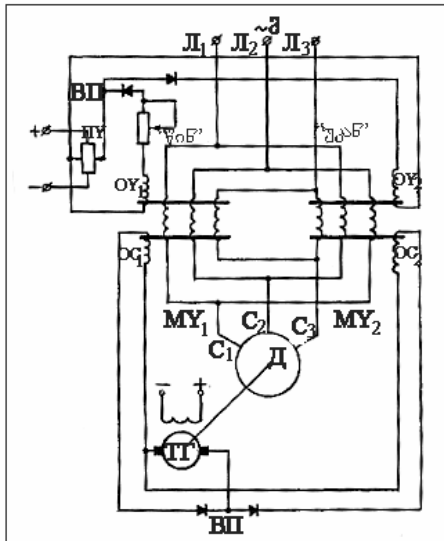
განიროვება B კოჭას კონტაქტი. გარდა ამისა, ერთი კოჭას დუზის შეზიდვა გამორიცხავს ერთდროულად დუზის შეზიდვის შესაძლებლობას მეორე კოჭაში. სქემის ელექტრული ბლოკირების მიზნით კოჭას “წინ” წრედში გათვალისწინებულია კონტაქტორის “უკან” გამომრთველი კონტაქტი და, პირიქით, კოჭას “უკან” წრედში – კონტაქტორის “წინ” გამომრთველი კონტაქტი. მაგალითად, დავუშვათ დავაჭირეთ თითო ღილაკს “უკან”. ამ შემთხვევაში დენი გაივლის კონტაქტორის კოჭაში “უკან”; კონტაქტორი შეკრავს თავის შემრთველ კონტაქტებს და განრთავს თავის გამომრთველ კონტაქტს  $H_2$  B კოჭას წრედში. ამრიგად, სანამ ჩართულია H კონტაქტორის კოჭა, B კონტაქტორის კოჭას წრედი იქნება განრთვული და B კოჭას ჩართვა ერთდროულად H კოჭასთან ერთად შეუძლებელია. მექანიკური და ელექტრული ბლოკირება ძრავას იცავს ორ ფაზაში (ჩვენი სქემის შემთხვევაში  $L_1$  და  $L_3$ ) მოკლე ჩართვისაგან.

სქემის მიხედვით მუშაობა მიმდინარეობს შემდეგნაირად: ძრავას ჩასართავად “წინ” მიმართულებით ვაჭერთ თითო ღილაკს “წინ”, რის შედეგად დენი მიდის ფაზიდან -  $L_2$  წრედში: 1-3-5-7-6-4-2 ფაზა  $L_3$ ; B კოჭა შეკრავს თავის მთავარ კონტაქტებს B და ძრავა იწყებს მუშაობას “წინ” მიმართულებით. ბრუნვის მიმართულების შესაცვლელად ჩავრთავთ ღილაკს “სდექ”, ხოლო შემდეგ ღილაკს “უკან”. ამ დროს დენი გაივლის წრედში: ფაზა  $L_2$ -1-3-9-11-6-4-2-ფაზა  $L_3$ . ამ შემთხვევაში უკვე დენი გადის კოჭაში H, რომელიც შეკრავს თავის კონტაქტებს და ძრავა იწყებს ბრუნვას “უკან” მიმართულებით. მაშასადამე, ძრავა რევერსირდება.

## 2. სამფაზა დენის ელექტრომრავას უკონტაქტო მართვა

ნახაზზე 7.3 მოცემულია სამფაზა დენის ასინქრონული ძრავას უკონტაქტო მართვის სქემა ორი მაგნიტური გამაძლიერებლის MY<sub>1</sub> და MY<sub>2</sub> საშუალებით. სქემა იძლევა ძრავას გაშვების, ბრუნვის სიჩქარის რეგულირების, დამუხრუჭებისა და რევერსირების საშუალებას ძალური წრედის კონტაქტების განრთვის გარეშე. ამასთან, ერთ-ერთი მაგნიტური გამაძლიერებელი განკუთვნილია ელექტრომრავას გაშვებისათვის და მართვისათვის “წინ” მიმართულებით,

ხოლო მეორე – “უკან” მიმართულებით. ამისათვის  $MY_2$  გა-  
მაძლიერებელში შემავალი ფაზები –  $L_1$  და  $L_2$  იცვლიან  
ადგილებს  $MY_1$  გამაძლიერებელთან შედარებით.



ნახ.7.3. ასინქრონული ელე-  
ქტრომრავას უკონტაქტო მარ-  
თვის სქემა მაგნიტური გამა-  
ძლიერებლების დახმარებით

თითოეული მაგნიტური გამაძლიერებელი შეიცავს შემაგ-  
ნიტების ორ გრაგნილს  $OY_1$ ,  $OC_1$  და  $OY_2$ ,  $OC_2$ . მართვის  
გრაგნილები  $OY_1$  და  $OY_2$  იკვებებიან მუდმივი დენის დამოუ-  
კიდებელი წყაროდან მართვის პოტენციომეტრის  $PY$  გავლით;  
გრაგნილები  $OC_1$  და  $OC_2$  კი – ასინქრონული ძრავას ლილვზე  
ჩამაგრებული ტიხოგენერატორიდან -  $TG$  გრაგნილები  $OC_1$  და  
 $OC_2$  წარმოადგენენ უკუკავშირის გრაგნილებს ძრავას სიჩ-  
ქარის მიხედვით.

ელექტრომრავას მართვა ხორციელდება მართვის პოტენ-  
ციომეტრის  $PY$  საშუალებით. როდესაც პოტენციომეტრის  
ძვრია იმყოფება ნეიტრალურ მდგომარეობაში (როგორც სქე-  
მაზეა ნაჩვენები), მართვის გრაგნილების მაგნიტმამოძრავე-  
ბელი ძალები ნულის ტოლია, ე.ი. წრედში დენი არ არის,  
ხოლო გამაძლიერებლის მთავარი გრაგნილების ინდუქციური  
წინაღობები მნიშვნელოვანია, რის გამოც სტატორის მოძ-  
ჭრებზე ძაბვა მცირეა და არ არის საკმარისი ელექტრო-  
მრავას ასამუშავებლად. თუ პოტენციომეტრის ძვრიას გადა-

გაადგილებთ, მაგალითად ქვევით, მაშინ OY<sub>1</sub> გრაგნილში გაივლის მართვის დენი, რომელიც გამოიწვევს MY<sub>1</sub> გამაძლიერებლის მაგნიტური წრედის გაჯერებას, რაც თავის მხრივ შეამცირებს MY<sub>1</sub> მთავარი გრაგნილების ინდუქციურ წინააღმდეგობას, სტატორის მომჰქერებზე ძაბვა გაიზრდება და ძრავა დაიწყებს ბრუნვას წინ. ძრავას ბრუნვათა რიცხვის თანდათანობით ზრდასთან ერთად, თანდათან მოიმატებს, აგრეთვე, ძაბვა ტახოგენერატორზე TG; ეს უკანასკნელი გამოიწვევს დენის გაზრდას OC<sub>1</sub> მართვის გრაგნილში. OY<sub>1</sub> და OC<sub>1</sub> გრაგნილების დამამაგნიტებელ ძალებს აქვთ შემსვედრი მიმართულება, რის გამოც ელექტროძრავას სიჩქარე გაიზრდება, ვიდრე ტახოგენერატორის დენით გაპირობებული მაგნიტმოძრავებული ძალა არ გააწონასწორებს მართვის OY<sub>1</sub> გრაგნილის მაგნიტმამოძრავებელ ძალას. ამ წონასწორობას შეესაბამება ძრავას გარკვეული სიჩქარე. რაც მეტი იქნება პოტენციომეტრიდან OY<sub>1</sub> და OY<sub>2</sub> მართვის გრაგნილებზე მოწოდებული ძაბვის სიდიდე, მით მეტი იქნება ძრავას დამყარებული სიჩქარე.

აღვნიშნავთ, რომ OC<sub>1</sub> და OC<sub>2</sub> გრაგნილები (იკვებებიან ტახოგენერატორით) ახორციელებენ უარყოფით უპუკავშირს. მათ გარეშე დანადგარის მუშაობა იქნებოდა არამდგრადი, ძრავას მახასიათებელი არახისტი.

განხილული სქემა უზრუნველყოფს დამყარებული სიჩქარის შენარჩუნებას. მართლაც, დავუშვათ, რომ როტორის ლილვზე დატვირთვის გაზრდის შედეგად ძრავას სიჩქარე რამდენადმე შემცირდა (დაეცა). ეს გამოიწვევს ტახოგენერატორის ძაბვის შემცირებას და, მაშასადამე, დენისასაც, OC<sub>1</sub> ან OC<sub>2</sub> უპუკავშირის გრაგნილში, OY<sub>1</sub> და OC<sub>1</sub> გრაგნილების შემაჯამებელი დამამაგნიტებელი ძალა გაიზრდება; გაიზრდება გამაძლიერებლის შემაგნიტების დენი, რის გამოც შემცირდება მისი წინააღმდეგობა. ძაბვის გარდნა მაგნიტურ გამაძლიერებელზე შემცირდება. ეს გამოიწვევს ძრავას სტატორზე მოწოდებული ძაბვის გაზრდას და, მაშასადამე, ძრავას სიჩქარის ამაღლებას საწყის მნიშვნელობამდე.

ამრიგად, პოტენციომეტრის ძვრიას მდებარეობა, რომელიც შეესაბამება მართვის სიგნალს, განსაზღვრავს ძრავას სიჩქარეს; სიჩქარე რჩება თითქმის უცვლელი ლილვზე დატ-

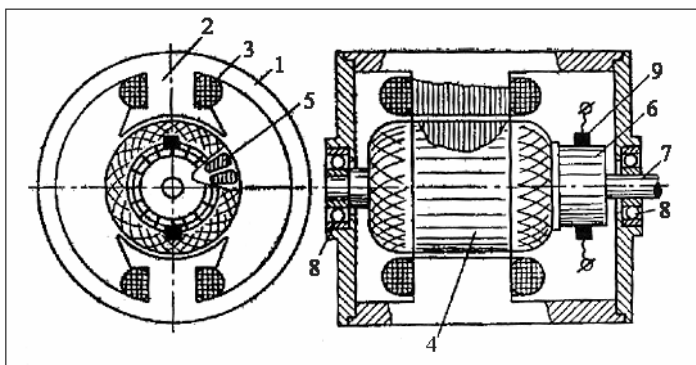
ვირთვის ცვალებადობისდა მიუხედავად, ე.ი. აღნიშნული სქემა უზრუნველყოფს დამყარებული სიჩქარის შენარჩუნებას.

ძრავას რევერსირებისა ან დამუხრუქებისათვის, საჭიროა პოტენციომეტრის ძვრია გადავაადგილოთ წინამდგომარეობის საწინააღმდეგო მიმართულებით (ნულოვანი მდგომარეობიდან), მაგალითად, სქემის მიხედვით ზევით. ამ შემთხვევაში პოტენციომეტრიდან მოხსნილი ძაბვა მიეწოდება უკვე მეორე გამაძლიერებლის  $MY_2$  მართვის გრაგნილს  $OY_2$ ; მისი ინდუქციური წინააღმდეგობა შემცირდება, ხოლო ძრავას სტატორის მომჰქერებზე ძაბვა გაიზრდება.

ძრავა განავითარებს სიჩქარეს, მხოლოდ უკვე საწინააღმდეგო მიმართულებით. ეს აიხსნება იმით, რომ ძაბვა ძრავას სტატორზე მიეწოდება მაგნიტური გამაძლიერებლით  $MY_2$ , რომელშიც ფაზები  $L_1$  და  $L_2$  ურთიერთშენაცვლებულია. სხვა მხრივ  $MY_2$  მაგნიტური გამაძლიერებლით მართვა ხორციელდება  $MY_1$  მაგნიტური გამაძლიერებლის ანალოგიურად.

#### §4. მუდმივი დენის ელექტროძრავების მართვა

ნახაზზე 7.4 მოცემულია მუდმივი დენის ძრავას კონსტრუქცია. მუდმივი დენის ელექტროძრავა შედგება შემდეგი ძირითადი ნაწილებისაგან: მაგნიტური სისტემა – 1-2, აგზების გრაგნილით – 3, ღუზა – 4 კოლექტორით – 6, მუსები – 9 და კორპუსი საკისრებით – 8, რომლებშიც ბრუნავს ღუზას ლილვი – 7.



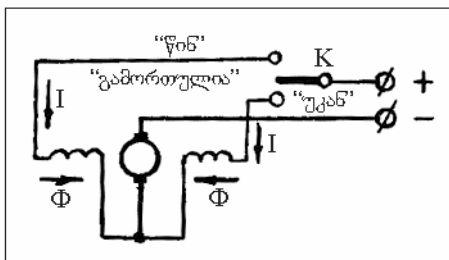
ნახ.7.4. მუდმივი დენის ძრავას კონსტრუქციული სქემა

მუდმივი დენის ძრავა კარგად ბრუნავს ორივე მიმართულებით. ძრავას ბრუნვის მიმართულების შესაცვლელად საქმარისია შევცვალოთ დენის მიმართულება დუზაში და ჟცლელი დაგტოვოთ დენის მიმართულება სტატორში.

მუდმივი დენის ძრავების გაშვების ავტომატური მართვის სხვადასხვა სქემიდან (ბრუნვის ე.მ.დ., დენის ან დროის ფუნქციაში) ქვემოთ განხილულია მუდმივი დენის რევერსიული ელექტროძრავას გაშვების სქემა თანამიმდევრული აგზებით და მუდმივი დენის ელექტროძრავას გაშვების სქემა პარალელური აგზებით.

## 1. რევერსიული ძრავა თანამიმდევრული აგზებით

ძრავას გააჩნია აგზების ორი გრაგნილი (იხ. ნახაზი 7.5), რომლებიც მუშაობენ გადამრთველის K მდებარეობისაგან დამოკიდებულებით. გადამრთველს გააჩნია სამი მდგომარეობა: “წინ”, “გამორთულია”, “უკან”. აგზების ნაკადის წარმოქმნა ხორციელდება დუზას დენით, რომელსაც შეიძლება ჰქონდეს ნახაზზე ისრებით ნაჩვენები ერთი ან მეორე მიმართულება. აღნიშნული სქემის დირსება მდგომარეობს მის სიმარტივეში და საიმედობაში, რადგან გაშვების დროს ძრავა ანვითარებს მნიშვნელოვან ამუშავების მომენტს. სქემის ნაკლს წარმოადგენს ძრავას ნარნარი რევერსირების შეუძლებლობა.



ნახ.7.5. რევერსიული ელექტროძრავას ჩართვის სქემა თანამიმდევრული აგზებით

## 2. ელექტროძრავა პარალელური აგზებით

ცნობილია, რომ ამუშავების დენი მუდმივი დენის ძრავაში გაცილებით მეტია, ვიდრე ანალოგიური სიმძლავრის ცვლადი დენის ძრავაში. ამიტომ, მუდმივი დენის ძრავას გაშვებისათვის დუზას წრედში, უმეტეს შემთხვევაში, აუცილებელია წინააღმდეგობის ჩართვა, რომელიც ამცირებს ამუშავების დენის სიდიდეს. დუზის სიჩქარის ზრდასთან ერთად იზრდება უაუ ე.მ.დ., რის გამოც დენის მნიშვნელობა კლებულობს და

ამჟღავების მოქმედის გარკვეული ფიქსირებული სიდიდის შესანარჩუნებლად საჭიროა ამჟღავების პროცესში ნაწილობრივ გამოვრთოთ ამჟღავების წინააღმდეგობა, რადგან, როგორც ცნობილია

$$M = K_M \phi I, \quad (7.1)$$

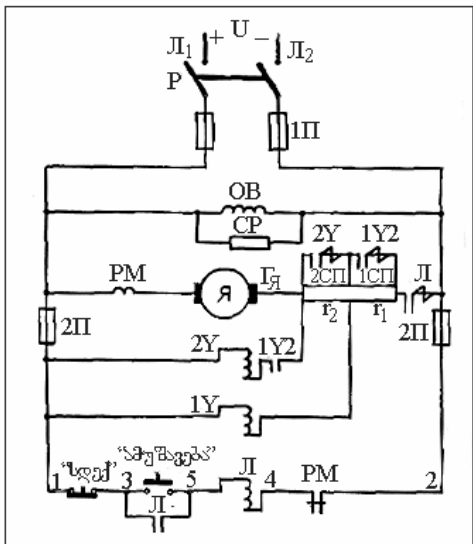
ე.ი. მუდმივი დენის ძრავას მიერ განვითარებული ამჟავების მოქმედი პირდაპირპორციულია დენისა და ნაკადის ნამრავლისა. მოყვანილ ფორმულაში  $K_m$  არის პროპორციულობის კოეფიციენტი, რომელიც დამოკიდებულია ლუზის კონსტრუქციასა და სქემაზე;

Φ – αρθροδίστας διάφορος;

I – გუბის გენი.

ამრიგად, ამუშავების პერიოდის დამთავრების შემდეგ საჭიროა ამუშავების წინააღმდეგობა მთლიანად გამოიროოს.

ნახაზზე 7.6 წარმოდგენილია მუდმივი დენის ძრავას გაშვების სქემა, პარალელური აგზებით. სქემაში გამოყენებულია სამი კონტაქტორი: სახაზო კონტაქტორი  $\Pi$ , რომელიც განკუთვნილია ძრავას ღუზას ჩასართავად ქსელში. აჩქარების კონტაქტორი 1Y და 2Y, რომელთა დანიშნულებაა ძრავას გაშვების პროცესში გამორთონ ასამუშავებელი წინაღობა საფეხურებით, პირველად პირველი საფეხური 1CP და შემდეგ მეორე 2CP.



ნახ.7.6. მუდმივი ღენის  
ელექტროძრავას გაშვების  
სქემა პარალელური  
აგზნებით

ძრავას დასაცავად გადატვირთვისაგან გამოყენებულია მაქსიმალური დენის რელე PM. იგი ამოქმედდება, თუ უეცრად მოხდება გადატვირთვა. ამ შემთხვევაში რელეს განმრთველი კონტაქტები, რომლებიც ჩართულია ლ კონტაქტორის კოჭაში, გამორთავს ძრავას. 1П და 2П მცველები იცავენ წრედს მოკლედ ჩართვებისაგან. OB არის აგზების გრაგნილი; CP წარმოადგენს განმუხტვის წინააღმდეგობას. სქემის გამორთვისას ქსელიდან თვითინდუქციის შედეგად OB აგზების გრაგნილის მოჭერებზე წარმოიქმნება გადამეტბაბვა. ამ დროს განვითარებული მაგნიტური ველის ენერგიის შთანქმისათვის არის გამიზნული წრედში ჩართული CP განმუხტვის წინააღმდეგობა.

ამუშავების პროცესი მიმდინარეობს შემდეგნაირად. P ჩამრაზის ჩართვის შემდეგ დენი გადის მხოლოდ OB აგზების გრაგნილში, ვინაიდან დანარჩენი წრედი განრთულია. ძრავას ელექტრომაგნიტურ პოლუსებში წარმოიქმნება მაგნიტური ნაკადი. შემდეგ ხდება ლილაკის “ამუშავება” დაჭრა; დენი გადის ლ კონტაქტორის კოჭაში, კონტაქტორი ჩართავს თავის მთავარ კონტაქტს ძრავას ღუზას წრედში. ამით ძრავას ღუზას გრაგნილი აღმოჩნდება მიმდევრობით ჩართული ასამუშავებელი წინააღმდეგობების ორივე 1СП და 2СП საფეხურთან, რის გამოც ასამუშავებელი დენი გადის ყველა ასამუშავებელ წინააღმდეგობაში და დენის სიდიდე მცირდება. კონტაქტის ლ ჩართვის შემდეგ დენი გაივლის, აგრეთვე, 1Y კონტაქტორის გავლით წრედში: ფაზა  $L_1$  – კონტაქტორი 1Y – წინააღმდეგობა 1СП – ფაზა  $L_2$ .

თუ აღვნიშნავთ ღუზას დენის სიდიდეს ამუშავების დროს  $I_1$ , ძაბვა 1Y კონტაქტორის მოჭერებზე იქნება

$$U_{1Y}' = U - I_1 r_1, \quad (7.2)$$

სადაც  $U$  არის ძაბვა ქსელში;

$r_1$  – პირველი საფეხურის 1СП წინააღმდეგობა.

ვინაიდან კონტაქტორი 1Y რეგულირებულია ამოქმედების  $U_{1Y}''$  ძაბვაზე, რომელიც აღემატება  $U_{1Y}'$  ამიტომ ძრავას გაშვების მომენტში კონტაქტორი 1Y არ ამოქმედდება. დავუშვათ,

რომ  $U''_{1Y}$  ძაბვას შეესაბამება დენი  $I_2$ , რომლის სიდიდეც ნაკლებია  $I_1$ -ზე, მაშინ  $1Y$  კონტაქტორის ამოქმედების ძაბვა იქნება ტოლი

$$U''_{1Y} = U - I_2 r_1. \quad (7.3)$$

დუზას სიჩქარის ზრდასთან ერთად გაიზრდება, აგრეთვე, უკუ ე.მ. მართლაც

$$E = K_e \phi \omega. \quad (7.4)$$

აქ  $K_e$  – არის პროპორციულობის კოეფიციენტი, რომელიც დამოკიდებულია დუზას სქემის კონსტრუქციაზე;

$\Phi$  – აგზების გრაგნილის მაგნიტური ნაკადი;

$\omega$  – დუზას ბრუნვის კუთხური სიჩქარე.

უკუ ე.მ. გაზრდა გამოიწვევს დუზას დენის ძალის შემცირებას

$$I_{\varrho} = \frac{U - E}{r_{\varrho} + r_1 + r_2}, \quad (7.5)$$

სადაც  $r_{\varrho}$  არის დუზას გრაგნილის წინააღმდეგობა.

თუ გავითვალისწინებთ დუზას დენის ძალის მნიშვნელობას (7.1) ფორმულაში, მივიღებთ

$$M = \frac{U - K_e \phi \cdot \omega}{r_{\varrho} + r_1 + r_2} K_M \cdot \phi. \quad (7.6)$$

ამ ფორმულიდან ჩანს, რომ მოცემული ძაბვის დროს მომენტი მაქსიმალურია, როდესაც  $\omega = 0$  კი. ძრავას ამჟამავებისას.

ასამუშავებელი მომენტი პროპორციულია ქსელის ძაბვისა.

$$M_{\text{ასა}} = U \frac{K_m \cdot \phi}{r_{\varrho} + r_1 + r_2} \quad (7.7)$$

ძრავას ბრუნვის სიჩქარის ზრდასთან ერთად მომენტის მნიშვნელობა მცირდება და უქმი სვლის დროს  $M=0$  უქმი სვლის შესაბამისი კუთხური სიჩქარე

$$\omega_{\text{ას}} = U \frac{1}{K_e \phi}, \quad (7.8)$$

კ.ი. უქმი სვლის სიჩქარეც, აგრეთვე, პროპორციულია ქსელის ძაბვისა.

ამრიგად, დუზას მომჭერებზე ძაბვის ცვალებადობით შეიძლება გმართოთ ძრავას ბრუნვის სიჩქარე.

როდესაც ღუზას დენი შემცირდება  $I_2$ -მდე, ძაბვა კონტაქტორის კოჭაზე გაუტოლდება  $U_{1Y}$  ანუ  $1Y$  კონტაქტორის ამოქმედების ძაბვის სიდიდეს. კონტაქტორი ამოქმედდება და ჩართავს თავის შემრთველ  $1Y2$  კონტაქტს, რომელიც დააშუნტებს ასამუშავებელი წინააღმდეგობის  $1CP$  პირველ საფეხურს. ამ დროს ღუზას დენი კვლავ გაიზრდება  $I_1$  სიდიდემდე. ერთდროულად  $2Y$  კონტაქტორის კოჭას წრედში შეირთვება  $1Y$  კონტაქტორის  $1Y1$  ბლოკკონტაქტი, მაგრამ ღუზას მოცემული სიჩქარის დროს  $2Y$  კონტაქტორი ჯერ კიდევ არ ჩაირთვება, რადგან იგი რეგულირებულია ამოქმედების ძაბვაზე, რომელიც აღემატება  $I_1$  დენის ძალის შესაბამის ძაბვას  $I_2$  დენის ძალის შესატყვისი ამოქმედების ძაბვით, ე.ო.

$$U_{2Y}'' = U - I_2 r_2, \quad (7.9)$$

სადაც  $U_{2Y}'' - 2Y$  კონტაქტორის ამოქმედების ძაბვა;

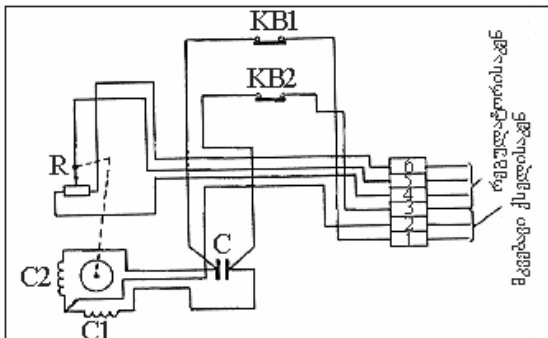
$r_2$  – მეორე საფეხურის -  $2CP$  წინააღმდეგობა.

როდესაც დენი შემცირდება  $I_2$  სიდიდემდე,  $2Y$  კონტაქტორი ამოქმედდება და დააშუნტებს ასამუშავებელი წინააღმდეგობის მეორე საფეხურს. ამ შემთხვევაში ყველა ასამუშავებელი წინააღმდეგობა იქნება გამორთული და ძრავა იწყებს მუშაობას ბუნებრივ მახასიათებელზე. ამით ძრავას გაშვების პროცესი მთავრდება.

## §5. ელექტრული აღმასრულებელი მექანიზმების მართვა

ნახაზზე 7.7 მოცემულია ИМ-2/120 ტიპის აღმასრულებელი მექანიზმის ელექტრული სქემა (აღმასრულებელი მექანიზმის აღწერა და საერთო ხედი იხილეთ გვ. 55). სქემაზე  $C1$  და  $C2$  ძრავას გრაგნილებია;  $C$  არის კონდენსატორი; მართვის მოწყობილობის რელეს კონტაქტების საშუალებით ძრავას ერთერთი  $C1$  ან  $C2$  გრაგნილი ჩაირთვება ცვლადი დენის ქსელში, ხოლო მეორე გრაგნილი ამ დროს ირთვება  $C$  კონდენსატორის მეშვეობით;  $KB1$  და  $KB2$  ბოლო გამომრთველებია, რომელთა საშუალებითაც შეიძლება შეიზღუდოს აღმასრულებელი მექანიზმის გამოსასვლელი ლილვის სკლა 120°-ის

საზღვრებში. უძუკავშირი მდებარეობის მიხედვით ხორციელდება რეოსტატით - R, რომლის ძვრია დაკავშირებულია მექანიზმის გამოსასვლელ ლილვთან.



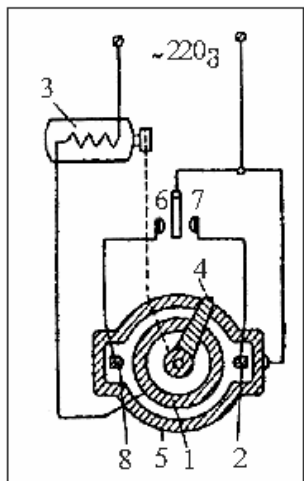
**ნახ.7.7. ИМ-2/120 –  
ტიპის აღმასრულებელი მექანიზმის  
ჩართვის სქემა**

რეოსტატიდან მოხსნილი ძაბვის სიდიდე დამოკიდებულია მარეგულირებელი ორგანოს მდებარეობაზე. ძრავას ბრუნვის მიმართულება განისაზღვრება მართვის მოწყობილობიდან მიღებული სიგნალის ნიშით.

შედარებით მნიშვნელოვანი სიმძლავრის მქონე აღმასრულებელ მექანიზმებში გამოყენებულია სამფაზა ასინქრონული ძრავები.

ნახაზზე 7.8 წარმოდგენილია ΔР ტიპის აღმასრულებელი მექანიზმის ჩართვის სქემა. მექანიზმის კონსტრუქცია და საერთო ხედი ნაჩვენებია ნახაზზე 5.7 ა.ბ. როდესაც რეგულირებადი სიდიდის მნიშვნელობა იმყოფება მოცემულ საზღვრებში, მმართველი ხელსაწყოს (მაგალითად, ჟეტიკული ტენსომეტრის რელეს) 6 და 7 კონტაქტები განრთულია. როდესაც ძვრია (4) შერთავს შინაგან საკონტაქტო რგოლს (1), რომელთანაც მიერთებულია სტატორის გრაგნილი და გარე საკონტაქტო რგოლი (5), ძრავა და ძვრია ბრუნვავენ ერთი მიმართულებით. მიაღწევს რა ბოლო გამომრთველს (2), ძვრია (4) ამოვარდება გარე რგოლიდან და განრთავს წრედს. ძრავა (3) ჩერდება. რეგულირებადი პარამეტრის შეცვლა იწვევს კონტაქტის (7) შერთვას. ძრავა ჩაირთვება, ძვრია მობრუნდება და აკლავ შედის კონტაქტში გარე რგოლთან, მაგრამ უკვე ქვედა ნახევრიდან. მარეგულირებელი ორგანო გადაადგილდება, ვიდრე ძვრია (4) არ მივა მეორე ბოლო გამომრთველთან (8), ამ შემთხვევაში

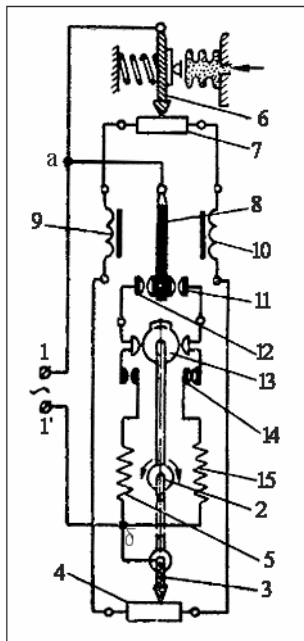
ძრავას ჩართვა მოხდება მხოლოდ კონტაქტის (6) შერთვისას, ე.ი. როდესაც პარამეტრი მიაღწევს თავის ქვედა ზღვარს. ამ-რიგად, გამოსასვლელი ლილვი ასრულებს ნახევარ ბრუნს და ჩერდება, ხოლო მარებულირებელი ორგანო იკავებს გა-ნაპირა მდებარეობებს.



ნახ.7.8. DP ტიპის აღმა-  
სრულებელი მექანიზმის  
ჩართვის სქემა

ნახაზზე 7.9 მოყვანილია პროპორციული აღმასრულებელი მექანიზმის - ПР ჩართვის სქემა. სქემაში ПР ძრავას გარდა გამოყენებულია ბალანსური რელე - БР-2 (კოჭა 9 და 10 და გულარი 8 კონტაქტებით 11 და 12), და მმართველი ხელ-საწყო, რომელიც გადაადგილებს რელეორდაზე (7) ძვრიას (6), რეგულირებადი პარამეტრის შეცვლის პროპორციულად.

პროპორციული რეგულირება ხორციელდება შემდეგნაირად. საწყის მდგომარეობაში ვენტილი შუალედ მდებარეობაშია. ძვრია (3) იმყოფება რელესტატის (4) შუაში, ხოლო მმართველ ხელსაწყოს მომართავენ რეგულირებადი პარამეტრის მოცე-მულ მნიშვნელობაზე. ამ დროს ძვრია (6) იმყოფება რელ-ეორდის (7) შუაში. დენი კლემიდან (1) მიემართება ძვრი-ასაკენ (6) და ორდება. ვინაიდან მარცხენა წრედის წი-ნააღმდეგობა ტოლია მარჯვენა წრედის წინააღმდეგობისა, დენის ძალა 9 და 10 კოჭებში ერთნაირია. გულარი (8) იმყოფება ნეიტრალურ მდებარეობაში, კონტაქტები 11 და 12 განრთულია, ძრავა (2) გაჩერებულია.



ნახ.7.9. პროპორციული აღმას-  
რულებელი მექანიზმის ჩართვის  
სქემა

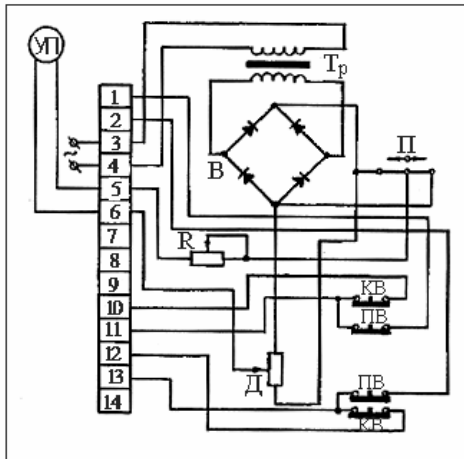
რეგულირებადი პარამეტრის შეცვლისას ძვრია (6) გადა-  
ადგილდება რეოქორდაზე (7) (დაგუშვათ მარჯვნივ). დენის  
ძალა კოჭაში 10 გაიზრდება, ხოლო კოჭაში 9 შემცირდება.  
რელეს გულარი შეირთვება მარჯვენა კონტაქტზე (11) და  
დენი ა კვანძიდან კონტაქტის 11 გავლით მიეწოდება სტა-  
ტორის კოჭას (15) (მარჯვენა ძრავა 5p იხ. ნახაზი 5.8). ძრავას  
ბრუნვით შეიცვლება მარეგულირებელი ორგანოს მდგო-  
მარეობა და ერთდროულად გადაადგილდება უკუკავშირის  
რეოსტატის ძვრია (3) მარცხნივ. როდესაც რეოსტატის (4)  
მარჯვენა ნაწილის წინაღობა გაიზრდება იმდენად, რომ კომ-  
პენსირებას გაუწევს რეოქორდის (7) მარჯვენა ნაწილის წი-  
ნაღობის შემცირებას, დენი კოჭებში 9 და 10 კვლავ გათა-  
ნაბრდება, რელეს გულარი (8) გათიშავს კონტაქტს (11) და  
დაიკავებს ნეიტრალურ მდებარეობას. ძრავა გაჩერდება, მა-  
გრამ გამოსასვლელი ლილვი უკვე იქნება შემობრუნებული  
გარკვეული გუთხით და მარეგულირებელი ორგანო დაი-  
კავებს ახალ მდგომარეობას, რომელიც შეესაბამება რეგუ-  
ლირებადი სიდიდის პროპორციულ შეცვლას. რეგულირებადი  
სიდიდის გადახრისას მეორე მხარეს შემთხვევაში,

მარცხნივ) ძვრია (6) გადაადგილდება რეოქტორდაზე (7) მარცხნივ, რელეს კოჭა (9) მიზიდაგს გულარს (8) და შერთავს კონტაქტს (12).

დენი გაიგლის მარცხენა ძრავაში 5ლ (იხ. ნახაზი 5.8) და ლილვი დაიწყებს ბრუნვას საწინააღმდეგო მიმართულებით, ვიდრე უკუპავშირის რეოსტატი კვლავ არ აღადგენს წონას-წორობას.

ლილვის შემობრუნებისას შეალედი მდგომარეობიდან მოცემული კუთხით ( $0^0$ -დან  $180^0$ -მდე რეგულირებისაგან დამოკიდებულებით) ბოლო გამომრთველი (13) განრთავს მარცხენა ან მარჯვენა კონტაქტს (14) და ძრავა ჩერდება.

ნახაზზე 7.10 ნაჩვენებია კდუ-1/П-К ტიპის დისტანციური მართვის სვეტის ელექტრული სქემა (ცინემატიკური სქემა იხ. ნახაზი 5.9).



ნახ.7.10. კდუ-1/П-К  
ტიპის დისტანციური  
მართვის სვეტის ელექტრული სქემა

ბოლო გამომრთველები KB განკუთვნილია გამოსასვლელი ლილვის ზღვრული მდებარეობების შესახდუდავად დისტანციური მართვის დროს, ხოლო საგზაო გამომრთველები ΠΒ ასრულებენ იმავე დანიშნულებას ავტომატური რეგულირებისას. მდგომარეობის მაჩვენებელი პოტენციომეტრიული გადამწოდი (Δ) განკუთვნილია სერვომრავას გამოსასვლელი ლილვის მდებარეობის სიგნალიზაციისათვის. სიგნალიზაცია ხორციელდება УП მოწყობილობით, რომელიც მიერთებულია მართვის სვეტის მომჟერებზე (5 და 6). ხელსაწყო წარმო-

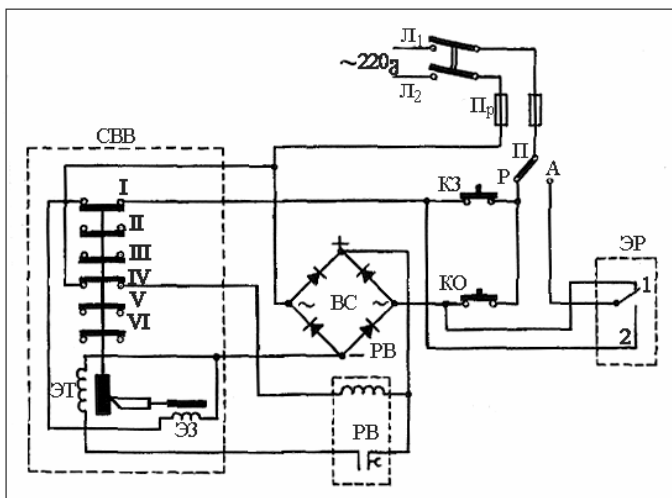
ადგენს ვოლტმეტრს, რომლის სკალაც დაგრადუირებულია მოპრუნების სრული კუთხის პროცენტებში.

შესაკრავის (II) დანიშნულებაა უП ხელსაწყოს მდებარეობის მაჩვენებლის კვანძის კვების პოლარობის შეთანხმება პოტენციომეტრის ძვრიას (Δ) გადაადგილების მიმართულებასთან.

ტრანსფორმატორი Tr 220/2 კ-ზე და სელენური გამმართველი (B) განკუთვნილია პოტენციომეტრული გადამწოდის კვებისათვის 2ვ სიდიდის მუდმივი ძაბვით. ცვლადი წინააღმდეგობა (R) ემსახურება მდებარეობის მაჩვენებლის მომართვას.

## §6. ელექტრომაბიტური ვენტილაცის აგტომატური მართვა

ნახაზზე 7.11 მოყვანილია სოლენიდური ვენტილის CBB მართვის ელექტრული სქემა, რომელიც იძლევა, როგორც ხელით, ასევე ავტომატურად მართვის შესაძლებლობას. ხელით მართვის დროს Π გადამრთველის კონტაქტის დაყენება ხდება P მოჭკერზე, ავტომატური მართვის დროს – A მოჭკერზე.



ნახ.7.11. სოლენიდური ვენტილის CBB მართვის ელექტრული სქემა

სქემა მუშაობს შემდეგნაირად. ხელით მართვის დროს ვენტილის გასაღებად საჭიროა დავაჭიროთ დილაკს K0; ამ დროს წარმოიქმნება წრედი: ფაზა ლ1-П-K0 – გამმართველი BC – დროის რელეს PB კოჭა-განმრთველი კონტაქტი IV-ფაზა ლ2. რელე PB შერთავს თავის კონტაქტს (დროის დაყოვნება რელეს გააჩნია მხოლოდ კონტაქტის განრთვისას). ამით ქსელს მიუერთდება გამწევი ელექტრომაგნიტის - ეT კოჭა. ელექტრომაგნიტის დუზა აიწევა ზევით და ვენტილი გაიღება; ერთდროულად შეირთვებიან I, II, III კონტაქტები და განირთვებიან IV, V, VI კონტაქტები (ამ კონტაქტებიდან სქემაში გამოყენებულია მხოლოდ I და IV კონტაქტები). კონტაქტის IV განრთვისას რელეს - PB კოჭას კვება წყდება, მაგრამ ეT-ს გამწევი კოჭა ჯერ კიდევ არ არის გამორთული, რადგან ის იკვებება რელეს იმ კონტაქტით, რომლის გამორთვაც წარმოებს დროის გარკვეული დაყოვნებით. როდესაც ვენტილი დადგება სასხლეზე, რელეს კონტაქტი გამოირთვება და გამწევი ელექტრომაგნიტის ეT კოჭას დენის მიწოდება შეუწყდება.

ვენტილის დასაკეტად საჭიროა დავაჭიროთ დილაკს K3. ამ დროს წარმოიქმნება წრედი: ფაზა ლ1-П-K3-I – სასხლეების ელექტრომაგნიტის კოჭა – ე3-BC - ფაზა ლ2. დენის გავლის შედეგად სასხლეების ელექტრომაგნიტის დუზა მიიზიდება თავის გულართან; სასხლეები ათავისუფლებს გამწევი ელექტრომაგნიტის დუზას და ვენტილი იკეტება.

ავტომატური მართვის დროს II გადამრთველის კონტაქტი უნდა დავაყენოთ A მოჭერზე. ვენტილის გაღება ან დაკეტვა წარმოებს ეP რელეს (ელექტრონული რეგულატორი) კონტაქტებით. კონტაქტის 1 შერთვისას ვენტილი იღება, კონტაქტის 2 შერთვისას კი იკეტება.

ელექტროენერგიის მიწოდების შეწყვეტის შემთხვევაში ვენტილის მართვა შეიძლება ხელით. ვენტილის გასაღებად გამოიყენება სახელური (5), ხოლო მის დასაკეტად საჭიროა დავაჭიროთ დილაკს (18) (იხ. ნახაზი 5.11). ხელით მართვის დროს ვენტილის ნაწილების მექანიკური ურთიერთქმედება იგივეა, რაც ელექტრული მართვის დროს.

## აპტომატური რებულირების სისტემები და მათი ძირითადი ულემენტები

### §1. ძირითადი ცნებები და განსაზღვრებები

თანამედროვე ტექნიკაში ავტომატურ რეგულირებას უკავია ერთ-ერთი წამყვანი ადგილი. მნელია დავასახელოთ ტექნიკის დარგი, სადაც ამა თუ იმ ფორმით არ იყოს გამოყენებული ავტომატური რეგულირება.

თითოეული სამრეწველო დანადგარის მუშაობის რეჟიმი სასიათდება ფიზიკური სიდიდეების ერთობლიობით, რომლებიც განსაზღვრავენ დანადგარის მუშაობას. აუცილებელი რეჟიმის უზრუნველსაყოფად საჭიროა, რომ ზოგიერთი სიდიდე ინარჩუნებდეს მუდმივ მნიშვნელობას ან იცვლებოდეს გარკვეული კანონით. მაგალითად, ელექტროძრავას მუშაობის რეჟიმი სასიათდება მის ლილვზე განვითიარებული მბრუნავი მომენტის სიდიდით და როტორის ბრუნვის სიჩქარით; საქვაბე მოწყობილობის მუშაობის რეჟიმი – ორთქლის წნევითა და ტემპერატურით; ელექტროსაგურის – ცვლადი დენის ძაბვითა და სიხშირით; რკინა-ბეტონის ქარხნის გაორთქლის კამერის – კამერაში ტემპერატურით, მოცემულ ტემპერატურაზე ნაკეთობის დაყოვნების დროით და ტენიანობით. საწარმოო პროცესის განსახორციელებლად საჭიროა, რომ საწარმოო პროცესის მახასიათებელი სიდიდები აკმაყოფილებდნენ გარკვეულ პირობებს.

სიდიდეს, რომელიც ახასიათებს ტექნოლოგიური პროცესის პირობებს, ეწოდება პარამეტრი. მუშა პარამეტრი ეწოდება სიდიდეს, რომელიც მიიღება დანადგარის ან მოწყობილობის კონსტრუირებისა და ტექნოლოგიური გაანგარიშების დროს და რომელიც შენარჩუნებული უნდა იქნეს მუდმივად ან იცვლებოდეს გარკვეული კანონით.

სიდიდეს, რომელიც აუცილებელია შენარჩუნდეს მუდმივად, ან იცვლებოდეს მოცემული პროგრამით, ეწოდება რეგულირებადი სიდიდე.

ტექნოლოგიურ მოწყობილობას, რომელშიაც მიმდინარეობს რეგულირებადი პროცესი, ეწოდება რეგულირებადი ობიექტი.

ორგანოს, რომლის საშუალებითაც ვახდენოთ ზემოქმედებას რეგულირებად ობიექტზე, ეწოდება მარეგულირებელი ორგანო.

რეგულირებადი სიდიდის და მისი დამყარებული მნიშვნელობის ტოლობის შენარჩუნების ოპერაციას ეწოდება რეგულირება.

რეგულირებას, რომლის დროსაც მარეგულირებელ ორგანოზე ზემოქმედება ხორციელდება ადამიანის მიერ, ეწოდება ხელით რეგულირება.

რეგულირებას, რომლის დროსაც მარეგულირებელ ორგანოზე ზემოქმედება ხორციელდება ხელსაწყოთი, ადამიანის ჩაურევლად, ეწოდება ავტომატური რეგულირება.

ხელით რეგულირების სქემა წარმოადგენს გახსნილ სისტემას<sup>\*</sup>; ხოლო ავტომატური რეგულირების სქემა კი შეგრულ სისტემას.

პროგრამული რეგულირება ეწოდება ისეთ რეგულირებას, რომლის დროსაც სისტემა ინარჩუნებს მოცემული კანონის მიხედვით ცვალებადი რეგულირებადი სიდიდის მნიშვნელობას.

პროგრამის მიცემა ხორციელდება ხელით ან ავტომატურად საპროგრამო მოწყობილობის (მმართველი, დამკვირვებელი) საშუალებით.

რეგულირების სისტემის “შესასვლელად” ითვლება ის სიდიდე, რომელიც ახორციელებს მარეგულირებელ ზემოქმედებას. სისტემის “გამოსასვლელი” ეწოდება სიდიდეს, რომლის რეგულირებაც არის საჭირო.

გახსნილ სისტემაში, სისტემის შესასვლელზე მარეგულირებელი ზემოქმედება არ არის დაკავშირებული სისტემის მუშაობის შედეგზე, რომელიც მიიღება ამ სისტემის გამოსასვლელზე.

შეგრულ სისტემაში შესასვლელი ზემოქმედება უშუალოდ არის დამოკიდებული გამოსასვლელი სიდიდის მნიშვნელობაზე.

უშუალო კავშირს სისტემის გამოსასვლელიდან მის შესასვლელთან ეწოდება უკუკავშირი. ხელით რეგულირების დროს უკუკავშირს ახორციელებს ადამიანი; ავტომატური რეგულირების დროს კი ხელსაწყო.

ავტომატურ მოწყობილობას, რომელიც განკუთვნილია რეგულირების ამოცანის შესასრულებლად, ადამიანის უშუალო მონაწილეობის გარეშე, ეწოდება ავტომატური რეგულატორი.

\* სინამდვილეში ეს სისტემაც შეგრულია. შეკვრას ახორციელებს ადამიანი.

ავტომატური რეგულატორის შემადგენლობაში შედის: გადამწოდი, რომელიც განსაზღვრავს რეგულირებადი სიდიდის მნიშვნელობას; შედარების ელემენტი, რომელიც რეგულირებადი სიდიდის გაზომილ და მოცემულ მნიშვნელობებს ადარებს ერთმანეთს; გამაძლიერებელი; აღმასრულებელი მოწყობილობა და მარეგულირებელი თრგანო, რომელიც ახდენს ზემოქმედებას რეგულირებად ობიექტზე.

ავტომატური რეგულირების სისტემები (CAP) წარმოადგენენ ელემენტების ერთობლიობას, რომლებიც ერთმანეთს შორის დაკავშირებული არიან განსაზღვრული სახით და ასრულებენ განსაზღვრულ ფუნქციას. ამ სისტემის თვისებები, მთლიანობაში, დამოკიდებულია ელემენტების თვისებებზე და მათი შეერთების წესზე.

ავტომატური რეგულირების სისტემა განიხილება, როგორც შეკრული დინამიური სისტემა, რომელიც შედგება რეგულირების ობიექტისაგან და ავტომატური რეგულატორის მოწყობილობათა კომპლექსისაგან.

ასხვავებენ ავტომატური რეგულირების ერთკონტრიან და მრავალკონტრიან სისტემებს.

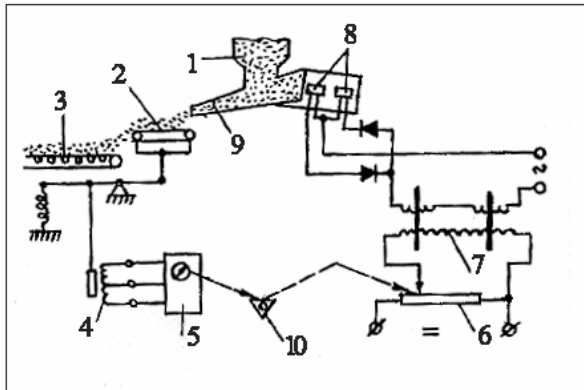
ავტომატური რეგულირების ერთკონტრიანი სისტემა ეწოდება ისეთ სისტემას, რომელსაც გააჩნია ზემოქმედების ერთი შეკრული წრედი. იგი შედგება ერთი რეგულირებადი ობიექტისაგან და ერთი მარტივი ავტომატური რეგულატორისაგან და განკუთვნილია ერთი რეგულირებადი პარამეტრის უცვლელად შესანარჩუნებლად.

ავტომატური რეგულირების მრავალკონტრიანი სისტემა ეწოდება ისეთ სისტემას, რომელსაც გააჩნია ერთზე მეტი ზემოქმედების შეკრული წრედი. სისტემა შედგება ერთი რეგულირებადი ობიექტისაგან და ერთი ან რამდენიმე ავტომატური რეგულატორისაგან.

ავტომატური რეგულირების სისტემებისა, მათი ძირითადი ელემენტების ზემოთ მოყვანილი ცნებებისა და განსაზღვრებების უკეთ გაგების მიზნით განვიხილოთ კონკრეტული მაგალითები.

ნახვ.1 ნაჩვენებია ფხვიერი მასალის დოზატორი ხელით მართვით. ნახაზზე 1 არის ბუნკერი; 2 - წონითი ტრანსპორტერი; 3 - შემკრები ტრანსპორტერი; 4 - ინდუქციური გადამწოდი; 5 - გამზომი ხელსაწყო; 6 - მართვის რეოსტატი; 7 - დროსელი შემაგნიტებით; 8-

զոթրաթորուս յլովիթրոմագնիցեօ; 9 - դարօ; 10 - ռպյութրաթորու.



### ნახ.8.1. ფხვიერი მასალის დოზატორის სქემა ხელით მართვით

მასალის ხარჯი (G) განისაზღვრება პარამეტრებით: ნაწილაკების სიმსხვილით ( $\nu$ ), მასალის ტენიანობით ( $\mu$ ), ბუნეკერში მასალის შრის სიმაღლით (H), მკვებავის დარის ვიბრაციის ამპლიტუდით (A) და ა.შ, ე.ი.

$$G = f(\nu, \mu, H, A).$$

აღნიშნული პარამეტრების გადახრისას ნომინალური მნიშვნელობებიდან  $\Delta\nu, \Delta\mu, \Delta H$  სიდიდეებით, მასალის ხარჯი ჟეიცელება  $\Delta G$  სიდიდით, წონითი ტრანსპორტერი გადაიხრება საწყისი მდგომარეობიდან, ხოლო ინდუქციური გადამწოდის კვინთა გადაადგილდება  $\Delta h$  სიდიდით. ამ დროს გამზომი ხელსაწყოს ისარი გაჩერდება ახალ მდგომარეობაში  $a$ , რომელიც განსხვავდება  $a_H$  მდგომარეობიდან, რომელიც შეესაბამება მასალის მოცულეულ ხარჯს  $G_H$ .

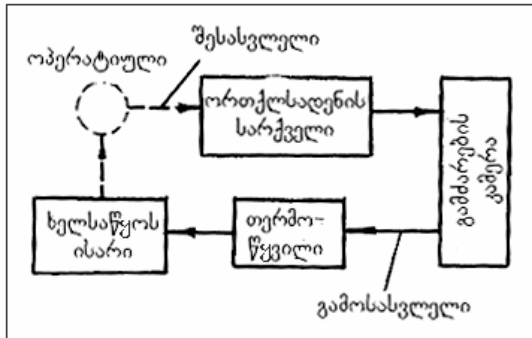
ოპერატორი გადაადგილებს რეოსტატის ძვრიას  $\Delta S$  სიდიდით. ამით იგი შეცვლის დროსეფლის შემაგნიტების გრანილზე ძაბვას. ოპერატორი ცვლილობს ისე შეარჩიოს  $\Delta S$  სიდიდე, რომ ღარის რხევის ამპლიტუდის შეცვლით  $\Delta A$  სიდიდით, მოახდინოს  $V, \mu$  ან  $H$  სიდიდეების შეცვლის შედეგად გამოწვეული ნივთიერების ხარჯის ცვლილების  $\Delta G$  კომპენსირება. თუ ასეთი კომპენსაცია იქნება მიღწეული, მაშინ ნივთიერების ხარჯი გახდება ტოლი მოცემული სიდიდისა და ხელსაწყოს ისარი გაჩერდება  $a_H$  დანაყოფზე.

განხილულ მაგალითში მკვებავი, რომლის მწარმოებლურობასაც არეგულირებს ოპერატორი, წარმოადგენს რეგულირების ობიექტს, ხოლო მკვებავის მწარმოებლურობა (ფხვიერი მასალის ხარჯი G), რომლის მუდმივად შენარჩუნებას ცდილობს ოპერატორი – რეგულირებად სიდიდეს. მკვებავის დარი ასრულებს მარეგულირებელი ორგანოს როლს, კიბრატორი – აღმასრულებელი მექანიზმის დანიშნულებას, ხოლო ორივე ერთად წარმოადგენს აღმასრულებელ ელემენტს, რომელიც უშუალოდ ახდენს ზემოქმედებას მართვად საწარმოო პროცესზე.

რეგულირების განხილული სისტემა წარმოადგენს ხელით რეგულირების სისტემას.

რეგულირების სისტემის “შესასვლელია” მარეგულირებელი ორგანო (მკვებავის დარი), “გამოსასვლელია” საკონტროლო-გამზომი ხელსაწყო, ხოლო ადამიანი ამყარებს სისტემის გამოსასვლელსა და შესასვლელს შორის კავშირს.

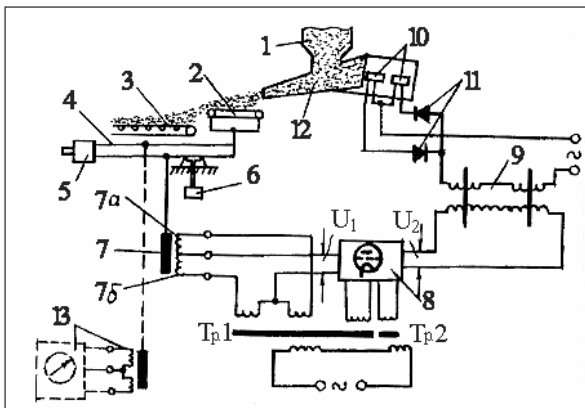
ნახ.8.2 წარმოდგენილია გასაორთქლ კამერაში ტემპერატურის ხელით რეგულირების ფუნქციონალური სქემა. დაგუშვათ ტემპერატურის გასაზომად კამერაში დაყენებულია თერმოწყვილი. სქემაში ჩართულია მილივოლტმეტრი, რომლის სპალაც გრადუირებულია უშუალოდ გრადუსებში. ნაკეთობის თბოტენიანობითი დამუშავების გრაფიკის თანახმად, ტემპერატურა კამერაში შენარჩუნებული უნდა იყოს მუდმივად, ხუთი საათის განმავლობაში. ოპერატორი, რომელიც თვალყურს ადევნებს მილივოლტმეტრის ისარს, არეგულირებს კამერაში ცხელი ორთქლის მიწოდებას. კამერაში ტემპერატურის შემცირებისას ნომინალურთან შედარებით, ოპერატორი ადებს ორთქლსაშეებ სარქველს, კამერაში შედის ცხელი ორთქლი და მასში ტემპერატურა იზრდება. თუ კამერაში ტემპერატურა გადააჭარბებს დადგენილ სიდიდეს, ოპერატორი გადაკეტავს ორთქლსადენის სარქველს; კამერაში ორთქლის მიწოდება შეწყდება და ტემპერატურა დაიწევს.



ნახ.8.2. გასაორთქლ კა-  
მერაში ტემპერატურის  
ხელით რეგულირების  
ფუნქციონალური სქემა

განხილულ მაგალითში მარეგულირებელ ორგანოზე ზემოქმედებას ახდენს ოპერატორი (ადამიანი) და, მაშასადამე, საქმე გვაქვს ხელით რეგულირებასთან.

ნახ.8.3 მოცემულია ფხვიერი მასალის ავტომატური დოზატორის პრინციპული სქემა. სქემაზე 1 არის ბუნკერი; 2,3 – წონითი და შემკრები ტრანსპორტერები; 4 – მხრეული; 5 – საწონი; 6 – კვადრანტული ტვირთი; 7 – ინდუქციური გადამწოდი 7a და 7b კოჭათი; 8 – ელექტრონული გამაძლიერებელი; 9 – დროსეტი შემაგნიტებით; 10 – ელექტრომაგნიტები; 11 – გამართველი; 12 – დარი; 13 – საკონტროლო-საზომი ხელსაწყო.



ნახ.8.3. ფხვი-  
ერი მასალის ავ-  
ტომატური დო-  
ზატორის პრინ-  
ციპული სქემა

აღვნიშნავთ, რომ გამაძლიერებელი არ წარმოადგენს ავტომატური რეგულირების სისტემის აუცილებელ ელემენტს. პრინციპულად აუცილებელ ელემენტს არ წარმოადგენს,

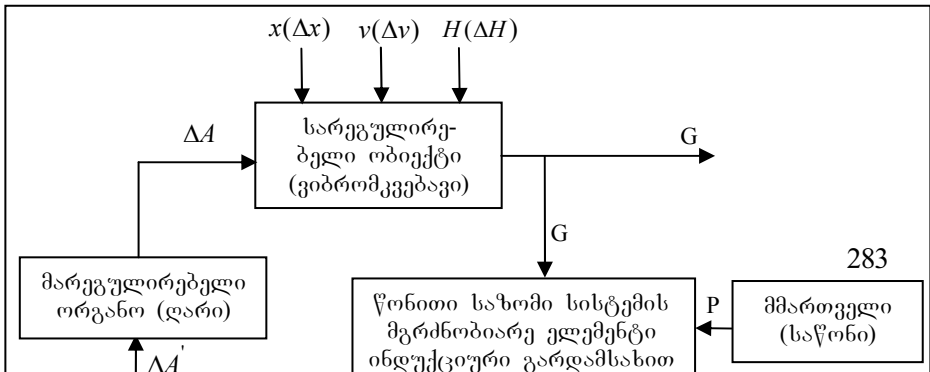
აგრეთვე, საკონტროლო-საზომი ხელსაწყოც. ხელით რეგულირების სისტემაში საკონტროლო-საზომი ხელსაწყო აწარმოებს სარეგულირებელი პარამეტრის მნიშვნელობის რეგისტრირებას მოცემულ მომენტში, ხოლო სხვაობა სიდიდის ამ მნიშვნელობასა და მოცემულ მნიშვნელობას შორის (სარეგულირებელი სიდიდის გადახრას მოცემულობიდან) გამოითვლება ოპერატორის მიერ. ავტომატური რეგულირების სისტემაში ამ სხვაობის მიღება ხორციელდება მმართველი მოწყობილობის საშუალებით. ნახ.

8.3 წარმოდგენილი სქემის შემთხვევაში მმართველი მოწყობილობის როლს ასრულებს საწონი (5). მხრეულაზე საწონის მდგბარეობისდა მიხედვით წონითი სისტემა წონასწორობაში იქნება ტრანსპორტერის წონის (G) სხვადასხვა მნიშვნელობების დროს. ძაბვა  $U_1$ , ტოლი იქნება ნელის მხოლოდ იმ შემთხვევაში, როდესაც ინდუქციური გადამწოდის ყვინთას უჭირავს 7a და 7b კოჭებს შორის შუალედი მდგბარეობა, ე.ი. როდესაც წონითი სისტემა იმყოფება წონასწორობაში. წონითი სისტემის გადახრისას წონასწორობის მდგომარეობიდან ადიძგრება სარეგულირებელი სიდიდის მოცემული მნიშვნელობიდან გადახრის პროპორციული ძაბვა ( $U_1$ ).

ძაბვა  $U_1$  საკმარისი არ არის დროსელის მუშა გრაგნილების ინდუქციური წინააღმდეგობის შესაცვლელად, ამიტომ ავტომატური რეგულირების სისტემაში გათვალისწინებულია გამაძლიერებელი (8)  $U_1$  ძაბვის გარდასაქმნელად  $U_2$  ძაბვად.

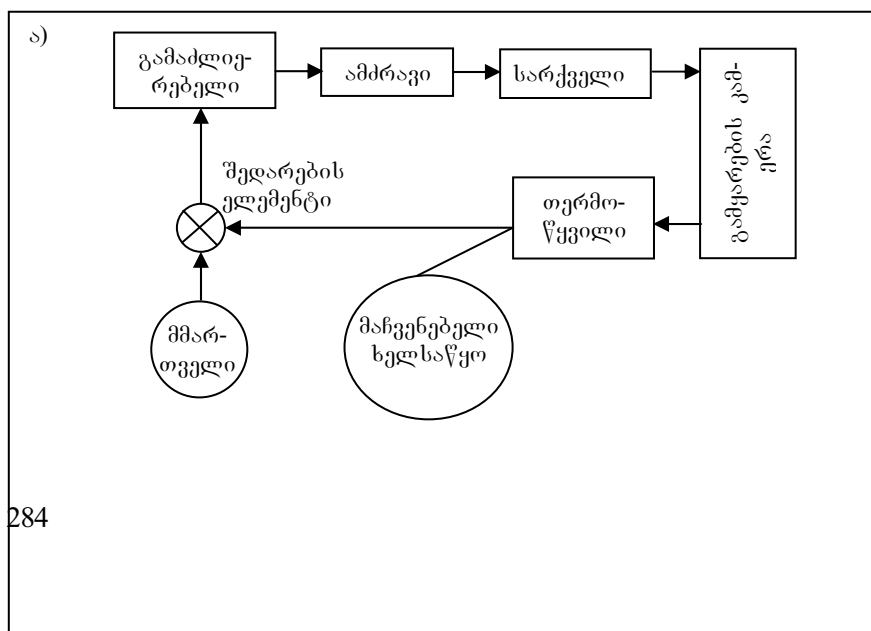
გამაძლიერებლისა და მმართველი მოწყობილობის როლს ხელით რეგულირების სისტემაში ასრულებს ოპერატორი, რომელიც გადაადგილებს რეოსტატის ძვრიას (ნახ.8.1) ხელსაწყოს ჩვენებების მოცემული სიდიდიდან გადახრისაგან დამოკიდებულებით.

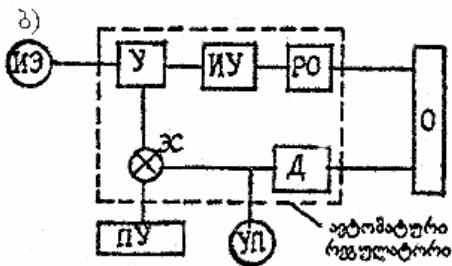
ნახ.8.4 მოცემულია ავტომატური დოზატორის ფუნქციონალური სქემა.



#### **ნახ.8.4. ავტომატური დოზიტორის ფუნქციონალური სქემა**

ნახ.8.5 ნაჩვენებია გასაორთქლ კამერაში ტემპერატურის ავტომატური რეგულირების სქემა. ხელით რეგულირების სქემისაგან (ნახ.8.2) განსხვავებით ავტომატური რეგულირების სქემა შეიცავს დამატებით სამ რგოლს – გაძაძლიერებელს, პროგრამის მომწოდებელს (მმართველი, დამკვირვებელი) და შედარების ელემენტს. ავტომატური რეგულირების სისტემა იმუშავებს ტემპერატურის არასასურველი გადახრის ლიკვიდაციისათვის. მამოძრავებელ სიგნალს წარმოადგენს სარეგულირებელი სიდიდის მოცემულ მნიშვნელობასა და მის ფაქტიურ მნიშვნელობას შორის წარმოქმნილი შეუთავსებლობა.





ნახ.8.5. გასაორთქდლ კამერაში ტემპერატურის ავტომატური რეგულირების სქემა: а) ავტომატური რეგულირების სქემა გამაძლიერებლით, შედარების ელემენტითა და მმართველით; ბ) ფუნქციონალური სქემა

ნახაზზე 8.5,ბ აღნიშნულია: ИУ – აღმასრულებელი მოწყობილობა (ამძრავი); ИЭ – ენერგიის წყარო; У – გამაძლიერებელი; РО – მარეგულირებელი ორგანო; О – სარეგულირებელი ობიექტი; Д – მგრძნობიარე ელემენტი-გადამწოდი; УП – მაჩვენებელი ხელსაწყო; ПУ – საპროგრამო მოწყობილობა (მმართველი); ЭС – შედარების ელემენტი.

## §2. ავტომატური რეგულირების სისტემების კლასიფიკაცია

ავტომატური რეგულირების სისტემების კლასიფიკაციას საფუძვლად უდევს სხვადასხვა ნიშან-თვისება.

რეგულირების მიზნისაგან და მმართველი ზემოქმედების ხასიათისაგან დამოკიდებულებით ავტომატური რეგულირების სისტემები იყოფიან ოთხ ჯგუფად: 1) ავტომატური მასტაბილიზებელი სისტემები; 2) პროგრამული ავტომატური რეგულირების სისტემები; 3) მოთვალოვანე სისტემები; 4) ექსტრემალური (ოპტიმალური) რეგულირების სისტემები.

ავტომატური მასტაბილიზებელი სისტემა წარმოადგენს მოწყობილობას, რომელიც განკუთვნილია სარეგულირებელი სიდიდის მნიშვნელობის შესანარჩუნებლად, ექსპლოატაციისათვის დასაშვებ საქმაოდ ვიწრო საზღვრებში. მაგალითად: ბეტონის ქარხნის მკვებავ ბუნკერებში შემაგსებლისა და ცე-

მენტის დონის შენარჩუნება მუდმივად; მინის ქარხნების სააბაზანო ღუმელებში მინის მასის დონის შენარჩუნება მოცემულ მნიშვნელობაზე მინის სახარშავი ღუმელის მუშაობის რეკიმის ნებისმიერად შეცვლის მიუხედავად; წყლის აგზიდან ხარჯის ცვალებადობის მიუხედავად წყლის დონის მოცემულ დონეზე შენარჩუნება გარკვეული სიზუსტით და სხვ.

პროგრამული ავტომატური რეგულირების სისტემა ეწოდება მოწყობილობას, რომელიც გათვალისწინებულია სარეგულირებელი სიდიდის მოცემული სიზუსტით ავტომატურად შესაცვლელად დროში ან სხვა პარამეტრისაგან დამოკიდებულებით წინასწარ დადგენილი პროგრამით. უმეტეს შემთხვევაში შემავალი სიგნელი X, ანუ პროგრამა დროის ფუნქციაა –  $X=f(t)$ .კერძო შემთხვევაში, როდესაც პროგრამა მუდმივია  $X=const$ , ავტომატური რეგულირების სისტემა მასტაბილიზირებელი გახდება. პროგრამული რეგულირების სისტემის მაგალითს წარმოადგენს რკინაბეტონის ნაკეთობათა თბოტენიანობითი დამუშავების რეჟიმი გასაორთქლ კამერაში. ცნობილია, რომ ტემპერატურა კამერაში იზრდება თანდათანობით განსაზღვრული გრაფიკით; შემდეგ წარმოებს მისი მუდმივად შენარჩუნება რამდენიმე საათის განმავლობაში, და, დასასრულ, გაორთქლის რეჟიმის დამთავრებისათვის ხდება ტემპერატურის თანდათანობითი შემცირება. განხილულ შემთხვევაში რეგულირების ობიექტს წარმოადგენს გამკვრივების კამერა, ხოლო მართვის სისტემის ამოცანას სარეგულირებელი სიდიდის (ტემპერატურის) შეცვლა ტექნოლოგიის შესაბამისად (წინასწარ დადგენილი პროგრამით).

მოთვალთვადე სისტემა ეწოდება მოწყობილობას, რომლის მოქმედების პროგრამა წინასწარ ცნობილი არ არის და იგი ფუნქციონალურ დამოკიდებულებებისა რომელიმე სხვა პარამეტრთან, რომელიც შესაძლებელია ნებისმიერი იქნას.

მოთვალთვადე სისტემის მაგალითია ავტომატური პოტენციომეტრი. სარეგულირებელ სიდიდეს წარმოადგენს მაჩვენებელი ისრის მდებარეობა სკალაზე (შეესაბამება გაზომილი ტემპერატურის სიდიდეს), ხოლო მმართველ ზემოქმედებას – ტემპერატურა გაზომილი თერმოწყვილისა და პოტენციომეტრის კომპლექტით. ცხადია, რომ ტემპერატურა გაზომილი პორმეტრული კომპლექტით წინასწარ არ არის ცნობილი და

განისაზღვრება სარეგულირებელ თბიექტში პროცესის  
მსგავსებით.

მოთვალოვანე სისტემის მაგალითს წარმოადგენს, აგრეთვე, ჰიდრომონიტორის საშუალებით ქანის დამუშავება და მისი ტრანსპორტირება. მემონიტორე კონკრეტული სამუშაო ადგილის ხასიათისაგან დამოკიდებულებით მიმართავს წელის ჭავლს, რომლის მოქმედების პროგრამა წინასწარ ცნობილია არ არის. ამ შემთხვევაში სარეგულირებელ ობიექტს წარმოადგენს მონიტორი, ხოლო მმართველ ზემოქმედებას – ქანის დამუშავება.

მოთვალოვანებული გამოყენებული დეტალების  
დასამუშავებლად მოდელების ან ნიმუშების მიხედვით ლითონ-  
საჭრელ ჩარხებზე, იწოდებიან მაკოპირებელ სისტემებად. მა-  
კოპირებელ სისტემაში წინასწარ დაგეგმილი მმართველი ზემო-  
ქმედება (წამყვანი სიგნალი) წარმოდგენილია კოდის სახით.

ექსტრემალური (ოპტიმალური) რეგულირების სისტემა ეწოდება ავტომატურ სისტემას, რომელშიც რეგულატორი ინარჩუნებს ცვალებადი გარემომცველი პირობებისათვის სარეგულირებელი სიდიდის ექსტრემალურ მნიშვნელობას – მინიმუმს ან მაქსიმუმს. ექსტრემალური სისტემა ოპტიმალური სისტემის კერძო სახეობაა.

თუ სარეგულირებელი პარამეტრი -  $y$  შემავალი სიგნალის  $x$ -ის ფუნქციაა -  $y=f(x)$  და ეს ფუნქცია ექსტრემალური ხასიათისაა, მაშინ სარეგულირებელი პარამეტრის მიერ ექსტრემალური მნიშვნელობის მიღწევისას რაგულარორი არ მო-

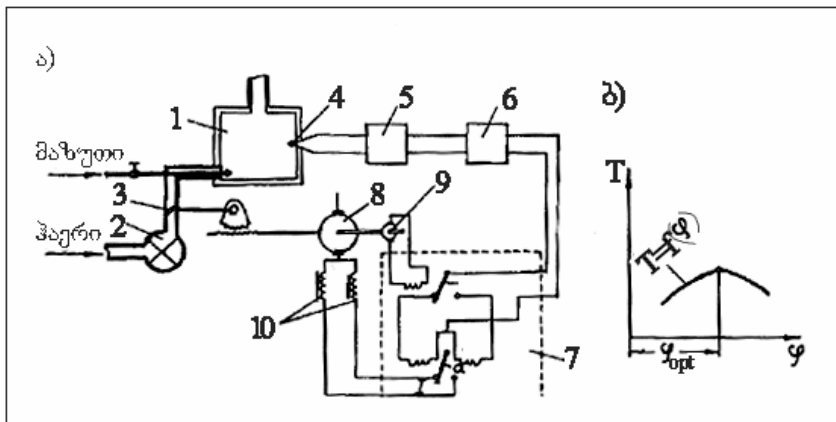
ქმედებს და  $\frac{dy}{dx} = 0$ ; სხვა შემთხვევებში  $\frac{dy}{dx} \neq 0$  და რეგულა-

ტორი მოქმედებაში შედის; როდესაც  $\frac{dy}{dx} > 0$  მარეგულირე-

ბელი ორგანო ერთი მიმართულებით მოქმედებს, ხოლო, როდესაც  $\frac{dy}{dx} < 0$  – მეორე მიმართულებით.

ექსტრემალური რეგულირების მაგალითი მოცემულია ნახაზზე 8.6.ა. საობობის (ჩვენ შემთხვევაში მაზუთის) ყოველ ხარჯს შეესაბამება პაკრის ხარჯის განსაზღვრული მნიშვნელობა, რომლის დროსაც ტემპერატურა დაუმეტი იქნება მაქსიმალური. თუ შემცირდება დაუმეტი მიწოდება

ბული ჰაერის რაოდენობა ოპტიმალურ მნიშვნელობასთან  
 შედარებით, მაშინ მაზუთის დაუწვევი ნაწილის საკვამლე  
 მიღწი გადინების გამო დუმელში ტემპერატურა დაიწევს.  
 ჰაერის ხარჯის გაზრდაც იწვევს ტემპერატურის დაქვეითე-  
 ბას, ვინაიდან ჭარბ ჰაერს სითბოს მეტი რაოდენობა მიაქვს  
 საკვამლე მიღწი. ექსტრემალური რეგულირების სისტემა  
 ახდენს ჰაერის რაოდენობის რეგულირებას – ფარსაკეტის  
 (3) დაყენების პუთხის ფ-ის ცვალებადობით ისეთნაირად,  
 რომ საწვავის მოცემული მიწოდების დროს ტემპერატურა  
 დუმელში იყოს მაქსიმალური. ნახაზზე 8.6,ა აღნიშნულია:  
 1 – დუმელი; 2 – ვენტილატორი ჰაერის მისაწოდებლად;  
 3 – ფარსაკეტი; 4 – თერმოწყვილი; 5 – გამაძლიერებელი;  
 6 – მაღისტრულცირებელი ბლოკი; 7 – ლოგიკური ელემენტი;  
 8 – ფარსაკეტის ძრავა. a,b,I,II – კონტაქტები; A,B – ორ-  
 პოზიციანი პოლარიზებული რელე; 9 – ტაქოგენერატორი; 10  
 – აგზების გრაგნილები. სქემა მუშაობს შემდეგნაირად.  
 თერმოწყვილის ძაბვა მიეწოდება გამაძლიერებელს, ხოლო  
 უკანასკნელიდან გამომავალი სიგნალი მაღისტრულცირებელი  
 ბლოკის გავლით ლოგიკურ ელემენტს, რომელიც აწარმოებს  
 ფარსაკეტის ძრავას რევერსირებას, და შესაბამისად ძრავა (8)  
 მუშაობს ფარსაკეტის გაღებაზე (თუ a და I კონტაქტებია  
 შეკრული), და ფარსაკეტის დაკეტვაზე (როდესაც a და II  
 კონტაქტებია შეკრული). ნახაზზე ნაჩვენებ მდგომარეობაში  
 ძრავა (8) მუშაობს ფარსაკეტის გაღებაზე. მაშასადამე, ტემ-  
 პერატურა დუმელში მატულობს. როდესაც φ გადააჭარბებს  
 თავის ოპტიმალურ მნიშვნელობას, ფარსაკეტის ძრავა ფარ-  
 საკეტის დაკეტვის მიმართულებით იწყებს ბრუნვას (a კონ-  
 ტაქტი მარჯვნივ მიზიდება და ჩაიკეტება II კონტაქტი) და  
 ა.შ. საჭირო გადართვებს პროცესის მიმდინარეობის მიხედვით  
 არჩევს ლოგიკური ელემენტი (7).



ნახ.8.6. დუმელში ტემპერატურის ექსტრემალური რეგულირება: а) სქემა; б) დუმელის ტემპერატურის გრაფიკი ფარსაკების დაყენების კუთხისგან დამოკიდებულებით

ნახაზზე 8.6ბ წარმოდგენილია დუმელის ტემპერატურის  $T$ -ს გრაფიკი ფარსაკების დაყენების კუთხის ფ-საგან დამოკიდებულებით, საწვავის ხარჯის გარკვეული მნიშვნელობისათვის.

ანალოგიური ექსტრემალური მახასიათებელი გააჩნია, აგრეთვე, ბეტონმრევს (ბეტონმრევ კვანძს). ცნობილია, რომ ბეტონის ნარევის დამზადების ხანგრძლივობა დამოკიდებულია მის შემადგენლობაზე. საწყის პერიოდში ნარევი მეტად არაერთგვაროვანია; გარკვეული დროის შემდეგ ნარევი თანდათანობით აღწევს ოპტიმალურ მნიშვნელობას. აღნიშნული პროცესის გაგრძელება იწვევს ბეტონის ნარევის განშრევებას ფრაქციებად. ამრიგად, რეჟიმის მართვის ამოცანაა არევის შეწყვეტა დროის იმ მომენტში, რომელიც შეესაბამება ნარევის ოპტიმალურ კონსისტენციას.

გაცილებით როტულ ობიექტების წარმოადგენს ექსტრემალური მახასიათებლით რეინაბეტონის ნაკეთობათა დამამზადებელი ქარსანა. ექსტრემუმის მაჩვენებელს წარმოადგენს ქარსნის მწარმოებლურობა პროდუქციის მინიმალური თვითდირებულებისა და მისი ოპტიმალური ხარისხის დროს.

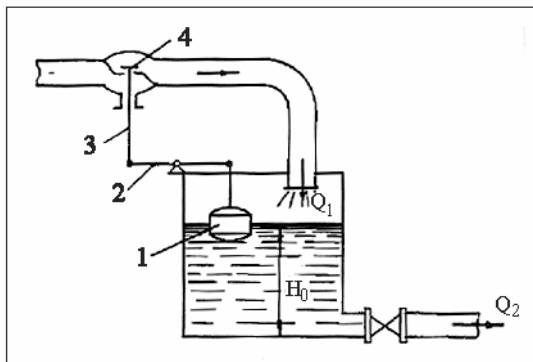
ამ ობიექტების რეგულირებისათვის, რომლებიც მუშაობენ ძალიან ცვალებად გარემომცველ პირობებში, გამოიყენება თვითაწყობადი სისტემები, რომლებსაც ტექნიკური კიბერნეტიკის სისტემები ეწოდებათ. ამ სისტემებს შეუძლიათ დიდი

ქარხნების, მსხვილი სამშენებლო ობიექტთა, სატრანსპორტო სისტემათა და სხვა საწარმოთა ავტომატური მართვა. თვითაწყობადი სისტემის უმარტივესი მაგალითია მართვის ექსტრემალური სისტემა, რომელიც განვიხილავთ.

### §3. პირდაპირი და არაპირდაპირი რეგულირება

რეგულატორსა და მარეგულირებელ ორგანოს შორის კავშირისაგან დამოკიდებულებით ასხვავებენ პირდაპირ და არაპირდაპირ რეგულირებას. განვიხილოთ მაგალითები.

ნახ.8.7 მოყვანილია პირდაპირი ქმედების ავტომატური დონის ტივტივა რეგულატორი. ნახაზზე  $Q_1$ -ით აღნიშნულია სითხის მოდინება,  $Q_2$ -ით სითხის მოხმარება;  $H_0$  არის სითხის დონე ჰურჯელში. ტივტივა უშუალოდ მოქმედებს მარეგულირებელ ორგანოზე – დროსელურ საფარზე და ამოძრავებს მას. ეს შესაძლებელია იმ შემთხვევაში, როდესაც მგრძნობიარე ელემენტის სიმძლავრე აღემატება აღმასრულებელი მექანიზმის ასამოქმედებელ სიმძლავრეს, ე.ო. პირდაპირი რეგულირება განისაზღვრება გადამწოდის გამოსავალი სიმძლავრით. მარეგულირებელი ორგანოს რეაქცია რეგულატორზე ამცირებს მის მგრძნობიარობას, რაც აუარესებს რეგულირების ხარისხს.

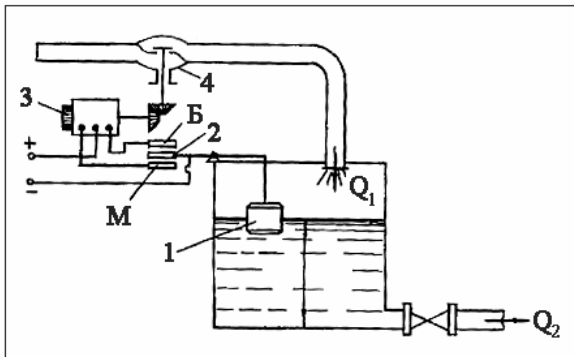


ნახ.8.7. პირდაპირი ქმედების ავტომატური დონის ტივტივა რეგულატორის სქემა

განხილული სქემის შემთხვევაში მარეგულირებელი ორგანო გადაადგილდება სარეგულირებელი ობიექტის ენერგიის ხარჯზე, კერძოდ, სითხის დონის ცვლილების ხარჯზე. ამასთან დონის აწევისას ტივტივი გადაადგილდება ამოგდები

ძალის მოქმედებით, ხოლო დონის დაწევისას ტივტივას წონის გავლენით. ცხადია, რომ ტივტივას სიღიღე ისე უნდა იყოს შერჩეული, რომ მის მიერ განვითარებული ძალვა აღემატებოდეს სარქველის (დროსელური საფარის) გადაადგილების ძალვას.

ნახ.8.8 ნაჩვენებია არაპირდაპირი ქმედების ავტომატური დონის ტივტივა რეგულატორი. არაპირდაპირი რეგულირების დროს რეგულატორი აღმასრვლებელ მექანიზმზე მოქმედებს სპეციალური გამაძლიერებლის საშუალებით, რომელიც იკვებება დამხმარე ენერგიის წყაროდან. ჩვენ შემთხვევაში ტივტივა ბერკეტული სისტემით დაკავშირებულია მოძრავ ელექტრულ კონტაქტთან (2), რომელიც შეიძლება შეკრული იქნას უძრავ კონტაქტებთან ნ და M. ამისგან დამოკიდებულებით ელექტროძრავი (3) ბრუნავს ერთი ან მეორე მიმართულებით. ჭია რედუქტორის, ბერკეტებისა და ჭიმების სისტემის საშუალებით ელექტროძრავი აღებს ან კეტავს დროსელურ საფარს (4).



ნახ.8.8. არაპირდაპირი ქმედების ავტომატური დონის ტივტივა რეგულატორის სქემა

აღწერილი სქემის შემთხვევაში მარეგულირებელი ორგანოს გადაადგილება წარმოებს ელექტრული აღმასრულებელი მექანიზმით, რომელიც იყენებს გარეშე წყაროს ენერგიას.

#### §4. სტატიკური და ასტატიკური რეგულირება

ავტომატური რეგულირების დროს მიღებული შედეგებისა-გან დამოკიდებულებით ასხვავებენ ავტომატური რეგულირე-ბის ორ სახეს: სტატიკურ ანუ პროპორციულ რეგულირებას და ასტატიკურ ანუ ინტეგრალურ რეგულირებას (პროპორ-ციულ რეგულირებას ეწოდება, აგრეთვე, Π - რეგულირება, ხოლო ინტეგრალურს - Ι რეგულირება).

სტატიკური რეგულირება ეწოდება ისეთ რეგულირებას, რომლის დროსაც სარეგულირებელი სიდიდე რეგულირების ობიექტზე სხვადასხვა გარე ზემოქმედების (მაგალითად დატ-კირთვა) დროს გარდამავალი პროცესის დამთავრებისას დე-ბულობს ზემოქმედების სიდიდისაგან დამოკიდებულ სხვა-დასხვა მნიშვნელობას; ამასთან, სარეგულირებელი სიდიდის გადახრა საშუალო (პროგრამულ) მნიშვნელობიდან არ უნდა გამოდიოდეს რეგულირების ზონის საზღვრებიდან.

დავუბრუნდეთ ავზში წყლის დონის ავტომატური რეგული-რების მაგალითს (იხ.ნახ.8.7). წყლის ხარჯის ( $Q_2$ ) გაზრდის დროს წყლის დონე ავზში დაეცემა, ტივტივა დაიწევს და დროსელური საფარის გადაადგილება გამოიწვევს ავზში სითხის მოდინების ( $Q_1$ ) გაზრდას. წყლის დონის ახალი გარკ-ვეული მნიშვნელობის დროს ავზში დამყარდება წონას-წორობა, რომლის დროსაც სითხის მოდინება გაუტოლდება მის მოხმარებას ( $Q_1=Q_2$ ). რაც მეტი იქნება წყლის მოხმარება, უფრო მეტად იქნება გადებული სარქველი წონასწორობის მდგომარეობაში და, მაშასადამე, ტივტივაც და წყლის ახალი დონეც დაბლა იქნება განლაგებული. ცხადია, რომ უდიდესი მოხმარება, რომელიც შეიძლება უზრუნველყოს სისტემაში, მიიღწევა დროსელური საფარის მთლიანად გახსნის შემთხვევაში; მოხმარება იქნება მაქსიმალური, ხოლო წყლის დონე ავზში – მინიმალური. თუ მოხმარება გაუტოლდება ნულს ( $Q_2=0$ ), წყლის დონე იქნება მაქსიმალური, ხოლო სარ-ქველი იქნება მთლიანად დაკეტილი ( $Q_1=0$ ). ამრიგად, სარე-გულირებელი წყლის დონე რეგულირების სტატიკურ სისტე-მაში შესაძლებელია მერყეობდეს  $H_{\max}$ -დან  $H_{\min}$ -მდე.

მარეგულირებელი ორგანოს მდებარეობის დამოკიდე-ბულება სარეგულირებელი პარამეტრის მნიშვნელობისაგან, განხილული მაგალითის შემთხვევაში, მათემატიკურად შეი-ძლება გამოისახოს დამოკიდებულებით

$$S = K_1 \cdot P , \quad (8.1)$$

სადაც  $S$  არის მარეგულირებელი ორგანოს (დროსელური საფარის) მდებარეობა; განისაზღვრება წრფივ ან კუთხურ ერთეულებში რაიმე საწყისი (ნულოვანი) მდებარეობიდან;

$P$  – სარეგულირებელი პარამეტრის (წყლის დონე) მნიშვნელობა, რომლის ათვლაც წარმოებს რაიმე საწყისი (ნულოვანი) მნიშვნელობიდან;

$K_1$  – პროპორციულობის კოეფიციენტი.

სტატიკური რეგულირების დროს მარეგულირებელი ორგანოს გადაადგილების სიჩქარე, სარეგულირებელი პარამეტრის ცვლილების სიჩქარის პროპორციულია, ე.ი.

$$\frac{ds}{dt} = K_1 \frac{dp}{dt}; \quad (8.2)$$

აქ  $\frac{ds}{dt}$  არის მარეგულირებელი ორგანოს გადაადგილების სიჩქარე;

$\frac{dp}{dt}$  – სარეგულირებელი პარამეტრის ცვლილების სიჩქარე.

ზემოთ აღნიშნულის საფუძველზე შეიძლება დავასკვნათ შემდეგი:

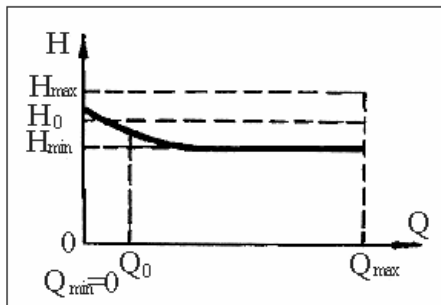
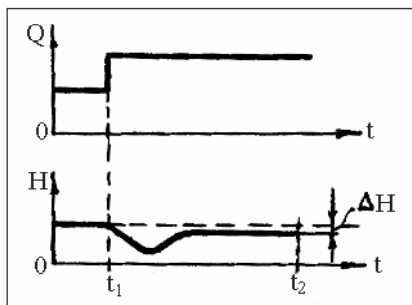
ა) სტატიკური რეგულირების დროს სისტემის წონას-წორობა შესაძლებელია სარეგულირებელი სიდიდის სხვადასხვა მნიშვნელობის დროს;

ბ) სარეგულირებელი სიდიდის თითოეულ მნიშვნელობას შეესაბამება მარეგულირებელი ორგანოს გარკვეული მდებარეობა.

ნახაზებზე 8.9 და 8.10 მოცემულია სარეგულირებელი პარამეტრის ცვლილების გრაფიკი სტატიკური რეგულირების დროს და სტატიკური რეგულირების მახასიათებელი.

სარეგულირებელი პარამეტრის გადახრას მისი პროგრამული მნიშვნელობიდან ეწოდება სისტემის აბსოლუტური სტატიკური ცდომილება, ე.ი.

$$\Delta H = H - H_0. \quad (8.3)$$



### ნახ.8.9.

სარეგულირებელი  
პარამეტრის ცვლი-  
ლების გრაფიკი  
სტატიკური რეგული-

აბსოლუტური ცდომილების შეფარდებას პროგრამულ  
მნიშვნელობასთან ეწოდება ფარდობითი სტატიკური ცდო-  
მილება

$$\frac{\Delta H}{H_0} = \frac{H - H_0}{H_0}. \quad (8.4)$$

ზონის ფარდობით სიგანეს

$$\frac{H_{\max} - H_{\min}}{H_0}$$

ეწოდება რეგულირების სისტემის უთანაბრობის კოეფი-  
ციენტი, ანუ სისტემის სტატიზმი

$$\delta = \frac{H_{\max} - H_{\min}}{H_0} = \frac{\text{ცდომილება}}{\text{შეშვეოთება}}. \quad (8.5)$$

აქ  $H_{\max}$  და  $H_{\min}$  შესაბამისად წყლის მაქსიმალური და მინი-  
მალური დონეებია ავზში, რომელთაც შეესაბამებათ წყლის  
მოხმარების ( $Q_2$ -ის) უმცირესი და უდიდესი მნიშვნელობები.

ნახ.8.9 ჩანს, რომ დატვირთვის ნახტომისქნეურად გადახრი-  
სას  $t_1$  მოენტში საპროგრამო მნიშვნელობიდან, სარეგულირე-  
ბელი პარამეტრი გარკვეული დროის გავლის შემდეგ  $t_2$  მო-  
მენტში ღებულობს ახალ წონასწორობის მდგომარეობას  
(როდესაც სითხის მოდინება უტოლდება მის მოხმარებას). ეს  
შესაძლებელია მარეგულირებელი ორგანოს ახალი მდე-

### ნახ.8.10. სტატიკური რეგულირების მახა- სიათებელი

ბარეობის დროს, ე.ი. სარეგულირებელი პარამეტრის პროგრამულ მნიშვნელობასთან შედარებით განსხვავებული მნიშვნელობის შემთხვევაში (სარეგულირებელი პარამეტრის ახალი მნიშვნელობის დროს). ამ შემთხვევაში სარეგულირებელი პარამეტრი გადაიხრება  $\Delta P$  სიდიდით (იხ. ნახ.8.7).

სტატიკური რეგულირების დადებითი თვისებაა რეგულირების სისტრაფე და მდგრადი ფუნქციონალური დამოკიდებულება მარეგულირებელ ორგანოსა და სარეგულირებელ პარამეტრს შორის, ხოლო უარყოფითი მხარეა სტატიკური ცდომილების არსებობა.

ასტატიკური რეგულირება ეწოდება ისეთ რეგულირებას, რომლის დროსაც რეგულირების ობიექტზე სხვადასხვა გარე შემაშვილობელი ზემოქმედების (მაგალითად დატვირთვა) დროს გარდამავალი პროცესის დამთავრებისას სარეგულირებელი სიდიდის გადახრა პროგრამული მნიშვნელობიდან უტოლდება ნულს, ე.ი. აღსდგება სარეგულირებელი სიდიდის პროგრამული მნიშვნელობა.

ავზში წყლის დონის ავტომატური რეგულირების ასტატიკური სისტემის პრინციპიალური სქემა განმარტებულია არაპირდაპირი ქმედების ავტომატური დონის ტივტივა რეგულატორის (იხ. ნახ. 8.8) მაგალითზე. ავზში სითხის დონის ცვლილებისაგან დამოკიდებულებით ტივტივა გადაადგილებს მოძრავ ელექტრულ კონტაქტს, რომელიც გაუშვებს ელექტორძრავს შესაბამისად “წინ” და “უკან” მიმართულებით. ამრიგად, განხორციელდება დროსელური საფარის მდებარეობის მართვა. ძრავი გამოირთვება მაშინ, როდესაც წყლის დონე ავზში მიაღწევს პროგრამულ მნიშვნელობას.

მარეგულირებელი ორგანოს სიჩქარე ასტატიკური რეგულირების დროს პროპორციულია სარეგულირებელი პარამეტრის გადახრის სიდიდისა. მათემატიკურად აღნიშნული შეიძლება გამოისახოს შემდეგნაირად

$$\frac{ds}{dt} = K_2 P, \quad (8.6)$$

სადაც  $\frac{ds}{dt}$  არის მარეგულირებელი ორგანოს გადაადგილების სიჩქარე;

$P$  – სარეგულირებელი პარამეტრის გადახრა პროგრამული მნიშვნელობიდან;

$K_2$  – პროპორციულობის კოეფიციენტი.

8.6 განტოლების ინტეგრირების შედეგად მივიღებთ და-მოკიდებულებას მარეგულირებელი ორგანოს მდებარეობასა და სარეგულირებელი პარამეტრის ცვლილებას შორის

$$S = K_2 \int pdt + S_0 . \quad (8.7)$$

აქ  $S_0$  არის დროსელური საფარის საწყისი მდებარეობა დროის  $t=0$  მომენტში. (აღვნიშნავთ, რომ  $S$  განისაზღვრება ნებისმიერი საწყისი ნულოვანი მდებარეობიდან, ხოლო  $P$  სარეგულირებელი პარამეტრის პროგრამული მნიშვნელობიდან).

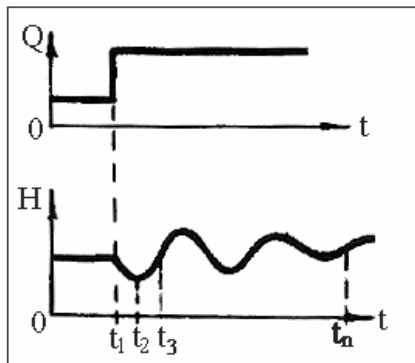
ასტატიკური სისტემის დამახასიათებელი თავისებურებებია:

ა) სისტემის წონასწორობა შესაძლებელია სარეგულირებელი სიდიდის მხოლოდ ერთი მნიშვნელობის დროს, რომელიც შეესაბამება მის პროგრამულ სიდიდეს;

ბ) მარეგულირებელ ორგანოს უნდა შეეძლოს დაიკავოს სხვადასხვა მდებარეობა, სარეგულირებელი სიდიდის ერთი და იგივე მნიშვნელობის დროს.

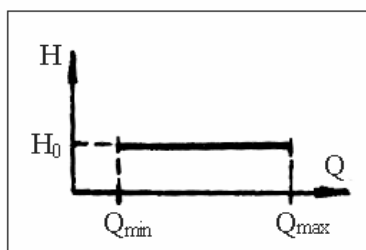
განვიხილოთ რეგულირების რეჟიმი გარდამავალი პროცესის დროს (ნახ.8.11). სითხის მოხმარების ნახტომისებურად გაზრდისას დროის  $t_1$  მომენტში, წყლის დონე ავზში დაეცემა და ტივით დაეშვება ქვევით, რის შედეგადაც მოძრავი ელექტრული კონტაქტი შეიკვრება  $M$  კონტაქტთან. ელექტროძრავა იწყებს ბრუნვას და დროსელური საფარი ისხნება. სითხის მოდინება გაიზრდება და გაუტოლდება სითხის მოხმარებას. დროის  $t_2$  მომენტში დონის დაცემა შეწყდება, მაგრამ სითხის დონე ავზში არ იქნება პროგრამული მნიშვნელობის შესაბამისი (ნაკლები იქნება). ამიტომ კონტაქტები დარჩება შეგრული და ძრავა განაგრძობს ბრუნვას იგივე მიმართულებით. სითხის მოდინება იზრდება, ვიდრე წყლის დონე ავზში არ გაუტოლდება საწყის პროგრამულ მნიშვნელობას. დროის  $t_3$  მომენტში მოძრავი კონტაქტი (2) იკავებს ნეიტრალურ მდებარეობას, კონტაქტები განირთვება და ელექტროძრავი გაჩერდება. მაგრამ რეგულირების პროცესი გრძელდება  $\Delta t$  დროის განმავლობაში, რაც გაპირობებულია ელექტროძრავისა და რედუქტორის ინერციით. ეს გამოიწვევს დროსელური საფარის დამატებით გახსნას და წყლის დონის აწევას. წყლის დონე ავზში გაუტოლდება

პროგრამულს  $t_n$  დროის შემდეგ. ასტატიკური რეგულირების მახასიათებელი (ნახ.8.12) გვიჩვენებს, რომ სარეგულირებელი პარამეტრის სიდიდე (სითხის დონე ავზში) არ არის დამკიდებული დატვირთვისაგან (სითხის მოხმარებისაგან).



ნახ.8.11. სარეგულირებელი პარამეტრის ცვლილების გრაფიკი ასტატიკური რეგულირების დროს

ასტატიკური რეგულირების დადებითი თვისებაა სარეგულირებელი პარამეტრის პროგრამული მნიშვნელობის შენარჩუნების უნარი (ასტატიკური რეგულირების სტატიზმი თეორიულად ნულის ტოლია), ხოლო უარყოფითი – დიდი ინერციულობა გარდამავალ რეჟიმში.



ნახ.8.12. ასტატიკური რეგულირების მახასიათებელი

## §5. იზოდრომული რეგულირება

იზოდრომული რეგულირება (პროპორციულ-ინტეგრალური რეგულირება, ანუ ПИ-რეგულირება) ხასიათდება სტატიკური და ასტატიკური რეგულირებისათვის დამახასიათებელი თვისებებით. მარეგულირებელი ორგანოს გადაადგილება დამოკიდებულია სარეგულირებელი პარამეტრის გადახრის

სიდიდეზე და სიჩქარეზე (გადახრის სიდიდის ინტეგრალზე დროის მიხედვით).

ანალიზურად ეს კავშირი შეიძლება წარმოვადგინოთ განტოლების სახით:

$$\frac{ds}{dt} = K_1 \frac{dp}{dt} + K_2 P. \quad (8.8)$$

მარეგულირებელი ორგანოს გადაადგილება განისაზღვრება გამოსახულებით

$$S = K_1 P + K_2 \int p dt + S_0. \quad (8.9)$$

იზოდრომული რეგულირება ხორციელდება შემდეგნაირად. მარეგულირებელი ორგანო თავდაპირველად გადაადგილდება სარეგულირებელი პარამეტრის პროგრამული მნიშვნელობიდან გადახრის სიდიდისაგან დამოკიდებულებით (სტატიკური რეგულირება), ხოლო შემდეგ ასრულებს დამატებით გადაადგილების სტატიკური ცდომილების აცილებისათვის (ასტატიკური რეგულირება).

იზოდრომული რეგულირება იძლევა გაცილებით უკეთეს შედეგებს, ვიდრე სტატიკური და ასტატიკური. პროცესი მიმდინარეობს სწრაფად, უმნიშვნელო რხევებით და სარეგულირებელი პარამეტრი გარდამავალი პროცესის დამთავრებისას დებულობს პროგრამულ მნიშვნელობას.

## §6. სარეგულირებელი ობიექტების ძირითადი თვისებები

სარეგულირებელი ობიექტების ძირითად თვისებებს მიეკუთვნება: 1) ობიექტის ტევადობა; 2) თვითგათანაბრება; 3) გაქანების დრო და ობიექტის გაქანების სიჩქარე; 4) დაგვიანება.

**ობიექტის ტევადობა.** სარეგულირებელი ობიექტის ტევადობა ანუ სააკუმულაციო უნარი ეწოდება რეგულირების ობიექტში დაგროვილი ენერგიის ან ნივთიერების მარაგს (სითხის დონე, აირის წნევა, სითბოს რაოდენობა, გარემოს ტენიანობა, ხსნარების კონცენტრაცია და სხვ.). ზოგადი სახით ობიექტის ტევადობა განისაზღვრება ნივთიერების ან ენერგიის დაგროვების ხარისხით. ტევადობის სიდიდე დამოკიდებულია სარეგულირებელი ობიექტის ზომებზე. სარეგულირებელი ობიექტის მცირე ტევადობის შემთხვევაში სწრაფად იცვლება სარეგულირებელი პარამეტრი მუშა

გარემოს (სითხის დონე ან ტემპერატურა) მოდინებასა და მოხმარებას შორის ბალანსის დარღვევისას. ობიექტის დიდი ტევადობა ამცირებს სარეგულირებელი პარამეტრის შეცვლის სიჩქარეს. აქედან დასკვნა – დიდი ტევადობის მქონე ობიექტები გამოირჩევიან მეტი მდგრადობით, ე.ი. მათი რეგულირება გაადგილებულია. მაგალითად, რამდენადაც დიდია წყლის ავზის ტევადობა, იმდენად ნელა იცვლება წყლის დონე; რამდენადაც დიდია ორთქლის ქვაბის ტევადობა, იმდენად ნელა იცვლება ორთქლის წნევა, ქვაბში ორთქლის მოხმარების ცვალებადობის დროს.

ასხვავებენ ერთტევადიან და მრავალტევადიან ობიექტებს, ტევადობას მოდინებისა და მოხმარების მხარეზე. ერთტევადიანი ობიექტის მაგალითს წარმოადგენს ჭურჭელი, რომელშიც წარმოებს სითხის დონის რეგულირება. ორი ჭურჭელი შეერთებული მოკლე მილით, როდესაც მოდინება წარმოებს ერთ ჭურჭელში, ხოლო მოხმარება მეორე ჭურჭლიდან, წარმოადგენს ორტევადიან ობიექტს. მილის მოკლე უბანი, რომელშიც ხდება ხარჯის ან წნევის რეგულირება, შეიძლება განვიხილოთ, როგორც უტევადო ობიაექტი. მოდინების მხარეზე ტევადობის მაგალითს წარმოადგენს თბოტენიანობითი დამუშავების რეჟიმის კამერებში სითბოს რაოდენობა, რომელსაც შეიცავს კამერაში შესული ორთქლი, ხოლო ტევადობა მოხმარების მხარეზე განისაზღვრება სითბოს რაოდენობით, რომელსაც შეიცავს გასაორთქლი რკინაბეტონის ნაკეთობა გახურების შემდეგ.

ობიექტის ტევადობა ხასიათდება ტევადობის კოეფიციენტით. ტევადობის კოეფიციენტი ეწოდება ენერგიის ან ნივთიერების იმ რაოდენობას, რომელიც საჭიროა მიყვანილი იქნას ობიექტში ან არინებული იქნეს მისგან, რათა სარეგულირებელი სიდიდე შეიცვალოს ზომის ერთეულით. მაგალითად, ობიექტში ტემპერატურის რეგულირების დროს, ტევადობის კოეფიციენტი განისაზღვრება სითბოს იმ რაოდენობით კალორიებში, რომელიც საჭიროა ობიექტში ტემპერატურის შესაცვლელად  $^{10}\text{C}$ -ით; ავზში სითხის დონის რეგულირებისას – სითხის რაოდენობით ( $\beta^3$ -ში), რომელიც  $\alpha$  უცილებელია ავზში დონის

შესაცვლელად 1 მ-ით. უმეტეს შემთხვევებში ტევადობის კოეფიციენტი ცვლადი სიდიდეა.

ზოგადი სახით ტევადობის კოეფიციენტი შეიძლება გამოითვალის ფორმულით

$$K_e = \frac{C}{R}, \quad (8.10)$$

სადაც  $C$  არის ობიექტის ტევადობა;

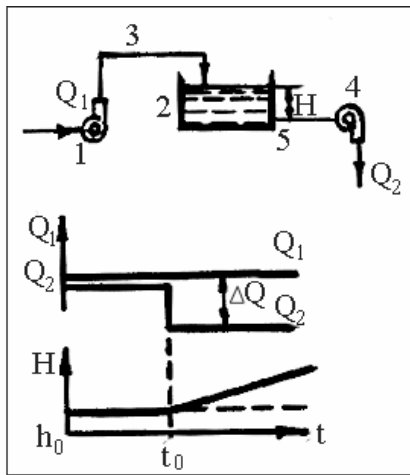
$R$  – სარეგულირებელი სიდიდე.

ტევადობის კოეფიციენტის შებრუნებულ სიდიდეს ეწოდება ობიექტის მგრძნობიარობა შემაშფოთებელი ზემოქმედებისადმი.

რეგულირების პროცესის თვითგათანაბრება. რეგულირების პროცესის გათანაბრება გულისხმობს ოპერატორის ან რეგულატორის მოქმედების შედეგად მოდინებასა და მოხმარებას შორის ბალანსის დამყარებას.

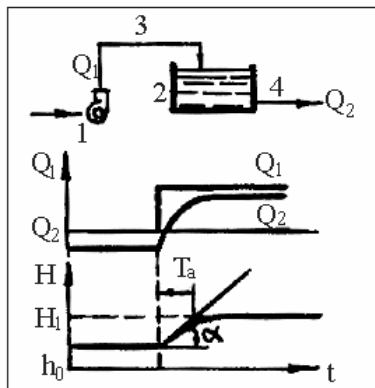
რეგულირების პროცესის თვითგათანაბრება ეწოდება სარეგულირებელი ობიექტის თვისებას, მოდინებასა და მოხმარებას შორის წონასწორობის დარღვევის შემდეგ, დამოუკიდებლად დაუბრუნდეს წონასწორობის მდგომარეობას თვერატორის ან რეგულატორის მონაწილეობის გარეშე.

განვიხილოთ მაგალითი. ვთქვათ სითხე იწნებება ტუმბოთი (1) ავზში (2) (ნახ.8.13). ავზიდან სითხე ამოიტუმბება ტუმბოთი (4) მიღის (5) საშუალებით. მოდინებასა (Q<sub>1</sub>) და მოხმარებას (Q<sub>2</sub>) შორის წონასწორობის დარღვევისას სითხის დონე ავზში მაქსიმალურად აიწევს ან დაიწევს. ამ შემთხვევაში პროცესს არ გააჩნია თვითგათანაბრების თვისება.



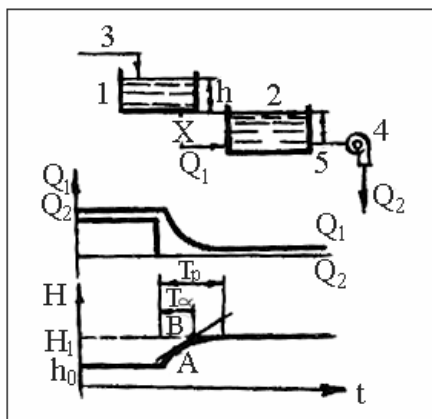
ნახ.8.13. ასტატიკური ობიექტის სქემა და დატვირთვის ცვლილების გრაფიკი

ნახ.8.14-ის შემთხვევაში ავზში სითხე მიეწოდება ტუმბოთი, ხოლო მოხმარება ხორციელდება თავისუფლად, ავზის ფსკერთან მიერთებული მილის (5) საშუალებით. მოდინებასა და მოხმარებას შორის წონასწორობის დარღვევის შემთხვევაში სითხის დონე ავზში შეიცვლება. თუ  $Q_1 > Q_2$  დონე აიწევს. პიდროსტატიკური წნევის გაზრდის გამო გაიზრდება მოხმარება ( $Q_2$ ) და გარკვეული დროის შემდეგ დამყარდება წონასწორობა ( $Q_1 = Q_2$ ). ამასთან სითხის დონის ზრდას ადგილი ადარ ექნება. მოდინების შემცირების შემთხვევაში სითხის დონე დაიწევს, შემცირდება პიდროსტატიკური წნევა და კვლავ აღსდგება წონასწორობა ავზში სითხის დონის ახალი (ნაკლები) მნიშვნელობის დროს.



ნახ.8.14. სტატიკური ობიექტის სქემა და დატვირთვის ცვლილების გრაფიკი

თუ სითხე ავზში (2) მოედინება რეზერვუარიდან (1) (ნახ. 8.15), რომელშიაც სითხის დონე პრაქტიკულად უცვლელია, ხოლო ავზიდან ამოიტუმბება ტუმბოთი (4), მაშინ  $Q_1$  და  $Q_2$  შორის წონასწორობის დარღვევის შემთხვევაში სითხის დონე (H) შეიცვლება, რის გამოც შეიცვლება სითხის დონეთა სხვაობა (h) რეზერვუარსა და ავზს შორის. თუ მოხმარება –  $Q_2$  გაიზრდება,  $h$ -იც გაიზრდება და შესაბამისად მოიმატებს მოდინებაც ( $Q_1$ ). რამდენიმე ხნის შემდეგ დამყარდება წონასწორობის ახალი მდგომარეობა. მოდინების ( $Q_1$ ) შემცირება გამოიწვევს  $h$ -ის შემცირებას; შესაბამისად შემცირდება მოხმარება ( $Q_2$ ) და წონასწორობა აღდგება, დონის შემდგომი მატება შეწყდება. განხილულ მაგალითში რეგულირების პროცესს გააჩნია თვითგათანაბრების თვისება. ნახ.8.14-ის შემთხვევაში თვითგათანაბრებას ადგილი აქვს მოხმარების მხარეზე, ხოლო ნახ. 8.15-ის შემთხვევაში კი მოდინების მხარეზე.



ნახ.8.15. სარეგულირებო ობიექტის სქემა თვითგათანაბრებით მოდინების მხარეზე და დატვირთვის ცვლილების გრაფიკი

თვითგათანაბრება შეიძლება იყოს დადებითი და უარყოფითი. ობიექტები დადებითი თვითგათანაბრების თვისებით ხასიათდებიან იმით, რომ სარეგულირებელი სიდიდის ცვლილებისას დარღვეული წონასწორობა აღსდგება ოპერატორისა და რეგულატორის მონაწილეობის გარეშე (მდგრადი ობიექტები).

ობიექტები, რომლებიც თვითგათანაბრებით ხასიათდებიან და დარღვეული წონასწორობა მიისწრაფვის თვითმატებისაკენ, არამდგრადი ეწოდებათ.

ობიექტის თვითგათანაბრების უნარი ხასიათდება თვითგათანაბრების ხარისხით ან კოეფიციენტით:

$$\nu = \frac{d(q_1 - q_2)}{dx} = \frac{dq}{dx}, \quad (8.11)$$

სადაც  $q_1$  არის სითბოს, სითხის, აირის და ა.შ. ფარდობითი მოდინება ობიექტში;

$q_2$  – სითბოს, სითხის, აირის და ა.შ. ფარდობითი მოხმარება ობიექტიდან;

$q$  – დროის მოცემულ მომენტში ობიექტში მოდინებისა და მოხმარების ფარდობითი სხვაობა;

$x$  – ობიექტში სარეგულირებელი სიდიდის ფარდობითი გადახრა.

თვითგათანაბრება განაპირობებს სარეგულირებელი ობიექტის მდგრადობას და აადვილებს რეგულირების პროცესს (რეგულატორის მუშაობას). რაც მეტია თვითგათანაბრების ხარისხი ( $\nu$ ), იმდენად მდგრადია რეგულირების პროცესი (სწრაფად ადსდგება ხანძოკლე შემაშფოთებელი ზემოქმედებით დარღვეული წონასწორობა).

ამრიგად, ავტომატური რეგულირების ობიექტები იყოფიან: მდგრად (ხასიათდებიან თვითგათანაბრების თვისებით), ე.წ. სტატიკურ ობიექტებად; ნეიტრალურ (თვითგათანაბრების თვისება არ გააჩნიათ), ე.წ. ასტატიკურ ობიექტებად და არამდგრად (ხასიათდებიან უარყოფითი თვითგათანაბრების თვისებით) ობიექტებად.

გაქანების დრო და ობიექტის გაქანების სიჩქარე დრო, რომლის განმავლობაშიც სარეგულირებელი პარამეტრი შეიცვლება საჭყისი მნიშვნელობიდან ( $h_0$ ) ახალ მნიშვნელობამდე ( $H_1$ ), იწოდება რეგულირების ობიექტის დროის მუდმივად ( $T_a$ ). იგი ახასიათებს ობიექტის ინერციულობას და დამოკიდებულია ობიექტის ტევადობის კოეფიციენტზე.

ერთტევადიანი ობიექტის შემთხვევაში დრო ( $T_a$ ) (ნახ.8.15) განისაზღვრება გაქანების მრუდზე აღებულ ნებისმიერ აწერტილში გავლებული მხების გადაკვეთით სარეგულირე-

ბელი პარამეტრის -  $H$  დამყარებული მნიშვნელობის შესაბამის ხაზთან  $B$  წერტილში.

გაქანების დრო ( $T_{\text{გაქ}}$ ) ეწოდება პერიოდს, რომლის განმავლობაშიც სარეგულირებელი პარამეტრი იცვლება ნულიდან თავის მაქსიმალურ მნიშვნელობამდე მყისიერი შემაშფოთებელი ზემოქმედების შედეგად. მიიღება, რომ ცვლილების სიჩქარე რჩება მუდმივი და დატვირთვა არ არსებობს.

რეგულირების ობიექტის დროის მუდმივა -  $T_a$  განსაზღვრავს ობიექტის გაქანების დროს, როდესაც თვითგათანაბრებას ადგილი არა აქვს.

განხილულ მაგალითში გაქანების დრო წარმოადგენს დროს, რომლის განმავლობაშიც ავზის ტევადობა აღწევს მინიმუმს ან მაქსიმუმს მოღინებასა და მოხმარებას შორის მაქსიმალური სხვაობის არსებობისას.

$$\text{განხილული მაგალითისათვის } T_{\text{გაქ}} = \frac{H_{\max} F}{Q_{\max}}, \quad (8.12)$$

სადაც  $H_{\max}$  არის სითხის დონის შესაძლო უდიდესი მნიშვნელობა;

$F$  - ავზის განივალეთის ფართი;

$Q_{\max}$  - მოდინება ან მოხმარება ობიექტში წონასწორობის მაქსიმალურად დარღვევის დროს.

გაქანების დროის შებრუნებულ სიდიდეს ეწოდება გაქანების სიჩქარე ან ობიექტის მგრძნობიარობა შემაშფოთებელი ზემოქმედებისადმი

$$\varepsilon = \frac{1}{T_{\text{გაქ}}}. \quad (8.13)$$

გაქანების სიჩქარე წარმოადგენს სარეგულირებელი პარამეტრის შეცვლის სიჩქარეს მაქსიმალური შემაშფოთებელი ზემოქმედებისას.

თვითგათანაბრების დრო მიახლოებით შეიძლება განსაზღვრული იქნეს ფორმულით

$$t = \frac{3T_{\text{გაქ}}}{\nu}, \quad (8.14)$$

სადაც  $\nu$  ობიექტის თვითგათანაბრების კოეფიციენტია.

**დაგვიანება.** სარეგულირებელი სიდიდის შეცვლა ხორციელდება შემაშფოთებელი ზემოქმედების წარმოქმნის მო-

მენტიდან გარკვეული დროის შემდეგ, რომელსაც რეგულირების პროცესის დაგვიანების დრო ეწოდება.

ორტევადიან და მრავალტევადიან ობიექტებს გააჩნიათ გადამცემი და გარდამავალი დაგვიანებები, ხოლო ერთტევადიან ობიექტებს მხოლოდ გადამცემი დაგვიანება.

გადამცემი (სატრანსპორტო, დისტანციური ან სუფთა) დაგვიანება არის დრო, რომლის განმავლობაშიც სარეგულირებელი სიდიდე შემაშფოთებელი ზემოქმედების მიუხედავად არ იცვლება. გადამცემი დაგვიანება დამოკიდებულია ობიექტის დატვირთვაზე. რაც მეტია დატვირთვა, იმდენად ნაკლებია გადამცემი დაგვიანება, ვინაიდან მგრძნობიარე ელემენტი (გადამწოდი) შემაშფოთებელ ზემოქმედებაზე რეაგირებას მოახდენს ადრე. გადამცემი დაგვიანება დამოკიდებულია, აგრეთვე, ობიექტის ტევადობაზე. რაც მეტია ტევადობა, იმდენად მეტია გადამცემი დაგვიანების დრო. დიდი გადამცემი დაგვიანება ართულებს რეგულირების პროცესს.

გარდამავალი (ტევადური) დაგვიანება არის დრო, რომელიც დამოკიდებულია ობიექტის ტევადობებს შორის თბერი, პიდრაგლიკური და სხვა წინააღმდეგობებისაგან, ე.ი. გარდამავალი დაგვიანება პრაქტიკულად ხასიათდება იმ დროით, რომელიც საჭიროა ტევადობებს შორის წინააღმდეგობების დასაძლევად. გარდამავალი დაგვიანება უარყოფითად მოქმედებს რეგულირების ხარისხზე.

გადამცემი და გარდამავალი დაგვიანებების ჯამი იწოდება მთლიანი დაგვიანების დროდ:

$$\tau = \tau_1 + \tau_2. \quad (8.15)$$

რაც მეტია მთლიანი დაგვიანების დრო, იმდენად მნელი სარეგულირებელია პროცესი.

დაგვიანების თვისებით ხასიათდება არა მარტო სარეგულირებელი ობიექტი, არამედ თვითონ რეგულატორიც. რეგულატორის დაგვიანება მიეკუთვნება გარდამავალ დაგვიანებას.

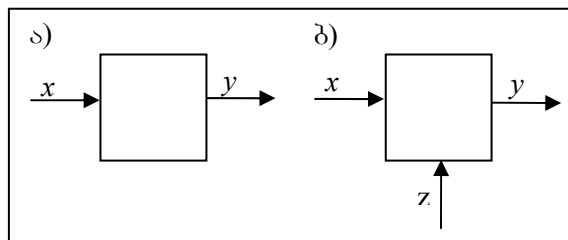
დიდი დაგვიანებით ხასიათდება ობიექტები, რომლებშიც წარმოებს ტემპერატურის რეგულირება, ხოლო მცირე დაგვიანებებით – ობიექტები, სადაც ხორციელდება სითხის მოხარების რეგულირება.

## აპტომატური რეგულირების თეორიის ელემენტები

### §1. აპტომატური რეგულირების სისტემების (CAP) უზრდცირნალური სემები. სისტემების რბო- ლების ცნება

ავტომატური სისტემა შესაძლოა წარმოდგენილი იქნას სამგვარად: სისტემის ფიზიკური, ანუ კონსტრუქციული, ფუნ-ქციონალური და სტრუქტურული სქემის სახით. სქემა შედ-გება ცალკეული ელემენტებისაგან. ავტომატური მოწყობი-ლობის ელემენტი ეწოდება მის შემადგენელ ნაწილს, რო-მელიც ასრულებს დამოუკიდებელ ფუნქციას. კონსტრუქცი-ული სქემის მიხედვით დგება ფუნქციონალური სქემა, ხოლო ამ უკანასკნელის საფუძველზე ავტომატური მოწყობილობის სტრუქტურული სქემა.

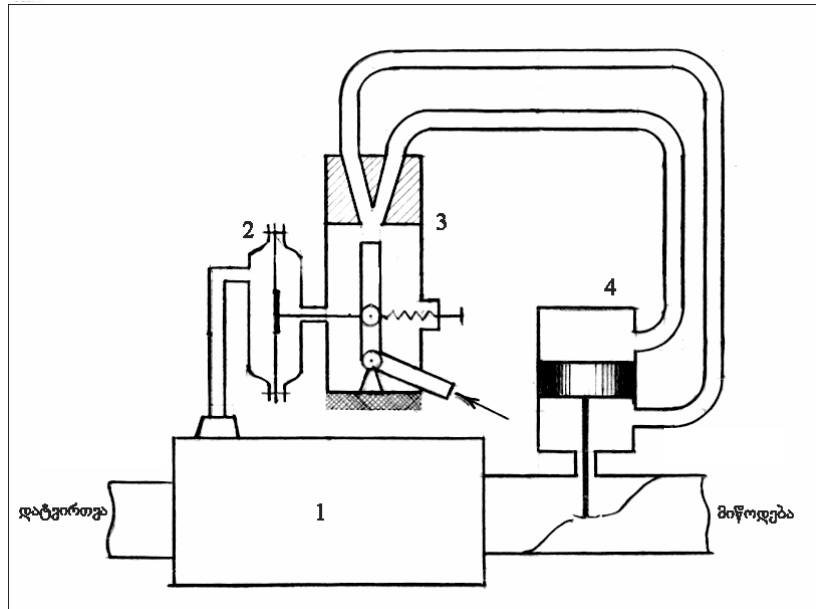
ავტომატიკის ძირითად ელემენტებს, რომლებიც გამოი-ყენება ავტომატური რეგულირების სისტემებში, წარმოადგე-ნენ: გამზომი ელემენტი, მმართველი (დამკვირვებელი) ელე-მენტი, შემდარებელი ელემენტი, გამაძლიერებელი ელემენტი, შემსრულებელი (აღმასრულებელი) ელემენტი. 9.1 ნახაზზე ნაჩვენებია ავტომატური მოწყობილობის ელემენტის პირო-ბითი გამოსახვა. შემავალი და გამომავალი სიდიდეები (სიგ-ნალები) ნაჩვენებია ისრებით. ნახაზზე 9.1ბ მოცემულია ელე-მენტის პირობითი გამოსახვა, რომელსაც აქვს ორი შემავალი  $x$ ,  $z$  და ერთი გამომავალი  $y$  სიდიდე.



ნახ9.1. ავტომატური მოწყობილობების ელემენტების გამოსახვა:  
ა) ერთი შემავალი და ერთი გამომავალი სიგნალით; ბ) ორი შე-  
მავალი და ერთი გამომავალი სიგნალით

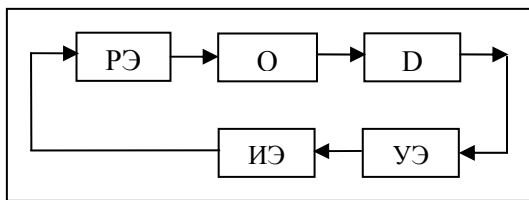
9.2 ნახაზზე წარმოდგენილია ობიექტში გაზის წნევის რეგულატორის კონსტრუქციული (პრინციპიალური) სქემა. სქემაზე 1 არის ობიექტი; 2 – მემბრანული მგრძნობიარე ელემენტი; 3 – ჭავლური მილაკი, გამაძლიერებელი; 4 – შემსრულებელი (აღმასრულებელი) მოწყობილობა, ძალური ცილინდრი; 5 – მარეგულირებელი სარქველი.

სქემა მუშაობს შემდეგნაირად, თუ დატვირთვის გაზრდის შედეგად ობიექტში (1) გაზის წნევა დაეცემა, წნევის შემცირება გადაეცემა მგრძნობიარე ელემენტის – გარდამსახის (2) მარცხნია დრუში. მემბრანის წონასწორობა დაიღვევა, იგი გადმოიწევა მარცხნივ და ერთდროულად გადააადგილებს მარცხნივ ჭავლურ მილაკს (3). ამასთან, სერვომრავის ქვედა დრუში წნევა გაიზრდება, დგუში აიწევს ზევით და მარეგულირებელი სარქველი გაიღება. ობიექტში (1) მიწოდებული გაზის რაოდენობა გაიზრდება და მასში წნევა აღდგება. დატვირთვის შემცირების შემთხვევაში პროცესი წარიმართება უკუ მიმართულებით.



ნახ.9.2. ობიექტში გაზის წნევის რეგულატორის კონსტრუქციული სქემა

9.3 ნახაზზე აგებულია ფუნქციონალური სქემა, 9.2 ნახაზზე მოცემული კონსტრუქციული (პრინციპიალური) სქემის მიხედვით. იგი სქემატურად გამოსახავს ავტომატურ მოწყობილობას, გამოხატავს ელემენტების შემადგენლობას და მათ დანიშნულებას, აგრეთვე, ელემენტებს შორის ურთიერთქმედებას. ამდენად, ფუნქციონალურ სქემას ხშირად ელემენტურ სქემასაც უწოდებენ. 9.3 ნახაზზე: O არის ობიექტი; D – გარდამსახი – მგრძნობიარე ელემენტი-მემბრანა; YЭ – მაძლიერებელი ელემენტი (ჭავლური მილაკი); ИЭ – აღმასრულებელი ელემენტი – ძალური ჰიდრაულიკური ცილინდრი; РЭ – მარეგულირებელი ელემენტი-სარქველი.

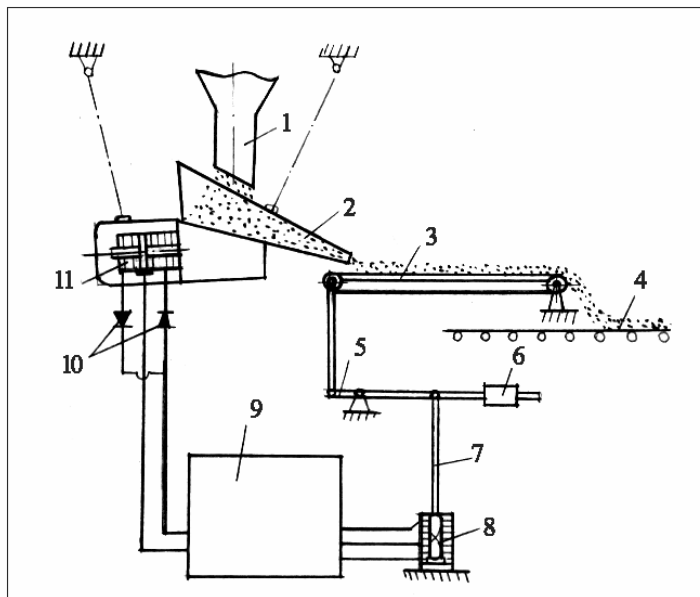


### ნახ.9.3. არაპირდაპირი ქმედების რეგულატორის ფუნქციონალური სქემა

9.4 ნახაზზე მოცემულია უწყვეტი ქმედების ავტომატური წონითი დოზატორის კონსტრუქციული (პრინციპიალური) სქემა. ნახაზზე აღნიშნულია: 1 – ბუნკერი მასალისათვის, 2 – ვიბროლარი, 3 – წონითი ტრანსპორტერი, 4 – საკრები ტრანსპორტერის ლენტა, 5 – მხრეული, 6 – მაწონასწორებელი ტვირთი, 7 – საწევი, 8 – ინდუქციური გარდამსახი, 9 – ავტომატიკის ხელსაწყოების ბლოკი, 10 – გამმართველები, 11 – ელექტრომაგნიტური ვიბრატორი.

სქემა მუშაობს შემდეგნაირად: მასალა (1) ბუნკერიდან მიეწოდება (2) ვიბროლარში, რომელიც იმყოფება ვიბრაციის ზემოქმედების ქვეშ. დარი თანაბრად გამოყრის მასალას (3) წონით ტრანსპორტიორზე, რომელიც რეგულირებულია (6) ტვირთით განსაზღვრულ მწარმოებლურობაზე. წონითი ტრანსპორტიორიდან მასალა უწყვეტი ნაკადით მიეწოდება (4) საკრებ ტრანსპორტიორის ლენტზე და მიემართება შემრევი მანქანის დოლში. დოზირების სიზუსტე უზრუნველყოფილია წონითი მექანიზმის მხრეულის მდგომარეობასა და (11) ელექტრომაგნიტური ვიბრატორის კოჭებზე ძაბვას შორის

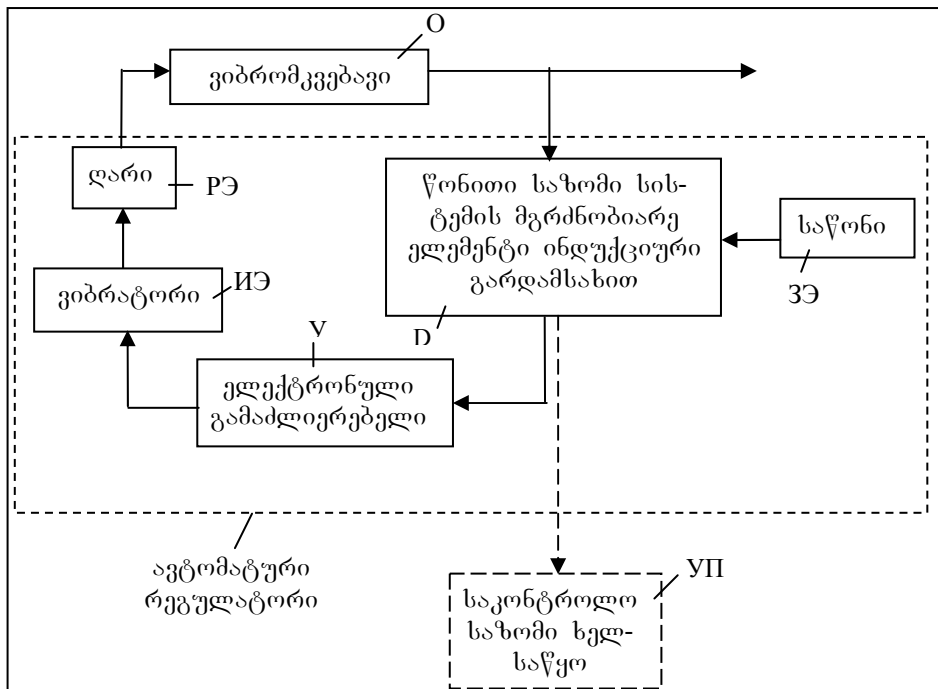
კავშირით, რომელიც რეგულირდება სისტემაში ჩართული (8) ინდუქციური გარდამსახით. თუ მასალის წონა, რომელიც იმყოფება მოცემულ მომენტში წონით ტრანსპორტიორზე, აღმოჩნდება მოცემულზე მეტი, მაშინ ბერკეტების სისტემა ამოქმედდება და (5) მხრეულის ბოლო, რომელზედაც დამაგრებულია (6) ტვირთი, აიწვევა ზევით და თან წაიტაცებს (7) საწევს, რომელიც დაკავშირებულია (8) ინდუქციური გარდამსახის გულართან. გარდამსახი მიაწოდებს იმპულსს (9) ავტომატიკის ხელსაწყოების ბლოკის მაძლიერებლებით და ძაბვა ელექტრომაგნიტური ვიბრატორის კოჭებზე შემცირდება. ძაბვის შემცირება იწვევს (2) ვიბროლარის რხევების ამპლიტუდის შემცირებას, რის შედეგადაც მასალა წონით ტრანსპორტიორზე მიეწოდება ნაკლები ინტენსივობით



ნახ.94. უწყვეტი ქმედების აგტომატური წონითი დოზატორის სქემა  
და (5) მხრეული კვლავ დაიკავებს ჰორიზონტალურ მდგომარეობას. მასალის წონის შემცირებისას წონით ტრანსპორტიორზე ავტომატიკის სისტემის მოქმედება გამოიწვევს ვიბრატორის კოჭებზე ძაბვის გაზრდას, და მასალის ნაკადი გაიზრდება. ამგვარად, (8) გარდამსახი ვიბრატორის კოჭებზე ძაბვის ცვლი-

ლებით ინარჩუნებს მუდმივ წონასწორობას წონით ტრანსპორტიორსა და (6) ტვირთს შორის, რითაც უზრუნველყოფილია მასალის უწყვეტი ნაკადის წონითი სტაბილურობა.

9.5 ნახაზზე წარმოდგენილია უწყვეტი ქმედების ავტომატური წონითი დოზატორის ფუნქციონალური სქემა, რომელიც შეესაბამება 9.4 ნახაზზე ნაჩვენებ კონსტრუქციულ (პრინციპიალურ) სქემას. სქემაზე O-თი აღნიშნულია მართვის ობიექტი – მკვებავი, რომელიც მასალას აწოდებს კონვეირის ლენტზე და საბუთრივ ავტომატური რეგულატორი, რომელიც შედგება ლენტური კონვეირისაგან. იგი ასრულებს მართვის სისტემის მგრძნობიარე ელემენტის როლს; მაძლიერებელ-გარდამქნელისაგან (წონითი მექანიზმი და ინდუქციური გარდამსახი D), რომელიც კონვეირის ლენტზე მასალის მასის ცვლილებას გარდაქმნის ელექტრულ სიგნალად; შემსრულებელი ელემენტისაგან ИЭ, რომელიც აყალიბებს მართვის კანონს და მარეგულირებელი ელემენტის РЭ საშუალებით მოქმედებს მკვებავის მიერ მასალის ხარჯზე.

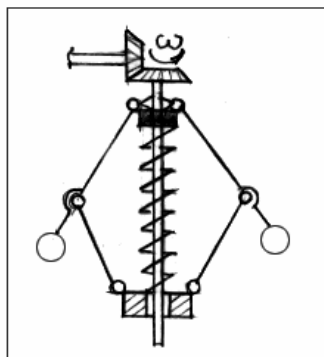


ნახ.9.5. ავტომატური წონითი დოზატორის ფუნქციონალური სქემა

ფუნქციონალური (ელემენტური) სქემის საფუძველზე აიგება ავტომატური მოწყობილობის სტრუქტურული სქემა, რომელიც გამოსახავს ავტომატური მოწყობილობის დინამიკურ თვისებებს და განკუთვნილია ამ თვისებების გამოსაკვლევად (სტრუქტურული სქემის აგება გადმოცემული იქნება §6-ში).

ავტომატური მოწყობილობის სტრუქტურული სქემის უმარტივეს შემადგენელ ნაწილს, რომელიც გამოსახავს მის დინამიკურ თვისებებს, ეწოდება სტრუქტურული სქემის რგოლი. რგოლირების სტრუქტურული სქემის თითოეული რგოლი განიცდის თავის თავზე, სქემის სხვა რგოლების მხრიდან, ერთ ან რამდენიმე ზემოქმედებას ან გარე აგზებებს. თავის მხრივ თითოეული რგოლი, აგრეთვე, ახდენს ზემოქმედებას ერთ ან რამდენიმე რგოლზე. რგოლში წარმოებს მასზე მოქმედი ფიზიკური სიდიდის გარდაქმნა ზემოქმედების ფიზიკურ სიდიდეთ, რომლითაც მოცემული რგოლი მოქმედებს სხვა რგოლზე.

ფიზიკურ სიდიდეს, რომელიც ზემოქმედებს რგოლზე და წარმოადგენს მისი მდგომარეობის შეცვლის მიზეზს, ეწოდება შესასვლელი სიდიდე. ფიზიკურ სიდიდეს, რომელიც ახასიათებს რგოლის მდგომარეობის შეცვლას და წარმოადგენს რგოლზე ზემოქმედების შედეგს, ეწოდება გამოსასვლელი სიდიდე. 1784 წელს ჯემს უატის მიერ გამოგონილ ცენტრიდანულ რეგულატორის ლილვის ბრუნვის სიჩქარის შეცვლა (რგოლის გამოსასვლელი სიდიდე) იწვევს ქუროს განსაზღვრულ გადაადგილებას (რგოლის გამოსასვლელი სიდიდე) ნახ. 9.6.



ნახ.9.6. ცენტრიდანული მექანიზმი

რეგულირების სისტემის რგოლები ხასიათდებიან მოქმედების მიმართულების თვისებით, მაგრამ არა ყოველი რგოლი. ეს ნიშნავს, რომ კონტრის გასწვრივ მოქმედების გადაცემა რგოლის საშუალებით შეიძლება ხორციელდებოდეს ყოველთვის ერთიდაიმავე მიმართულებით, ე.ი. მოქმედების მიმართულება არ შეიძლება შეიცვალოს საპირისპიროდ, ან შესაძლოა საწინააღმდეგო პროცესიც – შემავალი სიგნალის წარმოქმნა გამომავლის ზემოქმედებით. მაგალითად, ნახ. 9.6-ზე ლილვის ბრუნვის სიჩქარის შეცვლა იწვევს ქუროს გადაადგილების შეცვლას, მაგრამ ქუროს გადაადგილება რაიმე გარე ძალით არ იწვევს ლილვის ბრუნვის სიჩქარის შეცვლას.

მეორე მაგალითი – ორთქლის ქვაბი. საწვავის მიწოდების შეცვლა საცეცხლეში – ერთერთი მიზეზია ორთქლის წნევის შეცვლისა, მაგრამ ქვაბში ორთქლის წნევის შეცვლა არ იწვევს საწვავის მიწოდების შემცირებას ან გაზრდას.

ორმხრივი მიმართულებით მოქმედი რგოლის მაგალითია შეუნტერი ტიპის მუდმივი დენის ძრავა, რომელშიც შემავალი (შესასვლელი) სიდიდეა ღუზის მომჭერებზე მიყენებული ძაბვა, ხოლო გამომავალი (გამოსასვლელი) სიდიდე – ძრავას ბრუნვათა რიცხვი. თუ ძრავას გარეშე ენერგიის ხარჯზე დავაბრუნებთ, მაშინ იგი გენერატორულ რეჟიმში იმუშავებს, ე.ი. მის მომჭერებზე ძაბვა წარმოქმნება. მაშასადამე, მუდმივი დენის ძრავაში სავსებით შესაძლებელია მოქმედების მიმართულების შეცვლა. ორმხრივი მიმართულებით მოქმედ რგოლში გამომავალი სიგნალი გავლენას ახდენს შემავალ სიგნალზე. განხილულ მაგალითში ძრავა ბრუნვის შედეგად წარმოქმნის საწინააღმდეგო ელექტრომამოძრავებელ ძალას, რომელიც ძრავაზე მიყენებული ძაბვის საწინააღმდეგოა.

## §2. აგთომატური რეგულირების რბოლების სტატიკური მახასიათებლები

რეგულირების პროცესი შედგება ორი ნაწილისაგან: გარდამავალი პროცესისა (იხ. §3) და დამყარებული პროცესისაგან.

რგოლის წონასწორობის დამყარებული მდგომარეობა შეიძლება აღწერილი იქნეს განტოლებით

$$x_{\text{გამ}} = f(x_{\text{გეგ}}), \quad (9.1)$$

სადაც

$x_{\text{გეგ}}$  – რგოლის შესასვლელი პარამეტრია;

$x_{\text{გამ}}$  – რგოლის გამოსასვლელი პარამეტრი.

ამ განტოლებას ეწოდება რგოლის სტატიკური მახასიათებელი. სტატიკური მახასიათებელი ჩვეულებრივ, გამოისახება გრაფიკულად.

ავტომატური რეგულირების ყველა რგოლი მათი სტატიკური მახასიათებლების მიხედვით შეიძლება დაიყოს ორ ძირითად ჯგუფად:

1. წრფივი, რომელთა სტატიკური მახასიათებელი გამოიხატება სწორი ხაზით (ნახ.9.7), ხოლო სიდიდეთა შეფარდება გამოსასვლელზე და შესასვლელზე გამოისახება წრფივი ფუნქციით

$$y = a + kx, \quad (9.2)$$

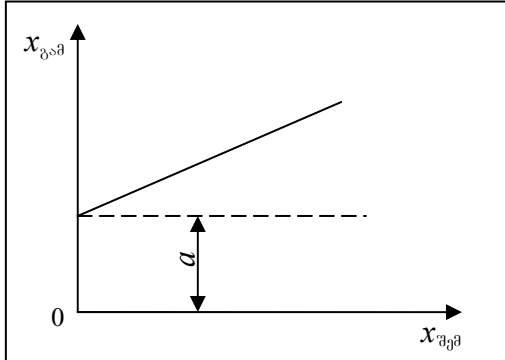
სადაც

$a$  არის მუდმივი სიდიდე, რომლის განზომილებაა  $x_{\text{გამ}}$ ;

$$k^* - \text{მუდმივი განზომილებით } \frac{x_{\text{გამ}}}{x_{\text{გეგ}}}.$$

წრფივი რგოლები, რომელთა სტატიკური მახასიათებელი გამოისახება სწორი ხაზით, იწოდება სტატიკურად.

\* k-ს უწოდებენ გადაცემის ანუ გარდაქმნის კოეფიციენტს. თუ შემავალ და გამომაგალ სიდიდეებს ერთნაირი განზომილებები აქვთ, მაშინ k-ს უწოდებენ გაძლიერების კოეფიციენტს.

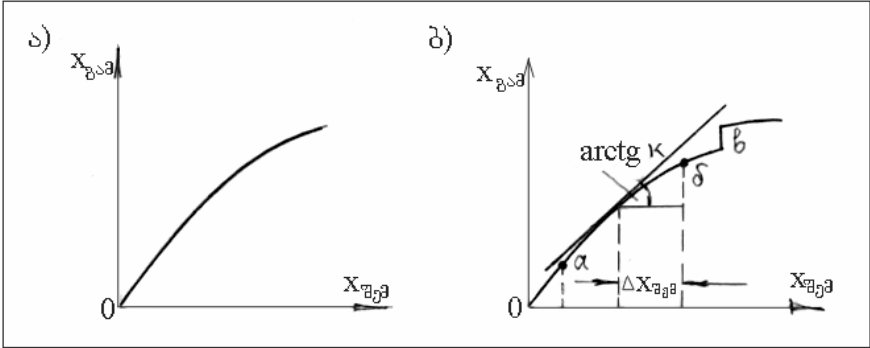


### ნახ.9.7. წრფივი რგოლის სტატიკური მახასიათებელი

2. არაწრფივი, რომელთა სტატიკური მახასიათებელი გამოისახება მრუდით ან ტეხილი ხაზით (ნახ.9.8ა). არაწრფივი დამოკიდებულება გამოისახება ჩვეულებრივ მსოლოდ გრაფიკულად.

სისტემების ანალიზი, რომლებიც შეიცავენ არაწრფივ ელექტროტენს, წარმოადგენს რთულ ამოცანას, ამიტომ მიისწრავვიან არაწრფივი მახასიათებელი შეცვალონ მიახლოებითი ხაზით, გამომდინარე იქიდან, რომ ბევრ შემთხვევაში ელემენტი მუშაობს შესასვლელი სიგნალის მცირე ცვლილებების დროს, მისი საშუალო მნიშვნელობის  $x_{\text{შემ}}$  მიმართ. ამ შემთხვევაში მიახლოებითი წრფივი დამოკიდებულება განისაზღვრება ( $x_{\text{შემ}}$ ) მრუდის მიმართ მნიშვნელით\*, გატარებული  $x_{\text{შემ}}$  წერტილში (ნახ.9.8ბ). არაწრფივი მახასიათებლის შეცვლა წრფივით (ა-ნ უბანზე) იწოდება გაწრფივებად. იგი შესაძლებელია იმ შემთხვევებში, როდესაც არაწრფივ მახასიათებელს არ გააჩნია თავისებურებები (წევეტები, ნახტომები). მაგალითად,  $x_{\text{გამ}}(x_{\text{შემ}})$  მახასიათებლის გაწრფივება ხ წერტილის მიდამოებში არ შეიძლება. გაწრფივების შეცვლომა მით უფრო ნაკლებია, რაც შესასვლელი სიდიდის  $x_{\text{შემ}}$  გადახრა ნაკლებია  $x_{\text{შემ}}\text{-გან}$ , რომლის დროსაც შესრულდა გაწრფივება. შეგნიშვნათ, რომ გაწრფივება შეიძლება განხორციელდეს ანალიზურად ან გრაფიკულად. იგი ერთეული შემთხვევაში ეფექტური მეთოდია მოდელის გამარტივებისა.

\* შეიძლება აგრეთვე გატარებულ იქნას არა მხები, არამედ მკვეთი.



### ნახ.9.8. არაწრფივი რგოლის სტატიკური მახასიათებელი

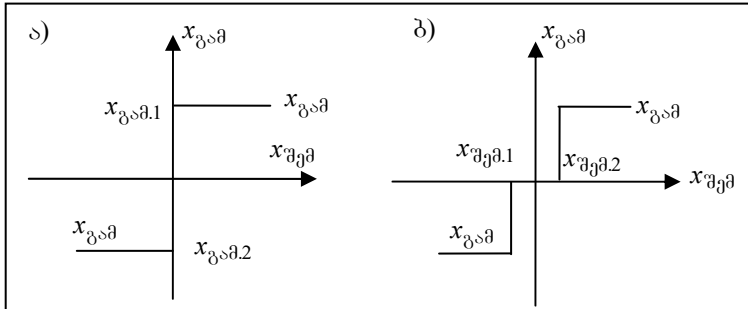
ანალიზურად გაწრფივების მიზნით არაწრფივი დიფერენციალური განტოლება უნდა წარმოვადგინოთ ტეილორის მწკრივის სახით

$$f(x) = f(a) + f'(a) \frac{x-a}{1!} + f''(a) \frac{(x-a)^2}{2!} + \dots$$

და მწკრივის მეორე და უფრო მეტი რიგის წევრები უგულებელვყოთ. მიღებული განტოლება წრფივი იქნება. ასეთი წესით გაწრფივება დასაშვებია ფუნქციის გარკვეულ ზღვრებში, რის დადგენაც შესაძლებელია რუსი მათემატიკოსის ა.პ. ლიაპუნოვის მიერ შემუშავებული დეტულებებით, რომელთა შესახებ აღნიშნულია მეათე თავის მეთერთმეტე პარაგრაფში – ავტომატური რეგულირების წრფივი სისტემების მდგრადობის გამოკვლევა. აქ მხოლოდ შევნიშნავთ, რომ ავტომატური სისტემის განტოლება წრფივია იმ შემთხვევაში, თუ წრფივია მასში შემავალი ტიპობრივი რგოლების სტატიკის განტოლებანი; ამიტომ, სისტემის განტოლების გასაწრფივებლად საჭიროა გავაწრფივოთ თითოეული რგოლის სტატიკის განტოლება.

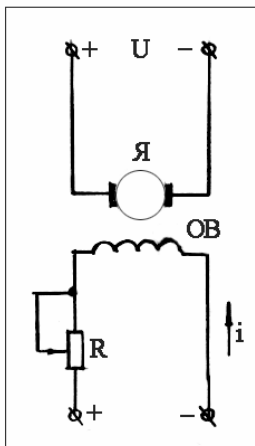
ყველაზე დამახასიათებელ არაწრფივ რგოლებს წარმოადგენენ რელეური რგოლები (ელექტრომაგნიტური რელე), რომელთა გამოსასვლელი სიდიდე იცვლება ნახტომისებურად, შესასვლელი სიდიდის უწყვეტად ცვლილებისას (ნახ.9.9). რელეური რგოლები იყოფიან რგოლებად – არამ-გრძნობიარობის ზონის გარეშე (ორპოზიციური) და არამ-გრძნობიარობის ზონით (სამპოზიციური). რელეური რგოლის

არამგრძნობიარობის ზონის გარეშე გამომავალ სიდიდეს გააჩნია მხოლოდ ორი მნიშვნელობა  $x_{\text{გამ}}^1$  და  $x_{\text{გამ}}^2$ , ხოლო რელეური რგოლის არამგრძნობიარობის ზონით გამომავალ სიდიდეს კი სამი მნიშვნელობა  $x_{\text{გამ}}^1$ ,  $x_{\text{გამ}}^2$  და 0.



ნახ.9.9. რელეური ელემენტების სტატიკური მახასიათებლები:  
ა) არამგრძნობიარობის ზონის გარეშე; ბ) არამგრძნობიარობის ზონით

არაწრფივი რგოლის მაგალითის სახით განვიხილოთ მუდმივი დენის გენერატორის (დამოუკიდებელი აგზებით) სტატისტიკური მახასიათებელი (ნახ.9.10). ამ სქემაში შესავლელ სიდიდეს წარმოადგენს აგზების დენი  $i$ , რომელიც მიედინება OB ელექტრომაგნიტების გრავნილში, ე.ი.  $x_{\text{გამ}}=i$ . გამოსასვლელ სიდიდეს გენერატორში წარმოადგენს დუზის ა მოჭერებზე ძაბვა U, ე.ი.  $x_{\text{გამ}}=U$ .



ნახ.9.10 მუდმივი დენის გენერატორის სქემა დამოუკიდებელი აგზებით

თუ შეცვლით რეოსტატის წონადობას (R) აგზნების გრაგნილის წრედში, შეიცვლება აგზნების დენი (i), რომელიც შექმნის სხვადასხვა მაგნიტურ ნაკადს. ვინაიდან გენერატორის ღუზა ბრუნავს მუდმივი სიჩქარით, მაგნიტური ნაკადის შეცვლა გამოიწვევს ღუზაში ინდუქცირებული ემ.პ-ის შესაბამის შეცვლას და, აგრეთვე, მისი პროპორციული ძაბვის (U) შეცვლას. ამგარად, აგზნების დენის (i) თითოეულ მნიშვნელობას დამყარებულ მდგომარეობაში შეესაბამება გენერატორის მომჭერებზე ძაბვის განსაზღვრული მნიშვნელობა. ადნიშნული მახასიათებელი გრაფიკულად წარმოდგენილია 9.8 ნახაზზე. ასეთი ტიპის სტატიკური მახასიათებელი წარმოადგენს არაწრფივი რგოლის მახასიათებელს.

წრფივი რგოლის მაგალითს წარმოადგენს ზამბარა. როგორც ცნობილია, ძალვების განტოლებას, რომლებიც ვთარდება ზამბარის მიერ არეში, რომლისთვისაც სამართლიანია ჰუკის კანონი, აქვს სახე:

$$f_{\text{ზამ}} = c(y_0 - y), \quad (9.3)$$

სადაც

$f_{\text{ზამ}}$  არის ძალვის სიდიდე;

$y_0$  - ზამბარის სიგრძე დაუძაბავ მდგომარეობაში;

$y$  - დეფორმირებული ზამბარის სიგრძე;

$c$  - მუდმივი სიდიდე.

(9.3) განტოლება შეიძლება წარმოვადგინოთ სხვა სახით:

$$f_{\text{ზამ}} = cy_0 - cy; cy = cy_0 - f_{\text{ზამ}}; y = y_0 - \frac{1}{c}f_{\text{ზამ}}. \quad (9.4)$$

თუ შეგვადარებთ 9.2 და 9.4 ფორმულებს, დავადგენთ, რომ  $y=x_{\text{გა}}$  (გამოსასვლელი სიდიდე);  $f_{\text{ზამ}}=x_{\text{გა}}^k$  (შესასვლელი სიდიდე);  $y_0=a$ ;  $k=-\frac{1}{c}$ . სტატიკური მახასიათებელი წარმოდგენილია 9.7 ნახაზზე.

რეგულირების რთულ ობიექტებში სტატიკური და დინამიკური თვისებების შესწავლა ხდება ექსპერიმენტულად გადაღებული მახასიათებლების მიხედვით.

სტატიკური მახასიათებლების ექსპერიმენტალურად განსაზღვრის დროს რეგულირების გამოსაკვლევი სისტემა განიხილება რიგ დამყარებულ მდგომარეობაში შესასვლელი

სიდიდის სხვადასხვა მნიშვნელობის დროს. გრაფიკზე წერტილების სახით გამოისახება გამოსასვლელი სიდიდის მნიშვნელობები შესასვლელის ფუნქციაში, რომლებიც იზომება ამ რეჟიმებში. ამგვარად, აგებული წერტილების შემაერთებელი ხაზი იქნება სტატიკური მახასიათებელი.

### §3. აგტომატური რეგულირების რბოლების გარდამავალი მახასიათებლები

რგოლის გარდამავალი მახასიათებელი წარმოადგენს მახასიათებელს, რომელიც განისაზღვრება დაუმყარებელ-გარდამავალ რეჟიმში.

გარდამავალი პროცესები შეიძლება წარმოიშვას:

- ავტომატური რეგულირების სისტემის ჩართვის დროს;
- სისტემის კვლავაწყობისას სარეგულირებელი სიდიდის ახალ მნიშვნელობაზე;

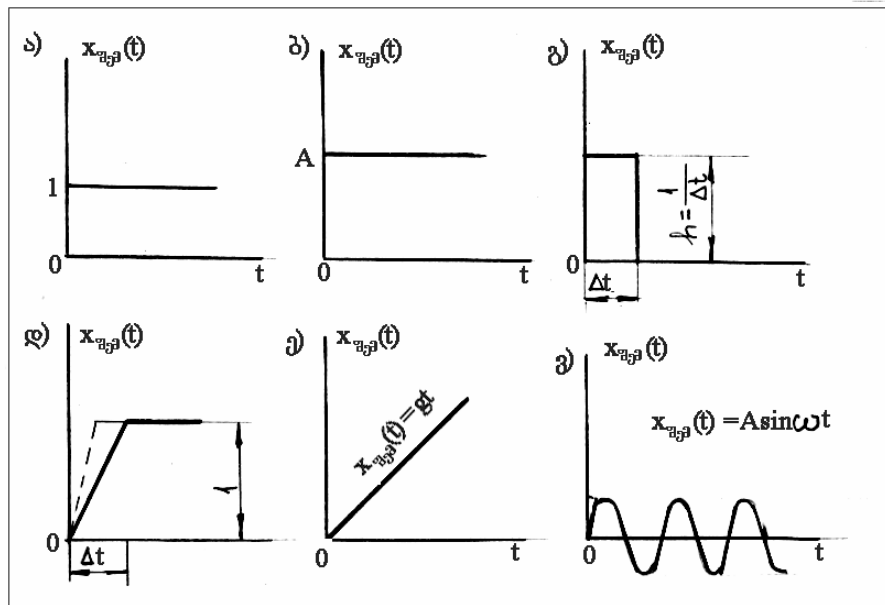
გ) ნახტომის სახის შემაშფოთებელი ზემოქმედებისას (მაგალითად, ობიექტის დატვირთვის ნახტომისებური ცვლილება),

დ) იმპულსის სახის შემაშფოთებელი ზემოქმედებისას (დარტყმითი ბიძგის ტიპის ზემოქმედებისას),

ე) ნებისმიერი სახის შემაშფოთებელი ან ამგზნები ზემოქმედების წარმოქმნისას.

რგოლის გარდამავალი მახასიათებელი ეწოდება რგოლის გამოსასვლელი სიდიდის ცვლილების დამოკიდებულებას დროისაგან დაუმყარებელ რეჟიმში, რომელიც აღიძვრება შესასვლელი სიდიდის მოქმედების შედეგად.

გამოსასვლელი სიდიდის ცვლილება დამოკიდებულია არა მხოლოდ რგოლის თვისებებზე, არამედ შესასვლელი სიდიდის სახესა და ზემოქმედების სიდიდეზე. პრაქტიკაში ხშირად გახვდება შემდგარი სახის ტიპური შესასვლელი ზემოქმედებები: ერთეული ნახტომი (ნახ.9.11ა) და საფეხურისებრივი (ნახ.9.11ბ), (ნახსელები ან დატვირთვის მოდება, ძაბვის ჩართვა ან მოხსნა და სხვ.), ერთეული იმპულსი (ნახ.9.11გ), დამხმარე ფუნქცია (ნახ.9.11დ), ხაზოვანი ზემოქმედება (ნახ.9.11ე), სინუსოიდის ტიპის პერიოდული ზემოქმედება (ნახ.9.11ვ).



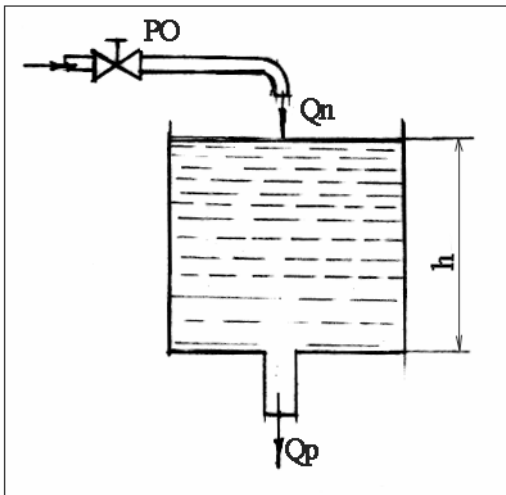
ნახ.9.11. ტიპური ზემოქმედებები: а) ერთეული ნახტომი; б) საფეხურისებრი ნახტომი; გ) ერთეული იმპულსი; დ) დამხმარე ფუნქცია; ე) ხაზოვანი ზემოქმედება; ფ) სინუსოიდალური ზემოქმედება.

h - ერთეული იმპულსის ამპლიტუდა;  $H = \frac{A}{\Delta t}$  - იმპულსური ზემოქმედების უსასრულოდ დიდი ამპლიტუდა;  $\Delta t$  - უსასრულოდ მცირე ხანგრძლივობა; A - ამპლიტუდა; ω - წრიული სიხშირე

რგოლის დინამიკური თვისებების გამოსავლენად არ არის აუცილებელი მისი რეაქციის სახის განსაზღვრა შესაძლო შესასვლელი ზემოქმედებების მთელს ერთობლიობაზე. რგოლის ფიზიკური თვისებურებები, რომლებიც განსაზღვრავენ მისი დინამიკური პროცესების ხასიათს, რჩება უცვლელი და არის დამოკიდებული ზემოქმედების ტიპზე, თუმცა ისინი სხვადასხვაგვარად აისახება რეაქციის ხასიათში. ამიტომ, რგოლის თვისებების განსასაზღვრავად მისი გამოსასვლელი სიდიდის ცვლილება განიხილება შესასვლელი სიდიდის სრულიად განსაზღვრული ცვლილების დროს. ასეთ შესასვლელ სიდიდედ ხშირად გამოიყენება ერთჯერადი საფეხურისებრი ზემოქმედება.

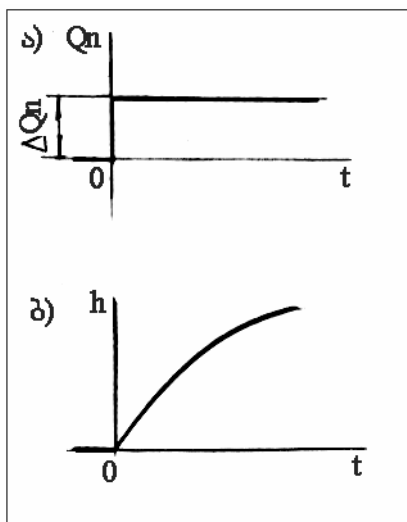
საფეხურისებრი ზემოქმედების დროს შესასვლელი სიდიდე ნახტომისებურად, მყისიერად იცვლის თავის მნიშვნელობას და შემდგომში მას ინარჩუნებს მუდმივად. გამოსასვლელის სიდიდის შეცვლას დროში გამოწვეულს შესასვლელი სიდიდის საფეხურისებრი ცვლილებით (დაუმუარებელი რეკიმის დროს), ეწოდება გაქანების მრუდი ან დროითი მახასიათებელი. ზოგჯერ მას ობიექტის დინამიკურ მახასიათებელსაც უწოდებენ. გაქანების მრუდი იძლევა ნათელ წარმოდგენას ობიექტში გარდამავალი პროცესების მიმდინარეობის ხასიათის შესახებ.

მაგალითის სახით განვიხილოთ გაქანების მრუდის წარმოქმნა მარტივ სარეგულირებელ ობიექტში – ჭურჭელში, რომელშიც მიღსადენით მიეწოდება წყალი (ნახ.9.12). მეორე მილით წყალი გამოედინება ჭურჭლიდან. ვივარაუდოთ, რომ მოცემული მოდინებისა ( $Q_n$ ) და ხარჯის ( $Q_p$ ) მნიშვნელობის დროს წყლის დონე (h) რჩება უცვლელი. ობიექტის მდგომარეობა წარმოადგენს დამყარებულს. შევქმნათ შესასვლელი სიდიდის ( $Q_n$ ) საფეხურისებრი ცვლილება. ამისათვის მარეგულებელი ორგანო (PO) მოვატრიალოთ და გავზარდოთ ნაკადი  $Q_n$ ; წონასწორობა მოდინებასა და ხარჯს შორის დაირღვევა და დამყარდება დაუმყარებელი პროცესი, რომელიც წარიმართება შემდეგნაირად. მოდინების გაზრდა გამოიწვევს წყლის დონის მატებას, რაც თავის მხრივ გაზრდის წყლის სვეტის წნევას. ეს უკანასკნელი გამოიწვევს ჭურჭლიდან მისი ხარჯის გაზრდას. ამასთან დაკავშირებით შეუსაბამობა მოდინებასა და ხარჯს შორის დაიწევს შემცირებას და წყლის დონის მატების სიჩქარე შემცირებას. როდესაც წყლის ხარჯი  $Q_p$  გაუტოლდება მის მოდინებას  $Q_n$ , დონის მატების ზრდა შეწყდება. გარდამავალი პროცესი დამთავრდება და აღსდგება დამყარებული მდგომარეობა, ე.ი. ახალი წონასწორობის მდგომარეობა. თუ შევადარებოთ ერთმანეთს წონასწორობის მდგომარეობას შეშფოთებამდე და გარდამავალი პროცესის შემდეგ, დავინახავთ, რომ ახალი წონასწორობა დამყარდა მოდინებისა და ხარჯის გაზრდილი მნიშვნელობების დროს და სარეგულირებელი h სიდიდის გაზრდილი მნიშვნელობისას. როგორც ადრე იყო აღნიშნული, რეგულირების ამ პროცესს ეწოდება თვითგათანაბრება (იხ. თავი 8).



ნახ.9.12. ობიექტი  
რეგულირებადი  
დონით

ნახაზზე 9.13ა ნაჩვენებია შემაშფოთებელი შესასვლელი ზემოქმედება – მოდინების გაზრდა  $\Delta Q_n$ , ეს არის საფეხურისებრი ზემოქმედება. სისტემის გამოსასვლელს წარმოადგენს სარეგულირებელი სიდიდე – წყლის დონე  $h$ ; ნახაზზე 9.13ბ წარმოდგენილია ობიექტის გაქანების მახასიათებელი თვითგათანაბრებით.



ნახ.9.13. ობიექტში  
დაუმყარებელი  
პროცესის  
გრაფიკული

## §4. ავტომატური რეგულირების რგოლების ტიპები და მათი მახასიათებლები

ავტომატური რეგულირების სისტემებს გააჩნიათ სხვადასხვა ფიზიკური ბუნება, სირთულე, მოწყობილობა და შედგებიან ერთმანეთთან ურთიერთდაკავშირებული რგოლების სიმრავლისაგან. ეს რგოლები შეიძლება კლასიფიცირებული იქნან მათ მიერ შესასრულებელი ფუნქციების ნიშის (მაგალითად, სარეგულირებელი ობიექტი, მმართველი ელემენტი, შემსრულებელი ელემენტი და ა.შ.), კონსტრუქციული გაფორმების (მაგალითად, გენერატორი, ელექტრომანქანური გამაძლიერებელი, პოტენციომეტრი) და ა.შ. მიხედვით. მაგრამ ასეთი კლასიფიკაცია არარაციონალურია ავტომატური რეგულირების სისტემის დინამიკის შესასწავლად. ყველაზე მიზანშეწონილია რგოლების კლასიფიკაცია მათი დინამიკური თვისებების მიხედვით, ე.ი. გარდამავალი პროცესის სახის მიხედვით, რომოელიც აღიძვრება რგოლში მისი შესასვლელი სიდიდის შეცვლისას.

ფიზიკური ბუნებისა და მოწყობილობისაგან დამოუკიდებლად ასეთი რგოლების დინამიკური თვისებები აღიწერება განტოლებების შეზღუდული რიცხვით. ამიტომ, მათ მიღეს ტიპური დინამიკური რგოლების სახელწოდება. უმეტეს შემთხვევებში ავტომატური რეგულირების სისტემები შეიძლება წარმოდგენილი იქნეს ტიპური დინამიკური რგოლებით, რომლებშიც გარდამავალი პროცესები აღიწერება ალგებრული ან დიფერენციალური განტოლებებით არა უმეტეს მეორე რიგისა.

განვიხილოთ ძირითადი ტიპური რგოლები, რომელთაც ფართო გავრცელება აქვს ტექნოლოგიური პროცესების ავტომატური რეგულირების სისტემებში სამშენებლო ინდუსტრიის საწარმოებში. ამ რგოლების სახელწოდებებია: უინერციო (პროპორციული), აპერიოდული, რხევითი, მადიფერენცირებელი, მაინტენირებელი და დაგვიანებით მოქმედი რგოლი.

თეორიულად რგოლების რაოდენობა შეიძლება წარმოვიდგინოთ გაცილებით მეტი, მაგრამ ისინი შეიძლება ან ვერ იქნან ფიზიკურად რეალიზებული, ან პრაქტიკულად

არ გამოიყენება აშკარად არადამაკმაყოფილებელი დინამიკური თვისებების შედეგად.

**1. პროპორციული რგოლი.** პროპორციულად (მაძლიერებლად, იდეალურად, უინერციოდ, ხისტი კავშირით) იწოდება რგოლი, რომელშიც სიდიდე გამოსასვლელზე პროპორციულია სიდიდისა შესასვლელზე. პრაქტიკულად მასში გარდამავალი პროცესი არ არსებობს – შემავალ სიგნალს მყისიერად მოჰყება გამომავალი სიგნალის საბოლოო მნიშვნელობა; მას ინერციულობა არ გააჩნია. გამომავალი სიდიდე დამახინჯებისა და დაგვიანების გარეშე აღწარმოებს შემავალ სიდიდეს.

პროპორციული რგოლის დინამიკის განტოლებას აქვს სახე:

$$x_{\text{გამ}} = kx_{\text{შემ}}. \quad (9.5)$$

სადაც

$x_{\text{გამ}}$  არის გამოსასვლელი სიდიდე;

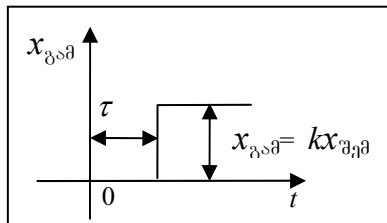
$x_{\text{შემ}}$  შესასვლელი სიდიდე;

$k$  – გაძლიერების კოეფიციენტი, მუდმივი სიდიდე.

ამრიგად, პროპორციული რგოლის დინამიკის განტოლება არ არის დიფერენციალური განტოლება, იგი უმარტივესი ალგებრული დამოკიდებულებაა, რომელიც ემთხვევა სტატიკურ მახასიათებელს.

როდესაც გამოსასვლელი სიდიდე იდეალურად იმეორებს შესასვლელს, მაგრამ დროის მუდმივი მონაკვეთის  $\tau$  ტოლი ჩამორჩენით (ნახ.9.14), მაშინ დინამიკის განტოლებას აქვს სახე

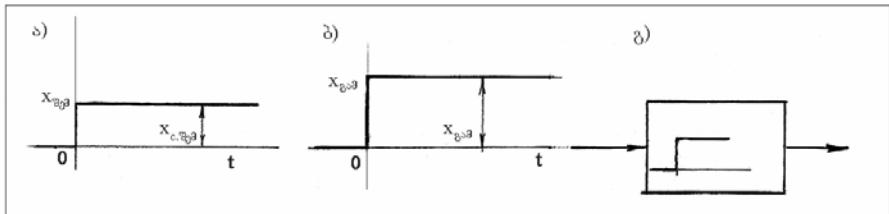
$$x_{\text{გამ}}(t) = kx_{\text{შემ}}(t - \tau). \quad (9.6)$$



ნახ.9.14. გარდამაბალი მახასიათებელი დროში დაგვიანებით

პროპორციული რგოლის გარდამავალი მახასიათებელი და მისი პირობითი გამოსახება მოცემულია 9.15 ნახაზზე. 9.15ა ნახაზზე ნაჩვენებია შესასვლელი საფეხურისებრი ზემოქმედება; 9.15ბ მოყვანილია გარდამავალი მახასიათებელი დაგვიანებით; 9.15გ მოყვანილია გარდამავალი მახასიათებელი დაგვიანებით.

ბელი, ხოლო ნახაზზე 9.15გ – პროპორციული რგოლის პორობითი გამოსახვა.



ნახ.9.15. პროპორციული რგოლის გარდამავალი მახასიათებელი და მისი პირობითი გამოსახვა

პროპორციული რგოლის მაგალითებია: ელექტრონული გამაძლიერებელი, მოთავსებული რეგულირების ელექტრომექანიკურ სისტემაში; მექანიკური გადაადგილების გარდაქმნა ელექტრულ ძაბვად პოტენციომეტრის ან რეოსტატის დახმარებით; ბერკეტი; კბილანა გადაცემა; რედუქტორი, ტრანსფორმატორი და სხვ.

**2. აპერიოდული რგოლი.** აპერიოდულ რგოლს რამდენიმე დასახელება აქვს: ინერციული, ერთტევადობიანი, სტატიკური ან კიდევ რელაქსაციური (რელაქსაცია ნიშნავს პროცესის გამომწვევი პარამეტრის თვითშემცირებას, რომელსაც პროცესის მიმდინარეობა იწვევს\*).

აპერიოდული ეწოდება რგოლს, რომელშიც შესასვლელში სიდიდის ნახტომისებურად შეცვლისას, სიდიდე გამოსასვლელში აპერიოდულად (ექსპონენტის\*\* კანონით) მიისწრაფვის ახალი დამყარებული მნიშვნელობისაგრძენს.

პერიოდული პირველი რიგის რგოლის თვისებები აიწერება პირველი რიგის დიფერენციალური განტოლებით

$$T \frac{dx_{\text{вых}}}{dt} + x_{\text{вых}} = kx_{\text{вх}}, \quad (9.7)$$

სადაც

\* მაგალითად, ძრავას აჩქარებას იწვევს ძრავას მიერ განვითარებული მომენტი, მაგრამ ძრავას სიჩქარის გაზრდა ამ მომენტის შემცირებას მოახავებს.

\*\* ექსპონენტი ეწოდება მაჩვენებლიან ფუნქციას.

$$k \text{ არის გაძლიერების კოეფიციენტი } (k = \frac{x_{\text{გამოდ}}}{x_{\text{დან}}});$$

$dt$  – დროის დიფერენციალი;

T - პერიოდული რგოლის დროის მუდმივა, წ. გამოსახავს რგოლის ინერციულ თვისებებს.

9.7 განტოლების ამოხსნა იძლევა გარდამავალი პროცესის მათემატიკურ აღწერას:

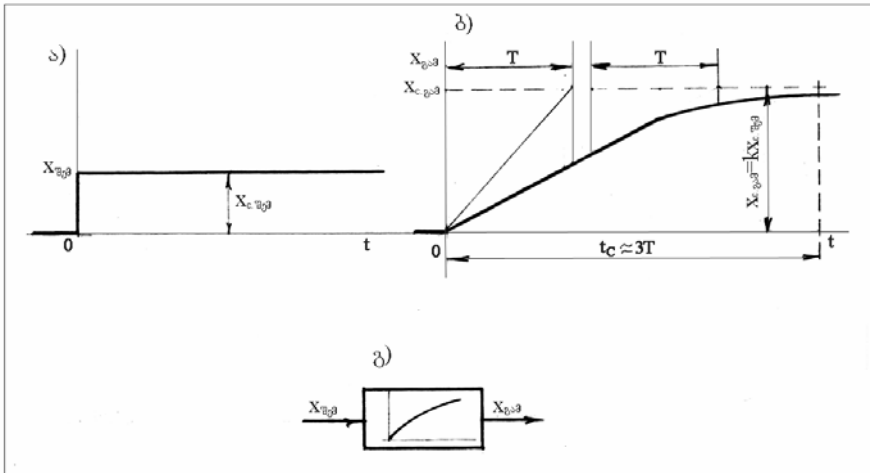
$$x_{\text{გამ}} = kx_{\text{დან}}(1 - e^{-\frac{t}{T}}). \quad (9.8)$$

Т განისაზღვრება გარდამავალი მახასიათებლის გრაფიკზე, როგორც მხების პროექციის სიდიდე დამყარებული მნიშვნელობის საზე  $x_{\text{გამ}} = x_{\text{გამ}}c$  (ნახ.9.16ბ). ამასთან, მრუდის უველა წერტილში იგი ერთნაირია. ვინაიდან მხებების ზუსტად გატარება ექსპერიმენტულად მიღებული  $x_{\text{გამ}}(t)$  მრუდისადმი მნელია, ამიტომ, შეიძლება ავიღოთ მრუდის ორი-სამი წერტილი (ისე, როგორც ნახ.9.16ბ-ზე), ვიპოვოთ თითოეული მათგანისათვის T სიდიდე და შევარჩიოთ მისი რაღაც საშუალო მნიშვნელობა. ამას გარდა, ამ მნიშვნელობის დასაზუსტებლად უნდა გამოვიყენოთ (9.8) მრუდის შემდეგი თვისება:  $t=T$  წერტილში ცვლად  $x_{\text{გამ}}-ს$  უნდა ჰქონდეს მნიშვნელობა  $x_{\text{გამ}}=0.63 kx_{\text{დან}}$ .

ამრიგად, გვაქვს რა ცდის მეშვეობით დადგენილი რგოლის გარდამავალი მახასიათებელი, ჩვენ შეგვიძლია განვსაზღვროთ მისი დროის მუდმივა T და პირქით, თუ ჩვენთვის ცნობილია რგოლის დროის მუდმივა T, 9.8 ფორმულით შეგვიძლია ავაგოთ მისი გარდამავალი მახასიათებელი. ნახ.9.16ბ-დან ჩანს, რომ რაც უფრო დიდია დროის T მუდმივა, მით უფრო დამრეცი იქნება მრუდი  $x_{\text{გამ}}(t)$ , ე.ო. მით უფრო ხანგრძლივი იქნება გამომავალი  $x_{\text{გამ}}c$ -ს დადგენის გარდამავალი პროცესი. ამიტომ ამბობენ, რომ აპერიოდული რგოლის დროის T მუდმივა ახასიათებს მის ინერციულობას. გარდამავალი პროცესის ხანგრძლივობა იქნება  $t_c \approx 3T$  (წ).

(9.8) ფორმულის თანახმად ჩვენი მრუდი  $x_{\text{გამ}}-ს$  ასიმპტოტურად უახლოვდება, ე.ო.  $x_{\text{გამ}} = x_{\text{გამ}}c$  მხოლოდ როცა  $t=\infty$ , მაგრამ პრაქტიკულად უკვე  $t=3T$  დროში მრუდი თითქმის ერ-

წევმის  $x_{\text{გამ}} = x_{\text{გამ}} \cdot c$  მრუდს). რგოლის პირობითი გამოსახულება ნაჩვენებია ნახ.9.16გ.



ნახ.9.16. აპერიოდული რგოლის გარდამავალი მახასიათებელი და მისი პირობითი გამოსახვა

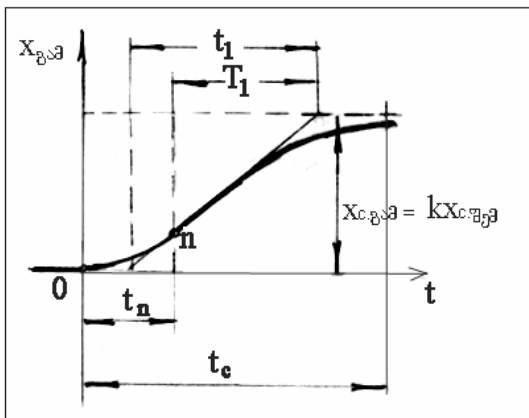
ამრიგად, აპერიოდული რგოლი ხასიათდება ორი რიცხვითი მონაცემით: 1) გაძლიერების  $k$  კოეფიციენტით, რომელიც განსაზღვრავს რგოლის სტატიკურ თვისებებს და 2) დროის მუდმივათი  $T$ , რომელიც განსაზღვრავს რგოლის დინამიკურ თვისებებს.

დამყარებული მნიშვნელობის  $t = \infty$  დროს 9.8 ფორმულიდან ვდებულობთ  $x_{\text{გამ}} = kx_{\text{უმ}}$ , ე.ი. განტოლება არაფრით არ განსხვავდება შესაბამისი მნიშვნელობიდან პროპორციული რგოლისათვის და, მაშასადამე, გარდამავალი პროცესის დამთავრების შემდეგ აპერიოდული რგოლი არ განსხვავდება პროპორციული რგოლისაგან.

აპერიოდული მეორე რიგის რგოლის გარდამავალი მახასიათებელი ნაჩვენებია ნახ.9.17-ზე. გაგატაროთ მხები მოცემული მრუდისადმი გადადუნვის  $\Pi$  წერტილში და აღვნიშნოთ დროის სამი მონაკვეთი  $t_n$ ,  $t_1$ ,  $T_1$ . აპერიოდული მეორე რგოლის დინამიკა აიწერება მეორე რიგის დიფერენციალური განტოლებით

$$T_2^2 \frac{d^2 x_{\delta\vartheta}}{dt^2} + T_1 \frac{dx_{\delta\vartheta}}{dt} + x_{\delta\vartheta} = kx_{\delta\vartheta} \quad (T_1 \geq 2T_2), \quad (9.9)$$

ამასთან  $T_1$  იღება უშუალოდ  $x_{\delta\vartheta}(t)$  გარდამავალი მახასიათებლის გრაფიკიდან (ნახ.9.17), ხოლო სიდიდე  $T_2^2$  განისაზღვრება სპეციალური გრაფიკით  $t_1$  და  $T_1$ -გან დამოკიდებულებით. როგორც ვხედავთ, მეორე რიგის აპერიოდული რგოლის დინამიკა განისაზღვრება დროის ორი მუდმივათი  $T_1$  და  $T_2$  (წმ.), ამასთან  $T_1 \geq 2T_2$ .



ნახ.9.17. მეორე რიგის აპერიოდული რგოლის გარდამავალი მახასიათებელი

აპერიოდულ რგოლებს შეიძლება მივაკუთვნოთ მაგნიტური გამაძლიერებელი, თბერი ობიექტების უმეტესობა, თერმოწყვილები და წინაღობის თერმომეტრები, დამოუკიდებელაგზნებიანი მუდმივი დენის გენერატორი, ელექტრულ წრედში მიმდევრობით ჩართული აქტიური წინაღობა და კონდენსატორი C ტევადობით, ფაზურროტორიანი ასინქრონული ძრავა, ცივი წყლის ავზში ჩაგდებული რაიმე მასალის გაცხელებული ნაჭრის გაცივების პროცესი, მექანიკური მოწყობილობები, რომელთაც გააჩნიათ მასა და ხახუნის ძალები (უზამბაროდ) ან ზამბარა და ხახუნის ძალები (უმასოდ) და სხვ.

**3. რხევითი რგოლი.** რხევითი რგოლი ეწოდება რგოლს, რომელშიც სიდიდის ნახტომისებურად ცვლილებისას შესა-

სვლელში, სიდიდე გამოსასვლელში მიისწრაფვის ახალი დამყარებული მნიშვნელობისაგენ, ასრულებს რა მის მიმართ მიღევად რხევებს.

ამ რგოლის თვისებები აიწერება მეორე რიგის დიფერ-ენციალური განტოლებით

$$T_2^2 \frac{d^2 x_{\dot{\theta} \dot{\theta}}}{dt^2} + T_1 \frac{dx_{\dot{\theta} \dot{\theta}}}{dt} + x_{\dot{\theta} \dot{\theta}} = kx_{\ddot{\theta} \ddot{\theta}} \quad T_1 < 2T_2. \quad (9.10)$$

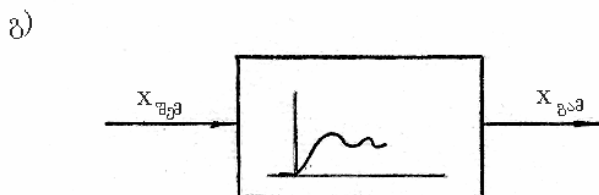
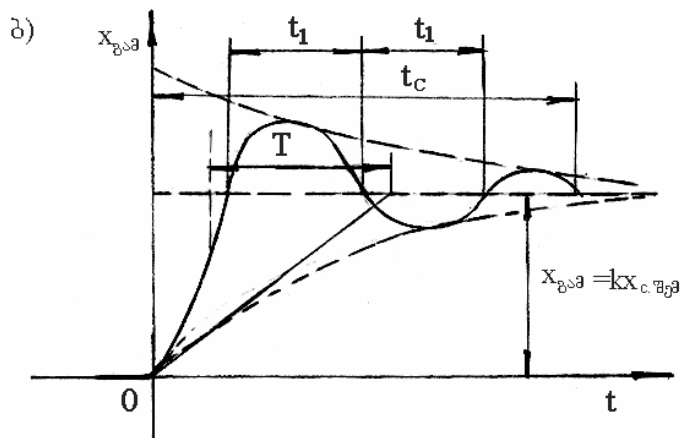
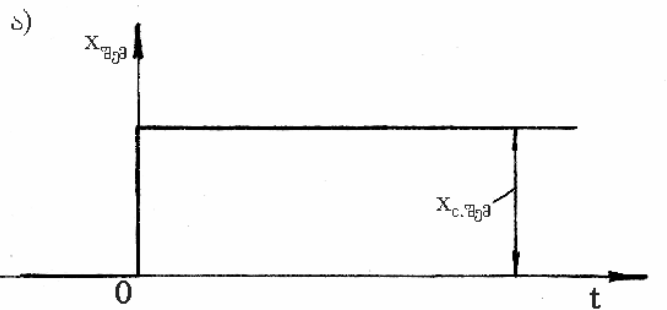
განტოლება იმავე სახისაა, რაც განტოლება 9.9, მხო-ლოდ იმ განსხვავებით, რომ აქ დროის  $T_1$  და  $T_2$  მუდმივებს შორის თანაფარდობა სხვაგვარია, კერძოდ:  $T_1 < 2T_2$ .  $T_1$  მუდ-მივა ახასიათებს რგოლის საკუთარი რხევების დემატირებას, ხოლო  $T_2$  მუდმივა მათ გაქანებას. დემატირების არარსებო-ბისას ( $T_1=0$ ) რხევითი რგოლის დიფერენციალური გან-ტოლება (9.10) დეტულობს სახეს

$$T_2^2 \frac{d^2 x_{\dot{\theta} \dot{\theta}}}{dt^2} + x_{\dot{\theta} \dot{\theta}} = kx_{\ddot{\theta} \ddot{\theta}}$$

და გარდამავალი მახასიათებელი გამოისახება არამიღევადი რხევის სახით მუდმივი ამპლიტუდით, რომლებიც მიღევადი რხევებისაგან განსხვავებით იწოდებიან პერიოდულ რხევებად.

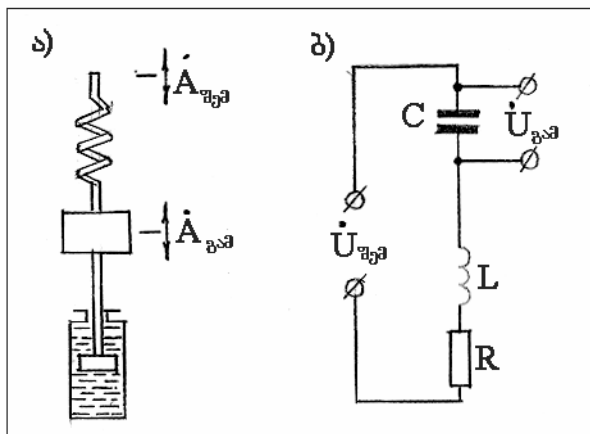
რხევების ამპლიტუდა მიიღევა ექსპონენტის მიხედვით (იხ. წყვეტილი მრუდები ნახ.9.18ბ). გარდამავალი მახასია-თებლის გრაფიკიდან  $x_{\dot{\theta} \dot{\theta}}(t)$  ჩვენ შეგვიძლია განვსაზღვროთ ამ ექსპონენტის დროის  $T$  მუდმივა (ეს შეიძლება შეს-რულდეს ზედა და ქვედა ექსპონენტების ორი-სამი წერტილის მიხედვით), გარდა ამისა, ვზომავთ იმავე გრაფიკზე რხევის ნახევარპერიოდს  $t_1$ . ამ ორი სიდიდის შეფარდების  $T/t_1$  მიხედ-ვით სპეციალური გრაფიკის საფუძველზე ვპოულობთ  $T_1$  სიდიდეს, რაც იძლევა რხევითი რგოლის დიფერენციალური განტოლების 9.10-ის სახით ჩაწერის შესაძლებლობას.

რხევითი რგოლის გარდამავალი მახასიათებელი და პო-რბითი გამოსახვა მოყვანილია 9.18 ნახაზზე.



- ნახ.9.18. რჩევითი რგოლის გარდამავალი მახასიათებელი:
- შემავალი ზემოქმედება;
  - გარდამავალი მახასიათებელი;
  - რგოლის პირობითი გამოსახვა

რხევით რგოლებს მიეკუთვნება მოწყობილობები, რომელიც გარდამავალი რეჟიმები მიმდინარეობენ ენერგიების გაცვლა-გამოცვლით ორ ენერგეტიკულ ტევადობას შორის. მაგალითად, ელექტრული წრედი, რომელიც შეიცავს ინდუქციურობას (L), ტევადობას (C) და ატიურ წინაღობას (R), როდესაც ასეთ რგოლში შემავალი სიდიდე წრედის ბოლოებზე მიყენებული ძაბვაა, ხოლო გამომავალი სიდიდე – ძაბვა კონდენსატორის (C) მომქერებზე (ნახ.9.19ბ); მექანიკური მოწყობილობა, რომელსაც გააჩნია მასა, ზამბარა და სახუნის ძალები (ნახ.9.19ა); დამოუკიდებელი აგზნების მუდმივი დენის ელექტრული ძრავა, რომელსაც შესწევს დუზაში კინეტიკური ენერგიის და მაგნიტურ წრედში ელექტრომაგნიტური ენერგიის დაგროვების უნარი, რომლისთვისაც  $U=x_{\dot{\varphi}}\dot{\varphi}$  არის დუზაშე მიყენებული მუდმივი სიდიდის ძაბვა, ხოლო  $\omega = x_{\ddot{\varphi}}\ddot{\varphi}$  – ძრავას კუთხეური სიჩქარე (დუზის ბრუნვის სიჩქარე); ტივტივა დიფერენციალური მანომეტრი; ზიარჭურჭელი და სხვ.



ნახ.9.19. რხევითი რგოლები: ა) მექანიკური; ბ) ელექტრული

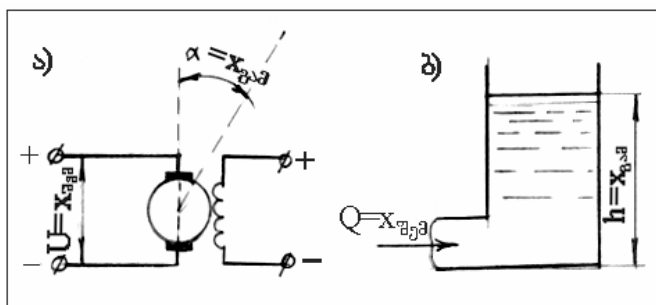
$$\dot{A}_{\dot{\varphi}\dot{\varphi}} = A_{\ddot{\varphi}\ddot{\varphi}} \cdot e^{j\omega t} - \text{შემავალი რხევა}; \dot{A}_{\ddot{\varphi}\ddot{\varphi}} = A_{\dot{\varphi}\dot{\varphi}} \cdot e^{j(\omega t + \varphi)} -$$

გამომავალი რხევა;  $A_{\dot{\varphi}\dot{\varphi}}$  - შემავალი რხევის ამპლიტუდა;  $A_{\ddot{\varphi}\ddot{\varphi}}$  - გამომავალი რხევის ამპლიტუდა;  $\omega$  - რხევის კუთხეური სიხშირე;  $\varphi$  - ფაზური ძერა გამომავალ და შემავალ რხევებს შორის;  $j = \sqrt{-1}$  - წარმოსახვითი ერთეული

**4. მაინტეგრებელი რგოლი.** მაინტეგრებელ რგოლს, აგრეთვე, უწოდებენ ასტატიკურს ან კიდევ – ნეიტრალურს. მაინტეგრებელი ეწოდება ისეთ რგოლს, რომლის გამომავალი სიდიდე შემავალის ინტეგრალია ან რომელშიც გამოსახულებული სიდიდის ცვლილების სიჩქარე პროპორციულია სიდიდისა შესასვლელზე.

ანსხვავებენ იდეალურ და რეალურ მაინტეგრებელ რგოლებს. იდეალური მაინტეგრებელი რგოლის მაგალითია დამოუკიდებელი აგზების მუდმივი დენის ძრავა, თუ შესასვლელ სიდიდედ ჩავთვლით დუზის ძაბვას  $U_s$ , ხოლო გამოსახულებულ სიდიდეთ – დუზის მობრუნების კუთხეს,  $\alpha$  იმ პირობით, რომ დროის ელექტრომაქანიკური და ელექტრომაგნიტური მუდმივები შედარებით მცირეა და შეიძლება მათი უგულებელყოფა (ნახ.9.20ა).

მეორე მაგალითია რეზერვუარი, რომელშიც მიეწოდება სითხე, თუ შესასვლელ სიდიდედ ჩავთვლით სითხის ნაკადს ( $Q$ ), ხოლო გამოსახულებულ სიდიდედ – სითხის დონეს ( $h$ ) რეზერვუარში იმ პირობით, რომ სითხის სიჩქარე მკვებავ მიღებადენში მყისიერად აღწევს დამყარებულ მნიშვნელობას (ნახ.9.20ბ).



ნახ.9.20. მაინტეგრებელი რგოლების მაგალითები

ძალიან ხშირად, პრაქტიკული ანგარიშებისათვის საკმარისი სიზუსტით, შეიძლება რეალური მაინტეგრებელი რგოლების ნაცვლად გამოყენებული იქნას იდეალური.

რეალური მაინტეგრებელი რგოლის მაგალითად შეიძლება განხილული იქნას დამოუკიდებელი აგზების მუდმივი დენის ძრავა დიდი მქნევარა მომენტით ლილგზე, რომლის გავლენის უგულებელყოფა დაუშვებელია. რაც შეეხბა დუზის წრედის ინდუქციურობას, შეიძლება უგულებელყოფილი იქნეს.

იდეალური მაინტეგრებელი რგოლის თვისებები აიწერება განტოლებით

$$\frac{dx_{\text{გამ}}}{dt} = kx_{\text{გამ}} \quad (9.11)$$

და

$$x_{\text{გამ}} = k \int_0^t x_{\text{გამ}}(t) dt. \quad (9.12)$$

როგორც ზემოთ იყო აღნიშნული, იდეალური მაინტეგრებელი რგოლის მაგალითია მუდმივი დენის ძრავა. ძრავას ბრუნვის სიჩქარე შეიძლება განისაზღვროს გამოსახულებიდან

$$n = k \cdot U_A, \quad (9.13)$$

სადაც  $k$  არის გადამცემი კოეფიციენტი.

$$\text{ჩაგსვათ } n = \frac{d\alpha}{dt} \quad (9.13) \text{ გამოსახულებაში, მივიღებთ}$$

$$\frac{d\alpha}{dt} = k \cdot U_A, \quad (9.14)$$

სადაც  $\alpha$  არის ძრავას ლილვის მობრუნების კუთხი. გავაინტეგრალოთ ეს გამოსახულება

$$\alpha = k \int_0^t U_A dt. \quad (9.15)$$

$$\text{შევცვალოთ } U_A = x_{\text{გამ}} \text{ და } \alpha = x_{\text{გამ}} \text{ (ე.ი. } d\alpha = dx_{\text{გამ}} \text{)} \quad (9.14)$$

და (9.15) გამოსახულებებში, მივიღებთ, რომ

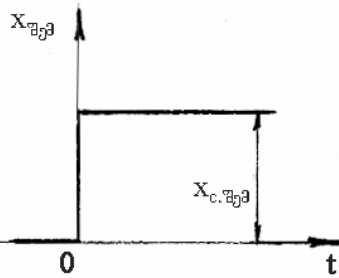
$$\frac{dx_{\text{გამ}}}{dt} = kx_{\text{გამ}} \text{ და } x_{\text{გამ}} = k \int_0^t x_{\text{გამ}}(t) dt.$$

მაშასადამე, ასეთი რგოლი მაინტეგრებელია.

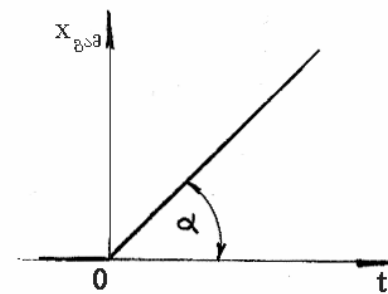
იდეალური მაინტეგრებელი რგოლის გარდამავალი მახასიათებელი 9.12-ის თანახმად იქნება დახრილი სწორი  $x_{\text{გამ}}(t)$  (ნახ. 9.21ბ). ვინაიდან ინტეგრალი გეომეტრიულად წარმოადგენს ფართობს  $x_{\text{გამ}}(t)$  მრუდის ქვეშ, ხოლო მოცემულ შემთხვევაში ( $x_{\text{გამ}} = \text{const} = x_c$ ), ეს ფართობი გაიზრდება  $t$  აფესიის პროპორციულად:

$$x_{\text{გამ}} = kx_{c\text{გამ}} \cdot t. \quad (9.16)$$

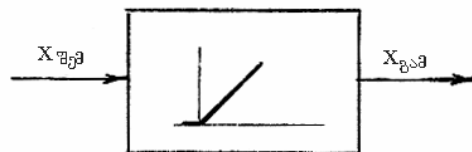
ა)



ბ)



გ)



ნახ.9.21. იდეალური მაინტეგრებელი რგოლის გარდამავალი მახასიათებელი: ა) შემავალი ზემოქმედება; ბ) გარდამავალი მახასიათებელი; გ) რგოლის პირობითი გამოსახვა

რეალური (ინერციული) მაინტეგრებელი რგოლის თვისე-ბები აიწერება მეორე რიგის დიფერენციალური განტოლებით (დინამიკის განტოლება)

$$T \frac{d^2x_{\dot{\alpha}\beta}}{dt^2} + \frac{dx_{\dot{\alpha}\beta}}{dt} = kx_{\ddot{\alpha}\beta}. \quad (9.17)$$

ასეთი რგოლის მაგალითია დამოუკიდებელი აგზნების მუდმივი დენის ძრავა ლილვზე დიდი მქნევარა მომენტით, რომლის განტოლებას ჩვეულებრივ აქვს სახე

$$T \frac{d^2\alpha}{dt^2} + \frac{d\alpha}{dt} = kU_\alpha. \quad (9.18)$$

რეალური მაინტეგრებელი რგოლის გარდამავალი მახასიათებლის განტოლება მიიღება (9.17) განტოლების გადაწყვეტილით ( $x_{\dot{\alpha}\beta} = \text{const}$  და ნულოვანი საწყისი პირობების დროს) და აქვს სახე

$$x_{\dot{\alpha}\beta} = x_{c\dot{\alpha}\beta} [kt - kT(1 - e^{-\frac{t}{T}})]. \quad (9.19)$$

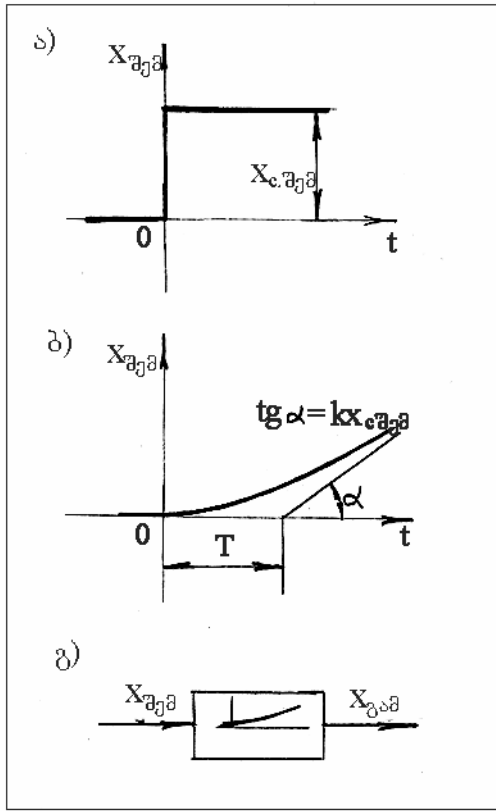
გრაფიკულად წარმოდგენილია 9.22 ნახატზე.

მაინტეგრებელი რგოლის გარდამავალი მახასიათებლები და პირობითი გამოსახულებები ნაჩვენებია 9.21 და 9.22 ნახაზებზე.

მაინტეგრებელი რგოლის მაგალითებია: მცირე სიმძლავრის ელექტროძრავა, რეზერვუარი, რომელშიც მიეწოდება სითხე, ელექტრომრიცხველი, კონდენსატორი დამუხტული დენით, იდეალური ინდუქციურობა, ერთეულგადობიანი სარეგულირებელი ობიექტი თვითგათანაბრების გარეშე, პიდრავლიური სერვოძრავა, მექანიკური მოწყობილობა (შესასვლელი სიდიდე – სიჩქარე, გამოსასვლელი – გადაადგილება) და სხვ.

**5. მადიფერენცირებელი რგოლი.** რგოლს, რომელშიც სიდიდე გამოსასვლელში პროპორციულია შესასვლელში სიდიდის ცვლილების სიჩქარისა, ეწოდება მადიფერენცირებელი რგოლი.

ცნობილია იდეალური და რეალური (ინერციული, იზოდრომული) მადიფერენცირებელი რგოლები.



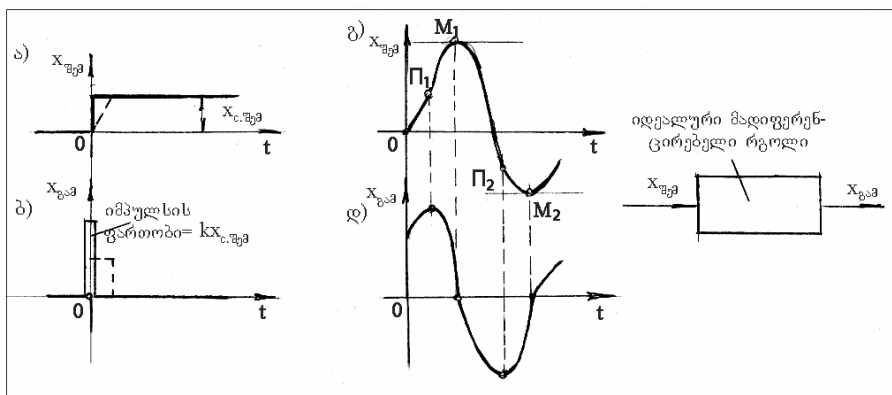
ნახ.9.22. რეალური მაინტეგრებელი რგოლის გარდამავალი მახასიათებელი: а) შემავალი ზემოქმედება; б) გარდამავალი მახასიათებელი; გ) რგოლის პირობითი გამოსახვა

იდეალური მადიფერენცირებელი რგოლი წარმოადგენს მოწყობილობას, რომელიც გამოსასვლელზე იძლევა “სუფთა” (დამახინჯებების გარეშე) წარმოებულს დროის მიხედვით შესასვლელი სიდიდიდან, ე.ი. რგოლის დინამიკის განტოლებაა

$$x_{\delta\delta} = k \frac{dx_{\theta\theta}}{dt}. \quad (9.20)$$

ავაგოთ იდეალური მადიფერენცირებელი რგოლის გარდამავალი მახასიათებელი. ამისათვის შესასვლელზე მივაწოდოთ ნახტომისებურად მუდმივი მნიშვნელობა  $x_{\theta\theta} = x_{e\theta\theta}$ .

მხოლოდ  $t=0$  წერტილში, წარმოებული  $\frac{dx_{\text{აღ}}}{dt}$  არ იქნება ნულის ტოლი. თუ ნახტომი მყისიერია, მაშინ წარმოებული  $\frac{dx_{\text{აღ}}}{dt} \Big|_{t=0}$  წერტილში იქნება უსასრულობა, და გარდამავალ მახასიათებელს ექნება მყისიერი იმპულსის სახე (მოლიანი ხაზები  $x_{\text{გამ-ის}}$  გრაფიკზე, ნახ.9.23), ხოლო შემდეგ გახდება ნულის ტოლი, რადგან შემავალი სიდიდის ცვლილების სიჩქარე ყველა შემდგომ მომენტში ტოლია ნულისა. ვინაიდან ბუნებაში ყოველთვის იქნება არა წმინდა მყისიერი ცვლილება (პუნქტირი  $x_{\text{ჰემ-ის}}$  გრაფიკზე), ამიტომაც იმპულსი გამოსასვლელში იქნება სასრული (პუნქტირი  $x_{\text{გამ-ის}}$  გრაფიკზე), თუმცა ძალიან მოკლე ხნით.



ნახ.9.23. იდეალური მაღიფირენცირებელი რგოლის გარდამავალი მახასიათებელი

იდეალური მაღიფირენცირებელი რგოლის გარდამავალი მახასიათებელი არ არის ძალიან თვალსაჩინო. ამიტომ 9.23დ ნახაზზე ნაჩენებია ამ რგოლის გამოსასვლელი სიდიდის  $x_{\text{გამ}}(t)$  გრაფიკი, შემავალი სიდიდის  $x_{\text{ჰემ}}(t)$  ნებისმიერად ცვლილების დროს (ნახ.9.23გ).  $x_{\text{გამ}} = k \frac{dx_{\text{აღ}}}{dt}$  გრაფიკი ადვილია ასაგებია ნებისმიერი  $x_{\text{ჰემ-ის}}$  დროს, თუ გავიხსენებთ წარ-

მოებულის გეომეტრიულ აზრს -  $x_{\dot{\theta}}(t)$  მრუდის მიმართ მხედვის დახრის კუთხის ტანგენსი. შედეგად  $x_{\dot{\theta}}(t)$ -ს ექნება მაქსიმუმი და მინიმუმი მრუდის  $x_{\dot{\theta}}(t)$  გადაღუნვის  $\Pi_1$  და  $\Pi_2$  წერტილებში, რადგან იქ მრუდს  $x_{\dot{\theta}}(t)$  გააჩნია ყველაზე დიდი დახრა (ნახ.9.23გ,დ). მრუდის  $x_{\dot{\theta}}(t)$  მაქსიმუმისა  $M_1$  და მინიმუმის  $M_2$  წერტილებში  $x_{\dot{\theta}}=0$ , რადგან  $x_{\dot{\theta}}(t)$  მხებები  $M_1$  და  $M_2$  წერტილებში პორიზონტალურია.

იდეალური მადიფერენცირებელი რგოლის მაგალითია ტაქოგენერატორი იმ შემთხვევაში, თუ შესასვლელ სიდიდედ  $x_{\dot{\theta}}$  მივიღებთ ლილვის მობრუნების კუთხეს. ტაქოგენერატორი იძლევა ძაბვას, რომელიც პროპორციულია ლილვის ბრუნვის კუთხური სიჩქარისა

$$U = k \cdot \omega,$$

მაგრამ კუთხური სიჩქარე ვ წარმოადგენს, როგორც ცნობილია, ლილვის მობრუნების  $\varphi$  კუთხის წარმოებულს დროის მიხედვით. შედეგად ვღებულობთ:

$$U = k \cdot \frac{d\varphi}{dt}, \quad (9.21)$$

რაც ემთხვევა იდეალური მადიფერენცირებელი რგოლის 9.20 განტოლებას.

უნდა შევნიშნოთ, რომ ყოველთვის არ არის შესაძლებელი იდეალური მადიფერენცირებელი მოწყობილობის გაკეთება, რომელიც 9.20-ის თანახმად იძლეოდეს წარმოებულს დაუმახინჯებლად. ყველა რეალურ მოწყობილობას გააჩნია ინერციულობა ამა თუ იმ ხარისხით, რომელიც გამოიხატება დროის რადაც მუდმივათი. ამიტომ 9.7 ფორმულის ანალოგიურად, რეალური (ინერციული) მადიფერენცირებელი რგოლი 9.20-ის ნაცვლად აიწერება განტოლებით

$$T \frac{dx_{\dot{\theta}}}{dt} + x_{\dot{\theta}} = k \frac{d\varphi}{dt}. \quad (9.22)$$

ზემოთ მოყვანილი ტაქოგენერატორის მაგალითში ეს ნიშნავს, რომ იგი გამოიმუშავებს არა  $\frac{d\varphi}{dt}$  კუთხური სიჩქარის იდეალურად პროპორციულ  $U$  ძაბვას, როგორც 9.21 ფორმუ-

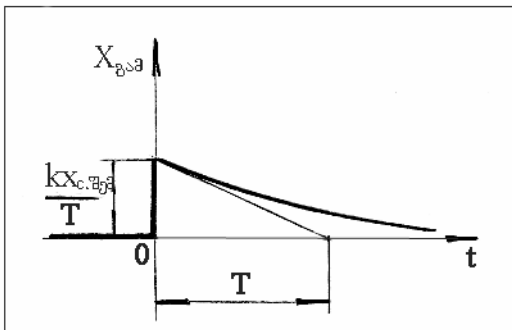
ლაშია, არამედ დამახინჯებით ინერციული დაგვიანების სახით, რომელიც ხასიათდება დროის  $T$  მუდმივათი:

$$T \frac{dU}{dt} + U = k \cdot \frac{d\varphi}{dt}. \quad (9.23)$$

რეალური მადიფერენცირებელი რგოლის გარდამავალი მახასიათებელი ნაჩვენებია ნახაზზე 9.24 და აიწერება ფორმულით

$$x_{\text{გამ}} = \frac{kx_{c\text{გამ}}}{T} e^{-\frac{t}{T}}, \quad (9.24)$$

რომელიც წარმოადგენს (9.22) დიფერენციალური განტოლების გადაწყვეტას, ადგილი დასანახია, რომ როცა  $T=0$  (იდეალური მადიფერენცირებელი რგოლი) გრაფიკი ნახ.9.24 გადაგვარდება მყისიერ იმპულსად (ნახ.9.23ბ).

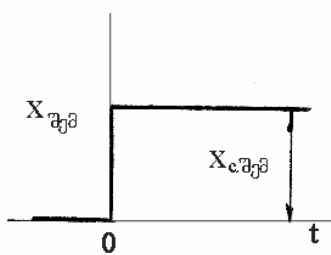


ნახ.9.24 მადიფერენცირებელი რგოლის გარდამავალი მახასიათებელი

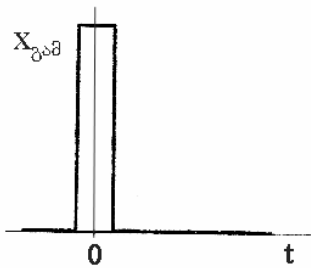
რეალური მადიფერენცირებელი რგოლი შეესაბამება თანმიმდევრულად შეერთებულ აპერიოდულ და იდეალურ მადიფერენცირებელ რგოლებს.

მადიფერენცირებელი რგოლის გარდამავალი მახასიათებელი და მისი პირობითი გამოსახვა მოყვანილია 9.25 ნახაზზე.

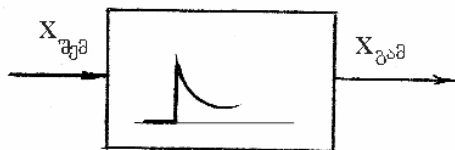
ა)



ბ)

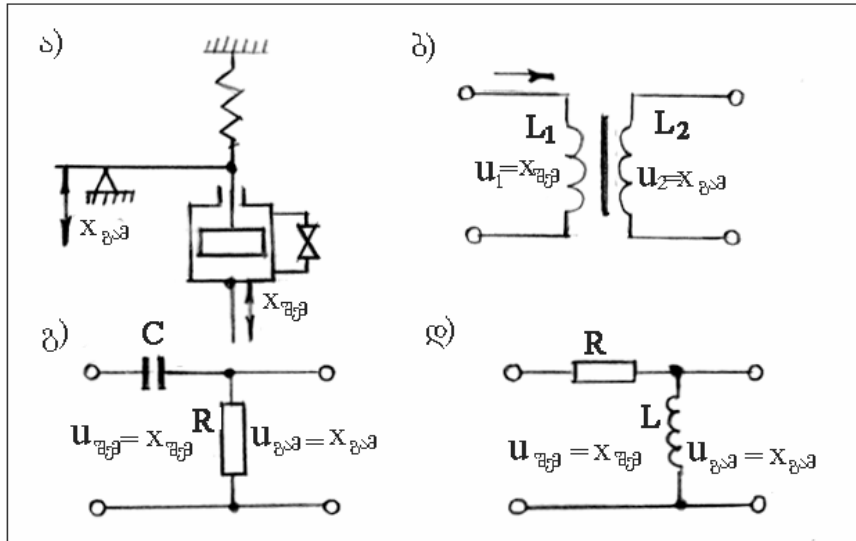


გ)



ნახ.9.25. მაღისურენცირებელი რგოლის გარდამავალი მახა-  
სიათებელი: ა) შემავალი ზემოქმედება; ბ) გარდამავალი მახასიათე-  
ბელი; გ) რგოლის პირობითი გამოსახვა

მადიფერენცირებელი რგოლების მაგალითებია: პიდრავლიკური მამშვიდებელი ზამბარით (ნახ.9.26ა), ტრანსფორმატორი (ნახ.9.26ბ), წრედი აქტიური წინაღობით და ტევადობით (ნახ.9.26გ), წრედი აქტიური წინაღობით და ინდუქციურობით (ნახ.9.26დ), სიჩქარითი თერმოწყვილი, რომლისთვისაც ე.მ.ძ. გამოსასვლელზე პროპორციულია გასაზომი ტემპერატურის ცვლილების სიჩქარისა; მუდმივი დენის გენერატორი, რომლის შემავალი სიდიდეა მისი დერძის მობრუნების კუთხე, ხოლო გამომავალი სიდიდე – ძაბვა, დუზის მოჭერებზე და სხვ.



ნახ.9.26. მადიფერენცირებელი რგოლების მაგალითები

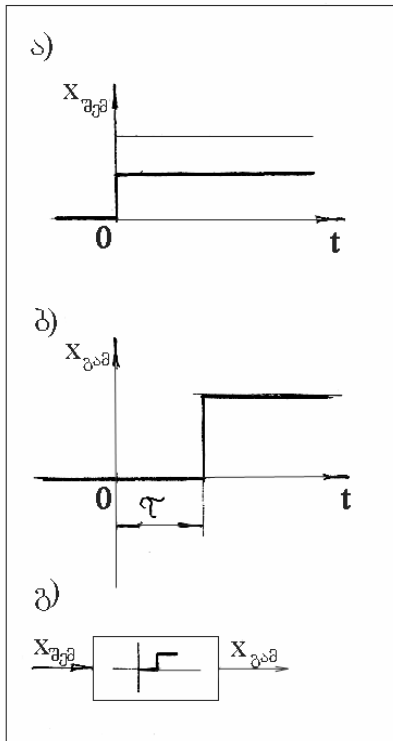
**6. დაგვიანებით მოქმედი რგოლი.** დაგვიანებით მოქმედი რგოლი ეწოდება რგოლს, რომელშიც გამოსასვლელი სიდიდე აღწარმოებს შესასვლელი სიდიდის ცვლილებას დაუმახინჯებლად, მაგრამ გარკვეული მუდმივი  $\tau$  დაგვიანებით (ნახ.9.27).

რგოლის დინამიკის განტოლებას აქვს სახე

$$x_{\text{გავ}}(t) = kx_{\text{გავ}}(t - \tau), \quad (9.25)$$

სადაც  $\tau$  არის სუფთა ანუ სატრანსპორტო დაგვიანების დრო.

დაგვიანებით მოქმედი რგოლის გარდამავალი მახასიათებელი და მისი პირობითი გამოსახვა ნაჩვენებია ნახაზზე 9.27.



**ნახ.9.27.** დაგვიანებით მოქმედი რგოლის გარდამავალი მახასიათებელი: а) საფეხურისებრი შემავალი ზემოქმედება; б) გარდამავალი მახასიათებელი; გ) რგოლის პირობითი გამოსახვა

დაგვიანებით მოქმედი რგოლის მაგალითებია კონვეიერები\*, მკვებავები, გრძელი მიღსაღენები\*\*, წისქვილები\*\*\* და სხვ.

\* თუ კონვეიერის ერთ ბოლოზე გარეული დოზით დაყრიდ სატრანსპორტირებელ მასალას ჩავთვლით შემავალ სიგნალად, ხოლო მეორე ბოლოდან გადომოყრილი მასალის რაოდენობას დროის ერთვულში გამომავალ სიგნალად, ცხადია, რომ შემავალი სიგნალის ყოველგარ ცვალებადობას, მხოლოდ გარეული დროის შემდეგ ( $\tau$  დროის მონაკეთის შემდეგ), მოჰყვება გამომავალი სიგნალის სათანადო ცვალებადობა. მაშასადამე, კონვეიერი დაგვიანებით მოქმედი რგოლის მაგალითია.

\*\* თუ ჩავთვლით, რომ მიღსაღენში შემავალი სითხის ტემპერატურა არის შემავალი სიგნალი, ხოლო მიღსაღენიდან გამონაღენი სითხის ტემპერატურა – გამომავალი სიგნალი, მაშინ მიღსაღენი იქნება დაგვიანებით მოქმედი რგოლის მაგალითი.

\*\*\* თუ წისქვილში დასაფქვავი მარცვლის მიწოდების ინტენსივობა შემავალი სიგნალია, ხოლო მუდმივი სიჩქარით მბრუნავ წისქვილში

დაგვიანებით მოქმედი რგოლი წარმოადგენს პროპორციული რგოლის სახეს, როდესაც გამოსასვლელი სიდიდე დროის მუდმივი მონაკვეთის ჩამორჩენით იმეორებს შესასვლელ სიდიდეს (იხ. ფორმულა 9.6).

თუ 9.25 გამოსასულებაში დავუშვებთ, რომ გაძლიერების კოეფიციენტი  $k=1$ , მაშინ რგოლის განტოლება იქნება

$$x_{\text{გამ}}(t) = x_{\text{გამ}}(t - \tau),$$

რომლის ოპერაციული სახე შეიძლება მიღებული იქნას დაძრის თეორემის თანახმად.

ავტომატური რეგულირების თეორიასა და პრაქტიკაში უმეტეს შემთხვევებში საქმე გააქვს უფრო მაღალი რიგის განტოლებებთან. ჩვეულებრივი დიფერენციალური განტოლება მუდმივი კოეფიციენტებით, რომელიც აღწერს წრფივი სისტემის დინამიკურ თვისებებს ზოგადი სახით ასეთია:

$$\begin{aligned} a_n \frac{d^n x_{\text{გამ}}}{dt^n} + a_{n-1} \frac{d^{n-1} x_{\text{გამ}}}{dt^{n-1}} + \dots + a_1 \frac{dx_{\text{გამ}}}{dt} + a_0 x_{\text{გამ}} &= \\ = b_m \frac{d^m x_{\text{გამ}}}{dt^m} + b_{m-1} \frac{d^{m-1} x_{\text{გამ}}}{dt^{m-1}} + \dots + b_1 \frac{dx_{\text{გამ}}}{dt} + b_0 x_{\text{გამ}}, & \end{aligned} \quad (9.26)$$

სადაც

$x_{\text{გამ}}$  არის გამომავალი (სარეგულირებელი) სიდიდე;

$x_{\text{გამ}}$  – შემავალი სიდიდე (მარეგულირებელი ან შემაშვოთებელი ზემოქმედება);

$a_n, a_{n-1}, \dots, a_0; b_m, b_{m-1}, \dots, b_0$  – მუდმივი კოეფიციენტები;

$\frac{d^n x}{dt^n}$  –  $n$ -ური ხარისხის წარმოებული დროის მიხედვით;

$\frac{d^m x}{dt^m}$  –  $m$ -ური ხარისხის წარმოებული დროის მიხედვით.

მარცვლის დაფქვის ხარისხი გამომავალი სიგნალი, მაშინ წისქვილი დაგვიანებით მოქმედ რგოლად შეიძლება იქნას წარმოდგენილი.

## §5. ავტომატური რეგულირების სისტემების რგოლების შემთხვევა

ავტომატური რეგულირების სისტემის რგოლები შეიძლება შეერთდნენ პარალელურად მიმდევრობით და სისტემის ან რამდენიმე რგოლის შეერთვით უკუკავშირით\*.

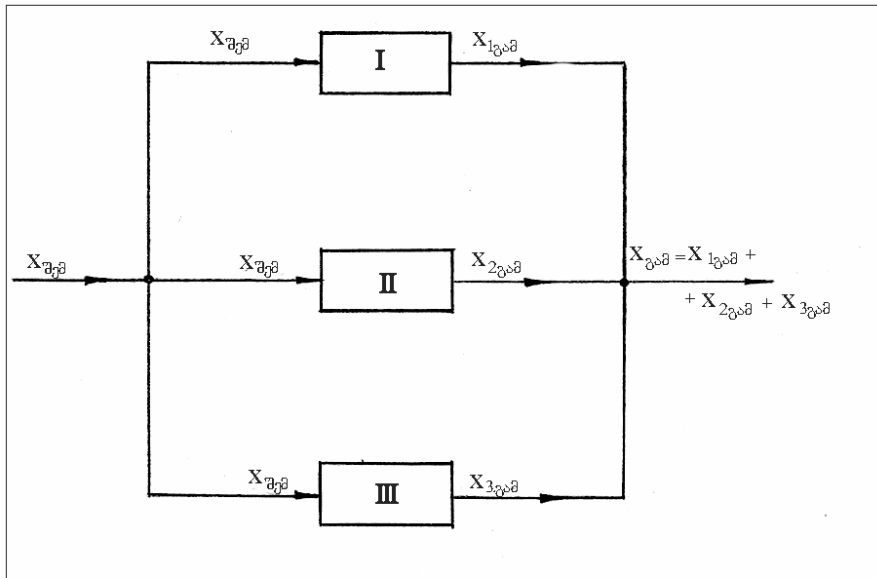
რგოლების პარალელური შეერთება ეწოდება ისეთ შეერთებას, რომლის დროსაც შემავალი სიდიდე წარმოადგენს საერთოს ყველა რგოლისათვის, ხოლო შეერთების გამომავალი სიდიდე ტოლია რგოლების გამომავალი სიდიდეების ალგებრული ჯამისა.

ნახ.9.28-ზე მოყვანილია სისტემის სამი რგოლის პარალელურად შეერთების სქემა. შეერთების გამომავალი სიდიდე

$$x_{\delta\alpha\delta} = x_{1\delta\alpha\delta} + x_{2\delta\alpha\delta} + x_{3\delta\alpha\delta}. \quad (9.27)$$

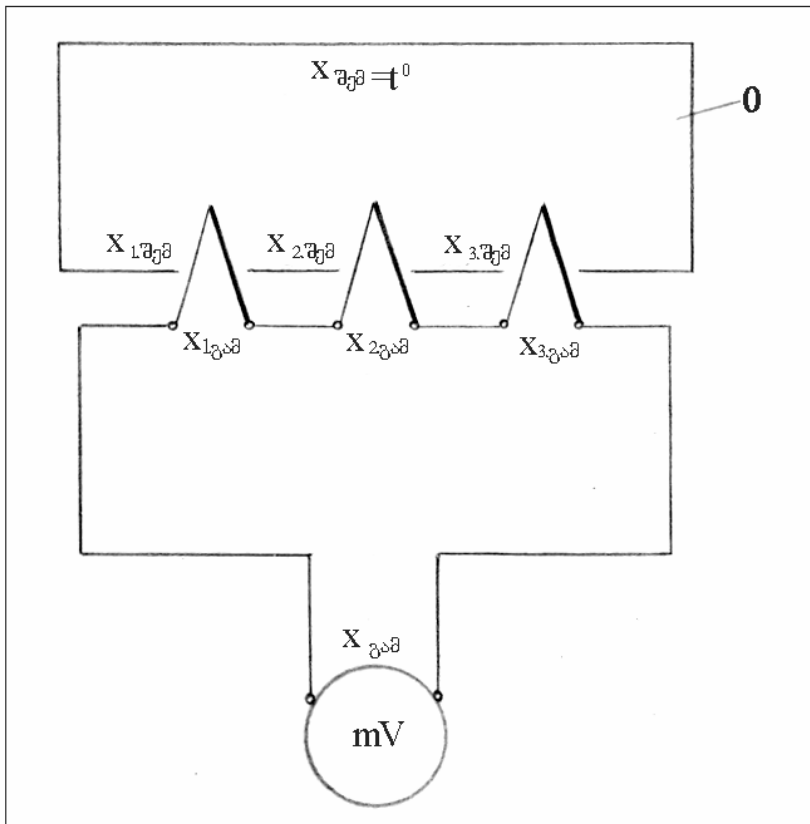
---

\* უკუკავშირის ქვეშ იგულისხმება მოწყობილობების ერთობლიობა, რომლებიც გამოსასვლელი (სარეგულირებელი) სიდიდის ცვლილებებს გადასცემენ სისტემის შესასვლელზე.



ნახ.9.28. სისტემის ელემენტების პარალელური შეერთება

რგოლების პარალელურად შეერთება განვიხილოთ რაიმე გარემოს ტემპერატურის გაზომვის მაგალითზე, თერმოწყვილების დახმარებით (ნახ.9.29). ივარაუდება, რომ O ობიექტში, რომელშიც წარმოებს გაზომვა, გარემოს ტემპერატურა იცვლება ერთდროულად და ერთნაირად მთელს მოცულობაში. ამ მაგალითში სამივე თერმოწყვილისათვის (სამივე რგოლისათვის) შემავალ სიდიდეს  $x_{\text{ჟე}}$  წარმოადგენს გარემოს ტემპერატურა, ხოლო გამომავალ სიდიდეს  $x_{\text{გა}}$  საერთო თერმოე. ბატარეის მომძერებზე, რომელიც შედგენილია განხილული მაგალითის შემთხვევაში სამი თერმოწყვილისაგან.



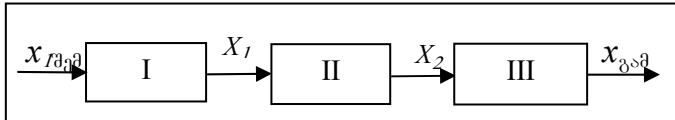
ნახ.9.29. ობიექტის ტემპერატურის გაზომვა პარალელურად შეერთებული რგოლების დახმარებით

შემავალი სიდიდე ყველა რგოლისათვის ერთი და იგივეა, ე.ი.

$$x_1\phi\beta = x_2\phi\beta = x_3\phi\beta = x_\phi\beta = t^0 C.$$

თერმოწყვილების გამოსასვლელები ისეთნაირადაა შეერთებული, რომ ბატარეიის თერმო ე.მ.დ. ტოლია თითოეული თერმოწყვილის ე.მ.დ. ჯამისა, ე.ი. საერთო გამომავალი სიდიდე ტოლია შემადგენელი რგოლების გამომავალი სიდიდეების ჯამისა (გარემოს საშუალო ტემპერატურის განსასაზღვრავად ამ მაგალითში საჭიროა ხელსაწყოზე გამომავალი სიდიდის ჩვენება გავუოთ სამზე).

ნახაზზე 9.30 მოცემულია სამი რგოლის თანმიმდევრობით შეერთება. რგოლების თანმიმდევრობით შეერთება ეწოდება ისეთ შეერთებას, რომლის დროსაც ყოველ რგოლში შემავალი სიგნალი არის წინა რგოლიდან გამოსული სიგნალი, ხოლო გამომავალი სიგნალი შემდგომ რგოლში შემავალი სიგნალია.



### ნახ.9.30. რგოლების თანმიმდევრობით შეერთება

ვიპოვოთ სტატიკური მახასიათებელი თანმიმდევრობით შეერთებული ხაზოვანი (წრფივი) რგოლებისა.

პირველი რგოლისათვის

$$x_{1\text{fas}} = k_1 x_{1\text{faz}}; \quad (9.28)$$

II რგოლისათვის

$$x_{2\text{fas}} = k_2 x_{2\text{faz}}; \quad (9.29)$$

III რგოლისათვის

$$x_{3\text{fas}} = k_3 x_{3\text{faz}}; \quad (9.30)$$

მაგრამ თანმიმდევრობით შეერთების დროს

$$x_{1\text{fas}} = x_{2\text{faz}} = X_1; \quad (9.31)$$

ე.ი. პირველი რგოლის გამომავალი სიდიდე წარმოადგენს II რგოლისათვის შემავალს (ნახ.9.30-ზე აღნიშნულია  $X_1$ -ით).

ანალოგიურად

$$\left. \begin{aligned} x_{2\text{fas}} &= x_{3\text{faz}} = X_2; \\ x_{3\text{fas}} &= x_{\text{fas}}, \end{aligned} \right\} \quad (9.32)$$

სადაც  $x_{\text{fas}}$  არის რგოლების მთელი ჯგუფის გამომავალი სიდიდე. მაშინ

$$\left. \begin{aligned} X_1 &= x_{1\text{fas}} = k_1 x_{1\text{faz}}; \\ X_2 &= x_{2\text{fas}} = k_2 x_{2\text{faz}}; \\ X_3 &= x_{3\text{fas}} = k_3 x_{3\text{faz}}. \end{aligned} \right\} \quad (9.33)$$

მაგრამ

$$x_{3\text{fas}} = x_{\text{fas}},$$

მაშასადამე

$$x_{\text{გამ}} = k_3 x_{\text{ვაკ}} \quad (9.34)$$

მაგრამ 9.32 და 9.29 ფორმულების თანახმად

$$x_{\text{ვაკ}} = X_{\text{გამ}} = k_2 x_{\text{2ვაკ}}; \quad (9.35)$$

თუ ჩავსვამთ 9.35 9.34-ში, მივიღებთ:

$$x_{\text{გამ}} = k_3 k_2 x_{\text{2ვაკ}}; \quad (9.36)$$

9.31-სა და 9.34-ის თანახმად

$$X_{\text{2ვაკ}} = x_{\text{1გამ}} = k_1 x_{\text{1ვაკ}}$$

თუ ჩავსვამთ ამ მნიშვნელობას 9.36-ში, საბოლოოდ მივიღებთ:

$$x_{\text{გამ}} = k_3 k_2 k_1 x_{\text{1ვაკ}}$$

ამრიგად,

$$x_{\text{გამ}} = k_1 k_2 k_3 x_{\text{1ვაკ}}, \quad (9.37)$$

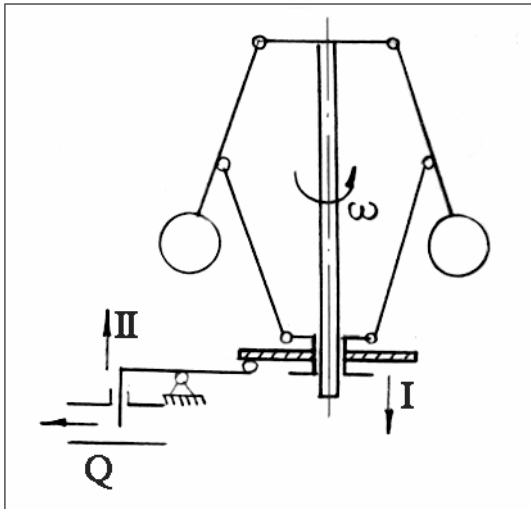
ე.ო.

$$x_{\text{გამ}} = k x_{\text{1ვაკ}}$$

სადაც  $k = k_1 k_2 k_3$ .

რამდენიმე თანმიმდევრობით შეერთებული წრფივი რგოლის სტატიკური მახასიათებელი წარმოადგენს სწორს, რომლის გადამცემი (გარდაქმნის) კოეფიციენტი ტოლია რგოლების გადამცემი კოეფიციენტების ნამრავლისა.

რგოლების თანმიმდევრობით შეერთების მაგალითი მოცემულია 9.31 ნახაზზე. თბური ძრავას ლილვის ბრუნვის სიხშირის სტაბილიზაცია ხორციელდება ორი თანმიმდევრობით შეერთებული რგოლის საშუალებით – ცენტრიდანული რეგულატორითა (I რგოლი) და ბერკეტით (II). ბერკეტი გადაადგილებს საფარს, რომელიც ცვლის სათბობის ხარჯს.

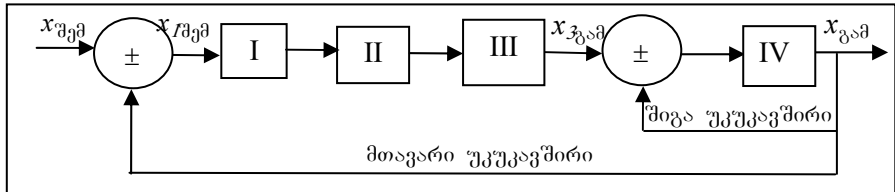


ნახ.9.31. თბური  
ძრავას ლილეის  
ბრუნვის სისში-  
რის სტაბილიზა-  
ციის აკტომატუ-  
რი მართვის სის-  
ტემა

სისტემის ან რამდენიმე რგოლის შერთვა უკუკავშირით. ძირითადი ცნობები ავტომატური მართვის სისტემაზე უკუ-  
კავშირით მოცემულია მეოთხე თავის პირველ პარაგრაფში.  
აქ აღვნიშნავთ, რომ უკუკავშირი უკუკავშირის კოეფიციენ-  
ტის ნიშნის მიხედვით შეიძლება იყოს დადებითი ან უარყ-  
ოფითი. დადებითი უკუკავშირის გამოყენება ზრდის გაძლი-  
ერების კოეფიციენტს, ხოლო უარყოფითი უკუკავშირის გა-  
მოყენება ამცირებს გაძლიერების კოეფიციენტს.

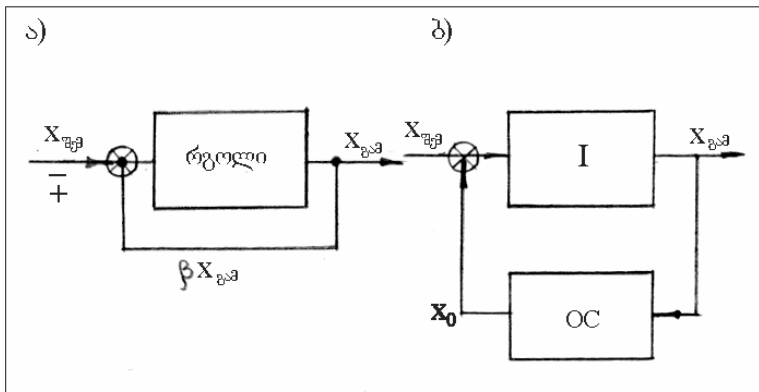
სისტემის ან რამდენიმე რგოლის შერთვა უკუკავშირით ხორციელდება, როდესაც წყბისმიერი წესით შეერთებული შესართავი რგოლების შესასვლელზე მათი გამოსასვლელი-  
დან მიეწოდება სიგნალი შემრთველი რგოლების გავლით, რომლებიც იმყოფებიან უკუკავშირის წრედში. მაშასადამე, უკუკავშირი ეწოდება ისეთ კავშირს, რომლის დროსაც რგოლის გამომავალი სიგნალი ემატება ან აკლდება იმავე რგოლის ან რომელიმე წინ მდებარე რგოლის შემავალ სიგ-  
ნალს. ამასთან, თუ სისტემის უკანასკნელი რგოლის გამო-  
მავალი სიგნალი ემატება ან აკლდება სისტემის პირველი რგოლის შემავალ სიგნალს, მაშინ ასეთ კავშირს მთავარი უკუკავშირი ეწოდება; სხვა დანარჩენ უკუკავშირს – შიგა და დამატებითი უკუკავშირი (ნახ.9.32). თუ სქემაზე მხოლოდ ერთი მთავარი უკუკავშირია, მას ერთკონტურიანი ეწოდება,

ხოლო თუ რამდენიმე უპუპავშირია – მრავალკონტრიანი. თუ შემადარებელ ორგანოში პლუს ნიშანია, მაშინ პირველ რგოლში შემავალი სიგნალი იქნება  $x_{\text{ფ}} + x_{\text{გა}}$ , ხოლო, თუ მინუსია, მაშინ  $x_{\text{ფ}} - x_{\text{გა}}$ .



### ნახ.9.32. კავშირების სახეები

ნახ.9.33ა-ზე მოყვანილია შერთული სისტემა ხისტი უპუპავშირით, ხოლო ნახ.9.33ბ-ზე უპუპავშირის რგოლით.



### ნახ.9.33. ჩაკეტილი სისტემა უპუპავშირით

ამრიგად, სისტემის ან რამდენიმე რგოლის შერთვისას უარყოფითი (დაღებითი) უპუპავშირით (ნახ.9.33ბ) ჩაკეტილი სისტემის გადამცემი ფუნქცია ტოლია ნებისმიერი წესით შეერთებული, ჩასაკეტი რგოლების გადამცემი ფუნქცია  $W_I(P)$  გაყოფილი ერთი პლიუს (მინუს) ჩასაკეტი რგოლების გადამცემი ფუნქცია გამრავლებული ჩამკეტი რგოლების  $W_{OC}(P)$  გადამცემ ფუნქციაზე

$$W_{\text{ჩაკეტ.}}(P) = \frac{W_I(P)}{1 \pm W_I(P) \cdot W_{OC}(P)}. \quad (9.38)$$

ამ ფორმულის გამოყვანა იხილე [16].

## §6. ავტომატური რეგულირების სისტემების სტრუქტურული სტრუქტური

ავტომატური რეგულირების სისტემის სტრუქტურული სქემა ეწოდება სქემას, რომელიც შედგენილია ტიპობრივი დინამიკური რგოლებისაგან, რომლებიც ერთმანეთთან შეერთებული არიან ისეთნაირად, რომ ზემოქმედებები მათი საშუალებით მიმდინარეობდნენ იმის ანალოგიურად, როგორც ისინი მიმდინარეობენ რეალურ (კონსტრუქციულ) სქემაში.

ავტომატური რეგულირების სისტემების დიფერენციალური განტოლებების შედგენა მარტივდება, თუ წინასწარ შევადგენთ ამ სისტემის ეწ. სტრუქტურულ სქემას. ამრიგად, ავტომატური რეგულირების სისტემების დიფერენციალური განტოლებების შედგენის ამოცანა დაიყვანება ცალკეული რგოლების განტოლებების შედგენაზე. ამასთან მოგება შრომაში ხდება თვალწათელი, ვინაიდან პრაქტიკაში უმეტეს შემთხვევებში ავტომატური რეგულირების სისტემების სტრუქტურული სქემები წარმოადგენენ მცირე რიცხვის ტიპური რგოლების კომბინაციებს, რომელთა გადამცემი ფუნქციები ცნობილია. (ავტომატური რეგულირების რგოლების გადამცემი ფუნქციები განხილულია მეცხრე პარაგრაფში). აქ მხოლოდ აღვნიშნავთ, რომ რგოლის გადამცემი ფუნქცია შეიძლება განხილულ იქნას, როგორც გამოსასვლელი სიგნალის შეფარდება შესასვლელ სიგნალთან.

მაშასადამე, ავტომატური რეგულირების სისტემის რეალური კონსტრუქციული (პრინციპიალური) სქემის წარმოსადგენად დინამიკური სტრუქტურული სქემის სახით, თავდაპირველად საჭიროა დადგინდეს, თუ რომელი ტიპური ელემენტარული რგოლის ეპვივალენტურია სისტემის კონსტრუქციული ელემენტი და შემდეგ რგოლები შეერთდეს ერთმანეთთან შენაწევებული კონსტრუქციული ელემენტების შესაბამისად.

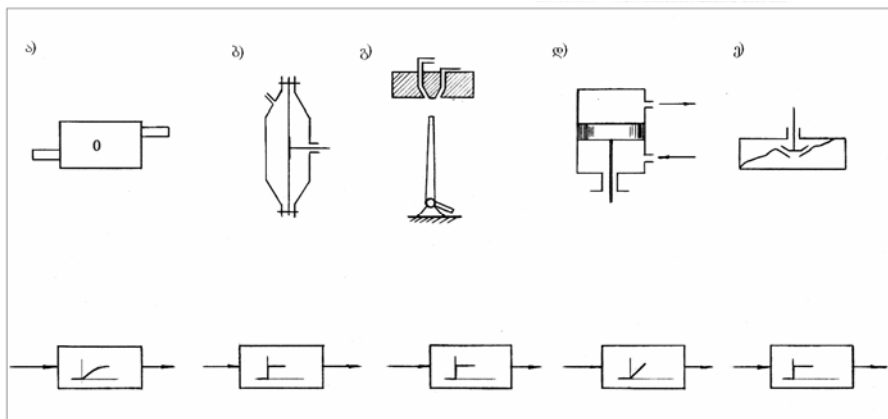
შევადგინოთ რეგულირების სისტემის სტრუქტურული სქემა, რომელიც მოყვანილია 9.2 ნახაზზე. ამ სისტემის თოთოვეული კონსტრუქციული ელემენტი შეიძლება შეცვლილი იქნეს მისი ეპვივალენტური დინამიკური რგოლით, როგორც ნაჩვენებია 9.34 ნახაზზე.

დავიწყოთ სარეგულირებელი ობიექტით. იგი შეიძლება წარმოდგენილი იქნას აპერიოდული რგოლით; სისტემის

შესასვლელს წარმოადგენს მიწოდებული გაზის რაოდენობის ცვლილება, ხოლო გამოსასვლელს – სარეგულირებელი წნევის ცვლილება (ნახ.9.34ა).

მექანიკული მგრძნობიარე ელემენტი (გარდამსახი) შეიძლება წარმოდგენილი იქნეს როგორც პროპორციული რგოლი; შესასვლელი – სარეგულირებელი წნევის ცვლილება, გამოსასვლელი – ჭავლურ მიღაკთან (გამაძლიერებელი) ხისტად დაკავშირებული მექანიზმის ცენტრის გადაადგილება (ნახ.9.34ბ).

ჭავლური მიღაკი (გამაძლიერებელი) შეიძლება წარმოდგენილი იქნეს, აგრეთვე, როგორც პროპორციული რგოლი (თუ უგულვებელვყოფთ ხახუნის ძალებს და მოძრავი ნაწილების მასას); შესასვლელი სიდიდე აქ იქნება ჭავლური მიღაკის გადაადგილება, ხოლო გამოსასვლელი – სამუშაო (მუშა) სითხის წნევის ცვლილება (ნახ.9.34გ).



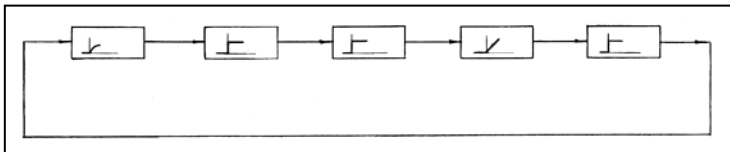
ნახ.9.34. კონსტრუქციული სქემის ელემენტები, ტიპური რგოლების პირობითი გამოსახვით

შემსრულებელი (აღმასრულებელი) მოწყობილობა – ძალური ცილინდრი შეიძლება წარმოდგენილი იქნეს როგორც მაინტეგრებელი რგოლი; შესასვლელი – სამუშაო სითხის მიწოდების ცვლილება, ხოლო გამოსასვლელი – დგუშის გადაადგილება (ნახ.9.34დ).

მარეგულირებელი სარქველი შეიძლება წარმოდგენილი იქნეს როგორც პროპორციული რგოლი (სარქველის მასა სერვოძრავას მოძრავი დგუშის მასასთან შედარებით მხედველობაში

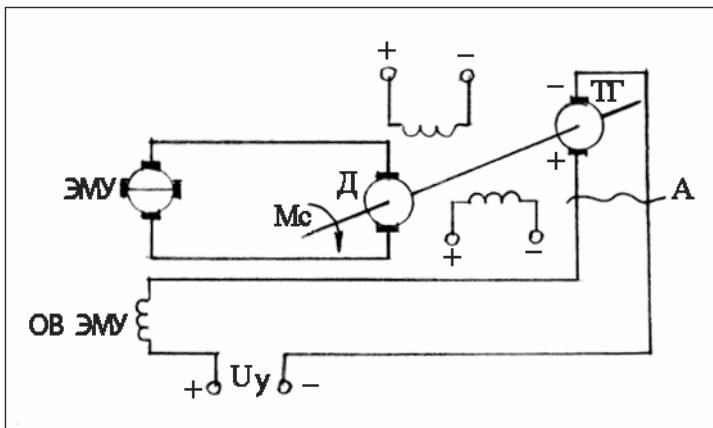
არ მიიღება). აქ შესასვლელი სიდიდე იქნება სარქველის გადაადგილება, ხოლო გამოსასვლელი – გაზის მიწოდების ცვლილება ობიექტში (ნახ.9.34). 9.34 ნახაზის ქვედა ნაწილში ნაჩვენებია რგოლების პირობითი გამოსასვები.

9.35 ნახაზზე მოყვანილია რეგულატორის სტრუქტურული სქემა, რომლის კონსტრუქციული (პრინციპიალური) სქემაც გამოსახულია 9.2 ნახაზზე. სისტემის რგოლები შეერთებულია ერთმანეთთან თანმიმდევრობით. როგორც 9.35 ნახაზიდან ჩანს, კონსტრუქციული სქემა შემდგარი 5 ელემენტისაგან, სტრუქტურულ სქემაში წარმოდგენილია მხოლოდ სამი ტიპის ტიპური რგოლით: აპერიოდული რგოლით, სამი პროპორციული რგოლით და ერთი მაინტეგრირებული რგოლით.



ნახ.9.35. რეგულატორის სტრუქტურული სქემა

**მეორე მაგალითი.** მუდმივი დენის ძრავას სიჩქარის ავტომატური რეგულირების სისტემის სტრუქტურული სქემის შედგენა (ნახ.9.36).



ნახ.9.36. მუდმივი დენის ძრავას სიჩქარის ავტომატური რეგულირების სტატიკური სისტემა

Д ძრავას დუზა იკვებება ელექტრომანქანური გამაძლიერებლიდან ემუ. გამაძლიერებლის შესასვლელზე, ე.ი. მისი მართვის გრაგნილზე ი. ე. მუ, მიეწოდება მართვადი ძაბვის  $U_y$  და თგ ტაქტოგენერატორის ე.მ.ძ-ის  $E_{TG}$  სხვაობა -  $\Delta U = U_y - E_{TG}$ . ტაქტოგენერატორი ბრუნავს ძრავას დ ლილვისაგან. ძრავასა და ტაქტოგენერატორს აქვთ დამოუკიდებელი აღგზნება მუდმივი დენის გარე წყაროდან.

ტაქტოგენერატორის ე.მ.ძ. პროპორციულია ძრავას თ ბრუნვის სიჩქარისა. ამიტომ ძრავა და ტაქტოგენერატორი შეიძლება განხილული იქნეს როგორც ერთი მთლიანი, ხოლო ძრავას ბრუნვის სიჩქარის რეგულირების ამოცანა განხილული იქნეს როგორც ტაქტოგენერატორის ე.მ.ძ.  $E_{TG}$  რეგულირება.

დამყარებულ რეჟიმში სხვაობა

$$\Delta U = U_y - E_{TG}$$

წარმოადგენს ემუ-ს შემავალ ძაბვას, რომლის დროსაც იქმნება თ-ისა და  $E_{TG}$ -ს მოცემული მნიშვნელობები.

ძრავას ლილვზე დატვირთვის შეცვლისას თ და  $E_{TG}$ -ს მნიშვნელობები იცვლება, რასაც მივყავართ  $\Delta U$  სხვაობის შეცვლასთან  $E_{TG}$ -ს შემცირებადი გადახრის მიმართულებით  $U_y$  -დან. მართველი ძაბვის  $U_y$  შეცვლისას სხვაობაც, აგრეთვე, იცვლება მიმართულებით, რომელიც ამცირებს  $E_{TG}$ -ს გადახრას  $U_y$ -დან.

დავანაწევოთ განხილული სისტემა ტიპურ რგოლებად.

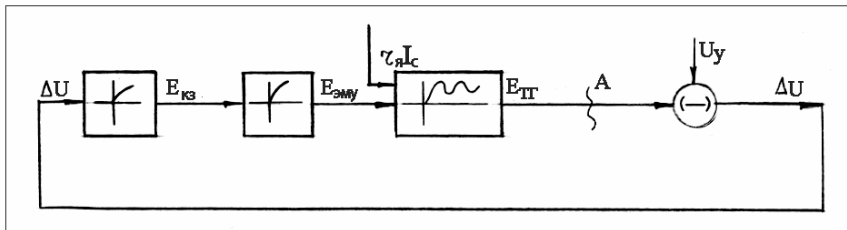
**პირველი რგოლი.** შესასვლელი - წრედი, რომელიც შედგება მიმდევრობით შეერთებული ელექტრომანქანური გამაძლიერებლის ემუ მართვის გრაგნილისაგან ი. ე. მუ, ტაქტოგენერატორის თგ დუზისა და მართველი ძაბვის  $U_y$  წყაროსაგან. გამოსასვლელი - ემუ მოკლედჩართული წრედის მუსები. ეს რგოლი შეიძლება წარმოდგენილი იქნეს როგორც აპერიოდული რგოლი, რადგან იგი შეიცავს მხოლოდ ინდუქციურობასა და აქტიურ წინაღობას. ამ რგოლის შესასვლელში მიეწოდება  $\Delta U$ -ს სიდიდე, ხოლო გამოსასვლელში მიიღება ემუ-ს მოკლედჩართული წრედის  $E_{kz}$  ე.მ.ძ.

**მეორე რგოლი.** შესასვლელი - ემუ-ს მოკლედჩართული წრედის მუსები, გამოსასვლელი - ემუ-ს გამოსასვლელი მუსები. ეს რგოლიც შეიძლება წარმოდგენილი იქნეს როგორც აპერიოდული რგოლი, რომლის შესასვლელში მიეწოდება ემუ-ს მოკლედჩართული წრედის  $E_{k3}$  ე.მ.ძ., ხოლო გამოსასვლელზე მიიღება ელექტრომაგნიტური გამაძლიერებლის  $E_{EMU}$  ე.მ.ძ.

**მესამე რგოლი.** მუდმივი დენის ძრავა კომპლექსში ტაქოგენერატორთან. შესასვლელი - წრედი, რომელიც შედგება თანმიმდევრობით შეერთებული ძრავას დუზისა და ემუ-ის დუზისაგან, გამოსასვლელი - ტაქოგენერატორის დუზის მუსები. ეს რგოლი არის მეორე რიგის (შეიძლება იყოს რევითიც). რგოლის შესასვლელში მიეწოდება ემუ-ს ე.მ.ძ. ემუ და დატვირთვა ძრავას ლილვზე, ხოლო გამოსასვლელში მიიღება ტაქოგენერატორის ე.მ.ძ.  $E_{TP}$ .

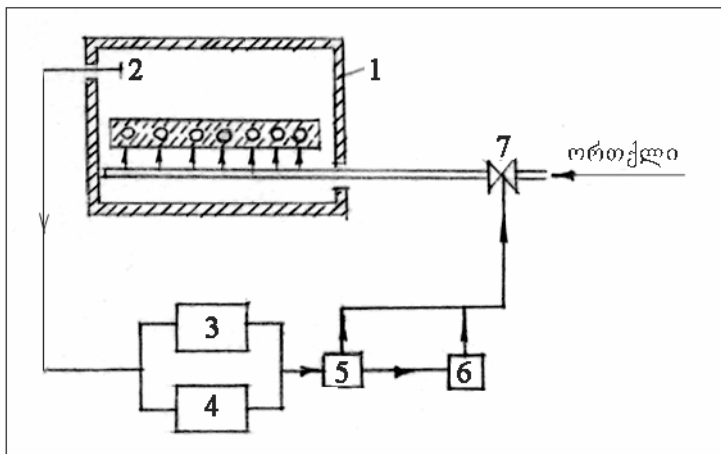
ამრიგად, 9.36 ნახაზზე მოყვანილი სქემა შედგება ორი აპერიოდული რგოლისა და ერთი მერხევი რგოლისაგან. გარდა ამისა სქემაში შედის ელემენტი, რომელშიც სწარმოებს ტაქოგენერატორის ე.მ.ძ.  $E_{TP}$  შედარება მართველ ძაბვასთან  $U_y$  განხილულ სქემაში შედარება ხორციელდება  $E_{TP}$  და  $U_y$ -ს შემხვედრი ჩართვით.

ნახ.9.37 გამოსახულია 9.36 ნახაზზე მოყვანილი ავტომატური რეგულირების სტატიური სისტემის სტრუქტურული სქემა. ელემენტი, რომელშიც წარმოებს ტაქოგენერატორის ე.მ.ძ-ის შედარება მართველ ძაბვასთან  $U_y$  გამოსახულია წრეხაზით მინუს ნიშნით, რაც უჩვენებს, რომ მასთან მიყვანილი სიდიდეები ერთმანეთს აკლდება.



ნახ.9.37. ნახაზზე 9.36 მოყვანილი ავტომატური რეგულირების სტატიური სისტემის სტრუქტურული სქემა

**მესამე მაგალითი.** გაორთქლვის კამერაში (ნახ.9.38) ტემპერატურის სარეგულირებელი მოწყობილობის სტრუქტურული სქემის შედეგია. სქემაზე ნაჩვენებია: გაორთქლვის კამერა (1); წინაღობის თერმომეტრი (2); გამაძლიერებელი (3); მადიფერენცირებელი მოწყობილობა (4); რეგულატორი (5); ხისტი უკუკავშირის მოწყობილობა (6); მარეგულირებელი ორგანო (7). ამოცანა მდგომარეობს რკინაბეტონის ნაკეთობათა თბოტენიანობითი დამუშავების რეჟიმის კამერაში ორთქლის ტემპერატურის სარეგულირებელი მოწყობილობის სტრუქტურული სქემის შედეგიაში თერმოწყვილის ინერციულობის გაუთვალისწინებლად. ამასთან კეთდება დაშვება, რომ ნაკეთობის გახურება თანაბარია, ხოლო პირობები კამერის მთელი მოცულობის მიხედვით ერთნაირია.



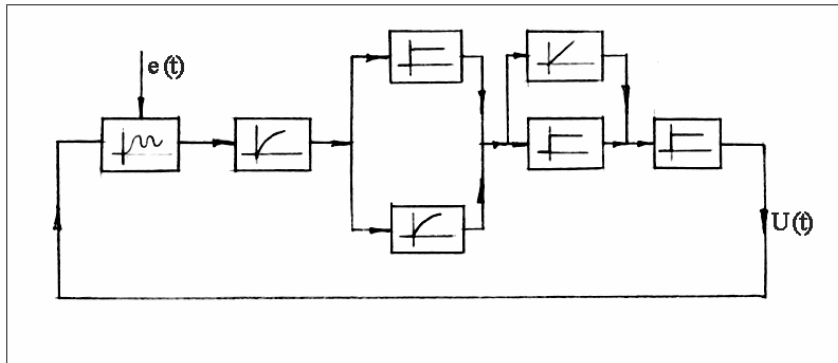
ნახ.9.38. გაორთქლის კამერაში ტემპერატურის რეგულირების მოწყობილობის ბლოკ-სქემა: 1 – გაორთქლის კამერა; 2 – წინააღმდეგობის თერმომეტრი; 3 – გამაძლიერებელი; 4 – მადიფერენცირებელი მოწყობილობა; 5 – რეგულატორი; 6 – უკუკავშირის მოწყობილობა; 7 – მარეგულირებელი ორგანო

დავანაწევროთ მოწყობილობა შვიდი ტიპის დინამიკურ რგოლლად.

**პირველი რგოლი** – გაორთქლვის კამერა შეიძლება წარმოდგენილი იქნას **რხევითი რგოლის** სახით. შესასვლელი სიდიდე – ორთქლსადენის სარქველის გადაადგილება, გამოსასვლელი სიდიდე – ტემპერატურა. **მეორე რგოლი** – წინა-

ღობის თერმომეტრი შეიძლება წარმოდგენილი იქნეს აპერიოდული რგოლით. შესასვლელი – ობიექტში ტემპერატურის ცვლილება, გამოსასვლელი – გარდამსახის წინაღობის ცვლილება. მესამე რგოლი – გამაძლიერებელი. იგი შეიძლება წარმოდგენილი იქნეს პროპორციული რგოლით. შესასვლელი – გასაძლიერებელი სიგნალი, გამოსასვლელი – გაძლიერებული სიგნალი. მეოთხე რგოლი – მაღიფერენცირებელი მოწყობილობა. გამოისახება აპერიოდული რგოლით. მეხუთე რგოლი – რეგულატორი. გამოისახება მაინტეგრებელი რგოლით. მეუქვე რგოლი – ხისტი უკუაგრძირის მოწყობილობა. გამოისახება პროპორციული რგოლით და ბოლოს მეშვიდე რგოლი – მარეგულირებელი ორგანო. შეიძლება წარმოდგენილი იქნეს, აგრეთვე, პროპორციული რგოლით.

9.39 ნახაზზე მოცემულია გასაორთქლ კამერაში ტემპერატურის სარეგულირებელი მოწყობილობის სტრუქტურული სქემა, შედგენილი 9.38 ნახაზის საფუძველზე.



ნახ.9.39. გაორთქვლის კამერაში ტემპერატურის რეგულირების მოწყობილობის სტრუქტურული სქემა

მოყვანილი მაგალითებიდან ჩანს, რომ სისტემის ელემენტების შეცვლას ტიპური დინამიკური რგოლებით მივყავართ სტრუქტურული სქემის შექმნასთან, რომელშიც ტიპური რგოლების რაოდენობა, რომლებიც გამოსახავენ გარდამავალი პროცესის თვისებებს, ნაკლებია კონსტრუქციული სქემის ელემენტების რიცხვზე. სტრუქტურული სქემის აგება

ამსუბუქებს ავტომატური რეგულირების სისტემის განტოლების შედგენას.

## §7. ავტომატური რეგულირების რბოლების სიხშირული მახასიათებლები

ავტომატური რეგულირების სისტემის თითოეული რგოლი ხასიათდება გარდამავალი პროცესის განსაზღვრული სახით, რომელიც აღიძვრება შემაშფოთებელი ზემოქმედების მოდების შედეგად რგოლის შესასვლელში. რგოლის გამომავალი სიდიდის დროში ცვლილების ხასიათი განისაზღვრება რგოლის საწყისი მდგომარეობით, მისი შინაგანი თვისებებით და შემავალი სიდიდის ცვლილების ხასიათით.

რგოლის შესასვლელში შეიძლება შეშფოთება მიწოდებული იქნეს, როგორც ერთეული ბიძგის სახით, ისე ჰარმონიული რხევის სახით.

თუ ხაზოვანი რგოლის შესასვლელში მივაწოდებთ ჰარმონიულ შეშფოთებას, მაშინ ასეთი შეშფოთების მიწოდების შემდეგ გარკვეული დროის ამოწურვისას, როდესაც მიიღევა ყველა მოძრაობა, განსაზღვრული გარდამავალი პროცესით, ელემენტარული რგოლის გამოსასვლელში დამყარდება ასევე გამოსასვლელი სიდიდის ჰარმონიული ცვლილება იმავე სიხშირით, როგორიც გააჩნია შემავალ სიდიდეს, მხოლოდ განსხვავებული ამპლიტუდითა და ფაზით.

ირკვევა, რომ გამოსასვლელში ამპლიტუდისა და ფაზის მიხედვით შეიძლება განსჯა ცალკეული განხორცული რგოლების დინამიკური თვისებების შესახებ და უფრო მეტიც, ავტომატური რეგულირების რთული ჩაკეტილი სისტემების თვისებების შესახებ.

გამოსასვლელი სიდიდის რხევის დამოკიდებულებას, რგოლის შესასვლელში მოცემულ სინუსოიდალურ რხევით ზემოქმედებაზე, სიხშირული მახასიათებელი ეწოდება.

პერიოდული შეშფოთება მიწოდებული რგოლის შესასვლელში ვთქვათ იცვლება სინუსოიდალური კანონით

$$x_{\text{შე}} = a \sin \omega t, \quad (9.39)$$

სადაც

$a$  არის შემავალი ზემოქმედების რხევის ამპლიტუდა;

$$\omega = \text{რევის } \text{კუთხური } \text{სიხშირე}, \frac{1}{\text{წ}}.$$

მაშინ ხაზოგანი რგოლის გამოსასვლელში დამყარდება, აგრეთვე, იძულებითი პერიოდული რევები

$$x_{\text{გადაც}} = A \sin(\omega t + \varphi) \quad (9.40)$$

სადაც

$A$  არის გამომავალი სიდიდის რევის ამპლიტუდა;

$\varphi$  – ფაზის მიხედვით ჩამორჩენის კუთხე.

ამპლიტუდა და ფაზა დამოკიდებულია რევის კუთხურ სიჩქარეზე და შეიცვლებიან  $\omega$ -ს ცვლილებისთან ერთად (ეს არის კანონი ყველა იძულებითი რევისათვის ბუნებაში). ამ-

პლიტუდების ფარდობა  $\frac{A}{a}$  და ფაზის გადაადგილება

სხვადასხვა სიხშირების დროს დამოკიდებულია რგოლის დინამიკურ თვისებებზე და თავის მხრივ ახასიათებენ ამ თვისებებს.

ასესხვავებენ ამპლიტუდურ-სიხშირულ, ფაზურ-სიხშირულ და ამპლიტუდურ-ფაზურ მახასიათებლებს.

დამოკიდებულებას, რომელიც უჩვენებს, თუ როგორ იცვლება სიხშირესთან ერთად რგოლის გამოსასვლელში იძულებითი რევების ამპლიტუდა, თუ შესასვლელში მიეწოდება ჰარმონიული რევები ერთეულის ტოლი ამპლიტუდით, ეწოდება ამპლიტუდურ-სიხშირული მახასიათებელი და აღინიშ-

ნება  $\frac{A}{a}(\omega)$ .

დამოკიდებულებას, რომელიც უჩვენებს, თუ  $\omega$  სიხშირის ცვლილებით, როგორ იცვლება იძულებითი რევების  $\varphi$  ფაზა გამოსასვლელში ჰარმონიული რევების ფაზასთან შეფარდებით, რომლებიც მიეწოდება რგოლის შესასვლელში, ეწოდება ფაზურ-სიხშირული მახასიათებელი და აღინიშნება  $\varphi(\omega)$ .

ამპლიტუდურ-ფაზური მახასიათებელი ამყარებს კავშირს რგოლის გამოსასვლელში ამპლიტუდასა და შესასვლელში ამპლიტუდას შორის, აგრეთვე, განსაზღვრავს გამოსასვლელზე რევების ფაზის ძრას შესასვლელთან შეფარ-

დებით სხვადასხვა სისშირეების დროს; ამპლიტუდურ-ფაზური მახასიათებელი აღინიშნება  $k(\omega)$ -თი.

ამასთან

$$k(\omega) = \frac{A}{a}(\omega) \cdot \varphi(\omega) \quad (9.41)$$

ამპლიტუდურ-ფაზური მახასიათებელი აიგება სისშირის ცვლილებისას 0-დან  $\infty$ -მდე. მისი აგება ზოგჯერ მარტივდება, თუ მას ლოგარითმებით წარმოვადგენთ. სისშირული მახასიათებლების შესახებ იხილეთ გ9-ში.

## §8. აპტომატური რეგულირების სისტემების რბოლების დიზერნციალური ბანტოლებების ჩატერის ოპერატორული ფორმა

ოპერაციული აღრიცხვის ფუძემდებელია დიდი ინგლისელი მეცნიერი ჰევისაიდი. მან ჩამოაყალიბა ფუნქციების გარდაქმნის წესები, თუმცა მათემატიკურად იგი არ დაუსაბუთებია. მოგვიანებით სხვა მეცნიერთა მიერ გამოვლინებულ იქნა კავშირი ლაპლასის გარდაქმნასა და ჰევისაიდის სიმბოლურ მეთოდს შორის. თანამედროვე ლიტერატურაში ოპერაციული აღრიცხვა ლაპლასის გარდაქმნით არის მოხსენიებული.

ლაპლასის გარდაქმნის საფუძველზე შემოღებულია სიმბოლო-ოპერატორი  $P$ , როგორც გამარტივებული პირობითი აღნიშვნა დიფერენცირების ოპერაციისა. გამოთქმა: “მოგანდინოთ უ ფუნქციის ლაპლასის გარდაქმნა” ნიშნავს: “მივცეთ უ ფუნქციას ოპერაციული ფორმა”. ამ აღნიშვნის თანახმად

$$\frac{dy}{dt} = Py; \quad \frac{d^2y}{dt^2} = P^2y; \quad \frac{d^n y}{dt^n} = P^n y \quad (9.42)$$

შესაბამისად, ინტეგრირების ოპერაციისათვის შემოიტანება უკუაღნიშვნა.

$$\int y dt = \frac{y}{P}. \quad (9.43)$$

ჩატერის ასეთი ფორმა იწოდება ოპერატორულად, ხოლო სიმბოლო  $P$  – ოპერატორად. აღნიშვნის ეს ფორმა ამცირებს

ჩანაწერების მოცულობას, ამარტივებს შუალედურ მათემატიკურ გამონაგარიშებებს რეგულირების სისტემების ანალიზის დროს\*. ამგვარად, ოპერაციული მეთოდი საშუალებას გაძლიერს საკმაოდ რთული მათემატიკური ოპერაციები – გაწარმოება და ინტეგრირება – შეცვალოთ გაცილებით მარტივი ოპერაციებით: შესაბამისად, გამრავლებითა და გაყოფით. ამასთან, წრფივ დიფერენციალურ განტოლებათა გადაწყვეტა აღგებრული მოქმედებებით სრულდება.

გარდა აღნიშნულისა, ოპერაციული აღრიცხვა საფუძვლად უდევს სისშირული ანალიზის მეთოდს. სისშირული მეთოდით კი შესაძლოა დავადგინოთ სისტემის მდგრადობა, განვსაზღვროთ სისტემის ან მისი ელემენტის დინამიკური თვისებები და მისი პარამეტრები, მაკორექტირებელ საშუალებათა სახეობა და სხვა. სისშირული ანალიზის მეთოდს მეტად დიდი გამოყენება აქვს ავტომატური რეგულირების თეორიაში.

ქვემოთ მოყვანილია დინამიკური რგოლების დიფერენციალური განტოლებები ჩაწერის ჩვეულებრივი ფორმით და ოპერატორული ფორმით:

### 1. პროპორციული რგოლი

$$x_{\dot{\theta} \circ \theta} = kx_{\ddot{\theta} \circ \theta}.$$

### 2. აპერიოდული რგოლი

$$T \frac{dx_{\dot{\theta} \circ \theta}}{dt} + x_{\dot{\theta} \circ \theta} = kx_{\ddot{\theta} \circ \theta}.$$

$$TPx_{\dot{\theta} \circ \theta} + x_{\dot{\theta} \circ \theta} = kx_{\ddot{\theta} \circ \theta}.$$

$$(TP + 1)x_{\dot{\theta} \circ \theta} = kx_{\ddot{\theta} \circ \theta}. \quad (9.44)$$

### 3. რხევითი რგოლი

\* ოპერაციული აღრიცხვის იდეაში გასარკვევად გავიხსენოთ ლოგარითმული მეთოდის არსი, რომელიც იმაში მდგრმარეობს, რომ მათემატიკური ოპერაციები – გამრავლება და გაყოფა, შეცვლილი იქნას უფრო მარტივი ოპერაციებით – მიმატებითა და გამოკლებით. ამ მიზნით ჯერ მოცემულ სიდიდეებს გამოვსახავთ ლოგარითმებში, უკანასკნელებზე ვაწარმოებთ მოქმედებებს და მიღებულ შედეგს ისევ გამოვსახავთ ნატურალური სიდიდის სახით.

$$\begin{aligned}
T_2^2 \frac{d^2 x_{\partial \wedge \partial}}{dt^2} + T_1 \frac{dx_{\partial \wedge \partial}}{dt} + x_{\partial \wedge \partial} &= kx_{\partial \wedge \partial} . \\
T_2^2 P^2 x_{\partial \wedge \partial} + T_1 P x_{\partial \wedge \partial} + x_{\partial \wedge \partial} &= kx_{\partial \wedge \partial} . \\
(T_2^2 P^2 + T_1 P + 1) x_{\partial \wedge \partial} &= kx_{\partial \wedge \partial} .
\end{aligned} \tag{9.45}$$

#### 4. მაინტეგრებელი როლი

$$\frac{dx_{\partial \wedge \partial}}{dt} = kx_{\partial \wedge \partial}$$

$$Px_{\partial \wedge \partial} = kx_{\partial \wedge \partial} .$$

#### რეალური მაინტეგრებელი როლი

$$\begin{aligned}
T \frac{d^2 x_{\partial \wedge \partial}}{dt^2} + \frac{dx_{\partial \wedge \partial}}{dt} &= kx_{\partial \wedge \partial} . \\
TP^2 x_{\partial \wedge \partial} + Px_{\partial \wedge \partial} &= kx_{\partial \wedge \partial} . \\
(TP^2 + P) x_{\partial \wedge \partial} &= kx_{\partial \wedge \partial} .
\end{aligned} \tag{9.46}$$

#### 5. მადიფერენცირებელი როლი

$$x_{\partial \wedge \partial} = k \frac{dx_{\partial \wedge \partial}}{dt} .$$

$$x_{\partial \wedge \partial} = kPx_{\partial \wedge \partial} .$$

#### რეალური მადიფერენცირებელი როლი

$$\begin{aligned}
T \frac{dx_{\partial \wedge \partial}}{dt} + x_{\partial \wedge \partial} &= k \frac{dx_{\partial \wedge \partial}}{dt} . \\
TPx_{\partial \wedge \partial} + x_{\partial \wedge \partial} &= kPx_{\partial \wedge \partial} . \\
(TP + 1) x_{\partial \wedge \partial} &= kPx_{\partial \wedge \partial} .
\end{aligned} \tag{9.47}$$

#### 6. დაგვიანებით მოქმედი როლი

$$x_{\partial \wedge \partial}(t) = kx_{\partial \wedge \partial}(t - \tau) .$$

ავტომატური რეგულირების წრფივი სისტემის (9.26) დიფერენციალური განტოლება ოპერატორული ფორმით ასე შეიძლება იქნეს ჩაწერილი:

$$\begin{aligned}
a_n P^n x_{\partial \wedge \partial} + a_{n-1} P^{n-1} x_{\partial \wedge \partial} + \dots + a_1 Px_{\partial \wedge \partial} + a_0 x_{\partial \wedge \partial} &= \\
b_m P^m x_{\partial \wedge \partial} + b_{m-1} P^{m-1} x_{\partial \wedge \partial} + \dots + b_1 Px_{\partial \wedge \partial} + b_0 x_{\partial \wedge \partial} &
\end{aligned}$$

$$(a_n P^n + a_{n-1} P^{n-1} + \dots + a_1 P + a_0) x_{\beta^{\alpha} \beta} = \\ = (b_m P^m + b_{m-1} P^{m-1} + \dots + b_1 P + b_0) x_{\beta_j \beta} \quad (9.48)$$

საჭიროა შევნიშნოთ, რომ ზოგად შემთხვევაში  $P$  წარმოადგენს კომპლექსურ რიცხვს

$$P = a + jb,$$

სადაც

$a$  არის კომპლექსური რიცხვის ნამდვილი ნაწილი;

$b$  – კომპლექსური რიცხვის წარმოსახვითი ნაწილი;

$j = \sqrt{-1}$  არა აქვს ფიზიკური აზრი და წარმოადგენს პირობით ცნებას, ხოლო კომპლექსური რიცხვი – მათემატიკურ ასტრაქციას. მაგრამ კომპლექსური რიცხვების შემოყვანა ავტომატური რეგულირების დინამიკური სისტემების თვისებების განსაზღვრის საშუალებას იძლევა. მაგალითად, განტოლებაში კომპლექსური ფენების არსებობა წარმოადგენს სისტემაში გარდამავალი პროცესების რხევითი ხასიათის ნიშანს. კომპლექსური რიცხვების გამოყენება საშუალებას იძლევა შედარებით მარტივი და თვალსაჩინო მეოთხებით იქნება გამოკვლეული ავტომატური რეგულირების სისტემების მდგრადობა და ხარისხი.

დასასრულს შევნიშნავთ, რომ სხვადასხვა წესის გამოყენებით შესრულებულია ათასზე მეტი სახის ფუნქციის ლაპლასის გარდაქმნა, რომლებიც ცხრილების სახით მოყვანილია სპეციალურ ლიტერატურაში.

**§9. ავტომატური რეგულირების სისტემების რგორებების გადამცველებები**

როგორც ზემოთ იყო აღნიშნული, რგოლის გაძლიერების კოეფიციენტი ამყარებს დამოკიდებულებას რგოლის შემავალ და გამომავალ პარამეტრებს შორის დამყარებულ რეჟიმებში; კავშირს ამ პარამეტრებს შორის უფრო ზოგად შემთხვევებში, მათ რიცხვში დაუმყარებელ რეჟიმებში, აღგენს ე.წ.

რგოლის გადამცემი ფუნქცია, რომელიც შეიძლება ასე იქნეს განმარტებული – ტიპობრივი რგოლის გადამცემი ფუნქცია ეს არის გარდამავალი პროცესის დროს გამომავალ და შემავალ სიდიდეთა შორის დამოკიდებულება, გამოსახული სათანადო დიფერენციალური განტოლებით წარმოდგენილი ოპერაციულ ფორმაში, ნულოვანი საწყისი პირობებისა და შემავალი სიდიდის მუდმივობის დროს. მაშასადამე, გადამცემი ფუნქცია შეიძლება განხილული იქნეს როგორც გამომავალი სიგნალის შეფარდება შემავალ სიგნალთან:

$$W = \frac{x_{\text{გამ}}}{x_{\text{შემ}}} . \quad (9.49)$$

განვსაზღვროთ გადამცემი ფუნქციები ტიპური დინამიკური რგოლებისათვის.

### 1. პროპორციული რგოლი

$$W(P) = \frac{x_{\text{გამ}}}{x_{\text{შემ}}} = \frac{kx_{\text{გამ}}}{x_{\text{შემ}}} = k , \quad (9.50)$$

ე.ი. პროპორციული რგოლის გადამცემი ფუნქცია ტოლია მისი გაძლიერების კოეფიციენტისა.

### 2. აპერიოდული რგოლი

$$W(P) = \frac{x_{\text{გამ}}}{x_{\text{შემ}}} = \frac{\frac{kx_{\text{გამ}}}{TP+1}}{x_{\text{შემ}}} = \frac{k}{TP+1} . \quad (9.51)$$

### 3. რხევითი რგოლი

$$W(P) = \frac{x_{\text{გამ}}}{x_{\text{შემ}}} = \frac{\frac{kx_{\text{გამ}}}{T_2^2 P^2 + T_1 P + 1}}{x_{\text{შემ}}} = \frac{k}{T_2^2 P^2 + T_1 P + 1} . \quad (9.52)$$

### 4. მაინტეგრებელი რგოლი

$$W(P) = \frac{x_{\text{გამ}}}{x_{\text{შემ}}} = \frac{\frac{kx_{\text{გამ}}}{P}}{x_{\text{შემ}}} = \frac{k}{P} . \quad (9.53)$$

რეალური მაინტეგრებელი რგოლი

$$W(P) = \frac{x_{\text{ծած}}}{x_{\text{պյան}}} = \frac{\frac{kx_{\text{պյան}}}{TP^2 + 1}}{\frac{kx_{\text{պյան}}}{TP^2 + P}} = \frac{k}{TP^2 + P}. \quad (9.54)$$

### 5. մաքուր բառականացության ըցանում

$$W(P) = \frac{x_{\text{ծած}}}{x_{\text{պյան}}} = \frac{\frac{kPx_{\text{պյան}}}{TP^2 + 1}}{\frac{kPx_{\text{պյան}}}{TP^2 + P}} = kP. \quad (9.55)$$

### բառականացության ըցանում

$$W(P) = \frac{x_{\text{ծած}}}{x_{\text{պյան}}} = \frac{\frac{kPx_{\text{պյան}}}{TP + 1}}{\frac{kPx_{\text{պյան}}}{TP + P}} = \frac{kP}{TP + 1}. \quad (9.56)$$

### 6. դաշտական մոխիմանում ըցանում

$$W(P) = \frac{x_{\text{ծած}}}{x_{\text{պյան}}} = \frac{\frac{kx_{\text{պյան}}(t - \tau)}{TP + 1}}{\frac{kx_{\text{պյան}}(t - \tau)}{TP + P}} = k(t - \tau). \quad (9.57)$$

9.48 գաճառական մոխիմանում մրացալներու նաշառական մոխիմանում մոխիմանում առաջանական է:

$$L(P)x_{\text{ծած}} = N(P)x_{\text{պյան}},$$

և այս կամաց մոխիմանում մրացալներու մոխիմանում առաջանական է:

մասնաւոր մոխիմանում մրացալներու մոխիմանում առաջանական է:

$$W(P) = \frac{x_{\text{ծած}}}{x_{\text{պյան}}} = \frac{\frac{b_m P^m + b_{m-1} P^{m-1} + \dots + b_1 P + b_0}{a_n P^n + a_{n-1} P^{n-1} + \dots + a_1 P + a_0}}{\frac{b_m P^m + b_{m-1} P^{m-1} + \dots + b_1 P + b_0}{a_n P^n + a_{n-1} P^{n-1} + \dots + a_1 P + a_0}}. \quad (9.58)$$

ըցանում առաջանական է մոխիմանում մրացալներու մոխիմանում առաջանական է:

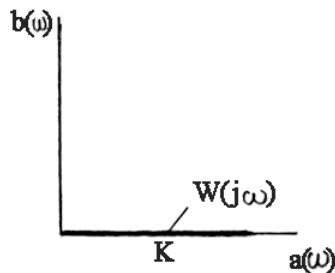
մասնաւոր մոխիմանում մրացալներու մոխիմանում առաջանական է:

### 1. Արական բառականացության ըցանում

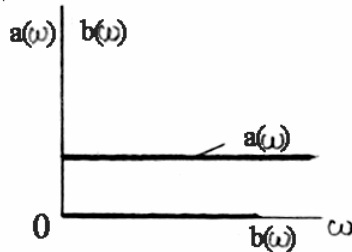
$$W(j\omega) = k. \quad (9.59)$$

յս արական բառականացության ըցանում մրացալներու մոխիմանում առաջանական է:

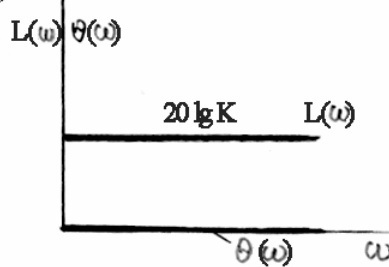
ა)



ბ)



გ)

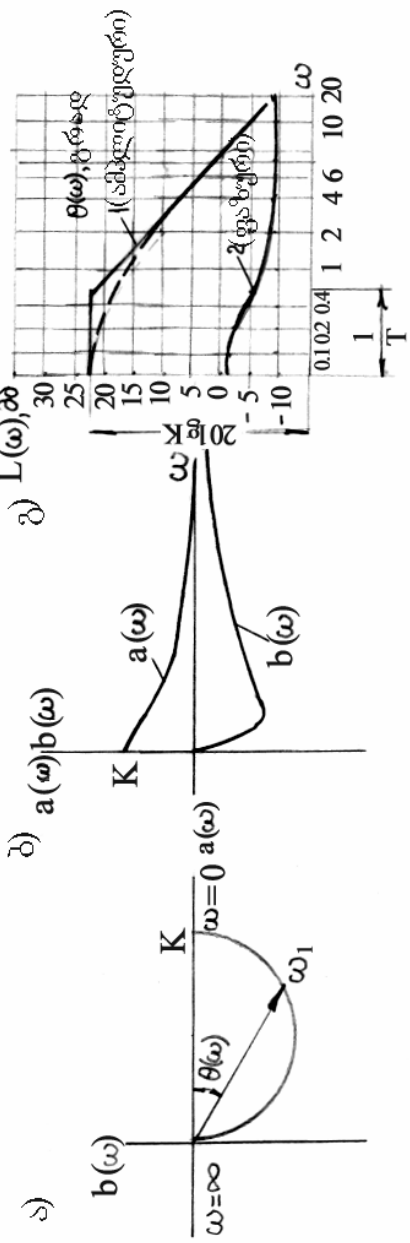


ნახ.9.40. გამაძლიერებელი რგოლის სიხშირული მახასიათებლები

## 2. აპერიოდული რგოლი

$$W(j\omega) = \frac{k}{Tj\omega + 1}. \quad (9.60)$$

ეს არის წრეხაზის განტოლება  $k$  დიამეტრით, რომელიც გადის კოორდინატთა დასაწყისში, რომლის ცენტრიც მდებარეობს ნამდვილ ღერძზე (ნახ.9.41ა).

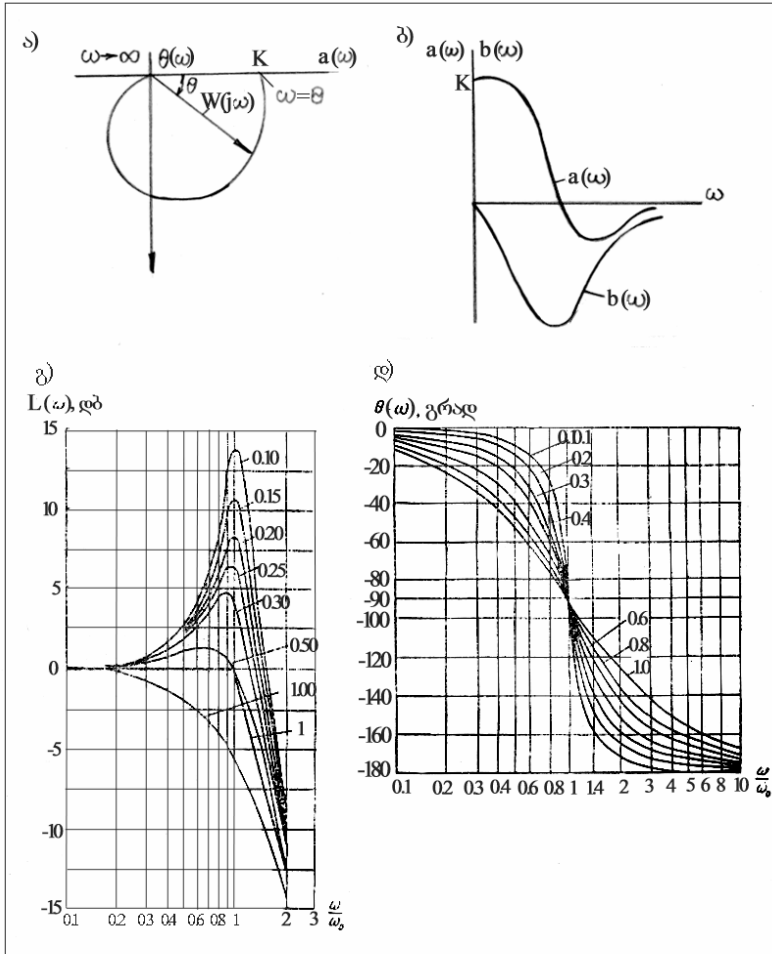


- ნახ.941. აპერიოდული რგოლის სიხშირული მახასიათებლები: ა) ამძლიტულურ-ფაზური;  
ბ) ნამდგრელი და წარმოსახვითი; გ) ლოგარითმული

### 3. რხევითი რგოლი

$$W(j\omega) = \frac{k}{T_2^2(j\omega)^2 + T_1(j\omega) + 1}. \quad (9.61)$$

ეს არის ამპლიტუდურ-ფაზურ-სინშირული მახასიათებლის განტოლება (ნახ.9.42,ა).



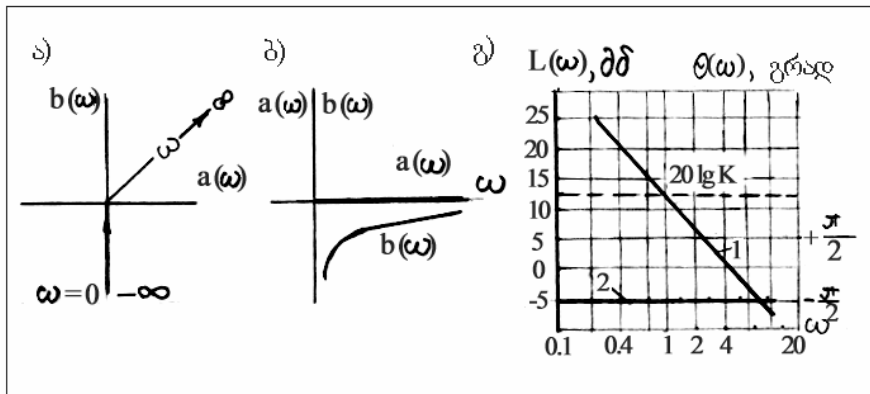
ნახ.9.42. მერხევი რგოლის სინშირული მახასიათებლები:

- ა) ამპლიტუდურ-ფაზური; ბ) ნამდვილი და წარმოსახვითი;

გ) ლოგარითმული (ამპლიტუდური); დ) ლოგარითმული (ფაზური)

$$4. \text{ მაინტეგრებელი რგოლი } W(j\omega) = \frac{k}{j\omega}. \quad (9.62)$$

ეს არის სწორის განტოლება, რომელიც ემთხვევა წარმოსახვითი დერძის უარყოფით მიმართულებას (ნახ.9.43).

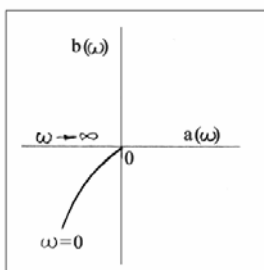


ნახ.9.43. იდეალური მაინტეგრებელი რგოლის სიხშირული მახასიათებლები: а) ამპლიტუდურ-ფაზური; б) ნამდვილი და წარმოსახვითი; გ) ლოგარითმული

რეალური მაინტეგრებელი რგოლი

$$W(j\omega) = \frac{k}{T(j\omega)^2 + j\omega}. \quad (9.63)$$

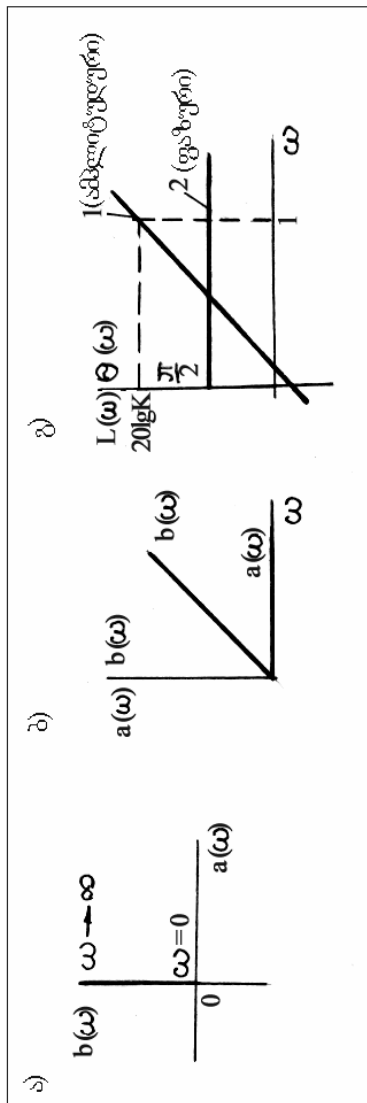
9.63 გამოსახულება წარმოადგენს ამპლიტუდურ-ფაზური მახასიათებლის განტოლებას რეალური მაინტეგრებელი რგოლისათვის. ფორმალურად ეს რგოლი შეიძლება დანაწევრდეს იდეალურ მაინტეგრებელ და აპერიოდულ რგოლებად. რეალური მაინტეგრებელი რგოლის ამპლიტუდურ-ფაზური მახასიათებელი ნაჩვენებია ნახაზზე 9.44.



ნახ.9.44. რეალური მაინტეგრირებელი რგოლის ამპლიტუდურ-ფაზური მახასიათებელი

$$5. \text{ მაღიფერენცირებელი } \text{ რგოლი } W(j\omega) = k\omega. \quad (9.64)$$

ეს არის იდეალური მაღიფერენცირებელი რგოლის ამ-პლიტუდურ-ფაზური მახასიათებლის განტოლება. თვით მახა-სიათებელი გამოისახება სწორით, რომელიც ემთხვევა წარ-მოსახვითი დერძის დადებით მიმართულებას (ნახ.9.45ა)

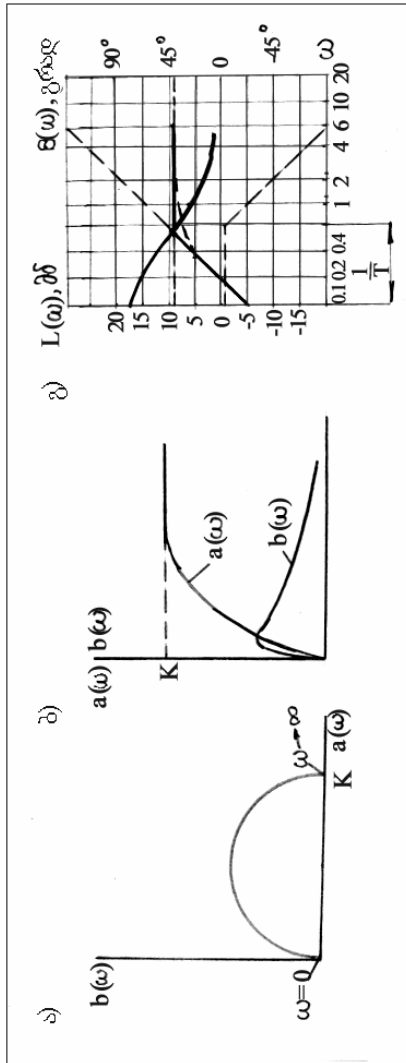


ნახ.9.45. იდეალური მაღიფერენცირებელი რგოლის სინაზიუმი მახასიათე-ბლები: ა) ამპლიტუდურ-ფაზური; ბ) ნაშეფელი და წარმოსახვითი; გ) ლოგარით-მული

## რეალური მაღიფერენცირებელი რგოლი

$$W(j\omega) = \frac{kj\omega}{Tj\omega + 1}. \quad (9.65)$$

ეს განტოლება წარმოადგენს ამპლიტუდურ-ფაზური მახსიათებლის გამოსახულებას (ნახ.9.46,ა).

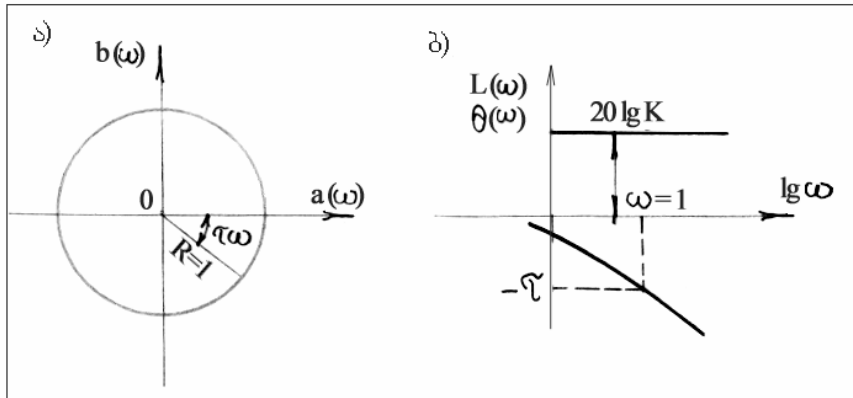


ნახ.9.46. რეალური მაღიფერენცირებელი რგოლის სისშირული მახსიათებლი: ა) ამპლიტუდურ-ფაზური; ბ) ნამდვილი და წარმოსახვითი; გ) ლოგარითმული

## 6. დაგვიანებით მოქმედი რგოლი

$$W(j\omega) = e^{-\tau\omega}. \quad (9.66)$$

ეს არის ამპლიტუდურ-ფაზური მახასიათებლის განტოლება.  $\omega$ -ს ცვლილებისას 0-დან  $\infty$ -მდე  $W(j\omega)$  ვექტორი ბრუნავს საათის ისრის მიმართულებით და არ იცვლის თავის სიგრძეს. ამრიგად, დაგვიანებით მოქმედი რგოლის ამპლიტუდურ-ფაზური მახასიათებლი წარმოადგენს წრეხაზე ცენტრით კოორდინატთა სათავეში და ერთის ტოლი რადიუსით (ნახ.9.47ა).



ნახ.9.47. დაგვიანებით მოქმედი რგოლის სიხშირული მახასიათებლები: а) ამპლიტუდურ-ფაზური; б) ლოგარითმულ-ამპლიტუდური და ლოგარითმულ-ფაზური

რხევის სიხშირის ცვლილებისას გადამცემი ფუნქციის ცვლილების ძალიან თვალსაჩინო სურათს იძლევა ე.წ. გოდოგრაფი, ე.ი. მრუდი, რომელიც წარმოადგენს გადამცემი ფუნქციის ( $W$ ) შესატყვისი მონაკვეთების ბოლოების წერტილების გეომეტრიულ ადგილს, რომელიც შეესაბამება სიხშირის სხვადასხვა მნიშვნელობებს 0-დან  $\infty$ -მდე. ხაზოვანი რგოლებისა და სისტემებისათვის გადამცემი ფუნქცია  $W$  არ არის დამოკიდებული შემავალი რხევის ამპლიტუდაზე და განისაზღვრება მხოლოდ სიხშირით  $\omega$ , მაშასადამე, გოდოგრაფის თითოეულ წერტილს შეესაბამება სიხშირის განსაზღვრული მნიშვნელობა ან როგორც მიღებულია გამოთქმა

“სიხშირული ნიშანი”. ტიპური რგოლების გოდოგრაფების მაგალითები ზემოთ არის მოყვანილი.

ზემოთ აღნიშნული იყო, რომ ამპლიტუდურ-ფაზური მახასიათებლის აგება სიხშირის ცვლილებისას 0-დან  $\infty$ -მდე მარტივდება მისი ლოგარითმებით წარმოდგენის შედეგად.

პროპორციული რგოლის შემთხვევაში ნამდვილი (a) და წარმოსახვითი (b) სიხშირული მახასიათებლების განტოლებებია:

$$a(\omega) = k - \kappa\theta_0, \quad \text{პარალელური სიხშირეების დერძისა;}$$

$b(\omega) = 0 - \kappa\theta_0, \quad \text{რომელიც ემთხვევა სიხშირეების დერძს (ნახ.9.40ბ).}$

ამპლიტუდურ-სიხშირული მახასიათებელი

$$A(\omega) = \sqrt{a^2(\omega) + b^2(\omega)} = \sqrt{k^2} = k. \quad (9.67)$$

ლოგარითმულ-ამპლიტუდურ-სიხშირული მახასიათებელი\*

$$L(\omega) = 20 \lg k. \quad (9.68)$$

ლოგარითმულ ფაზურ-სიხშირული მახასიათებელი (ნახ. 9.40გ)

$$\theta(\omega) = \arctg \frac{b(\omega)}{a(\omega)} = \frac{0}{k} = 0. \quad (9.69)$$

აპერიოდული რგოლის ნამდვილი და წარმოსახვითი სიხშირული მახასიათებლების განტოლებებია:

$$a(\omega) = \frac{k}{T^2 \omega^2 + 1}; \quad (9.70)$$

$$b(\omega) = -\frac{k T \omega}{T^2 \omega^2 + 1}. \quad (9.71)$$

\* ხშირად ორდინატთა დერძზე დააქვთ  $\lg A(\omega)$ -ის 20-ჯერ გადიდებული მნიშვნელობა, და ასეთ ერთეულს დეტიბელი ეწოდება, რომელთა რაოდენობაც აღინიშნება L-ით. სიხშირეთა ინტეგრალს, რომელიც მდებარეობს სიხშირის ნებისმიერ მნიშვნელობასა და მის გაორეკეცებულ მნიშვნელობას შორის, ოქტაგა ეწოდება, ხოლო ინტერვალს, მოქცეულს ნებისმიერ სიხშირესა და მის გაათკეცებულ მნიშვნელობას შორის, დეკადა ეწოდება. შევნიშნავთ, რომ ლოგარითმული მახასიათებლები საშუალებას იძლევა განისაზღვროს სისტემის რეაქცია. უფრო ზოგად შემთხვევაში, როცა შეჭიროთება ატარებს არა სინუსოიდალურ, არამედ უფრო რთულ ხასიათს, მაგალითად გააჩნია საფეხურისებრი ზემოქმედების ფორმა.

ამპლიტუდური და ფაზური სიხშირული მახასიათებლების განტოლებებია:

$$A(\omega) = \sqrt{a^2(\omega) + b^2(\omega)} = \frac{k}{\sqrt{T^2\omega^2 + 1}} = \frac{k}{T\sqrt{\omega^2 + \frac{1}{T^2}}}; \quad (9.72)$$

$$\theta(\omega) = \operatorname{arctg} \frac{b(\omega)}{a(\omega)} = -\operatorname{arctg} T\omega. \quad (9.73)$$

9.72 გამოსახულების გალოგარითმებით მივიღებთ ლოგარითმულ ამპლიტუდურ-სიხშირულ მახასიათებელს

$$L(\omega) = 20 \lg k - 20 \lg T \sqrt{\omega^2 + \frac{1}{T^2}}. \quad (9.74)$$

ლოგარითმულ-სიხშირული მახასიათებლები წარმოდგენილია ნახაზზე 9.41გ.

რხევითი რგოლის ნამდვილი და წარმოსახვითი სიხშირული მახასიათებლების განტოლებებია:

$$a(\omega) = \frac{k(1 - T_1 T_2 \omega^2)}{(1 - T_1 T_2 \omega^2)^2 + T_2^2 \omega^2}; \quad (9.75)$$

$$b(\omega) = \frac{k T_2 \omega}{(1 - T_1 T_2 \omega^2)^2 + T_2^2 \omega^2}. \quad (9.76)$$

ნახაზზე 9.42ბ მოყვანილია ნამდვილი და წარმოსახვითი სიხშირული მახასიათებლები – აგებული 9.75 და 9.76 განტოლებებით.

ამპლიტუდურ-სიხშირული მახასიათებლის განტოლებაა

$$A(\omega) = \frac{k \omega_0^2}{\sqrt{(\omega_0^2 - \omega^2)^2 + (2\xi\omega_0\omega)^2}}, \quad (9.77)$$

სადაც  $\omega_0 = \sqrt{\frac{1}{T_1 T_2}}$  არის შეუდლების ფარდობითი სიხშირე;

$$\xi = \sqrt{\frac{T^2}{4T_1}} - \text{მიღევადობის ფარდობითი კოეფიციენტი.}$$

ფაზურ-სიხშირული მახასიათებლის განტოლებას აქვს სახე:

$$\theta(\omega) = -\arctg \frac{2\xi\omega_0\omega}{\omega_0^2 - \omega^2} = -\arctg \frac{2\xi\frac{\omega}{\omega_0}}{1 - (\frac{\omega}{\omega_0})^2}. \quad (9.78)$$

ლოგარითმულ ამპლიტუდურ-სინშირული მახასიათებელი მიიღება (9.77) გამოსახულების გალოგარითმებით

$$L(\omega) = 20 \lg k + 20 \lg \omega_0^2 - 20 \lg \sqrt{(\omega_0^2 - \omega^2)^2 + (2\xi\omega_0\omega)^2}. \quad (9.79)$$

ლოგარითმულ-სინშირული მახასიათებლები წარმოდგვნილია ნახ.9.42გ.დ.

იდეალური მაინტეგრებელი რგოლის ნამდვილი და წარმოსახვითი სინშირული მახასიათებლების განტოლებებია:

$$a(\omega) = 0; \quad (9.80)$$

$$b(\omega) = -\frac{k}{\omega}; \quad (9.81)$$

რომელთა მიხედვითაც აგებულია ეს მახასიათებლები (ნახ.9.43ბ)

ამპლიტუდური და ფაზურ-სინშირული მახასიათებლების განტოლებებია

$$A(\omega) = \sqrt{a^2(\omega) + b^2(\omega)} = \frac{k}{\omega}. \quad (9.82)$$

$$\theta(\omega) = \arctg \frac{b(\omega)}{a(\omega)} = -\arctg \infty = -\frac{\pi}{2}. \quad (9.83)$$

ლოგარითმულ-ამპლიტუდურ-სინშირულ მახასიათებლის განტოლებას მივიღებთ (9.82) გამოსახულების გალოგარითმებით,

$$L(\omega) = 20 \lg k - 20 \lg \omega. \quad (9.84)$$

ეს მახასიათებელი წარმოდგენილია ნახაზზე 9.43გ.

9.64 გამოსახულებიდან უშეალოდ ვპოულობთ იდეალური მადიფერენცირებელი რგოლის ნამდვილ და წარმოსახვით სინშირულ მახასიათებლების განტოლებებს

$$a(\omega) = 0; \quad (9.85)$$

$$b(\omega) = k\omega. \quad (9.86)$$

ამ მახასიათებლების გრაფიკები მოყვანილია ნახ.9.45ბ-ზე.

ამპლიტუდური და ფაზურ-სიხშირული მახასიათებლების განტოლებებია

$$A(\omega) = \sqrt{a^2(\omega) + b^2(\omega)} = \sqrt{(k\omega)^2} = k\omega; \quad (9.87)$$

$$\theta(\omega) = \operatorname{arctg} \frac{b(\omega)}{a(\omega)} = \operatorname{arctg} \frac{k\omega}{a(\omega)} \rightarrow 0 = \frac{\pi}{2}. \quad (9.88)$$

ლოგარითმულ ამპლიტუდურ-სიხშირული მახასიათებლის განტოლებას მივიღებთ 9.87 გამოსახულების გალოგარითმებით,

$$L(\omega) = 20 \lg k\omega. \quad (9.89)$$

იდეარული მადიფერენცირებელი რგოლის ლოგარითმულ-ფაზურ-სიხშირული მახასიათებელი წარმოდგენილია 9.45,გ ნახაზზე.

რეალური მადიფერენცირებელი რგოლის ნამდვილი და წარმოსახვითი სიხშირული მახასიათებლების განტოლებებია:

$$a(\omega) = \frac{kT^2 \omega^2}{T^2 \omega^2 + 1}; \quad (9.90)$$

$$b(\omega) = \frac{kT\omega}{T^2 \omega^2 + 1}. \quad (9.91)$$

ნახაზზე 9.46ა აგებულია ამპლიტუდურ-ფაზური მახასიათებელი, რომელიც წარმოადგენს ნახევარწრეს, ცენტრით ნამდვილ ღერძზე, რომელიც განლაგებულია პირველ კვადრანტში და რომელიც გადის კოორდინატთა დასაწყისში.

9.90 და 9.91 გამოსახულებების მიხედვით აგებულია ნამდვილი და წარმოსახვითი სიხშირული მახასიათებლები (ნახ.9.46ბ).

ამპლიტუდურ და ფაზურ-სიხშირული მახასიათებლების განტოლებებია

$$A(\omega) = \sqrt{a^2(\omega) + b^2(\omega)} = \frac{kT\omega}{T \sqrt{\omega^2 + \frac{1}{T^2}}}, \quad (9.92)$$

$$\theta(\omega) = \operatorname{arctg} \frac{b(\omega)}{a(\omega)} = \operatorname{arctg} \frac{1}{T\omega}. \quad (9.93)$$

ლოგარითმულ ამპლიტუდურ-სიხშირულ მახასიათებელს მივიღებთ 9.92 გამოსახულების გალოგარითმებით,

$$L(\omega) = 20 \lg kT\omega - 20 \lg T \sqrt{\omega^2 + \frac{1}{T^2}}. \quad (9.94)$$

ლოგარითმულ ფაზურ-სიხშირული მახასიათებელი (ნახ.9.46 მრუდი 4) აგებულია წერტილების მიხედვით 9.93 გამოსახულების დახმარებით.

გამოსახულება (9.66) ტრიგონომეტრიული ფორმით

$$W(j\omega) = e^{-j\omega} = \cos \tau\omega - j \sin \tau\omega. \quad (9.95)$$

ნამდვილი და წარმოსახვითი სიხშირული მახასიათებლების განტოლებებია:

$$a(\omega) = \cos \tau\omega, \quad (9.96)$$

$$b(\omega) = -\sin \tau\omega. \quad (9.97)$$

$\omega$ -ს შეცვლისას 0-დან  $\infty$ -მდე ნამდვილი და წარმოსახვითი სიხშირული მახასიათებლები წარმოადგენენ შესაბამისად კოსინისოდს და სინუსოდს ერთის ტოლი ამპლიტუდით.

ამპლიტუდური-სიხშირული მახასიათებლის განტოლებას აქვს სახე

$$A(\omega) = \sqrt{a^2(\omega) + b^2(\omega)} = \sqrt{\cos^2 \tau\omega + \sin^2 \tau\omega} = 1. \quad (9.98)$$

$$\begin{aligned} \text{ლოგარითმულ-ამპლიტუდური} & \text{ სიხშირული მახასიათებელი} \\ L(\omega) &= 20 \lg 1 = 0 \end{aligned} \quad (9.99)$$

წარმოადგენს სწორს, რომელიც ემთხვევა აბსცისათა დერძს ანუ ხაზს 0 დეციბელით.

ფაზურ-სიხშირული მახასიათებლის განტოლებაა

$$\theta(\omega) = \operatorname{arctg} \frac{b(\omega)}{a(\omega)} = -\operatorname{arctg} \frac{\sin \tau\omega}{\cos \tau\omega} = -\tau\omega. \quad (9.100)$$

$\omega$ -ს ცვლილებისას 0-დან  $\infty$ -მდე  $\theta(\omega)$  იცვლება 0-დან  $-\infty$ -მდე (ნახ.9.47,ბ).

დასასრულს იბადება კითხვა – რისთვისაა საჭირო ზემო მოვანილი ანალიზი და რად გვინდა საერთოდ ამპლიტუდურ-ფაზური მახასიათებლების მეოთიდი? პასუხი ასეთია. როდესაც ავტომატური სისტემის ან მისი ცალკეული ელემენტის განტოლება უცნობია ან მისი შედგენა გარკვეულ სიძნელეებთან არის დაკავშირებული, ასეთ შემთხვევაში ამპლიტუდურ-ფაზური მახასიათებლების მეოთიდის გამოსაყენებლად ექსპრიმენტულად ავაგებთ ამ რგოლების

(ელემენტების) ამპლიტუდურ-ფაზურ მახასიათებლებს, რაც საშუალებას მოგცემს განვხაზდვროთ სისტემის ან მისი ელემენტის დინამიკური თვისებები და მისი პარამეტრები. გარდა ამისა, სისტერული ძეთოდი, საშუალებას იძლევა შევაფასოთ ცალკეული რგოლების პარამეტრების გავლენა სისტემის მდგრადობაზე. განსაკუთრებით ეს ეხება ერთკონტურიან სისტემებს, ე.ი. ისეთებს, რომლებშიც ყველა რგოლი შეერთებულია თანმიმდევრობით, ერთი მეორის მიყოლებით და ქმნიან ერთიან ჩაკეტილ წრედს (კონტურს). მეთოდი საშუალებას იძლევა გადაწყვდეს საკითხი არა მხოლოდ სისტემის მდგრადობის შესახებ, არამედ შეფასდეს გარდამავალი პროცესის ხასიათი. ზოგიერთი ცვლილებით მეთოდი შეიძლება გამოყენებული იქნეს სისტემების მდგრადობის ანალიზისათვის, რომლებშიც შედის არა მხოლოდ ხაზოვანი, არამედ არახაზოვანი (არაწრფივი) რგოლებიც და სხვ.

შევნიშნავთ, რომ მესამე რიგზე მაღალი დიფერენციალური განტოლებების გადაწყვეტა წარმოადგენს მნიშვნელოვან სიძნელეს. ამიტომ, ასეთი განტოლებების გადასაწყვეტად ყველაზე ხშირად მიმართავენ ხოლმე გამომთვლელ მანქანებს, ან როგორც ზემოთ იყო ნაჩვენები, იყენებენ გაანგარიშების სისშირულ მეთოდებს. თუმცა სისშირული გამოკვლევები ხელსაყრელია იმ შემთხვევებში, როდესაც სისტემის ზოგიერთი რგოლისათვის, რომელიც ადგილად ექვემდებარება მაკეტირებას, უფრო ადვილია სისშირული მახასიათებლების ექსპერიმენტალურად განსაზღვრა, ვიდრე დინამიკის დიფერენციალური განტოლებების შედგენა.

## §10. ავტომატური რეგულირების ჟრიზი სისტემების დიზერჩინიალური განტოლებები

რეგულირების ან მართვის პროცესის ანალიზი შეიძლება შესრულდეს სხვადასხვა წესით: გაანგარიშების გზით, ექსპერიმენტალურად და გაანგარიშების ექსპერიმენტოან კომბინირების გზით. რეგულირების პროცესის გასანგარიშებლად საჭირო სისტემის ყველა რგოლის დინამიკის განტოლების შედგენა. ექსპერიმენტისათვის უნდა

გაგვაჩნდეს რეგულატორის კონსტრუქცია ნატურაში ან მოქმედი მაკეტის სახით, და უნდა გვქონდეს, აგრეთვე, თვითონ ობიექტი. მაგრამ, მხოლოდ ექსპერიმენტით ვერ ხერხდება ავტომატური რეგულატორის შექმნა. გაანგარიშების კომბინირება ექსპერიმენტთან ხშირად ხდება ხელსაყრელი, იმიტომ რომ სისტემის ერთი ნაწილისათვის (მაგალითად, სუფთა ელექტრული და ელექტრონული) ხდება, რომ უფრო ადვილია აგებული იქნეს მოქმედი მაკეტი, ვიდრე შედგენილი იქნეს განტოლება, ხოლო მეორე ნაწილისათვის – პირიქით. ამასთან დიდი მნიშვნელობა აქვს ავტომატური მართვის პროცესების დინამიკის მოდელირებას ელექტრონული მათემატიკური მანქანების გამოყენებით.

როდესაც ცნობილია ცალკეული რგოლების (რომლებადაც არის დანაწევრებული ავტომატური რეგულირების სისტემა) დიფერენციალური განტოლებები და გადამცემი ფუნქციები და აგებულია სტრუქტურული სქემა, რომელიც გვიჩვენებს, როგორ არიან ეს რგოლები ერთმანეთთან შეერთებული, შეიძლება შედგენილი იქნეს მთლიანობაში ავტომატური რეგულირების სისტემის დიფერენციალური განტოლება. გამოკვლევების დროს ზოგჯერ წარმოიქმნება აუცილებლობა განხილული იქნეს გახსნილი სისტემის ქცევა. გახსნილი სისტემის მისაღებად, საჭიროა კაგშირის გაწვევა თრ ნებისმიერ მქზობელ რგოლს შორის. წვეულებრივ განროვა ხდება სარეგულირებელი ობიექტის გამოსასვლელსა და საკუთრივ რეგულატორის შესასვლელს შორის (კვეთი A ნახაზებზე 9.36 და 9.37).

გახსნილ სისტემაში რეგულატორის შესასვლელზე სიდიდის მიწოდებისას, რომელიც შეესაბამება ნამდვილი სიდიდის გადახრას მოცემული მნიშვნელობიდან, სარეგულირებელი ობიექტის გამოსასვლელზე მიიღება სარეგულირებელი სიდიდის მნიშვნელობები, დამოკიდებული სისტემის პარამეტრებისაგან და შესასვლელზე სიდიდის ცვლილების ხასიათისაგან.

ავტომატური რეგულირების სისტემის გახსნილი და შეკრული მდგომარეობების შესაბამისად შეიძლება შედგენილი იქნეს გახსნილი და შეკრული სისტემების დიფერენციალური განტოლებები.

მაგალითის სახით შევადგინოთ მარტივი ობიექტის – დონის რეგულირების (იხ. ნახ.9.12) დიფერენციალური განტოლება.

ჭურჭელში მიეწოდება წყალი  $Q_n$   $\text{მ}^3/\text{წ}$  რაოდენობით და იხარჯება  $Q_p$   $\text{მ}^3/\text{წ}$  რაოდენობით. როდესაც სარეგულირებელი ობიექტი იმყოფება წონასწორობაში, მოდენა ტოლია სარჯისა, ე.ი.

$$\begin{aligned} Q_n &= Q_p, \\ \text{ხოლო,} \quad Q_n - Q_p &= 0; \end{aligned} \quad (9.101)$$

ამასთან  $h$  დონე არ იცვლება და, მაშასადამე, დონის გადახრა მოცემული მნიშვნელობიდან  $\Delta h = 0$ .

თუ მიწოდებული ან დახარჯული წყლის რაოდენობა შეიცვლება, მაშინ მისი დონე ჭურჭელში, აგრეთვე, შეიცვლება.

ვთქვათ ახალი მიწოდებაა  $Q_{n1}$ , ხოლო ახალი ხარჯი  $Q_{p1}$ ; მაშინ:

$$Q_{n1} = Q_n + \Delta Q_n; \quad (9.102)$$

$$Q_{p1} = Q_p + \Delta Q_p, \quad (9.103)$$

სადაც  $\Delta Q_n$  და  $\Delta Q_p$  არის შესაბამისად მიწოდებისა და ხარჯის ნაზარდები.

წყლის რაოდენობა წამში, რომელიც მიდის დონის გაზრდაზე, ტოლი იქნება მიწოდებისა და ხარჯის სხვაობისა, ე.ი.  $Q_{n1}-Q_{p1}$ . ეს სხვაობა (9.102) და (9.103)-ის გათვალისწინებით იქნება ტოლი

$$Q_{n1} - Q_{p1} = Q_n + \Delta Q_n - Q_p - \Delta Q_p.$$

მაგრამ 9.101-ის თანახმად  $Q_n = Q_p$ , მაშინ

$$Q_{n1} - Q_{p1} = \Delta Q_n - \Delta Q_p. \quad (9.104)$$

მეორეს მხრივ, წყლის მოცულობა, რომელიც დროის ერთეულში წავიდა დონის გაზრდაზე, ტოლია

$$Q_{n1} - Q_{p1} = S \frac{d(\Delta h)}{dt}, \quad (9.105)$$

სადაც  $S$  არის ჭურჭლის ფუძის ფართობი;

$$\frac{d(\Delta h)}{dt} - \text{დონის შეცვლის სიჩქარე.}$$

ჩვენს ობიექტში ხარჯი ჭურჭლიდან დამოკიდებულია წყლის დონის სიმაღლეზე:

$$Q_p = f(h).$$

თუ  $\Delta h$  მცირება, მაშინ პირველ მიახლოებაში შეიძლება ჩაითვალოს, რომ

$$\Delta Q_p = k_1 \Delta h, \quad (9.106)$$

სადაც  $k_1 = \frac{dQ_p}{dh}$  არის მუდმივი კოეფიციენტი.

გადავწეროთ 9.104 განტოლება 9.105-ის გათვალისწინებით:

$$Q_{n1} - Q_{p1} = \Delta Q_n - \Delta Q_p = S \frac{d(\Delta h)}{dt},$$

საიდანაც

$$S \frac{d(\Delta h)}{dt} + \Delta Q_p = \Delta Q_n.$$

თუ ჩავსვამთ უკანასკნელ ტოლობაში  $\Delta Q_p$ -ის მნიშვნელობას 9.106 ფორმულიდან, მივიღებთ:

$$S \frac{d(\Delta h)}{dt} + k_1 \Delta h = \Delta Q_n. \quad (9.107)$$

აღნიშნოთ სარეგულირებელი სიდიდის გადახრა  $\Delta h$  მოცემული მნიშვნელობიდან დროის მოცემულ მომენტში  $x_{\text{შემ-ით}}$ . მაშინ 9.107 განტოლება შეიძლება გადაწერილი იქნეს შემდეგი სახით:

$$S \frac{dx_{\text{შემ-ით}}}{dt} + k_1 x_{\text{შემ-ით}} = x_{\text{შემ-ით}}.$$

გავჭიოთ ბოლო ტოლობის ყველა წევრი  $k_1$ -ზე, მივიღებთ

$$T \frac{dx_{\text{შემ-ით}}}{dt} + x_{\text{შემ-ით}} = k x_{\text{შემ-ით}},$$

სადაც

$$T = \frac{S}{k_1} \quad \text{არის დროის მუდმივა;}$$

$$k = \frac{1}{k_1} - \text{ობიექტის გაძლიერების კოეფიციენტი.}$$

მიღებული განტოლება არის აპერიოდული რგოლის პირველი რიგის დიფერენციალური განტოლება (იხ. განტოლება 9.7). ამ განტოლებიდან ჩანს, რომ რეგულირების პროცესის გამოკვლევისათვის აუცილებელია არა მხოლოდ სარეგულირებელი სიდიდის  $x_{გაზ}$ -ის ცოდნა, არამედ მისი წარმოებულისაც  $\frac{dx_{გაზ}}{dt}$ , ე.ი. მისი დროში ცვლილების სიჩარე.

ახლა გადავიდეთ უფრო რთულ მაგალითზე და შევადგინოთ რკინაბეტონის კონსტრუქციების გასაორთქლი კამერის დიფერენციალური განტოლება.

როგორც ცნობილია რკინაბეტონის ნაკეთობათა ქარხნებში ბეტონის გამაგრების ხანგრძლივობა მირითადად განსაზღვრავს კონსტრუქციის დამზადების დროს. ამიტომ გამაგრების ინტენსივურია არსებითად ამცირებს საწარმოო პროცესის ხანგრძლივობას. დამუშავების თბური მეთოდი ყველაზე ეფუქტურად და ფართოდ გამოიყენება რკინაბეტონის ნაკეთობების დამზადების დროს.

ამჟამად ბეტონის გამაგრების დაჩქარების შემდეგი თბური მეთოდები გამოიყენება: თბოტენიანობით დამუშავება ორთქლჭაერიან გარემოში  $60-80^0\text{C}$  ტემპერატურის დროს; გაჯერებული ორთქლის გარემოში დამუშავება ნორმალური წნევისა და  $95-100^0\text{C}$  ტემპერატურის დროს; ნაკეთობების კონტაქტური გათბობა თბომატარებლით, რომელიც ცირკულირებს ჩაკერილ სივრცეში, რომელიც აკრავს ბეტონის ნაკეთობის ზედაპირს; ბეტონის დამუშავება ცხელი წყლით ბასეინებში; ბეტონის გახურება ელექტროდენით, რომლის გატარებაც ხდება გასამაგრებელ ბეტონში; ინფრაწითელი სხივების დახმარებით; ბეტონის ცხელი ვიბროდაწნება; ცხელი ფორმირება და ავტოკლავებში დამუშავება გაჯერებული წყლის ორთქლის გარემოში  $0,8-1,5 \text{ MPА}$  წნევისა და  $175-200^0\text{C}$  ტემპერატურის დროს.

რკინაბეტონის ნაკეთობათა ქარხნები თბოტენიანობითი დამუშავებისათვის აღჭურვილია პერიოდული და უწყვეტი ქმედების დანადგარებით. პერიოდული ქმედების დანადგარებს მიეკუთვნება ისეთები, რომლებშიც თბური დამუშავების პროცესი მიმდინარეობს პერიოდებით (ციკლებით), ე.ი. ნაკუ-

თობები ხურდება დანადგარებთან ერთდროულად განსაზღვრული დროით, რის შემდეგაც დანადგარი და ნაკეთობა ცივდება. ასეთი პროცესები მეორდება, სითბოს გადაცემის პრინციპის მიხედვით პერიოდული ქმედების დანადგარები იყოფა ორ ჯგუფად:

1. როდესაც დასამუშავებელი ნაკეთობები უშუალოდ ეხებიან თბომატარებელს და მათ შორის სწარმოებს სითბოს მასობრივი გაცვლა;

2. როდესაც ნაკეთობის გახურება ხორციელდება გამყოფი ზედაპირის გავლით. ამ შემთხვევაში იქმნება უფრო ხელსაყრელი პირობები ბეტონის სტრუქტურის ფორმირებისათვის და დამუშავების დრო მცირდება 10-20%-ით შედარებით დია ფორებში დამუშავებასთან.

პირველი ჯგუფის პერიოდული ქმედების დანადგარებს მიეკუთვნება გასაორთქლი კამერები, სტენდები და ავტოკლავები, ხოლო მეორე ჯგუფისას – კასეტები, პაკეტები, მატრიცები, მოცულობით-ჩამომყალიბებელი მოწყობილობები.

უწყვეტი ქმედების დანადგარები რკინაბეტონის ნაკეთობათა ქარხნებში გამოიყენება კონვეირული ტიპის. კონსტრუქციული ნიშნის მიხედვით მათი დაყოფა შეიძლება ორ კატეგორიად:

ჰორიზონტალური – გვირაბის ტიპის;

გერტიკალური – კოშკურა ტიპის.

კამერების მუშაობის ეკონომიურობა ხასიათდება ორთქლის ხარჯით ნაკეთობის დამუშავებაზე და შეიძლება შეადგენდეს 420-დან 1000 კგ/მ<sup>3</sup>.

გასაორთქლი კამერების ბრუნვადობა შეადგენს ერთიდან ორ ციკლამდე, ხოლო კასეტური დანადგარებისა – ერთიდან სამ ციკლამდე დღეელამეში.

გასაორთქლი კამერა წარმოადგენს პერიოდული ქმედების ყველაზე გავრცელებულ აგრეგატს, რკინაბეტონის ნაკეთობათა თბოტენიანობითი დამუშავების რეჟიმის განსახორციელებლად. ცნობილია გასაორთქლი კამერის შემდეგი ტიპები:

ორმოს ფორმის გასაორთქლი კამერა პერფორირებული ორთქლსადენის გაშლის ქვედა სისტემით;

პროფ. ლ.ა. სემიონოვის უდაწეო გასაორთქლი კამერა პერფორირებული ორთქლსადენების ქვედა და ზედა გაშლით და უკუმილით ორთქლპაერიანი ნარევის არინებისათვის.

პროფ. ა.ა. ვოზნესენსკის გასაორთქლი კამერა ორთქლის მიწოდებით ლავალის საქშენით.

კამერები აღჭურვილია ჰიდრავლიკური საკეტებით სახურავების პერმეტიზაციისათვის და გამწოვი ვენტილაციით კამერების და ნაკეთობების გასაცივებლად პროცესის დამთავრების შემდეგ.

ორმოს სახის გასაორთქლ კამერებში თბოტენიანობითი დამუშავება წარმოებს ორთქლპაერიან გარემოში ატმოსფერული წნევისა და 60-90°C ტემპერატურის დროს.

ლ.ა. სემიონოვის უდაწეო გასაორთქლ კამერებში პროცესი ხორციელდება ხორმალური წნევის გაჯერებული ორთქლის გარემოში 95-100°C ტემპერატურის დროს. პროცესის დასაწყისში ორთქლი მიეწოდება ქვედა პერფორაციულ მილებში, რის შედეგადაც კამერა და ნაკეთობა თანდათანობით ხურდება. 85-90°C ტემპერატურის დროს ქვედა მილსადენების სისტემა ითიშება და ორთქლის მიწოდება იწყება ზემოდან. გამშრალი ორთქლი თანდათანობით კამერიდან გამოაძევებს გაჯერებულ ორთქლპაერიან ნარევს უკუმილის გავლით. მიმდინარეობს იზოთერმული პროცესი.

ა.ა. ვოზნესენსკის კამერაში ორთქლი მიეწოდება ამაღლებული სიჩქარით. ეს ათანაბრებს ტემპერატურულ გელს და აუმჯობესებს თბოგადაცემას ორთქლპაერის გარემოსა და ნაკეთობას შორის. ეფექტურობის ამაღლების ასეთი მეთოდი ორთქლის ხარჯისა და ნაკეთობის თბური დამუშავების ხანგრძლივობის დაახლოებით ორჯერ შემცირების საშუალებას იძლევა.

კამერების ავტომატიზაციის სისტემის შესარჩევად აუცილებელია ნაკეთობის დამუშავების რეკომენდებული რეჟიმის ცოდნა, რომელიც ხასიათდება ნაკეთობის წინასწარი დაყოვნებით თბური დამუშავების დაწყებამდე, კამერაში ტემპერატურის აწევის ინტენსივობით, ტემპერატურითა და იზოთერმული გახურების ხანგრძლივობით, ბეტონის გაგრილების სიჩქარით გაცივების დროს.

დასაშვები მაქსიმალური სიჩქარე გარემოს ტემპერატურის აწევისა კამერაში შეადგენს 20-დან 35 გრადუსამდე საათში. გასაორთქლი კამერების თბური პროცესების ავტომატიზაცია ყველაზე მიზანშეწონილია განხორციელდეს ნაკეთობის ტემპერატურის მიხედვით, მაგრამ გამზომი აპარატურის უქონლობა ამ მიზნისათვის გვაიძულებს ამ პროცესის მართვას ორთქლპაერიანი გარემოს ტემპერატურის მიხედვით, რომელშიც იმყოფება დასამუშავებელი ნაკეთობა.

გასაორთქლი კამერის დინამიკის განტოლების შესადგენად ვისარგებლოთ ენერგიის მუდმივობის კანონით. კამერაში დროის ერთეულში შედის სითბოს  $Q_1$  რაოდენობა, რომელიც ისარჯება კამერის, ფორმების და ბეტონის ნაკეთობების გახურებაზე, წყლის აორთქლებას, გარემოს გახურებასა, აგრეთვე,  $Q_2$  დანაკარგებზე. შევადგინოთ თბური ბალანსის განტოლება დროის  $dt$  ინტერვალისათვის:

$$G_n C_n d\theta = (Q_1 - Q_2) dt, \quad (9.108)$$

სადაც

$G_n$  არის თერმოტენიანი გარემოს მასა;

$G_n$  – გარემოს თბოტევადობა.

(9.108) დინამიკის განტოლებიდან ვღებულობთ

$$G_n C_n \frac{d\theta}{dt} = Q_1 - Q_2.$$

სტატიკის განტოლება იქნება

$$Q_1 - Q_2 = 0. \quad (9.109)$$

9.108 და 9.109 განტოლებებიდან მივიღებთ ობიექტის (გასაორთქლი კამერა) დიფერენციალურ განტოლებას ნაზღებში

$$G_n C_n \frac{d\Delta\theta}{dt} = \Delta Q_1 - \Delta Q_2. \quad (9.110)$$

გსაზღვრავთ, რა ფაქტორები ახდენენ გავლენას  $\Delta Q_1$  და  $\Delta Q_2$ -ზე:

1.  $\Delta Q_1 = f_1(\theta, h, t),$

სადაც  $h$  არის მარეგულირებელი ორგანოს გადაადგილება.

დავშალოთ ეს გამოსახულება ტეილორის რიგად მცირე ნაზრდების მიხედვით და უკუვაგდოთ ყველა წევრი პირველ რიგზე მაღალი:

$$\Delta Q_1 = \frac{\partial Q_1}{\partial \theta} \Delta \theta + \frac{\partial Q_1}{\partial h} \Delta h; \quad (9.111)$$

$$2. \Delta Q_2 = f_2(\theta, t) + Q_{yT}(t),$$

სადაც  $Q_{yT}(t)$  არის ორთქლის გაპარვის სიდიდე.

დავშალოთ ეს გამოსახულება ტეილორის რიგად:

$$\Delta Q_2 = \frac{\partial Q_2}{\partial \theta} \Delta \theta + Q_{yT}(t). \quad (9.112)$$

ჩავსვათ 9.111 და 9.112 განტოლებები 9.110 განტოლებაში:

$$G_n C_n \frac{d(\Delta \theta)}{dt} = \frac{\partial Q_1}{\partial h} \Delta h + \frac{\partial Q_1}{\partial \theta} \Delta \theta - \frac{\partial Q_2}{\partial \theta} \Delta \theta - Q_{yT}(t);$$

გარდაქმნის შემდეგ მივიღებთ:

$$G_n C_n \frac{d(\Delta \theta)}{dt} + \left( \frac{\partial Q_2}{\partial \theta} - \frac{\partial Q_1}{\partial \theta} \right) \Delta \theta = \frac{\partial Q_1}{\partial h} \Delta h - Q_{yT}(t). \quad (9.113)$$

გადავიდეთ ფარდობით სიდიდეებზე:

$$\frac{\Delta \theta}{\theta_{\max}} = \varphi \quad - \quad \text{სარეგულირებელი} \quad \text{სიდიდის} \quad \text{ფარდობითი}$$

მნიშვნელობა;

$$\frac{\Delta h}{h_{\max}} = \mu_1 \quad - \quad \text{მარეგულირებელი} \quad \text{ორგანოს} \quad \text{ფარდობითი}$$

გადაადგილება;

$$\frac{\Delta Q_{yT}}{Q_{yT \max}} = \lambda_1 \text{ გაპარვის} \quad (\text{შემცვოთების}) \quad \text{ფარდობითი}$$

მნიშვნელობა.

ჩავსვათ 9.113 გამოსახულებაში ეს აღნიშვნები:

$$G_n C_n \theta_{\max} \frac{d\varphi}{dt} + \left( \frac{\partial Q_2}{\partial \theta} - \frac{\partial Q_1}{\partial \theta} \right) \theta_{\max} \varphi = \frac{\partial Q_1}{\partial h} h_{\max} \mu_1 - \lambda_1. \quad (9.114)$$

შემოვიდოთ შემდეგი აღნიშვნები:

$$T = \frac{G_n C_n \theta_{\max}}{Q_{1 \max}} - \text{ობიექტის} \text{ გაქანების} \text{ დრო};$$

$$A = \frac{Q_{\max}}{Q_{l_{\max}}} \left( \frac{\partial Q_2 - \partial Q_1}{\partial \theta} \right) - \text{რეგულირების ობიექტის თვითგა-}$$

თანაბრების მახასიათებელი კოეფიციენტი.

თვითგათანაბრება განიხილება, როგორც გასაორთქლ კამერაში გარემოს ტემპერატურის უნარი თვითნებურად მივიღეს ახალ დამყარებულ მნიშვნელობამდე ავტომატური რეგულატორის დახმარების გარეშე. თვითგათანაბრება ხასიათდება კოეფიციენტით, რომელიც გასაორთქლი კამერისათვის ნულზე მეტია (დადგებითია).

ჩავსვათ T და A-ს გამოსახულებები 9.114 განტოლებაში:

$$T \frac{d\varphi}{dt} + A \cdot \varphi = \mu_1 - \lambda_1. \quad (9.115)$$

9.115 განტოლების მარცხენა და მარჯვენა ნაწილები გავყოთ A-ზე:

$$\frac{T}{A} \cdot \frac{d\varphi}{dt} + \varphi = \frac{1}{A} \mu_1 - \frac{1}{A} \lambda_1$$

ანუ

$$T_0 \dot{\varphi} + \varphi = k\mu - \lambda, \quad (9.116)$$

სადაც

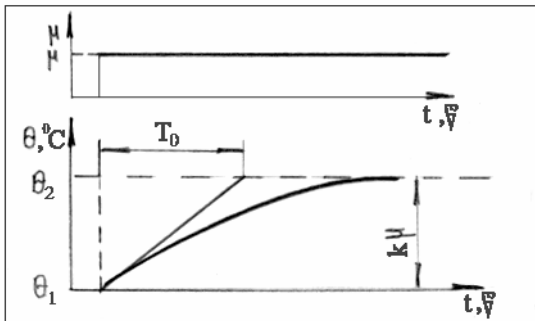
$T_0$  არის ობიექტის დროის მუდმივა, წ;

$k$  – ობიექტის გადაცემის კოეფიციენტი.

9.116 დიფერენციალური განტოლების ამოხსნით ნახებომისებური შეშფოთებისა და ნულოვანი საწყისი პირობების დროს, მივიღებთ:

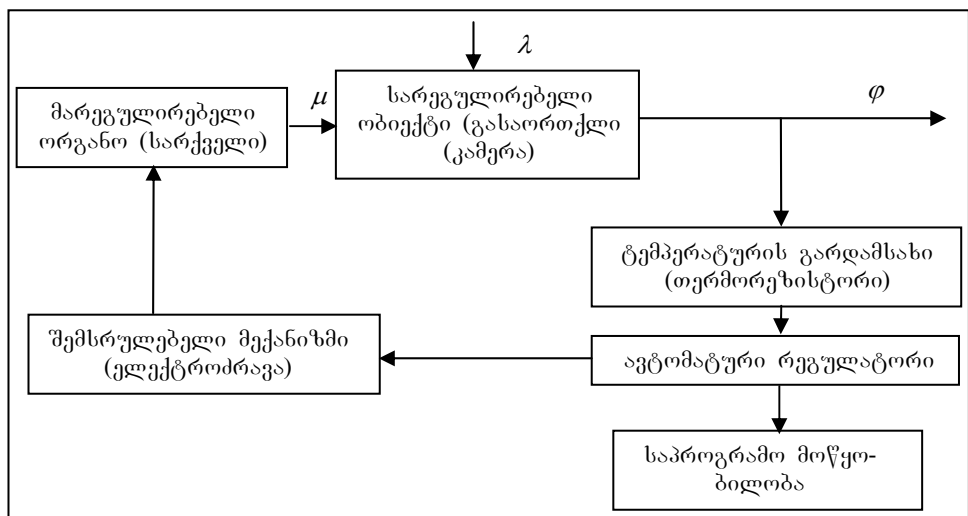
$$\varphi = k\mu \left( 1 - e^{-\frac{t}{T_0}} \right). \quad (9.117)$$

ამრიგად, თბური პროცესი კამერაში, შემაშფოთებელი მოქმედების ნახტომისებურად შეცვლისას მიმდინარეობს ექსპონენციალურად (ნახ.9.48).

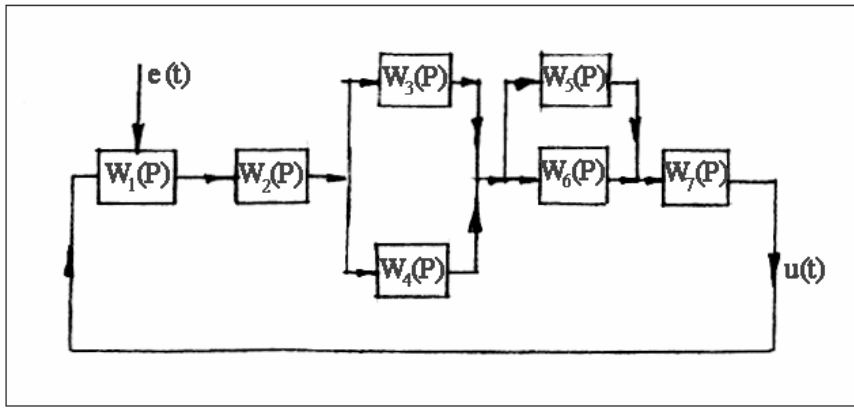


ნახ.9.48. გარდამა-  
ვალი პროცესი გა-  
ორთქვლის კამერაში  
ტემპერატურის რეგუ-  
ლირების დროს

ნახ.9.49 მოცემულია გასაორთქლ კამერაში ორთქლჰაე-  
რიანი გარემოს ტემპერატურის ავტომატური რეგულირების  
სისტემის ფუნქციონალური სქემა, ხოლო 9.50 ნახაზზე სტრუ-  
ქტურული სქემა. ამ უკანასკნელის მიხედვით შევადგინოთ  
ავტომატური რეგულირების სისტემის გადამცემი ფუნქცია.



ნახ.9.49. გასაორთქლ კამერაში ორთქლჰაერიანი გარემოს ტემ-  
პერატურის ავტომატური რეგულირების სისტემის ფუნქციონალური  
სქემა



ნახ.9.50. გაორთქვლის კამერაში ტემპერატურის რეგულირების მოწყობილობის სტრუქტურული სქემა

ცალკეული რგოლების (ავტომატური რეგულირების სისტემის ელემენტების) გადამცემი ფუნქციები შეიძლება ასე იქნან ჩაწერილი:

$$W_1(P) = \frac{k_1}{T_2^2 P^2 + T_1 P + 1}; W_2(P) = \frac{k_2}{T_3 P + 1}; W_3(P) = k_3;$$

$$W_4(P) = \frac{T_4 P}{T_4 P + 1}; W_5(P) = -\frac{1}{T_5 P}; W_6(P) = -k_4; W_7(P) = k_5.$$
(9.118)

სისტემის გადამცემი ფუნქციისათვის გვექნება:

$$W(P) = W_1(P)W_2(P)[W_3(P) + W_4(P)] \left[ \frac{W_5(P)}{1 + W_5(P)W_6(P)} \right] W_7(P),$$

ას

$$W(P) = \left[ \frac{k_1}{T_2^2 P^2 + T_1 P + 1} \right] \left[ \frac{k_3}{T_3 P + 1} \right] \left[ k_3 + \frac{T_4 P}{T_4 P + 1} \right] \left[ -\frac{1}{T_5 P + k_4} \right] k_5. \quad (9.119)$$

რადგან

$$\frac{W_5(P)}{1 + W_5(P)W_6(P)} = -\frac{1}{T_5 P \left( 1 + \frac{k_4}{T_5 P} \right)} = -\frac{1}{k_4 + T_5 P},$$

ამიტომ

$$W(P) = \frac{-k_1 k_2 k_5 [k_3 (1 + T_4 P) + T_4 P]}{(T_2^2 P^2 + T_1 P + 1)(1 + T_3 P)(1 + T_4 P)(k_4 + T_5 P)},$$

სადაც

$$W(P) = \frac{k_0 + T_0(P)}{k_4 + T_{01}P + T_{02}^2 P^2 + T_{03}^3 P^3 + T_{04}^4 P^4 + T_{05}^5 P^5}, \quad (9.120)$$

სადაც

$$k_0 = k_1 k_2 k_3 k_5; \quad T_0 = k_1 k_2 k_5 (k_3 T_4 + T_4);$$

$$T_{01} = k_4 T_1 + k_4 T_3 + k_4 T_4 + T_5;$$

$$T_{02}^2 = k_4 T_2^2 + k_4 T_1 T_3 + T_1 T_5 + k_4 T_1 T_4 + k_4 T_3 T_4 + T_4 T_5 + T_3 T_5;$$

$$T_{03}^3 = k_4 T_2^2 T_3 + T_2^2 T_5 + T_3 T_4 T_5 + T_1 T_4 T_5 + k_4 T_2^2 T_4 + k_4 T_1 T_3 T_4 + T_1 T_3 T_5;$$

$$T_{04}^4 = T_3 T_2^2 T_5 + k_4 T_2^2 T_3 T_4 + T_2^2 T_4 T_5 + T_1 T_3 T_4 T_5;$$

$$T_{05}^5 = T_2^2 T_3 T_4 T_5.$$

მაშასადამე, გაორთქლვის კამერის, როგორც რეგულირების ობიექტის შესწავლისას დგინდება:

კამერას გააჩნია თვითგათანაბრების დადებითი კოეფიციენტი;

ორთქლპაერიანი გარემოს ტემპერატურა ორთქლის მიწოდების ან გადაკეტვის დროს იმატებს ექსპონენციალური კანონით;

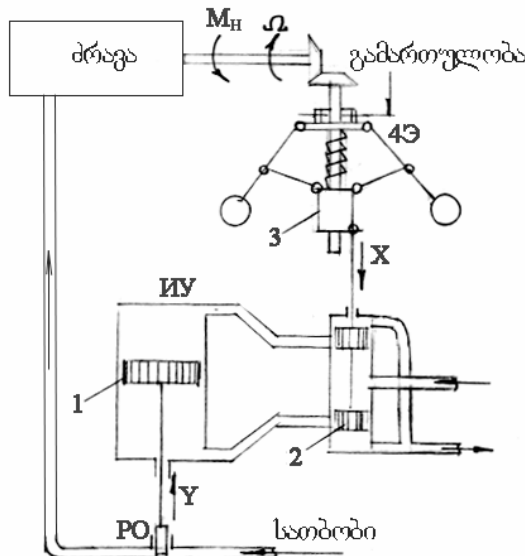
ამ ექსპონენტის დროის მუდმივა საკმარისად დიდია.

ამრიგად, გასაორთქლი კამერა ავტორეგულირების სისტემისათვის წარმოადგენს აპერიოდულ რგოლს დროის დიდი მუდმივათი. ეს საშუალებას იძლევა გამოყენებული იქნეს ორპოზიციანი რეგულირება. ანალოგიური განტოლებებით აიწერება კასეტური დანადგარები და თერმოფორმები.

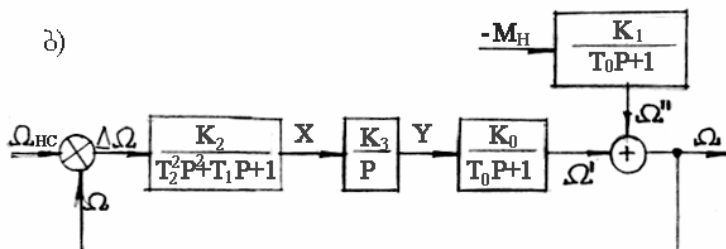
კიდევ უფრო გავართულოთ სარეგულირებელი ობიექტი და განვიხილოთ თბური ძრავას სიჩქარის რეგულირების (სტაბილიზაციის) ავტომატური სისტემის დიფერენციალური განტოლების და გადამცემი ფუნქციის შედგენა. თბური ძრავას კონსტრუქციული (პრინციპიალური) და სტრუქტურული სქემები მოცემულია 9.51 ნახატზე.

სტრუქტურულ სქემაზე (ნახ.9.51ბ) აღნიშნულია:  $\Omega_{HC}$  – გა-  
მართულობის დაყვანილი ან ექვივალენტური კუთხური  
სიჩქარე, განსაზღვრული ცის-ის ზამბარის შეკუმშვის  
ძალით;  $\Omega'$ -საფარის უ გადაადგილებით გამოწვეული  
კუთხური სიჩქარის მდგენელი, ხოლო  $\Omega''$  – დატვირთვის  
მომენტით  $M_H$  გამოწვეული ამასთან  $\Omega = \Omega' + \Omega''$  და შეც-  
დომა ანუ გადახრა  $\Delta\Omega = \Omega_{HC} - \Omega$ . მგრძნობიარე ელემენტს  
(რე) წარმოადგენს სიჩქარის ცენტრიდანული საზომი  
(ცის). შემსრულებელ ელემენტს (ИУ) წარმოადგენს პიდ-  
რავლიკური ძრავა, რომელიც შედგება ცის ქურო 3-თან  
დაკავშირებული მკვეთარისაგან (2), და საფართან ან  
სარეგულირებელ ორგანოსთან (РО) დაკავშირებულ ძა-  
ლური დგუშისაგან (1).

ა)



ბ)



ნახ.9.51. თბური ძრავას სიჩქარის რეგულირების ავტომატური სისტემის სქემები: а) პრინციპული; б) სტრუქტურული

1. ძრავა წარმოადგენს ობიექტს და მისი გაწრფივებული განტოლება შეიძლება წარმოვადგინოთ სახით:

$$(T_0 P + 1)\Omega = k_0 y - k_1 M_H, \quad (9.121)$$

სადაც

$\Omega$  არის კუთხური სიჩქარე;

$T_0$  – დროის მუდმივა;

$y$  – საფარის გადადგილება;

$M_H$  – დატვირთვის მომენტი;

$k_0, k_1$  – გადაცემის კოეფიციენტები.

**2.** სიჩქარის ცენტრიდანული საზომის განტოლება იქნება

$$(T_2^2 P^2 + T_1 P + 1)x = k_2 \Delta\Omega, \quad (9.122)$$

სადაც

$x$  არის ქუროს და მკვეთარას გადადგილება;

$T_2, T_1$  - ცის-ის დროის მუდმივები;

$k_2$  – გადაცემის კოეფიციენტი.

**3.** პიდრაცლიკური ძრავა

$$Py = k_3 x, \quad (9.123)$$

სადაც  $k_3$  არის გადაცემის კოეფიციენტი.

გახსნილი სისტემის გადამცემი ფუნქცია მოცემული ზემოქმედების  $\Omega_{HC}$  მიხედვით:

$$W(P) = \frac{\Omega(P)}{\Omega_{HC}(P)} = \frac{k_0 k_2 k_3}{P(T_0 P + 1)(T_2^2 P^2 + T_1 P + 1)}, \quad (9.124)$$

ხოლო შემფოთების (დატვირთვის)  $M_H$  მიხედვით:

$$W_f(P) = \frac{\Omega(P)}{M_H(P)} = -\frac{k_1}{T_0 P + 1}. \quad (9.125)$$

შეკრული სისტემის გადამცემი ფუნქცია სარეგულირებელი სიდიდის  $\Omega$  მიხედვით:

$$\Phi(P) = \frac{\Omega(P)}{\Omega_{HC}(P)} = \frac{W(P)}{1 + W(P)} = \frac{k_0 k_2 k_3}{P(T_0 P + 1)(T_2^2 P^2 + T_1 P + 1) + k_0 k_2 k_3}. \quad (9.126)$$

შეკრული სისტემის გადამცემი ფუნქცია შეცდომის (გადახრის)  $\Delta\Omega$  მიხედვით:

$$\Phi_x(P) = \frac{\Delta\Omega(P)}{\Omega_{HC}(P)} = \frac{1}{1 + W(P)} = \frac{P(T_0 P + 1)(T_2^2 P^2 + T_1 P + 1)}{P(T_0 P + 1)(T_2^2 P^2 + T_1 P + 1) + k_0 k_2 k_3}. \quad (9.127)$$

შეკრული სისტემის გადამცემი ფუნქცია შემფოთების  $M_H$  მიხედვით:

$$\Phi_f(P) = \frac{\Omega(P)}{M_H(P)} = \frac{W_f(P)}{1 + W(P)} = -\frac{k_1 P (T_2^2 P^2 + T_1 P + 1)}{P(T_0 P + 1)(T_2^2 P^2 + T_1 P + 1) + k_0 k_2 k_3}. \quad (9.128)$$

კუთხური სიჩქარის სტაბილიზაციის ავტომატური სისტემის მოძრაობის დიფერენციალური განტოლება სარე-

გულირებელი სიდიდის ( $\Omega_1$ ) მიმართ, შესაბამისად მოცემული ზემოქმედების ( $\Omega_{HC}$ ) და შემფოთების ( $M_H$ ) დროს:

$$\left. \begin{aligned} & [P(T_0 P + 1)(T_2^2 P^2 + T_1 P + 1) + k_0 k_2 k_3] \Omega(t) = k_0 k_2 k_3 \Omega_{HC}(t) \\ & (a_0 P^4 + a_1 P^3 + a_2 P^2 + a_3 P + a_4) \Omega(t) = b_0 \Omega_{HC}(t), \end{aligned} \right\} \quad (9.129)$$

სადაც

$$\left. \begin{aligned} & a_0 = T_0 T_2^2, a_1 = T_2^2 + T_0 T_1, a_2 = T_0 + T_1, a_3 = 1, a_4 = b_0 = k_0 k_2 k_3 \\ & [P(T_0 P + 1)(T_2^2 P^2 + T_1 P + 1) + k_0 k_2 k_3] \Omega(t) = \\ & = -k_1 P(T_2^2 P^2 + T_1 P + 1) M_H(t) \\ & (a_0 P^4 + a_1 P^3 + a_2 P^2 + a_3 P + a_4) \Omega(t) = \\ & = -(d_0 P^3 + d_1 P^2 + d_2 P) M_H(t), \end{aligned} \right\} \quad (9.130)$$

სადაც  $d_0 = k_1 T_2^2, d_1 = k_1 T_1, d_2 = k_1$ .

გულირებელი სიჩქარის სტაბილიზაციის სისტემის მოძრაობის დიფერენციალური განტოლება შეცდომის (გადახრის) ( $\Delta\Omega$ ) მიმართ, შესაბამისად მოცემული ზემოქმედების ( $\Omega_{HC}$ ) და შემფოთების ( $M_H$ ) მიხედვით:

$$\left. \begin{aligned} & [P(T_0 P + 1)(T_2^2 P^2 + T_1 P + 1) + k_0 k_2 k_3] \Delta\Omega(t) = \\ & = P(T_0 P + 1)(T_2^2 P^2 + T_1 P + 1) \Delta\Omega_{HC}(t); \\ & P[(T_0 P + 1)(T_2^2 P^2 + T_1 P + 1) + k_0 k_2 k_3] \Delta\Omega(t) = \\ & = k_1 P(T_2^2 P^2 + T_1 P + 1) M_H(t). \end{aligned} \right\} \quad (9.131)$$

ამპლიტუდურ-ფაზური მახასიათებელი ნებისმიერი კომპლექსური რიცხვის მაგგარად, შეიძლება წარმოდგენილი იქნას გრაფიკულად სწორკუთხა კოორდინატებში, როგორც გეომეტრიული ჯამი ნამდვილი  $a$  და წარმოსახვითი  $b$  ნაწილებისა:

$$W(j\omega) = a(j\omega) + b(j\omega). \quad (9.132)$$

თუ ჩავსვამო ამ განტოლებაში  $\omega$ -ს მნიშვნელობებს 0-დან  $\infty$ -მდე, მივიღებთ ვაქტორებს სხვადასხვა ამპლიტუდებითა და ფაზებით. ვაქტორების ბოლოების შეერთებით ნარჩარი მრუდით, მივიღებთ ამპლიტუდურ-ფაზური მახასიათებლის გრდოგრაფს.

## §11. ავტომატური რეგულირების წრფივი სის- ტემების მდგრადობის გამოკვლევა

ავტომატური რეგულირების სისტემების\* მუშაობის პრო-  
ცესში განიცდიან სხვადასხვაგვარ შემაშფოთებელ ზემოქმედე-  
ბებს, რომლებსაც სისტემა გამოჰყავთ დამყარებული რეჟიმი-  
დან, წონასწორობის მდგრადობიდან და სარეგულირებელ  
სიდიდეს გადახსრიან მოცემული მნიშვნელობიდან. რეგულა-  
ტორი მიისწრაფვის სარეგულირებელი სიდიდის მოცემულ  
მნიშვნელობასთან მიყვანას. სისტემის გადასვლა ერთი მდგრ-  
ადობიდან მეორეში მასების, ტევადობების და ა.შ. არსებო-  
ბის შედეგად არ შეიძლება მოხდეს მყისიერად. შემაშფო-  
თებელი ზემოქმედებისა და მისი მომდევნო რეგულატორის  
აღმდეგნი ზემოქმედებების შედეგად სისტემაში აღიძვრება  
გარდამავალი პროცესები.

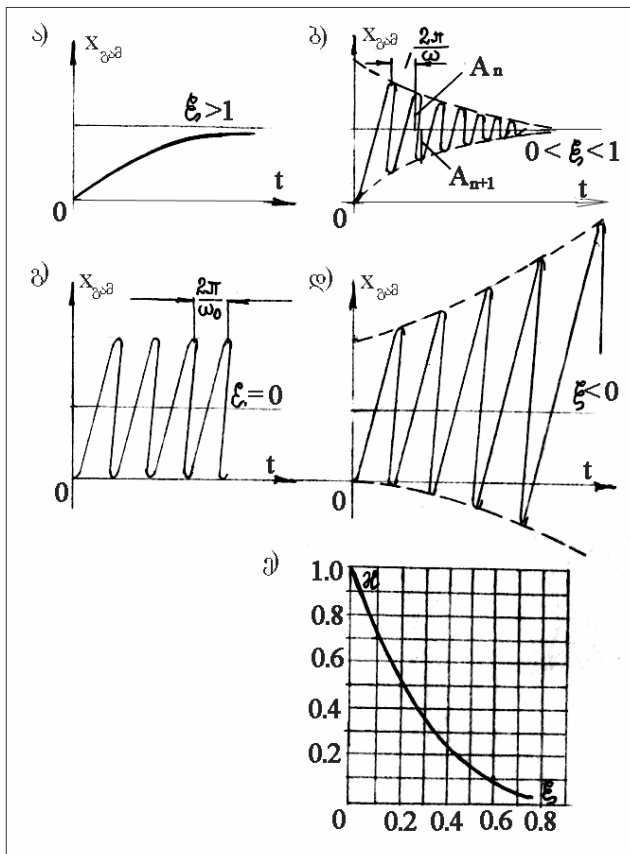
ამასთან, შეიძლება ადგილი ჰქონდეს გარდამავალი პრო-  
ცესის სამ სახეს:

1. სარეგულირებელი სიდიდე, რომელიც შემაშფოთებელი  
ზემოქმედებების შედეგად გადაიხსარა მოცემული მნიშვნელო-  
ბიდან, დროის განმავლობაში რეგულატორის ზემოქმედების  
შედეგად უბრუნდება მოცემულ მნიშვნელობას სიზუსტით,  
რომელიც პასუხობს რეგულატორის სტატიკურ ცდომილებას.  
ასეთ გარდამავალ პროცესს ეწოდება კრებადი, ხოლო რეგუ-  
ლირების სისტემას – მდგრადი (ნახ.9.52ბ).

2. სარეგულირებელი სიდიდე, რომელიც შემაშფოთებელი  
ზემოქმედებების შედეგად გადაიხსარა მოცემული მნიშვნელო-  
ბიდან, დროის განმავლობაში რეგულატორის ზემოქმედების  
შედეგად კი არ უახლოვდება, არამედ თეორიულად უსა-

\* ავტომატური სისტემა ხასიათდება შიგა და გარე პარამეტრებით. შიგა პარამეტრებს მიეკუთვნება სისტემაში შემავალი ტიპური როლების დროის მუდმივები, გაძლიერების კეფიციენტები და სხვ. შიგა პარამეტრები განსაზღვრავს თვით ავტომატური სისტემის თვისებებს. გარე პა-  
რამეტრებს მიეკუთვნება სისტემაში გარედან შეკვანილი პარამეტრები – პროგრამა, ძირითადი შეშეცილება და დაბრკოლებანი (ძირითადი შეშეცი-  
ლების სიდიდის გათვალისწინება შესაძლებელია, ხოლო ყოველი სახის დაბრკოლების და, მთთ უმეტეს, მათი სიდიდის გათვალისწინება თითქმის შეუძლებელია). გარე პარამეტრები დამოკიდებული არ არიან ავტომატური სისტემის შიგა ბუნებაზე და, ამიტომაც, ისინი სრულებით არ გამოსახავენ ავტომატური სისტემის თვისებებს.

ზღვროდ სცილდება მოცემულ მნიშვნელობას აპერიოდულად ან რხევებით, რომელთა ამპლიტუდაც განუწყვეტლივ იზრდება. ასეთ გარდამავალ პროცესს ეწოდება განმლადი, ხოლო რეგულირების სისტემას – არამდგრადი (ნახ. 9.52 ა, გ).



ნახ. 9.52. რხევითი რგოლის რეაქცია შემაგალი სიდიდის ნახტომისებურ ცვლილებაზე: ა) აპერიოდული პროცესი; ბ) რხევითი მლივი პროცესი; გ) რხევითი არამლივი პროცესი; დ) მზარდი რხევები (უარყოფითი დაწყნარების გიპოტეტიური შემთხვევა); ე) დაწყნარების ხარისხსა და ამპლიტუდების კლების კოეფიციენტს  $\mathcal{H}$  შორის კავშირი.  $\omega_0$  - არადებაფირებული რხევის საკუთარი სიხშირე, რად/წ;  $\xi$  - დემპფირების (დაწყნარების) ხარისხი;  $A$  - ამპლიტუდა

შევნიშნავთ, რომ რეალურ პირობებში არ შეიძლება მოხდეს რაიმე ფიზიკური პარამეტრის უსაზღვრო გადახრა მოცემული მნიშვნელობიდან, ისევე, როგორც შეუძლებელია რჩევები უსაზღვროდ ზრდადი ამპლიტუდით.

გადახრები შემოსაზღვრულია ელემენტების თვისებებით: ელექტრული მანქანების გაჯერებით, დგუშების მაქსიმალური სვლით, ძრავების განსაზღვრული სიმძლავრით და ა.შ. თუმცა წარმოქმნილი რჩევები ან სარეგულირებელი სიდიდის არაკონტროლირებადი გადახრები შეიძლება იყოს დაუშვებელი მოწყობილობის დაცულობის, უსაფრთხოების და სხვ. მოსაზრებებით.

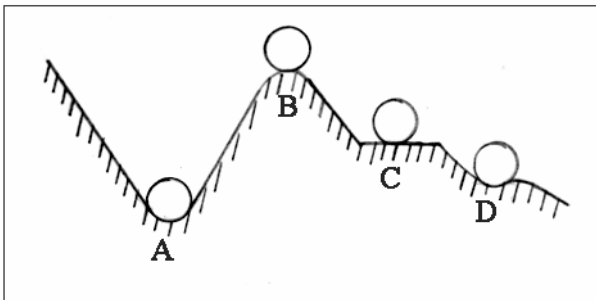
3. სარეგულირებელი სიდიდე, რომელიც შემაშფოთებელი ზემოქმედების შედეგად გადაისარა მოცემული მნიშვნელობიდან, დროის განმავლობაში რეგულატორის ზემოქმედების შედეგად დამყარებულ სიდიდეს კი არ უბრუნდება, არამედ ასრულებს არამილევად რჩევებს ამპლიტუდით, რომელიც დამოკიდებულია საწყისი პირობებისაგან. ასეთ გარდამავალ პროცესს ეწოდება რჩევითი, ხოლო რეგულირების წრფივ სისტემას – მდგრადობის საზღვარზე მყოფი (ნახ.9.52გ).

არაწრფივ სისტემებში შეიძლება აღიძგრადი რჩევები მუდმივი ამპლიტუდით, რომლის სიდიდეც არ არის დამოკიდებული საწყისი პირობებისაგან, რომლებისკენაც სისტემა ბრუნდება ნებისმიერი შემაშფოთებელი ზემოქმედების მოხსნის შემდეგ. ასეთი სისტემები განიხილება, როგორც მდგრადი რჩევების მქონენი.

ავტომატური რეგულირების არამდგრადი სისტემები პრაქტიკულად გამოუსადეგარია და, ამიტომ, აუცილებელია სისტემების მდგრადობის გამოკვლევა.

რაიმე სტატიკური სისტემის წონასწორობის მდგრადობის განსასაზღვრავად, უნდა შევისწავლოთ ამ სისტემის ქცევა წონასწორობის მდგომარეობიდან მცირე გადახრების დროს.

მაგალითად, იმისათვის, რომ განსაზღვრული იქნას სფეროს მდგრადობა A მდგომარეობაში (ნახ.9.53), ამისათვის მას უნდა მივანიჭოთ მცირე გადახრა და განვიხილოთ ამისაგან აღძრული ძალების მოქმედება. A მდგომარეობიდან ნებისმიერი მცირე სიდიდით სფეროს გადახრისას, აღიძვრება ძალები, რომლებიც დააბრუნებენ მას საწყის მდგომარეობაში, და, მაშასადამე, წონასწორობის ეს მდგომარეობა მდგრადია.



ნახ.9.53. წონა-სწორობის სხვა-დასხვა სახე

სფეროს მცირე გადახრისას წონასწორობის მდგომარეობიდან B წერტილში, აღიძვრება ძალები, რომლებიც განაგრძობენ სფეროს გადახრას წონასწორობის მდგომარეობიდან, რომელიც მოცემულ შემთხვევაში წარმოადგენს არამდგრადს.

სფერო, განლაგებული ჰორიზონტალურ სიბრტყეზე C წერტილში იმყოფება განურჩეველ წონასწორობაში, რადგან მისი გადახრისას C წერტილიდან არავითარი დამატებითი ძალები არ აღიძვრება. სფერო, განლაგებული D წერტილში, იმყოფება ნახევრადმდგრად წონასწორობაში.

სისტემის მდგრადობას უსასრულოდ მცირე გადახრების დროს ეწოდება მდგრადობა მცირეში. ხშირად სისტემები, რომლებიც მდგრადი არიან მცირეში, აღმოჩნდებიან მდგრადები სასრულო საკმარისად დიდი გადახრების დროსაც. ე.ი. სისტემა აღმოჩნდება მდგრადი დიდში. გვხვდება სისტემები, მდგრადი მცირეში, მაგრამ არამდგრადი დიდში.

9.53 ნახაზზე სფერო განლაგებული A წერტილში, არ კარგავს წონასწორობას იქამდე, ვიდრე გადახრები არ სცილდება B წერტილს. სისტემა მდგრადია მცირეში, მაგრამ დიდში იგი მდგრადია მხოლოდ განსაზღვრულ არეში.

ავტომატური რეგულირების სისტემების გამოკვლევის დროს განიხილავენ მდგრადობას მცირეში, ე.ი. სისტემის ქცევას სარეგულირებელი სიდიდის დამყარებული მნიშვნელობიდან მცირე გადახრების დროს.

წრფივ სისტემებში მდგრადობა მცირეში უზრუნველყოფს მდგრადობას დიდშიც.

არაწრფივი სისტემა, მდგრადი მცირეში, შეიძლება აღმოჩნდეს არამდგრადი დიდში და ამიტომ არაწრფივი სისტე-

მების მდგრადობის გამოკვლევის მეთოდები არსებითად განსხვავდება წრფივი სისტემების გამოკვლევის მეთოდებისაგან.

განვიხილოთ წრფივი და გაწრფივებული სისტემები (ზუსტად წრფივი სისტემები იშვიათია). რუსმა მათემატიკოსმა ა.მ. ლიაპუნოვმა უჩვენა, რომ მდგრადობის გამოკვლევა მცირები გაწრფივებული განტოლებების დახმარებით იძლევა ამოცანის ზუსტ გადაწყვეტას.

ავტომატური რეგულირების წრფივი სისტემის თავისუფალი მოძრაობა, რომელიც წონასწორობის მდგომარეობიდან გამოყენილია მცირე გადახრით, აიწერება შეკრულწრედიანი (ჩაკეტილი) სისტემის დიფერენციალური განტოლებით (ჩაწერილი ოპერაციულ ფორმაში)

$$(a_n P^n + a_{n-1} P^{n-1} + \dots + a_1 P + a_0)x = 0, \quad (9.133)$$

სადაც  $x$  არის სარეგულირებელი სიდიდის გადახრა მოცემული მნიშვნელობიდან.

ინტეგრირების დახმარებით 9.133 განტოლება შეიძლება გარდაქმნილი იქნეს შემდეგ განტოლებად:

$$x = c_n e^{\lambda_{n t}} + c_{n-1} e^{\lambda_{(n-1)t}} + \dots + c_1 e^{\lambda_1 t} + A_0. \quad (9.134)$$

სადაც

$c_1, c_2, \dots, c_n$  ინტეგრირების მუდმივებია განსაზღვრული საწყისი პირობებით;

$\lambda_1, \lambda_2, \dots, \lambda_n$  – სისტემის მახასიათებელი განტოლების არათანაბარი ფესვები.

9.134 განტოლება წარმოადგენს მახასიათებელ განტოლებას.

რეგულირების სისტემა, აღწერილი 9.133 განტოლებით, ა.მ. ლიაპუნოვის მიერ შემუშავებული დებულებების მიხედვით მდგრადი იქნება მხოლოდ იმ შემთხვევაში, თუ მახასიათებელი განტოლების 9.134 ყველა ფესვი იქნება უარყოფითი. მაშინ დროის დინებით 9.134 განტოლების ყველა წევრი, რომელიც შეიცავს  $e^{\lambda_i t}$  მამრავლს, მიისწრაფვის ნულისაკენ, ხოლო სარეგულირებელი  $x$  სიდიდის გადახრა მიისწრაფვის  $A_0$  მუდმივი მნიშვნელობისაკენ ან 0-კენ.

თუ ერთი ფესვი მაინც, მაგალითად  $\lambda_1$ , დადებითია, მაშინ შესაბამისი წევრი  $c_1 e^{\lambda_1 t}$  დროის დინებით განუსაზღვრელად გაიზრდება, განუსაზღვრელად გაიზრდება

სარეგულირებელი  
არამდგრადია.

კომპალექსური შეუდლებული ფესვების დროს უარყოფითი ნამდვილი ნაწილების შემთხვევაში სარეგულირებელი სიდიდის გადახრა მოდის დამყარებული მნიშვნელობისაკენ მიღევადი ჰარმონიული რხევებით. სისტემა მდგრადია.

ერთი წყვილი ფესვების მუდმივი ნაწილის დადებითი მნიშვნელობის დროსაც კი სარეგულირებელი სიდიდის გადახრა ასრულებს რხევებს განუსაზღვრელად ზრდადი ამპლიტუდით. სისტემა არა მდგრადია.

თუ გაწრფივებული სისტემის მახასიათებელ განტოლებას, რომელსაც არ გააჩნია დადებითი ფესვები, მაგრამ აქვს თუნდაც ერთი ნულოვანი ფესვი ან წყვილი სუფთა წარმოსახვითი შეუდლებული ფესვები, რეალური სისტემის ქცევა არ შეიძლება განისაზღვროს მისი გაწრფივებული განტოლებით. ამ შემთხვევაში განტოლების გაწრფივების დროს უკუგდებული წევრები მეორე და მეტი წარმოებულებით არსებითად ახდენენ გავლენას სისტემის მდგრადობაზე.

ამრიგად, ავტომატური რეგულირების სისტემის მდგრადობის ანალიზი დაიყვანება წმინდა ალგებრულ ამოცანამდე – მახასიათებელი განტოლების ფესვების ნამდვილი ნაწილების ნიშნის განსაზღვრამდე.

ფესვების ნამდვილი ნაწილების ნიშნები შეიძლება ნაპოვნი იქნეს მახასიათებელი განტოლების უშუალო გადაწყვეტის გზით. მაგრამ მარტივად ამოისსნება მხოლოდ მეორე ხარისხის განტოლებები. მესამე ხარისხის განტოლებების გადაწყვეტა ანალიზურად მეტად რთულია. უფრო მაღალი ხარისხის განტოლებებს საერთოდ არ გააჩნიათ ანალიზური გადაწყვეტა და შეიძლება ამოისსნილი იქნეს მხოლოდ მიახლოებით.

მდგრადობის გამოკვლევის შესამსუბუქებლად შემოთავაზებული იქნა ე.წ. მდგრადობის კრიტერიუმები.

მდგრადობის კრიტერიუმი ეწოდება მახასიათებელი განტოლების ფესვების ნამდვილი ნაწილის ნიშნების განსაზღვრის ირიბ მეთოდს, რომელიც არ მოითხოვს ამ განტოლების ამოხსნას.

ყველაზე მარტივია სტოდოლის მდგრადობის პირობა, რომელიც წარმოადგენს აუცილებელს, მაგრამ არასაკმარისს. სტოდოლის პირობა საშუალებას იძლევა განტოლების სახის მიხედვით ადვილად განისაზღვროს აშკარად არამდგრადი სისტემა. ეს პირობა ყალიბდება შემდეგნაირად. იმისათვის, რომ სისტემა იყოს მდგრადი, აუცილებელია (მაგრამ არასაკმარისია), რომ მახასიათებლი განტოლების ყველა კოეფიციენტს ჰქონდეს ერთნაირი ნიშანი.

თუ კოეფიციენტების ნიშნები სხვადასხვაა, ეს მოწმობს იმის შესახებ, რომ განტოლება შეიცავს დადებით ფესვებს, თუმცა იგი მათ შეიძლება შეიცავდეს კოეფიციენტების წინ ერთნაირი ნიშნების დროსაც.

ყველა ცნობილი კრიტერიუმი იყოვა თრ ჯგუფად: სისტემის დიფერენციალური განტოლების კოეფიციენტების გამოკვლევის მეთოდი, ე.წ. ალგებრული და ამპლიტუდურული მახასიათებლების მეთოდი, ე.წ. სისტირული.

ალგებრულს მიეკუთვნება ვიშნეგრადსკის, რაუტის, გურვიცის კრიტერიუმები.

სისტირულს მიეკუთვნება მიხაილოვის, ნაიკვისტის, ლოგარითმული სისტირული მახასიათებლების მეთოდის კრიტერიუმები.

განსაკუთრებული ადგილი უჭირავს მდგრადობის არე-ების გამოყოფას. უნდა გვახსოვდეს, რომ მდგრადობის კრიტერიუმები ადგენენ ერთ ფაქტს: მახასიათებელი განტოლების ყველა ფესვის ნამდვილი ნაწილი უარყოფითა თუ არა. ამა თუ იმ კრიტერიუმის გამოყენება დამოკიდებულია კონკრეტულ პირობებზე.

ალგებრული კრიტერიუმები მოსახერხებელია მეხუთე რიგამდე სისტემების მდგრადობის შემოწმების დროს. უფრო მაღალი რიგის სისტემებისათვის ხელსაყრელია სისტირული კრიტერიუმების გამოყენება.

მდგრადობის ალგებრულ კრიტერიუმს შემუშავებულს რაუსის მიერ 1877 წელს, შეეიცარიელმა მათემატიკოსმა გურვიცმა 1895 წელს უფრო განზოგადებული ხასიათი მისცა მას. ამჟამად კრიტერიუმი ცნობილია რაუს-გურვიცის კრიტერიუმის სახელით. შევნიშნავთ, რომ რაუს-გურვიცის კრიტერიუმი გამოირჩევა მნიშვნელოვანი სირთულით პრაქტიკული გამოყენების დროს ავტომატური რეგულირების

ბევრი რეალური სისტემისათვის. ამ მეთოდით სარგებლობის დროს აუცილებელია: **ა)** გაგვაჩნდეს სისტემის ყველა რგოლის დიფერენციალური განტოლება, თვითონ სარეგულირებელი ობიექტის ჩათვლით, რაც პრაქტიკულად ყოველთვის არ არის შესაძლებელი, რადგან არის ხოლმე შემთხვევები, როდესაც ცალქეული რგოლების მახასიათებლები შეიძლება გადაღებული იქნეს მხოლოდ ექსპერიმენტულად და მნელად ექვემდებარებიან ანალიზურ გამოსახვას; **ბ)** შედგეს დიფერენციალური განტოლებების სისტემა და ამოისხნას იგი, სისტემის ერთი საერთო დიფერენციალური განტოლების მიღების მიზნით; **გ)** შემოწმდეს, აკმაყოფილებს თუ არა საერთო დიფერენციალური განტოლების კოეფიციენტები განსაზღვრულ უტოლობებს. თუ ეს უტოლობები კმაყოფილდება, მაშინ სისტემა იქნება მდგრადი, ხოლო თუ ერთი უტოლობაც კი არ კმაყოფილდება, სისტემა არა-მდგრადია.

თუ ავტომატური რეგულირების წრფივი სისტემის გადამცემი ფუნქციის გამოსახულებაში  $9.58$ , გავუტოლებთ ნულს მნიშვნელში მოცემულ ოპერატორულ მრავალწევრს  $L(P)=0$ , მივიღებთ მახასიათებელ განტოლებას  $9.134$  შემდეგი ფორმით:

$$a_n P^n + a_{n-1} P^{n-1} + \dots + a_1 P + a_0 = 0. \quad (9.135)$$

გურვიცის კრიტერიუმი ჩამოყალიბდება შემდეგნაირად: იმისათვის რომ ავტომატური რეგულირების სისტემის მახასიათებელი განტოლების  $9.135$  ფუნქციას, როდესაც  $a_n > 0$  პქონდეთ უარყოფითი ნამდვილი ნაწილები, აუცილებელი და საკმარისია, რომ მთავარი დეტერმინანტი და ყველა მისი დიაგრამალური მინორები იყოს დადებითი.

მთავარი დეტერმინანტისათვის გვექნება

$$\Delta_{n-1} = \begin{vmatrix} a_{n-1} & a_{n-3} & \dots & 0 & 0 \\ a_n & a_{n-2} & \dots & a_0 & 0 \\ 0 & a_{n-1} & \dots & a_1 & 0 \\ 0 & a_n & \dots & a_2 & a_0 \\ 0 & 0 & \dots & a_3 & a_1 \end{vmatrix}. \quad (9.136)$$

დიაგონალურ მინორებს ექნებათ სახე:

$$\left. \begin{array}{l} \Delta_1 = a_1, \quad \Delta_3 = \begin{vmatrix} a_3 & a_1 & 0 \\ a_4 & a_2 & a_0 \\ a_5 & a_3 & a_1 \end{vmatrix}, \\ \Delta_2 = \begin{vmatrix} a_2 & a_0 \\ a_3 & a_1 \end{vmatrix}, \quad \Delta_4 = \begin{vmatrix} a_4 & a_2 & a_0 & 0 \\ a_5 & a_3 & a_1 & 0 \\ a_6 & a_4 & a_2 & a_0 \\ a_7 & a_5 & a_3 & a_1 \end{vmatrix} \end{array} \right\} \text{და ა.შ.} \quad (9.137)$$

ე. დიაგონალური მინორების მისაღებად მარცხნიდან და ზემოდან წარმლება თანმიმდევრობით თითო სვეტი და თითო პწკარი, ორი სვეტი და ორი პწკარი და ა.შ.

თუ მასასიათებელი განტოლების ყველა კოეფიციენტი უარყოფითია, მაშინ 9.135 განტოლების ორივე ნაწილი მრავლდება -1-ზე.

განვიხილოთა მდგრადობის პირობები კერძო შემთხვევაში მისათვის გურვიცის მიხედვით.

პირველი რიგის სისტემისათვის მასასიათებელ განტოლებას ექნება სახე

$$a_1 P + a_0 = 0.$$

გურვიცის მდგრადობის პირობები იქნება:

$$\Delta_1 = a_0 > 0; \quad \Delta_1 = a_1 > 0.$$

მაშასადამე, იმისათვის რომ სისტემა აღწერილი პირველი რიგის დიფერენციალური განტოლებით, იყოს მდგრადი, აუცილებელი და საკმარისია, რომ მასასიათებელი განტოლების ყველა კოეფიციენტი იყოს დადებითი.

მეორე რიგის სისტემისათვის მასასიათებელ განტოლებას აქვს სახე

$$a_2 P^2 + a_1 P + a_0 = 0.$$

გურვიცის მდგრადობის პირობები:

$$\Delta_1 = a_0 > 0; \quad \Delta_1 = a_1 > 0; \quad \Delta_1 = a_2 > 0.$$

იმისათვის, რომ სისტემა აღწერილი მეორე რიგის დიფერენციალური განტოლებით, იყოს მდგრადი, აუცილებ-

ბელი და საკმარისია, რომ მახასიათებელი განტოლების ყველა კოეფიციენტი იყოს დადებითი.

მესამე რიგის სისტემისათვის, მახასიათებელ განტოლებას აქვს სახე:

$$a_3P^3 + a_2P^2 + a_1P + a_0 = 0.$$

მდგრადობის პირობები:

$$\Delta_1 = a_0 > 0; \quad \Delta_1 = a_1 > 0; \quad \Delta_1 = a_2 > 0; \quad \Delta_1 = a_3 > 0;$$

$$\Delta_2 = \begin{vmatrix} a_2 & a_0 \\ a_3 & a_1 \end{vmatrix} = a_2a_1 - a_3a_0 > 0.$$

იმისათვის, რომ სისტემა აღწერილი მესამე რიგის დიფერენციალური განტოლებით, იყოს მდგრადი, აუცილებელი და საკმარისია, რომ მახასიათებელი განტოლების ყველა კოეფიციენტი და დეტერმინანტი  $\Delta_2$  იყოს დადგებითი.

მეოთხე რიგის სისტემისათვის, მახასიათებელ განტოლებას აქვს სახე:

$$a_4P^4 + a_3P^3 + a_2P^2 + a_1P + a_0 = 0.$$

მდგრადობის პირობები:

$$\Delta_1 = a_0 > 0; \quad \Delta_1 = a_1 > 0; \quad \Delta_1 = a_2 > 0; \quad \Delta_1 = a_3 > 0; \quad \Delta_1 = a_4 > 0;$$

$$\Delta_3 = a_3a_2a_1 + a_1a_0 \cdot 0 + 0 \cdot a_4a_3 - 0 \cdot a_2 \cdot 0 - a_3a_0a_3 - a_1a_4a_1 =$$

$$= a_3a_2a_1 - a_3a_0a_3 - a_1a_4a_1 = a_3a_2a_1 - a_3^2a_0 - a_1^2a_4 =$$

$$= a_3(a_2a_1 - a_3a_0) - a_1^2a_4 = a_3\Delta_2 - a_1^2a_4 > 0;$$

$$\Delta_2 = \begin{vmatrix} a_2 & a_0 \\ a_3 & a_1 \end{vmatrix} = a_2a_1 - a_3a_0 > 0.$$

ვინაიდან დიაგონალური მინორი  $\Delta_2$  შედის მამრავლად  $\Delta_3$  დეტერმინანტის დადებით ნაწილში, ეს უკანასკნელი შეიძლება დადებითი იყოს მხოლოდ იმ პირობის დროს, რომ  $\Delta_2$  დადებითია. იმისათვის, რომ სისტემა აღწერილი მეოთხე რიგის დიფერენციალური განტოლებით, იყოს მდგრადი, აუცილებელი და საკმარისია, რომ მახასიათებელი განტოლების ყველა კოეფიციენტი და დეტერმინანტი  $\Delta_3$  იყოს დადგებითი.

მეხუთე რიგის სისტემისათვის, მახასიათებელ განტოლებას აქვთ სახე:

$$a_5P^5 + a_4P^4 + a_3P^3 + a_2P^2 + a_1P + a_0 = 0.$$

გურვიცის პირობები

$$\Delta_1 = a_0 > 0; \quad \Delta_1 = a_1 > 0; \quad \Delta_1 = a_2 > 0; \quad \Delta_1 = a_3 > 0;$$

$$\Delta_1 = a_4 > 0; \quad \Delta_1 = a_5 > 0.$$

$$\Delta_4 = \begin{vmatrix} a_4 & a_2 & a_0 & 0 \\ a_5 & a_3 & a_1 & 0 \\ 0 & a_4 & a_2 & a_0 \\ 0 & a_5 & a_3 & a_1 \end{vmatrix} = (a_2a_1 - a_3a_0)(a_4a_3 - a_5a_2) - (a_4a_1 - a_5a_0)^2 > 0;$$

$$\Delta_3 = \begin{vmatrix} a_3 & a_1 & 0 \\ a_4 & a_2 & a_0 \\ 0 & a_3 & a_1 \end{vmatrix} = a_3\Delta_2 - a_1^2a_4 > 0;$$

$$\Delta_2 = \begin{vmatrix} a_2 & a_0 \\ a_3 & a_1 \end{vmatrix} = a_2a_1 - a_3a_0 > 0.$$

დეტერმინანტების განხილვიდან გამომდინარეობს, რომ  $\Delta_2 > 0$  და  $\Delta_4 > 0$ , მაშინ  $\Delta_3$  აგრეთვე დადგებითია და მისი გამოთვლა არ არის საჭირო.

იმისათვის, რომ სისტემა აღწერილი მეხუთე რიგის დიფერენციალური განტოლებით, იყოს მდგრადი, აუცილებელი და საკმარისია, რომ მახასიათებელი განტოლების ყველა კოეფიციენტი და დეტერმინანტები  $\Delta_2$  და  $\Delta_4$  იყოს დადგებითი.

გურვიცის კრიტერიუმით ხელსაყრელია სარგებლობა ავტომატური რეგულირების სისტემის მდგრადობის გამოსაკვლევად არაუმჯერესი მეხუთე რიგისა. უფრო მაღალი რიგის სისტემებისათვის უფრო მოხერხებულია რაუსის კრიტერიუმის გამოყენება. გურვიცისა და რაუსის კრიტერიუმების გარდა ალგებრული კრიტერიუმების რიცხვს მიეკუთვნება, აგრეთვე, ი.ა. ვიშნეგრადსკის კრიტერიუმი, რომელიც ავტორის მიერ დამუშავებული იყო წრფივი სისტემების ანალიზისათვის.

ბის მესამე რიგისათვის. შევნიშნავთ, რომ ი.ა. ვიშნევრადსკის კრიტერიუმში ჩადებულმა იდეებმა დიდი როლი ითამაშეს ავტომატური რეგულირების სისტემების მდგრადობის ოპორიის საერთო განვითარებაში. რაუსისა და ვიშნევრადსკის კრიტერიუმებს ჩვენ არ განვიხილავთ.

ა.ვ. მიხაილოვის მდგრადობის კრიტერიუმი (გამოქვეყნდა 1938 წელს) ეფუძნება სისტირულ მეთოდს და გათვალისწინებულია ავტომატური რეგულირების წრფივი შეკრულ-წრედიანი სისტემისათვის. ისე როგორც გურვიცის კრიტერიუმი, ა.ვ. მიხაილოვის კრიტერიუმიც განიხილავს ჩაკეტილი სისტემის მახასიათებელ განტოლებას.

მიხაილოვის მდგრადობის სისტირული კრიტერიუმი ხასიათდება ყველა იმ ნაკლოვანებით, რომელიც გააჩნია გურვიცის კრიტერიუმს, რომელთა შესახებაც ზემოთ იყო აღნიშნული. დამატებით ნაკლოვანებას წარმოადგენს ის, რომ სისტემის პარამეტრების გავლენის განსაზღვრა მის მდგრადობაზე პრაქტიკულად შეუძლებელია.

მიხაილოვის კრიტერიუმის ღირსებას წარმოადგენს შესაძლებლობა შედარებით მარტივად განისაზღვროს გაძლიერების კრიტიკული კოეფიციენტი და მდგრადობის მარაგი გაძლიერების კოეფიციენტის მიხედვით.

მიხაილოვის კრიტერიუმის არსი განვიხილოთ ავტომატური სისტემის მაგალითზე, რომელიც აიწერება მეოთხე რიგის განტოლებით, მახასიათებელ განტოლებას ამ სისტემისათვის აქვს სახე

$$a_4P^4 + a_3P^3 + a_2P^2 + a_1P + a_0 = 0.$$

შევცვალოთ განტოლების მარცხენა L(P)-თი, ხოლო P კი  $j\omega$ -თი, მაშინ

$$L(j\omega) = a_4(j\omega)^4 + a_3(j\omega)^3 + a_2(j\omega)^2 + a_1(j\omega) + a_0 = 0.$$

გავიხსენოთ, რომ

$$j = \sqrt{-1}; \quad j^2 = -1; \quad j^3 = -j; \quad j^4 = 1.$$

მაშინ

$$L(j\omega) = a_4\omega^4 - ja_3\omega^3 - a_2\omega^2 + ja_1\omega + a_0.$$

გამოვყოთ განტოლების ნამდვილი და წარმოსახვითი ნაწილები:

$$L(j\omega) = a_4\omega^4 - a_2\omega^2 + a_0 + (a_1\omega - a_3\omega^3)j. \quad (9.138)$$

აღვნიშნოთ 9.138 განტოლების ნამდვილი და  $\tilde{Y}$ -ისა და  $X(\omega)$ -ის შესაბამისად

$$X(\omega) = a_4\omega^4 - a_2\omega^2 + a_0;$$

$$Y(\omega) = a_1\omega - a_3\omega^3.$$

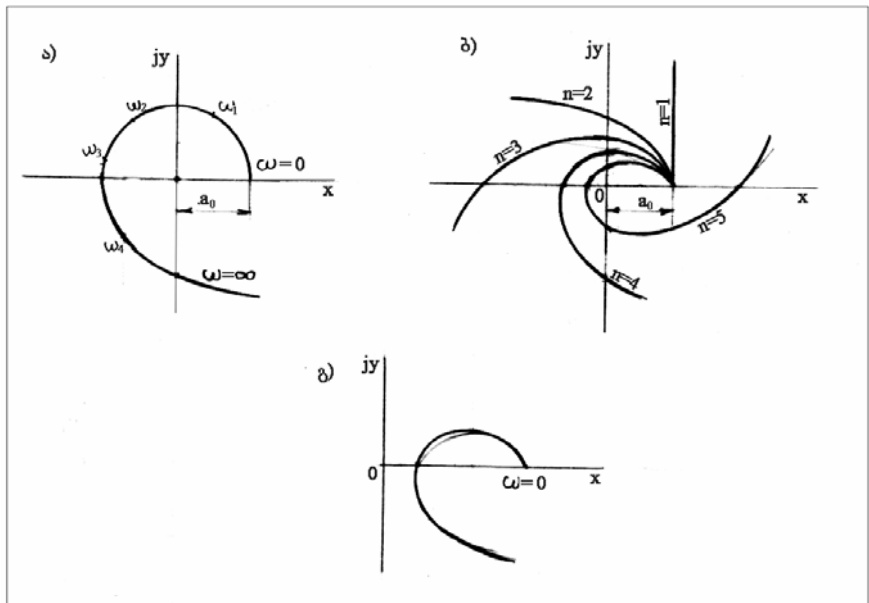
ჩავსვათ ეს აღნიშვნები (9.138) ფორმულაში, მივიღებთ

$$L(j\omega) = X(\omega) + jY(\omega).$$

ახლა ავაგოთ დამოკიდებულება  $jY$  და  $X$  კოორდინატთა დერძებში, როდესაც  $\omega$  იცვლება 0-დან  $\infty$ -დეკადაში. ამ დამოკიდებულებას ექნება მრუდის ფორმა, რომელსაც ეწოდება მახასიათებელი ფუნქციის გოდოგრაფი, ან მიხაილოვის მრუდი (ნახ.9.54ა).

ავტომატური სისტემის მდგრადობისათვის მოითხოვება, რომ მიხაილოვის მრუდი გადიოდეს თანმიმდევრობით იმდენ კვადრატს, რამდენიც არის მახასიათებელი განტოლების ხარისხი. ამასთან, მიხაილოვის მრუდმა უნდა შემოუაროს კოორდინატთა სათავეს საათის ისრის სვლის საწინააღმდეგო მიმართულებით. მაგალითად, ჩვენს მიერ განხილული მეოთხე რიგის სისტემისათვის, როგორც ნაჩვენებია ნახ.9.54ა, მრუდი გადის თანამიმდევრობით ოთხ კვადრატს.

ნახაზზე 9.54ბ ნაჩვენებია მიხაილოვის გოდოგრაფები მდგრადი სისტემებისათვის 1-დან მე-5 რიგამდე მეტი თვალსაჩინოებისათვის ყველა ხაზი გამოდის ერთი წერტილიდან, ე.ო.  $a_0$  ყველა მახასიათებელი განტოლებისათვის არის ერთნაირი. პირველი რიგის განტოლებას შეესაბამება სწორი,  $\tilde{Y}$ -ისა და  $X(\omega)$ -ის დერძის პარალელური, რომელიც იმყოფება მისგან  $a_0$  მანძილზე; მაღალი რიგის განტოლებებს შეესაბამება შესაბამისი მრუდები. ნახაზზე 9.54გ ნაჩვენებია მიხაილოვის მრუდის მაგალითი მეოთხე რიგის არამდგრადი სისტემისათვის. OA და OB მონაკვეთების თანაფარდობის მიხედვით შეიძლება კიმსჯელოთ მდგრადობის მარაგის შესახებ. თუ OB (ნახ.9.54ა) საკმარისად დიდია OA-თან (ნახ.9.54გ) შედარებით, სისტემას გააჩნია მდგრადობის მნიშვნელოვანი მარაგი. OB მონაკვეთის შემცირებასთან ერთად მდგრადობის მარაგი მცირდება.



ნახ.9.54. მიხაილოვის გოდოგრაფები: а) მახასიათებელი ფუნქციის გოდოგრაფი; б) გოდოგრაფები მდგრადი სისტემებისათვის 1-დან მე-5 რიგამდე; გ) მიხაილოვის მრუდი მეოთხე რიგის არამდგრადი სისტემისათვის

სისტემის გაძლიერების საერთო კოეფიციენტის გაზრდის დროს მიხაილოვის გოდოგრაფი ფორმის შეუცვლელად გადაადგილდება მარჯვნივ და გაძლიერების კოეფიციენტის გარკვეული კრიტიკული მნიშვნელობის დროს კერთ. გაივლის კოორდინატთა სათავეზე. სისტემა ამ შემთხვევაში იძყოფება მდგრადობის ზღვარზე. გაძლიერების კოეფიციენტის შემდგომი გაზრდისას, გოდოგრაფი გადაადგილდება მარჯვნივ და გაივლის კვადრანტების რაოდენობას, რომელთა რიცხვი იქნება ნაკლები დიფერენციალური განტოლების რიგზე. სისტემა გახდება არამდგრადი.

ავტომატური რეგულირების სისტემების კვლევაში ყველაზე ფართო გამოყენება ჰპოვეს მდგრადობის ნაიკვისტის\*

\* ნაიკვისტმა 1932 წელს დაამუშავა სიხშირული ამპლიტუდურ-ფაზური კრიტერიუმი რადიოტექნიკური გამაძლიერებლების ძვლევისათვეს. 1938 წელს ა.კ. მიხაილოვმა იგი გაავრცელა ავტომატური რეგულირების სისტემების კვლევაზე.

ამპლიტუდურ-ფაზურმა კრიტერიუმმა და მდგრადობის განსაზღვრამ, ლოგარითმული სიხშირული მახასიათებლების მიხედვით. ეს აიხსნება იმით, რომ სიხშირული მახასიათებლები, რომელთა მიხედვითაც ხდება მდგრადობის ანალიზი, შესაძლებელია გამოყენებული იქნეს გარდამავალი პროცესების ხარისხის გამოკვლევის, და მაკორექტირებელი მოწყობილობების სინთეზის დროს.

ნაიკისტის კრიტერიუმი შეიძლება, აგრეთვე, გამოყენებული იქნეს დაგვიანების მქონე სისტემების მდგრადობის გამოსაკვლევად და არაწრფივი სისტემების გამოკვლევის დროს პარმონიული გაწრფივების მეოთვით.

მდგრადობის კრიტერიუმი მიახლოებითი ლოგარითმული სიხშირული მახასიათებლების მიხედვით წარმოადგენს მნიშვნელოვნად ნაკლებად შრომატევადს, ვიდრე სხვა კრიტერიუმები.

ორივე კრიტერიუმი შეიძლება გამოყენებული იქნეს იმ შემთხვევაშიც, როდესაც ცალკეული ელემენტების სიხშირული მახასიათებლები მიღებულია ექსპერიმენტალურად და არ არსებობს მათი ანალიზური გამოსახულებები. ამ კრიტერიუმების დახმარებით შეიძლება განსაზღვრული იქნეს გაძლიერების კრიტიკული კოეფიციენტი და მდგრადობის მარაგი ამპლიტუდისა და ფაზის მიხედვით.

ამრიგად, ნაიკისტის კრიტერიუმსა და მდგრადობის განსაზღვრას ლოგარითმული სიხშირული მახასიათებლებით გააჩნიათ ყველაზე ფართო შესაძლებლობები.

სიხშირულ მეთოდზეა დამყარებული, აგრეთვე, ი.ო. ნეიმარკის კრიტერიუმიც, რომელიც გამოქვეყნდა 1947 წელს. ეს მეთოდი ლიტერატურაში ცნობილია D განცალკევების მეთოდის სახელწოდებით. შველა წინა კრიტერიუმისაგან განსხვავებით ნეიმარკის კრიტერიუმი საშუალებას იძლევა დაგადგინოთ ნებისმიერი რიგის დიფერენციალური განტოლებით აღწერილი სისტემის ნებისმიერი პარამეტრის გავლენა მდგრადობაზე. იგი იძლევა განწრფივებული სისტემების მდგრადობის არების გამოყოფის შესაძლებლობას. შევნიშნავთ, რომ პირველად მდგრადობის არების გამოყოფის საკითხით დაინტერესდა ი.ა. ვიშნეგრადსკი. მან გადაწყვიტა აღნიშნული ამოცანა მესამე რიგის დიფერენციალური განტოლებით აღწერილი სისტემისათვის.

## §12. პროცესის მართვის ხარისხი და ხარისხის მაჩვნებლები

რეგულირების პროცესის ხარისხი ეწოდება მდგრადი სისტემის გარდამავალი პროცესის ხასიათს, რომელიც დამოკიდებულია რეგულირების სისტემის პარამეტრებსა და მმართველი და შემაშფოთებელი ზემოქმედების ხასიათზე.

ხარისხის მაჩვნებლები ეწოდება სიდიდეებს, რომლებიც ახასიათებენ სისტემის ქცევას გარდამავალ პროცესში, გამოწვეულს რაიმე ტიპური გარე ზემოქმედებით (ყველაზე ხშირად ერთეული საფეხურის ხებრი ზემოქმედებით). მაშასადამე, ყველაზე სრული წარმოდგენა რეგულირების ხარისხზე შეიძლება მიღებული იქნეს თუ ავაგებთ და გავანალიზებთ  $x(t)$  ფუნქციას, სადაც  $x$  არის სარეგულირებელი სიდიდე. რეგულირების ხარისხის შეფასებები, მიღებული ავტომატური რეგულირების სისტემებში გარდამავალი პროცესების გრაფიკების ანალიზის საფუძველზე ტიპური ურთიერთმოქმედებისას იწოდებიან პირდაპირ შეფასებებად. რეგულირების ხარისხის შეფასებები, რომლებიც ემყარება სხვადასხვა შუალედი მახასიათებლების ანალიზს, მაგალითად, გადამცემი ფუნქციის ანალიზს, იწოდებიან ირიბ შეფასებებად. იმ შემთხვევებში, როდესაც ხარისხის შეფასების პირდაპირი მეთოდები მიუღებელია რაიმე მოსაზრებით, მაგალითად გამოვლითი სამუშაოების დიდი მოცულობით, მიმართავენ ირიბ შეფასებებს.

თუ გამოკვლევა ხდება რეალურად არსებული რეგულირების ავტომატური სისტემისა, გარდამავალი პროცესების მრუდები ყველაზე ხელსაყრელია მიღებული იქნეს ექსპერიმენტალური გზით, კერძოდ  $X(t)$  ოსცილოგრამების გადაღებით ტიპური ზემოქმედების დროს. რეგულირების ავტომატური სისტემის დაპროექტების დროს  $X(t)$  ფუნქციის მისაღებად აუცილებელია დიფერენციალური განტოლების გადაწყვეტა, რომელიც აკავშირებს სარეგულირებელ სიდიდეს და მმართველი ან შემაშფოთებელი ზემოქმედების ფუნქციას. როგორც ცნობილია, მადალი რიგის (მეოთხეზე მაღალი) დიფერენციალური განტოლებების გადაწყვეტა მოითხოვს დიდი მოცულობის გამოთვლების შესრულებას და არ იძლევა ზუსტ შედეგს. სწორედ ამიტომ რეგულირების ავტომატური

სისტემის ხარისხის პირდაპირი შეფასება ხანგრძლივი დროის განმავლობაში იყო მეტად ძნელი.

საინჟინრო პრაქტიკაში ელექტრონული გამომთვლელი მანქანების (ЭВМ) ფართოდ დანერგვამ არსებითად გაამარტივა რეგულირების ხარისხის პირდაპირი შეფასებების მიღება.

დიფერენციალური განტოლებების გადაწყვეტა ყველაზე ადგილად ხორციელდება ანალოგური გამომთვლელი მანქანების (АВМ) დახმარებით. მაგრამ, გადაწყვეტის სიზუსტე მიღებული ABM-ის დახმარებით შეზღუდულია: ცდომილება აღწევს 10%-სა და მეტს. ABM-ზე გადაწყვეტის მნიშვნელოვანი ცდომილება გამომდინარებს ანალოგური მანქანების მუშაობის პრინციპიდან. გარდა ამისა, დიფერენციალური განტოლებების რიგის ამაღლებასთან ერთად გადაწყვეტა ABM-ზე ძნელდება, განსაკუთრებით, თუ მოითხოვება რამდენიმე გამოსახვლელი ცვლადის ანალიზი.

რეგულირების ავტომატური სისტემის ანალიზი ციფრული ელექტრონულ-გამომთვლელი მანქანების (ЭВМ) ბაზაზე ხასიათდება დიდი სიზუსტით, უნივერსალურობით, ფართო ლოგიკური შესაძლებლობებით. ამჟამად ЭВМ-ის სტანდარტული მათემატიკური უზრუნველყოფის შემაღებლობაში არის სხვადასხვა კლასის დიფერენციალური განტოლებების გადაწყვეტის ეფექტური პროგრამები.

დიფერენციალური განტოლებების გადაწყვეტა ЭВМ-ზე ხორციელდება რიცხვითი ინტეგრირების მეთოდების ბაზაზე. პირველი რიგის დიფერენციალური განტოლების რიცხვითი გადაწყვეტისათვის გამოიყენება ეილერის და მასზე ზუსტი რუნგე-კუტის მეთოდები. რუნგე-კუტის მეთოდი გადაწყვეტის სიზუსტის გაზრდის საშუალებას იძლევა, ეილერის მეთოდთან შედარებით ინტეგრირების ერთნაირი ბიჯის დროს.

ЭВМ-ზე ს-ური რიგის დიფერენციალური განტოლებების გადასაწყვეტად ეილერის ან რუნგე-კუტის მეთოდებით, ს-ური რიგის განტოლებები დაიყვანება პირველი რიგის განტოლებების სისტემამდე. ამასთან, თითოეული განტოლება გადაწყვეტილი უნდა იქნეს მასში შემავალი თავისი ფუნქციის პირველი რიგის წარმოებულის მიმართ.

რეგულირების ხარისხის ირიბი მეთოდები საშუალებას იძლევა მიახლოებით განისაზღვროს რეგულირების ხარისხის

ზოგიერთი მაჩვენებელი, მაგალითად, მდგრადობის ხარისხი, გარდამავალი პროცესის დრო, გადამეტრებულირება  $X(t)$  ფუნქციის აუგებლად. ავტომატური რეგულირების თეორიაში ფართო გავრცელება პოვა რეგულირების პროცესის ხარისხის ირიბი შეფასების სამშა მეთოდა: ფესვების განაწილების მეთოდი, ინტეგრალურ შეფასებათა მეთოდი და სისშირული მეთოდი.

ფესვებით შეფასების მეთოდი ემყარება გარდამავალი პროცესის ხასიათის კავშირს დიფერენციალურ განატოლებათა სისტემის ფესვების კომპლექსურ სიბრტყეზე განაწილების ხასიათთან.

ინტეგრალური მეთოდების გამოყენება ხელსაყრელია თვისებებით ახლო მდგომი სისტემების შედარებითი შეფასებებისათვის.

სისშირული მეთოდები ემყარება რეგულირების ავტომატურ სისტემაში გარდამავალი პროცესების ხასიათსა და  $X(\omega)$  ფუნქციის ნამდვილი სისშირული მახასიათებლის ფორმას შორის კავშირს.

მას შემდეგ, რაც ირიბი მეთოდის დახმარებით შეირჩევა პარამეტრები, რომლებიც უზრუნველყოფენ ხარისხის სასურველ მაჩვენებლებს, სასარგებლოა გარდამავალი პროცესის მრუდის აგება პირდაპირი მეთოდით, რათა დავრწმუნდეთ იმაში, რომ გარდამავალი პროცესი პასუხობს მოცემულ მოთხოვნებს. წინააღმდეგ შემთხვევაში უნდა შეიცვალოს პარამეტრები არადამატაყოფილებელი გარდამავალი პროცესის გამოსასწორებლად.

განვიხილოთ გარდამავალ პროცესში რეგულირების ხარისხის შემდეგი მაჩვენებლები:

ა) სარეგულირებელი სიდიდის მაქსიმალური გადახრა (მდგრადობის ხარისხი);

ბ) გარდამავალი პროცესის მილევადობის ხასიათი;

გ) გადამეტრებულირების სიდიდე;

დ) რეგულირების ცდომილებები;

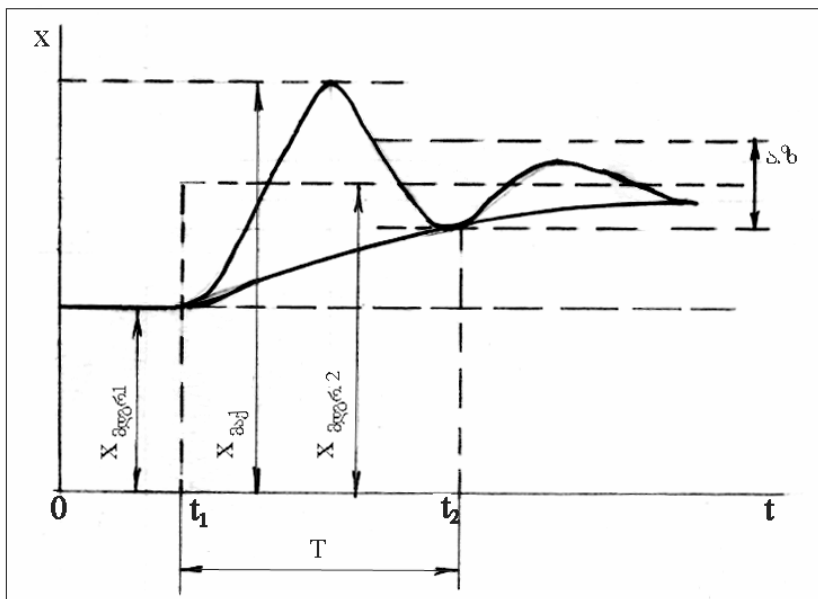
ე) დამყარებული გადახრა;

ვ) რეგულირების დრო;

ზ) გარდამავალი პროცესის რხევითობა.

ა) სარეგულირებელი სიდიდის მაქსიმალური გადახრა (მდგრადობის ხარისხი), ახასიათებს გარდამავალი პროცესის მიღევადობის სიჩქარეს. რაც უფრო ნაკლებია სარეგულირებელი სიდიდის მაქსიმალური გადახრა, მით უფრო მაღალია რეგულირების ხარისხი.

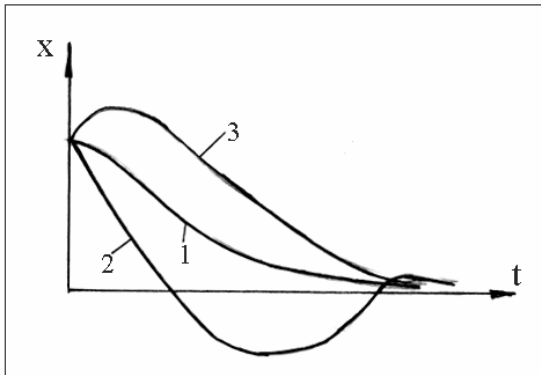
ნახაზზე 9.55 ნაჩვენებია რეგულირების მდგრადი სისტემისათვის რხევითი გარდამავალი პროცესი. სისტემის პირველდაწყებით დამყარებულ მდგომარეობაში სარეგულირებელი სიდიდის მნიშვნელობა იყო  $X_{\text{მდგ.1}}$ ; შემდეგ სარეგულირებელი სიდიდის მოცემული მნიშვნელობა შეცვლილი იქნა  $X_{\text{მდგ.2}}$ -მდე; ამის შემდეგ დგება გარდამავალი პროცესი, რომლის დროსაც სარეგულირებელი სიდიდე დებულობს სხვადასხვა მნიშვნელობას. მაქსიმალური გადახრა სარეგულირებელი სიდიდის მოცემულობიდან ნახაზზე 9.55 განისაზღვრება ორდინატით  $X_{\text{მდგ.2}}$ .



ნახ.9.55. რხევითი გარდამავალი პროცესი რეგულირების მდგრადი სისტემისათვის

ბ) გარდამავალი პროცესის მიღევადობის ხასიათი შეიძლება იყოს მონოტონური, აპერიოდული ან რხევითი.

მონოტონური ეწოდება პროცესს, რომელშიც სარეგულირებელი სიდიდის გადახრა ახალი დამყარებული მნიშვნელობიდან დროთა განმავლობაში განუწყვეტლივ მცირდება გადამეტრებულირების გარეშე (მრუდი 1, ნახ.9.56). ახალი დამყარებული მნიშვნელობა ემთხვევა დროის დერძს.



ნახ.9.56. გარდამავალი პროცესების სახეები: 1 – მონოტონური; 2, 3 – აპერიოდული

აპერიოდული ეწოდება პროცესს, რომელშიც სარეგულირებელი სიდიდე უახლოვდება დამყარებულ მნიშვნელობას ერთი, ორი ან რამდენიმე რხევის შემდეგ. რხევის პერიოდის სხვადასხვა სიდიდით და გადამეტრებულირებებით (მრუდი 2 და 3 ნახ.9.56).

რხევითი ეწოდება პროცესს, რომელშიც სარეგულირებელი სიდიდე უახლოვდება დამყარებულ მნიშვნელობას პარმონიული რხევებით (იხ. ნახ.9.55).

სისტემის მაღალი რიგის რხევითი პროცესი შეიძლება დაშლილი იქნას ცალკეულ მდგრენელებად, რომელთა ჩაქრობაც ხდება კანონის მიხედვით

$$X = A e^{-\alpha_i t} \sin(\omega_i t + \psi_0), \quad (9.139)$$

სადაც

А არის რხევის საწყისი ამპლიტუდა;

$\alpha_i$  – კომპლექსური ფესვის ნამდვილი ნაწილის მნიშვნელობა,  $\frac{1}{\sqrt{2}}$ ;

$\omega_i$  – კომპლექსური ფესვის წარმოსახვითი ნაწილის მნიშვნელობა – რხევის კუთხური სიხშირე,  $\frac{1}{\text{წ}}$ .

$\psi_0$  – ფაზის საწყისი ძვრა, რად.

რხევის პერიოდის სიდიდე.

$$T = \frac{2\pi}{\omega_i}.$$

ორი მეზობელი მაქსიმალური გადახრის ფარდობა (იხ. ნახ.9.55)

$$q = \frac{\delta_m}{\delta_{m_1}} = e^{\frac{2\pi}{\omega_i} \alpha_i} = e^{T\alpha_i}. \quad (9.140)$$

ამ ფარდობის ნატურალური ლოგარითმი

$$d = \ln \frac{\delta_m}{\delta_{m_1}} = \ln e^{T\alpha_i} = T\alpha_i \text{ იწოდება ჩაქრობის ლოგარითმულ დეკრემენტის სიდიდესთან, რომელიც პირდაპირპროპორციულია წყვილი შეუდლებული კომპლექსური ფესვების შესაბამისი ნამდვილი ნაწილის } \alpha_i \text{ მნიშვნელობისა.}$$

უკანასკნელი გამოსახულებიდან ჩანს, რომ გარდამავალი პროცესის შემადგენელი რხევების ჩაქრობის სიჩქარე პირდაპირ დამოკიდებულებაში იმყოფება ჩაქრობის ლოგარითმული დეკრემენტის სიდიდესთან, რომელიც პირდაპირპროპორციულია წყვილი შეუდლებული კომპლექსური ფესვების შესაბამისი ნამდვილი ნაწილის  $\alpha_i$  მნიშვნელობისა.

გ) გადამეტრებულირების სიდიდე. ერთი დამყარებული მდგომარეობიდან მეორეში გადასვლის დროს, ე.ი. გარდამავალ პროცესში, შესაძლებელია სარეგულირებელი სიდიდის ახალ მნიშვნელობასთან მიახლოვების ორი შემთხვევა:

1. სარეგულირებელი სიდიდე უახლოვდება ახალ მნიშვნელობას მხოლოდ ერთი მხრიდან, არ გამოდის რა საზღვრებიდან, რომლებიც შემოსაზღვრულია მოცემული ახალი და ძველი მნიშვნელობებით (მრუდი 1, ნახ.9.55); ამ შემთხვევაში გადამეტრებულირების არა აქვს ადგილი;

2. სარეგულირებელი სიდიდე უახლოვდება ახალ მოცემულ მნიშვნელობას, ამასთან, მისი გადახრები ორმხრივია და სცილდებიან მითითებულ ახალ ზღვარს, ე.ი. წარმოებს გადამეტრებულირება (მრუდი 2, ნახ.9.55).

გადამეტრებულირების სიდიდე არ უნდა აღემატებოდეს მაქსიმალურ დასაშეებ მნიშვნელობას. ნახაზზე 9.55 მაქსიმალური გადამეტრებულირება განისაზღვრება მონაკვეთით  $X_{\text{აქ}}-X_{\text{მდ}}$ . რაც უფრო მეტია გადამეტრებულირება, პროცესი იქნება უფრო რხევითი და ხანგრძლივი.

**დ) რეგულირების ცდომილების ქვეშ იგულისხმება სარჯგულირებელი სიდიდის გადახრა მოცემული მნიშვნელობიდან.**

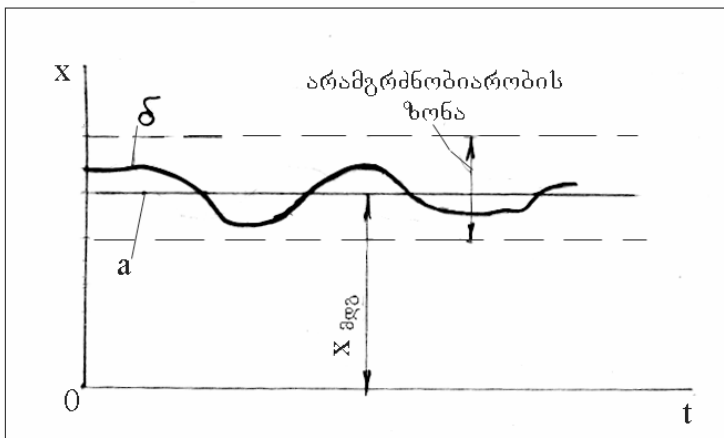
ჩვეულებრივ რეგულირების ცდომილება იყოფა ორ მდგრენელად: გარდამავალ ანუ დინამიკურ ცდომილებად და დამყარებულ ანუ სტატიკურ ცდომილებად. დინამიკური ცდომილება წარმოადგენს რეგულირების დამატებით შეცდომას და გარდამავალ რეჟიმში იგი ემატება სტატიკურ ცდომილებას.

სტატიკური ცდომილება, აგრეთვე, შედგება ორი მდგრენელიდან. პირველი მდგრენელი განპირობებულია რეგულირების სისტემის ცალკეული რგოლების შესრულების სიზუსტით და დამოკიდებულია ღრეულებისაგან კინემატიკურ წყვილებში და ელექტრულ კონტაქტებში, მშრალი ხახუნის ძალებისაგან, ე.ი. მიზეზებისაგან, რომლებიც იწვევენ რეგულატორის არამგრძნობიარობას.

სარეგულირებელი პარამეტრის შესაძლო გადახრების ზღვარს დამყარებულ რეჟიმებში ეწოდება რეგულატორის არამგრძნობიარობის ზონა. არამგრძნობიარობის ზონა განისაზღვრება პარამეტრის ცვლილების სიდიდით, რომელიც აუცილებელია, რათა დაძლეული იქნება ხახუნის ძალები და ღრეულები, ცვლადი გარდამავალი წინადობების არსებობა ელექტრულ კონტაქტებში, აგრეთვე, სარეგულირებელი ორგანოს გადაადგილების მიმართულების შესაცვლელად. ნახაზზე 9.55 3H – არის არამგრძნობიარობის ზონა.

არამგრძნობიარობის ზონის სიდიდე ჩვეულებრივ მიიღება ტექნიკური პირობებით ავტომატური რეგულირების მოცემული კონკრეტული სისტემისათვის. ჩვეულებრივ, არამგრძნობიარობის ზონა არ უნდა აღემატებოდეს +5% მოცემული სარეგულირებელი სიდიდისაგან  $X_{\text{მდ}}$ .

ნახაზზე 9.57 სწორი a წარმოადგენს სარეგულირებელი სიდიდის მოცემულ მნიშვნელობას; მრუდი δ გამოსახავს სარეგულირებელი პარამეტრის ფაქტობრივ ცვლილებას; არამგრძნობიარობის ზონა შემოსაზღვრულია წყვეტილი ხაზებით.



ნახ.9.57. სარეგულირებელი სიდიდის მნიშვნელობები:  $a$  - სიდიდის მოცემული მნიშვნელობა;  $\delta$  - სარეგულირებელი პარამეტრის ფაქტობრივი ცვლილება

სტატიკური ცდომილების მეორე მდგენელი ეს არის საკუთრივ სტატიკური შეცდომა, დამოკიდებული ავტომატური რეგულირების სისტემის კონსტრუქციისა და მისი დატვირთვისაგან.

სარეგულირებელი სიდიდის უდიდესი გადახრა, რომელიც წარმოიშვება დატვირთვის მაქსიმალურად შეცვლის შედეგად და რჩქბა ავტომატური რეგულირების სისტემაში გარდამავალი პროცესის დამთავრების შემდეგ, იწოდება სტატიკურ შეცდომად. იგი დამასხასიათებელია რეგულირების სტატიკური სისტემებისათვის.

სტატიკური შეცდომა

$$\delta = X_{\text{ძღგნიმი}} - X_{\text{ძღგ}}$$

არ უნდა აღემატებოდეს  $\delta_{gen}$  დასაშვებ სიდიდეს. რეგულირების ასტატიკურ სისტემაში სტატიკური შეცდომა არ არსებობს. სტატიკური შეცდომა გამოითვლება პროცენტებში სარეგულირებელი სიდიდის ნომინალური მნიშვნელობისადმი  $X_{\text{ძღგნიმი}}$ .

$$\delta \% = \frac{\delta}{X_{\text{ძღგნიმი}}} \cdot 100. \quad (9.141)$$

**ვ) დამყარებული გადახრა განისაზღვრება სარეგულირებელი სიდიდის გადახრის სიდიდით მოცემული მნიშვნელობიდან დამყარებულ პროცესში.**

**გ) რეგულირების დროის ქვეშ იგულისხმება გარდამავალი პროცესის დროის მონაკვეთი რეგულირების სისტემაზე ზემოქმედების მოდების მომენტიდან იმ მომენტამდე, როდესაც სარეგულირებელი სიდიდე შედის არამგრძნობიარობის ზონაში.**

**ბ) გარდამავალი პროცესის რხევითობა ეს არის სარეგულირებელი სიდიდის მის ახალ დამყარებულ მნიშვნელობასთან ახლოს რხევების რიცხვი გარდამავალი პროცესის დროის განმავლობაში. იგი ჩვეულებრივ არ უნდა აღწევატებოდეს მოცემულ რიცხვს.**

### **§13. ავტომატური სისტემის რეგულირების ხარისხის კორექტირება**

მეოთხე თავის სტატუსის მიზნით განმარტებულია უკუკავშირის გამოყენების შესახებ გაძლიერების კოეფიციენტის სტაბილიზაციის ან მისი გაზრდის მიზნით, განსაზღვრულია დადებითი და უარყოფითი უპუპავშირები. განმარტებულია, რომ დადებითი უკუკავშირის გამოყენება ზრდის გაძლიერების კოეფიციენტს, ხოლო უარყოფითი უკუკავშირის გამოყენება ამცირებს მას.

შევნიშნავთ, რომ კავშირები, რომლებიც წარმოქმნიან ზემოქმედების გადაცემის გზას ავტომატური რეგულირების სისტემის ელემენტებს შორის, იწოდებიან მთავარ კავშირებად. ერთი რომელიმე მთავარი კავშირის დარღვევისას მთელი სისტემის მარეგულირებელი მოქმედება შეწყდება. მთავარ კავშირებად ჩვეულებრივ გამოიყენება ბერკეტები, რედუქტორული და კბილანა გადაცემები, ელექტრული სადენები და კაბელები, ჰიდრავლიკური და პნევმატური გადაცემები. მთავარი და დამატებითი უკუკავშირების, აგრეთვე, ერთკონტურიანი და მრავალკონტურიანი სქემების შესახებ იხილეთ მეათე თავის მეცნიერებულ პარაგრაფში.

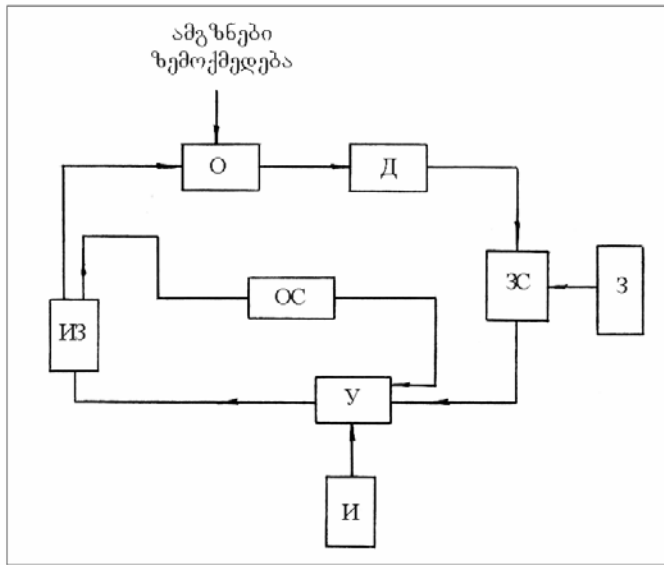
თუ დაპროექტებული ავტომატური რეგულირების სისტემა აღმოჩნდა არამდგრადი, ის შეიძლება გადაკეთდეს მდგრადად სპეციალური მაკორექტირებელი მოწყობილობების სისტემაში შეყვანით, რომლებსაც, ამ შემთხვევაში, ჩვეულებრივ უწოდებენ მასტაბილიზებელ მოწყობილობებს.

არამდგრადი სისტემები იყოფიან სტრუქტურულად მდგრადად და სტრუქტურულად არამდგრადად.

სტრუქტურულად მდგრადი ეწოდება ავტომატური რეგულირების სისტემებს იმ შემთხვევაში, თუ ისინი შეიძლება გაკეთდეს მდგრადად მათი პარამეტრების (დროის მუდმივების, გაძლიერების კოეფიციენტების) რიცხვითი მნიშვნელობების შეცვლით, სტრუქტურული სქემის შეცვლელად.

სტრუქტურულად არამდგრადი ეწოდება ავტომატური რეგულირების სისტემებს, რომლებიც მათი პარამეტრების კერავითარი შეცვლით არ შეიძლება გახდნენ მდგრადი. ამ სისტემების მდგრადობის მიღწევა შეიძლება მხოლოდ მათი სტრუქტურული სქემის შეცვლით.

სისტემის სტაბილიზირებისათვის შეიძლება გამოყენებული იქნეს უკუკავშირი, რომლის ძირითადი დანიშნულებაა – ცალკეული რგოლის ან რგოლების ჯგუფის თვისებების შეცვლით რეგულირების ხარისხის გაუმჯობესება და გარდამავალი პროცესის მდგრადობის უზრუნველყოფა, ე.ი. სისტემის სტაბილიზირება. მაშასადამე, უკუკავშირი ასრულებს მაკორექტირებელი მოწყობილობის როლს. ამრიგად, ავტომატური რეგულირების სისტემის კორექცია გარაუდობს რეგულირების სისტემის სტრუქტურის ან ცალკეული რგოლების პარამეტრების შეცვლას, გამომდინარე სისტემის მდგრადობის ამაღლების პირობიდან (მდგრადობის აუცილებელი მარაგების მიღება), აგრეთვე, განსაზღვრული დინამიკური თვისებების მიღებას (სიზუსტე, სწრაფქმედება). ავტომატური რეგულირების სისტემაში უკუკავშირი ყველაზე ხშირად ხორციელდება შემსრულებელი მოწყობილობის გამოსახვლელსა და მაძლიერებლის შესახვლელს შორის (ნახ.9.58).



ნახ.9.58. ავტომატური რეგულირების სისტემის ფუნქციონალური სქემა უარყოფითი უკუკავშირით

უკუკავშირები მათი მიერთების მეთოდის მიხედვით იყოფიან დადებითად და უარყოფითად. დადებითი ეწოდება ისეთ უპერაციონს, რომლის სიგნალიც შეიყვანება რგოლში იმავე ნიშნით, რაც ძირითადი წრედით მიწოდებული შესასვლელი სიდიდე. უარყოფითი ეწოდება ისეთ უპერაციონს, რომლის სიგნალიც შეიყვანება რგოლში ნიშნით, საწინააღმდეგო შესასვლელი სიდიდის ნიშნისა, რომელიც მიეწოდება ძირითადი წრედით.

ავტომატური რეგულირების ტექნიკაში ყველაზე ფართო გამოყენება პპოვა უარყოფითმა უკუკავშირმა, რადგან იგი ამცირებს რგოლის ინერციულობას, აუზჯობესებს მდგრადობას, ახშობს რევენებს და ცვლის რგოლის ტიპს.

ავტომატური რეგულირების სისტემებში გამოყენებული უარყოფითი უკუკავშირები იყოფა სისტად და მოქნილად.

\* უკუკავშირს ეწოდება მოქნილი, თუ დამატებით კონტურში ჩართულია მადიფურენცირებელი რგოლები. კონტურში ჩვეულებრივი პროპირციული რგოლის ჩართვის დროს უკუკავშირს ეწოდება სისტი. კორექცია სისტი უკუკავშირის დახმარებით ტექნიკურად ყველაზე მარტივია. მოქნილ უკუკავშირს სხვაგვარად იზოდრომულს უწოდებენ.

ხისტი უკუკავშირები (იგი შესაძლოა მოქმედებდეს მუდმივად – გარდამავალი პროცესის დროს და მაშინაც, როდესაც პროცესი დამყარებულია) მათში გამოყენებული მოწყობილობებისაგან დამოკიდებულებით, გვხვდება:

ა) მარტივი, რომელიც აიწერება განტოლებით

$$X_{\text{უმუკ}} = k_{\text{უ.}} X_{\text{გამ.}}, \quad (9.142)$$

სადაც

$X_{\text{უმუკ}}$  არის უკუკავშირის შესახვლელი სიდიდე;

$k_{\text{უ.}}$  – უკუკავშირის გაძლიერების კოეფიციენტი;

$X_{\text{გამ.}}$  – რგოლის გამოსასვლელი სიდიდე.

ბ) ინერციული, რომელიც აიწერება განტოლებით

$$T_{\text{უ.}} \frac{dx_{\text{უმუკ}}}{dt} + x_{\text{უმუკ}} = k_{\text{უ.}} x_{\text{გამ.}}. \quad (9.143)$$

მოქნილი უკუკავშირები (მოქმედებს მხოლოდ გარდამავალ პროცესში და არ მოქმედებს დამყარებული პროცესის დროს) გვხვდება:

ა) მარტივი, რომელიც აიწერება განტოლებით

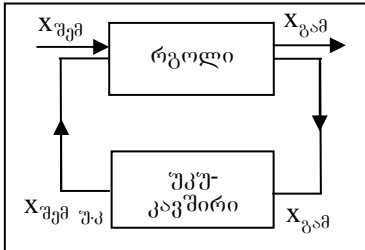
$$x_{\text{უმუკ}} = k_{\text{უ.}} \frac{dx_{\text{გამ.}}}{dt}; \quad (9.144)$$

ბ) ინერციული (ეწოდება აგრეთვე იზოდრომული), რომელიც აიწერება განტოლებით

$$T_{\text{უ.}} \frac{dx_{\text{უმუკ}}}{dt} + x_{\text{უმუკ}} = k_{\text{უ.}} \frac{dx_{\text{გამ.}}}{dt}. \quad (9.145)$$

განვიხილოთ ზოგიერთი მაგალითი ხისტი უკუკავშირის გავლენისა მის მიერ მოცული რგოლების დინამიკურ თვისებებზე.

ვთქვათ, ჩვენ მოცემული გვაქვს აპერიოდული პირველი რიგის რგოლი, რომელსაც მოიცავს უარყოფითი უკუკავშირი, მაგალითად პროპორციული რგოლის სახით (ნახ.9.59). პროპორციული რგოლის განტოლება ჩვენი შემთხვევისათვის აიწერება განტოლებით 9.142.



ნახ.9.59. ავტომატური რეგულირების უპუგავშირით შემოწყდომილი რგოლის პირობითი გამოსახვა

მათემატიკურად უარყოფითი უპუგავშირის შეყვანა აპერიოდულ რგოლში გამოიხატება შემდეგნაირად. როგორც უკვე ცნობილია [ფორმულა (9.7)], აპერიოდული პირველი რიგის რგოლის განტოლებას აქვს სახე

$$T \frac{dx_{\theta\theta\theta}}{dt} + x_{\theta\theta\theta} = kx_{\theta\theta\theta}.$$

უარყოფითი უპუგავშირის ჩასმით ამ განტოლებაში, მივიღებთ

$$T \frac{dx_{\theta\theta\theta}}{dt} + x_{\theta\theta\theta} = k(x_{\theta\theta\theta} - x_{\theta\theta\theta,\theta\theta\theta}). \quad (9.146)$$

განსაზღვრის თანახმად უარყოფითი უპუგავშირი გამოაქვთ გადასაზღვრის შემავალი სიდიდის სიგნალს, იხ. ფორმულა 4.10.

ჩაგსვათ  $x_{\theta\theta\theta,\theta\theta\theta}$ -ის მნიშვნელობა 9.142-დან 9.146-ში:

$$\begin{aligned} T \frac{dx_{\theta\theta\theta}}{dt} + x_{\theta\theta\theta} &= k(x_{\theta\theta\theta} - k_{\theta\theta\theta} x_{\theta\theta\theta}); \\ T \frac{dx_{\theta\theta\theta}}{dt} + x_{\theta\theta\theta} &= kx_{\theta\theta\theta} - kk_{\theta\theta\theta} x_{\theta\theta\theta}; \\ T \frac{dx_{\theta\theta\theta}}{dt} + (1 + kk_{\theta\theta\theta})x_{\theta\theta\theta} &= kx_{\theta\theta\theta}. \end{aligned} \quad (9.147)$$

თუ უკანასკნელი ტოლობის თრიგე ნაწილს გავყოფთ  $1 + kk_{\theta\theta\theta}$ -ზე, გვექნება

$$\frac{T}{1 + kk_{\theta\theta\theta}} \cdot \frac{dx_{\theta\theta\theta}}{dt} + x_{\theta\theta\theta} = \frac{k}{1 + kk_{\theta\theta\theta}} x_{\theta\theta\theta}. \quad (9.148)$$

აღვნიშნოთ

$$\frac{T}{1+kk_{\text{ა.მ.}}} = T_1; \quad \frac{k}{1+kk_{\text{ა.მ.}}} = k_1;$$

მაშინ 9.148 განტოლება მიიღებს სახეს

$$T_1 \frac{dx_{\text{ა.მ.}}}{dt} + x_{\text{ა.მ.}} = k_1 x_{\text{ა.მ.}} \quad (9.149)$$

(9.149) განტოლება წარმოადგენს, აგრეთვე, აპერიოდულ პირველი რიგის რგოლს, მაგრამ ნაკლები დროის მუდმივათი ( $T_1 < T$ , რადგან  $T_1 = \frac{T}{1+kk_{\text{ა.მ.}}}$ , ამასთან, მნიშვნელი მეტია ერთზე). მაშასადამე, რგოლი უარყოფითი უპუკავშირით მიიღება ნაკლებად ინერციული. მოცემული რგოლის გაძლიერების კოეფიციენტის  $k$ -ს საკმარისად დიდი მნიშვნელობისას 9.149 განტოლების პირველი შესაკრები შეიძლება უგულებელვყოთ (ვინაიდან  $T_1$  იქნება მცირე), ხოლო

$$k_1 = \frac{k}{1+kk_{\text{ა.მ.}}} \approx \frac{k}{kk_{\text{ა.მ.}}} = \frac{1}{k_{\text{ა.მ.}}},$$

ვინაიდან  $kk_{\text{ა.მ.}} >> 1$  და მაშინ

$$x_{\text{ა.მ.}} \approx \frac{1}{k_{\text{ა.მ.}}} x_{\text{ა.მ.}}. \quad (9.150)$$

9.150 თანაფარდობიდან ჩანს, რომ აპერიოდული პირველი რიგის რგოლი, გაძლიერების დიდი კოეფიციენტით, მოცემული სისტი უკუკავშირით, იქნება ახლო პროპორციულ რგოლთან უკუკავშირის კოეფიციენტის შებრუნებული სიდიდის ტოლი გაძლიერების კოეფიციენტით.

მოვიცვათ უარყოფითი უკუკავშირით იდეალური მაინტერებელი რგოლი რგოლი, რომელიც აიწერება განტოლებით 9.11.

$$\frac{dx_{\text{ა.მ.}}}{dt} = kx_{\text{ა.მ.}}.$$

პროპორციული რგოლის განტოლება, გამოყენებული უკუკავშირის სახით, აიწერება განტოლებით 9.142; მაინტერებელი რგოლის განტოლება, მოცემული უკუკავშირით, გამოიხატება განტოლებით

$$\frac{dx_{\delta\alpha\beta}}{dt} = k(x_{\alpha\beta} - x_{\alpha\beta\gamma\delta\gamma\delta}). \quad (9.151)$$

$x_{\alpha\beta\gamma\delta}$ -ს მნიშვნელობის ჩასმით 9.142-დან 9.151-ზე,  
გვექმნა

$$\begin{aligned} \frac{dx_{\delta\alpha\beta}}{dt} &= kx_{\alpha\beta} - kk_{\gamma\delta}x_{\delta\alpha\beta}, \\ \frac{dx_{\delta\alpha\beta}}{dt} + kk_{\gamma\delta}x_{\delta\alpha\beta} &= kx_{\alpha\beta}. \end{aligned} \quad (9.152)$$

ტოლობის ორივე ნაწილის გაყოფით  $kk_{\gamma\delta}$ -ზე, მივიღებთ

$$\frac{1}{kk_{\gamma\delta}} \cdot \frac{dx_{\delta\alpha\beta}}{dt} + x_{\delta\alpha\beta} = \frac{1}{k_{\gamma\delta}} x_{\alpha\beta}. \quad (9.153)$$

$$\text{შევვალოთ } \frac{1}{kk_{\gamma\delta}} = T_1; \quad \frac{1}{k_{\gamma\delta}} = k_1,$$

მაშინ

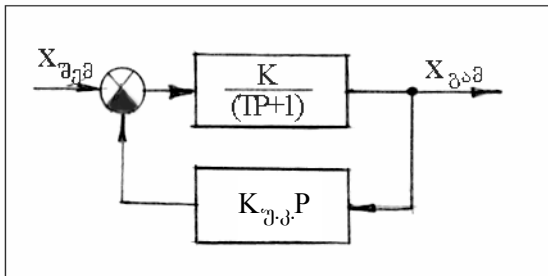
$$T_1 \frac{dx_{\delta\alpha\beta}}{dt} + x_{\delta\alpha\beta} = k_1 x_{\alpha\beta},$$

რაც წარმოადგენს აპერიოდული პირველი რიგის რგოლის განტოლებას.

მაშასადამე, იდეალური მაინტეგრებელი რგოლი, მოცული ხისტი უკუკავშირით, ეკვივალენტურია აპერიოდული პირველი რიგის რგოლისა.

$$\text{ახლა განვსაზღვროთ } x_{\alpha\beta\gamma\delta} = k_{\gamma\delta} \frac{dx_{\delta\alpha\beta}}{dt} = k_{\gamma\delta} P x_{\delta\alpha\beta} \quad \text{სახით}$$

მოქნილი უკუკავშირის გავლენა ცალკეული რგოლების თვისებებზე გადამცემი ფუნქციების გამოყენებით. მოვიცვათ ასეთი უკუკავშირით აპერიოდული რგოლი (ფორმულა 9.7), რომელიც ოპერატორული ფორმით გამოიხატება (ფორმულა 9.44, ნახ. 9.60)



ნახ.9.60. აპერიო-  
დული რგოლის შე-  
მოწვდომა მოქნილი  
შპსპაგშირით

$$(TP + 1)x_{\text{вых}} = kx_{\text{вх}}.$$

ეპივალენტური რგოლის გადამცემი ფუნქციისათვის 9.38 ფორმულის თანახმად გვექნება

$$\begin{aligned} W(P) &= \frac{W_I(P)}{1 + W_I(P) \cdot W_{\text{вых}}(P)} = \frac{\frac{k}{TP+1}}{\frac{k}{TP+1} \cdot k_{\text{вых}} \cdot P} = \frac{\frac{k}{TP+1}}{TP+1 + kk_{\text{вых}} \cdot P} = \\ &= \frac{k}{TP + kk_{\text{вых}} \cdot P + 1} = \frac{k}{P(T + kk_{\text{вых}}) + 1} = \frac{k}{P(T_{\text{зат}} + 1)}, \end{aligned}$$

სადაც

$$T_{\text{зат}} = T + kk_{\text{вых}}.$$

ამ შემთხვევაში მოქნილი უკუპავშირის ჩართვამ არ შეცვალა რგოლის ხასიათი. იზრდება მხოლოდ მისი დროის მუდმივა, ხოლო გაძლიერების კოეფიციენტი რჩება ადრინ-დელი.

თუ მოვიცავთ მაინტეგრებელ რგოლს მოქნილი უარყ-ოფითი უკუპავშირით, რგოლის ტიპი ისევ შენარჩუნებული იქნება, ხოლო მისი გაძლიერების კოეფიციენტი შეიცვლება, რაც ჩანს შემდეგი თანაფარდობიდან

$$W(P) = \frac{\frac{k}{P}}{1 + \frac{k}{P}k_{\text{вых}} \cdot P} = \frac{k}{P + kk_{\text{вых}} \cdot P} = \frac{k}{P(1 + kk_{\text{вых}})} = \frac{k}{T_{\text{зат}} \cdot P},$$

სადაც

$$T_{\text{зат}} = 1 + kk_{\text{вых}}.$$

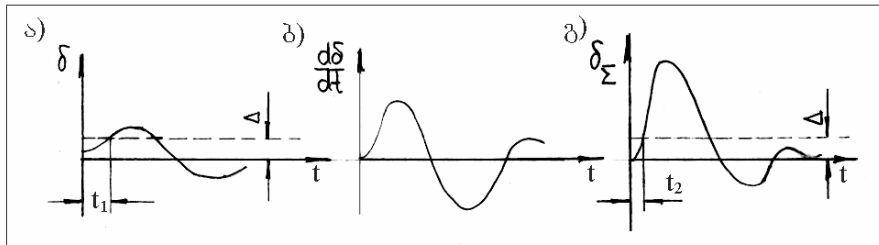
კონსტრუქციულად უპუკავშირებად შეიძლება გამოყენებული იქნეს ნებისმიერი მექანიკური, თბური, ელექტრული, ელექტრონული, პრეცესიული, პიდრავლიკური მოწყობილობები, რომელთა დინამიკა მიახლოებით აიწერება ზემოთ მოყვანილ ერთ-ერთი განტოლებით.

ზემოთ აღნიშნულის საფუძველზე შეიძლება დავასტენათ, რომ სარეგულირებელი სიდიდის გადახრა დამყარებულ რეჟიმში (სტატიკური შეცდომა  $\delta$ ), მდგრადობა და რეგულირების პროცესის ხარისხი (გარდამავალი პროცესის დრო, გადამატრებულირება) ბევრ შემთხვევაში ურთიერთგამომრიცხავია. კერძოდ, განროტული სისტემის გაძლიერების კოეფიციენტის გაზრდა (რომელიც ტოლია ჩაკეტილი კონტრის თანმიმდევრობით ჩართული ელემენტების გაძლიერების კოეფიციენტების ნამრავლისა) ამცირებს სტატიკურ შეცდომას, მაგრამ, ერთდროულად ამცირებს მდგრადობის მარაგსაც, ზრდის სარეგულირებელი სიდიდის ცვლილების სიჩქარეს. მაგრამ, შეუძლია გამოიწვიოს ძლიერი რხევითი პროცესი, დიდი გადამეტრებულირება და გარდამავალი პროცესის დროის გაზრდა.

სისტემაში მაინტენანციული რგოლის შეუკანა სისტემას ხდის ასტატიკურს ( $\delta=0$  სისტემა, რომელშიც რეგულირება სტატიკაში ხორციელდება უშეცდომოდ), მაგრამ, ამცირებს მდგრადობის მარაგს და ანელებს გარდამავალ პროცესს. ამიტომ, ცვლილობები ისე შეარჩიონ სისტემის ელემენტების პარამეტრები, რომ სტატიკური შეცდომა, გადამეტრებულირება, რეგულირების დრო და მდგრადობის მარაგი აკმაყოფილებდეს მოთხოვნებს, რომლებიც წაეყვნება სისტემის ექსპლოატაციის პირობებს. თუ ამ ამოცანის გადაწყვეტა არ ხერხდება მხოლოდ სისტემის ძირითადი ელემენტების პარამატრების შეცვლის ხარჯზე, მაშინ როგორც ზემოთ იყო აღნიშნული, სისტემაში შეჰყავთ მაკორექტირებელი ელემენტები. კერძოდ, ასტატიკური სისტემის მისაღებად შეჰყავთ მაინტეგრირებელი რგოლი, ხოლო ასტატიკური სისტემის გარდასაქმნელად სტატიკურ სისტემად, რაც აუცილებელია, ხოლმე, მდგრადობის ასამაღლებლად, მაინტეგრირებელ ელემენტს მოიცავენ ხისტი უპუკავშირით – პროპორციული რგოლით გადამცემი ფუნქციით  $W(P)=k$ .

სწრაფადმოქმედი სისტემის მიღების სურვილის დროს, სტატიკურ სისტემაზე გადაუსვლელად (რათა არ წარმოიქმნას სტატიკური შეცდომა), მაინტეგრირებელ ელემენტს მოცვევენ არა ხისტი, არამედ მოქნილი უკუკავშირით. ასეთი სისტემა გარდამავალ პროცესში მუშაობს როგორც სტატიკური, ხოლო გარდამავალი პროცესის ბოლოს – როგორც ასტატიკური. მაშასადამე, ეს სისტემა იქნება ასტატიკური და ერთდროულად ექნება მდგრადობის დიდი მარაგი და უფრო მაღალი სწრაფმოქმედება, ვიდრე სისტემას უკუკავშირის გარეშე.

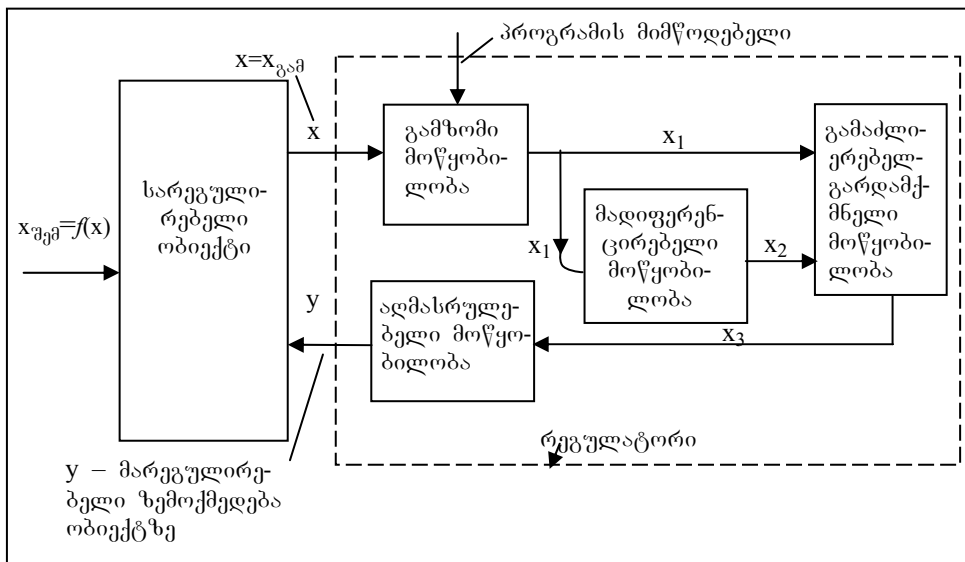
სწრაფმოქმედების გასაზრდელად, ზოგიერთ ავტომატური რეგულირების სისტემაში, მაძლიერებლის შესასვლელში გადახრის პროპორციულ სიგნალთან  $\delta$  ერთდროულად (ნახ.9.61,ა), შექვეთ სიჩქარის  $\frac{d(\delta)}{dt}$  პროპორციული სიგნალი (ნახ.9.61,ბ). ეს კორექტირება იწოდება ზემოქმედების შეუვანად წარმოებულის მიხედვით. სისტემის სწრაფმოქმედება  $\delta$ -ზე დელტა იმის შედეგად, რომ პროცესის დასაწყისში მაძლიერებელზე მიეწოდება დიდი სიგნალი ( $\delta_{\Sigma} = \delta + \frac{d(\delta)}{dt}$ ), ხოლო სისტემის წონასწორობის მდგომარეობასთან მიახლოვების კვალობაზე ეს სიგნალი მცირდება (ნახ.9.61,გ). თუ სისტემა დაიწყებს შეცდომის სიგნალის გამომუშავებას მისი მნიშვნელობის დროს, რომელიც მეტია  $\Delta$ -ზე, როდესაც  $t=t_1$  ზემოქმედების შეუვანისას წარმოებულის მიხედვით, სიგნალის გამომუშავება დაიწყება  $t_2$ -ის დროს, რომელიც ნაკლებია  $t_1$ -ზე.



ნახ.9.61. კორექტირება ზემოქმედების შეუვანით

სიგნალის შეყვანა წარმოებულის მიხედვით ზრდის სწრაფომექანიზმის და მდგრადობის მარაგს და არ ახდენს გავლენას სისტემის სტატიკურ მახასიათებელზე.

რეგულირების კანონში რეგულირების ხარისხის გაუმჯობესების მეტად ეფექტურ საშუალებას წარმოადგენს, აგრეთვე, ინტეგრალის შეყვანა რეგულირების კანონში. (რეგულირების კანონის ქვეშ იგულისხმება რეგულატორის შემავალ და გამომავალ სიდიდეებს შორის დამოკიდებულება, შედგენილი რეგულატორის ინერციულობის გაუთვალისწინებლად, დროის მუდმივების გაუთვალისწინებლად, ე.ი. რეგულირების კანონი არის “იდეალური” რეგულატორის განტოლება). გადახრის წარმოებულის შესაყვანად რეგულატორის სქემას უერთდება მაღივერერციორებელი მოწყობილობა, რაც იწვევს გარდამავალი პროცესის ჩაქრობის დაჩქარებას (ნახ.9.62).



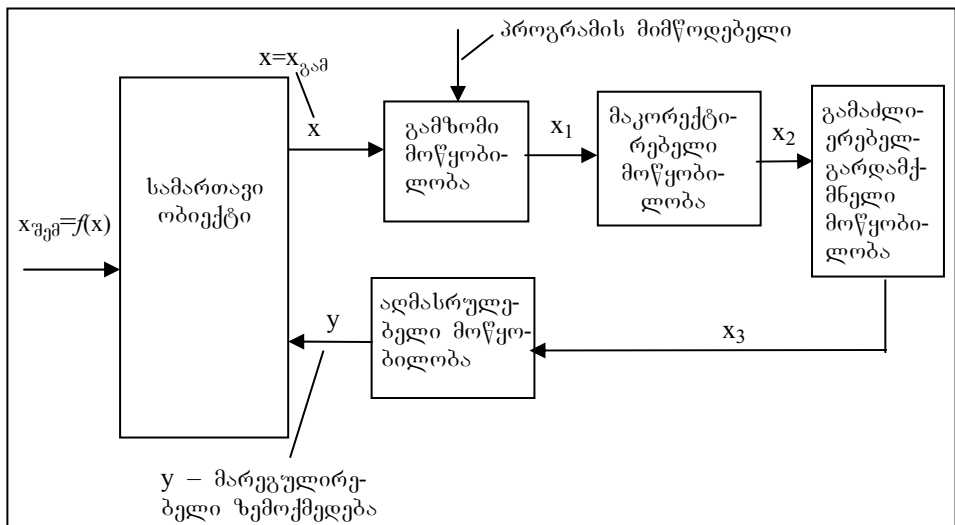
ნახ.9.62. წარმოებულის შეყვანა რეგულირების კანონში

ინტეგრალის შეყვანა რეგულირების კანონში ცვლის რეგულატორის მოქმედების პრინციპს: სტატიკური რეგულატორიდან იგი გარდაიქმნება ასტატიკურად, რომელსაც არ გააჩნია რეგულირების სტატიკური შეცდომა. ასტატიკურ

სისტემაში რეგულირება წარმოებს სარეგულირებელი სიდიდის გადახრის ინტეგრალის მიხედვით, მაშინ როდესაც სტატიკურ სისტემაში – სარეგულირებელი სიდიდის გადახრის მიხედვით. რეგულირების ასტატიკურ კანონს ხშირად უწოდებენ სიჩქარითს, ხოლო სტატიკურს – პოზიციურს.

ინტეგრალი რეგულირების კანონში შეიძლება შეყვანილი იქნეს ელექტრომექანიკური, მექანიკური, ელექტრონული კონსტრუქციების დახმარებით.

წარმოებულისა და ინტეგრალის შეყვანა რეგულირების კანონში – ეს არის თანმიმდევრობითი მაკორექტირებელი მოწყობილობების ჩართვის სხვადასხვა კერძო შემთხვევები (ნახ.9.63). თანმიმდევრობითი მაკორექტირებელი მოწყობილობების გარდა, რეგულირების პროცესის გასაუმჯობესებლად რეგულატორში შეყვავთ პარალელური მაკორექტირებელი მოწყობილობები. ესენი არიან ე.წ. დამატებითი უპუკავშირები.



ნახ.9.63. მაკორექტირებელი მოწყობილობის შეყვანა რეგულირების პროცესში

$$x_1 = k_1 x$$

$$x_2 = k \frac{dx_1}{dt}$$

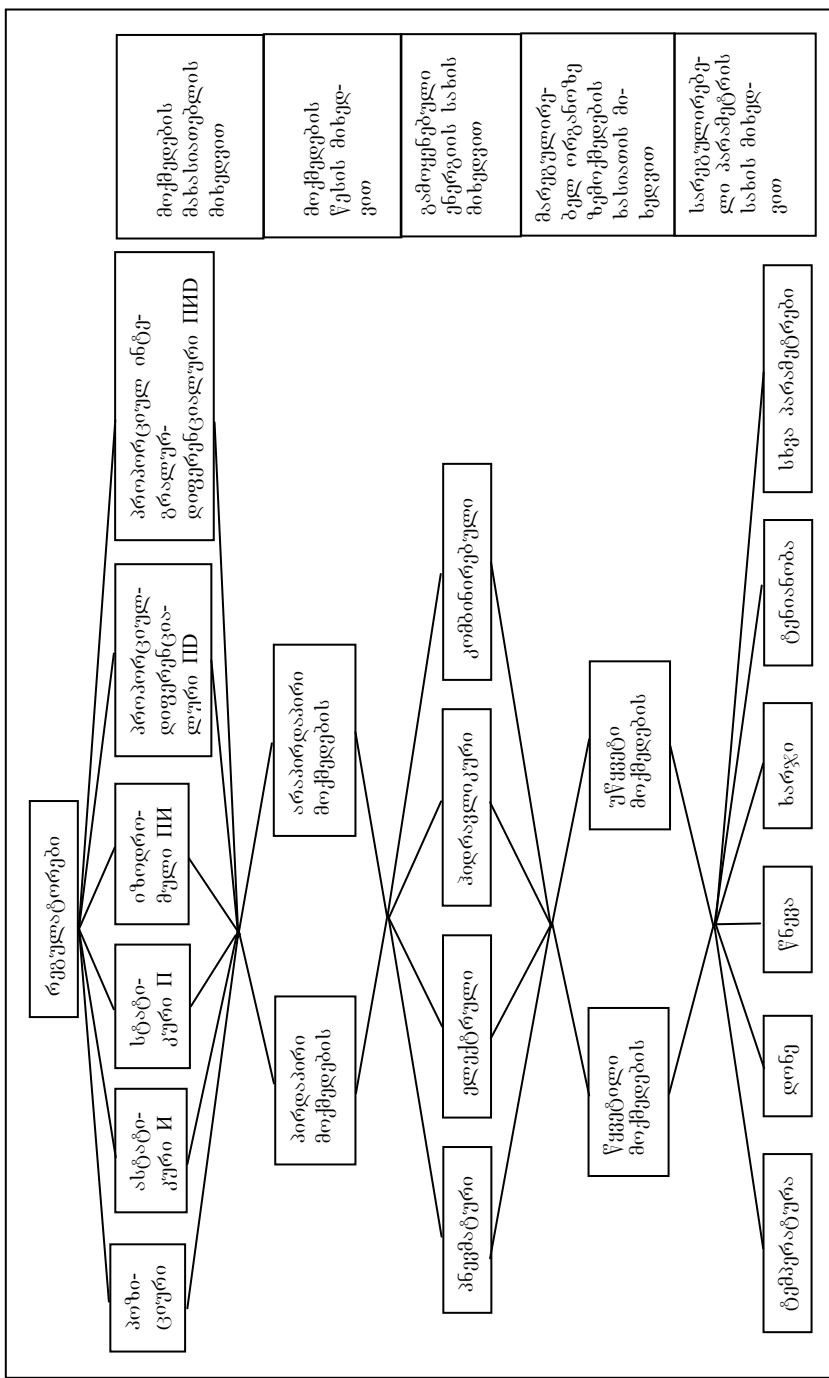
$$x_3 = k_2 (x_1 + x_2)$$

$$y = k_3 x_3$$

$$y = k_1 k_2 k_3 \left( x + \frac{k}{k_1} \frac{dx_1}{dt} \right)$$

დამატებითი უპუკავშირი წარმოადგენს მოწყობილობას, რომელიც გადასცემს ზემოქმედებას მომდევნო რგოლიდან ერთ-ერთ წინა რგოლზე. დამატებითი უპუკავშირი ირთვება რგოლის ან რგოლების ჯგუფის პარალელურად და ქმნის რეგულატორის შიგნით დამატებით ჩაკეტილ კონტრუებს.

სწორად გაანგარიშებული და აწყობილი ავტომატური რეგულირების სისტემა, გამომდინარე მუშაობის კონკრეტული პირობებიდან, შეიძლება აღმოჩნდეს პრაქტიკულად არა-მუშაუნარიანი, თუ ელემენტების პარამეტრები და შემაშფოთებელი ზემოქმედებები მნიშვნელოვნად იხრებიან საანგარიშოდან. მაგალითად, გრუნტის ტემპერატურის დაკლებისას, რომელსაც ამუშავებს მიწისმთხერელი მანქანა სიმაგრე შეიძლება მნიშვნელოვნად ამაღლდეს საანგარიშოსთან შედარებით, რაც უარყოფითად იმოქმედებს ამ მანქანის მწარმოებლურობის მარეგულირებელი ავტომატური სისტემის მუშაობის ხარისხზე. ასევე სამსხვრეველებისა და ცხაურების ავტომატური რეგულირების სისტემის მუშაობაზე მნიშვნელოვნად იმოქმედებს გადასამუშავებელი მასალის გრანულომეტრიული შემადგენლობის შეცვლა. ამიტომ განსაკუთრებით საპასუხისმგებლო შემთხვევებში გამოიყენება ავტომატური რეგულირების სისტემები, რომლებიც უზრუნველყოფენ რეგულატორის ავტომატურ გადაწყობას გარე პირობების შეცვლის დროს კოეფიციენტების  $k_{\pi}$  ( $\pi$  – რეგულატორი),  $k_{\alpha}$  ( $\alpha$  – რეგულატორი),  $k_D$  ( $D$  – რეგულატორი) შეცვლით, რომლებიც ადგენერ რეგულატორის გამომავალ სიგნალს. ასეთ სისტემებს ეწოდება თვითაწყობადი ან ადაპტიური. რეგულატორების კლასიფიკაცია მოცემულია ნახაზზე 9.64.



ნახ.9.64. რეგულატორების ქლასიფიკაცია

რეგულატორის ძირითად თვისებას, რომელიც განსაზღვრავს მის კლასიფიკაციას, წარმოადგენს მისი მოქმედების დახასიათება (რეგულირების კანონი), კ.ი. დამოკიდებულება სარეგულირებელი პარამეტრის ცვლილებასა (მისი მოცემული მნიშვნელობიდან გადახრასა – შემავალი სიდიდე) და მარეგულირებელი ორგანოს გადაადგილებას (მდგომარეობას – გამომავალი სიდიდე) შორის.

მოქმედების დახასიათების მიხედვით რეგულატორები შეიძლება დაიყოს ექვს ტიპად (იხ. სქემა ნახ.9.64):

1. პოზიციური;

2. ასტატიკური (ინტეგრალური) И [გამოიყენება მხოლოდ სიგნალი  $k_H \int \delta dt (k_{\pi} = 0, k_d = 0)$ ];

3. სტატიკური (პროპორციული) П [გამოიყენება მხოლოდ სიგნალი  $k_{\pi} \delta (k_H = 0, k_d = 0)$ ];

4. იზოდრომული (პროპორციულ-ინტეგრალური) ПИ [გამოიყენება სიგნალები  $k_{\pi} \delta$  და  $k_H \int \delta dt (k_d = 0)$ ];

5. პროპორციულ-დიფერენციალური ПД [გამოიყენება სიგნალები  $k_{\pi} \delta$  და  $k_d \frac{d\delta}{dt} (k_H = 0)$ ];

6. იზოდრომული პირველი წარმოებულით (პროპორციულ-ინტეგრალურ-დიფერენციალური) ПИД [გამოიყენება სამივე სიგნალი  $k_{\pi} \delta$ ,  $k_H \int \delta dt$  და  $k_d \frac{d\delta}{dt}$ ].

პოზიციურ რეგულატორებში მარეგულირებელმა ორგანომ შეიძლება დაიკავოს ორი ან სამი განსაზღვრული მდგომარეობა (ორპოზიციანი და სამპოზიციანი რეგულატორები). ორპოზიციან რეგულატორებში მარეგულირებელი ორგანო შეიძლება იყოს ორ მდგომარეობაში – მთლიანად გაღებულ (გახსნილ) ან მთლიანად დაკეტილ (დახურულ) მდგომარეობაში. ორპოზიციანი რეგულატორის მარეგულირებელი ორგანოს გადახაცვლება წარმოებს თითქმის მყისიერად. სამპოზიციან რეგულატორებში მარეგულირებელ ორგანოს შეუძლია დაიკავოს სამი მდგომარეობა – მთლიანად გაღებული, საშუალო (ნორმალური) და მთლიანად დაკეტილი.

ასტატიკური (ინტეგრალური) რეგულატორები, ან შემოკლებით ი-რეგულატორები. ამ რეგულატორებს არ გააჩნიათ უპუკავშირი.

სტატიკური (პროპორციული) რეგულატორები, ან შემოკლებით პ-რეგულატორები. ამ რეგულატორებს გააჩნიათ ხისტი უპუკავშირი.

იზოდრომული (პროპორციულ-ინტეგრალური) რეგულატორები, ან შემოკლებით პИ-რეგულატორები. ეს რეგულატორები არიან მოქნილი უკუპავშირით.

პროპორციულ-დიფერენციალური რეგულატორები, ან შემოკლებით პД-რეგულატორები. ამ რეგულატორებს ზოგჯერ უწოდებენ სტატიკურს პირველი წარმოებულით.

პროპორციულ-ინტეგრალურ-დიფერენციალური რეგულატორები ან შემოკლებით პИД-რეგულატორები. ამ რეგულატორებს უწოდებენ, აგრეთვე, იზოდრომულს პირველი წარმოებულით.

მოქმედების წესის მიხედვით რეგულატორები იყოფიან პირდაპირი და არაპირდაპირი მოქმედების რეგულატორებად. პირდაპირი მოქმედების რეგულატორებს არ გააჩნიათ გამაძლიერებელი და არ იყენებენ გარეშე ენერგიას. უმეტეს შემთხვევებში მარეგულირებელი ორგანო მოქმედებაში მოიყვანება ბერკეტების სისტემით (დონის რეგულატორები იხ. ნახ.8.7) ან სითხის ან გაზის წნევით, რომელიც მოთავსებულია საკუთრივ ხელსაწყოს სისტემაში.

ყველა რეგულატორს მოძრავ სისტემებში ხახუნის გამო გააჩნია რადაც არამგრძნობიარობა. ამიტომ, რეგულატორი მოქმედებაში მოდის სარეგულირებელი პარამეტრის გადახრის შემდეგ წონასწორობის მნიშვნელობიდან განსაზღვრულ სასრულ სიდიდემდე.

სარეგულირებელი პარამეტრის უმცირესი ცვლილების გაორმაგებული სიდიდე, რომლის დროსაც ამოქმედდა მარეგულირებელი ორგანო, იწოდება რეგულატორის არამგრძნობიარობის ზონად. მაგალითად, თუ წნევის რეგულირების დროს მოცემულ მნიშვნელობას წარმოადგენს 100 კგძ/ს<sup>2</sup>, ხოლო რეგულატორის არამგრძნობიარობა შეადგენს 1 კგძ/ს<sup>2</sup>, წნევის გადახრისას ამა თუ იმ მხარეს 1კგძ/ს<sup>2</sup>-ზე ნაკლები სიდიდით, რეგულატორი იქნება უმოქმედო. რეგულატორი ამოქმედდება წნევის მიღწევისას 101 კგძ/ს<sup>2</sup> (წნევის გაზრდისას)

ან 99 კგ/სმ<sup>2</sup> (წნევის შემცირებისას). 101–99 კგ/სმ<sup>2</sup>-ის არეში, ე.ი.  $100 \pm 1$  კგ/სმ<sup>2</sup>, რეგულატორი არ მოქმედებს. ეს არე წარმოადგენს მისი არამგრძნობიარობის ზონას.

პირდაპირი მოქმედების რეგულატორების მგრძნობიარობის ასამაღლებლად, ე.ი. იმისათვის, რომ ძრავას მოძრავი ნაწილის მოძრაობა და, მაშასადამე, მარეგულირებელი ორგანოსიც დაიწყოს ზემოქმედების ძალის მინიმალური შეცვლისას, მიისწრაფვიან მოხსეაუნე ელემენტების შემცირებისაკენ, რითაც განტვირთავენ მარეგულირებელ ორგანოს.

არაპირდაპირი მოქმედების რეგულატორებში, ძალვა აღძრული მგრძნობიარე ელემენტში, სარეგულირებელი პარამეტრის სიდიდის ცვლილებისას რთავს მუშაობაში მხოლოდ დამხმარე მოწყობილობას – მმართველ ელემენტს. ეს მოწყობილობა ენერგიას აწოდებს გარეშე ენერგიის წყაროდან მექანიზმს, რომელიც ავითარებს ძალვას აუცილებელს მარეგულირებელი ორგანოს გადანაცვლებისათვის. არაპირდაპირი მოქმედების რეგულატორის მგრძნობიარობა აღემატება პირდაპირი მოქმედების რეგულატორის მგრძნობიარობას.

რეგულატორები, აგრეთვე, იყოფიან:

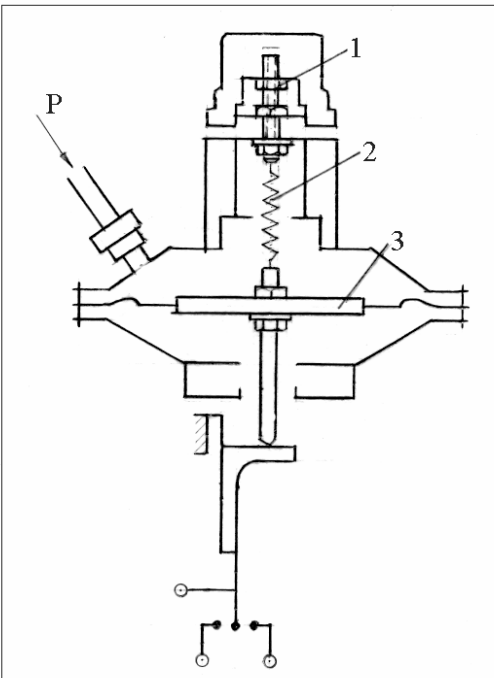
გამოყენებული ენერგიის სახის მიხედვით – პნევმატიკურ, პილრავლიკურ, ელექტრულ, კომბინირებულ რეგულატორებად;

მარეგულირებელ ორგანოზე ზემოქმედების ხასიათის მიხედვით – წყვეტილი და უწყვეტი მოქმედების რეგულატორებად;

სარეგულირებელი პარამეტრის სახის მიხედვით – ტემპერატურის, წნევის, ხარჯის, დონის და ა.შ. რეგულატორებად.

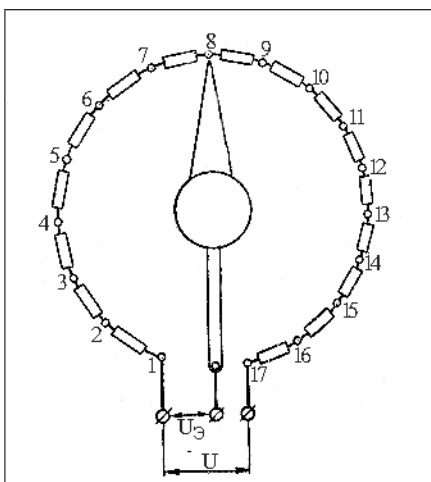
ქვემოთ მოყვანილ ნახაზებზე 9.65-9.82 მოცემულია ავტომატური რეგულატორების ელემენტებისა და მარეგულირებელი ორგანოების სქემები.

ნახ.9.65 მოცემულია ზამბარული მავალებლის სქემა, გათვალისწინებული მემბრანიან გამზომ მოწყობილობაზე დასაყენებლად.



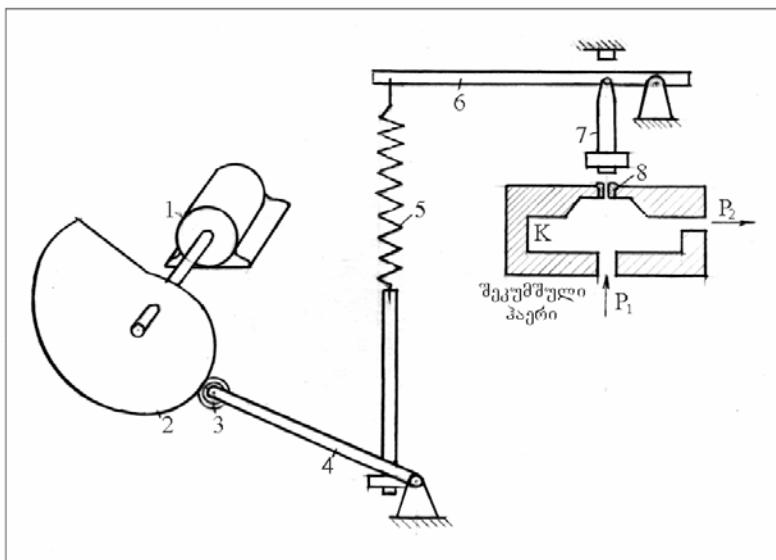
ნახ.9.65. მემბრანიან  
გამზომ მოწყობილობა-  
ზე დასაყენებელი ზამ-  
ბარული მავალებლის  
სქემა: 1 – ქანჩი; 2 –  
ზამბარა; 3 – მემბრანა

ნახ.9.66 – П-16/17 ტიპის მავალებლის ელექტრული სქემა.



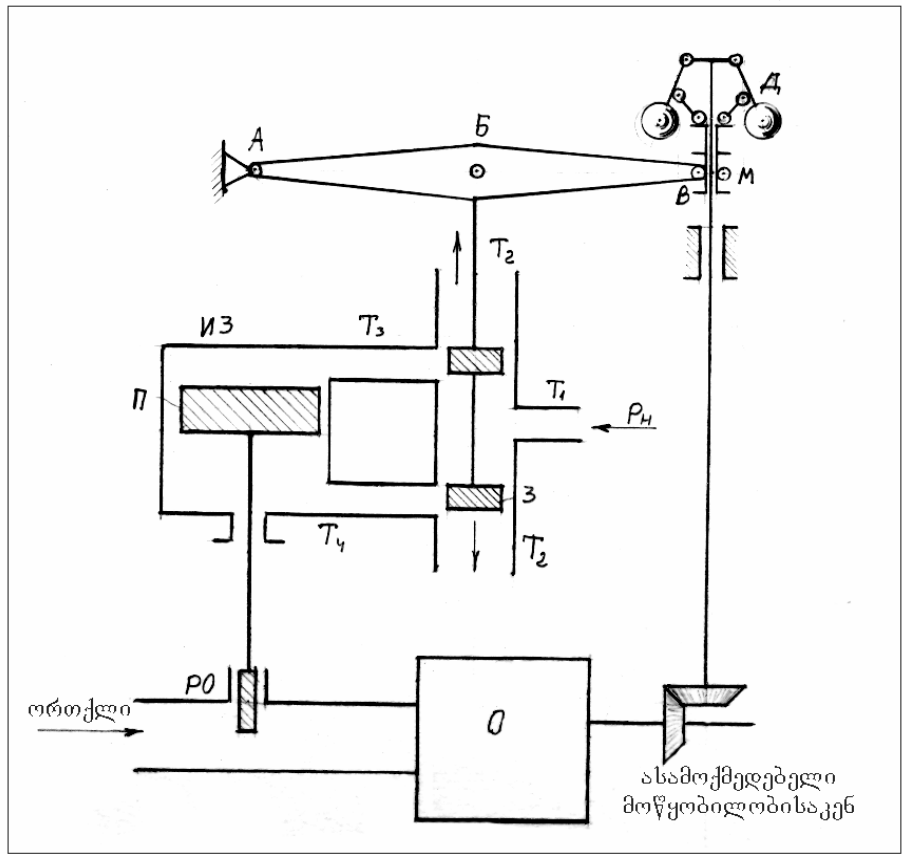
ნახ.9.66. П16/17 ტიპის  
მავალებლის ელექტრული  
სქემა სექციონირებული მავ-  
თულის პოტენციომეტრით  
17 მდებარეობაზე (1÷17)

ნახ.9.67 – პნევმატიკური პროგრამული მავალებლის სქემა.



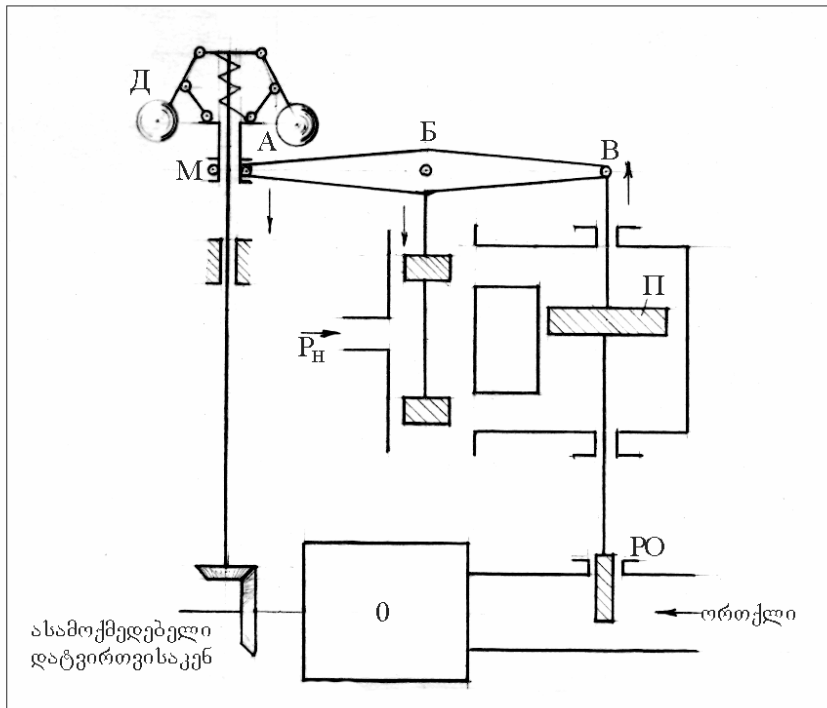
ნახ.9.67. პნევმატიკური პროგრამული მავალებლის სქემა: 1 – სინქრონული ძრავა; 2 - საპროგრამო ღისკო; 3 – გორგოლაჭი; 4 – ბერკეტი; 5 – ზამბარა; 6 – პნევმოგარდამქმნელის ბერკეტი; 7 – ღერო; 8 – საქშენი; K - კამერა;  $P_1$  - შეკუმშული ჰაერის წნევა;  $P_2$  - ჰაერის საკომანდო წნევა

ნახ.9.68 – სიჩქარის ავტომატური რეგულატორი უპუ-  
კავშირის გარეშე.



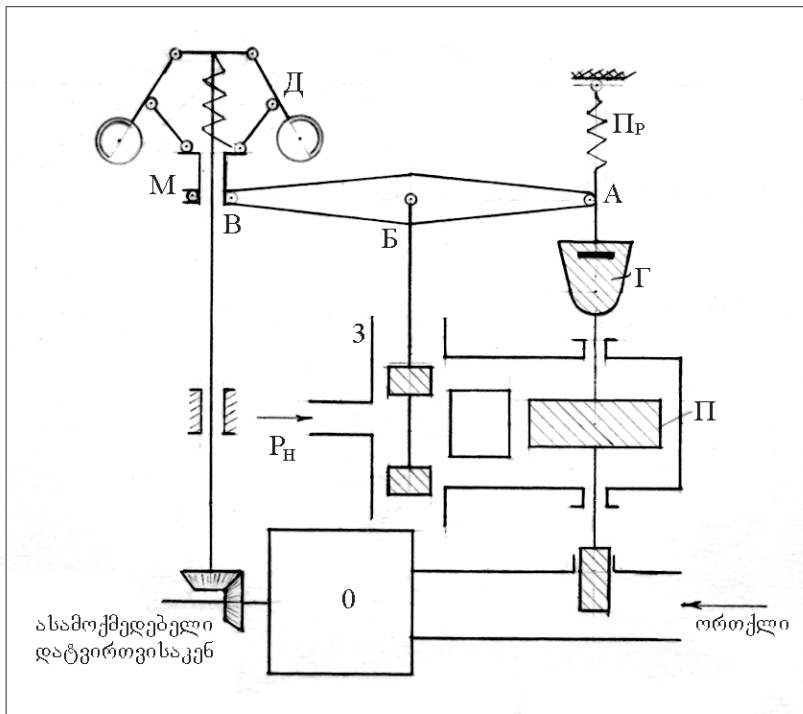
ნახ.9.68. სიჩქარის ავტომატური რეგულატორი უკუკავშირის გარეშე: O - ობიექტი (ორთქლის მანქანა); PO - მარეგულირებელი ორგანო; D - გარდამსახი; M - ქურო; АВВ - ბერკეტი; З - მკეთარა; T<sub>1</sub> - მილი; T<sub>2</sub>, T<sub>3</sub> - სერვოძრავას ИЭ (აღმასრულებელი ელემენტის) პილრაცვლიკური აღმასრულებელი მექანიზმის მილსადენები; П - სერვოძრავას დგუში

ნახ.9.69 – სიჩქარის ავტომატური რეგულატორი ხისტი უპუკავშირით.



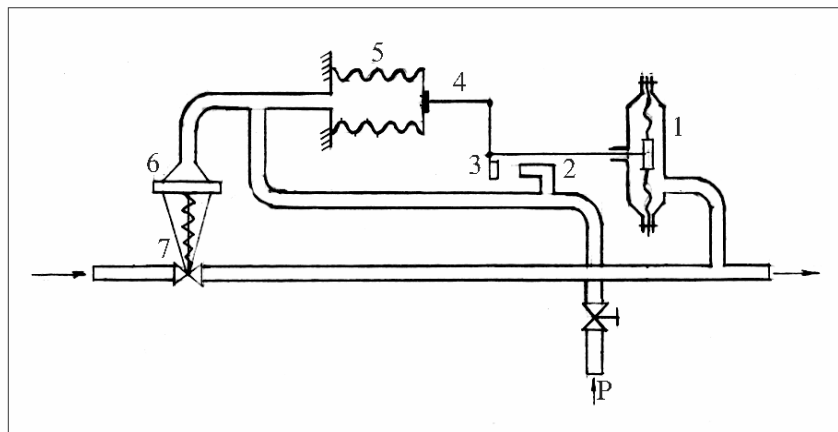
ნახ.9.69. სიჩქარის ავტომატური რეგულატორი ხისტი უპუკავშირით: АБВ - ბერკეტი; М - ქურო; Д - გამზომი ელემენტი; РО - მარეგულირებელი ორგანო; Π - სერვოძრავას დგუში; О - ობიექტი

ნახ.9.70 – სიჩქარის ავტომატური რეგულატორი მოქნილი პიდრომექანიკური უპუკავშირით.



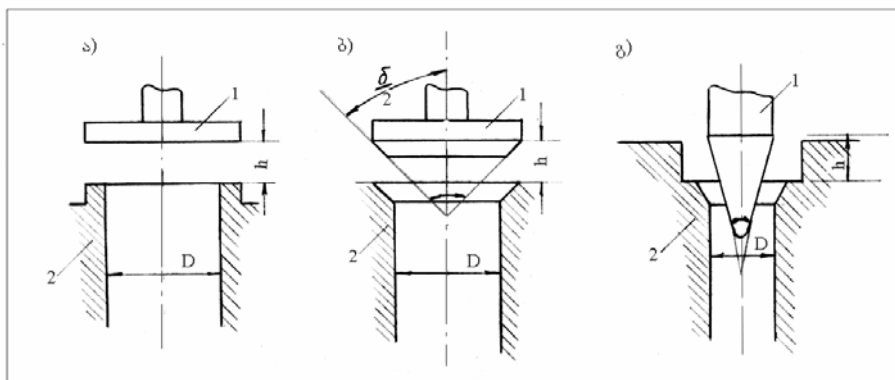
ნახ.9.70. სიჩქარის ავტომატური რეგულატორი მოქნილი პიდრომექანიკური უპუკავშირით:  $\text{Пр}$  - ზამბარა;  $\Gamma$  - დემპფერი; დანარჩენი აღნიშვნების განმარტებები იხილეთ ნახ.6.69-ზე

ნახ.9.71 – ბერკეტული პნევმატიკური უპუკავშირი.



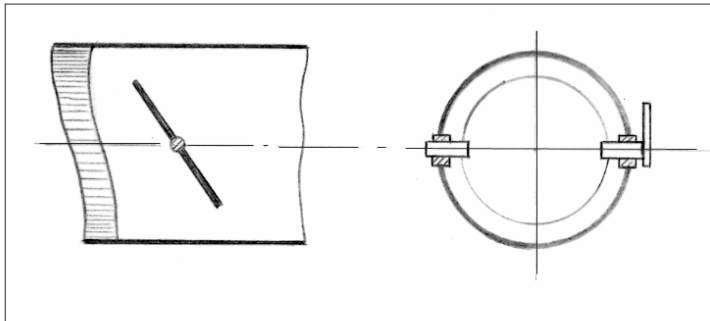
ნახ.9.71. წნევის რეგულატორი ბერკეტული პნევმატიკური უპუკავშირით: 1 – გარდამსახი; 2 – საქშენი; 3 – მკვეთარა; 4 – ბერკეტი; 5 – სილფონი; 6 – აღმასრულებელი მექანიზმი; 7 – ვენტილი; P - ჰაერის წნევა

ნახ.9.72 – მარეგულირებელი სარქველების ტიპები.



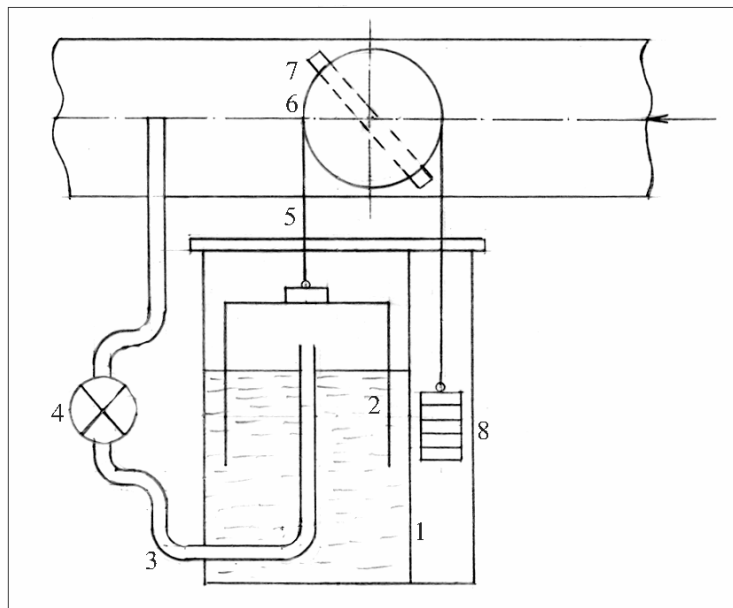
ნახ.9.72. მარეგულირებელი სარქველების ტიპები: а) თეფზა სარქველი; б) თეფზა სარქველი კონუსური საყრდენი ზედაპირით; გ) ნემისისებრი სარქველი; 1 – პლუნჯერი; 2 – სარქველის ბუდე; h - პლუნჯერის სვლა

ნახ.9.73 – საბრუნი დროსელური საფარი (მრგვალი, ფურცლოვანი).



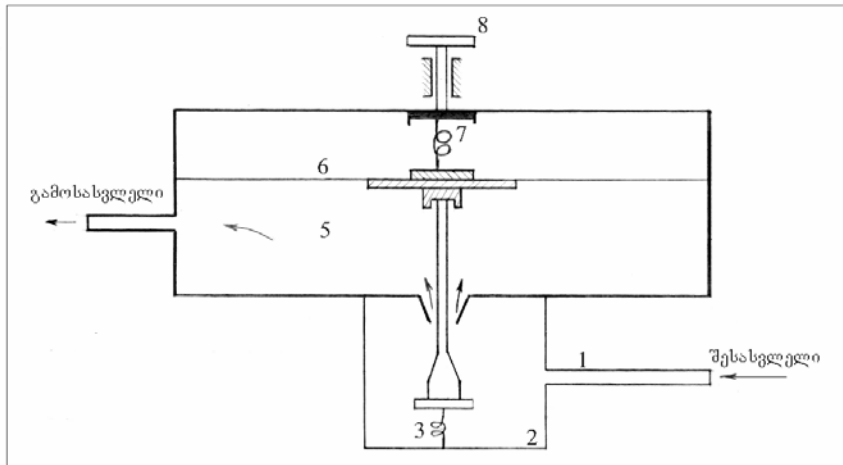
ნახ.9.73. საბრუნი დროსელური საფარი (მრგვალი, ფურცლოვანი)

ნახ.9.74 – პირდაპირი ქმედების წნევის რეგულატორი.



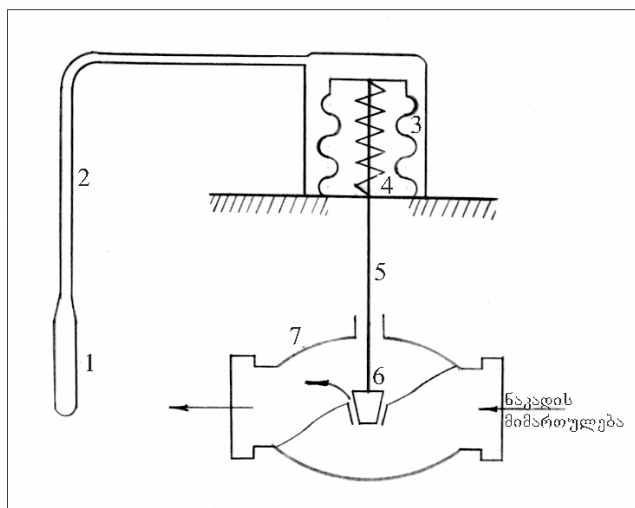
ნახ.9.74. პირდაპირი ქმედების წნევის რეგულატორი: 1 – ჭურჭელი სითხისათვის (მინერალური ზეთი ან წყალი); 2 – ზარხუფი; 3 – იმპულსური მილაკი; 4 – ვენტილი; 5 – მოქნილი ტროსი; 6 – შეივივი; 7 – მკვეთარა; 8 – ტვირთი

ნახ.9.75 – პნევმატიკური რედუქტორის მოწყობილობის სქემა.



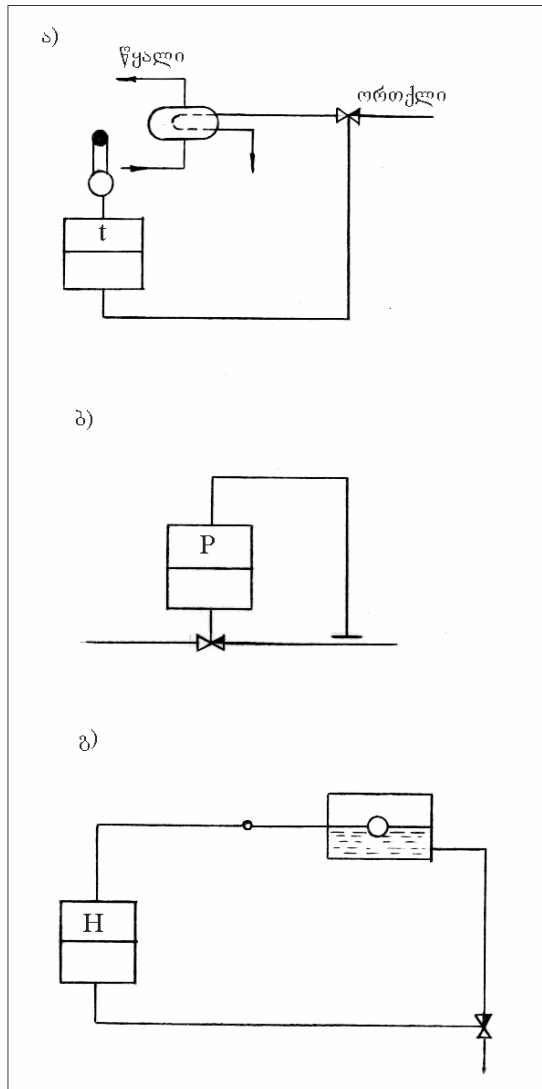
ნახ.9.75. პნევმატიკური რედუქტორის მოწყობილობის სქემა: 1 – მიმყვანი მილი; 2 – რედუქტორის კამერა; 3 – მკვეთარას ზამბარა; 4 – საქშენი; 5 – მემბრანის კამერა; 6 – მემბრანა; 7 – მავალებლის ზამბარა; 8 – რედუქტორის თავი

ნახ.9.76 - РПД ტიპის პირდაპირი მოქმედების ტემპერატურის რეგულატორის მოწყობილობის სქემა.



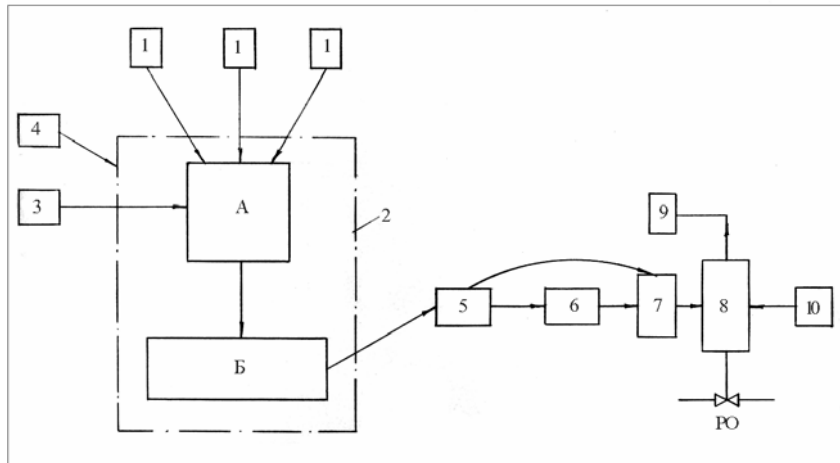
ნახ.9.76. РПД ტიპის პირდაპირი მოქმედების ტემპერატურის რეგულატორის სქემა: 1 - თერმობალონი; 2 - კაპილარი; 3 - სილიფონი; 4 - ზამბარა; 5 - ჭოკი; 6 - მკვეთარა; 7 - მარჯგულირებელი სარქეელი

ნახ.9.77 – პირდაპირი ქმედების რეგულატორების პირობითი გამოსახულება.



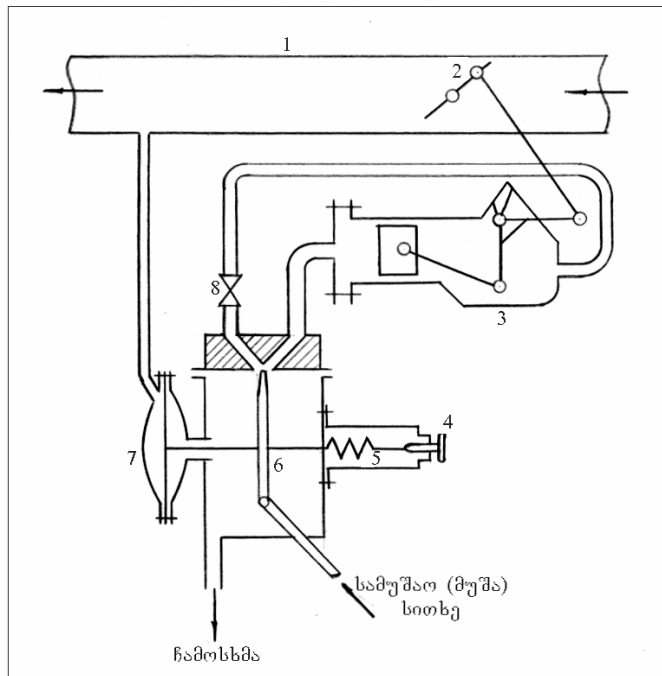
ნახ.9.77. პირდაპირი მოქმედების რეგულატორების პირობითი გამოსახულება: а) ტემპერატურის რეგულირება; б) წნევის რეგულირება; გ) დონის რეგულირება

ნახ.9.78 – ელექტრონული რეგულატორის ფუნქციონალური სქემა.



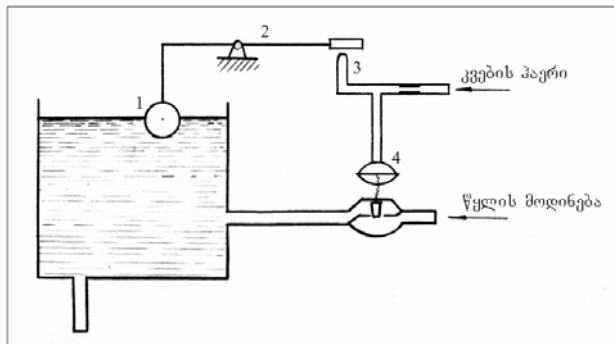
ნახ.9.78. ელექტრონული რეგულატორის ფუნქციონალური სქემა: 1 – პირველადი სელსაწყო; 2 – მარეგულირებელი სელსაწყო; 3 – ძაბვის სტაბილიზატორი; 4 – მავალებელი; 5 – გადამრთველი; 6 – დისტანციური მართვის გასაღები; 7 – მაგნიტური კონტაქტორი; 8 – აღმასრულებელი მექანიზმი; 9 – გამოსასვლელი ლილვი; 10 – ელექტრული მუსრუჭი; A - გამზომი ბლოკი; Б - ელექტრონული ბლოკი; PO - მარეგულირებელი ორგანო

ნახ.9.79 – წნევის ერთკასკადიანი ჭავლური რეგულატორი.



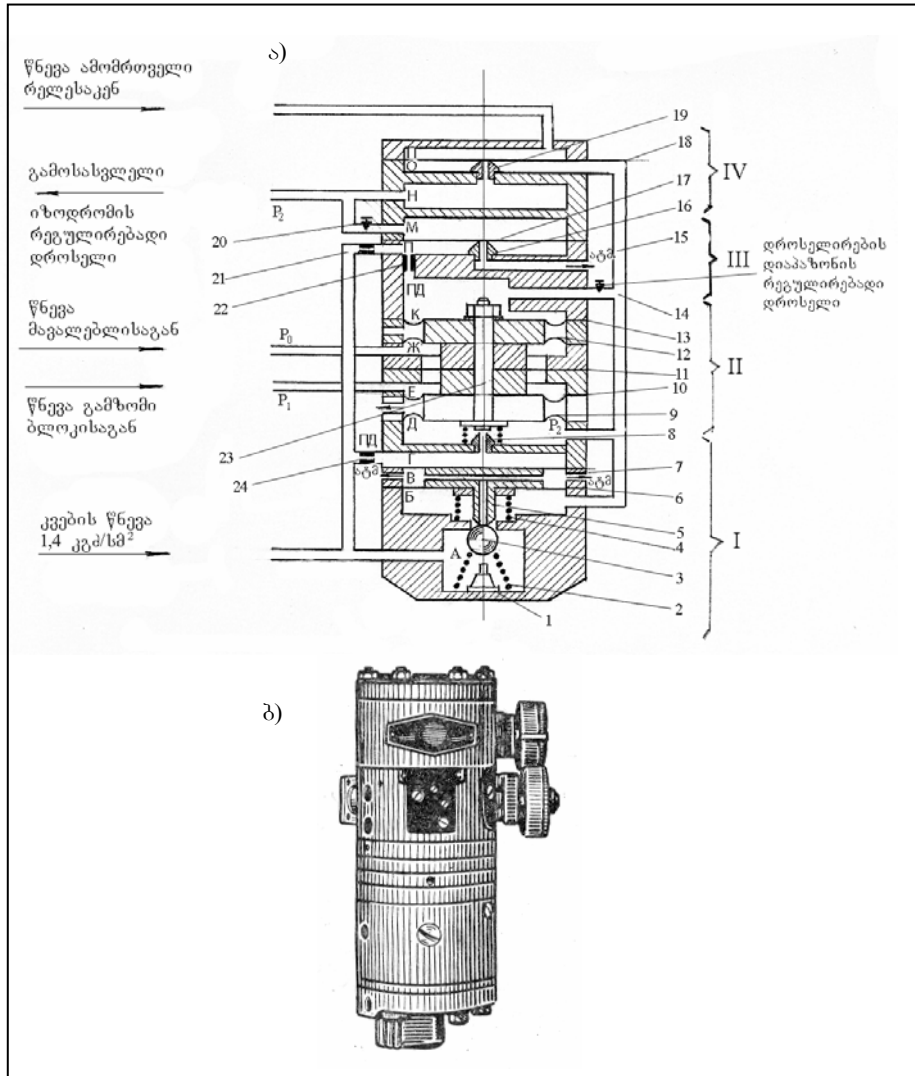
ნახ.9.79. წნევის ერთკასკადიანი ჭავლური რეგულატორი: 1 – მილ-სადენი; 2 - მარეგულირებელი ორგანო; 3 – ჰიდროვლიკური აღმას-რულებელი მექანიზმი; 4 – ჭანჭიკი; 5 – ზამბარა; 6 – ჭავლური მილაკი; 7 – გამზომი მოწყობილობის მექანიზმი; 8 – დროსელი

ნახ.9.80 – დონის რეგულირების პრინციპული სქემა “საქშენი-საფარი” გარდამქმნელის დახმარებით.



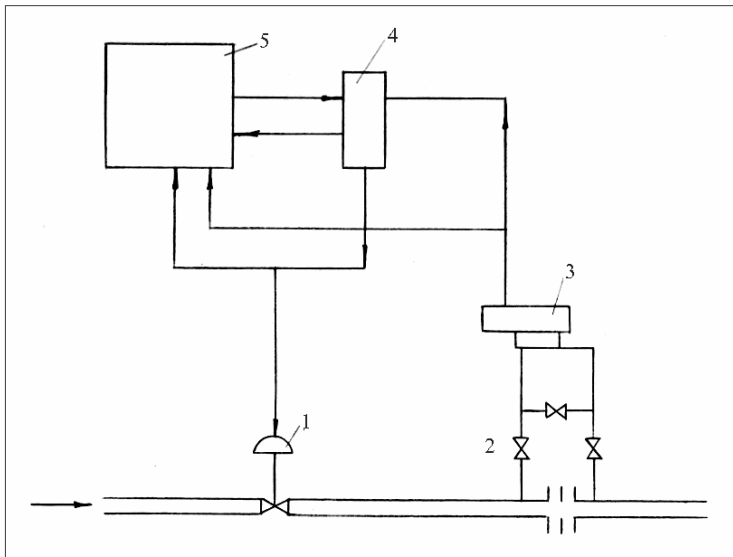
ნახ.9.80. დონის რეგულირების პრინციპული სქემა “საქშენი-საფარი” გარდამქმნელის დახმარებით: 1 – ტივტივა; 2 – მკვეთარა; 3 – საქშენი

ნახ.9.81 – 4РБ-32А ტიპის პნევმატიკური რეგულატორის პრინციპული სქემა.



ნახ.9.81. 4РБ-32А ტიპის პნევმატიკური რეგულატორი: а) პრინციპული სქემა; ბ) გარეგანი სახე; I – მეორადი გამაძლიერებელი; II – გამზომი მოწყობილობა; III – უკუკასშირი; IV – ამომზროვალი რელე

ნახ.9.82 - ПАУС აპარატურის დახმარებით ხარჯის რეგულირების სტრუქტურული სქემა.



ნახ.9.82. ПАУС აპარატურის დახმარებით ხარჯის რეგულირების სტრუქტურული სქემა: 1 – მარეგულირებელი ორგანო; 2 – დიაფრაგმა; 3 – პიოველადი ხელსაწყო – დიფმანომეტრი პნევმატიკური გარდამსახით (ДМПК-4 ტიპისა); 4 – მარეგულირებელი ბლოკი (4РБ-32А ტიპისა); 5 – მეორადი მარეგულირებელი და მაჩვენებელი ხელსაწყო მავალებლით (ЗРЛ-29В)